



UNIVERSITAT DE
BARCELONA

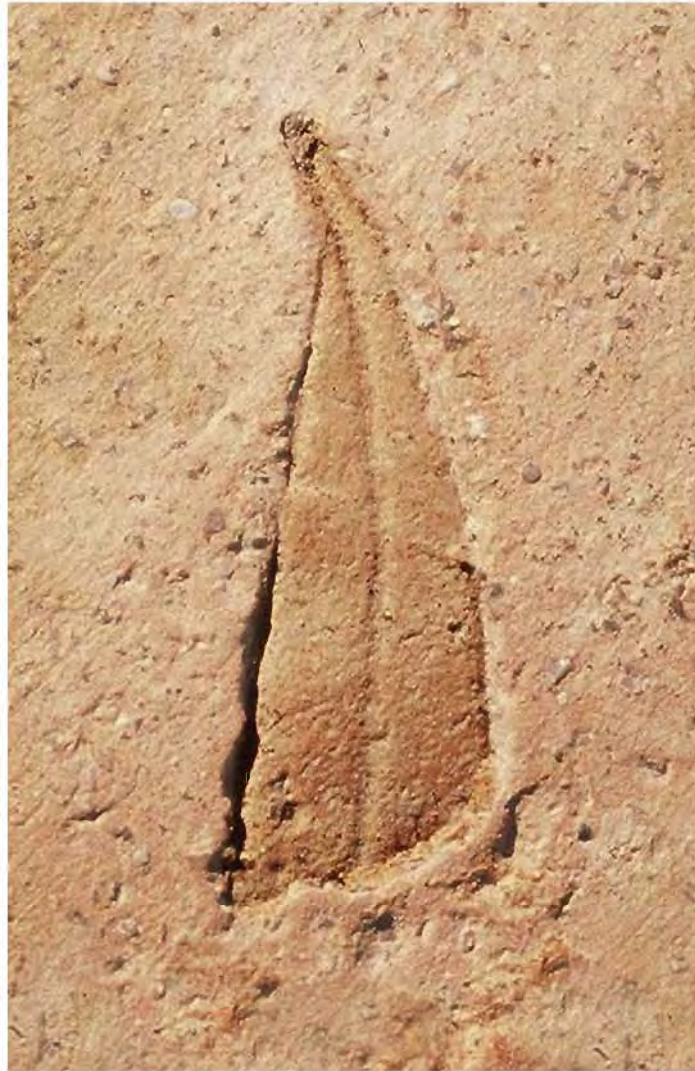
Análisis epigráfico de los sellos olearios béticos hallados en centros de producción. El caso de la zona productora de la Scalensia

Juan Moros Díaz

ADVERTIMENT. La consulta d'aquesta tesi queda condicionada a l'acceptació de les següents condicions d'ús: La difusió d'aquesta tesi per mitjà del servei TDX (www.tdx.cat) i a través del Dipòsit Digital de la UB (diposit.ub.edu) ha estat autoritzada pels titulars dels drets de propietat intel·lectual únicament per a usos privats emmarcats en activitats d'investigació i docència. No s'autoritza la seva reproducció amb finalitats de lucre ni la seva difusió i posada a disposició des d'un lloc aliè al servei TDX ni al Dipòsit Digital de la UB. No s'autoritza la presentació del seu contingut en una finestra o marc aliè a TDX o al Dipòsit Digital de la UB (framing). Aquesta reserva de drets afecta tant al resum de presentació de la tesi com als seus continguts. En la utilització o cita de parts de la tesi és obligat indicar el nom de la persona autora.

ADVERTENCIA. La consulta de esta tesis queda condicionada a la aceptación de las siguientes condiciones de uso: La difusión de esta tesis por medio del servicio TDR (www.tdx.cat) y a través del Repositorio Digital de la UB (diposit.ub.edu) ha sido autorizada por los titulares de los derechos de propiedad intelectual únicamente para usos privados enmarcados en actividades de investigación y docencia. No se autoriza su reproducción con finalidades de lucro ni su difusión y puesta a disposición desde un sitio ajeno al servicio TDR o al Repositorio Digital de la UB. No se autoriza la presentación de su contenido en una ventana o marco ajeno a TDR o al Repositorio Digital de la UB (framing). Esta reserva de derechos afecta tanto al resumen de presentación de la tesis como a sus contenidos. En la utilización o cita de partes de la tesis es obligado indicar el nombre de la persona autora.

WARNING. On having consulted this thesis you're accepting the following use conditions: Spreading this thesis by the TDX (www.tdx.cat) service and by the UB Digital Repository (diposit.ub.edu) has been authorized by the titular of the intellectual property rights only for private uses placed in investigation and teaching activities. Reproduction with lucrative aims is not authorized nor its spreading and availability from a site foreign to the TDX service or to the UB Digital Repository. Introducing its content in a window or frame foreign to the TDX service or to the UB Digital Repository is not authorized (framing). Those rights affect to the presentation summary of the thesis as well as to its contents. In the using or citation of parts of the thesis it's obliged to indicate the name of the author.



ANÁLISIS EPIGRÁFICO DE
LOS SELLOS OLEARIOS BÉTICOS
HALLADOS EN CENTROS
DE PRODUCCIÓN:
EL CASO DE LA ZONA
PRODUCTORA DE LA SCALENSIA

Tesis Doctoral
JUAN MOROS DÍAZ

Directores
JOSÉ REMESAL RODRÍGUEZ
ANTONIO AGUILERA MARTÍN



UNIVERSITAT DE
BARCELONA

Societat y Cultura.

ANÁLISIS EPIGRÁFICO DE
LOS SELLOS OLEARIOS BÉTICOS
HALLADOS EN CENTROS
DE PRODUCCIÓN:
EL CASO DE LA ZONA
PRODUCTORA DE LA SCALENSIA

Tesis Doctoral
JUAN MOROS DÍAZ

Directores
JOSÉ REMESAL RODRÍGUEZ
ANTONIO AGUILERA MARTÍN



UNIVERSITAT DE
BARCELONA

Societat y Cultura.

Imagen de portada: Hoja de olivo impresa en un fragmento de ánfora Dressel 20 hallada en las excavaciones del Monte Testaccio (Roma). Foto: CEIPAC, Universidad de Barcelona.

A Salvador Barea, Juan Luís Barea
y al añorado Juan Solís.

ÍNDICE.

Resumen.	9
Introducción y agradecimientos.	11
Capítulo 1.- Los contenidos y las estructuras de los sellos.	
Introducción.	17
1.1.- Bases interpretativas y antecedentes.	17
1.2.- Nuestra clasificación de los contenidos de los sellos.	22
1.2.1.- Elementos principales de los sellos.	22
1.2.2.- Elementos secundarios de los sellos (ATRIBUTOS).	25
1.3.- Lectura, desarrollo, estructura y fórmula epigráfica de los sellos.	25
1.4.- Elaboración de la tabla de las estructuras de los sellos.	26
1.5. - Las estructuras de los sellos.	32
1.5.1.- Descripción del sistema de sellado de las ánforas olearias béticas.	34
1.5.2.- Solución estadística de los sellos ambiguos.	41
1.6.- La evolución de las estructuras de los sellos.	43
1.6.1.- Sellos de contenido simple.	45
1.6.2.- Sellos de contenido compuesto.	46
1.6.3.- La evolución de las estructuras elementales.	48
1.6.4.- Evolución de otros aspectos de los sellos.	49
1.6.5.- Resumen de resultados.	50
1.7.- Varios sellos en un mismo envase.	51
Conclusiones.	54
Capítulo 2.- Las matrices y el diseño de los sellos.	
Introducción.	55
2.1.- El método de los moldes de silicona, diez años de aplicación.	56
2.1.2.- Escaneado de la silicona.	59
2.1.3.- Reconstrucción de imágenes ideales de los sellos.	60
2.2.- La mecánica del sellado de las ánforas olearias béticas.	61
2.2.1.- La mecánica del sellado.	61
2.2.2.- La deformación “matriz-sello” producida por la acción mecánica del sellado.	64
2.2.3.- Modelo teórico de las distintas formas de generar copias de sellos a partir de matrices de barro cocido.	66
2.2.4.- Protocolo para establecer el proceso de generación de dos sellos con idéntico diseño y diferente tamaño.	70

2.3.- Clasificación tipológica de las matrices de los sellos.	72
2.3.1.- El sistema de clasificación adoptado por Dressel.	73
2.3.2.- Forma de las cartelas.	75
2.3.3.- Características básicas del sello: dirección y relieve del texto.	76
2.3.4.- Caracterización del texto de los sellos por sus elementos de diseño.	77
2.3.4.1.- Elementos de diseño del texto de los sellos.	77
2.3.4.2.- Estadística de la incidencia de cada uno de los elementos caracterizadores del texto de los sellos calculado a partir del campo “conservación” de la base de datos CEIPAC.	85
2.3.4.3.- Clasificación de los sellos por los cinco elementos caracterizadores de su texto (Tipos 0-31).	86
2.3.5.- Fórmula tipológica de la matriz.	87
2.3.6.- Transcripciones tipográficas.	90
2.3.7.- Clasificación de las matrices de los sellos.	91
2.3.8.- Otros estudios derivados de las matrices de los sellos.	92
2.4.- El diseño de los sellos.	93
2.4.1.- Grupos homogéneos.	94
2.4.2.- ¿Quiénes hacían las matrices de los sellos?	96
2.4.3.- Grupos homogéneos en organizaciones “ <i>supra-figlina</i> ”.	98
Conclusiones.	101
Capítulo 3.- ¿Cuál era la función de los sellos?	
Introducción.	103
3.1.- ¿Por qué se sellaba? Hipótesis sobre la función de los sellos.	104
3.2.- ¿Por qué se sellaban unas ánforas si y otras no? Lotes y sub-lotes: la organización de la fabricación de los objetos.	105
3.3.- ¿Cuál era el papel específico de cada uno de los elementos que encontramos en los sellos? La composición del identificador.	107
3.4.- Hipótesis sobre la organización básica de la producción en las alfarerías.	110
3.4.1.- La composición de los lotes.	110
3.4.2.- Hipótesis sobre el proceso de fabricación de los envases en las unidades productivas.	110
3.4.3.- Hipótesis sobre el proceso de producción de los envases en las <i>figlinae</i> .	111
3.4.4.- Las matrices de los sellos en el proceso productivo.	113
3.5.- La organización de los centros productores a partir de los identificadores presentes en los sellos.	115
Conclusiones.	125
Capítulo 4.- La organización de los sellos: catálogo, <i>corpus</i> y dendrograma.	
Introducción.	129
4.1.- <i>Corpus versus</i> catálogo, una vieja controversia.	129
4.2.- Sistema Dressel <i>versus</i> sistema Callender.	131
4.3.- Organización interna de los <i>corpora</i> y los catálogos que siguen el sistema Dressel: el orden de prioridad de los elementos de los sellos.	132
4.4.- Limitaciones que presentan los <i>corpora</i> y los catálogos	135
4.5.- Los dendrogramas: familia-estructura-lectura-matriz.	139
4.5.1.- Definiciones: niveles de clasificación y elementos de los dendrogramas.	140
4.5.2.- El dendrograma de la familia de sellos de <i>C. Iuventius Albinus</i> .	144
4.5.3.- Los dendrogramas de las familias de sellos de un centro productor: el caso de la <i>figlina Scalensia</i> .	155
4.6.- <i>Corpus</i> de sellos a partir del dendrograma.	162
4.7.- Fases productivas de las <i>figlinae</i> .	165
Conclusiones.	166

Capítulo 5.- Caso de estudio: la zona productora de la <i>Scalensia</i>.	
Introducción.	167
5.1.- Área de estudio, situación geográfica y antecedentes.	167
5.2.- <i>Corpus</i> y dendrogramas.	173
5.2.1.- Organización de los <i>corpora</i> .	173
5.2.2.- <i>Corpus</i> de los sellos hallados en Cortijo de Romero.	174
5.2.3.- <i>Corpus</i> de los sellos hallados en Cortijo del Mohíno.	227
5.2.4.- Los dendrogramas de Cortijo de Romero, Cortijo del Mohíno y Cerro de los Pesebres.	261
5.3.- Deducciones de los <i>corpora</i> y los dendrogramas: sistemas de sellado y fases productivas de las <i>figlinae</i> .	261
5.3.1.- Cuadro de las fases productivas de las <i>figlinae</i> .	261
5.3.2.- Descripción de los sistemas de sellado.	261
5.3.2.1.- Evolución de los TOPÓNIMOS en la zona productora.	261
5.3.2.2.- Evolución de los TRIA NOMINA en la zona productora.	268
5.3.2.3.- Evolución de los COGNOMINA en la zona productora.	272
Conclusiones: la organización productiva de las <i>figlinae</i> a partir de los sellos.	276
Conclusiones.	281
Bibliografía.	285
Anexos: contenido del CD adjunto a este trabajo.	319

RESUMEN:

En esta Tesis Doctoral se presentarán nuevas bases interpretativas y metodológicas para el estudio de los sellos de las ánforas olearias béticas (Dressel 20, ca.30-270 d.C.) desde el punto de vista de sus centros de producción de los valles del Guadalquivir y Genil. Primero se describirán algunos aspectos relevantes de los sellos: sus contenidos, sus estructuras, sus matrices y su diseño. Paralelamente, se desarrollarán nuevas herramientas que nos permitirán clasificar los sellos con mayor precisión. También se incluyen nuevas hipótesis sobre la función de los sellos, que nos permitirán abordar cuestiones básicas no resueltas de la investigación. Se incluirán nuevas estrategias para organizar y clasificar los sellos, de modo que la información se presente en unas condiciones óptimas y nos permita extraer de los mismos todo su potencial informativo. Finalmente, se aplicará el modelo descrito al análisis de los sellos de un grupo de figlinae productoras de ánforas olearias béticas, vecinas y situadas en la parte final del territorio de Corduba. Apoyados en estos análisis, propondremos hipótesis sobre la organización productiva de estos centros productores y su evolución en el tiempo.

INTRODUCCIÓN.

La costumbre de sellar los objetos manufacturados producidos en masa es una constante en el mundo romano, donde alcanza cotas nunca vistas hasta ese momento. La cantidad y variedad de estos sellos asociados a soportes muy diferentes, ladrillos, tejas, dolios, ánforas, morteros, lucernas, vasos de cerámica fina, etc., permite a la ciencia moderna estudiar un vasto conjunto de documentos comparables entre sí, que los arqueólogos e historiadores han catalogado pacientemente desde hace más de un siglo.

El *sigillum* del ánfora romana se ordena entre las inscripciones de tipo industrial, dentro del llamado *instrumentum impressum inscriptum*, donde el documento epigráfico se obtiene mediante la impresión en barro fresco de una matriz (*signaculum*). El barro cocido es un material muy resistente, siendo por ello que el patrimonio preservado derivado de esta clase de documento sea inmenso.

El ánfora olearia Dressel 20 de la Bética de época imperial es un ejemplo perfecto para analizar este tipo particular de documento epigráfico. Desde que Dressel diera a conocer los materiales del CIL XV a finales del s.XIX, se ha realizado un notable esfuerzo por parte de los investigadores para comprender su significado y extraer de los sellos información válida. Pero este tipo particular de documento epigráfico presenta serias dificultades de estudio. Veamos algunos de los problemas básicos que ha debido afrontar la investigación.

A día de hoy, no sabemos por qué se sellaban los envases y no tenemos una hipótesis general consensuada que aclare cuál era su función. Difícilmente podremos avanzar en la investigación si no tratamos de solucionar previamente esta cuestión básica. Además, el modelo interpretativo que cada autor haga del fenómeno del sellado va a condicionar decisivamente el desarrollo de su investigación.

Otro problema inherente a estos documentos es su naturaleza de formulario fuertemente contraído compuesto por uno o varios elementos simples. Observados en su conjunto, estas circunstancias hacen que los sellos se presenten a nuestros ojos como un galimatías aparentemente irresoluble, que con muchos esfuerzos vamos desentrañando, y no es difícil encontrar publicadas varias interpretaciones diferentes para un mismo sello. Ha sido necesario establecer nuevas estrategias de estudio que nos permitiesen leer y desarrollar los sellos desde una base epigráfica sólida, para, a partir de ahí, intentar extraer la máxima información de este cúmulo de datos.

La reproducción de los sellos en las publicaciones también ha supuesto un problema que hemos tardado en solucionar. Las imágenes de los sellos son un aspecto básico de la información que estos nos aportan. En las ánforas Dressel 20, estos sellos se desarrollan sobre superficies curvas de diversas partes de los envases. Esta circunstancia ha resultado ser decisiva a la hora de reproducirlos y los métodos de representación tradicionalmente utilizados: transcripciones tipográficas, dibujos con diversos convenios gráficos, calcos, fotografías, presentaban una serie de limitaciones que han lastrado el avance de la investigación, haciendo de la clasificación de los sellos una tarea subjetiva difícilmente sostenible.

Otro problema no menos importante se deriva de la dificultad que supone el manejo de este cúmulo de documentos. Solo para la Dressel 20, se han publicado varias decenas de miles de ejemplares hallados en diferentes puntos del Imperio Romano. Estos sellos se encuentran en un número de publicaciones difícil de reunir en una biblioteca, por muy especializada que resulte. Hemos tenido que esperar a que el avance de la informática y de las bases de datos nos permitieran gestionar de manera eficiente este monumental patrimonio, haciéndolo accesible al común de los mortales.

Además, las publicaciones que recogen estos sellos constituyen un conjunto muy heterogéneo, ya que se han desarrollado a lo largo de un periodo que abarca más de un siglo. La forma de presentar los sellos en estas publicaciones ha evolucionado con el avance de la investigación y con el de las propias técnicas de publicación. Podemos así encontrar publicaciones donde los sellos se ordenan con diversos criterios de catalogación y con distintos métodos de representación.

Por otro lado, la información que nos transmiten los investigadores en estas publicaciones debe ser observada con espíritu crítico, antes de usarla en nuestros trabajos. En los catálogos de sellos no faltan ejemplares literalmente “inventados” y ello no es tanto debido a la calidad del investigador en particular, como al hecho de que estos documentos son muy sensibles a los problemas metodológicos antes comentados sobre su reproducción e interpretación de su contenido. Resulta básico comprender que los sellos publicados son siempre una interpretación del investigador, tanto a nivel de representación, si el material aparece dibujado, como de lectura y desarrollo de su contenido.

Otro aspecto crucial del estudio de los sellos sería establecer sus dataciones, es decir, cuándo fueron usados. Sólo tenemos datados un 60% de las lecturas conocidas. La misma heterogeneidad que observamos antes en las publicaciones que los recogen, se reproduce con las dataciones propuestas para los sellos. Así tendremos dataciones tipológicas de los envases que los portan, o aquellas derivadas del contexto arqueológico donde los sellos fueron hallados. De las dataciones tipológicas se han desarrollado durante la investigación distintos modelos. Por poner un ejemplo ilustrativo a este respecto: la tipología de un ánfora de la forma A de Martin-Kilcher, no tiene nada que ver con la tipología de la forma A de Berni. Además, necesariamente las dataciones tipológicas

no son especialmente precisas, ya que la evolución de la forma del envase sigue un proceso paulatino que nos da intervalos de 30 o 40 años. Por otro lado, los contextos arqueológicos donde se hallan los sellos son igualmente heterogéneos, pecios, conjuntos anfóricos, campamentos militares, el propio Testaccio, etc, cada uno de los cuales tiene su propia problemática asociada.

Para finalizar este listado de “terribles desdichas” que han debido afrontar los investigadores en el estudio de esta clase de material, queda el asunto de intentar establecer el lugar de producción de cada sello. A pesar de los esfuerzos de un buen número de investigadores de diferentes nacionalidades, que desde finales del s. XIX vienen recorriendo las orillas del Guadalquivir y del Genil, solo el 40% de los sellos conocidos han sido localizados en la Bética. Además, aun tratándose de lugares de la zona productora de los envases, no todos los yacimientos donde se han localizado estos sellos pueden identificarse con seguridad con centros productores de ánforas. Por otra parte, los nombres de los lugares han ido cambiando con el tiempo, de modo que un yacimiento puede venir identificado por nombres distintos en diferentes publicaciones. Otro problema con el que debemos manejarnos en nuestros trabajos es lo que se ha dado en llamar genéricamente “contaminaciones”. Los sellos de un taller pueden aparecer en talleres vecinos y, a veces, incluso distantes de sus lugares de producción originales. Finalmente, aunque creemos tener un cierto conocimiento de los lugares de producción de los envases, no tenemos tantos datos sobre la estructura agraria del área de la producción del aceite en la Bética, sobre cuáles fueron sus límites geográficos y su verdadera escala.

A pesar de las dificultades, muchos investigadores le han dedicado pacientes esfuerzos y, gracias a todos ellos, la investigación de los sellos de la Dressel 20 en los centros de producción ha podido alcanzar en la actualidad un punto crítico, al coincidir una serie de circunstancias:

- Ahora tenemos una propuesta de lectura y desarrollo para la mayoría de los sellos conocidos sobre este envase, elaborada con una base epigráfica sólida y metódica¹.
- Contamos con la base de datos del CEIPAC de la Universidad de Barcelona², recientemente actualizada y mejorada³, que nos permite manejar la información de manera muy eficiente.
- Disponemos de un nuevo sistema para representar los sellos que nos permite tener unas imágenes neutras y objetivas del desarrollo plano de los epígrafes, lo que pone en nuestras manos nuevas vías de análisis⁴.
- Hemos aplicado el método de los moldes de silicona a los sellos hallados en las prospecciones de Remesal de los años `80 y de Salvador Barea, Juan Luís Barea, Juan Solís y yo mismo, realizada entre mediados de los ´90 y los primeros años del presente siglo, lo que nos permite contar con una considerable masa de datos de toda el área de la producción de las Dressel 20, en unas condiciones óptimas para su estudio.

¹ Berni 2008.

² Pueden consultar esta base de datos en <http://ceipac.ub.edu>.

³ La base de datos clásica, que ya era una magnífica herramienta de estudio, ha sido puesta al día dotándola de nuevas y potentes herramientas de análisis el marco del proyecto del *European Research Council (EPNET) Production and Distribution of Food during the Roman Empire: Economic and Political Dynamics*.

⁴ Barea *et al.* 2008: anexo.

- En los últimos años, gracias al proyecto OLEASTRO⁵, se han reanudado las prospecciones sistemáticas en la zona productora con modernas técnicas de análisis y se han comenzado excavaciones en diversos centros productores, aspectos que resultan cruciales para poder avanzar en la investigación.

En este estado de la cuestión, planteamos nuestra Tesis Doctoral, donde presentamos nuevas bases interpretativas y metodológicas para el estudio de los sellos de las ánforas olearias béticas. Pasamos a describir brevemente su organización y contenido:

Los dos primeros capítulos estarán dedicados a describir distintos aspectos de los sellos, aportando nuevas herramientas para clasificarlos.

En el primer capítulo estableceremos una clasificación de los contenidos de los sellos y desarrollaremos un modelo que nos permitirá establecer la estructura de cada epígrafe. Dicho modelo se ha aplicado a la mayoría de las lecturas conocidas, lo que nos ha permitido elaborar las primeras estadísticas generales sobre las estructuras que presentan los sellos de las ánforas olearias béticas.

El segundo capítulo estará dedicado a estudiar sus matrices y su diseño. Presentaremos un nuevo método para clasificar las matrices que pueden obedecer a una misma lectura. También desarrollaremos una propuesta para estudiar los sellos por el diseño que presentan, aspecto de la investigación que no se había tratado hasta el momento.

En el capítulo tercero, presentaremos una nueva hipótesis sobre la función de los sellos, que nos permitirá abordar algunas preguntas básicas no resueltas de la investigación. Esta explicación del fenómeno creemos que es aplicable a todos los objetos manufacturados producidos en masa del llamado *instrumentum impressum*.

Una vez tenemos una hipótesis sobre la función de los sellos y hemos establecido cuales son los elementos relevantes de los mismos, sus familias, sus estructuras, sus lecturas y sus matrices, en el capítulo cuarto presentaremos nuevas herramientas específicas que nos permitirán optimizar la organización del material para extraer del mismo todo su potencial informativo.

Finalmente, en el capítulo quinto aplicaremos los modelos de estudio descritos, a los sellos de un conjunto de talleres vecinos de la parte final del territorio de *Corduba*. En nuestro trabajo de la *Scalensia* pudimos observar que por estas tierras se suceden una serie de alfarerías con un alto grado de “industrialización” para una dilatada actividad productora, en la que pueden observarse analogías en la organización y la gestión de las *figlinae*, por el diseño y el contenido de sus sellos. Aplicando las nuevas herramientas desarrolladas en capítulos anteriores, trataremos de explicar las características básicas de sus sistemas de sellado y plantearemos una hipótesis sobre la organización productiva de estas *figlinae* y su evolución en el tiempo.

⁵ El proyecto OLEASTRO es una iniciativa de Stéphane Mauné de la Universidad de Montpellier 3, en colaboración con de Enrique García Vargas de la Universidad de Sevilla.

AGRADECIMIENTOS.

Esta Tesis es el resultado final de más de 20 años de dedicación académica y personal a la investigación de la epigrafía anfórica. Este proceso comenzó a mediados de los años `90 del siglo pasado, en que recorrí los centros productores de estos envases, acompañado por mis colegas y amigos: Salvador Barea, Juan Luis Barea y el añorado Juan Solís, a quienes, modestamente, va dedicado este trabajo, ya que sin su colaboración no hubiese sido posible. Además, gracias a ellos la tarea desarrollada en estos años de prospección constituyó un verdadero placer que recuerdo con mucho cariño.

Quiero mostrar mi más especial agradecimiento a mi amigo Piero Berni, con quien he tenido el placer de analizar, debatir y compartir nuevos descubrimientos durante más de una década.

Me gustaría dar las gracias a algunas personas que han contribuido con datos y sellos para este trabajo: al profesor Remesal por su amabilidad al permitirnos incluir los sellos prospectados por él en nuestra zona de estudio y a los miembros del Proyecto OLEASTRO, entre los que me gustaría destacar a su investigador principal Stéphane Mauné y a aquellos con los que he tenido el placer de compartir información: Iván González Tobar y Oriane Bourgeon de la Universidad de Montpellier 3, y a mi buen amigo Enrique García Vargas de la Universidad de Sevilla, bajo cuya dirección realicé hace algunos años mi trabajo final del Máster de Arqueología.

Estoy igualmente agradecido a mis amigos y colegas del grupo de investigación CEIPAC de la Universidad de Barcelona, que han contribuido a crear un ambiente óptimo para poder afrontar la dura tarea de elaborar esta Tesis. No indico sus nombres por temor a dejar fuera alguno de ellos, pero, después de cuatro años de compartir despacho, todos ellos saben a quienes me refiero.

Esta Tesis se ha podido realizar en el marco de los proyectos del *European Research Council* (EPNET) *Production and Distribution of Food during the Roman Empire: Economic and Political Dynamics* (ERC-2013-ADG-340828) y MINECO/FEDER, UE (HAR2015-66771-P). Pertenecer a un grupo de investigación de este nivel, ha sido un verdadero privilegio y toda una experiencia a nivel intelectual y humano. Por todo ello, quiero expresar mi agradecimiento a su investigador principal, el profesor José Remesal, y a todos los miembros del equipo con los que he compartido cinco intensos años de investigación.

Finalmente quiero expresar mi gratitud a mis directores de Tesis: José Remesal Rodríguez y a Antonio Aguilera Martín, por sus sugerencias e ideas de las que tanto provecho he sacado, por su respaldo y confianza en los duros momentos que toda Tesis lleva aparejados.

CAPÍTULO 1.- LOS CONTENIDOS Y LAS ESTRUCTURAS DE LOS SELLOS.

Introducción.

Los sellos de las ánforas olearias Dressel 20 están compuestos por uno o varios elementos simples, en una disposición determinada a la que denominamos “**estructura del sello**”. La estructura de cada sello queda esquematizada por su “**fórmula epigráfica**”.

En este capítulo incluimos las bases interpretativas sobre las que nos apoyamos para establecer los contenidos de los sellos (1.1). A continuación, incluimos nuestro criterio de clasificación de estos contenidos, que presentamos hace algunos años⁶ (1.2), y los convenios adoptados para representar las diversas estructuras de los sellos mediante su fórmula epigráfica (1.3). Aplicamos este esquema a 2470 sellos con lecturas distintas (1.4). A partir de este material hemos elaborado las primeras estadísticas generales sobre las estructuras que presentan los sellos de las ánforas olearias béticas (1.5) y su evolución en el tiempo (1.6), lo que nos permitirá describir las características básicas del sistema de sellado. También dedicamos un apartado a los casos en que encontramos varios sellos en un mismo envase, todavía escasos, y proponemos una descripción del fenómeno (1.7).

1.1.- Bases interpretativas y antecedentes.

Dressel⁷ presentó la primera sistematización de los contenidos de los sellos de las ánforas olearias béticas realizada a partir, fundamentalmente, del abundante material procedente del Monte Testaccio y de los *Horti Torlonia*, y publicado magistralmente en el CIL XV-2. Respecto al asunto que tratamos, dos fueron los logros fundamentales de este trabajo: establecer los contenidos básicos de los sellos y ordenar los sellos en el *corpus* en virtud de dichos contenidos. Siguiendo estos criterios generales, los sellos se organizan en el CIL XV con el siguiente esquema: sellos con referencia a emperadores - sellos con indicación de un **topónimo** - sellos que incluían personajes representados por unos *tria nomina*, que organizó alfabéticamente por el **nomen**, entre los que intercaló a los personajes representados únicamente por un **cognomen**, ordenados por este elemento. En general, los autores sucesivos siguieron las tesis de Dressel en cuanto a los contenidos de los sellos y las formas básicas en que estos elementos se relacionaban.

⁶ Barea *et al.* 2008: 27.

⁷ Dressel 1878: 131-146.

Un problema básico en el estudio de este tipo particular de documento epigráfico es determinar la lectura y el desarrollo de los contenidos de cada sello. Esta tarea puede llegar a resultar muy compleja debido a que los sellos presentan, en general, un formulario fuertemente contraído susceptible de múltiples interpretaciones. Para resolver sus lecturas resulta imprescindible conocer los sellos en su ambiente epigráfico, es decir, debemos conocer los sellos en los centros productores que los utilizaron. En este sentido, el modelo de estudio definido por Remesal al presentar el material de “La Catria” nos permitió avanzar en la investigación al analizar la epigrafía de cada centro productor de manera individualizada⁸. En estas condiciones podremos leer y desarrollar los sellos desde una base epigráfica sólida.

Berni ha sido el autor que más ha profundizado en el estudio de las estructuras de los sellos de las ánforas olearias béticas. Esta línea de investigación, sugerida por Remesal⁹, se inicia en 1996 en su trabajo *Amphora Epigraphy: proposals for the study of stamp contents*. En este trabajo se describen los elementos que componen los sellos, que básicamente coinciden con los definidos por Dressel. Los sellos se clasifican por sus contenidos según el cuadro que incluimos en la figura 1.

Contenido simple	mono-nominales	<i>tria nomina, dua nomina, cognomen</i>	
	de alfarería	<i>figlina, fundus, officina</i>	
	nombres serviles	<i>cognomen</i>	
	símbolos	<i>ramus palmae, delfinus dextrorum...</i>	
	palabras de significado oscuro	<i>portus</i>	
Contenido compuesto	asociaciones nominales		
	asociaciones múltiples simples	combinaciones dobles	mono-nominal + alfarería
			mono-nominal + nombre servil
			alfarería + nombre servil
			porto + tria nomina
			asociaciones nominales + alfarería
		combinaciones triples	mono-nominal + alfarería + nombre servil
asociaciones múltiples con elementos complejos			

Figura 1.- Clasificación de los sellos béticos por sus contenidos en Berni 1996.

En el trabajo se presentan nuevos conceptos, **campo índice** y **campos ordinales**. El campo índice sería la lectura del sello desarrollando las posibles ligaduras. Los campos ordinales estarían compuestos por los cinco elementos básicos que componen los sellos: *praenomen*, *nomen*, *cognomen*, lugar de producción y nombre servil (figura 2).

⁸ Remesal 1977-178.

⁹ Remesal 1992: 108: “A questo proposito, riteniamo che gli studi sull’*instrumentum domesticum* debbano mirare soprattutto alla localizzazione dei luoghi di produzione dei vari instrumenta, in modo tale che l’informazione, sia tipologica che epigrafica, possa essere ordinata secondo i centri di produzione; soltanto in questo modo acquisteranno senso pieno gli oscuri testi dei bolli”.

CAMPO ÍNDICE	ORD1	ORD2	ORD3	ORD4	ORD5
CIALB	C	I	Alb	-	-
CSEMPOLY	C	Sempronius	Polyclitus	-	-
FIGMEDIANE	-	-	-	Mediana	-
HERMESF	-	-	-	-	Hermes
PAHSCALH	P	A	H	Scal	H
QFRRIV	Q	F	R	Rivensis	-
SCALESIAGEME	-	-	-	Scalensis	Geme

Figura 2.- Ejemplos de campo índice y ordinales en Berni 1996.

Berni utiliza el término “estructura” para definir los aspectos formales de los sellos. Estos aspectos formales serían: ligaduras, signos de interpunción, cambio de orientación de una letra, etc. Lo que nosotros hemos definido como “estructura del sello” se resuelve en ese trabajo de Berni con el concepto *codex*, que codifica con números, letras y signos, los elementos que aparecen registrados en los sellos. El sistema resulta complejo y en sucesivos trabajos el autor terminará por sustituirlo por marcadores y fórmulas epigráficas (*vide infra*), que resultan más prácticas y fáciles de utilizar.

En este trabajo pionero, Berni nos da las claves para analizar las estructuras de los sellos. En ese momento, finales de los '90, el autor estaba trabajando junto a Remesal y Antonio Aguilera en la elaboración de la base de datos sobre epigrafía anfórica ideada y promovida por Remesal y desarrollada durante muchos años en el CEIPAC¹⁰. El enfoque de Berni en este artículo entra tanto en el campo de la epigrafía como en el de la informática, es decir, entendemos que su objetivo era elaborar protocolos para hacer posible que los ordenadores pudiesen manejar esta información. Ello hace que al historiador o al epigrafista le pueda resultar arduo el planteamiento presentado en un artículo de carácter muy técnico.

En 2008 Berni publica su tesis doctoral “*Epigrafía anfórica de la Bética, nuevas formas de análisis*” donde retoma el problema de las estructuras de los sellos y le dedica el capítulo cuatro. Este capítulo de la tesis de Berni nos exime en gran medida de la labor de volver a presentar en nuestro trabajo las bases interpretativas sobre la que apoyamos nuestra clasificación de las estructuras de los sellos. Pasamos a comentar brevemente los contenidos de ese capítulo de la tesis de Berni.

En bases interpretativas el autor nos hace un repaso de las principales aportaciones relativas a establecer los contenidos de los sellos. Las planteadas por Dressel en “*Ricerche sul Monte Testaccio*”¹¹ y en el CIL XV y las bases metodológicas planteadas por Remesal para descifrar la lectura de los sellos en “*Economía oleícola de la Bética, nuevas formas de análisis*”¹² y en “*Reflejos económicos y sociales en la producción de las ánforas olearias béticas (Dr.20)*”¹³.

Con respecto a las aportaciones del propio Berni, en 4.2 repasa los contenidos de los sellos tomando como base su trabajo de 1996, que básicamente coinciden con los planteados por Dressel. Divide los contenidos en dos categorías, **indicaciones onomásticas** (nombres de individuos) y **toponomásticas** o **toponímicas** (nombres de lugares de producción). Las indicaciones

¹⁰ La base de datos del CEIPAC -Universidad de Barcelona- cuenta con más de 40.000 referencias sobre sellos anfóricos. Esta base de datos puede consultarse a través de internet en <http://ceipac.ub.edu>. Más información en Remesal, Berni & Aguilera 2008: 247-264.

¹¹ Dressel 1878: 131-146.

¹² Remesal 1977-1978.

¹³ Remesal 1981.

toponomásticas son relativamente frecuentes y se generan cuando los topónimos derivan del nombre de una persona, mientras que las denomina toponímicas cuando los nombres de los lugares de producción derivan de cualquier otra circunstancia. Los elementos principales de los sellos serían: *nomina*, lugar de producción y *cognomina*. Al primer grupo corresponderían individuos libres (ingenuos o libertos) que suelen recogerse en los sellos por sus *tria nomina*. Los nombres de lugar se expresan con significados diversos: *figlina*, *fundus*, *portus*, *officina* o un nombre de ciudad. El tercer grupo se presenta con simples *cognomina*, tradicionalmente definidos como “nombres serviles” y atribuidos a trabajadores de las alfarerías. En raras ocasiones, nos dice el autor, se recogen elementos secundarios (a los que nosotros llamaremos ATRIBUTOS) cuya función es expandir el significado de los elementos principales de los sellos.

A continuación, se incluye un apartado denominado **formas de representación**, en el que se recogen las diversas formas en que pueden presentarse los elementos que componen los sellos, así nos habla de sellos **mono-nominales** y de **asociaciones nominales**. También de sellos de **contenido simple**, que corresponden a aquellos que presentan un único elemento clave, o de **contenido compuesto** si presenta varios elementos claves de igual o distinta clase. La estructura de un sello se esquematiza por su **fórmula epigráfica** y para ello se vale de una serie de marcadores que se recogen en la figura 3.

MARCADOR	SIGNIFICADO	MARCADOR	SIGNIFICADO
T o PNC	<i>tria nomina (praenomen + nomen + cognomen)</i>	P	<i>Portus</i> (solo o junto al nombre del puerto)
PN	<i>duo nomina (praenomen + nomen)</i>	U	<i>urbs</i> (sin la indicación de ‘ <i>portus</i> ’)
NC	<i>duo nomina (nomen + cognomen)</i>	IGN	<i>ignotus</i>
N	<i>nomen</i>	INC	<i>incertus</i>
C	<i>cognomen</i>	núm. marcador	número determinado de individuos en una <i>societas</i>
F	<i>figlina o fundus</i>	* marcador	número indeterminado de individuos en una <i>societas</i>
O	<i>officina</i>		

Figura 3.- Marcadores de contenido de los sellos béticos en Berni 2008.

Si el sello es de contenido compuesto, los marcadores se recogen con llaves { }. En la figura 4 presentamos algunos ejemplos de las fórmulas epigráficas de varios sellos que nos ayudarán a entender el sistema propuesto.

sello índice	fórmula epigráfica	sello índice	fórmula epigráfica
CMARISILV	PNC	ARVA/SALS	{U + F}
LSTATI	PN	AVGVSTALF	C
IVLINIGRI	NC	PAHSCAL	{T + F}
ALFIORVM	{*N}	SCALENSIAGEME	{F + C}
IIMINACRETCAL	{2NCC}	QNDFAB	{T + C}
BAETICRVFINI	{2CC}	IIMIN/ICIOR	{3N}
FIGGEM/ELLIANI	F	IIENNORIVLIOR	{3NN}
EXOFCBEL	O	IIIVNMELISSI/ETMELISSE	{2NCC}

Figura 4.- Algunos ejemplos de fórmulas epigráficas en BERNI 2008, 134.

En el apartado 4.2.2 se trata lo que el autor denomina **formas de relación**, donde clasifica los distintos tipos de combinaciones que se pueden producir entre los elementos que componen los sellos. Estas formas de relación vienen determinadas por grados. Según el autor, tenemos una forma de relación de **primer grado** si los elementos relacionados pertenecen a la misma clase, de **segundo grado** si son dos los elementos de diferente clase (a las que nosotros llamaremos binas) y de **tercer grado** si intervienen los tres tipos de elementos clave (que llamaremos ternas). Estas asociaciones de elementos clave se pueden solucionar con un único sello o con varios de ellos situados en un mismo envase, hasta un máximo de tres sellos diferentes por envase. En los siguientes párrafos el autor nos describe las diferentes maneras en que pueden presentarse los elementos en las distintas formas de relación, el orden en que aparecen los elementos en los sellos o las posiciones que estos adoptan en las ánforas cuando se generan con varios sellos. Finalmente, nos recuerda que, aunque los elementos que componen los sellos son siempre los mismos, el modo de combinarse es complejo y cada alfarería tiene su forma de hacerlo.

En el apartado 4.2.3, el autor trata el asunto que llama **colisión de elementos clave**. La brevedad de los textos de los sellos, con elementos fuertemente contraídos, hacen difícil identificar a los elementos que los componen. En muchos casos el mensaje se presenta ambiguo al no contar con otras circunstancias internas o externas al sello que nos permitan precisar cuál o cuáles son los elementos que lo componen. A continuación, repasa los casos más habituales de colisión entre elementos clave, que nosotros trataremos en el apartado 1.4.

En los apartados 4.3 y 4.4 describe en profundidad las características que presentan los diversos elementos que componen los sellos: nombres de personas, asociaciones nominales, *clarissimus vir*, colonos y, para los lugares de producción: *officina*, *figlina*, *fundus* y *portus*. El capítulo se cierra con un glosario de nombres de talleres de las ánforas olearias béticas atestiguados en los sellos y en los *tituli picti* de las ánforas Dr.20.

Hasta aquí el recorrido. Con Dressel, a finales del s.XIX, quedaron sentadas las bases sobre los contenidos de los sellos y cómo se relacionaban estos contenidos, aspecto básico para confeccionar los *corpora*. Remesal establece las bases interpretativas que nos permiten datar, leer y desarrollar los sellos en su ambiente productivo. El concepto de estructura surge más tarde y, como consecuencia, el concepto de fórmula epigráfica, que no es más que un esquema de la estructura que presenta cada sello. Es mérito de Berni el haber profundizado en el aparato teórico necesario para describir y analizar las estructuras de los sellos béticos, aportación que con el paso del tiempo se ha ido completando y sobre todo haciéndose más accesible y facilitando su puesta en práctica. Partiendo de estas sólidas bases, a continuación, presentamos nuestra visión del asunto.

Nuestro modelo para establecer las estructuras de los sellos difiere con el de Berni en dos aspectos. Por un lado, creemos que los diversos elementos por él definidos (marcadores) se pueden agrupar en categorías superiores, por ejemplo, en nuestro caso hemos agrupado todos los elementos que hacen referencia a los lugares de producción bajo la clase TOPÓNIMO, que engloba a las *figlinae*, *officinae*, *fundi*, *portus* y *urbs*. Por otra parte, nos parece importante que las fórmulas epigráficas recojan los ATRIBUTOS que pueden acompañar a los elementos principales de los sellos, que resultan particularmente importantes en el caso de los TOPÓNIMOS. Para solucionar estos dos aspectos proponemos la siguiente clasificación de los contenidos de los sellos de las ánforas olearias béticas.

1.2.- Nuestra clasificación de los contenidos de los sellos.

En 2008 presentamos nuestro estudio sobre los sellos de la *figlina Scalensia*¹⁴. En el *corpus* de sellos se introdujo por primera vez el campo “estructura”. Lo definíamos de la siguiente manera: “los sellos están compuestos por uno o varios elementos simples en una disposición determinada a la que denominamos *estructura*”. Para codificar este campo presentábamos una clasificación de los contenidos de los sellos, que podemos ver resumida en la figura 5 y que pasamos a comentar. Por su jerarquía en la inscripción, los contenidos de los sellos se pueden dividir en **elementos principales** y sus **ATRIBUTOS** (columnas de la tabla de la figura 5). Por su contenido, a su vez, se pueden dividir en nombres de personas -indicaciones onomásticas de Berni- y nombres de lugares -indicaciones toponímicas y toponomásticas de Berni- (filas de la tabla de la figura 5).

JERARQUÍA CONTENIDO	Elementos principales	Elementos secundarios (ATRIBUTOS).
Nombres de personas	Personajes principales TRIA NOMINA (P+N+C1)	(A1) <i>clarissimus vir, pater et filius, numerales</i>
	Personajes subordinados COGNOMINA (C2)	(A2) <i>servus, libertus, fecit</i>
Nombres de lugares.	TOPONIMOS (T)	(A3) <i>figlinae, officinae, fundi, coloniae, portus.</i>
Símbolos	SIMBOLO (s)	

Figura 5.- Cuadro simplificado de los contenidos de los sellos.

1.2.1.- Elementos principales de los sellos.

Como hemos visto, los elementos principales de los sellos recogen nombres de personas o nombres de lugares. A su vez, los **nombres de personas** corresponden a dos tipos de individuos que se presentan en los sellos con un orden jerárquico: personajes principales y subordinados.

Los **personajes principales**, a los que en nuestro campo de estudio se suelen denominar genéricamente como “TRIA NOMINA”, corresponden a individuos de condición libre (ingenuos o libertos) y pueden venir representados en los sellos con todos los elementos básicos que componen la onomástica romana, *praenomen*, *nomen* y *cognomen*, o solo por algunos de ellos, incluso únicamente por un *cognomen*¹⁵. Si se trata de una mujer, vendrá representada por su *nomen* y *cognomen* o solo por alguno de ellos. En ocasiones el titular del sello no es una persona, sino una sociedad compuesta por varios individuos¹⁶ e incluso el elemento puede venir representado por una institución como en el caso de los sellos del Calendario Vegetiano¹⁷. Como veremos, en el esquema

¹⁴ Barea *et al.* 2008.

¹⁵ Sirvan como ejemplo los conocidos casos de los sellos POLYCLITI (Colls *et al.* 1977: p.30, figura 11.9) y AMETHYST (Callender 1965: n°74), que, por otros sellos de sus respectivas series, sabemos que ocultan a los personajes C. *Sempronius Polyclitus* y L. *Valerius Amethystus*.

¹⁶ Estas sociedades se pueden resolver en los sellos de múltiples formas (Berni 2008: 146-148).

¹⁷ Sobre su razón de ser en las ánforas olearias béticas se han ocupado: Manacorda 1977c, Remesal 1980: 149 ss.; id. 1996; Lomas & Sáez 1981; Sáez Fernández & Chic 1983; Chic 1996; Guichard 1991, Moros 2014.

jerarquizado que presenta el sistema de sellado corresponderían a los personajes principales de los sellos.

Denominamos genéricamente como “COGNOMEN” a **personajes subordinados** que se presentan en los sellos con nombres simples y suelen mostrarse subordinados al resto de los elementos (*vide infra*). Como en el caso del grupo anterior, estos personajes pueden aparecer en los sellos formando asociaciones¹⁸.

En el capítulo 3 desarrollaremos nuestras hipótesis sobre el significado de cada uno de los elementos que componen los sellos y cómo entendemos que se articulan estos elementos en el sistema productivo.

Los **nombres de lugares**, que denominamos genéricamente “TOPÓNIMOS”, hacen referencia, a distintas escalas, a los lugares de producción de los envases. Así tenemos, de mayor a menor escala: nombres de municipios romanos ribereños y sus *portus*, propiedades agrícolas (*fundi, coloniae*), las *figlinae* o talleres cerámicos propiamente dichos y, parece que subordinadas a estas, tendríamos las *officinae*. Como en los casos de los otros elementos que componen los sellos (TRIA NOMINA y COGNOMEN), en un mismo sello podemos tener varios TOPÓNIMOS¹⁹.

Los nombres de los municipios romanos pueden aparecer solos (*Canania, Arva*) o acompañados del ATRIBUTO *portus*, (*Arva, Carmo* y quizás *Odu(cia)*). El término *portus* haría referencia a barrios artesanales situados junto a estos municipios ribereños del *conventus Hispalensis*.

Las referencias a propiedades agrícolas son muy infrecuentes en los sellos de las ánforas olearias béticas. Solo conocemos dos sellos que hagan referencia explícita a unos *fundi -Perseiani* y *Bel()*²⁰. En nuestra opinión, las referencias a colonias *-Earini()*, *Sic()*, *Asi()* *Leopar()* y *Sosumae-*, sólo las conocemos asociadas a sellos de talleres relacionados con la administración imperial - *Barba()*, *Ceparia*, *Grume(n)se* y quizás *Cucum()*- y harían referencia a propiedades agrícolas organizadas en régimen de colonato²¹, a las que se vinculan uno o varios centros productores.

Las *figlinae* serían los talleres propiamente dichos y conocemos un buen número de ellas tanto por los propios sellos, como por los *tituli delta*²². Una *officina* sería un ámbito funcional dentro de una *figlina* destinado a la fabricación de ánforas²³.

Finalmente, en determinados talleres del territorio de *Corduba*, un mismo sello puede venir acompañado de otros sellos que presentan distintos SÍMBOLOS²⁴. Entendemos que su función sería la de diferenciar producciones dentro del taller. En el capítulo 3 volveremos sobre la cuestión.

¹⁸ Sirvan como ejemplos los sellos de *Telephus* de la *figlina Scalensia* (Barea *et al.* 2008: nº10).

¹⁹ Sirva como ejemplo el sello ARVA/SALS (Callender 1965: nº130d).

²⁰ Para estos casos contamos con los sellos: FUNDI/PERSEIANI (CIL XV 2618) y FUNBE/LRPI (Remesal en Testaccio 1999, nº16a).

²¹ Esta acepción del término “colonia” haciendo referencia a propiedades agrícolas puede verse muy claramente en la tabla de *Veleia* (CIL XI, 1147). El desarrollo de esta hipótesis para la interpretación del elemento *col()* en los sellos de las ánforas olearias béticas puede consultarse en Moros 2014: 850-853.

²² Un glosario de los nombres de las *figlinae* conocidas podemos consultarlo en Berni 2008: 168-187.

²³ Véase la definición genérica ofrecida por pera el caso de los talleres relacionados con la producción de los ladrillos de Roma en Helen 1975: 37-38.

²⁴ Mas información sobre estos sellos simbólicos en Berni 2008: 121-122.

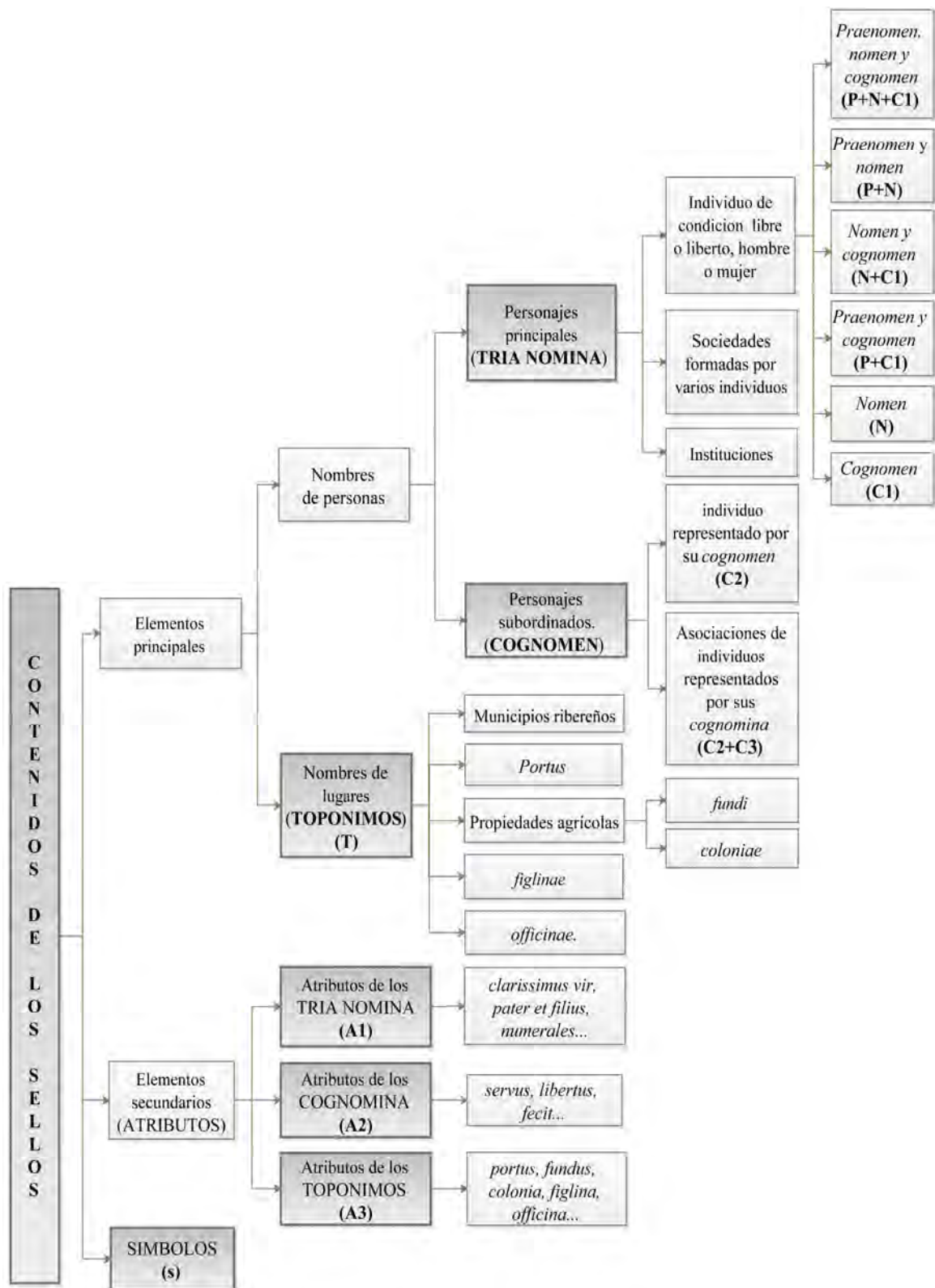


Figura 6.- Propuesta de clasificación general de los contenidos de los sellos de las ánforas olearias béticas.

1.2.2.- Elementos secundarios de los sellos (ATRIBUTOS).

En algunos casos, los elementos principales de los sellos descritos en el apartado anterior vienen acompañados por ATRIBUTOS, es decir, **elementos secundarios** que cualifican y precisan el significado del elemento principal al que acompañan. Así tenemos ATRIBUTOS que acompañan a los TRIA NOMINA (*clarrisimus vir, pater et filius, numerales*), los que acompañan a los COGNOMINA (*servus, libertus, fecit*) y, finalmente, los que acompañan a los TOPÓNIMOS (*portus, fundus, colonia, figlina, officina*). En la figura 6 resumimos el apartado con un esquema general que recoge nuestra propuesta para clasificar los contenidos de los sellos.

1.3.- Lectura, desarrollo, estructura y fórmula epigráfica de los sellos.

Comenzamos el apartado con algunas definiciones. Denominamos **lectura** de un sello al texto que presenta resolviendo los posibles nexos y sin incluir puntos, que es a lo que Berni denomina “sello índice o campo índice”. Llamamos **desarrollo** del sello a la interpretación y desarrollo, hasta donde nos es posible, de los elementos que componen su texto. Como hemos visto, llamamos **estructura** a las diversas disposiciones que presentan los elementos simples que componen los sellos. Debemos hacer algunas precisiones importantes sobre cómo se recogen los diversos elementos de los sellos en las estructuras. Siguiendo una convención de nuestro campo de estudio, los personajes principales del sello se recogen genéricamente dentro de la clase TRIA NOMINA (en versales), aun entendiendo que en algunos casos no todos los elementos básicos de la onomástica romana están presentes en la inscripción, bien porque no se recojan, bien porque se trate de una mujer, una sociedad de individuos o una institución. Los personajes subordinados expresados con nombres simples se recogen en la clase COGNOMEN. Los elementos que presentan nombres de lugares se recogen en la clase TOPÓNIMO.

Siguiendo a Berni, la estructura de cada sello queda codificada por su **fórmula epigráfica**. En ella se establece la composición y disposición que presentan los elementos de los sellos. En la figura 5 podemos ver el convenio utilizado por nosotros para generarla (marcadores):

Elementos principales:

- Los TRIA NOMINA se descomponen en sus tres elementos, *praenomen* (P), *nomen* (N) y *cognomen* (C1). Como hemos comentado arriba, estos elementos pueden aparecer todos o solo algunos de ellos, incluso un personaje principal puede venir representado únicamente por su *cognomen*. En estos casos, éste último elemento se representa como “C1” para diferenciarlos de los personajes subordinados, que se recogen como “C2 o C3”. Si el subíndice es “1” significa que conocemos desarrollados el resto de los elementos de los *tria nomina* del personaje en otros sellos relacionados.
- Los COGNOMINA se recogen como “C2” o “C3”, si se da el caso de que tenemos varios.
- Los TOPÓNIMOS con la letra “T”

Elementos secundarios:

- Los ATRIBUTOS de los TRIA NÓMINA como “A1”, los de los COGNOMINA como “A2” y los asociados a los TOPÓNIMOS como “A3”.

Símbolos:

- Los sellos que únicamente presentan un SÍMBOLO se recogen como “s”.

En la figura 7 recogemos dos ejemplos de sellos de contenido compuesto de la *figlina Scalensia* que nos pueden servir para entender el sistema. El sello de lectura PAHSCALV (Barea *et al.* 2008: n° 2) se puede desarrollar como *P. A() H() Scal(ensia) V()* y está compuesto por tres elementos, el *praenomen*, *nomen* y *cognomen* del personaje principal, el nombre del taller, *Scal(ensia)*, más un personaje subordinado representado por la inicial *V()*. De modo que su estructura quedaría: TRIA NOMINA + TOPÓNIMO + COGNOMEN y su fórmula epigráfica resultante: P+N+C1+T+C2.



	Lectura	PAHSCALV
	Desarrollo	<i>P.A() H() Scal(ensia) V()</i>
	Estructura	TRIA NOMINA + TOPÓNIMO + COGNOMEN.
	Fórmula epigráfica	P+N+C1+T+C2
	Lectura	LFCCVFS
	Desarrollo	<i>L.F() C() c(larissimi) v(iri) (ex) f(iglinis) S(calensibus)</i>
	Estructura	TRIA NOMINA + ATRIBUTO #1 + ATRIBUTO #3 + TOPÓNIMO
	Fórmula epigráfica	P+N+C1+A1+A3+T

Figura 7.- Lectura, desarrollo, estructura y fórmula epigráfica de los sellos PAHSCALV y LFCCVFS de la *Scalensia*.

Para el segundo ejemplo tenemos el sello de lectura LFCCVFS (Barea *et al.* 2008: n° 5) que desarrollamos: *L. F() C() c(larissimi) v(iri) (ex) f(iglinis) S(calensibus)*. En este caso tenemos las iniciales de los *tria nomina* del personaje principal, un ATRIBUTO asociado a él que nos indica que dicho personaje pertenecía al ordo senatorial, *c(larissimus) v(ir)*, un ATRIBUTO del topónimo en ablativo plural *(ex) f(iglinis)*, más el topónimo *S(calensibus)*²⁵. Con esta interpretación, la estructura del sello sería TRIA NOMINA + ATRIBUTO #1 + ATRIBUTO #3 + TOPÓNIMO y por tanto la fórmula epigráfica resultante quedaría: P+N+C1+A1+A3+T.

1.4.- Elaboración de la tabla de las estructuras de los sellos.

Para comprobar la viabilidad del sistema planteado en el apartado anterior, lo hemos aplicado a las lecturas de la tabla confeccionada por Berni para su tesis doctoral publicada en 2008 que contaba con 2540 registros²⁶. En la tabla se recogían todas las lecturas distintas de los sellos de Dressel 20 conocidos hasta ese momento.

Nuestra aportación a la tabla ha sido establecer la estructura de cada sello, según el modelo descrito anteriormente, partiendo del desarrollo de la lectura que propuso Berni en cada caso. Consideramos que estos desarrollos estaban hechos desde un profundo conocimiento de los sellos y desde una base metodológica sólida. No obstante, en determinados sellos hemos considerado lecturas alternativas a las de Berni, particularmente cuando contábamos con más información que el autor para solucionar determinados casos. En la figura 8 tenemos un esquema del contenido de la tabla, donde cada lectura (filas) presenta varios campos (columnas). Los campos sombreados señalan nuestra aportación a la tabla original de Berni.

²⁵ Los convenios utilizados para desarrollar las lecturas de los sellos pueden consultarlo el apartado 1.4 de este trabajo.

²⁶ Berni 2008: 557-607.

Campos		Columna	Definición del campo
Contenidos de los sellos	<i>Tria nomina</i>	A	<i>Praenomen</i> (N)
		B	<i>Nomen</i> (N)
		C	<i>Cognomen</i> (C1)
		D	ATRIBUTOS de los <i>tria nomina</i> (A1)
	<i>Cognomina</i>	E	<i>Cognomen</i> (C2)
		F	ATRIBUTOS de los <i>cognomina</i> (A2)
	Topónimo	G	Topónimo (T)
		H	ATRIBUTOS de los topónimos (A3)
	Otros elementos	I	Símbolo (s)
	Estructura	J	Fórmula epigráfica
Datos básicos del sello.		K	Número del sello en la tabla.
		L	Lectura del sello resolviendo los nexos y sin incluir los puntos (sello índice)
		M	Desarrollo propuesto para la lectura
		N	Lugar de hallazgo en Andalucía, si se conoce.
Dataciones	Forma tipológica del ánfora	O	Forma I: julio-claudia (ca. 30-50 d.C.)
		P	Forma II: Nerón-Vespasiano (ca. 50-80 d.C.)
		Q	Forma III: Flavio-trajanea (ca. 80-130 d.C.)
		R	Forma IV: antoniniana (ca. 130-190 d.C.)
		S	Forma V: severiana y postseveriana (s.III d.C.)
	Datación	T	Dataciones del sello, si se conocen.

Figura 8.- Campos considerados en la tabla de sellos.

Algunas consideraciones sobre la confección de la tabla. Si no tenemos otras circunstancias internas o externas de los sellos que nos ayuden a descifrar el mensaje, éstos pueden presentar varias soluciones posibles. Esto es a lo que Berni²⁷ llamaba “colisión entre elementos clave”. Las más usuales son:

• **Dudas entre -P+N+C1/ C2 / T- en sellos de contenido simple.**

Se produce especialmente en sellos trilaterales sin puntos. Son relativamente frecuentes los casos en que un sello trilateral sin puntos puede resolverse de varias maneras distintas: ADE, BAR (BVR), CAD, CAI, CEC, CER, CAL, CAS, GRA, CVP, DAP, DOR, etc. Ponemos como ejemplo ilustrativo el caso del sello CER, publicado en el CIL XV y desconocido hasta el momento en Andalucía. No presenta puntos, de modo que tanto puede resolverse como unos *tria nomina* trilaterales -C. E() R(-), como *cognomen* -ej. *Cer(ialis)*- e incluso como un nombre de taller -ej. *C<a>eraria* o *Ceraria*-, *figlina* bien conocida del territorio de Córdoba.

²⁷ Berni 2008: 137-139.

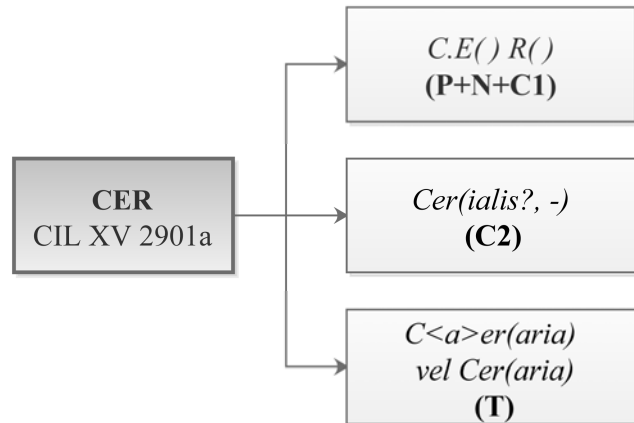


Figura 9.- Distintas soluciones del sello CER (CIL XV 2901a).

También se puede reproducir este problema en sellos compuestos por más de tres letras, por ejemplo, es bien conocida la controversia surgida por la interpretación del sello de la Catria SISEN²⁸ (figura 9).

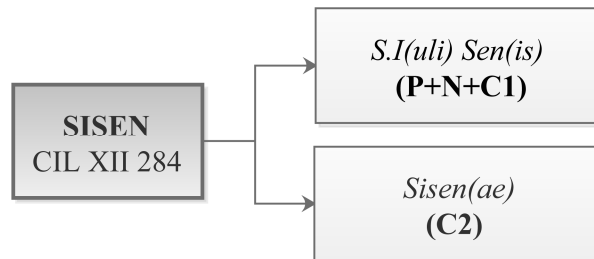


Figura 10.- Distintas soluciones del sello SISEN (CIL XII 284).

• Dudas sobre si el sello es de contenido simple o compuesto.

Se produce en sellos compuestos por cuatro letras o más que no presentan puntos. Ponemos como ejemplo ilustrativo del problema el caso extremo del sello GRAP (CIL XV 3122) que, como sello de contenido simple, puede desarrollarse como TRIA NOMINA -con dos soluciones posibles: *G. Ra() P() vel G. R() Ap()*- o como un COGNOMEN -*Grap(ti,-)*-. A su vez, como sello de contenido compuesto, *Gra()* podría corresponder a un TOPÓNIMO, asociado a un COGNOMEN *P()*. Finalmente, podemos tener unos TRIA NOMINA *G.R() A()* asociados a otro elemento *P()* que tanto podría corresponder a un TOPÓNIMO, a un COGNOMEN o a una referencia a *p(ortus)* (figura 11). Todas las estructuras resultantes son bien conocidas en la epigrafía de los sellos béticos, de modo que si no tenemos ningún componente interno o externo del sello que nos haga decantarnos por una u otra solución, como es el caso, en principio, todas serían igualmente válidas. En el apartado 1.6 volveremos sobre la solución de este sello.

²⁸ Colls *et al.* 1977: 32-33, nº 10. Remesal 1977-78: 113-114. Un resumen de la controversia y los argumentos de cada parte en Berni 2008: 137-138.

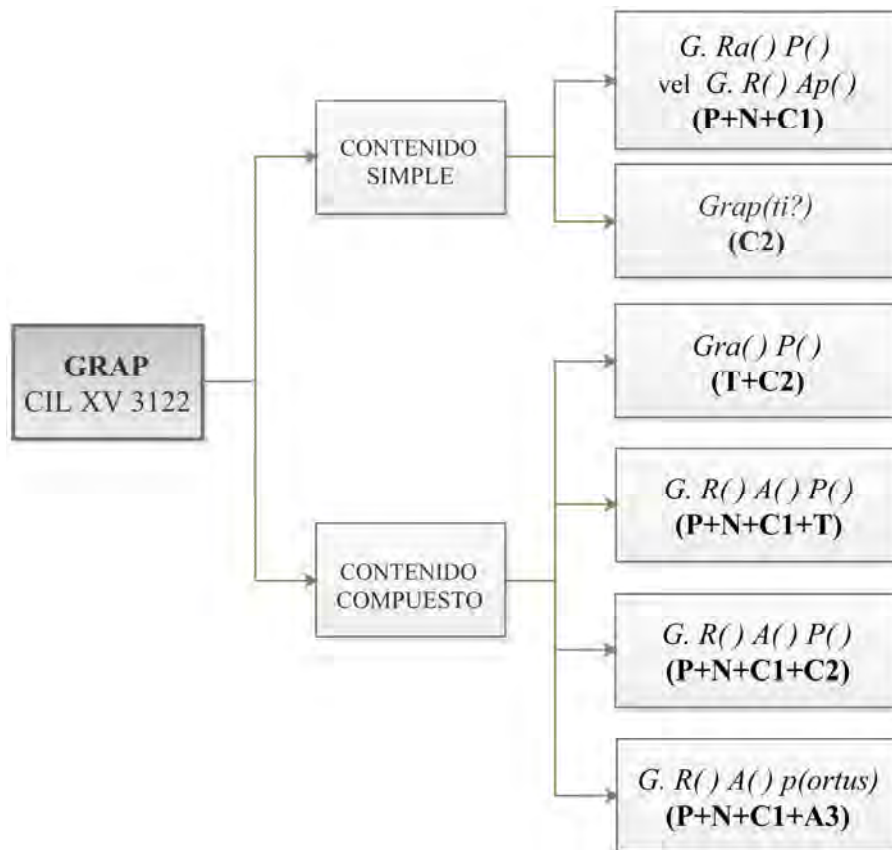


Figura 11.- Distintas soluciones del sello GRAP (CIL XV 3122).

- **Dudas entre C1 y C2.**

Conocemos varios casos en que el personaje principal del sello viene representado únicamente por su *cognomen*²⁹, de modo que puede confundirse con un personaje subordinado. Como hemos comentado, consideramos un *cognomen* como C1 cuando conocemos otros sellos relacionados con el personaje que presentan el resto de los elementos de los *tria nomina* al que corresponden. Si no tenemos esos datos los consideramos genéricamente como C2 y, por tanto, haciendo alusión a un personaje subordinado.

- **Dudas entre N/C1 y T:**

A veces, los nombres de las *figlinae*, *fundi* o *coloniae* derivan del *nomen* o del *cognomen* de un personaje. De modo que puede surgir la duda de si el elemento representa a una persona o a un nombre de lugar derivado del nombre de una persona (elementos toponomásticos de Berni). Sirvan como ejemplo las diversas interpretaciones de la conocida serie de sellos de *Urittius* (figura 12).

²⁹ Por ahora son pocos los casos que se han podido detectar. Sirvan como ejemplo los casos de los sellos POLYCLITI y AMETHIST comentados anteriormente (cf. nota 15) o los miembros de extenso clan de los *Servilii* de la zona productora situada a los pies de Mesas de Lora, a los que Berni les ha dedicado un estudio de caso (Berni 2008: 190-194).

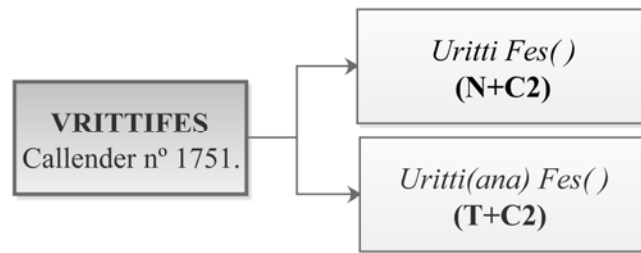


Figura 12.- Distintas soluciones del sello VRITTIFES.

Estas son las dudas más usuales a las que nos enfrentamos al desarrollar los elementos de los sellos. En estas condiciones, los sellos pueden presentar varias soluciones y en la tabla se han creado tantas filas como posibles soluciones tenga el sello. Estos casos ambiguos no serán tenidos en cuenta en las estadísticas de los siguientes apartados.

Otros detalles que hemos de tener en cuenta sobre la confección de la tabla.

- Como hemos visto, en ocasiones, el titular del sello (TRIA NOMINA) no es un individuo, sino una sociedad de individuos o incluso una institución, como es el caso de los sellos del Calendario Vegetiano. Estas sociedades de individuos se pueden construir en los sellos de muchas formas distintas y en algunos casos pueden llegar a ser complejas de resolver³⁰.
- El elemento “*ex officina*”, que clasificamos como ATRIBUTO de TOPÓNIMO al hacer referencia a un lugar físico de un centro productor (A3), puede, sin embargo, acompañar a unos *duo nomina* (EXOFCBEL), a un COGNOMEN (EXOFSECV) o a un TOPÓNIMO (OFSAXOFERREO).

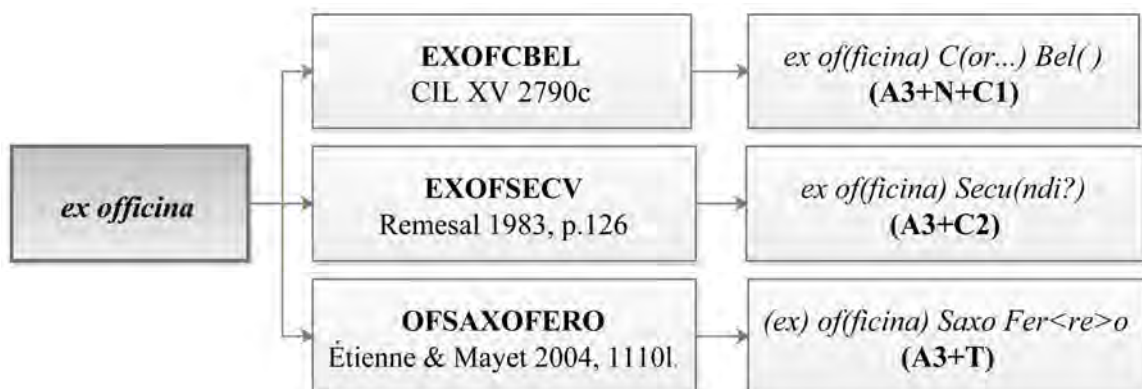


Figura 13.- Distintas combinaciones del ATRIBUTO de topónimo “*ex officina*”.

En 3.3 recogeremos un esquema de cómo creemos que se integran los elementos que componen los sellos en el sistema productivo de los talleres. En el estado actual de nuestros conocimientos, no queda claro donde encajar en ese esquema al elemento *ex officina*, pues, como hemos visto, el ATRIBUTO parece acompañar a cualquiera de los elementos que componen los sellos: TRIA NOMINA, COGNOMEN y TOPÓNIMO

³⁰ Sobre las diversas formas de expresar las sociedades de individuos en los sellos, Berni 2008: 146-148.

- Los numerales usualmente actúan como ATRIBUTOS de los TRIA NOMINA para indicar el número de individuos que componen una sociedad. Sin embargo, en la zona del Temple, en Almodóvar del Río, encontramos numerales que parecen hacer la función de nombres de lugar de producción³¹. Además, en una serie bien conocida de Villar de Brenes, los numerales I a IV se presentan como ATRIBUTOS del TOPÓNIMO acompañando al nombre del taller³².

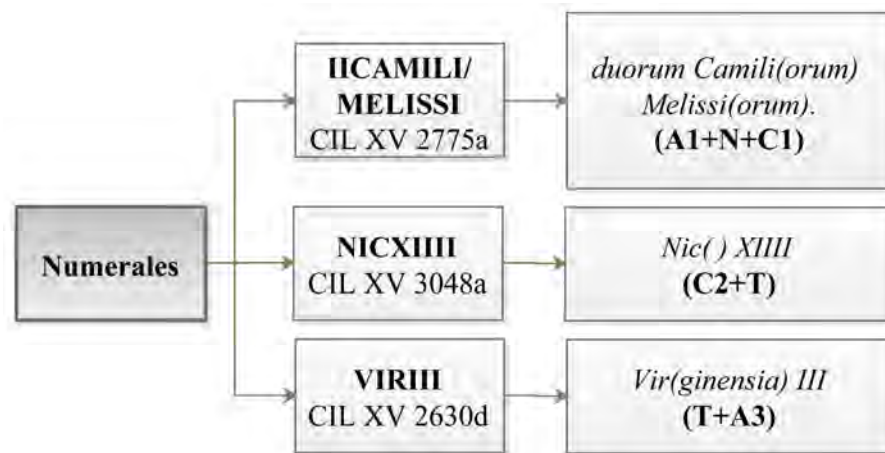


Figura 14.- Distintas interpretaciones de los numerales en los sellos béticos.

- Los ATRIBUTOS de los personajes son infrecuentes y suelen venir representados en los sellos por simples iniciales: *f(ecit)*, *s(ervus)*, *l(ibertus)* o *c(larissimus) v(ir)*, etc. Su interpretación y desarrollo se ha establecido por comparación con otros casos análogos en que el mensaje aparece más claro.
- Es muy frecuente que el ATRIBUTO de nombre de lugar de producción “*portus*” (A3) aparezca en los sellos sin su topónimo asociado. Hasta ahora conocemos esta circunstancia en las producciones de **La Catria** y en al menos una serie de **Villar de Brenes-Cruz Verde**.
- Los ATRIBUTOS de los topónimos hacen referencia explícita al centro productor con los desarrollos: *fig()*, *figl()*, *figul()*, *figlin()*, *figlina()* y *figlinas*. Como hemos visto, las referencias a propiedades agrícolas son muy infrecuentes en los sellos de las ánforas olearias béticas, no obstante existen: *fun()*, *fundi*. De modo que, cuando el ATRIBUTO del topónimo se presenta en los sellos con la inicial *f()*, lo que resulta muy frecuente, surge la duda de si está haciendo referencia al taller cerámico o a la propiedad donde éste se sitúa, ya que puede darse una correspondencia entre el nombre de la finca y el del centro productor. En los casos en que hemos encontrado este conflicto, hemos optado por desarrollarlo como *figlina* salvo cuando el desarrollo del propio topónimo invitaba a interpretarlo como *fundus*. Sea como fuere, la fórmula epigráfica del elemento no varía (A3+T).
- Finalmente, un aspecto controvertido del desarrollo de las lecturas de los sellos es tratar de establecer los casos gramaticales en que vienen declinados los diversos elementos que los

³¹ Berni 2008: 187.

³² Remesal 1980: 136-140.

componen. También en este aspecto seguimos las tesis de Berni³³. El autor ha realizado detallados estudios sobre la variada casuística que, a este respecto, presentan los sellos de las ánforas olearias béticas, muchas veces apoyando sus soluciones en los sellos de los ladrillos de Roma. En general, la epigrafía asociada a los ladrillos resulta más explícita que la de las ánforas, al presentar sus elementos más desarrollados.

Hasta aquí el recorrido por las circunstancias generales que han afectado a la elaboración de la tabla de las estructuras de los sellos. Como hemos visto, los sellos se muestran frecuentemente ambiguos y para resolver sus desarrollos se hace imprescindible conocer sus lugares de producción. Sólo en su entorno epigráfico podremos afrontar esta tarea desde una base epigráfica sólida. Desgraciadamente, solo conocemos el lugar de producción para un 40% de los sellos de la tabla. Otras lecturas podremos asociarlas a un determinado taller, aunque el sello no haya sido recogido en centros de producción, porque contenga un TOPÓNIMO o UNOS TRIA NOMINA que nos permitan relacionarlos con series conocidas. No obstante, seguimos teniendo un alto número de sellos de los que no conocemos su entorno epigráfico y estos casos se han solucionado atendiendo a una casuística general. Otras características intrínsecas del sello nos pueden ayudar a descifrar su mensaje. Así, los puntos que encontramos en ellos suelen separar los elementos de la inscripción, lo que, en general, facilita su decodificación. Desgraciadamente menos de un 40% de los sellos presentan puntos (*vide* 2.3.4.2). La datación del sello también puede ser un dato importante a la hora de solucionar determinados casos. Algunas estructuras son más frecuentes en unas épocas que en otras, e incluso algunas de ellas solo las conocemos en una determinada época, o a partir de determinado momento (*vide infra*).

En definitiva, las soluciones propuestas para interpretar y desarrollar los contenidos de los sellos presentan distintos grados de fiabilidad, depende de la información de que dispongamos en cada caso concreto. A medida que vayan surgiendo nuevos datos, los desarrollos propuestos deberán ser revisados en los casos en que, por falta de datos, los sellos hayan sido resueltos atendiendo a un modelo y una casuística general. De modo que los resultados estadísticos que presentamos a continuación deberán ir ajustándose a medida que avance nuestro conocimiento. No obstante, como veremos, nos están marcando unas tendencias. El objetivo de nuestro análisis es definir estas tendencias generales, más allá del valor concreto que nos presenta la estadística.

1.5. - Las estructuras de los sellos.

Una vez confeccionada la tabla (anexo 1 del CD adjunto a este trabajo), podemos hacer unas estadísticas básicas que nos permitan describir las características generales que presenta el sistema de sellado de la epigrafía olearia bética. La muestra inicial contiene 2470 sellos con lecturas distintas, resultado de retirar de la tabla original de Berni, los sellos que se presentaban incompletos. A la hora de realizar las estadísticas eliminamos además las lecturas que cuentan con más de una solución posible, de modo que el número de la muestra desciende hasta 2108.

En la tabla 1 del anexo 2 incluido en el CD adjunto a este trabajo, presentamos los resultados estadísticos del número de lecturas atribuidas a cada estructura, así como el porcentaje que representa sobre el total de la muestra (2108 lecturas).

³³ Berni 2008: 143-168.

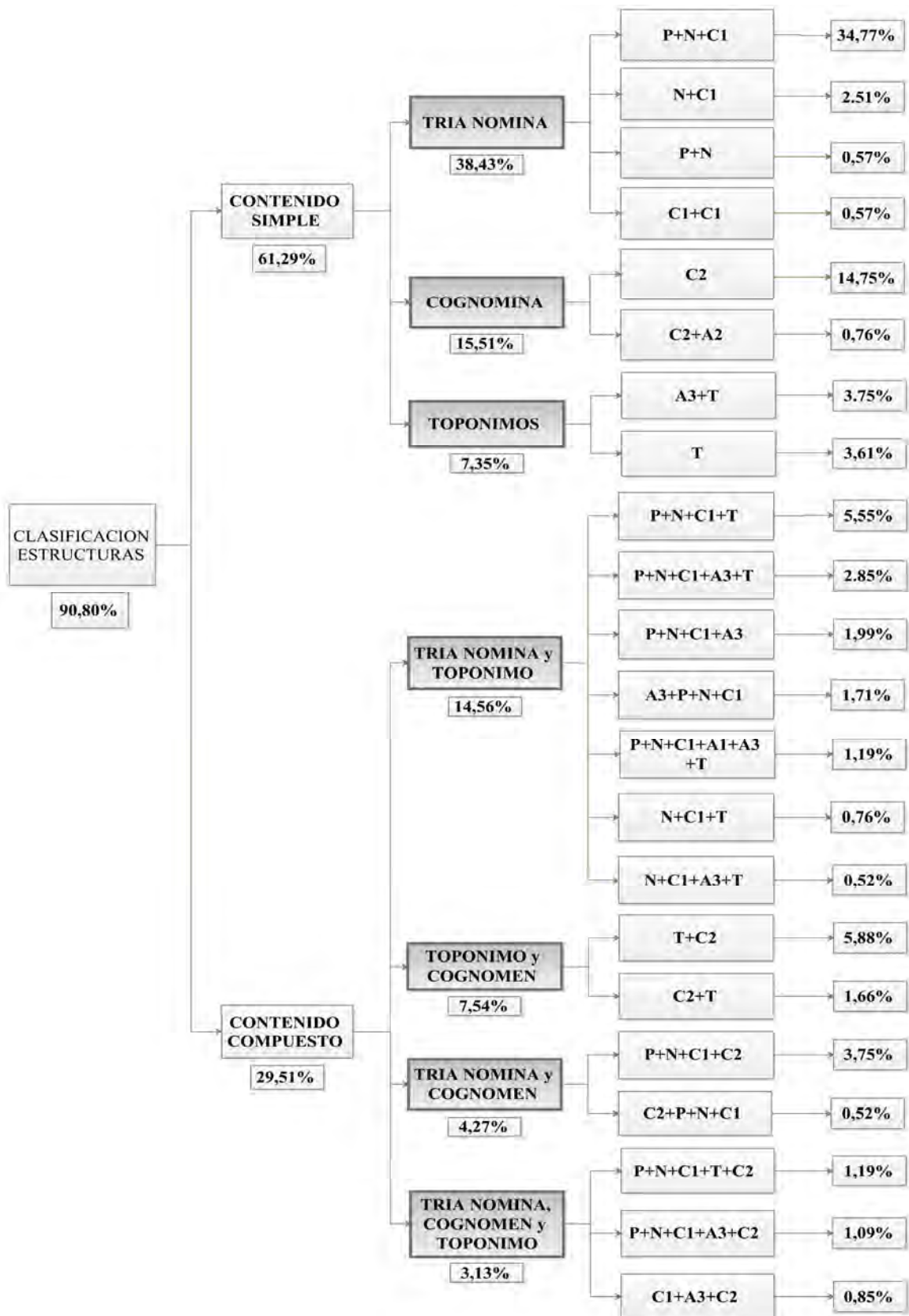


Figura 15.- Clasificación de las estructuras básicas de los sellos béticos con incidencia mayor al 0,5% (2108 lecturas).

Lo primero que sorprende de esta tabla es la cantidad de combinaciones distintas que se pueden generar con los seis elementos básicos de los sellos, así tenemos en la tabla un total de 100 estructuras distintas. Algunas de estas estructuras las conocemos en un único sello (hasta 30) y no podemos estar seguros de haber resuelto estos casos correctamente. En otros casos, obedecerán a estructuras que sólo conocemos en un determinado centro de producción, por tanto, con poca representatividad en el conjunto de la epigrafía olearia bética.

Buscando esa representatividad de los resultados, centraremos nuestro análisis en las 22 estructuras que cuentan con un grado de incidencia superior al 0,5% (11 lecturas), que corresponde a la parte sombreada de la tabla 1 del anexo 2 del CD adjunto. A esta parte de la tabla corresponden 1914 lecturas distintas que representan algo más del 90% del total de la muestra. En la figura 15, presentamos un gráfico con los resultados obtenidos que pasamos a describir.

1.5.1.- Descripción del sistema de sellado de las ánforas olearias béticas.

En nuestra opinión, la composición de los sellos de las ánforas olearias béticas, que a primera vista se nos presenta como un verdadero galimatías, en esencia resulta extremadamente simple. Contamos con tres elementos principales, denominados genéricamente: TRIA NOMINA, COGNOMEN y TOPÓNIMO, que pueden aparecer en los sellos solos (elementos simples), asociados por parejas (binas) o los tres juntos (ternas). De modo que el sistema de sellado se puede resumir en 7 **estructuras elementales**, tres de contenido simple y cuatro de contenido compuesto (figura 16)

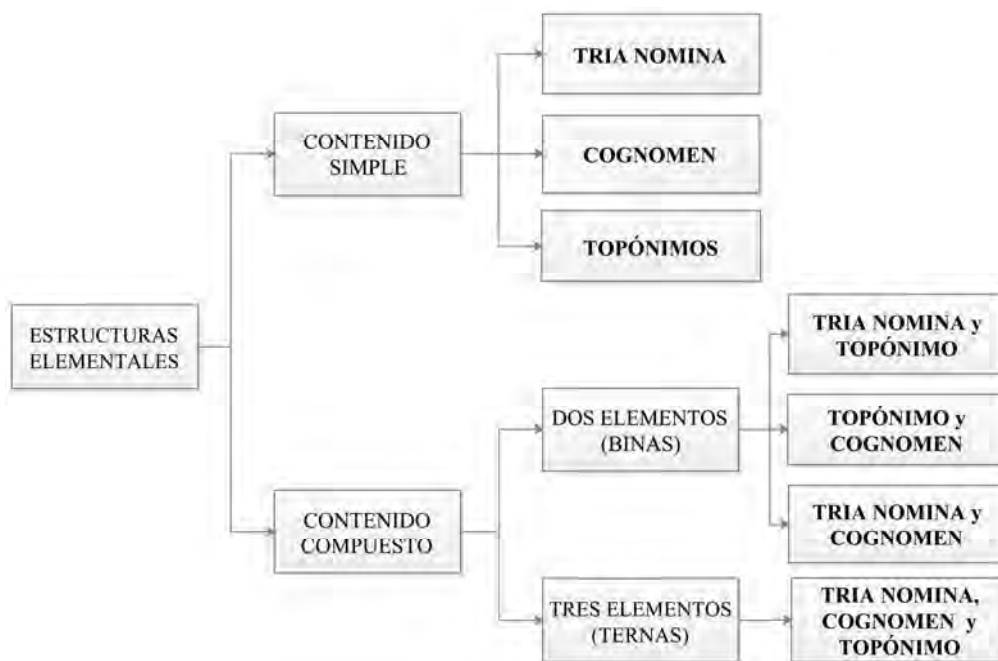


Figura 16.- Estructuras elementales de los sellos de las ánforas olearias béticas.

En nuestra opinión, ésta es la esencia del sellado, continuamente encontramos estas estructuras elementales a lo largo de casi 250 años. Desde este punto de vista, la variabilidad aparente que vemos en los sellos no es más que “ruido”. Este “ruido” se produce porque cada una de estas estructuras elementales pueden construirse de múltiples formas. Repasemos a continuación cuáles son los factores principales que producen esta variabilidad.

En los sellos de **contenido simple**:

- Los elementos principales de los sellos pueden aparecer solos o acompañados de ATRIBUTOS.
- En el caso particular de los TOPÓNIMOS, además, el elemento puede venir representado únicamente por su ATRIBUTO, de modo que podemos tener las fórmulas epigráficas: T, A3+T o simplemente A3. Además, como hemos visto, podemos encontrar a varios TOPÓNIMOS asociados en un mismo sello (T+T).
- Los TRIA NOMINA, por su propia naturaleza, pueden presentarse con todos los elementos de la onomástica romana o solo con algunos de ellos. Además, el elemento puede venir representado por sociedades de individuos, que, a su vez, pueden construirse en los sellos de muchas formas diferentes. En ocasiones, el elemento no viene representado por un individuo, sino por una institución, como en el caso de los sellos del Calendario Vegetiano.
- Los COGNOMINA pueden presentarse solos, con un ATRIBUTO o formando asociaciones entre ellos (C2, C2+A2 o C2+C3).

En los sellos de **contenido compuesto**, además de las consideraciones anteriores, tenemos un nuevo factor de variabilidad: el orden en que se presentan los elementos en la inscripción. En la figura 15 tenemos varios casos de estructuras que contienen los mismos elementos, en las que sólo cambia su orden en la fórmula epigráfica:

- T+C2 5,88% - C2+T: 1,66%
- P+N+C1+C2: 3,75% - C2+P+N+C1: 0,52%
- P+N+C1+A3: 1,99% - A3+P+N+C1: 1,71%

Estos son básicamente los factores que generan la gran variabilidad de estructuras que observamos; hasta 100 diferentes tenemos en la tabla 1 del anexo 2 del CD adjunto. En el 90% de los sellos de las ánforas olearias béticas, las siete **estructuras elementales** antes descritas se solucionan con **22 estructuras básicas**, con la distribución e incidencia que podemos ver en la figura 15, que pasamos a desarrollar:

Elementos simples:

- TRIA NOMINA: 38,43%, resuelto con 4 estructuras diferentes.
- COGNOMINA: 15,51%, resuelto por 2 estructuras caracterizadas por presentar o no un ATRIBUTO.
- TOPÓNIMO: 7,35%, como en el caso anterior, resuelto por 2 estructuras caracterizadas por presentar o no un ATRIBUTO.

Binas:

- TRIA NOMINA y TOPÓNIMO: 14,56%, resuelto con 7 estructuras diferentes.
- COGNOMEN y TOPÓNIMO: 7,54%, resuelto con 2 estructuras caracterizadas por cambiar el orden en que aparecen los elementos.
- TRIA NOMINA y COGNOMEN: 4,27%, como en el caso anterior, resuelto por 2 estructuras donde se cambia el orden de los elementos.

Terna:

- TRIA NOMINA, TOPÓNIMO y COGNOMEN: 3,13%, resuelto por 3 estructuras diferentes.

Dicho de otra forma, entre los sellos de **contenido simple**:

- 3 de cada 5 lecturas corresponden a unos TRIA NOMINA.
- 1 de cada 4 lecturas presentará un COGNOMEN.
- Sólo 1 de cada 10 presentará un TOPÓNIMO.

Y entre los sellos de **contenido compuesto**:

Binas:

- 1 de cada 2 lecturas corresponde a la asociación de TRIA NOMINA y TOPÓNIMO.
- 1 de cada 4 corresponde a TOPÓNIMO y COGNOMEN.
- 1 de cada 6 corresponde a TRIA NOMINA y COGNOMEN.

Terna:

- Solo 1 de cada 10 lecturas corresponde a una asociación de TRIA NOMINA, TOPÓNIMO y COGNOMEN.

De lo que podemos deducir, por ejemplo, que si encontramos a unos TRIA NOMINA asociados a otro elemento, tenemos cuatro posibilidades contra una de que se trate de un TOPÓNIMO frente a un COGNOMEN.

Algunas de estas estructuras no representan la generalidad del sistema de sellado bético, sino que obedecen a soluciones de un determinado centro productor que por sí solo aporta gran cantidad de lecturas al conjunto, de ahí su alta incidencia. Este es el caso de las estructuras de La Catria: P+N+C1+A3; A3+P+N+C1; P+N+C1+A3+C2; C1+A3+C2, fáciles de identificar porque en ellas no se recoge el nombre del municipio asociado al ATRIBUTO “*portus*”.

A continuación, presentamos el cálculo estadístico de varios aspectos del comportamiento de los elementos que componen las diversas estructuras representadas. Las estadísticas anteriores se han realizado considerando 2108 lecturas (figura 17, columna 4). En las sucesivas analizaremos el caso concreto de las 22 estructuras que presentan una incidencia superior a 0,5%, que corresponden a 1914 lecturas y que pasan a ser nuestro nuevo total de la muestra (figura 17, columna 5).

Teniendo esto en cuenta, el 90% de los sellos (1914 lecturas) presentan las siguientes características.

	ESTRUCTURA	N° LECTURAS	% sobre 2108 lecturas	% sobre 1914 lecturas
1	P+N+C1	733	34,77%	38,30%
2	C2	311	14,75%	16,25%
3	T+C2	124	5,88%	6,48%
4	P+N+C1+T	117	5,55%	6,11%
5	A3+T	79	3,75%	4,13%
6	P+N+C1+C2	79	3,75%	4,13%
7	T	76	3,61%	3,97%
8	P+N+C1+A3+T	60	2,85%	3,13%
9	N+C1	53	2,51%	2,77%
10	P+N+C1+A3	42	1,99%	2,19%
11	A3+P+N+C1	36	1,71%	1,88%
12	C2+T	35	1,66%	1,83%
13	P+N+C1+A1+A3+T	25	1,19%	1,31%
14	P+N+C1+T+C2	25	1,19%	1,31%
15	P+N+C1+A3+C2	23	1,09%	1,20%
16	C1+T+C2	18	0,85%	0,94%
17	C2+A2	16	0,76%	0,84%
18	N+C1+T	16	0,76%	0,84%
19	C1+C1	12	0,57%	0,63%
20	P+N	12	0,57%	0,63%
21	C2+P+N+C1	11	0,52%	0,57%
22	N+C1+A3+T	11	0,52%	0,57%
	TOTAL	1914	90,80 %	100 %

Figura 17.- Estructuras de los sellos con incidencia mayor al 0,5%

1. **Contenido simple o compuesto.** (Tablas 2 y 3 del anexo 2 del CD adjunto)

Consideramos sellos de contenido simple a aquellos que presentan una única clase de elementos: TRIA NOMINA, COGNOMINA O TOPÓNIMO. En consecuencia, únicamente los sellos que presentan combinaciones de elementos de distinta clase serán considerados de contenido compuesto (relaciones de segundo y tercer grado de Berni). Con estas premisas, la distribución general de los sellos quedaría:

- Contenido simple: 67,50%
- Contenido compuesto: 32,50%

Es decir, la combinación de elementos distintos sólo se produce en 1 de cada 3 lecturas. Como veremos, estas combinaciones de elementos también pueden solucionarse colocando varios sellos en la misma ánfora (*vide* apartado 3.6). Este dato estadístico nos hace pensar que el doble y triple sellado del ánfora debía ser relativamente frecuente (*vide infra*).

2. **Cálculo de la representatividad de cada elemento en el sistema de sellado.**

Porcentajes de lecturas que contienen cada uno de los elementos (Tablas 4 a 6 del anexo 2 del CD adjunto).

- TRIA NOMINA: 65,57%, 2 de cada 3 lecturas contienen unos TRIA NOMINA.
- COGNOMEN: 33,54%, 1 de cada 3 lecturas contiene un COGNOMEN.
- TOPÓNIMO: 32,50%, 1 de cada 3 lecturas contiene un TOPÓNIMO.

Como ya sabíamos, los elementos más frecuentes en los sellos son los TRIA NOMINA, 2 de cada 3 lecturas los contienen. Los TOPÓNIMOS y los COGNOMINA van parejos y comparecen respectivamente en 1 de cada 3 lecturas.

3. Cálculo de la capacidad de asociarse que presentan los diversos elementos de los sellos.

De las estructuras que contienen cada uno de los elementos, veamos los porcentajes de lecturas en que el elemento aparece solo (tablas 7 a 9 del anexo 2 del CD adjunto).

- TRIA NOMINA: 64,54%. En 2 de cada 3 casos los TRIA NOMINA aparecen solos.
- COGNOMEN: 50,93%. En la mitad de los casos los COGNOMINA aparecen solos.
- TOPÓNIMO: 23,48%. En aproximadamente 1 de cada 4 casos el TOPÓNIMO aparece solo.

De estos resultados se desprende que los TOPÓNIMOS son los que más suelen asociarse con otros elementos en los sellos y los más “independientes” son los TRIA NOMINA. De ahí que Berni definiera a los nombres de los talleres como el eje vertebrador del sistema de sellado oleario bético³⁴.

4. Composición de los nombres de los personajes principales del sello.

Como hemos visto, el personaje principal de un sello puede quedar representado por los tres elementos básicos de la onomástica romana, *praenomen*, *nomen* y *cognomen*, o sólo por algunos de ellos. De entre los sellos que presentan el elemento, veamos los porcentajes de lecturas para cada combinación (tabla 10 del anexo 2 del CD adjunto).

- P+N+C1 = 91,71%
- N+C1 = 6,37%
- P+N, P+C1, N y C1 menos de un 1%.

Es decir, 9 de cada 10 veces los TRIA NOMINA presentan todos los elementos básicos de la onomástica romana.

5. Los ATRIBUTOS de los elementos principales.

Porcentajes de lecturas donde encontramos a los diversos elementos acompañados de ATRIBUTOS (tablas 11 a 13 del anexo 2 del CD adjunto).

- TRIA NOMINA: 2%, 1 de cada 50 veces los TRIA NOMINA incluyen un ATRIBUTO.
- COGNOMEN: 2,5%, 1 de cada 40 veces los COGNOMINA incluyen un ATRIBUTO.
- TOPÓNIMO: 37,74%, algo más de 1 de cada 3 veces el TOPÓNIMO va acompañado de un ATRIBUTO.

De modo que, como sabíamos, los ATRIBUTOS de los personajes son muy infrecuentes. En cambio, los ATRIBUTOS de los TOPÓNIMOS son relativamente frecuentes, con una incidencia superior a 1 de cada 3 lecturas cuando el TOPÓNIMO acompaña a otros elementos, que sube a 1 de cada 2 si el sello es de contenido simple.

³⁴ Berni 2008: 133.

6. Composición de los TOPÓNIMOS.

Hemos agrupado en la clase TOPÓNIMO a todos los elementos de los sellos que hacen alusión al lugar de producción de los envases. Entre los sellos que contienen el elemento, veamos la distribución interna que presentan:

- *Figlina* = 75,44% (*) (sin ATRIBUTO = 53,13%; con ATRIBUTO = 22,31%)
- *Portus* = 19,67% (sin TOPÓNIMO = 17,28%, con TOPÓNIMO = 2,38%)
- *Urbs.* = 1,50% -sin ATRIBUTO-
- *Colonia* = 1,25% -c(), col()-
- *Fundus* = 1,13% (*) -f(), fun(), fundi-
- *Ex officina* = 1,00% -of(), ex of()-

(*) La relación *figlinae/fundi* se ve muy afectada por la ambigüedad que presenta el ATRIBUTO cuando viene recogido como *f()*.

Es decir:

- 3 de cada 4 veces los TOPÓNIMOS hacen referencia a un nombre de *figlina*, de los cuales en 2 de cada 3 casos aparece sin ATRIBUTO (T).
- 1 de cada 5 veces los TOPÓNIMOS hacen referencia a un *portus*, de los cuales en 4 de cada 5 casos se incluye el ATRIBUTO sin su TOPÓNIMO asociado (A3).
- Solo en 5 de cada 100 casos el TOPÓNIMO representa a un/a: *urbs, colonia, fundus* o *ex officina*.

Veamos a continuación la distribución interna de los desarrollos que presentan los ATRIBUTOS más usuales:

figlina:

- *f()* = 86,89% , también cabría el desarrollo *fundus*.
- *fig()* = 8,20%
- *figl()* = 0,55%
- *figul()* = 2,19%
- *figlin()* = 1,09%
- *figlina()* = 0,55%
- *filglinas* = 0,55%

El ATRIBUTO viene acompañado de una preposición -*e(x), ex, d(e), de-* en un 7,65% de los casos.

portus.

- *p()* = 58,60%
- *po()* = 8,28%
- *por()* = 28,03%
- *port()* = 3,18%
- *porto* = 1,91%

Como ya sabíamos, lo más frecuente es que los ATRIBUTO se presenten por su inicial -*f()* o *p()*- y, en general, van siendo menos frecuentes a medida que el ATRIBUTO se va desarrollando.

7. El orden que presentan los diversos elementos en los sellos.

- 9 de cada 10 veces los TRIA NOMINA van delante de los TOPÓNIMOS.
- 9 de cada 10 veces los TRIA NOMINA van delante de los COGNOMINA.
- 8 de cada 10 veces los TOPÓNIMOS van delante de los COGNOMINA.
- Cuando tenemos los 3 elementos en un único sello, el orden siempre es: TRIA NOMINA → TOPÓNIMO → COGNOMEN.

La importancia relativa de cada uno de los elementos en el sistema epigráfico queda reflejada muy claramente en el orden en que éstos se presentan en los sellos. La estadística nos muestra un sistema organizativo jerarquizado compuesto por tres elementos básicos donde los TRIA NOMINA ocuparían el lugar más destacado de la cadena organizativa, seguidos de los TOPÓNIMOS y finalmente, subordinados a los anteriores, los COGNOMINA.

Resumiendo, de las estadísticas de las estructuras de los sellos podemos deducir algunas características generales de cada uno de los elementos que los componen

TRIA NOMINA:

- Como sabíamos, son los elementos mejor representados en los sellos; 2 de cada 3 sellos los contienen y 1 de cada 3 lecturas se soluciona con la estructura P+N+C1.
- Son los que menos ATRIBUTOS presentan (sólo 1 de cada 50 veces se acompañan de un ATRIBUTO).
- En general vienen representados por los tres elementos básicos de la onomástica romana (9 de cada 10 veces).
- Son los que menos se relacionan con los otros elementos de los sellos (sólo 1 de cada 3 veces se relacionan con otros elementos).
- Ocupan el primer lugar en el orden jerárquico que presenta el sistema de sellado.

COGNOMEN:

- Son los segundos elementos más abundantes de los sellos, aunque muy por debajo de los TRIA NOMINA (1 de cada 3 sellos los contienen)
- Sus ATRIBUTOS son muy infrecuentes (sólo 1 de cada 40 veces se acompañan de un ATRIBUTO).
- La mitad de los COGNOMINA de los sellos se presentan asociados a otros elementos.
- Ocupan el último lugar en el orden jerárquico, subordinados a los otros elementos de los sellos.

TOPÓNIMOS:

- Son los elementos menos abundantes de los sellos, casi a la par con los COGNOMINA (1 de cada 3 lecturas presentan un TOPÓNIMO).
- Son los que más frecuentemente presentan ATRIBUTOS (1 de cada 3 veces, que sube a 1 de cada 2 si el sello es de contenido simple)
- Son los elementos que más se asocian con otros elementos (3 de cada 4 veces), de modo que podemos considerarlos el eje vertebrador del sistema de sellado.
- Ocupan un punto intermedio en el orden jerárquico, por debajo de los TRIA NOMINA y por encima de los COGNOMINA

1.5.2.- Solución estadística de los sellos ambiguos.

Los cálculos obtenidos en el apartado anterior nos permitirán realizar lo que podemos denominar “solución estadística de los sellos”. En los casos en que no tengamos otras circunstancias internas o externas que nos permitan desarrollar e interpretar los sellos, éstos pueden presentar varias soluciones posibles. Ahora, estamos en condiciones de establecer el valor estadístico de cada una de las soluciones tomando como referencia la incidencia de la estructura correspondiente en el sistema de sellado general. En la tabla de la figura 18 recogemos las estructuras ordenadas alfabéticamente para facilitar su consulta. Para cualquier estructura que no esté presente en esa tabla, su grado de incidencia será $< 0,5\%$.

ESTRUCTURA	Nº LECTURAS	%
A3+P+N+C1	36	1,71%
A3+T	79	3,75%
C1+C1	12	0,57%
C1+T+C2	18	0,85%
C2	311	14,75%
C2+A2	16	0,76%
C2+P+N+C1	11	0,52%
C2+T	35	1,66%
N+C1	53	2,51%
N+C1+A3+T	11	0,52%
N+C1+T	16	0,76%
P+N	12	0,57%
P+N+C1	733	34,77%
P+N+C1+A1+A3+T	25	1,19%
P+N+C1+A3	42	1,99%
P+N+C1+A3+C2	23	1,09%
P+N+C1+A3+T	60	2,85%
P+N+C1+C2	79	3,75%
P+N+C1+T	117	5,55%
P+N+C1+T+C2	25	1,19%
T	76	3,61%
T+C2	124	5,88%

Figura 18.- Estructuras básicas de los sellos en orden alfabético.

Obviamente, el sistema será válido para sellos con varios desarrollos posibles de los que no conocemos su entorno epigráfico, que es lo que a fin de cuentas nos podrá facilitar su solución. Desgraciadamente, como hemos visto, sólo el 40% de los sellos nos son conocidos en Andalucía. Como consecuencia, en la tabla general de las estructuras de los sellos béticos tenemos más de 350 lecturas que cuentan con varias soluciones posibles, de modo que el sistema propuesto puede resultar útil, o al menos orientativo, en muchos casos.

En el apartado anterior estudiábamos las posibles lecturas del sello GRAP (figura 11), y en la figura 19 presentamos su solución estadística.

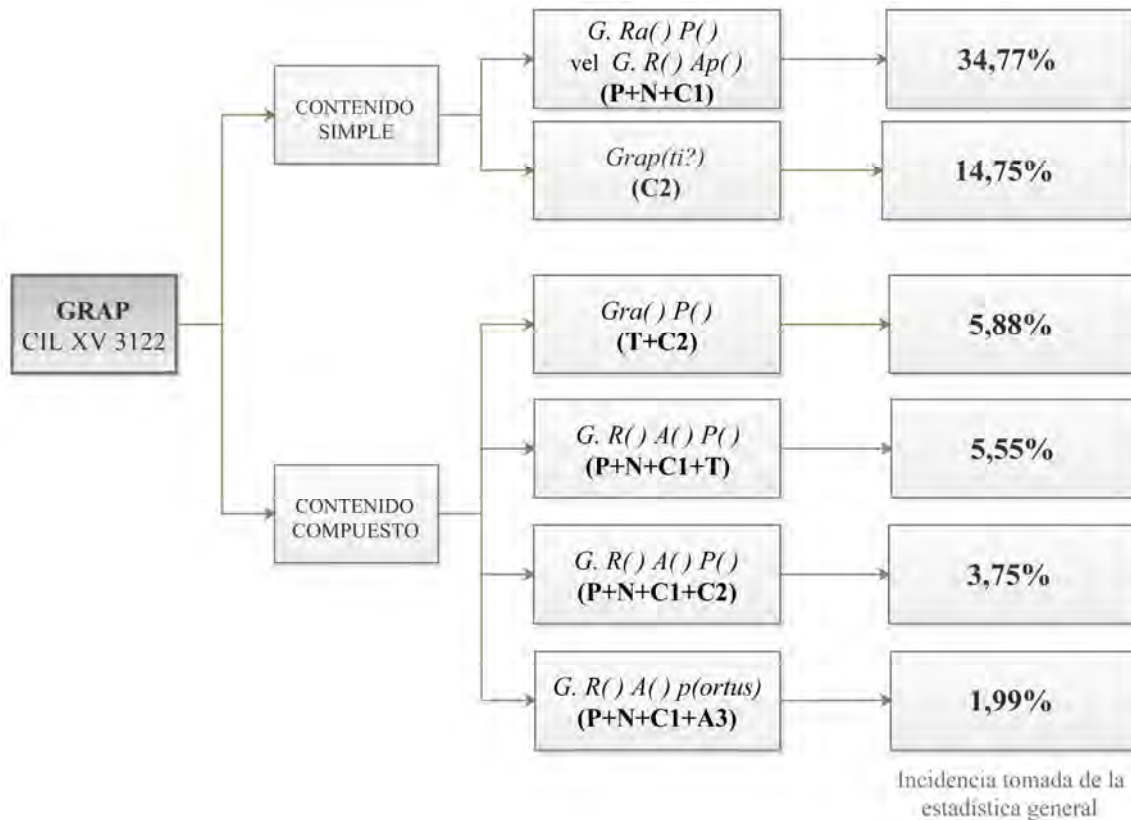


Figura 19.- Solución estadística de las lecturas posibles del sello GRAP (CIL XV 3122).

En ocasiones, el desarrollo de la lectura sigue presentando dudas aun conociendo el entorno epigráfico del sello. Este sería el caso del sello SISEN producido en La Catria. En estos casos, podemos proceder de la forma que hemos explicado arriba, aplicando la estadística general de los sellos, de la que obtenemos la solución estadística para el caso concreto (figura 20). Pero, si conocemos el centro productor al que pertenece, en vez de aplicar la estadística general podríamos aplicar la del propio taller, de modo que aumentaríamos la fiabilidad de la solución. Desgraciadamente, por el momento, solo disponemos de este tipo de datos para las producciones de la *figlina Scalensia*³⁵

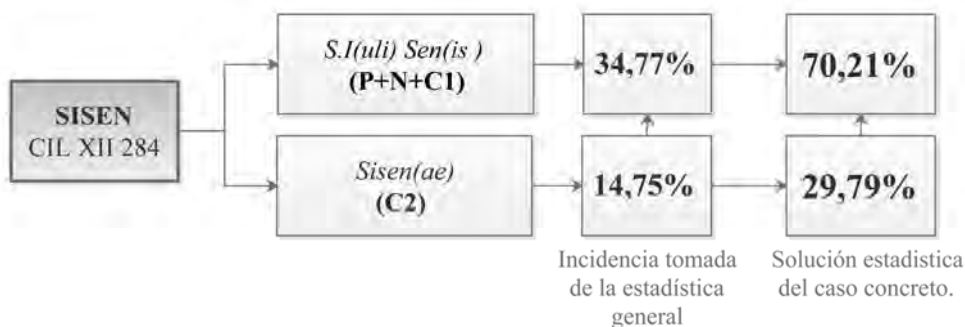


Figura 20.- Solución estadística de las lecturas posibles del sello SISEN (CIL XII 284).

³⁵ Barea et al.2008: 102-103.

1.6.- La evolución de las estructuras de los sellos.

En la tabla de Excel que hemos venido utilizando para analizar las estructuras se recogen también las dataciones de los sellos, campo que fue elaborado por Berni para su tesis doctoral. Conocemos algún tipo de datación en aproximadamente el 60% de los sellos de la tabla (figura 21).

	Nº ejem.	%
CON DATACIONES	1270	60,25%
SIN DATACIONES	838	39,75%

TOTAL 2108

Datación.	Forma	Nº ejem.	%
30-80 d.C.	FORMAS I + II	310	19,87%
80-130 d.C.	FORMA III	368	23,59%
130-190 d.C.	FORMA IV	400	25,64%
s. III d.C.	FORMA V	482	30,90%

TOTAL 1560

Figura 21.- Porcentaje de sellos datados y su distribución entre las “Formas” tipológicas de Berni 2008.

Como sabemos, la Dressel 20 estuvo vigente, *grosso modo*, entre ca. 30-270 d.C. De modo que, con este grupo de 1270 sellos, podremos hacernos una idea general de cómo evolucionan las diversas estructuras en ese amplio periodo de tiempo. Para ello, traducimos las dataciones de cada lectura a los cinco periodos cronológicos propuestos por Berni para definir la evolución tipológica de las Dressel 20 en 2008: Forma I, julio-claudia (ca. 30-50 d.C.); Forma II, Nerón-Vespasiano (ca. 50-80 d.C.); Forma III, flavio-trajanea (ca. 80-130 d.C.); Forma IV, antoniniana (ca. 130-190 d.C.); Forma V, severiana y postseveriana³⁶.

Como los grupos resultaban muy dispares en cuanto al intervalo de años contemplados en cada forma, decidimos unir en un grupo las formas I y II, con los resultados que vemos en la figura 21. De este modo, contamos con 310 lecturas de las formas I+II, 368 de la forma III, 400 de la forma IV y 482 de la forma V. Así obtenemos grupos más homogéneos que podremos comparar. De algunos sellos contamos con dataciones poco precisas que se pueden encuadrar en varias formas, de ahí que la suma de las lecturas atribuible a cada forma (1567), sea mayor que el número de lecturas con dataciones (1270).

En la figura 22 presentamos la distribución que presentan las estructuras de los sellos en cada forma, que pasamos a describir.

³⁶ Berni 2008: 57-64.

C2+P+N+C1	3	0,95%	C2+P+N+C1	1	0,27%	C2+P+N+C1	2	0,50%	C2+P+N+C1	2	0,41%
N+C1+A3+T	0	0,00%	N+C1+A3+T	0	0,00%	N+C1+A3+T	2	0,50%	N+C1+A3+T	5	1,04%
C1+C1	8	2,52%	C1+C1	5	1,36%	C1+C1	0	0,00%	C1+C1	0	0,00%
P+N	4	1,26%	P+N	2	0,54%	P+N	2	0,50%	P+N	1	0,21%
C2+A2	1	0,32%	0	0	0,00%	C2+A2	3	0,75%	C2+A2	9	1,87%
N+C1+T	2	0,63%	N+C1+T	3	0,82%	N+C1+T	0	0,00%	N+C1+T	5	1,04%
C1+A3+C2	2	0,63%	C1+A3+C2	9	2,45%	C1+A3+C2	3	0,75%	C1+A3+C2	0	0,00%
P+N+C1+A3+C2	1	0,32%	P+N+C1+A3+C2	7	1,90%	P+N+C1+A3+C2	3	0,75%	P+N+C1+A3+C2	1	0,21%
P+N+C1+A1+A3+T	0	0,00%	P+N+C1+A1+A3+T	0	0,00%	P+N+C1+A1+A3+T	0	0,00%	P+N+C1+A1+A3+T	16	3,32%
P+N+C1+T+C2	1	0,32%	P+N+C1+T+C2	6	1,63%	P+N+C1+T+C2	3	0,75%	P+N+C1+T+C2	5	1,04%
C2+T	3	0,95%	C2+T	6	1,63%	C2+T	4	1,00%	C2+T	7	1,45%
A3+P+N+C1	6	1,89%	A3+P+N+C1	12	3,26%	A3+P+N+C1	5	1,25%	A3+P+N+C1	4	0,83%
P+N+C1+A3	5	1,58%	P+N+C1+A3	9	2,45%	P+N+C1+A3	12	3,00%	P+N+C1+A3	2	0,41%
N+C1	7	2,21%	N+C1	9	2,45%	N+C1	10	2,50%	N+C1	10	2,07%
P+N+C1+A3+T	3	0,95%	P+N+C1+A3+T	8	2,17%	P+N+C1+A3+T	16	4,00%	P+N+C1+A3+T	22	4,56%
T	3	0,95%	T	9	2,45%	T	26	6,50%	T	25	5,19%
A3+T	0	0,00%	A3+T	2	0,54%	A3+T	10	2,50%	A3+T	50	10,37%
P+N+C1+C2	4	1,26%	P+N+C1+C2	7	1,90%	P+N+C1+C2	20	5,00%	P+N+C1+C2	8	1,66%
P+N+C1+T	6	1,89%	P+N+C1+T	13	3,53%	P+N+C1+T	40	10,00%	P+N+C1+T	35	7,26%
T+C2	26	8,20%	T+C2	39	10,60%	T+C2	12	3,00%	T+C2	6	1,24%
C2	60	18,93%	C2	51	13,86%	C2	18	4,50%	C2	106	21,99%
P+N+C1	163	51,42%	P+N+C1	141	38,32%	P+N+C1	175	43,75%	P+N+C1	98	20,33%
subtotal Forma I+II	310		Subtotal Forma III	368		Subtotal Forma IV	400		Subtotal Forma V	482	

Figura 22.- Distribución de las estructuras en las diversas "Formas".

1.6.1.- Sellos de contenido simple.

TRIA NOMINA:

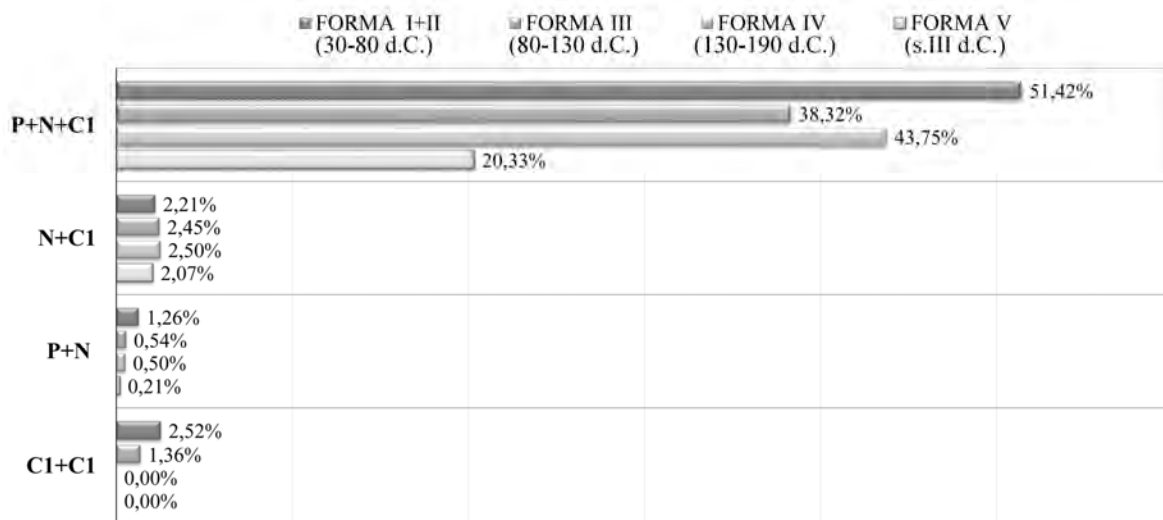


Figura 23.- Distribución en el tiempo de las estructuras que contienen TRIA NOMINA.

Esta estructura elemental se soluciona por cuatro estructuras básicas caracterizadas por la composición de los nombres de los personajes representados en la inscripción (P+N+C1, N+C1, P+N o C1). La estructura que presenta a un personaje libre o liberto expresado con sus *tria nomina* es la mejor representada hasta finales del s. II d.C., aunque, en general tiende a reducir su protagonismo en el tiempo. Hasta inicios de época flavia, esta estructura representaba más del 50% de los sellos para bajar al 20% en el s.III d.C. En parte, esta reducción se produce porque los TRIA NOMINA tienden a presentarse asociados a otros elementos a medida que avanza el tiempo, sobre todo a los TOPÓNIMOS (*vide infra*). En todas las épocas, las estructuras que presentan un *nomen* y un *cognomen* (N+C1) o un *praenomen* y un *nomen* (P+N) son minoritarias en comparación con aquellas que incluyen todos los elementos de la onomástica romana. La estructura C1+C1, es decir una sociedad de individuos libres o libertos expresada únicamente por los *cognomina* de los participantes, sólo la conocemos hasta principios del s.II d.C. y su uso se restringe a un extenso grupo familiar con actividad en una amplia zona de los alrededores de Mesas de Lora, en el *conventus Hispalensis*³⁷.

COGNOMEN:

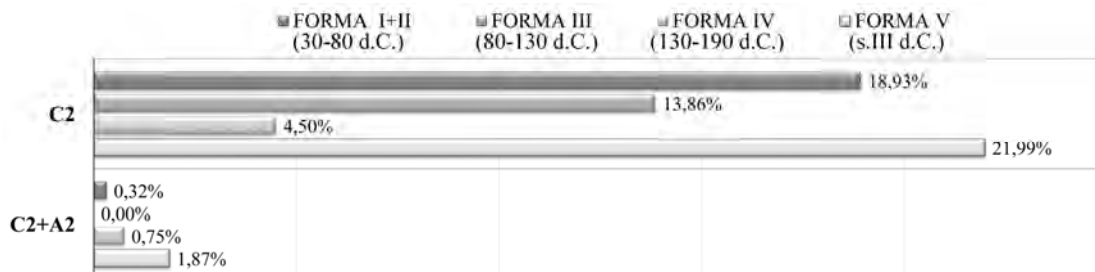


Figura 24.- Distribución en el tiempo de las estructuras que contienen COGNOMINA.

³⁷ Un estudio del grupo familiar en Berni 2008: 192-194

También los COGNOMINA van perdiendo protagonismo en el sistema de sellado hasta finales del s.II d.C., para remontar con fuerza en el s.III. d.C. donde alcanzan las cotas más altas de todos los periodos (aprox. 22%), hasta el punto de convertirse en la estructura más usual del s.III d.C., superando a los *tria nomina* (aprox. 20%). Los ATRIBUTO de los COGNOMINA son muy infrecuentes en todas las épocas (< 2%).

TOPÓNIMOS:

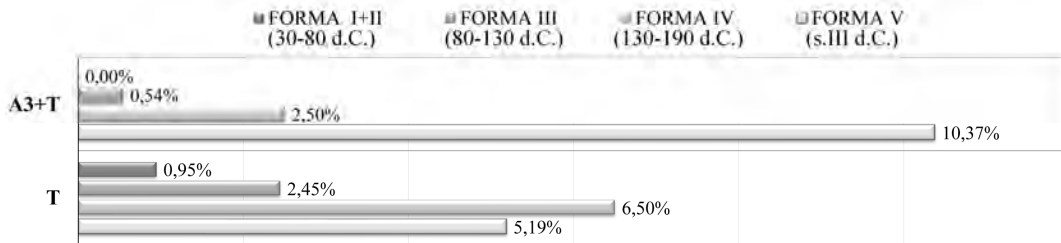


Figura 25.- Distribución en el tiempo de las estructuras que contienen TOPÓNIMOS.

Los TOPÓNIMOS, sin embargo, van ganando protagonismo en el sistema de sellado a medida que avanza el tiempo. Los ATRIBUTO de los TOPÓNIMOS aparecen tímidamente en época flavio-trajanea. Hasta el s.II d.C. es más frecuente encontrar a los TOPÓNIMOS sin su ATRIBUTO, pero en el s.III d.C. ya ha cambiado esa tendencia y lo común es que vengan acompañados de algún tipo de ATRIBUTO.

1.6.2.- Sellos de contenido compuesto.

Binas:

TRIA NOMINA Y TOPÓNIMO:

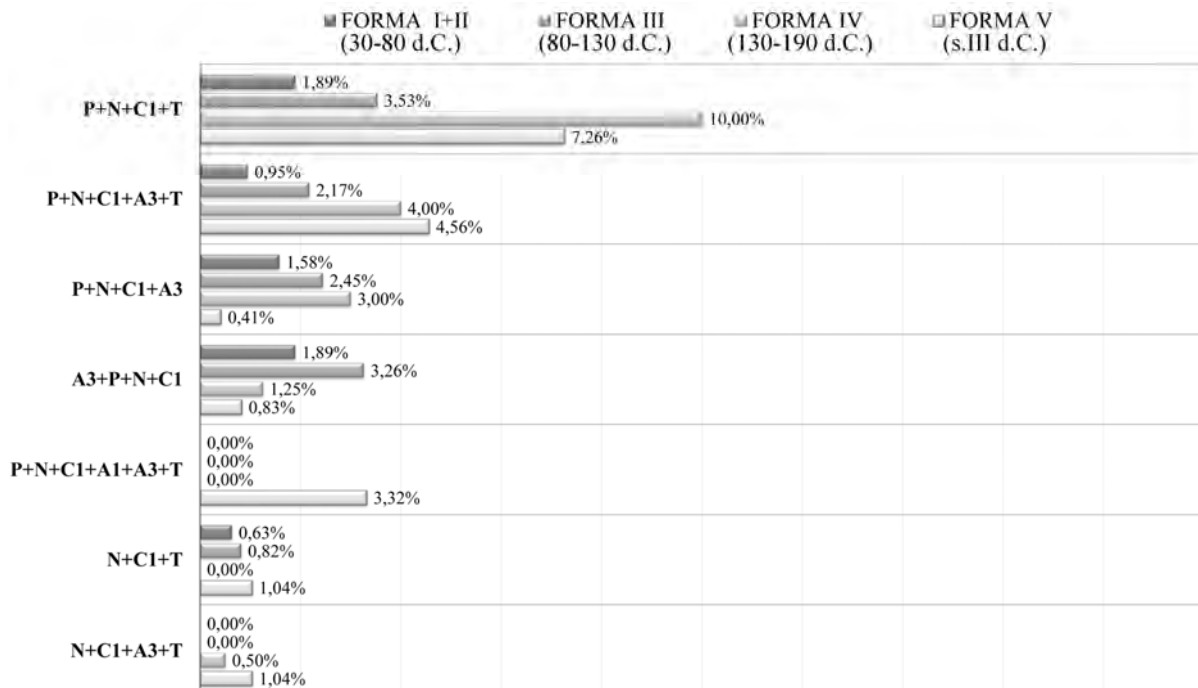


Figura 26.- Distribución en el tiempo de las estructuras que contienen asociaciones de TRIA NOMINA y TOPÓNIMO.

La estructura elemental compuesta por la asociación de estos dos elementos se resuelve con 7 estructuras básicas y, en general, van ganando protagonismo con el tiempo, alcanzando las cotas más altas durante los siglos II y III. d.C. La fórmula epigráfica P+N+C1+A1+A3+T sólo la conocemos en el siglo III d.C. y parece reservada a un importante grupo familiar de *nomen F()* con presencia en varias zonas productoras del Genil y el territorio de Córdoba³⁸. El ATRIBUTO del topónimo delante de los *tria nomina* (caso particular de La Catria: A3+P+N+C1) alcanza su máxima incidencia hacia finales del s.I d.C. y el primer tercio del s.II d.C. (3,26%) para ir decayendo a partir de ese momento. Su estructura complementaria, es decir aquella que presentan el ATRIBUTO del topónimo detrás de los TRIA NOMINA (P+N+C1+A3), alcanza su apogeo un poco más tarde, a lo largo del s.II d.C. (3%), para decaer bruscamente en el s.III d.C.

TRIA NOMINA Y COGNOMEN:

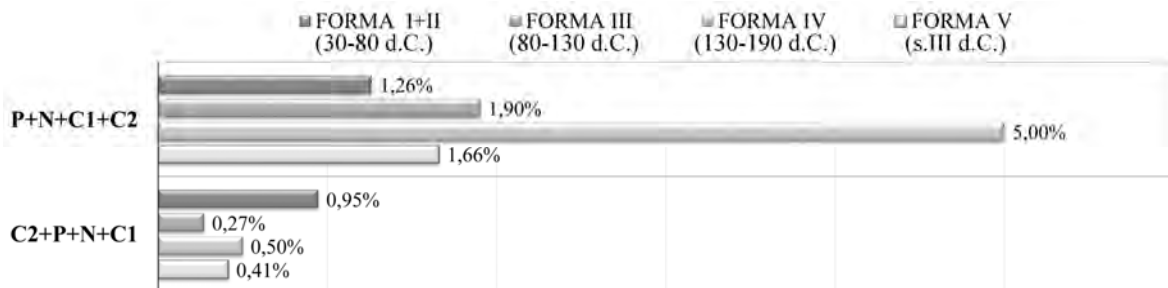


Figura 27.- Distribución en el tiempo de las estructuras que contienen asociaciones de TRIA NOMINA y COGNOMEN.

Las asociaciones de TRIA NOMINA más COGNOMEN resueltas en un solo sello presentan una mayor incidencia en el s. II d.C. (5%), muy por encima de su presencia en los sellos de los siglos I y III d.C. Su estructura complementaria, es decir un COGNOMEN delante de los TRIA NOMINA, está igualmente representada en todas las épocas, pero con poca incidencia general (< 1%).

TOPÓNIMO Y COGNOMEN:

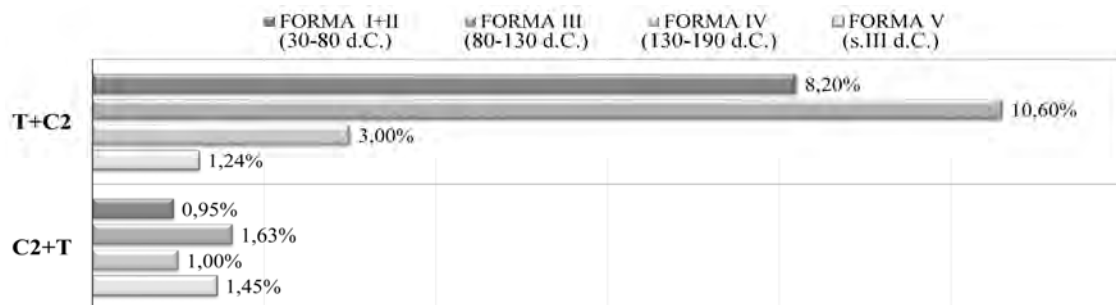


Figura 28.- Distribución en el tiempo de las estructuras que contienen asociaciones de TOPÓNIMO y COGNOMEN.

La asociación de un TOPÓNIMO más un COGNOMEN presenta su mayor incidencia durante el s. I d.C. y el primer tercio del s.II d.C., para ir perdiendo protagonismo a partir de esa fecha. Su estructura

³⁸ Bibliografía básica: Remesal 1989: 143-145; id. 2005: 255. Jacques 1990: 865-899. Chic 1994: 171-233. Berni 1999: 227 ss.; id. 2008:148 ss. Étienne & Mayet:109 ss. Barea *et al.* 2008: 135 ss.

complementaria (C2+T) cuenta con un grado de incidencia más regular en el tiempo, aunque con niveles muy bajos que llegan a equipararse con su estructura complementaria (T+C2) en el s. III d.C.

Terna.

TRIA NOMINA, TOPÓNIMO Y COGNOMEN:

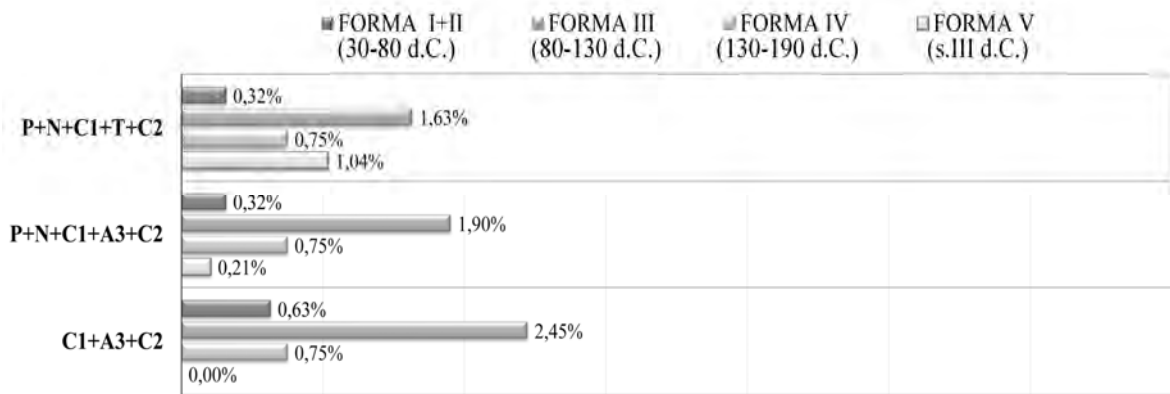


Figura 29.- Distribución en el tiempo de las estructuras que contienen asociaciones de TRIA NOMINA, TOPÓNIMO y COGNOMEN.

La asociación de los tres elementos de los sellos se resuelve por tres estructuras básicas que coinciden al presentar una mayor incidencia en época flavio-trajanea y adrianea.

1.6.3.- La evolución de las estructuras elementales.

Hasta aquí el recorrido. A modo de resumen, en la figura 30 incluimos la evolución de cada una de las siete estructuras elementales que forman el sistema de sellado de las Dressel 20.

A lo largo del tiempo va cambiando la incidencia de cada una de ellas y, particularmente, van cambiando las relaciones que se establecen entre los distintos elementos (binas y terna).

En los sellos de **contenido simple**:

- LOS TRIA NOMINA van perdiendo protagonismo con el tiempo y pasan de casi el 60% en el s.I d.C. al 20% en el s. III d.C.
- Los COGNOMINA también pierden protagonismo hasta el s. II d.C. para remontar con fuerza en el s.III d.C., hasta el punto de convertirse en la estructura elemental más usual en ese periodo.
- Los TOPÓNIMOS, sin embargo, van ganando protagonismo en los sellos y pasan de menos del 1% en el s.I d.C. al 15% en el III d.C.

Con respecto a las **binas**:

- TOPÓNIMO y COGNOMEN es la bina más usual hasta el primer tercio del s.II d.C. (8- 12%), para ir decayendo a partir de ese momento.
- TRÍA NOMINA y COGNOMEN alcanza su mayor incidencia en el s. II d.C. (5,50%), llegando a duplicar su presencia respecto a otros periodos.

- TRIA NOMINA y TOPÓNIMO va aumentando su incidencia con el tiempo y se constituye como la bina más usual en los siglos II y III d.C. (aprox. 17%)

Finalmente, la asociación de los tres elementos (**ternas**) alcanza sus cotas más altas de incidencia en épocas flavio-trajana y adrianea, aunque siempre manteniéndose por debajo del 6%.

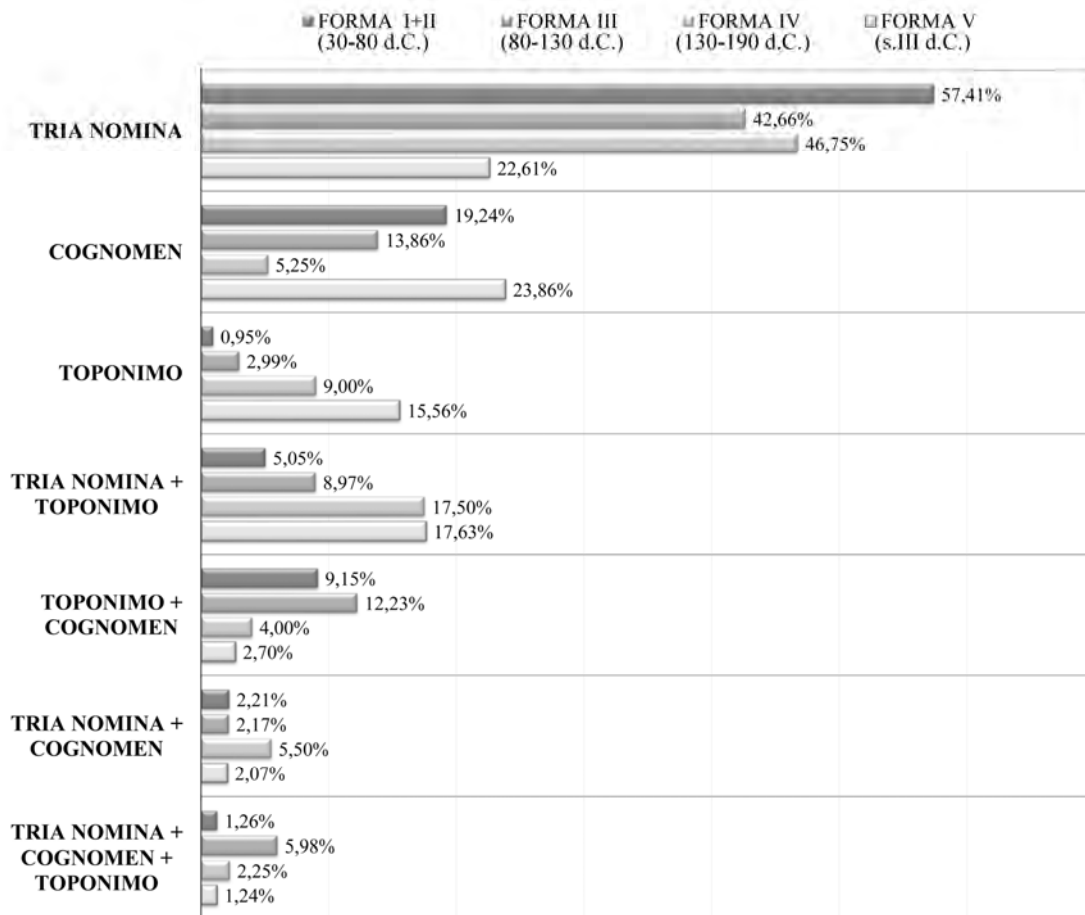


Figura 30.- Evolución en el tiempo de las estructuras elementales de los sellos.

1.6.4.- Evolución de otros aspectos de los sellos.

Para finalizar el apartado, veamos cómo evolucionan la participación de los elementos en el sistema de sellado y su capacidad de asociarse a otros elementos.

- **Evolución de la participación de cada elemento en el sistema de sellado.**

De los resultados reflejados en la figura 31 podemos deducir:

- Los TRIA NOMINA aparecen representados en un 60-70 % de los sellos durante los siglos I y II d.C., para reducir su participación a algo más del 40% durante el s.III d.C.
- Los COGNOMINA se mantienen en torno al 30% en los siglos I y III d.C. Sin embargo, en el siglo II decaen hasta el 17%.

- Los TOPÓNIMOS van aumentando paulatinamente su presencia en los sellos y pasan del 16% en sellos de hasta época flavia, a casi el 40% durante el s. III d.C.

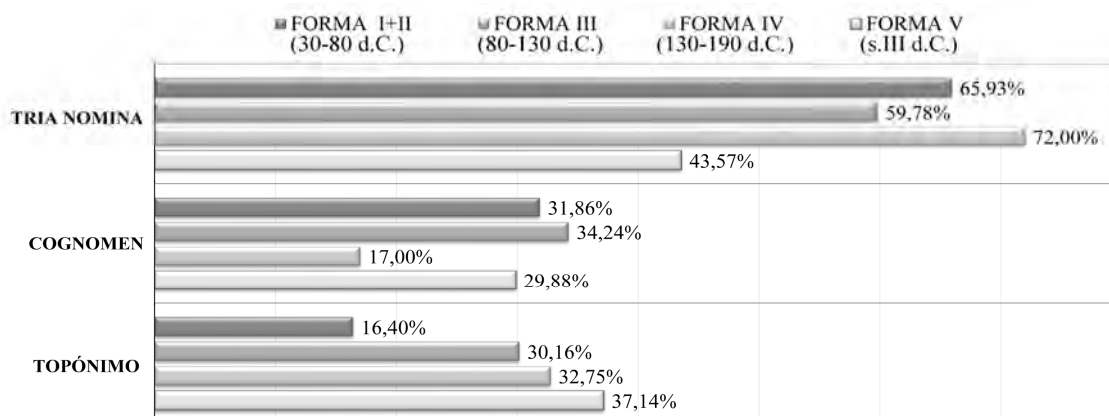


Figura 31.- Evolución de la participación de cada elemento en el sistema de sellado.

- **Evolución de la capacidad de asociarse.**

En la figura 32 vemos como los TRIA NOMINA van aumentando su capacidad de asociarse a otros elementos a medida que avanza el tiempo. Algo parecido sucede con los COGNOMINA, salvo que en el s. III d.C. decae bruscamente. En cambio, los TOPÓNIMOS van perdiendo su capacidad de asociarse con el tiempo, que pasa de casi el 100% en el s. I d.C. al 50% en el III d.C.

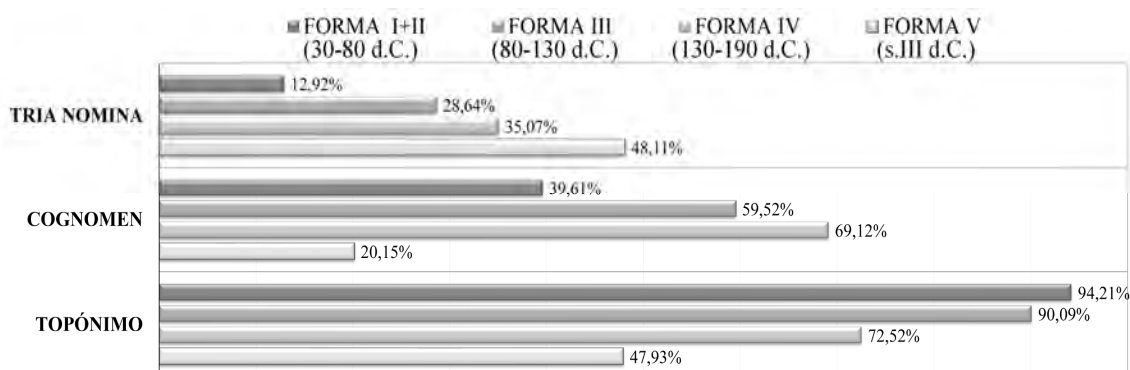


Figura 32.- Evolución de la capacidad de asociarse de los elementos.

1.6.5.- Resumen de resultados.

Podemos resumir el apartado de la evolución de los sellos de la forma que sigue:

- Las figuras 23 a 29, nos muestran cómo evolucionan las diversas formas en que se pueden componer cada uno de los elementos de los sellos, que es lo que le confiere al sistema de sellado su variabilidad.
- La figura 30 nos muestra la evolución de las estructuras elementales y particularmente, cómo van cambiando con el tiempo las relaciones que se establecen entre los diversos elementos que componen los sellos. Desde nuestro punto de vista, aquí podemos estar viendo dos aspectos distintos y relacionados, por un lado, estamos viendo el reflejo de la propia evolución organizativa de los talleres, pero también y al tiempo, cómo va cambiando el propio sistema de sellado, es decir, cómo evoluciona la forma de componer la información.

- Las figuras 31 y 32 nos muestran cómo evolucionan dos aspectos importantes, el peso de cada elemento en el sistema de sellado y su capacidad de asociarse con otros elementos.

Para completar la descripción del sistema de sellado de las Dressel 20, nos falta un último aspecto; hasta ahora hemos estudiado los sellos individuales, pero un ánfora puede contener más de un sello.

1.7.- Varios sellos en un mismo envase.

La información que nos proporciona el ánfora puede resolverse con uno, dos y hasta tres sellos distintos colocados en distintas partes del envase³⁹. Desgraciadamente, la mayoría de las ánforas recuperadas se presentan fragmentadas. Como consecuencia, en la tabla solo disponemos de 52 casos registrados en que el ánfora contaba con más de un sello y con estos datos no podemos establecer el grado de incidencia del fenómeno del doble y triple sellado en la epigrafía olearia bética.

En la figura 33, presentamos en un gráfico la distribución de las estructuras resultantes de las combinaciones de sellos en un mismo envase que han llegado hasta nosotros. Tal y como sucedía cuando estudiábamos las estructuras de los sellos individuales, lo primero que destaca del cuadro es la aparente diversidad. Pero, como explicamos entonces, esto no es más que “ruido”. Al organizarlos por sus estructuras elementales, resultado de la suma de los elementos que aporta cada sello, observamos un patrón de comportamiento.

En nuestra opinión, el objetivo de las combinaciones de sellos parece ser el de generar nuevas binas y ternas, es decir, generar nuevas relaciones entre elementos de distinta clase (*vide* 3.5).

Las **binas** se generan a partir de dos sellos de contenido simple de diferente clase. Tenemos representadas en el cuadro las tres binas posibles que se pueden generar a partir de los elementos simples de los sellos. La bina que cuenta con un mayor número de casos es la formada por unos TRIA NOMINA y un COGNOMEN, que alcanza una incidencia de más del 44% de los casos. Las otras dos binas presentan una incidencia menor, TRIA NOMINA y TOPÓNIMO (19,23%) y TOPÓNIMO y COGNOMEN (11,54%).

Las **ternas** se pueden formar a partir de dos o tres sellos (figura 33). En el primer caso, tendremos un sello de contenido compuesto más un sello de contenido simple. Hasta ahora tenemos constatados los casos: [TRIA NOMINA +TOPÓNIMO] + [COGNOMEN]: 7,69% y [TRIA NOMINA + COGNOMEN] + [TOPÓNIMO]: 1,92%. En el segundo caso la terna se forma como suma de tres sellos de contenido simple: [TRIA NOMINA] + [COGNOMEN] + [TOPÓNIMO]: 1,92%.

En pocos casos las combinaciones se producen entre sellos que repiten elementos de la misma clase, de modo que, según nuestra definición, con su fusión no se alcanza una estructura más compleja. Hasta ahora solo tenemos tres casos y la función parece ser la de generar nuevas **sociedades y asociaciones** de TRIA NÓMINA O COGNOMINA

³⁹ Pueden consultar un extenso estudio sobre las posiciones del sellado de las Dressel 20 en Berni 2008: 81-87.

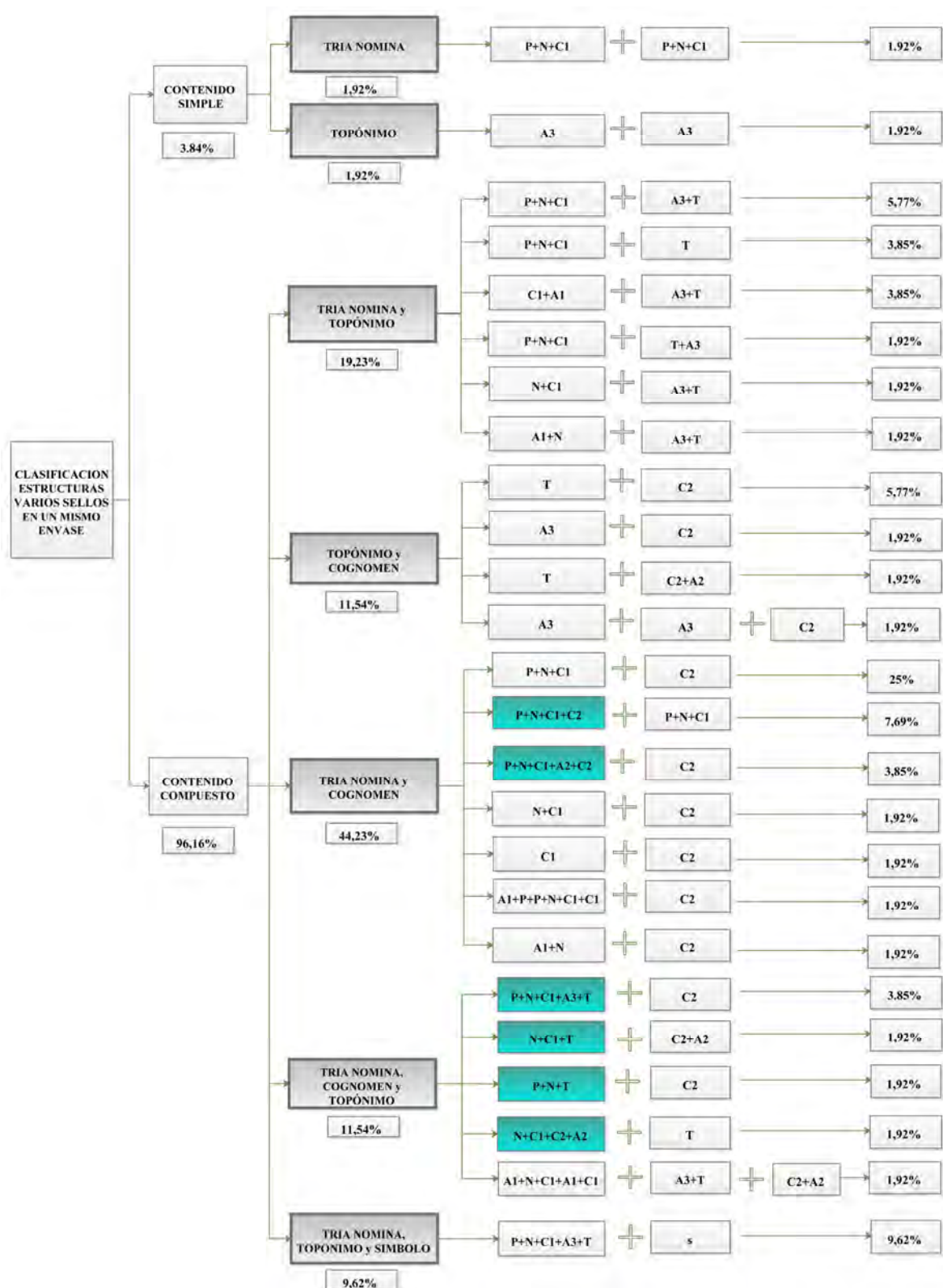


Figura 33.- Distribución de las estructuras resultantes de la combinación de varios sellos en un mismo envase.

Las nuevas binas y ternas creadas por combinaciones de sellos individuales en un mismo envase están generando nuevas relaciones entre los elementos que se nos estarían escapando, de no ser por la casualidad de haber encontrado el envase completo. Como no sabemos la incidencia del fenómeno del doble o triple sellado, en realidad no sabemos cuanta información estamos perdiendo, pero, al menos podemos hacernos una idea aproximada de su composición.

Los resultados estadísticos de la combinación de sellos en un mismo envase deben considerarse preliminares, dado el escaso número de ejemplares que presenta la muestra. No obstante, están marcando unas tendencias. Si comparamos los resultados de la incidencia de las combinaciones de elementos entre los sellos individuales y la compuesta por varios sellos en un mismo envase (figura 34) comprobamos que la distribución resulta muy diferente en ciertos casos.

	combinación de elementos (binas y terna)	sellos individuales	varios sellos
binas	TRIA NOMINA + TOPÓNIMO	14,56%	19,54%
	TOPÓNIMO + COGNOMEN	7,54%	11,54%
	TRIA NOMINA + COGNOMEN	4,27%	44,23%
ternas	TRIA NOMINA + TOPÓNIMO + COGNOMEN	3,13%	11,54%

Figura 34.- Estudio comparativo de la incidencia de las combinaciones de elementos entre sellos individuales y varios sellos en un mismo envase.

Atendiendo a estos resultados, con el fenómeno del doble y triple sellado del ánfora parece que sobre todo estamos perdiendo las relaciones que se producen entre los TRIA NOMINA y los COGNOMINA, que representan más de la mitad de los casos conocidos. Este sería el caso de la bina TRIA NOMINA + COGNOMEN con una incidencia general de más del 44% y el de la terna [TRIA NOMINA + TOPÓNIMO] + [COGNOMEN] con un 7,69% sobre el total. En nuestra opinión, a estos casos debemos sumar las asociaciones de [TRIA NOMINA + TOPÓNIMO] + [s] (símbolo) con una incidencia del 9,62%, donde los diversos símbolos tendrían una función equiparable a la de los COGNOMINA a la hora de identificar la procedencia de las ánforas en el centro productor. En el capítulo 3 desarrollaremos esta última cuestión.

Las estadísticas sobre la evolución de las estructuras elementales de los sellos individuales (figura 30), también nos pueden estar mostrando algunas características del doble sellado de los envases. Hasta el primer tercio del s.II d.C. la bina más común en los sellos individuales es: TOPÓNIMO y COGNOMEN. En ese periodo, los elementos simples más usuales son los TRIA NOMINA y, además, sabemos por los datos de la figura 32, que es justamente en ese periodo cuando los TRIA NOMINA menos se relacionan con otros elementos en los sellos individuales. En los siglos II y III, cambia la tendencia y la bina más usual pasa a ser la formada por TRIA NOMINA y TOPÓNIMO. En el siglo II d.C, los elementos simples más usuales siguen siendo los TRIA NOMINA, pero, en el s. III cambia la tendencia y son los COGNOMINA y, como en el caso anterior, es en este periodo cuando los COGNOMINA menos se asocian a otros elementos en los sellos individuales (figura 32). Pensamos que estos datos nos pueden estar hablando de cómo cambia con el tiempo la formación de las ternas cuando están compuestas por dos sellos en el mismo envase (*vide* 3.5)

Como veremos a lo largo del trabajo, conocer todas las relaciones que se establecen entre los diversos elementos de los sellos, resulta imprescindible para llegar a comprender y restituir la organización productiva básica de los centros productores de estos envases.

Conclusiones.

En el capítulo se presenta una clasificación de los contenidos de los sellos, resultado del desarrollo de nuestra propuesta de 2008. A partir de estos contenidos hemos establecido las fórmulas epigráficas de la mayoría de los sellos conocidos. Para establecer la fórmula epigráfica de cada lectura, hemos seguido el siguiente esquema: LECTURA → DESARROLLO → ESTRUCTURA → FÓRMULA EPIGRÁFICA.

Con estos datos hemos elaborado una estadística general que nos ha permitido describir el sistema de sellado de las ánforas Dressel 20. En nuestra opinión, en esencia, el sistema de sellado resulta ser sorprendentemente simple. Los sellos están compuestos por algunos de los tres elementos principales (TRIA NOMINA, COGNOMEN, TOPÓNIMO), sus combinaciones de dos en dos (binas) o los tres elementos juntos (ternas). Desde este punto de vista, la enorme variabilidad que presentan los sellos se produce porque estas estructuras elementales se pueden construir de múltiples formas y hemos tratado de describir cuáles son estos factores de variabilidad. De modo que el sistema de sellado oleario bético se puede resumir en **7 estructuras elementales**: tres de contenido simple y cuatro de contenido compuesto (figura 16). En el 90% de los sellos, estas siete estructuras elementales se resuelven por **22 estructuras básicas** (figura 15).

Los resultados estadísticos, también nos han permitido establecer las características que presentan los elementos principales de los sellos y su evolución en el tiempo, tales como: su representatividad en el sellado, su capacidad de asociarse con otros elementos, la frecuencia con que aparecen acompañados de ATRIBUTOS o el orden que presenta cada elemento en las fórmulas epigráficas. También nos ha permitido establecer la incidencia en el sellado que presentan estas 22 estructuras básicas y cómo evolucionan en el tiempo. Mas allá del dato estadístico concreto, el sistema de sellado muestra unas tendencias generales, que son las que hemos tratado de describir. La representatividad que muestran cada una de las siete estructuras elementales en el sistema de sellado va cambiando con el paso del tiempo, es decir, va cambiando el tipo de información que se consigna en los sellos individuales. En nuestra opinión, ello puede obedecer a dos circunstancias distintas pero relacionadas. Por un lado, estos datos nos pueden estar hablando de la evolución organizativa de los centros productores, pero también de cómo evoluciona el propio sistema de sellado y la forma en que se agrupa la información.

En el último apartado, hemos estudiado el fenómeno del doble y triple sellado de las ánforas y hemos elaborado las primeras estadísticas sobre su composición a partir de los ejemplos conocidos, todavía escasos. (figura 33). En nuestra opinión, estas combinaciones de sellos distintos en un mismo envase sirven, fundamentalmente, para generar nuevas binas y ternas, es decir, generar nuevas relaciones entre elementos de distinta clase. Como hemos visto, la mayoría de los sellos individuales presenta un contenido simple (2 de cada 3 sellos). Este dato nos hace pensar que el doble y triple sellado del ánfora debería ser una práctica frecuente. Pero, dado el escasísimo número de ánforas que podemos recuperar completas, estas relaciones se nos habrán perdido en la mayoría de los casos. No obstante, gracias a los ejemplos que han llegado hasta nosotros podemos hacernos una idea aproximada del tipo de información que estamos perdiendo. Con los datos actuales, debido al fenómeno del doble y triple sellado de las ánforas estamos perdiendo, fundamentalmente, las relaciones establecidas entre los COGNOMINA y el resto de los elementos y, muy particularmente, estaremos perdiendo sus relaciones con los TRIA NOMINA.

Con esto concluimos el capítulo dedicado a los contenidos y las estructuras de los sellos. En el siguiente capítulo trataremos otros aspectos importantes de los sellos: sus matrices y su diseño.

CAPÍTULO 2.- LAS MATRICES Y EL DISEÑO DE LOS SELLOS.

Introducción.

Para sellar las ánforas olearias béticas se utilizaron matrices (*signacula*) con la inscripción encerrada en una cartela (*tabella*) normalmente rectangular, aunque también las conocemos cuadradas, ovaladas, circulares o curvas (*vide* 2.3.2). Solo han llegado hasta nosotros tres matrices que se pueden asociar a sellos impresos sobre ánforas Dressel 20 y en todos los casos estaban confeccionadas en arcilla cocida (figura 35), aunque creemos que también se utilizaron en el sellado de estas ánforas matrices metálicas⁴⁰, e incluso de madera⁴¹. Como sabemos, las ánforas se sellaban antes de pasar por los hornos, cuando la arcilla todavía en crudo presentaba una consistencia “tipo cuero”⁴², ya que, si el barro está todavía muy fresco, este se adhiere a la matriz selladora y la impronta no presentará suficiente calidad⁴³.



Figura 35.- Signacula de barro cocido usados en el sellado de las Dressel 20:
a.- Arva (Bonsor 1931: Lám. XXXV nrs. 168,169, fotografía: Ponsich 1974: Lám.III); b.-La Catria (Remesal 2004b: 138 ss); c.- Alcotrista (Museo Histórico Municipal de Écija).

Los sellos se sitúan generalmente en las asas del ánfora (*in ansa*), aunque también los conocemos en el vientre (*in ventre*), en el arranque inferior de las asas (*in radice ansae*), en el labio superior del borde (*in labro*), en el cuello (*in collo*) o junto al pivote de la base del ánfora (*in pede*)⁴⁴.

Comenzaremos el capítulo comentando los avances de la investigación en el campo de la **representación gráfica** de los sellos, que nos han permitido contar con imágenes neutras y objetivas

⁴⁰ Remesal 1977-78: 98; Rodríguez Almeida 1984: 264-265; Berni 2008: 80.

⁴¹ Remesal 1977-78: 98, fig. 27 n° 38. Berni 2008: 81.

⁴² Remesal 2004: 139.

⁴³ Podemos ver un ejemplo de un sello mal impreso debido a que el barro estaba muy fresco en Berni 2008, fig. 36, b.

⁴⁴ Sobre las posiciones de sellado en las ánforas Dressel 20: Remesal 1977-78: 98, Berni 2008: 81-87.

del desarrollo plano de estos epígrafes⁴⁵ (2.1). Esta circunstancia ha resultado ser crucial para avanzar en dos líneas de investigación: la **clasificación de las matrices** y el **análisis del diseño** de los sellos. En la primera parte del capítulo desarrollaremos un modelo teórico que nos permitirá clasificar las matrices de los sellos. Como es bien sabido, sellos con una misma lectura pueden proceder de matrices distintas, que podemos clasificar internamente para cada lectura. Pero, desgraciadamente no contamos con las matrices de los sellos para poder estudiarlas y debemos analizarlas indirectamente a partir de sus improntas. En estas condiciones, la clasificación de las matrices se complica enormemente debido a la variabilidad que presenta la propia acción mecánica que debe realizar el operario durante el sellado. El proceso genera improntas de calidad muy diversa y con distintos grados de deformación. Corremos el riesgo de no saber distinguir donde termina una mala impresión o la deformación de un determinado ejemplar, y donde comienza una matriz distinta. De modo que antes de enfrentarnos a la tarea de catalogar matrices, debemos reflexionar sobre esta deformación que sufren los sellos respecto a sus matrices y sobre los procedimientos que se usaron para confeccionar dichas matrices. En nuestro campo de estudio, todos estos aspectos se analizan en lo que se denomina genéricamente la **“mecánica del sellado”** (2.2). Seguidamente, presentaremos el modelo teórico propuesto para clasificar las matrices, incluyendo las bases interpretativas sobre las que nos apoyamos para desarrollarlo (2.3). Terminamos el capítulo reflexionando sobre algunos aspectos del diseño de los sellos, que pondrá en nuestras manos una nueva herramienta de análisis (2.4). El estudio del diseño de los sellos de las diversas series de un taller nos permitirá profundizar en la comprensión de cómo se usaron estas matrices en la organización productiva y, en última instancia, nos ayudará a ordenar cronológicamente las diversas fases productivas de los talleres.

2.1.- El método de los moldes de silicona, diez años de aplicación.

La investigación de los sellos se ha visto condicionada decisivamente por los métodos usados en la propia representación gráfica del material. Obtener unas buenas representaciones gráficas de los sellos ha supuesto un problema que hemos tardado en solucionar, a pesar de contar con dicha solución desde el inicio de la investigación. Dressel había conseguido realizar unos calcos de los sellos en papel de muy buena calidad (figura 36). Estos calcos no llegaron a publicarse debido a que las técnicas de impresión de finales del s.XIX no lo permitían, pero posibilitaron que Dressel clasificara los sellos incluidos en el CIL XV de manera muy precisa⁴⁶. Desgraciadamente la técnica usada por Dressel no llegó a los investigadores y durante los siguientes 100 años se usaron diversos métodos para representar gráficamente los sellos que, por uno u otro motivo, presentaban limitaciones que han lastrado la investigación. Los más usados han sido los dibujos realizados a partir de calcos en papel y las fotografías. Como hemos visto, los sellos se presentan sobre superficies curvas, generalmente sobre las asas de los envases. Esta circunstancia impide que una fotografía de los sellos sea una buena forma de representarlos, pues la imagen se presentará deformada debido a la perspectiva y será imposible obtener de ella unas simples medidas del epígrafe. Para conseguir una imagen plana de los sellos se utilizaron calcos en papel y sus dibujos, pero el sistema presentaba un alto grado de subjetividad. Dibujos de un mismo ejemplar realizados por distintos investigadores producían resultados diferentes. En 2008 presentamos un nuevo método para estudiar y publicar los sellos anfóricos basado en la confección de moldes de silicona, que no era más que una puesta al día del método utilizado por Dressel. Ambos métodos nos permiten contar con una imagen plana neutra y objetiva de los epígrafes.

⁴⁵ Barea *et al.* 2008: 167-180.

⁴⁶ Estos calcos aún se conservan en los archivos del CIL de la Academia de Berlín y pueden ver una imagen de algunos de ellos en la figura 36 de este trabajo, tomada de Remesal 2012: fig.9.

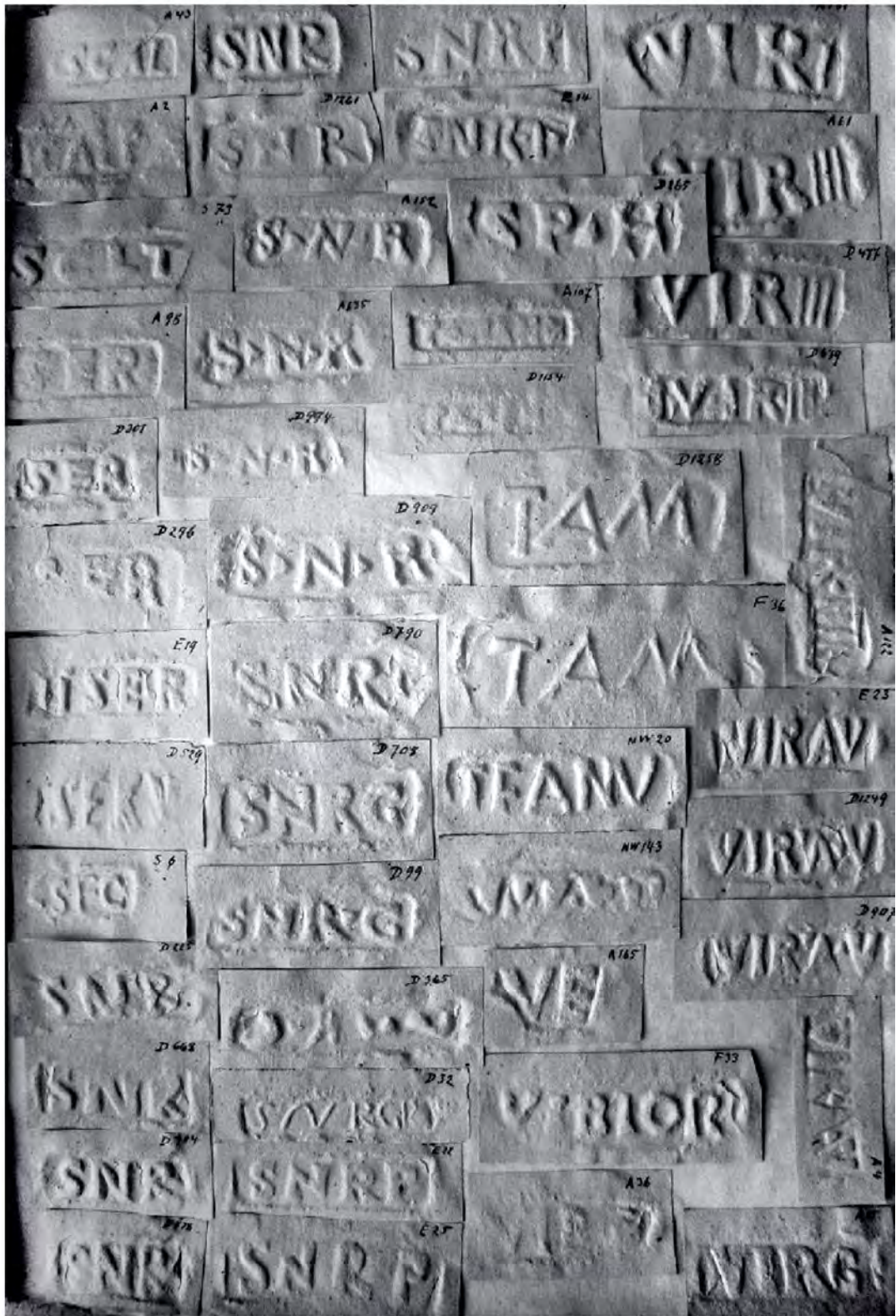


Figura 36.- Calcos en papel de Dressel (Remesal 2012, fig. 9)

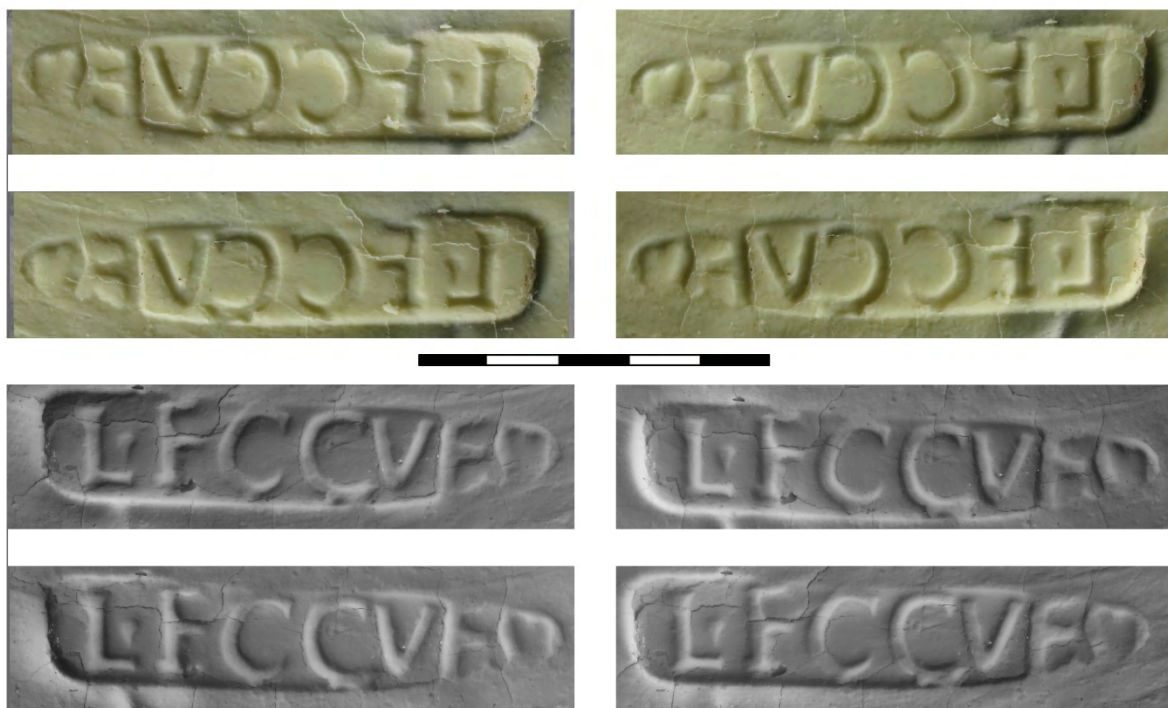


Figura 37.- Moldes de silicona (Barea *et al.* 2008: anexo, fig.19)

En estos años hemos realizado moldes de silicona a más de 10.000 ejemplares de sellos hallados sobre varias tipologías anfóricas (Dressel 20 y 23, Haltern 70 y 71, Dressel 28, Dressel 2/4, Dressel 1, Key XVI) y varias zonas productoras (Bética, Tarraconense), lo que nos ha permitido contar con una considerable masa de datos en unas condiciones óptimas para su estudio.

A continuación, comentamos algunas experiencias obtenidas en los 10 años de aplicación del método. En primer lugar, el sistema resulta fácil y rápido de ejecutar. A medida que hemos ido procesando el material, hemos mejorado en la calidad de los resultados. El método también facilita la lectura de los sellos, especialmente cuando estos se presentan mal impresos, deteriorados o faltos de relieve. Pero sobre todo nos ha permitido avanzar en varias direcciones: profundizar en la catalogación de las matrices y en el estudio del diseño de los sellos, aspectos que trataremos de desarrollar a lo largo de este capítulo.

El sistema, además de en nuestras publicaciones⁴⁷, se ha implantado en los *corpora* de las excavaciones del Testaccio⁴⁸, en los últimos trabajos de Berni sobre los sellos de Neuss⁴⁹ y Nimega⁵⁰ y, muy recientemente, ha sido adoptado por los investigadores franceses y españoles que trabajan en estos momentos en los centros productores de la Bética⁵¹, de modo que poco a poco se va imponiendo, al menos, en el ámbito de los estudios de la Dressel 20.

⁴⁷ Desde 2008, en nuestras publicaciones se recogen representaciones gráficas de los sellos obtenidas por este método. Las más representativas serían: Barea *et al.* 2008; Moros *et al.* 2010, Moros 2014.

⁴⁸ Testaccio 2010; id. 2014.

⁴⁹ Berni 2015: 173-207.

⁵⁰ Berni 2017: 185-282.

⁵¹ Investigación enmarcada en el proyecto OLEASTRO de la Universidad de Montpellier III en colaboración con la Universidad de Sevilla.

También hemos podido comprobar la resistencia de los conservadores de los museos a permitir realizar el proceso. Dos aspectos del método son los que producen un mayor rechazo. El primero es la aplicación a la pieza de una fina capa de acetato de polivinilo muy diluida en agua que impide que la silicona se adhiera al sello. La mayor parte del producto, que es soluble al agua, se retira de la pieza adherido a la silicona. El segundo problema se produce por las características del producto utilizado. La silicona que usamos en la confección del molde está compuesta por una base y un catalizador. Al mezclarse comienza el curado y durante esta fase se libera un alcohol que produce un cambio de coloración en la pieza, algo así como si ésta se presentara húmeda en la zona donde se ha aplicado el producto. Como todos los alcoholes, éste se evapora con el tiempo. La desaparición de todo rastro del proceso en la pieza puede producirse pasados varios meses, depende de las condiciones de humedad a que esté expuesta. Entendemos las reticencias de los conservadores de los museos, y trataremos de buscar soluciones alternativas a estos “problemas estéticos” que el proceso genera a la pieza, que por lo demás, en nuestra opinión, permanece inalterada. Pero, esperamos que estas páginas hagan reflexionar a los conservadores de los museos sobre las ventajas que supone trabajar con los moldes de los sellos, ya que de otra manera no podremos avanzar en la investigación de este tipo particular de documento epigráfico. Les pedimos que prioricen estas circunstancias sobre la conservación “estética” de la pieza, máxime cuando este tipo de material no se suele exponer al público y, pasado un tiempo en los almacenes, no quedará rastro alguno del proceso realizado.

En el siguiente apartado recogemos un nuevo método para obtener las imágenes de los moldes respecto al modelo presentado en 2008. Seguidamente, incluiremos un nuevo método derivado de los moldes de silicona que nos permitirá reconstruir imágenes ideales de los sellos.

2.1.2. Escaneado de la silicona.

En el método de los moldes de silicona expuesto en 2008, la reproducción de los sellos se obtiene tomando fotografías de los moldes en una mesa de reproducción. En una visita al CEIPAC del profesor Alfredo Buonopane (*Università degli Studi di Verona*) nos propuso un nuevo método para reproducirlos, el escaneado del molde. El método da buenos resultados y presenta las siguientes ventajas respecto a la fotografía.

- La luz incide en el cristal del escáner con una inclinación de 45 grados, lo que resulta óptimo para observar el relieve de un molde colocado sobre él.
- Podemos controlar la dirección en que incide la luz en el molde si lo giramos al colocarlo en el escáner. Es decir, si giramos el molde 45 grados en el sentido de las agujas del reloj, obtendremos una imagen con la luz entrando por la parte superior izquierda del molde.
- Podemos escanear varios moldes al mismo tiempo.
- Los sellos se presentan a su tamaño real en la imagen escaneada, no es necesario cambiarlos de escala.

En la figura 38, parte superior, podemos ver la disposición que adoptan los moldes en el escáner. Para conseguir la imagen final (figura 38, parte inferior), hemos seguido el procedimiento enunciado en 2008, salvo que en este caso partimos de la imagen del escaneo del molde, no de su fotografía.



Figura 38.- Escaneo de moldes de silicona.

2.1.3. Reconstrucción de imágenes ideales de los sellos.

Partiendo de los resultados de los moldes de silicona podremos reconstruir imágenes ideales de los sellos. En general el material que nosotros manejamos proviene de prospección superficial en los centros de producción, de modo que se encuentra muy “rodado” y fragmentado. En ocasiones, podemos reconstruir la imagen ideal de un sello, combinando varias improntas procedentes de una misma matriz (figura 39).

A la hora de aplicar el método es importante contar con una imagen que contenga el sello completo, en el caso del ejemplo de la figura 39 contamos con el ejemplar BBSM, n° 57, que nos sirve de base para superponerle los diversos fragmentos que componen la imagen final. Siguiendo este protocolo, evitaremos crear “engendros”.

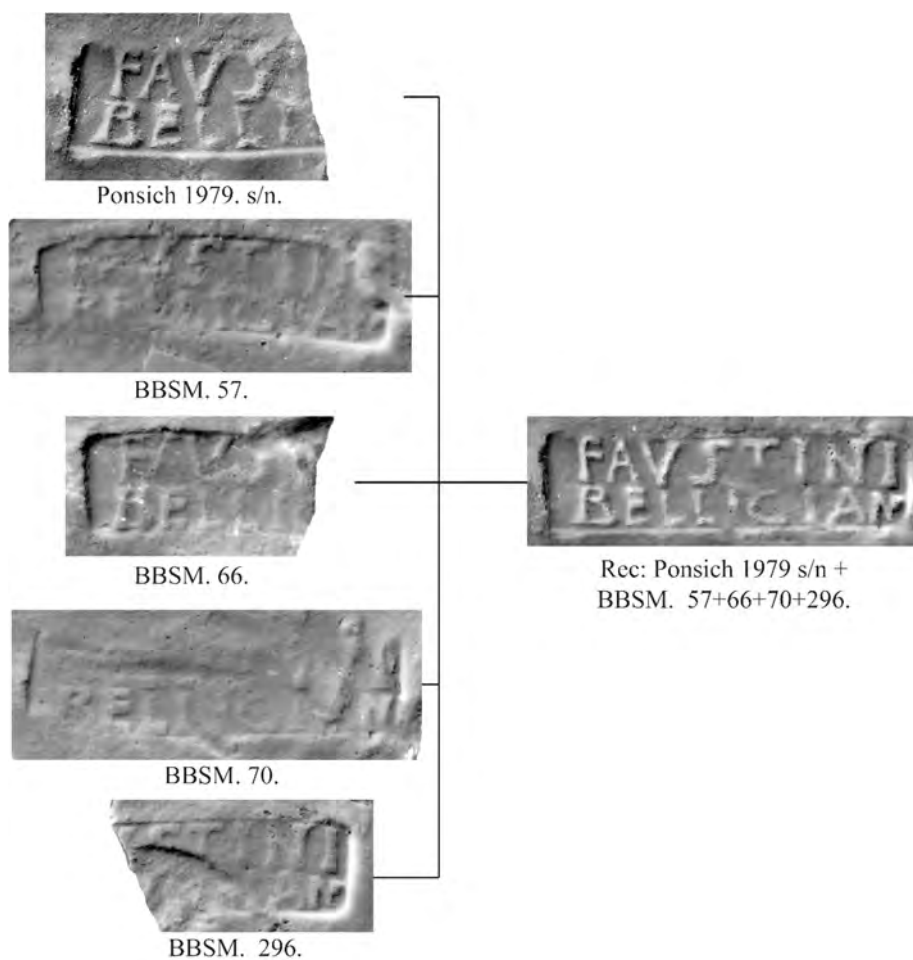


Figura 39.- Reconstrucción de la imagen ideal del sello FAVSTINI/BELLICIAN.

2.2.- La mecánica del sellado de las ánforas olearias béticas.

Como hemos visto en la introducción, antes de afrontar la tarea de catalogar las matrices de los sellos, debemos reflexionar sobre varios aspectos de la mecánica del sellado que, como veremos a continuación, presenta más complejidad de la que, en principio, cabría plantearse para una acción tan aparentemente simple como es la de sellar las ánforas. En este apartado incluimos las hipótesis planteadas por Remesal sobre el sistema básico usado en el sellado de las ánforas olearias béticas (2.2.1). A continuación, trataremos el asunto de la deformación que sufre el sello respecto a su matriz debido a la propia acción mecánica del sellado (2.2.2). Finalmente, plantearemos un modelo teórico sobre las diversas formas de generar copias de sellos (2.2.3) e incluimos un protocolo para estudiar los casos en que contamos con sellos que presentan un mismo diseño, pero que sin embargo incluyen dimensiones muy diferentes (2.2.4).

2.2.1.- La mecánica del sellado.

El análisis de los sellos y el estudio de la matriz conocida por entonces, llevaron a Remesal⁵² a establecer las primeras hipótesis sobre la mecánica del sellado⁵³. Gracias al signáculo hallado por

⁵² Remesal 1977-78: 97-99.

⁵³ Remesal 1977-78: 98; id.1986: 19

Bonsor⁵⁴ en Arva con el texto QFRRIV (figura 35a), el autor pudo demostrar que esta herramienta no era en realidad una matriz selladora⁵⁵, sino una matriz primigenia de la que se podían extraer múltiples matrices selladoras idénticas. Ello era así, porque el signáculo presentaba letras excisas (*litteris extantibus*) y lectura directa (de izquierda a derecha). De modo que si sellamos con él obtendríamos sellos con letras incisas (*litteris cavis*) y lectura retro (de derecha a izquierda). Pero todos los sellos QFRRIV que conocemos presentan letras excisas y lectura directa⁵⁶, tal como muestra el signáculo de Arva hallado por Bonsor, de ahí la idea de que se tratase de una matriz primigenia⁵⁷. El esquema básico del sellado planteado por Remesal sería, por tanto:

MATRIZ PRIMIGENIA → MATRIZ SELLADORA → SELLO.

Con el uso de este sistema se obtendrían varias ventajas. Por un lado, como ya observara Remesal, la matriz primigenia se constituye como una herramienta que permitiría sustituir las matrices selladoras por otras idénticas cuando estas se estropeaban o simplemente se extraviaban. Por otro lado, facilitaría la confección del propio objeto, ya que el artesano trabajaría con la forma final que tendría el sello sobre el ánfora, no con la forma inversa que habría de tener la matriz selladora⁵⁸. Ello es así porque en cada uno de estos dos pasos (matriz primigenia → matriz selladora / matriz selladora → sello), obtenemos la impronta inversa de la anterior. Si partimos de una matriz primigenia con las letras excisas y lectura directa, como es el caso del signáculo de Arva, la matriz selladora que obtenemos a partir de ella presentará letras incisas y lectura retro. Al aplicar esta matriz selladora en el ánfora, volveremos a obtener un sello con letras excisas y lectura directa.

Berni ha planteado que estas matrices primigenias pudieran usarse también para generar variantes de los sellos. Esto se conseguiría con el retoque manual de la pastilla de barro obtenida de la matriz primigenia, que una vez cocida se usaría como matriz selladora. En estas pastillas de barro se podían alterar fácilmente alguna parte del texto original, como las letras, los nexos, incluso añadiendo o eliminando signos de interpunción o simplemente borrando letras⁵⁹.

Otra reflexión importante de Remesal para comprender el complejo funcionamiento de la mecánica del sellado fue observar que, por la propia naturaleza de la arcilla, en cada uno de los pasos del proceso por él enunciado se produce una reducción del tamaño del objeto. La mayor pérdida de agua de la arcilla se produce en su secado al aire, lo que provoca que ésta alcance su máxima contracción. Como el sello se imprime cuando el barro ha secado un poco, una parte de la contracción de la arcilla se desarrolla antes de colocar el sello. En el proceso de cocción la pérdida de agua es menor, por tanto, también lo es la cuantía de la contracción que se produce. Berni pudo calcular que la contracción total que se produce entre el tamaño de la matriz selladora y su impronta sería de

⁵⁴ Las referencias de la pieza son: Bonsor 1902: 844-845 ss. y fig. 5 (dibujada a escala); reproducida por Ponsich 1974: 160, fig. 63 y lám. LIII (con dibujo a escala y fotografía).

⁵⁵ En sus estudios, Remesal denomina “contra-matrices” a las matrices obtenidas de las matrices primigenias, que posteriormente se usaron para sellar las ánforas. Nosotros las denominaremos en este trabajo “matrices selladoras”

⁵⁶ En la base de datos CEIPAC tenemos dos sellos con lectura QFRRIV, uno procedente de Nimega (Remesal 1986, n° 114) y otro de Dieburg (Ehmig 2007, taf. 7, 55). Ambos ejemplares presentan letras excisas y lectura directa.

⁵⁷ Berni observó un detalle funcional que permitiría diferenciar la matriz primigenia de las matrices selladoras: el asidero (figura 35 de este trabajo). La matriz primigenia de Bonsor presenta un pequeño orificio en el asidero, en el que sólo cabría un cordel. En las matrices selladoras de La Catria y Alcotrista el asidero es anular, de modo que permitiría introducir el dedo de operario que sellaba los envases (Berni 2008: 74-81).

⁵⁸ Berni 2008: 75.

⁵⁹ Berni 2008: 75-76. La validez de la hipótesis se observa muy claramente en la famosa serie de los sellos de los emperadores Septimio Severo, Geta y Caracalla (Dressel 1878: 144), que podemos ver en la figura 81 de este mismo capítulo.

aproximadamente un 6,25%. Para obtener este resultado práctico comparó el tamaño de la matriz selladora hallada en Alcotrista⁶⁰ (figura 40), de lectura aparente LFCÑFID *vel* LFCANTFID, con dos de sus improntas estudiadas por Remesal en Alemania⁶¹.



Figura 40.- Estudio comparativo entre el signáculo LFCÑFID de Alcotrista y dos de sus improntas.

Hemos vuelto a calcular este dato, en nuestro caso partiendo de la matriz de sellado QAEO[--- hallada en la Catria (figura 35c) y las pruebas de impresión realizadas por Remesal con dicha matriz⁶². En este caso la contracción es de aproximadamente un 6,5% (figura 41).

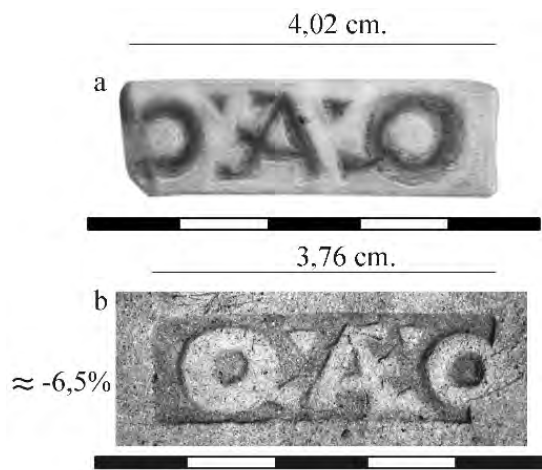


Figura 41.- Estudio comparativo entre el signáculo QAEO[--- y las pruebas de impresión realizadas por Remesal (2004, lám. 1 y 2.)

⁶⁰ Berni 2008: fig. 24. La pieza se conserva en el Museo Histórico Municipal de Écija.

⁶¹ Remesal 1997: núms. 247 y 247a.

⁶² Remesal 2004, lám. 1 y 2.

Finalmente, otra reflexión importante de Remesal sobre el sellado fue constatar que algunos sellos presentan un diseño idéntico, pero que sin embargo incluyen tamaños diferentes⁶³. Aquí podemos encontrarnos con dos situaciones distintas: que, aun presentando diferente tamaño, los sellos procedan de la misma matriz o que los sellos sean copias unos de otros. Para dilucidar en cuál de los dos casos estamos, resulta imprescindible conocer la cuantía de las desviaciones de tamaño observadas entre los ejemplares implicados.

2.2.2.- La deformación “matriz-sello” producida por la acción mecánica del sellado.

Dos sellos procedentes de la misma matriz pueden presentar diferente tamaño. Entendemos que esta circunstancia se debe a dos motivos fundamentales. Por un lado, la contracción de la cerámica dependerá de factores como la plasticidad que presente la arcilla usada en cada caso, de la cantidad de desgrasante empleado o de la temperatura de cocción. Entendemos que partidas de ánforas diferentes podrían tener distintos grados de contracción. Pero, fundamentalmente, las dimensiones de los sellos se ven afectadas por la deformación que se produce en la propia acción mecánica que debe realizar el operario durante el sellado y, particularmente, al tener que sellar con matrices planas sobre las superficies curvas de los envases, generalmente en las asas. De modo que las medidas del sello se ven alteradas por distintos grados de deformación. La toma de unas medidas del sello resulta una herramienta muy eficaz a la hora de distinguir ejemplares procedentes de la misma matriz, pero hemos de ser conscientes de los grados de tolerancias dimensionales que son admisibles. En la figura 42 incluimos un caso de la serie IICLLM de El Tejarillo⁶⁴. Debido a algunas peculiaridades que presenta el sello, desperfectos en las cabezas de ambas “L” y la existencia de una “arruga” entre la segunda “L” y la “M” final, creemos estar seguros de que ambas improntas fueron realizadas por la misma matriz (ver detalle figura 42). En este caso tenemos una diferencia entre ambos ejemplares de aproximadamente 4,66 % en su dimensión longitudinal.

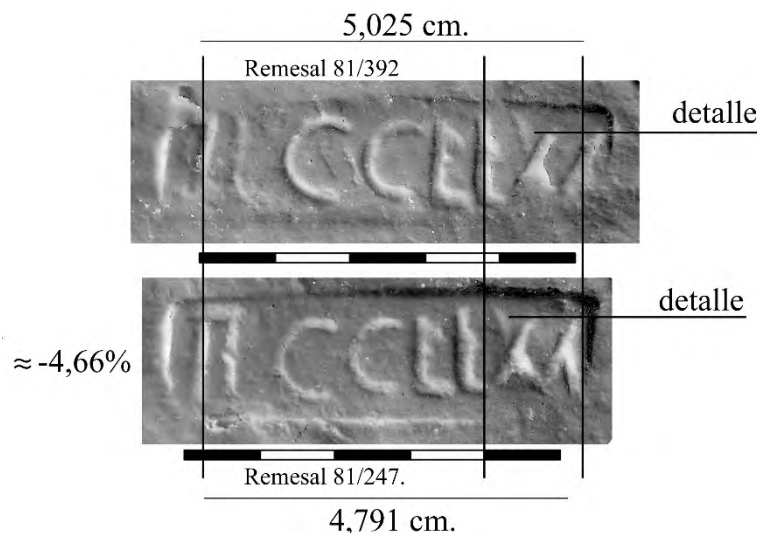


Figura 42.- Estudio comparativo de dos ejemplares del sello IICLLM de El Tejarillo.

⁶³ Remesal 1986: 19.

⁶⁴ Queremos expresar nuestro agradecimiento al profesor Remesal por habernos permitido utilizar algunos de los sellos prospectados por él y que permanecían inéditos, figuras: 42 y 48 de este apartado.

Esta sería la deformación longitudinal media que se produce entre dos puntos concretos de las inscripciones, en este caso tomado entre el primer y último carácter. Pero la deformación del sello no es uniforme. Esta circunstancia se puede comprobar fácilmente comparando las distancias entre las letras de cada uno de los ejemplares (figura 43).

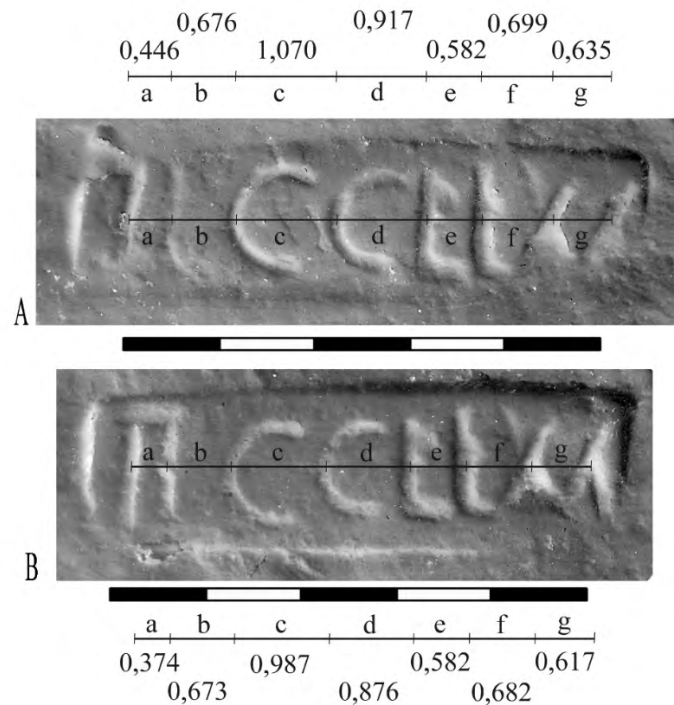


Figura 43.-Distancias entre letras para dos ejemplares del sello IICCLLM de El Tejarillo, procedentes de la misma matriz.

En la figura 44, recogemos las medidas entre letras obtenidas en ambos ejemplares (a-g) y su diferencia en porcentaje.

	a	b	c	d	e	f	g	Total
A	0,446	0,676	1,07	0,917	0,582	0,699	0,635	5,025
B	0,374	0,673	0,987	0,876	0,582	0,682	0,617	4,791
≠ %	-16,14	-0,44	-7,76	-4,47	0,00	-2,43	-2,83	-4,66

Figura 44.- Diferencia de tamaño en porcentaje del ejemplar B respecto de A para las medidas a-g.

En la figura 45 incluimos un gráfico de los distintos grados de deformación longitudinal de los sellos. La deformación presenta forma de onda. En este caso particular encontramos diferencias notables al principio de los epígrafes -en el numeral “II”-, en la parte central -en las letras “CC”- y al final de la inscripción.

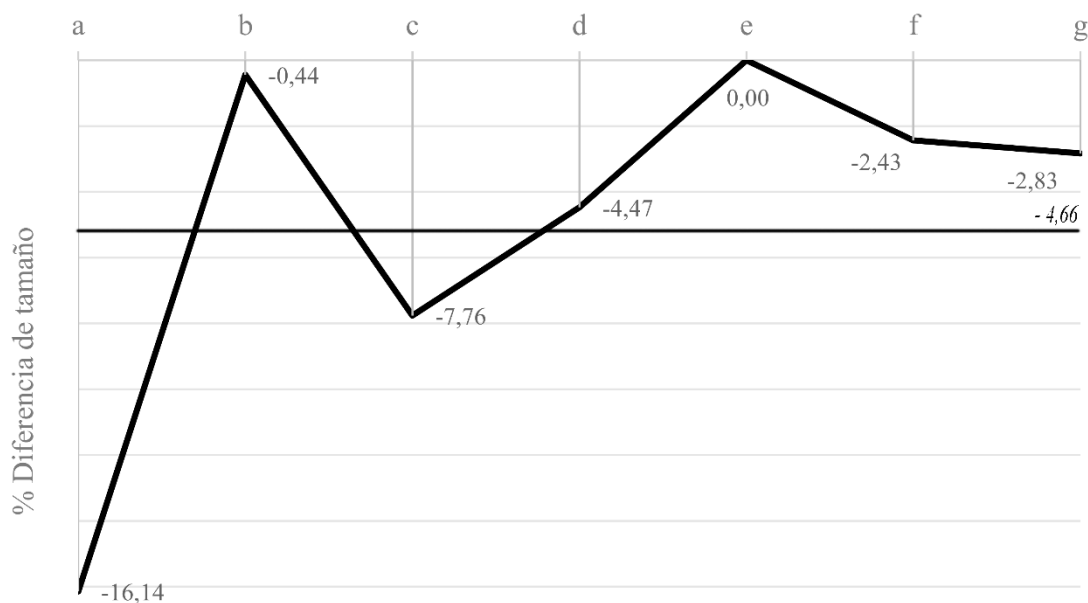


Figura 45.-Deformación longitudinal medida entre dos ejemplares del sello IICLLM del Tejarillo.

De modo que entre dos ejemplares procedentes de la misma matriz tenemos dos factores que pueden hacer que presenten medidas diferentes. Por un lado, podemos tener distintos grados de contracción respecto a la matriz que los creó debido a diferencias en las características de los distintos lotes de arcilla usados en la confección de las ánforas. Esta contracción, de existir, habría de ser homogénea. Pero, fundamentalmente, los sellos se ven afectados por una deformación no homogénea con forma de onda, debida a la variabilidad de la propia acción mecánica del sellado y al hecho de sellar sobre superficies curvas, generalmente en las asas de los envases, con matrices planas. En el caso estudiado hemos obtenido una deformación longitudinal media del 4,66% entre ambos ejemplares.

2.2.3.-Modelo teórico de las distintas formas de generar copias de sellos a partir de matrices de barro cocido.

Los sellos pueden ser copias de otros sellos. Esto se observa muy claramente cuando encontramos dos sellos idénticos, pero donde uno es el inverso del otro, es decir que, si uno es exciso/directo, el otro será inciso/retro. Evidentemente estos sellos no provienen de la misma matriz, pero ambas matrices serían copia una de la otra. Con estos planteamientos hemos confeccionado un modelo teórico con las diversas combinaciones que permitirían crear nuevas copias de los sellos, partiendo de cada uno de los elementos del sistema: matriz primigenia, matriz selladora y el propio sello (figura 46). A la hora de desarrollar este modelo hemos redondeado el dato obtenido por Berni y por nosotros y consideramos una contracción teórica de la arcilla durante el proceso de secado y cocción de $\approx 6\%$.

En el primer caso de la figura 46, tenemos el esquema expuesto por Remesal:

MATRIZ PRIMIGENIA → MATRIZ SELLADORA → SELLO.

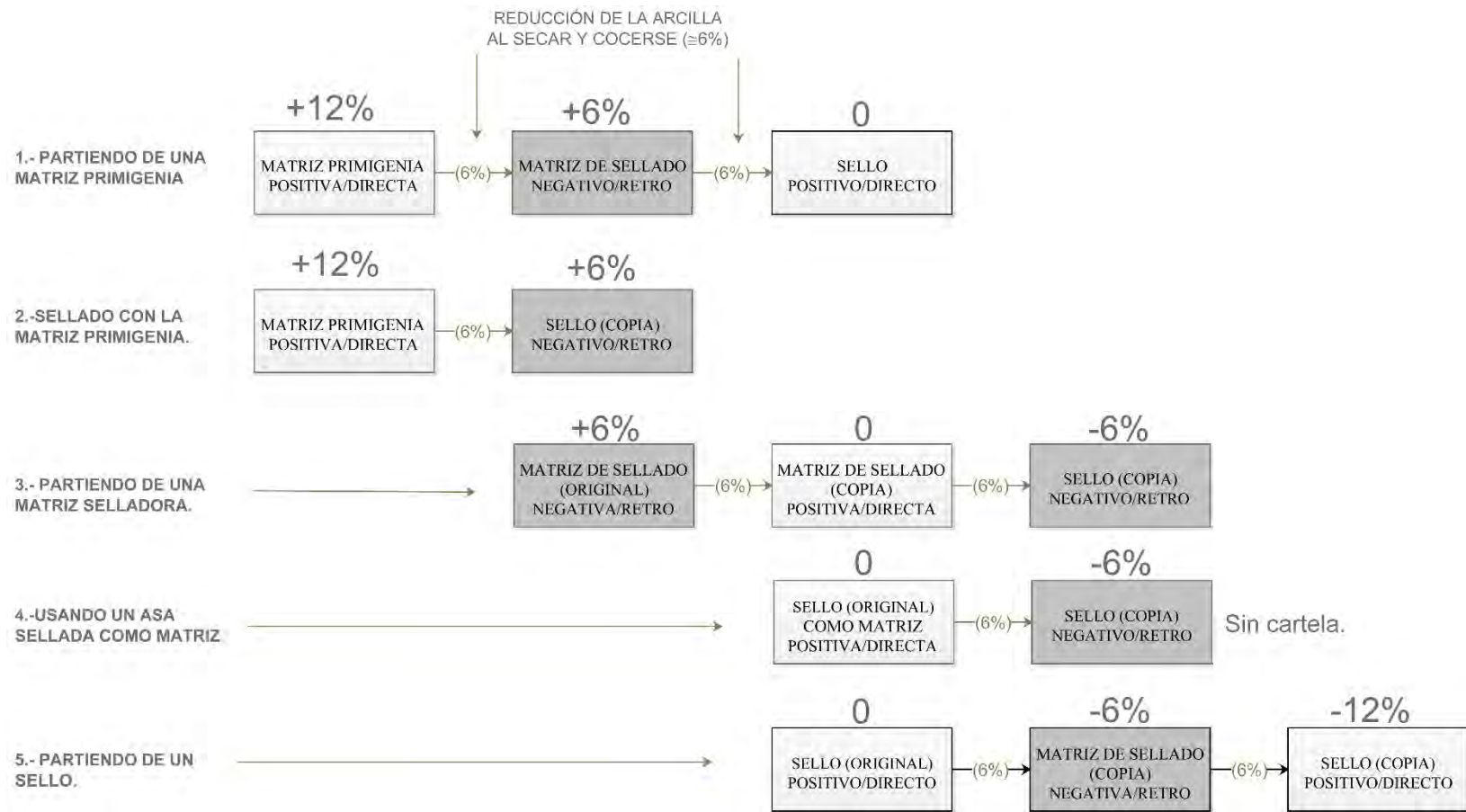


Figura 46.- Esquema teórico de la obtención de copias con matrices de barro cocido.

Si tomamos como base la medida del sello, la matriz selladora sería un 6% mayor que este, mientras que la matriz primigenia lo sería en un 12%. Si la matriz primigenia es positiva/directa, la matriz selladora habría de ser negativa/retro y el sello volvería a ser positivo/directo.

Por el momento, desconocemos si este era el sistema de sellado habitual o era el caso particular de esta matriz de Arva hallada por Bonsor. Entendemos con Remesal que este pudo ser el esquema habitual, dadas las ventajas que proporciona. De este modo, los responsables del taller conservarían las matrices primigenias que sólo eran utilizadas cuando necesitaban confeccionar una nueva matriz selladora⁶⁵. Pero como deducimos de los propios sellos, en no pocas ocasiones este sistema se veía alterado. Esta alteración del sistema se observa muy claramente cuando encontramos sellos que son copias de otros sellos. Veamos los casos teóricos que se pueden plantear.

Caso 2, figura 46: Sellado con la matriz primigenia.

Como ya observó Remesal, este caso se produce cuando el sellado se realiza, no con la matriz selladora, sino directamente con la matriz primigenia (figura 46, caso 2)⁶⁶. Si la matriz primigenia es positiva/directa, obtendremos un sello negativo/retro que será aproximadamente un 6% mayor que el sello obtenido con el proceso habitual de matriz primigenia-matriz selladora-sello. En la figura 47 presentamos dos ejemplares de la serie GAF de Azanaque-Castillejo que parecen cumplir estos parámetros.

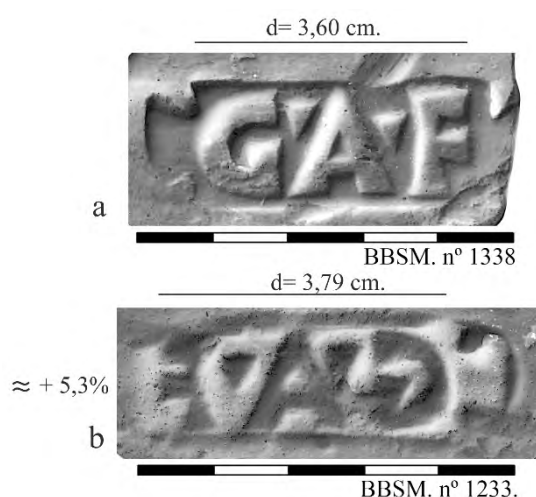


Figura 47.- Estudio comparativo de dos sellos GAF de Azanaque-Castillejo.

Caso 3, figura 46: Partiendo de una matriz selladora para hacer la copia.

Este caso teórico presenta un esquema:

MATRIZ SELLADORA (ORIGINAL) → MATRIZ SELLADORA (COPIA) → SELLO (COPIA).

⁶⁵ Partiendo de estas ideas de Remesal, Berni ha desarrollado una hipótesis sobre el sistema distribuido del sellado (Berni, en prensa: fig. 9). Según esta hipótesis, las matrices primigenias servirían para confeccionar juegos de matrices que eran distribuidas entre las diversas *officinae* que participaban en la producción de un mismo encargo. Respecto a este asunto, nosotros presentaremos una visión algo diferente en el capítulo 3 de este trabajo (*vide* 3.4.4).

⁶⁶ Remesal 1977-78: 98.

Si la matriz selladora es incisa/retro, obtenemos otra matriz selladora excisa/directa, que aplicada al ánfora genera un sello inciso/retro que habrá de ser inverso y un 6% más pequeño que el obtenido directamente si aplicáramos la matriz selladora original. En la figura 48 b-c, tenemos el caso de dos ejemplares del sello C·MARI·SILVANI procedentes del Temple que cumplen con estos parámetros. En estos sellos, el ejemplar c es inverso respecto al ejemplar b y un 6,8% menor.

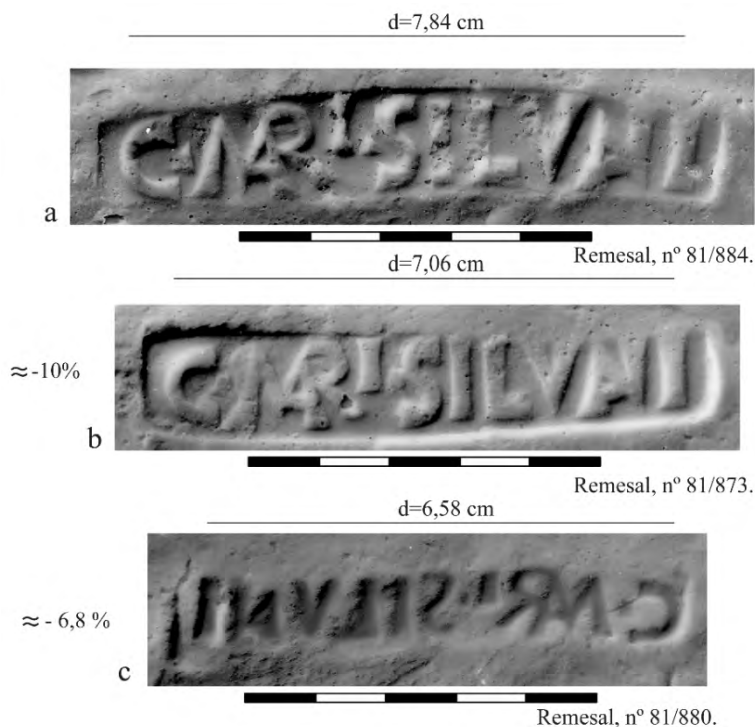


Figura 48.- Estudio comparativo de tres sellos C·MARI·SILVANI hallados en el Temple.

Caso 4, figura 46. Usando un asa sellada como matriz.

En este caso teórico el proceso sería:

ASA SELLADA COMO MATRIZ → SELLO (COPIA).

El sello resultante (copia) habría de ser inverso al original y de un tamaño menor en aproximadamente un 6% respecto a este. Como podemos comprobar, los casos teóricos 3 y 4 producen los mismos resultados. Para tratar de dilucidar a cuál de los dos casos obedece un ejemplo concreto, debemos tratar de comprobar si el sello copia presenta o no el contorno de la cartela. Si presenta dicho contorno de cartela debemos entender que el sello proviene de una matriz, no de un asa sellada.

Caso 5, figura 46: Partiendo de un sello para confeccionar una copia de la matriz selladora.

En el caso teórico 5 de la figura 46, el proceso de la obtención de la copia sería.

SELLO ORIGINAL → MATRIZ DE SELLADO (COPIA) → SELLO (COPIA)

Es decir, si partimos de un sello exciso/directo, obtendremos una copia de la matriz de sellado incisa/retro, que al aplicarla al envase nos dará como resultado el mismo sello exciso/directo, pero aproximadamente un 12% más pequeño que el original, ya que la obtención de la copia requiere dos pasos. Entendemos que éste sería el caso de las dos improntas a y b de la serie de CMARISILVANI de la figura 48 y de los dos ejemplares del sello CIALB de Malpica que podemos ver en la figura 49.

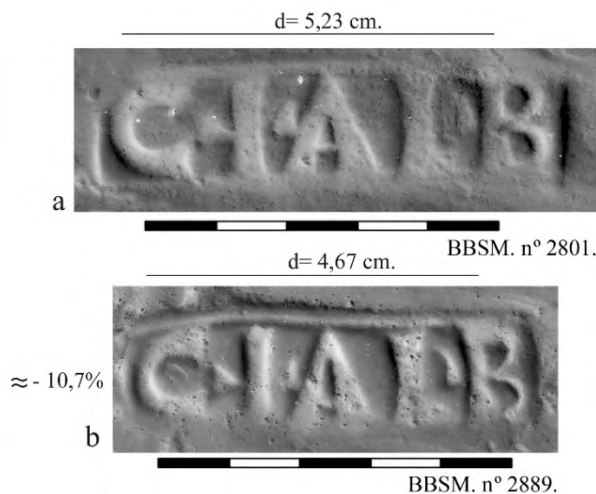


Figura 49.- Estudio comparativo de dos sellos de *C. Iuventius Albinus* hallados en Malpica.

Como podemos observar, los resultados obtenidos de los propios sellos están muy cerca del modelo teórico. En un paso la contracción oscila entre un 5,5 y un 6,8% y en dos pasos entre un 10 y un 10,7%. Estas desviaciones de los valores teóricos nos parecen razonables.

Finalmente, cabe reflexionar sobre las circunstancias que pudieron hacer que el sistema: matriz primigenia → matriz de sellado → sello, se viese alterado. Entendemos que el problema se produciría cuando no era factible utilizar la matriz selladora original, bien por deterioro de esta o simplemente porque se extraviara. En estas circunstancias, acudirían a la matriz primigenia para obtener una nueva copia. Mientras se confeccionaba una nueva matriz selladora, que podría tardar varios días en fabricarse, se pudo salir del paso sellando con la matriz primigenia (caso 2). Si no se contaba con la matriz primigenia, se podría tratar de sacar una copia de la matriz selladora deteriorada, por ejemplo, si esta se presentaba fragmentada, permitiría no obstante hacerle una copia (caso 3). Si esto no era factible, simplemente porque se hubiese extraviado o porque estuviese tan deteriorada que fuera imposible sacarle una copia, se buscaría en las escombreras un sello obtenido de esa misma matriz para usarlo directamente en el sellado (caso 4) o para obtener una copia de la matriz selladora a partir de él (caso 5).

2.2.4.- Protocolo para establecer el proceso de generación de dos sellos con idéntico diseño y diferente tamaño.

En la figura 50 incluimos un esquema que nos ayudará a deducir si dos sellos provienen de la misma matriz o si son copias unos de otros, y cómo se pudieron generar estas copias. Para ello partimos de dos parámetros: su relación de aspecto, es decir, si la copia se presenta como el sello original o como su inversa, y su relación de tamaño, es decir, si la copia es mayor o menor que el sello original y en qué cuantía. Veamos los casos que hemos podido constatar.

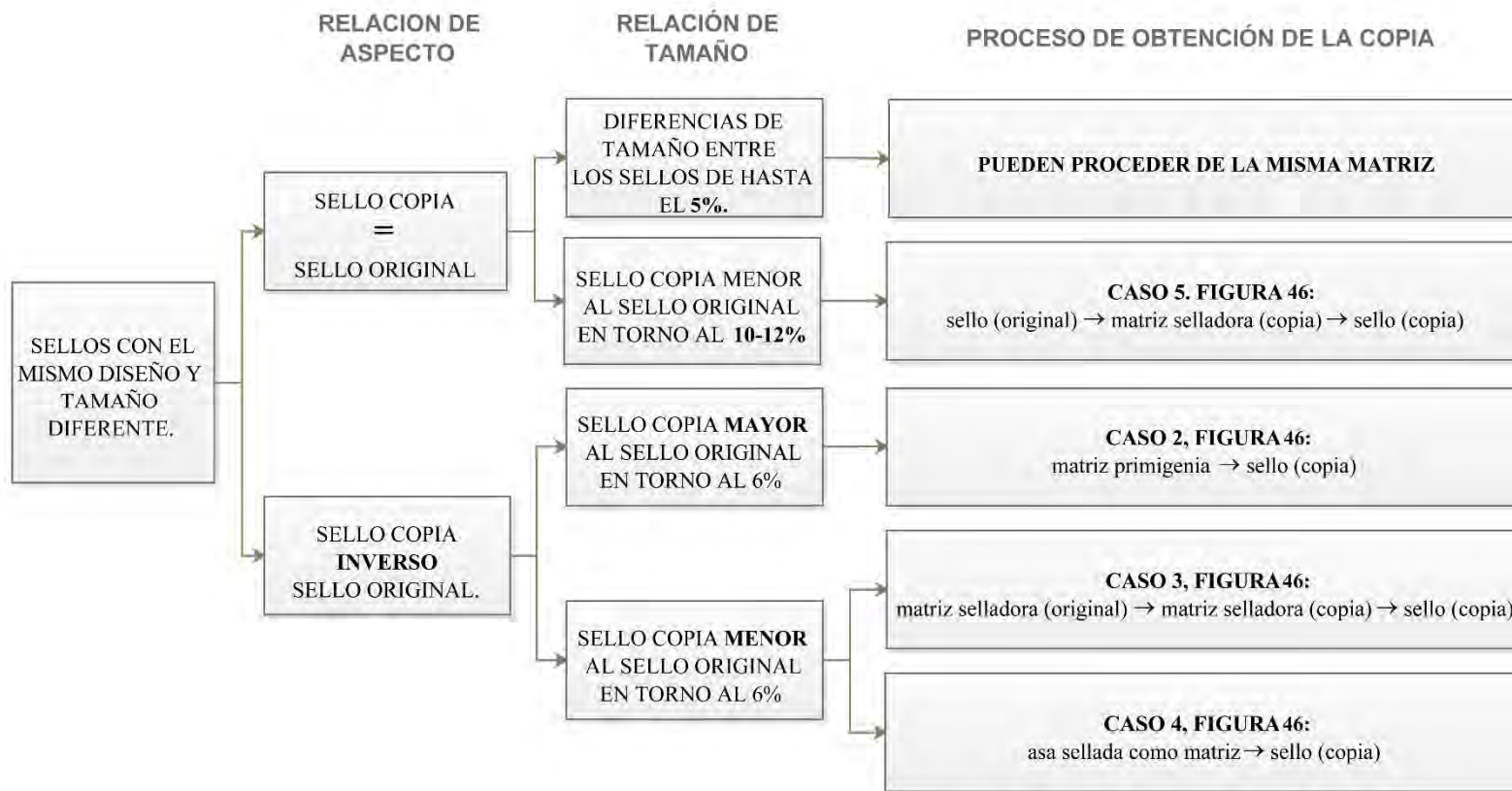


Figura 50.- Protocolo para estudiar los sellos que presentan el mismo diseño y tamaño diferente.

Sellos procedentes de la misma matriz pueden presentar diferencias de tamaño medias de hasta un 5%. Si el sello copia presenta la inversa del sello original, la diferencia de tamaño se situará en torno al 6% y pueden ser mayores (caso 2) o menores (casos 3 ó 4) al sello original. Si dos sellos con el mismo diseño presentan diferencias de tamaño en torno al 10-12%, estaríamos en el caso 5.

Para poner en práctica el esquema presentado, debemos establecer unas pautas que nos permitan reconocer entre dos improntas que presentan idéntico diseño y diferente tamaño, cual habría de ser la original y cual la copia. Entendemos, por la casuística, que los sellos con letras excisas y de lectura directa habrían de ser los originales respecto a los incisos/retro, que, desde nuestro punto de vista, obedecerían a una alteración del sistema. De hecho, la inmensa mayoría de los sellos son excisos/directos (86,87%)⁶⁷. Los sellos incisos/retro representan menos del 1% de los casos y en dos de cada tres de estos casos conocemos su variante excisa/directa. Por otra parte, cuando ambos ejemplares presentan el mismo relieve del texto y dirección de lectura, y entre los sellos medimos diferencias de tamaño de alrededor del 10-12%, deducimos que el sello de mayor tamaño habría de ser el original y el pequeño la copia. Esto es así, porque si fuese al contrario no podríamos explicar cómo pudo generarse una copia de mayor tamaño partiendo de un sello de tamaño menor, teniendo en cuenta que la arcilla reduce su tamaño en el secado y la cocción.

Hasta aquí el recorrido por varios aspectos importantes de la mecánica del sellado. Ahora estamos en condiciones de afrontar la clasificación de las matrices de los sellos.

2.3.- Clasificación tipológica de las matrices de los sellos.

Como hemos visto en la introducción de este capítulo, sellos que presentan una misma lectura pueden proceder de matrices distintas, que podemos clasificar internamente para cada lectura. Pero, el sistema de sellado de las ánforas olearias béticas es muy complejo y debemos enfrentarnos a series formadas por cientos de ejemplares que presentan el mismo texto y proceden de matrices distintas. Veamos algunos ejemplos extremos de las dificultades a las que nos enfrentamos al establecer las matrices de algunas series. La lectura CIALB de Malpica obedece, por el momento, a 45 matrices distintas⁶⁸. De los sellos de PNN del Tejarillo tenemos catalogadas hasta el momento 34 matrices⁶⁹. Si queremos enfrentarnos a series que presentan este grado de complejidad, debemos desarrollar un método para clasificar tipológicamente las matrices que generaron estos sellos. Así iremos dividiendo las series en grupos cada vez más pequeños y fáciles de manejar.

Como en otros tantos aspectos de la investigación, Dressel nos presenta el camino a seguir. El autor no incluyó en el CIL XV dibujos de los sellos, aunque dibujó los *tituli picti*, que son aún más complicados de representar que los propios sellos. Prefirió presentar unas transcripciones tipográficas que venían acompañadas de una variada información: calidad y tamaño de las letras, relieve del texto, forma de la cartela, etc. Las transcripciones tipográficas de los sellos nos informan de las características de diseño que presentan los epígrafes, si incluyen puntos, nexos, letras vueltas, elementos decorativos, etc. Es decir, su clasificación se basaba en elementos objetivos que le permitieron dividir cada lectura por las distintas matrices a que puede obedecer (*vide* 2.3.1). El avance ya fue notable y en buena medida, pudo desarrollarse gracias a que los calcos en papel que

⁶⁷ Berni 2008: 76.

⁶⁸ Remesal & Moros (en prensa).

⁶⁹ Remesal (en elaboración).

realizó a los sellos eran de muy buena calidad. Como hemos visto, los sistemas de representación gráfica de los sellos usados tras Dressel presentaban limitaciones que han lastrado el avance de esta línea de investigación. Con el nuevo sistema de los moldes de silicona, podemos retomar la tarea de Dressel y proponer un modelo de **clasificación tipológica de las matrices** siguiendo las bases establecidas por el sabio alemán.

Para clasificar las matrices de estos sellos nos basamos en criterios objetivos, tales como: la forma de la cartela (2.3.2), el sentido de la lectura y el relieve del texto (2.3.3) o por los elementos de diseño que caracterizan el texto del epígrafe: presencia de puntos, nexos o ligaduras, letras giradas o reflejadas, elementos decorativos, letras de distinto tamaño, etc. (2.3.4). Estos elementos del diseño de los sellos caracterizan las matrices y nos permiten establecer la tipología de cada matriz. La tipología de la matriz queda representada por su **fórmula tipológica** (2.3.5).

Estas fórmulas tipológicas nos indican los elementos de diseño que contienen las matrices, pero no informan de su cuantía y disposición, es decir, por ejemplo, nos dice que una matriz presenta puntos, pero no cuantos son y cuál es su distribución en el texto, aspectos que vienen recogidos por su **transcripción tipográfica** (2.3.6). De este modo, una misma fórmula tipológica puede presentar varias transcripciones tipográficas. Siguiendo el criterio utilizado por Dressel en el CIL XV, las transcripciones tipográficas son esquemas donde se recogen los elementos de diseño que caracterizan los sellos de cada tipología de matriz. Estos esquemas orientan al lector sobre las características distintivas que comparten un determinado grupo de matrices.

Una vez clasificadas tipológicamente y determinadas sus transcripciones tipográficas, nos quedan pocas herramientas para individualizar las matrices, ya que varias matrices distintas pueden obedecer a una misma transcripción tipográfica. En cada uno de los grupos resultantes debemos dilucidar internamente y por comparación, qué ejemplares pertenecen a cada matriz concreta. El criterio que usamos para separar matrices distintas es tomar las medidas de ciertas partes del sello y procedemos a agrupar los ejemplares, dentro de cada transcripción tipográfica, por su tamaño (de menor a mayor). Si los sellos presentan diferente tamaño, procederán de matrices distintas⁷⁰. Esta clasificación se puede representar gráficamente en un diagrama de árbol (2.3.7).

2.3.1. El sistema de clasificación adoptado por Dressel.

Como hemos visto, Dressel incluye en el CIL XV unas transcripciones tipográficas del material. Estas transcripciones nos informan de las características de diseño que comparten una familia de matrices. En la figura 51 tenemos un ejemplo de la clasificación adoptada por Dressel para el caso concreto del sello CIALB (CIL XV 2921) que nos puede ayudar a entender el sistema.

En cada lectura Dressel recoge:

1. La forma de las cartelas: en este caso si los sellos presentan matrices rectangulares (figura 51 a-h) o enmarcadas por un recuadro interno (figura 51 i).

⁷⁰ En este punto, resulta fundamental conocer los grados de tolerancia dimensionales que pueden presentar dos sellos procedentes de la misma matriz debido a la deformación que se produce en el sellado, que hemos estudiado en el apartado anterior dedicado a la mecánica del sellado (2.2.2).

2. La calidad, el tamaño y el relieve de las letras: *litteris bonis / non bonis / malis / pessimis, litteris parva / magna, litteris cavis / simul extantibus et cavis*. Para este último caso, si no se indica nada los sellos presentan letras excisas (*litteris extantibus*).
3. La dirección de la lectura: directa (de derecha a izquierda) o retro (de izquierda a derecha). En general, ordena primero las matrices de lectura directa y luego las retro. En el caso que nos ocupa todas las matrices presentan lectura directa.
4. Una clasificación de las matrices por los elementos de diseño que presenta su texto. En el caso que nos sirve de ejemplo las matrices se caracterizan por:
 - Presencia o no de puntos y su disposición en el epígrafe.
 - Si presentan o no nexo “AL”.
 - La forma y el diseño de las letras.

En cada lectura se recoge además la procedencia de cada ejemplar y un desarrollo de su lectura, cuando ello es posible.

	□	<i>a</i>	<i>C · I · ALB</i>	
	omnia			
		<i>b</i>	<i>C · I · A L B</i>	litt. non bonis
		<i>c</i>	<i>C · I · AL · B</i>	litt. non bonis
		<i>d</i>	<i>G I · Δ · B</i> <small><i>aut</i></small>	
		<i>e</i>	<i>C I · A · B</i>	
		<i>f</i>	<i>C I A L B</i>	
		<i>g</i>	<i>C ↓ A ↓ B</i>	litt. non bonis
		<i>h</i>	<i>G I A · B</i>	litt. bonis
<i>i</i>	□	aut □	<i>G I A · B</i>	litt. non bonis
			<i>C · I() Alb()</i>	

Figura 51.- Clasificación de Dressel del sello CIALB (CIL XV 2921).

Como vemos, Dressel organiza las matrices por criterios objetivos. Siguiendo estas ideas plantearemos un esquema metodológico que nos permitirá, definir, establecer y ordenar las matrices de los sellos. A continuación, presentamos las diversas características de los sellos que nos van a ayudar a plantear la tipología de sus matrices, que son:

1. Forma de las cartelas.
2. Relieve del texto y dirección de lectura
3. Elementos de diseño que presenta el texto:
 - Puntos.
 - Nexos y ligaduras.
 - Letras giradas o reflejadas.
 - Elementos decorativos.
 - Letras de distinto tamaño.
 - Espacios entre letras inusuales.
 - Letras en griego.
 - Letras borradas.
 - Defectos de la matriz derivados de su uso.

Todos los aspectos que tratamos a continuación fueron estudiados por Berni en el capítulo 3 de su tesis doctoral⁷¹. El autor presenta un profundo análisis de cada uno de estos aspectos y nos propone unas clasificaciones muy precisas. Por ejemplo, los nexos de los sellos se clasifican en: nexos por fusión, por inclusión e híbridos, que a su vez se distinguen de las simples ligaduras. Este grado de definición es al que hay que llegar, pero no necesitamos tanta precisión a la hora de establecer la tipología de las matrices, de modo que, en general, simplificaremos las definiciones para que el sistema sea, sobre todo, fácil de aplicar.

2.3.2.-Forma de las cartelas (Berni 2008: 69-73).

El campo de escritura del sello viene enmarcado en una cartela. Berni realizó un extenso estudio sobre las cartelas. Tomando como base dicho trabajo, en la figura 52, presentamos la clasificación que, finalmente, hemos adoptado.






















	1	2	3	4	5	6
A ₁						
A ₂						
B						
C						
D						
E						
F						
G ₁						
G ₂						
H						

Figura 52.- Cuadro de clasificación de las cartelas de los sellos olearios béticos.

⁷¹ Berni 2008: 65-125.

Reordenamos la tabla original de Berni para facilitar su aplicación práctica. Los bordes de las cartelas pueden ser difíciles de distinguir entre rectangulares de lados menores rectos (A_1) o curvos (A_2). Algo parecido ocurre entre las variantes de perfil ovalado, redondeado (G_1) u apuntado (G_2). De modo que decimos que son rectangulares (A) u ovaladas (G), y solo concretaremos más la definición con un subíndice, es decir, si el borde es recto (A_1) o curvo (A_2), redondeado (G_1) u apuntado (G_2), si tenemos improntas donde quede claro el dato. Cada tipo de cartela puede presentar una o varias líneas de texto, que solo en el caso de las rectangulares las individualizamos en el tipo C si la matriz queda dividida por una línea intermedia.

A las matrices catalogadas por Berni, añadimos los tipos: A6, del sello IIAEAFRICANI⁷² de Villar Tesoro, y el tipo E, rectangular vertical, que presentan algunos sellos mono-literales (figura 53). A medida que vayan surgiendo nuevos tipos de cartelas, debería ir ampliándose el cuadro.

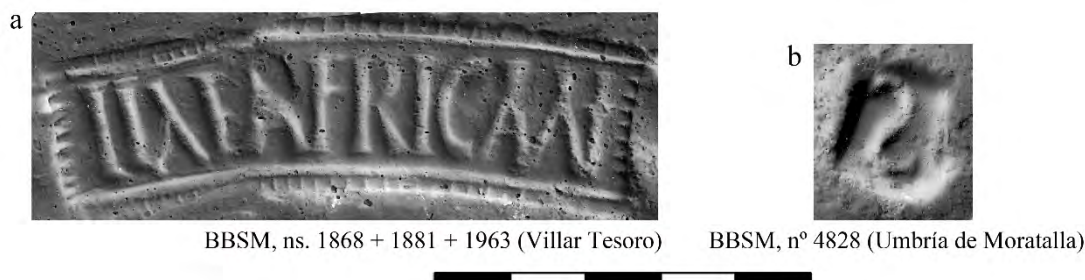


Figura 53.- Cartela tipo A6 (a). Cartela tipo E (b).

2.3.3.-Características básicas del sello: dirección y relieve del texto (Berni 2008: 65-69).

En la figura 54 tenemos ejemplos con algunas de las combinaciones posibles que pueden presentar los sellos respecto a dos de sus características básicas: relieve del texto y dirección de lectura.

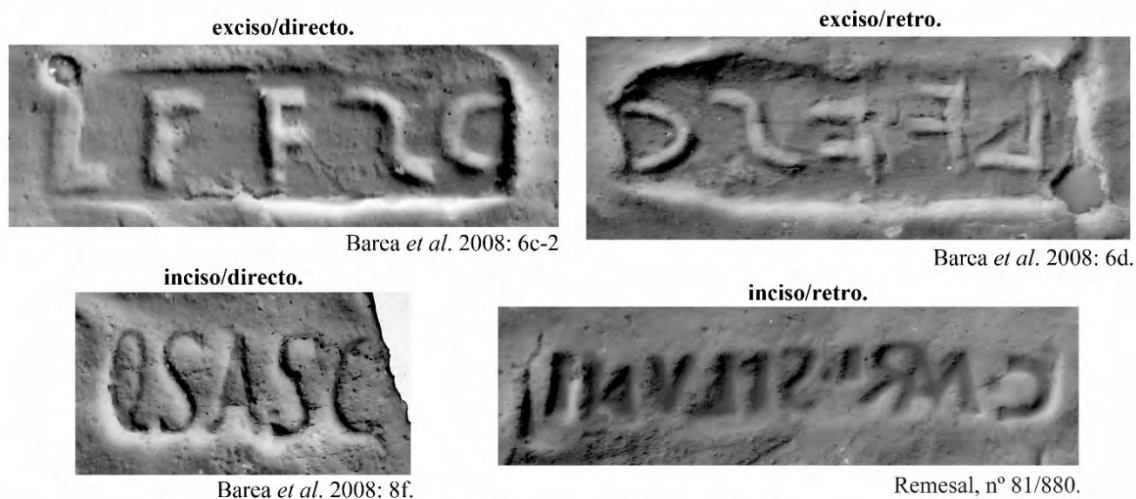


Figura 54.- Sellos con distintas combinaciones de relieve y dirección del texto.

⁷² El sello presenta dudas de lectura. Berni lo leyó TIAEAFRICANI (Berni 2008: tabla 33, 1-2) a partir de los ejemplares conocidos por entonces. También podría leerse LLAEAFRICANI o incluso LLAEAFRICANIANI si desarrollamos más el nexa final.

Los sellos pueden presentarse con una lectura directa, de derecha a izquierda (91,8%), o retro, de izquierda a derecha (8,2%). Por otro lado, la impronta puede presentar letras excisas (*litteris extantibus*) (95%), incisas (*litteris cavis*) (4.8%) o ambas al mismo tiempo (*litteris simul extantibus et cavis*) (0,09%). Las estadísticas sobre la incidencia de cada una de las características fueron elaboradas por Berni y se obtuvieron a partir de los ejemplares incluidos en la base de datos del CEIPAC.

2.3.4.- Caracterización del texto de los sellos por sus elementos de diseño.

Como hemos visto, el texto de los sellos puede presentar una serie de características de diseño que nos ayudarán a clasificarlos tipológicamente. Primero describiremos los elementos más significativos y pondremos algunos ejemplos de cada caso (3.2.4.1). Seguidamente calcularemos la incidencia en el sellado de cada uno de ellos, datos que obtenemos a partir del campo “conservación” de la base de datos CEIPAC (3.2.4.2). Seleccionaremos los elementos de diseño más representativos en el sellado de las ánforas olearias béticas y, a partir de ellos, elaboraremos un cuadro con las diversas combinaciones teóricas que se pueden dar entre los elementos seleccionados, desde que no aparezca ninguno, hasta que aparezcan todos (3.2.4.3). De este modo estableceremos los tipos básicos que caracterizan los sellos por los elementos de diseño que presenta su texto.

2.3.4.1.- Elementos de diseño del texto de los sellos.

Pasamos a describir los elementos de diseño que caracterizan el texto de los sellos:

o Puntos (Berni 2008: 115-118).

En general se colocan para separar los diversos elementos clave que componen los epígrafes (*vide* capítulo 1), aunque también pueden separar palabras, sílabas, e incluso presentar un carácter puramente ornamental. Los más comunes son los puntos triangulares y circulares. En la figura 55 recogemos los tipos individualizados por Berni.



Figura 55.- Forma de los puntos en Berni 2008, fig. 80.

Los puntos de los sellos presentan varios problemas de análisis. Por un lado, en muchas ocasiones los puntos tienen un carácter ornamental, bien por su aspecto (formas 10-26 de la figura 55), bien porque no cumplen la función de separar elementos. En estos casos, si no tenemos un criterio muy claro podemos dudar en clasificarlos como punto o como elemento decorativo (*vide infra*). Por este motivo en nuestra clasificación solo vamos a considerar su aspecto formal, no su función en la inscripción, es decir, si separan elementos o son puramente ornamentales. De este modo, consideramos puntos los elementos 1 a 9 de la figura de Berni (figura 55), los demás casos

serán considerados elementos decorativos, independientemente de si su función es o no la de separar elementos de la inscripción. Este convenio nos ayudará en la clasificación de estos elementos.

Otro problema del estudio de los puntos se produce porque son uno de los elementos que suelen desaparecer durante el sellado. En la figura 56 tenemos un caso de resellado donde la matriz se aplicó dos veces a la pieza, en este caso se trata de un sello CIALB de Malpica. En la impronta superior, queda bien marcado el punto que se sitúa en el interior de la “C” inicial. Sin embargo, en la impronta inferior apenas es perceptible.



Figura 56.- El fenómeno de la desaparición de los puntos en el sellado.

Por ese motivo es muy importante cotejar todas las improntas procedentes de una determinada matriz para establecer la posición de todos y cada uno de los puntos que presentaba.

En ocasiones, los puntos resultan ser la clave para distinguir dos matrices distintas. En la figura 57 presentamos dos ejemplares del sello BELLVC de las producciones de la *figlina Belliciana*, procedentes de matrices distintas. En nuestra opinión, ambas matrices fueron fabricadas por la misma mano y se caracterizan por la orientación, apuntando hacia arriba o hacia abajo, que adopta el punto triangular que separa los dos elementos del sello. Cuando estudiábamos la mecánica del sellado comentamos una hipótesis de Berni sobre la generación de variantes alterando la copia extraída de las matrices primigenias. Creemos que el caso del sello BELLVC es otra prueba de la validez de esta hipótesis.

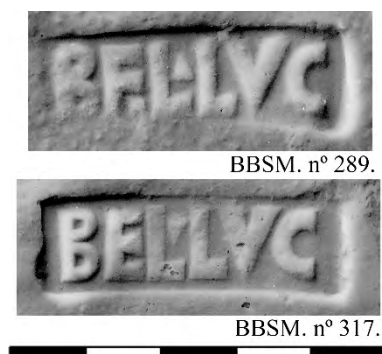


Figura 57.- Dos sellos procedentes de matrices distintas con lectura BEL·LVC

El valor de los puntos a la hora de caracterizar matrices se ve especialmente claro en las series del sello CIALB. En la figura 58 presentamos diversos sellos procedentes de matrices distintas de la serie de *Caius Iuventius Albinus* de Malpica. Las diversas matrices quedan caracterizadas por el número de puntos (dos, tres o cuatro) y por la disposición que estos adoptan en la inscripción.

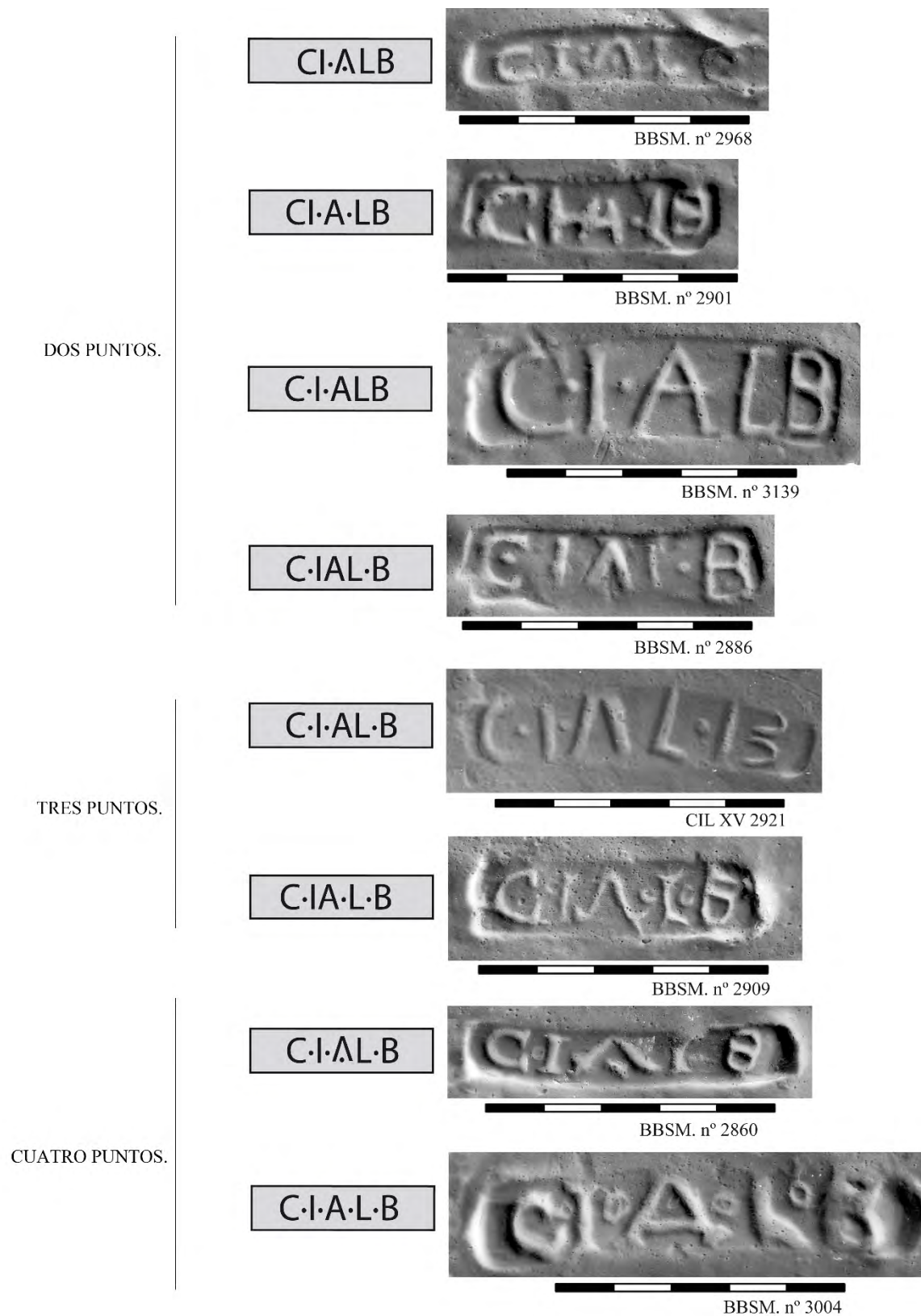


Figura 58.- Sellos CIALB de Malpica con distinto número y disposición de los puntos.

○ **Nexos y ligaduras (Berni 2008: 103-114).**

Berni realiza un estudio en profundidad sobre este asunto. Nosotros simplificamos las definiciones para favorecer su puesta en práctica. De este modo, consideramos nexos cuando las letras comparten más de un punto, por ejemplo, una asta o un ojal, mientras que las consideramos ligaduras si solo comparten un punto. Si las letras no se tocan, no las consideramos nexos, aunque ocupen la misma cartela de otra letra (afecta a los nexos por inclusión e híbridos de Berni). En la figura 59, podemos ver algunos ejemplos de nexos y ligaduras para dos ejemplares de las producciones de la *figlina Belliciana*.

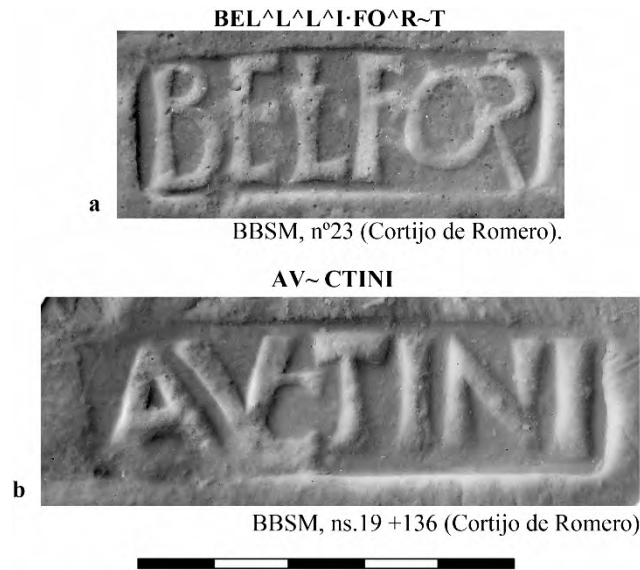
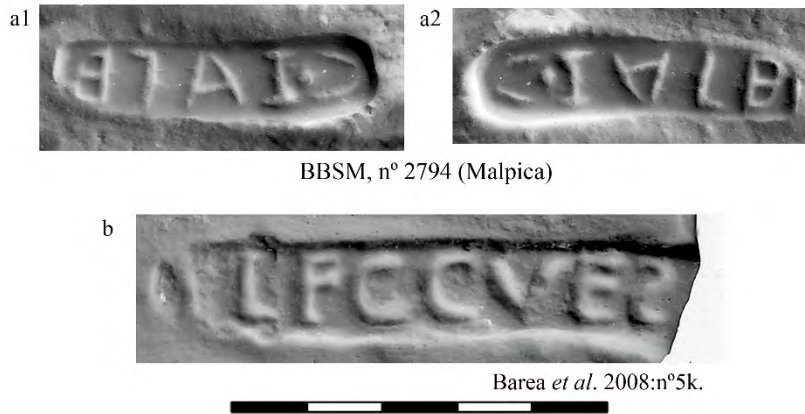


Figura 59.- (a) nexos: L[^]L[^]I y O[^]R, ligadura: R~T,
(b) ligadura: V~C.

○ **Letras giradas o reflejadas. (Berni 2008: tabla 9)**

En ocasiones los sellos presentan letras reflejadas, es decir aquellas que se presentan en sentido contrario a la lectura del texto. Las letras también pueden aparecer giradas en el texto. En la figura 60, presentamos dos casos. Las imágenes a1 y a2 corresponden a un mismo ejemplar con lectura CIALB que se puede orientar de dos formas distintas. En a1 se interpreta lectura retro (de izquierda a derecha) y con la “L” boca abajo y reflejada; en a2 se interpreta como un sello de lectura directa y en este caso la letra que está boca abajo sería la “A”. Estos casos dudosos de orientación los resolvemos por la casuística que presentan los sellos de las ánforas olearias béticas. Como vimos cuando estudiábamos la mecánica del sellado, el 91,8% de los sellos son de lectura directa, de modo que le daremos prioridad a las soluciones que presenten esta característica. Para el ejemplo ambiguo del sello CIALB comentado, optaremos por catalogarlo según la imagen a2 de la figura 60. Finalmente, en la imagen b tenemos un sello con lectura LFCCVES de las producciones de la *Scalensia*, con la particularidad de presentar la S final reflejada.



**Figura 60.- Letra L girada 180° y reflejada (a1). Letra A girada 180° (a2).
Letra S reflejada (b).**

○ **Elementos Decorativos (Berni 2008: 117-121).**

Los sellos olearios béticos presentan signos decorativos con cierta frecuencia. Berni nos presenta un cuadro agrupándolos según diversas tipologías (figura 61).

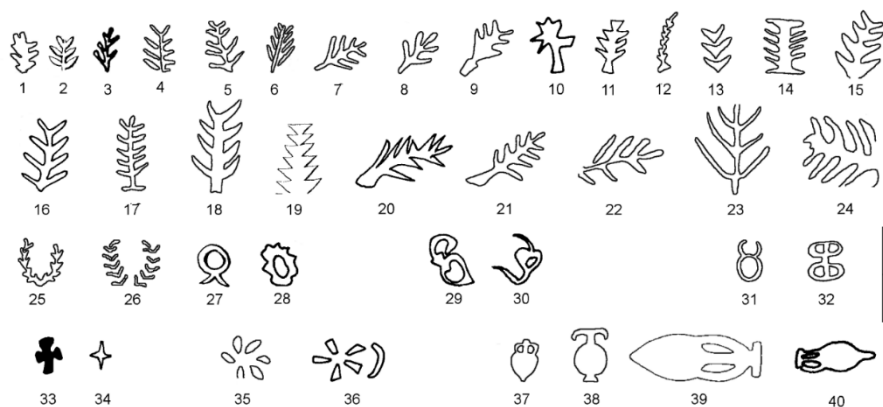


Figura 61.- Símbolos y adornos: ramos (1-24), coronas (25-28), hojas de hiedra (29-30), caduceos (31-33), cruces (34-35), sol y luna (36-37), ánforas (38-41) (BERNI 2008, fig. 84)

Como señalamos en el apartado dedicado a los puntos, consideramos decoración a todos los elementos de los sellos que no son letras o puntos (triangulares, circulares o líneas onduladas).

○ **Letras de distinto tamaño a las letras de su entorno.**

En ocasiones los sellos presentan letras individuales de distinto tamaño respecto a las letras de su entorno y, generalmente, suelen ser menores. En la figura 62 presentamos algunos ejemplos tomados de la serie de la *Virginensia*, de su fase productivas de época de Cómodo.

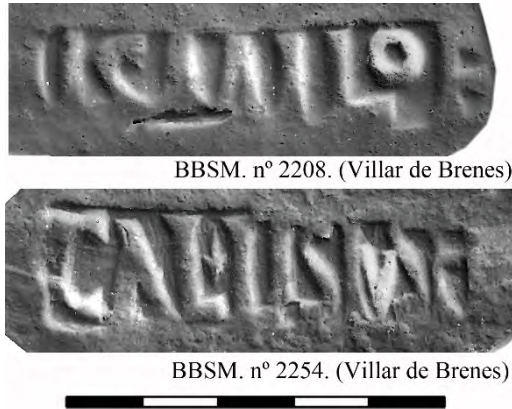


Figura 62.- Ejemplo de letras de menor tamaño en los sellos ISMILOF y CALLISTVSF de la serie de la *Virginensia*.

○ **Espacios entre letras inusuales**

En raras ocasiones tenemos espacios entre letras inusuales, sirva como ejemplo el caso del sello LFCCVFM de Picachos, donde el espacio se completa con un guion que prácticamente desaparece en la impresión superior.

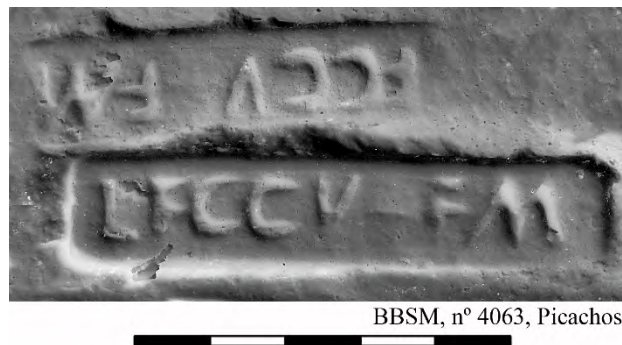


Figura 63.-Inusual espacio entre letras en el sello LFCCV – FM de Picachos.

○ **Letras en griego.**

En raras ocasiones los sellos presentan letras del alfabeto griego, en la imagen incluimos algunos casos de los sellos de *Telephus* de la *figlina Scalensia* (figura 64).

○ **Letras borradas intencionadamente.**

El uso de letras borradas sólo lo conocemos en la famosa serie de los Augustos⁷³ (figura 65). Por la cronología que presentan estos sellos, sabemos que estos emperadores fueron Septimio Severo, y sus hijos, Caracalla y Geta. Cuando desaparecía alguno de ellos, se iban eliminando de la matriz original una G y la correspondiente N. De modo que, por motivos históricos, podemos saber la cronología de las variantes. El primero es anterior a 211, fecha de la muerte de Severo. El segundo se utilizó entre 211 y 212, fecha del asesinato de Geta. La tercera se sitúa entre esa fecha y el asesinato de Caracalla en 217.

⁷³ Dressel 1878: 144.

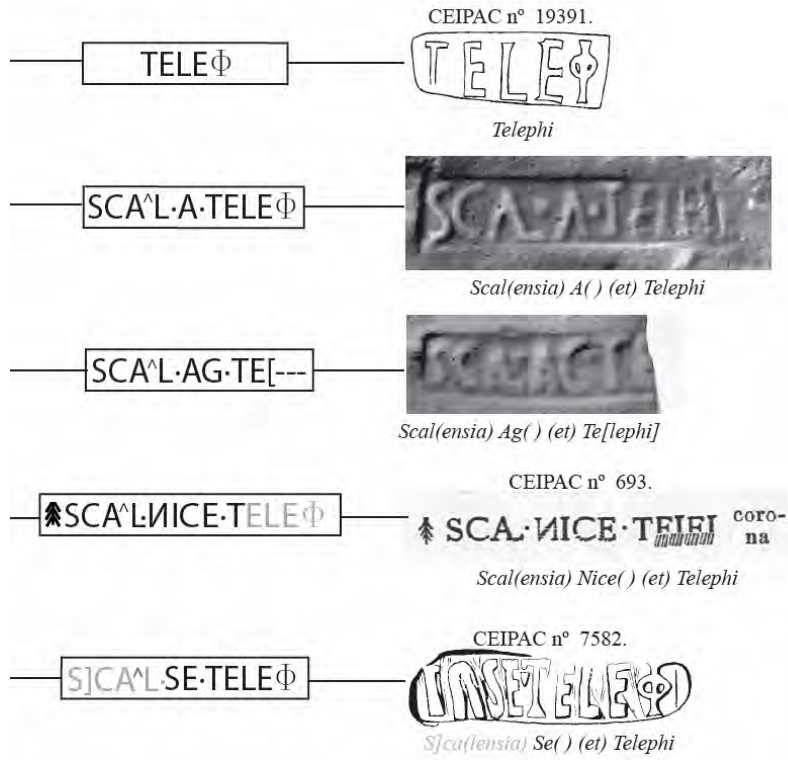


Figura 64.- Letra “phi” en los sellos de *Telephus* de la *Scalensia*.

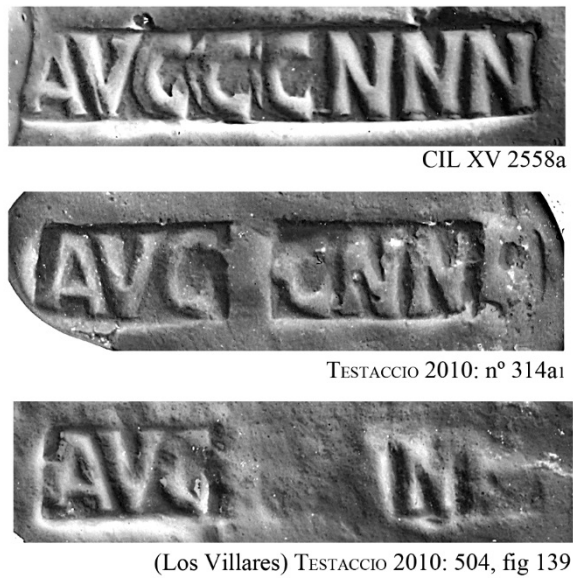


Figura 65.- Letras borradas en los sellos de Septimio Severo, Geta y Caracalla.

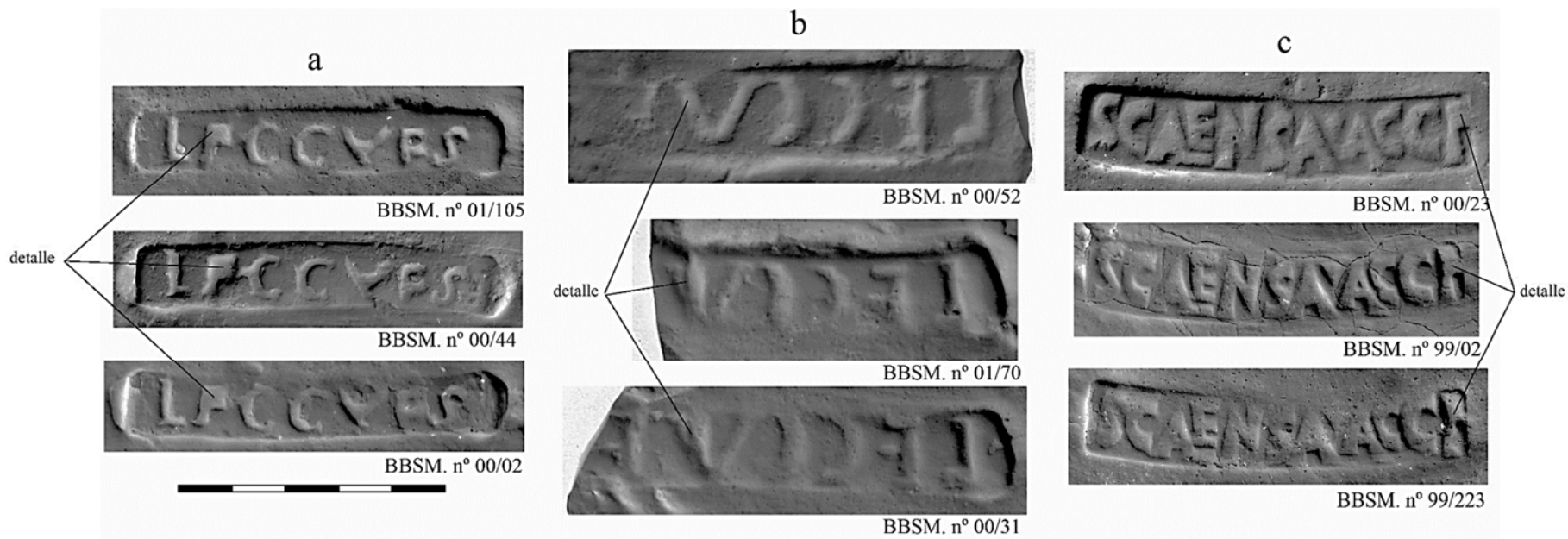


Figura 66. Matrices dañadas usadas en el sellado de la *Scalensia*.

o **Defectos de la matriz derivados de su uso.**

Con el uso diario, las matrices podían llegar a presentar alteraciones que quedan reflejadas en las improntas de los sellos. Estas alteraciones son, en la práctica, un magnífico indicador de que nos encontramos ante una matriz concreta. Como sabemos, en general las matrices estaban confeccionadas de arcilla cocida, de modo que, dada su fragilidad, este tipo de situaciones no son infrecuentes. Entre las series de la *Scalensia* tenemos varios casos. En el sello a de la figura 66 de lectura LFCCVFS el espacio entre las astas horizontales de la primera “F” se ha cerrado dándole al carácter una falsa apariencia de “P”. En el sello b, de nuevo con lectura LFCCVFS, se ha producido una rotura de la letra “V”. En el sello superior la letra todavía estaba intacta, en los dos inferiores podemos observar la rotura de una de sus astas. En los sellos del grupo c, con lectura SCALENSIAACCI, la “T” final se ha unido al borde de la cartela en su parte superior, dando una falsa apariencia de “P”, y con esta lectura ha sido interpretado por algunos autores (Carreras & Funari 1998, ns. 451.12 y 13).

Hasta aquí el recorrido por las diversas características del diseño del texto de los sellos que nos pueden ayudar a clasificar las matrices. Para los ejemplares incluidos en la base de datos CEIPAC, la mayoría de estas características han sido recogidas en el campo “conservación”, lo que nos permitirá calcular la incidencia en el sellado de cada uno de ellos.

2.3.4.2.- Estadística de la incidencia de cada uno de los elementos caracterizadores del texto de los sellos calculado a partir del campo “conservación” de la base de datos CEIPAC.

	SIGNO DIACRÍTICO	EXPLICACIÓN
	ABC	Letras normales. Generalmente, las letras se escriben en mayúscula cuando están orientadas mirando en la dirección de la lectura del texto, independientemente a si el sello es retrógrado o de lectura directa.
Puntos.	A·B·C, A·BC, AB·C	Interpunciones simples (3.5.5). Los signos de interpunción más simples (triángulos y puntos) se señalan con el símbolo de puntuación de media altura. Las hojas de hiedra se transcriben entre paréntesis dobles como si se tratara de un elemento simbólico y ornamental (<i>vide infra</i>).
	{A·}BC	Signo de puntuación simple colocado dentro de la caja de una letra.
	A~B~C, A~BC, AB~C	Ligaduras (3.5.3). La tilde ~ es el signo diacrítico que se pone entre dos letras para indicar que sus trazos están ligados.
	A^B^C, A^BC, AB^C	Nexos de letras por fusión (3.5.2.1). El acento circunflejo ^ es el signo diacrítico utilizado para marcar los nexos de letras por fusión.
Nexos y ligaduras.	{AB}	Nexos de letras por inclusión (3.5.2.2). La unión de letras por inclusión se señala mediante las llaves { }.
	{A/BC}	Nexos de letras por inclusión a dos líneas. Cuando varias letras del mismo tamaño aparecen escritas entre líneas dentro de una caja de tamaño equivalente al cuerpo de una letra mayor.
	{A^BC}, {AB^C}	Nexos de letras híbridos (3.5.2.2). Esta clase de nexo se señala combinando el acento circunflejo ^ dentro de las llaves { }.
Decoración	((<i>signum</i>))	Elementos simbólicos y ornamentales. Se transcribe entre paréntesis dobles la palabra latina que substituye a un símbolo.
Letras giradas o reflejadas	abc	Letras reflejadas. Van en minúscula aquellas letras perfectamente visibles pero cuyo sentido es contrario a la lectura del texto.
	A!C, a!bc	Letra invertida o girada. La exclamación detrás de una letra se utiliza para indicar que el carácter está invertido o girado (no es lo mismo que reflejado).
Letras de distinto tamaño	AB<C, A>BC AB<<C, A>>BC	Las letras sueltas de tamaño inferior a las demás del texto se marcan con el signo < (menor) apuntando a la letra. Las letras de tamaño mayor a las demás del texto se marcan con el signo > (mayor) apuntando a la letra. El signo se repite dos veces seguidas para enfatizar una letra de tamaño diminuto o exageradamente grande. Esta regla también se aplica a los nexos por fusión si su caja es de tamaño inferior a las demás letras de la inscripción (figura 90.3).
Espacios vacantes.	(-), (---), (?)	Espacios vacantes. Se colocan entre paréntesis redondos tantos signos menos como espacios pueden ser calculados para marcar un vacío premeditado de texto en la inscripción. Con interrogante cuando no se puede precisar el número de caracteres en blanco.
Letras en griego.	\$A\$B\$, \$A\$B\$C	Letras griegas. Los caracteres griegos se marcan entre dos dólares. La letra griega Fi (Φ φ), que equivale al dígrafo ‘phi’ latino, se convierte en \$PH\$.
Letras borradas.	[[ABC]]	Letras borradas intencionadamente. Se indican mediante doble corchete aquellas letras que fueron borradas intencionadamente, como sucede, por ejemplo, en el caso de los sellos severianos: AVG[[G]]GNN[[N]] y AVG[[GGN]]N[[N]] (figura 22).

Figura 67.- Signos diacríticos del campo “conservación” en la base de datos CEIPAC (base: Berni 2008, tablas 8 y 9, p.123-125).

En la figura 68 recogemos el convenio utilizado (signos diacríticos) del campo “conservación” adoptados en la base de datos CEIPAC para la representación de cada una de las

características del diseño de los sellos enunciados en el apartado anterior (Berni 2008, tablas 8 y 9, p.123-125). Los defectos de la matriz no quedan recogidos en el campo conservación. A partir de la documentación de la base de datos CEIPAC, podemos calcular la incidencia en el sellado de cada una de las características estudiadas en el apartado anterior. En la base tenemos 6.238 campos de conservación diferentes. Los resultados se muestran en la figura 68.

Elementos caracterizadores.	incidencia	% (6.238)
Puntos.	2422	38,83%
Nexos y/o ligaduras.	2188	35,08%
Letras giradas y/o reflejadas	461	7,39%
Elementos ornamentales o decoración.	456	7,31%
Letras de distinto tamaño.	235	3,77%
Espacios vacantes	92	1,47%
Letras en griego	8	0,13%
Letras borradas	2	0,03%

Figura 68.- Incidencia de los elementos caracterizadores en el sellado de la Dressel 20.

2.3.4.3.- Clasificación de los sellos por los cinco elementos caracterizadores de su texto (Tipos 0-31).

TIPOS.	Puntos.	Nexos	Letras giradas	Decoración	Letra ≠ tamaño.	
0						-
1	X					1 elemento.
2		X				
3			X			
4				X		
5					X	
6	X	X				2 elementos
7	X		X			
8	X			X		
9	X				X	
10		X	X			
11		X		X		
12		X			X	
13			X	X		
14			X		X	
15				X	X	
16	X	X	X			3 elementos
17	X	X		X		
18	X	X			X	
19	X		X	X		
20	X		X		X	
21	X			X	X	
22		X	X	X		
23		X	X		X	
24		X		X	X	
25			X	X	X	
26	X	X	X	X		4 elementos
27	X	X	X		X	
28	X	X		X	X	
29	X		X	X	X	
30		X	X	X	X	
31	X	X	X	X	X	5 elementos

Figura 69.- Tipos de matrices por los cinco elementos caracterizadores del diseño de su texto.

Con los datos obtenidos en el apartado anterior, seleccionamos las características que cuentan con una incidencia superior al 3% (zona sombreada de la tabla de la figura 68). Sumando sus incidencias, los cinco elementos caracterizadores seleccionados afectan a más del 90% de los sellos. A continuación, establecemos un cuadro con todas las combinaciones teóricas posibles de estos cinco elementos, tal como vemos en la figura 69.

Ordenamos los elementos caracterizadores (columnas) por su grado de incidencia. Ordenamos las filas del cuadro, de menos a más elementos, y les asignamos un número correlativo (0-31). Así, una matriz “tipo 0” no presentará ningún elemento caracterizador y el “tipo 31” contendría los cinco. Con un elemento caracterizador tendremos los tipos 1 a 5, con dos los tipos 6 a 15, con tres los tipos 16 a 25 y con cuatro los tipos 26 a 30.

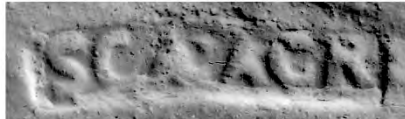
No todos los tipos necesariamente deben existir ya que provienen de un modelo teórico, es decir, que existan matrices con las características de todos y cada uno de los tipos posibles, pero lo que sí podemos afirmar es que todas las matrices se podrán clasificar en uno u otro tipo. Veamos algunos ejemplos del método aplicado a sellos concretos tomados de las producciones de la *Scalensia* (figura 70).

TIPO 0: sin elementos caracterizadores.



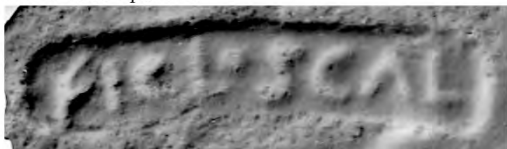
BBSM. n° 99/40.

TIPO 6: con puntos y nexos.



BBSM. n° 99/28.

TIPO 1: con puntos.



BBSM. n° 99/186.

TIPO 12: con nexos y letras de distinto tamaño.



BBSM. ns.4137+4203+4415

TIPO 2: con nexos.



BBSM. n° 99/175.

TIPO 18: con puntos, nexos y letras de distinto tamaño.



BBSM. n° 03/297 + 99/149.

TIPO 26: puntos, nexos, letras giradas y elementos decorativos.



CIL XV 2623.

Figura 70.- Diversos tipos de matrices por la caracterización de los elementos de su texto.

2.3.5.- Fórmula tipológica de la matriz.

La tipología de una matriz puede venir definida por una sencilla fórmula, en la figura 71 podemos ver su composición.



Figura 71.- Composición de la fórmula tipológica de las matrices.

La fórmula tipológica contiene los siguientes elementos.

- **Forma de la cartela (A-H):** obtenido de la figura 52, solo lo indicamos en caso de no ser del tipo A1 (cartela rectangular). Si no presenta cartela aparecerá como A0.
- **Relieve del texto (*lit. ext.*, *lit. cavis*, *lit. ext. et cavis.*):** como hemos visto, los valores posibles son: **excisa**, **incisa** o **ambas**. Solo lo indicamos en caso de no ser excisas.
- **Dirección de lectura (D/R):** valores posibles: directas o retro. Solo lo indicamos en caso de ser retro.
- **Caracterización de la matriz (Tipos: 0-31):** obtenido del cuadro de la figura 69 compuesto por todas las combinaciones teóricas posibles de los 5 elementos de diseño de la matriz que hemos considerado en la caracterización de los sellos.

Como hemos visto en las estadísticas, la inmensa mayoría de las matrices presentan cartelas del tipo A1 (cartela rectangular), letras excisas (*lit. extantibus*) y lectura directa. Solo vendrán indicados en la fórmula si cambian alguno de estos datos. De modo que, si no se indica nada, y en la fórmula tenemos por ejemplo “Tipo 7”, debemos sobrentender que la fórmula es “A1/*lit. ext*/D/tipo 7”. Veamos algunos ejemplos de su uso en sellos concretos (figura 72)

TIPO 0 BBSM. n° 01/95



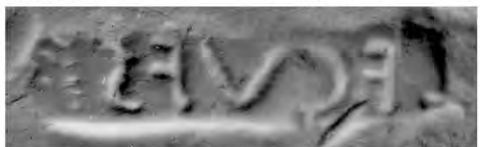
cartela rectangular/excisa/directa/
sin elementos caracterizadores.

A3/R/TIPO 0 BBSM. n° 01/142



cartela rectangular con cornisa sup. e inf./excisa/retro/
sin elementos caracterizadores.

R/TIPO 4 BBSM. n° 00/12+99/163



cartela rectangular/excisa/retro/con elementos decorativos.

TIPO 6 BBSM. n° 99/96



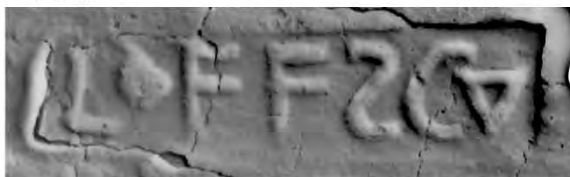
cartela rectangular/excisa/directa/ con puntos y nexos.

A3/TIPO 6 BBSM. n° 99/14



cartela rectangular con cornisa sup. e inf./excisa/directa/
con puntos y nexos.

TIPO 20 BBSM. n° 99/29



cartela rectangular/excisa/directa/
con letras giradas, elementos decorativos, y letras de distinto tamaño.

Figura 72.- Fórmula tipológica de algunos sellos de la *figlina Scalensia*.

Como resumen del apartado, en la figura 73 incluimos el esquema general del método adoptado para clasificar tipológicamente las matrices de los sellos y la obtención de su fórmula tipológica.

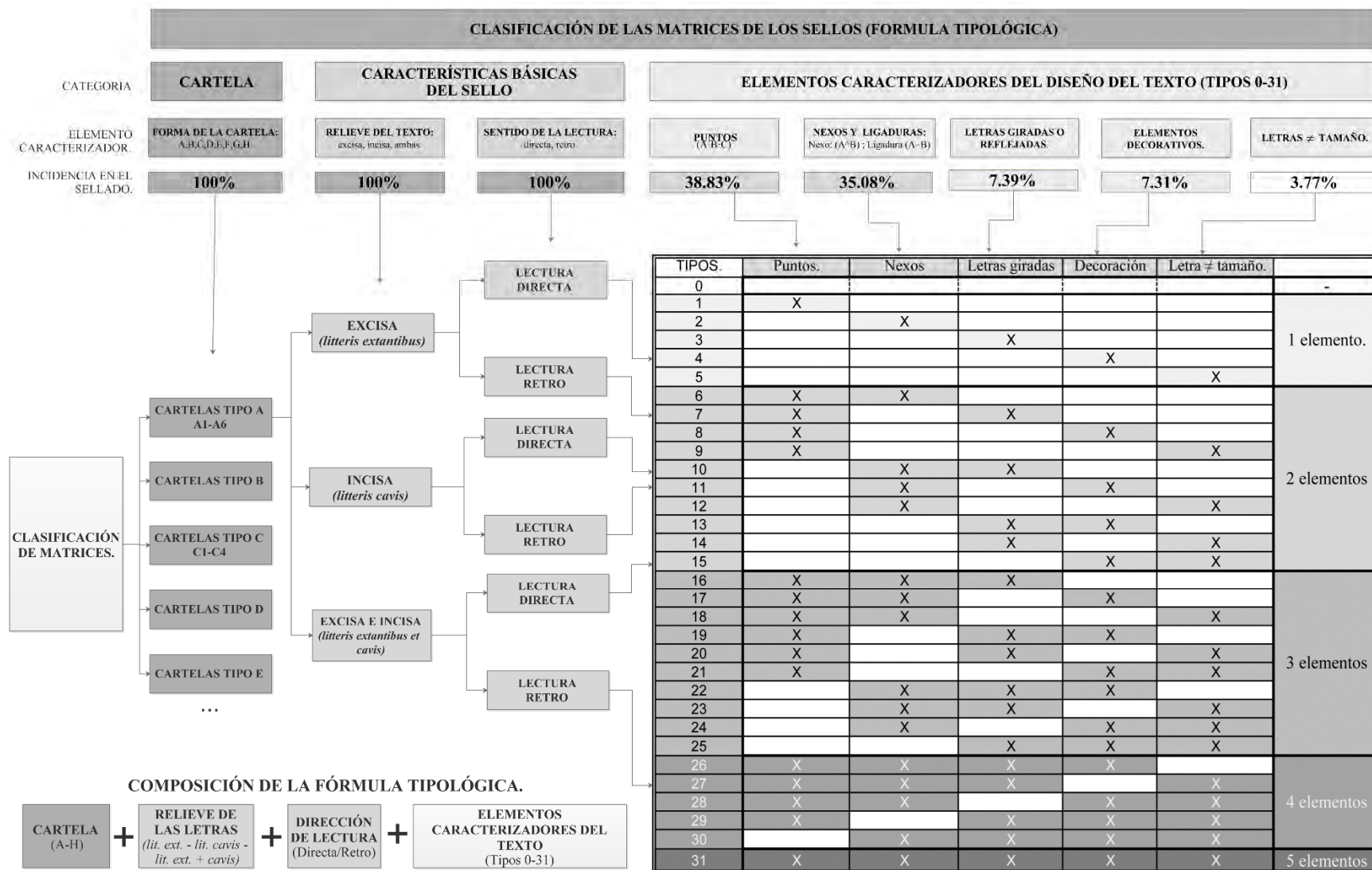


Figura 73.- Esquema general de la obtención de la fórmula tipológica de las matrices.

2.3.6.- Transcripciones tipográficas.

Cada fórmula tipológica presenta una o varias **transcripciones tipográficas**, que son esquemas donde se recogen los elementos caracterizadores de los sellos. Se trata de una simplificación de las transcripciones tipográficas utilizadas por Dressel. En nuestro caso, nos centramos en representar los elementos que hemos seleccionado para establecer la tipología de los sellos. Veamos algunas convenciones adoptadas en las transcripciones tipográficas:

- Los puntos (triangulares, circulares y ondulados) se esquematizan y se colocan en la posición que adoptan en la inscripción.
- Los nexos se esquematizan con un acento circunflejo (^) entre las letras involucradas y un guion ondulado (~) si se trata de una ligadura.
- Las letras giradas o reflejadas se recogen en la posición que adoptan en el texto.
- Los elementos decorativos se esquematizan con la forma aproximada que presentan.
- Las variantes retro se recogen tal cual aparecen en el epígrafe.
- No se incluyen las formas particulares de las letras, dado que contamos con una imagen del sello.
- Otros elementos caracterizadores no considerados en las fórmulas tipológicas quedan recogidos no obstante en la transcripción tipográfica, por ejemplo: letras en griego, letras borradas, etc.

Veamos algunos ejemplos de su puesta en práctica (figura 74).

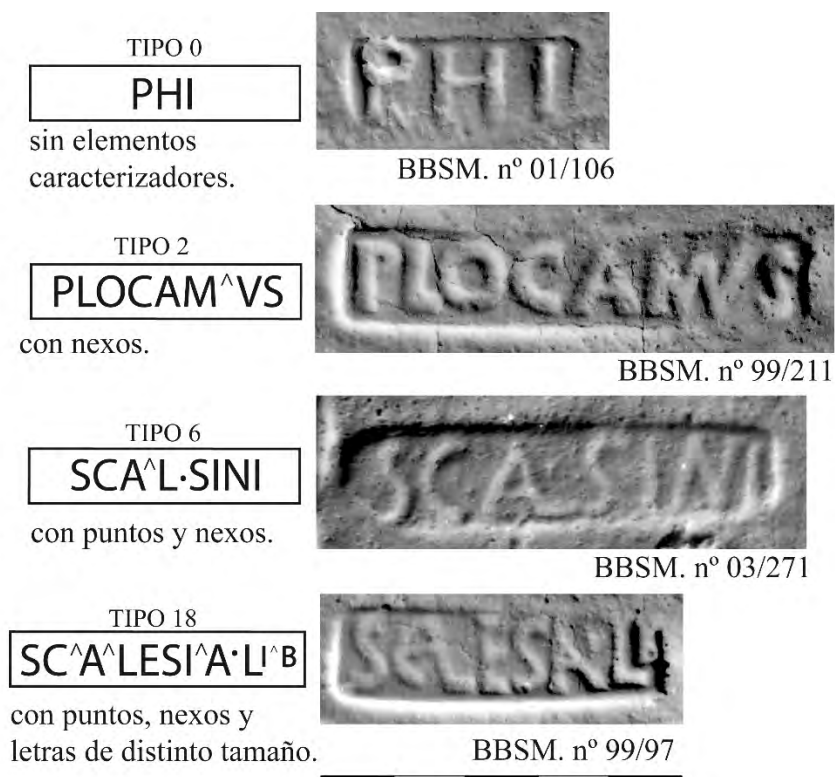


Figura 74.- Algunos ejemplos de transcripciones tipográficas de sellos de la *figlina Scalensia*.

2.3.7.- Clasificación de las matrices de los sellos.

Las diversas matrices que obedecen a una misma lectura se pueden organizar aplicando el método expuesto anteriormente. Para ello tomamos como ejemplo el caso de la lectura LFCCVFS de la *Scalensia* que clasificamos en nueve matrices distintas con las siguientes características (figura 75).

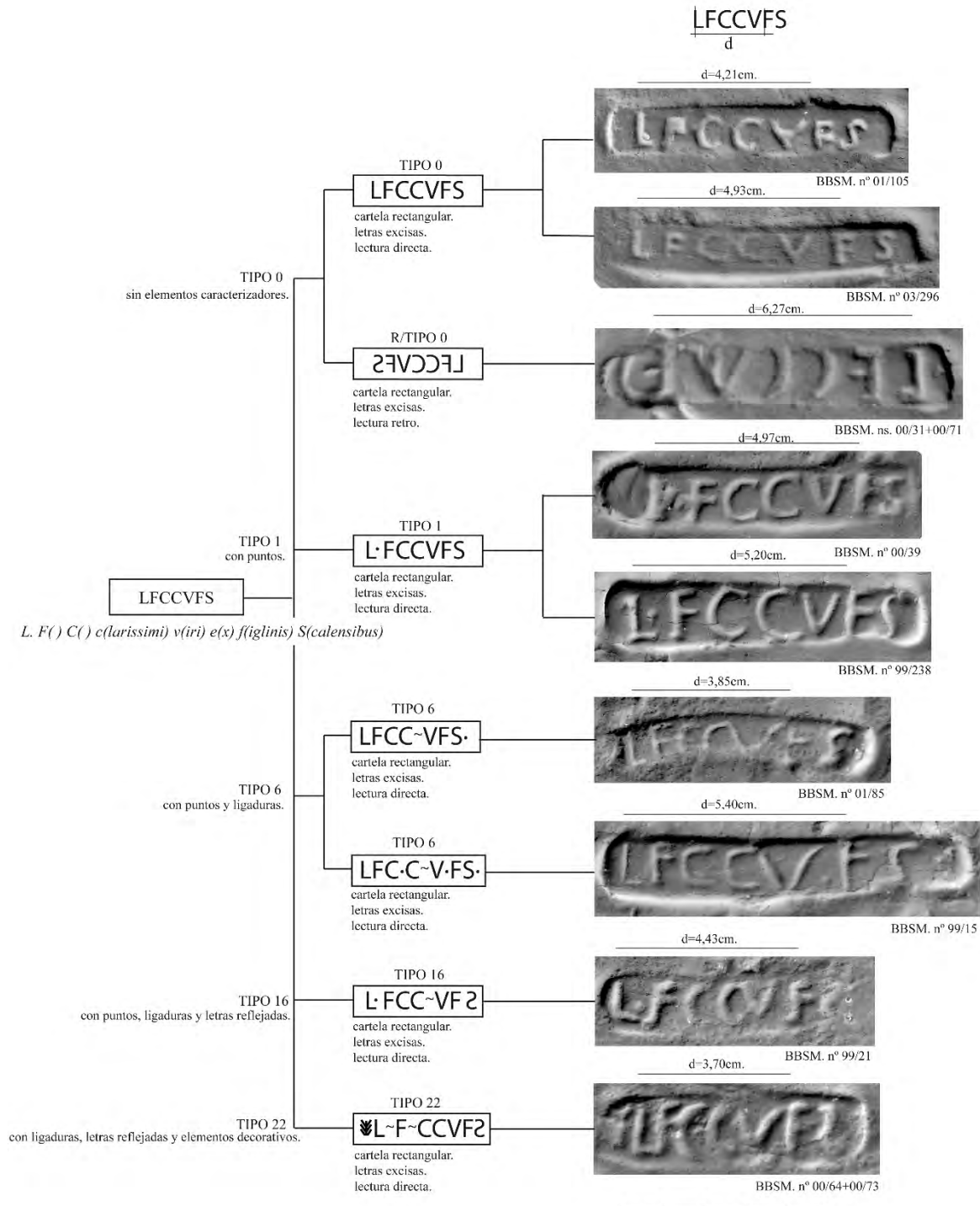


Figura 75.- Clasificación de las matrices de la lectura LFCCVFS de la *Scalensia*.

Fórmula tipológica.	Forma de la cartela	Sentido de la lectura	Elementos caracterizadores del texto (tipos 0-31)
Tipo 0	Rectangular	Directa	Sin elementos caracterizadores
R/Tipo 0	Rectangular	Retro.	Sin elementos caracterizadores
Tipo 1	Rectangular	Directa	Con puntos
Tipo 6	Rectangular	Directa	Con puntos y ligaduras.
Tipo 16	Rectangular	Directa	Con puntos, ligaduras y letras reflejadas.
Tipo 22	Rectangular	Directa	Con ligaduras, letras reflejadas y elementos decorativos.

Figura 76.- Fórmulas tipológicas de las matrices de lectura LFCCVFS.

La serie presenta, por el momento, seis formulas tipológicas distintas cuyas composiciones podemos ver en la figura 76. Veamos algunas convenciones que hemos adoptado:

- Todas las cartelas son rectangulares de letras excisas, de modo que se obvian estos datos.
- Solo tenemos una matriz con lectura retro, se recoge como “R/tipo 0” y se coloca en el árbol tras las “tipo 0” de lectura directa.
- Ordenamos las matrices por un tipo de caracterización creciente, primero colocaremos todas las matrices del “tipo 0”, con todas las fórmulas tipológicas que la puedan contener, luego haremos lo mismo con las del “tipo 1” y así sucesivamente.
- Una misma fórmula tipológica puede presentar varias transcripciones tipográficas, dependerá del número y disposición de los elementos caracterizadores considerados por el tipo. Por ejemplo, para matrices “tipo 1” (un punto, dos puntos, etc.) con las disposiciones que adoptan en la inscripción.
- Una misma transcripción tipográfica puede obedecer a matrices distintas. El orden interno vendrá determinado por el tamaño de la impronta, de menor a mayor.
- Siempre que ello sea posible, cuando tenemos una evolución de la matriz derivada de su uso diario, incluimos sus diversas fases en orden temporal: primero incluimos las improntas que no presentan alteración y, seguidamente, los sellos que la presentan.

2.3.8.- Otros estudios derivados de las matrices de los sellos.

Se pueden llegar a plantear estudios sobre varios aspectos derivados de las matrices de los sellos. Por ejemplo, se podría precisar la **cronología interna** de sellos con largos periodos de vigencia, tratando de determinar el orden temporal de las diversas matrices que pueda presentar una misma lectura. Esto podríamos tratar de hacerlo a partir del material del Testaccio, que nos proporciona dataciones muy precisas. De poder contar con estos datos estaríamos en condiciones de estudiar la evolución en el tiempo de las matrices de una misma lectura, intentando establecer la vigencia aproximada de cada matriz y particularizando cuantas actuaban al tiempo.

Por otro lado, la comparación de matrices se hace imprescindible al tratar de establecer los **lugares de producción** de los sellos cuando contamos con las mismas lecturas en varios talleres. En la figura 77 incluimos el caso de los sellos LFFV de la María y Villar de Brenes. En ambas zonas productoras, que están muy alejadas entre sí, se produjeron envases con esta lectura que obedecen, por el momento, a tres matrices distintas, dos para la zona de la María y una en Villar de Brenes. Sellos con esta lectura hallados en centros de consumo podrán asignarse a una u otra zona productora cotejándolos con las matrices que hemos establecido.

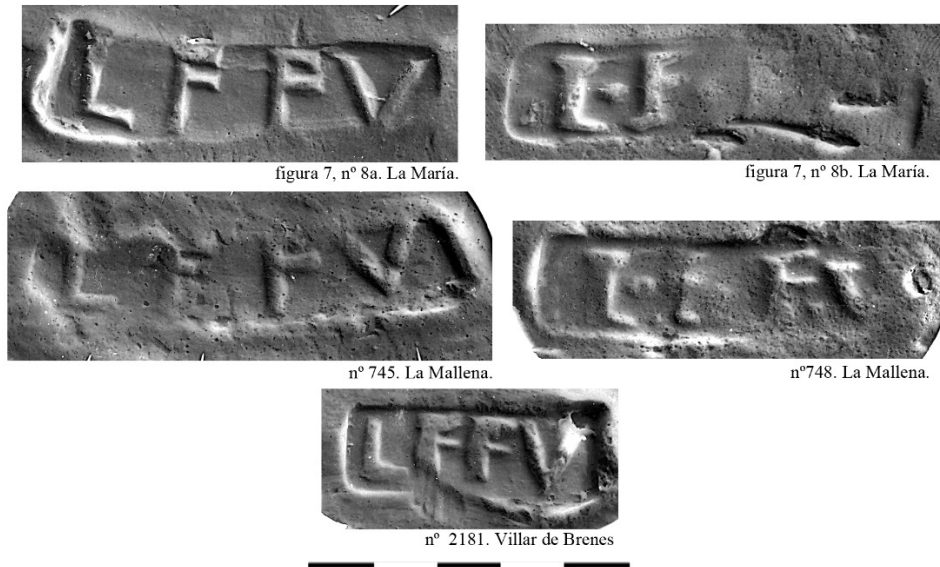


Figura 77.- Sellos de lectura LFFV procedentes de tres matrices distintas: dos de La María y La Mallena, y una de Villar de Brenes.

El estudio de las matrices de los sellos también nos ha ayudado a reflexionar sobre varios aspectos importantes de la mecánica del sellado. Pero, sobre todo, como veremos a lo largo de este trabajo, el análisis de las matrices de los sellos nos va a aportar importantes datos sobre la organización interna de la actividad en los talleres.

2.4.- El diseño de los sellos.

El sistema de los moldes de silicona también nos permite realizar análisis del diseño de los sellos, campo de la investigación que todavía no había sido tratado. Cuando estudiamos las producciones de un determinado taller observamos que, en general, los sellos cuentan con un “aire de familia”, no solo por sus contenidos, sino por el propio diseño que presentan, ya que ambos aspectos representan las dos caras de una misma moneda. En la confección de las matrices, como en cualquier otra actividad artesanal, el objeto producido queda impregnado del estilo de la persona que lo hace. Entendemos que, debido a la propia organización productiva, no eran tantas las manos que confeccionaban estas matrices, de modo que podemos rastrear los distintos estilos presentes en los sellos del taller e ir agrupando aquellos que presentan el mismo diseño y contenido análogo. A estos grupos de sellos los llamaremos en adelante, **grupos homogéneos**. Pero, si las matrices fueron creadas por unas mismas manos, corresponderán a un momento concreto de la actividad del taller. De modo que, el diseño y el contenido de los sellos nos permitirán agrupar cronológicamente las diversas series. También favorece la datación de los sellos, ya que en estas condiciones no tenemos que datar sellos individuales sino grupos de sellos, con lo que nuestras posibilidades de éxito aumentan considerablemente (2.4.1). Seguidamente, con estos planteamientos trataremos de dar respuesta a una pregunta básica sobre el sellado de los envases en los talleres: ¿quiénes fabricaban las matrices de los sellos? (2.4.2). Finalmente, estudiaremos los casos en que las coincidencias de diseño y contenido se observan entre sellos producidos en varios talleres, incluso distantes entre sí (2.4.3).

2.4.1.- Grupos homogéneos.

Como hemos comentado, cuando estudiamos las series de un determinado taller observamos que, en general, los sellos cuentan con un “aire de familia”. Esta homogeneidad se hace patente cuando agrupamos los sellos por las estructuras que presentan. Las series de una misma estructura se pueden dividir internamente por la forma en que se recogen los diversos elementos que contienen. En la figura 78 incluimos algunos de los distintos esquemas internos que adoptan los sellos de la *Scalensia* con estructura TOPÓNIMO + COGNOMEN. Esta estructura estuvo presente en los sellos del taller al menos desde Vespasiano hasta Adriano-Antonino Pio. En estas series podemos observar una evolución en las diversas formas de recoger el TOPÓNIMO: *Scalensia*, *Scale<n>sia*, *Scalens*, *Scalen*, *Scal*. Esta evolución parece obedecer a un patrón cronológico, de forma que el nombre del taller se va acortando a medida que avanza el tiempo. Los COGNOMINA se presentan poco desarrollados y se recogen con entre una y cuatro letras de sus nombres. Las diversas formas en que se registran los sellos de esta estructura nos están indicando distintos momentos de una misma fase productiva del taller, que como hemos visto abarca al menos desde Vespasiano a Antonino Pío.

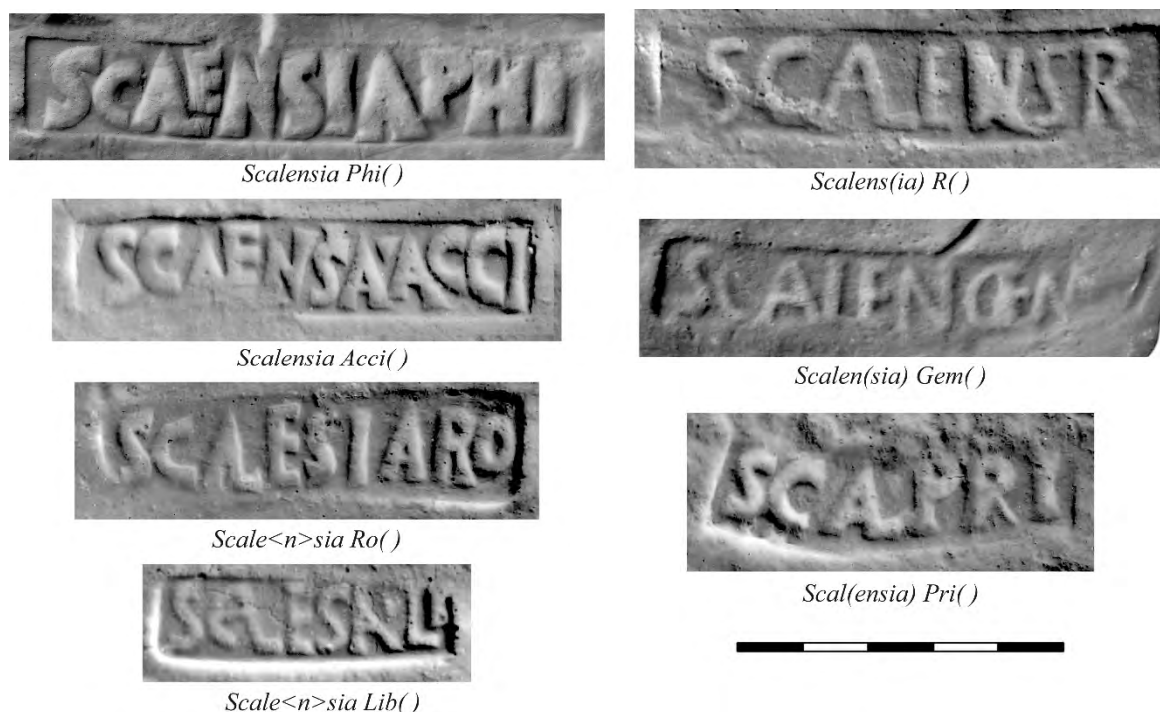


Figura 78.- Diversos esquemas que adoptan los sellos con estructura TOPÓNIMO + COGNOMEN de la serie de la *Scalensia*.

Si agrupamos todos los sellos con un mismo desarrollo del TOPÓNIMO para la estructura comentada, se pueden construir varios grupos de sellos que presentan idéntico diseño y contenido análogo (figura 79). Veamos un ejemplo concreto. En el grupo “e” de la figura 79 tenemos cuatro sellos. Todos presentan la misma estructura: TOPÓNIMO + COGNOMEN. En todos los sellos el TOPÓNIMO viene desarrollado *Scale<n>sia*, sin la “N”, y presentan idénticos nexos “C^A^L” e “I^A”. Los *cognomina* de los personajes subordinados se recogen con sus tres primeras letras: *Cap()*, *For()*, *Lib()* y *Luc()*. Estas peculiaridades de diseño invitan a considerar que las matrices de estos sellos fueron concebidas conjuntamente y, por tanto, corresponden a un momento concreto de la actividad del taller. A estos grupos de sellos de un taller que presentan idéntico diseño y contenido análogo los hemos denominado: **grupos homogéneos**.



Figura 79.- Grupos homogéneos para la estructura TOPÓNIMO + COGNOMEN de la serie de la Scalensia.

Siguiendo con el ejemplo del grupo “e” de la figura 79, en estas condiciones, si conseguimos datar un sello del grupo, podremos datar el grupo completo. En este caso sólo conocemos dataciones para el sello SCALESIACAP (Dangreux & Desbat 1987-88: figura 15.14). Este sello fue hallado en el depósito anfórico de Bas-de-Loyasse (Lyon) que fue excavado parcialmente y datado hacia el año 70 d.C. por las cerámicas de *terra siguillata* de la *Graufusenque* y por algunas monedas de la época halladas en la excavación. El depósito contenía un 16% de ánforas Dressel 20 que forman un lote tipológico homogéneo coherente con la datación propuesta por sus excavadores⁷⁴. De modo que podemos afirmar que los sellos SCALESIACAP, SCALESIAFOR, SCALESIALIB y SCALESIALVC corresponden a las producciones de inicio de época Flavia de una fase productiva de la *figlina Scalensia* que abarca desde Vespasiano hasta Antonino Pio. Procediendo de esta manera con el resto de los grupos homogéneos de la figura 79, en la medida de lo posible podremos ir ordenando cronológicamente las diversas series del taller.

2.4.2.- ¿Quiénes hacían las matrices de los sellos?

Estos grupos homogéneos los vemos en muchos talleres. Veamos otro caso análogo a los sellos de la *Scalensia* comentado en el apartado anterior, en este caso procedente de las producciones de *Caius Iuventius Albinus* de Malpica (figura 80).

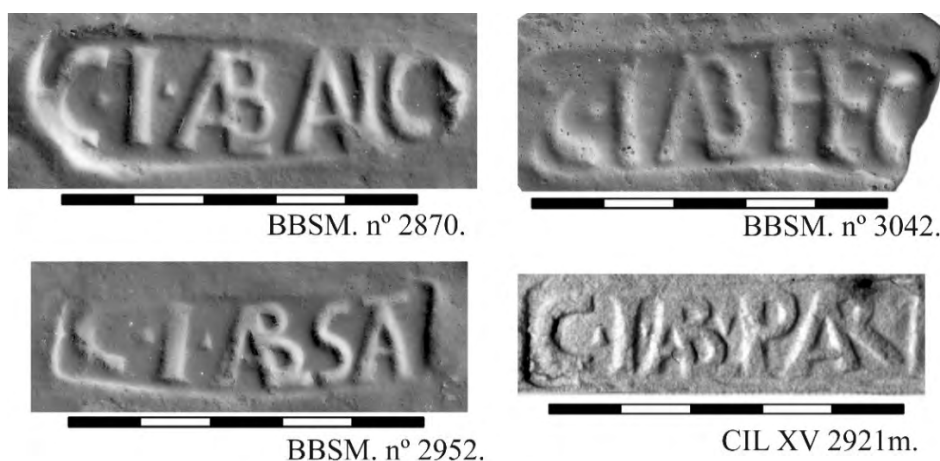


Figura 80.- Grupo homogéneo de la serie de *C. Iuventius Albinus* de Malpica.

Todos los sellos presentan la misma estructura: TRIA NOMINA + COGNOMEN. En todos los sellos el *cognomen* del personaje principal se registra por el nexa “A^L^B”. Los *cognomina* de los personajes subordinados se recogen con tres o cuatro letras siempre fusionadas⁷⁵, A^N^IC, H^EC, PA^R y SA^T. Como en los casos anteriores, estas afinidades de diseño invitan a considerar que las matrices de estos sellos fueron creadas por unas mismas manos. Se desprende que ninguno de los personajes subordinados que encontramos en los sellos -*Anic*(---), *Hec*(---), *Par*(---) y *Sat*(---)- fabricaron las matrices con las que consignaron e individualizaron sus producciones, sino que otras manos crearon estos juegos de matrices que fueron concebidos conjuntamente y que, posteriormente, fueron distribuidos entre cada uno de los diversos personajes que intervienen en ese momento concreto de la producción del taller⁷⁶.

⁷⁴ Berni 2008: 55-56.

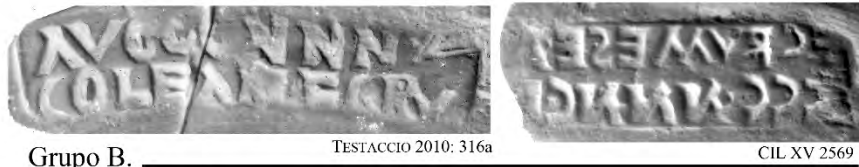
⁷⁵ Una clasificación de los distintos tipos de nexos que podemos encontrar en los sellos se puede consultar en Berni 2008: 103-111.

⁷⁶ Algunas reflexiones sobre este asunto y una analogía con los grafitos nominales en Berni (en prensa 2).

Grupo A₁



Grupo A₂



Grupo B.



Grupo C.



Grupo D.

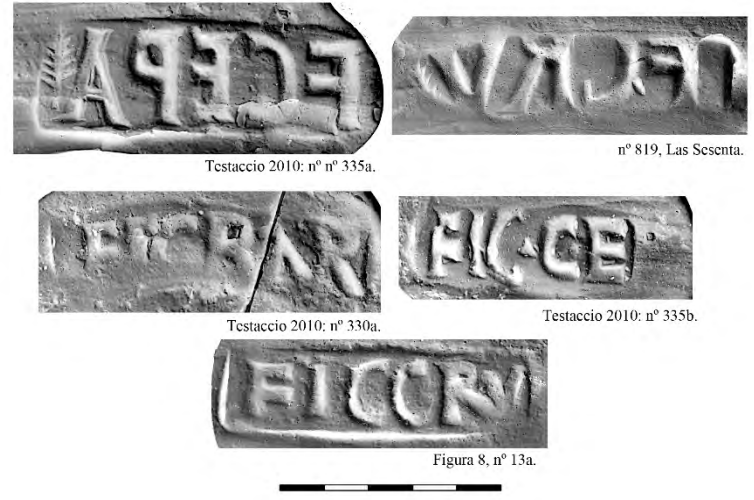


Figura 81.- Grupos A-D de las series de las *figlinae Barba, Ceparia* y *Grumense* asociados a la administración imperial.

En nuestra opinión, esta homogeneidad del diseño y contenido que presentan los grupos homogéneos de los talleres, representan las dos caras de una misma moneda y constituyen un reflejo del control que el sistema organizativo ejerce sobre el sellado. En cada momento concreto de la actividad del taller se usaron al tiempo un determinado grupo de matrices. Estos juegos de matrices fueron concebidos conjuntamente y fueron creados por unas mismas manos. En el capítulo siguiente presentaremos una hipótesis sobre la función de los sellos con la que trataremos de establecer quiénes serían los autores intelectuales de estos juegos de matrices (*vide* 3.4.4).

2.4.3.- Grupos homogéneos en organizaciones “*supra-figlina*”.

Varias *figlinae*, incluso distantes, pueden estar gestionadas por un mismo sistema organizativo y, en estos casos, también podremos formar estos grupos homogéneos con sellos procedentes de diferentes centros productores. En la figura 81 tenemos el caso de los sellos de algunos talleres que cayeron bajo el control de los emperadores Septimio Severo y sus hijos Caracalla y Geta⁷⁷. Observando la serie podemos comprobar que en cada uno de los grupos en que la podemos dividir, los sellos de los distintos talleres no solo presentan contenidos análogos, sino que además presentan idéntico diseño. Como en los casos anteriores, creemos que las matrices de cada grupo fueron concebidas conjuntamente, que fueron confeccionadas por las mismas manos y, por decirlo de una manera gráfica, posteriormente fueron distribuidas entre los diversos centros productores involucrados.

Desde un punto de vista práctico, podemos usar la hipótesis expuesta en el párrafo anterior para identificar talleres gestionados por un mismo sistema organizativo. Sigamos con el ejemplo de los talleres asociados a los Severos. Ya sabíamos que la intervención severiana en el área de la producción de la Dressel 20 no se limitó a los talleres que aparecen representados en la figura 81 - *Barba()*, *Ceparia* y *Grume(n)se-*, ni que todos los talleres implicados siguieron un mismo modelo evolutivo. Entendemos que una forma de identificar nuevos talleres implicados en el proceso se lograría si conseguimos relacionar sus sellos con alguno de los grupos de la figura 81, de modo que los candidatos deben presentar las mismas fórmulas epigráficas y el mismo diseño básico que el grupo correspondiente. A continuación, presentamos algunos sellos procedentes de otros talleres que hemos relacionado con el proceso al aplicar este método de búsqueda.

Dressel recoge dos variantes de sellos bilineales con lectura MAEARIFI/CIANI, desconocidos hasta hace poco en la Bética, uno con lectura directa (CIL XV2686a) de la colección Bruzza, y tres ejemplares de lectura *retro* e incisos (CIL XV 2686b), dos de los cuales fueron recuperados en el monte Testaccio (Occ. II, 1/3-1/2). Las variantes nos presentan la imagen reflejada de un mismo texto.

Hace algunos años, Chic⁷⁸ planteó una relación del personaje de nombre *M. A(---) Earinus* del sello que tratamos, con el *Earinus* que encontramos en el grupo A₂ de la figura 81 tras el elemento *col(---)*, pensando que pudiera tratarse del mismo personaje. Hasta el momento, esta hipótesis no se ha podido demostrar. Por su posición en el Testaccio, los sellos involucrados podrían presentar

⁷⁷ Bibliografía básica de la serie: Dressel 1878; Étienne 1949; Callender 1965; Manacorda 1977; Ponsich 1979; Remesal 1980, id. 1996, id. 2013; Lomas & Sáez 1981; Sáez & Chic 1983; Chic 1985, id. 1988, id. 2001, id. 2003; Mayet 1986; Guichard 1991; Étienne & Mayet 2004; Berni 2008; Remesal en Testaccio 2010: 231-240; Moros *et al.* 2010; Moros 2014.

⁷⁸ Chic 1988: 66 y nota 297.

dataciones similares⁷⁹. Recientemente hemos recuperado un ejemplar incompleto del sello MAEARIFI/CIANI, en Doña Mencía, en el Genil, lugar donde se situaba una *figlina* Cau(---)⁸⁰.

Veamos a continuación si comparando el diseño y el contenido de los sellos implicados podemos obtener argumentos que nos permitan reforzar esta posible relación propuesta por Chic (figura 82). El sello hallado en Doña Mencía coincide con las características del diseño básico de las series de la figura 81: dos líneas de texto, características epigráficas en el trazado de la “A” y la “N”. El desarrollo del *cognomen* en nuestro sello resulta idéntico al registrado en los del grupo A₂, incluyendo la ligadura “RI”, que podemos desarrollar como el nexo “RINI”, y que en el sello de Doña Mencía parece reforzarse con la prolongación de la asta de la R. Pero un detalle nos parece especialmente revelador. En los sellos de las tres *figlinae* imperiales donde comparece *Earinus* (A₂) encontramos al final de la primera línea de texto una rama decorativa, quizás de olivo, idéntica e inclinada hacia la derecha unos 45°. Un elemento decorativo similar se recoge en el sello MAEARIFI/CIANI, esta vez al final de la segunda línea del texto e inclinado hacia la izquierda. A nuestro entender, estas afinidades de diseño son propias de sellos íntimamente relacionados.

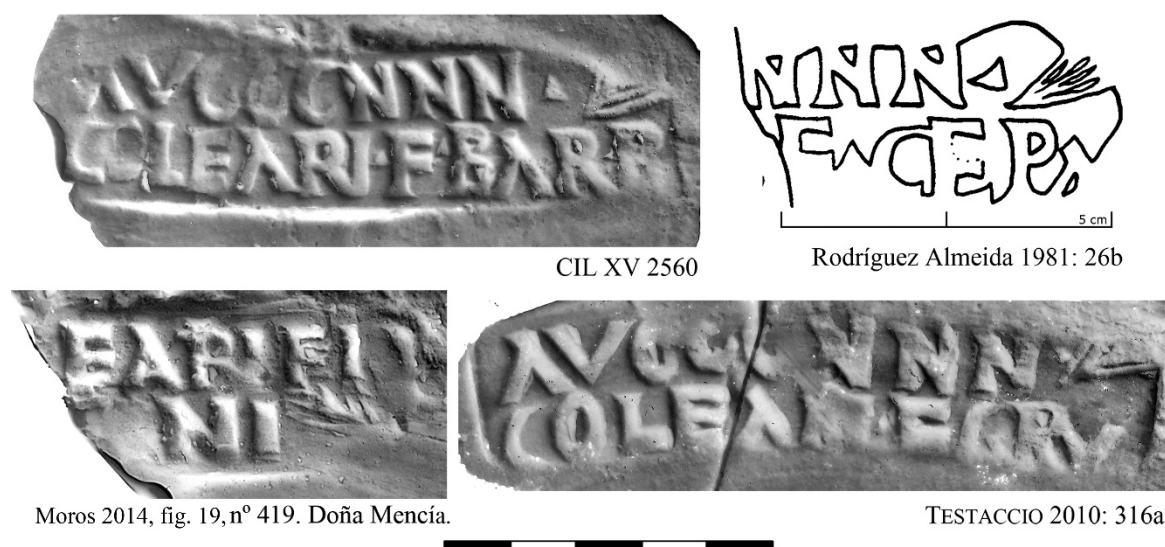


Figura 82.- Estudio comparativo del sello de M. A(---) *Earinus* con el grupo A₂ de la figura 81.

Podemos poner otros ejemplos de sellos procedentes de Doña Mencía, FCAV, del Genil, y de Picachos, FCVCV, de la zona de Posadas en la provincia de Córdoba, que presentan el mismo diseño y contenido análogo a los sellos FCEPA y FGRV del grupo D de la figura 81. Todos los sellos presentan estructura: ATRIBUTO#3 + TOPÓNIMO (figura 83). Los podemos desarrollar: (*ex*) *f(iglinis) Cepa(ris)*, (*ex*) *f(iglinis) Gru(ensibus)*, (*ex*) *f(iglinis) Cau()* y (*ex*) *f(iglinis) Cucu(m...)*. Todos presentan lectura retro, letras de gran tamaño y en los tres primeros casos incluyen una palma final. Creemos que estas afinidades de diseño y contenido se deben a que estos sellos consignaban producciones de varios talleres distantes entre sí, pero que presentaban un sistema organizativo común.

⁷⁹ Las posiciones de estos sellos en la superficie del Testaccio podemos verlas resumidas en Moros 2014: figs. 33 y 34.

⁸⁰ Moros 2014: 798-802.

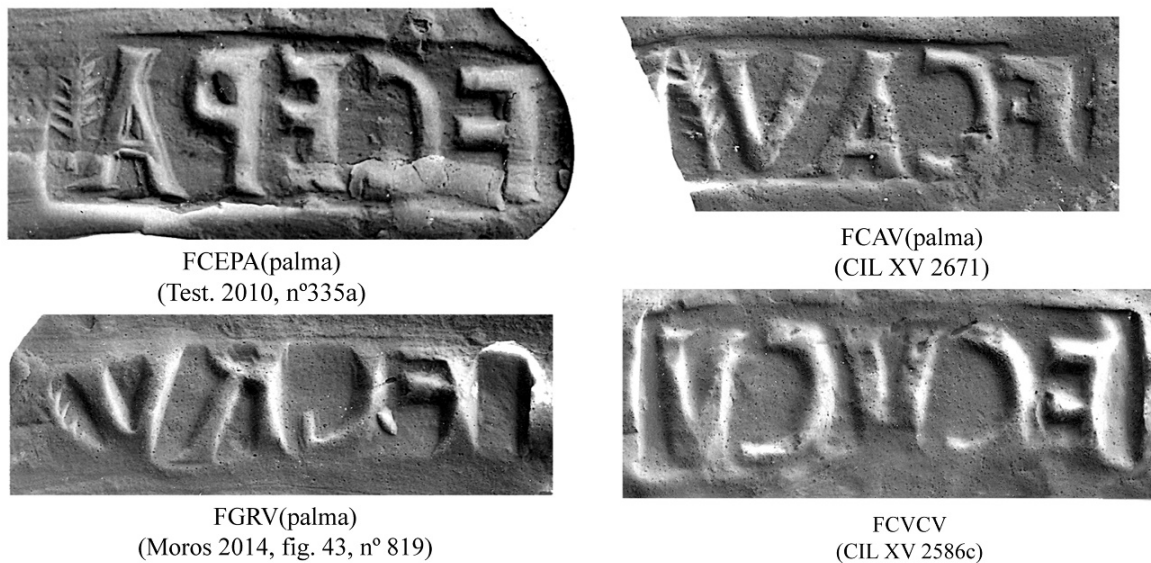


Figura 83.-Estudio comparativo de los sellos FCEPA, FGRV, FCAV y FCVCV.

Podemos pensar que los ejemplos comentados en los párrafos anteriores son un caso particular, que no es la norma común al tratarse de la administración imperial. Pero, podemos poner otro ejemplo donde el sistema organizativo nada tiene que ver con la situación anterior y donde los sellos presentan el mismo diseño y contenido análogo en varios talleres vecinos: *Belliciana*, *Servi()* y *Scalensia* (figura 84).

En este caso, *Q. S() A()* desarrolló su actividad durante el tercer cuarto del siglo II en la zona de la *Scalensia*, situada en la parte final del *conventus* de *Corduba*, y su organización productiva abarca tres centros productores vecinos que sellaban sus producciones de la misma manera. Como en los casos anteriores, pensamos que las matrices de estos sellos fueron concebidas conjuntamente, que fueron confeccionadas por unas mismas manos, que probablemente fueron metálicas y que una vez fabricadas fueron distribuidas entre los talleres involucrados.

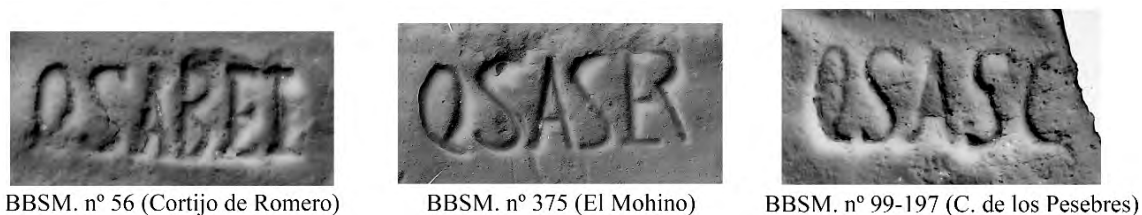


Figura 84.- Estudio comparativo de los sellos de *Q.S() A()* de la *Belliciana*, *Servi()* y *Scalensia*.

Conclusiones.

En este capítulo hemos tratado de desarrollar dos líneas de investigación que hemos podido abordar gracias a los avances acaecidos en el campo de la representación gráfica del material: la clasificación tipológica de las matrices y el estudio del diseño de los sellos. Siguiendo las hipótesis de Remesal sobre la mecánica del sellado, previamente hemos reflexionado sobre varios aspectos que van a influir decisivamente a la hora de tratar de establecer, qué sellos corresponden a cada matriz concreta. Hemos reflexionado sobre la deformación que sufren los sellos respecto a sus matrices y sobre las diferencias que cabría esperar entre dos sellos procedentes de la misma matriz. También hemos presentado un protocolo para estudiar los casos en que los sellos son copias de otros sellos, lo que nos permitirá plantear el orden en que se usaron cada una de las matrices involucradas y cómo se generaron. Teniendo en cuenta todos estos datos y siguiendo los planteamientos de Dressel, hemos propuesto un modelo para establecer y ordenar las matrices de los sellos basándonos en criterios objetivos. El sistema ya ha dado buenos resultados y nos ha permitido clasificar las matrices de algunas de las series más complejas de la epigrafía anfórica bética que han llegado hasta nosotros. Finalmente, hemos estudiado los sellos por su diseño y contenido, lo que pone en nuestras manos una nueva herramienta de estudio. Estos criterios de diseño y contenido nos permitirán ir formando grupos homogéneos de sellos en cada taller. Estos grupos homogéneos de sellos corresponden a momentos concretos de la producción de los talleres y se pueden estudiar conjuntamente, lo que, por ejemplo, facilitará su datación. De este modo, en la medida de lo posible, podremos ir ordenando cronológicamente las diversas series de los talleres. En nuestra opinión, estos grupos de sellos que presentan el mismo diseño y contenido análogo fueron concebidos conjuntamente. Se corresponden con los juegos de matrices que se usaron en un momento determinado de la actividad de los talleres y son una evidencia del control que el sistema organizativo ejerce sobre el sellado. Pero, un mismo sistema organizativo puede actuar sobre varios talleres, incluso distantes, y en estos casos también podremos llegar a formar estos grupos homogéneos con sellos procedentes de talleres distintos, con las ventajas que ello aporta a la hora de estudiarlos y, sobre todo, a la hora de establecer relaciones entre los propios talleres.

Por otro lado, la complejidad que muestra la mecánica del sellado que hemos estudiado en este capítulo, nos lleva a reflexionar sobre la importancia capital que habían de tener las matrices individuales de los sellos en los sistemas productivos de los talleres. En este sentido, dado lo comentado sobre el asunto de las copias de los sellos, nos podemos preguntar: ¿por qué dedicaban tantos esfuerzos a mantener a toda costa una determinada matriz, cuando siempre podrían fabricar una nueva desde cero?

Finalmente, la complejidad y variedad que presentan las estructuras de los sellos de las ánforas olearias béticas, que vimos en el capítulo 1, o la variedad de matrices distintas que pueden llegar a presentar algunas series, que hemos visto en este capítulo, nos lleva a plantearnos la pregunta crucial que se deriva de lo estudiado hasta el momento: ¿cuáles habrían de ser los sistemas organizativos de la producción de estos envases como para requerir estos amplísimos juegos de sellos, muchos de los cuales presentan el mismo texto y proceden de matrices distintas? En el capítulo siguiente presentaremos una hipótesis sobre la función de los sellos que nos permitirá afrontar estas y otras cuestiones básicas.

CAPÍTULO 3. ¿CUÁL ERA LA FUNCIÓN DE LOS SELLOS?

Introducción.

En uno de sus primeros trabajos dedicados a los sellos de las ánforas olearias béticas, Remesal⁸¹ planteó las tres preguntas básicas que, en su opinión, debería afrontar la investigación: **¿por qué se sellaba? ¿por qué se sellaban unas ánforas si y otras no? ¿a quiénes representan los elementos que encontramos en los sellos?** Estas preguntas se pueden extrapolar a todos los talleres que sellaban sus objetos manufacturados producidos en masa durante época romana. Los investigadores de las distintas producciones involucradas (ladrillos, tejas, ánforas, *terra sigillata*, *dolia*, lucernas, *mortaria*, etc.) han debatido sobre estas cuestiones durante largo tiempo y de manera más bien compartimentada, aunque el asunto no está ni mucho menos resuelto. Por el momento, estas preguntas planteadas por Remesal permanecen en gran medida sin resolver.

En la investigación de los sellos de las ánforas Dressel 20, la controversia se ha centrado sobre todo en dar respuesta a la tercera de las preguntas planteadas por Remesal, es decir, tratar de establecer el papel específico de cada uno de los elementos representados en los sellos y, particularmente, se ha debatido sobre el papel de los TRIA NOMINA. Berni resumió en un cuadro las diversas interpretaciones de los distintos autores que han abordado esta cuestión a lo largo de más de cien años de investigación (figura 85). Nuestro posicionamiento en esta controversia suscitada sobre el papel que desempeñaron los diversos elementos que encontramos en los sellos y, por tanto, sobre cómo se articulaban estos elementos en el proceso productivo, va a condicionar decisivamente el desarrollo de nuestra investigación.

Desde que Dressel diera a conocer los materiales del CIL XV a finales del s. XIX, dedicado a la epigrafía del *instrumentum domesticum* de Roma, la falta de una hipótesis general consensuada que aclare la función de los sellos ha dificultado, aún más, la investigación de este tipo particular de documento epigráfico, ya de por sí difícil de descifrar al presentar un formulario fuertemente contraído. Difícilmente podremos avanzar en el estudio de los sellos, si no tratamos de solucionar previamente estas cuestiones básicas.

Las descripciones y los análisis desarrollados en los capítulos anteriores relativos a la composición, las estructuras, las matrices y el diseño de los sellos de las ánforas olearias béticas, nos permitirán proponer una nueva hipótesis para intentar resolver esta trascendental cuestión. A partir de esta hipótesis sobre la función de los sellos, en este capítulo intentaremos dar respuesta a cada una de las preguntas básicas de la investigación planteadas por Remesal: ¿por qué se sellaba? (3.1), ¿por qué se sellaban unas ánforas si y otras no? (3.2), ¿cuál era el papel específico de cada uno de los elementos que encontramos en los sellos? (3.3). Seguidamente, reflexionaremos sobre varios aspectos del proceso productivo y propondremos una hipótesis sobre la organización básica de la producción de los envases en las *figlinae* (3.4). Finalmente, partiendo de la información que aportan los sellos, abordaremos la pregunta con la que concluíamos el capítulo anterior: ¿cuáles habrían de ser los sistemas organizativos de las alfarerías que produjeron estos envases y que usaron estos sellos? (3.5).

⁸¹ Remesal 1977-78: 90.

PUBLICACIÓN	TRIA NOMINA	COGNOMINA	FIGLINAE
DRESSEL 1878	dueño de la alfarería	trabajador del ánfora	dueño de la alfarería (efectivo / temporal)
GRENIER 1934	propietario y productor	fabricante	propiedad de un <i>dominus</i>
THÉVENOT 1952	rico propietario (productor y negociante)	fabricante	del propietario o de otros propietarios
CALLENDER 1965 [1950]	propietario y productor o cliente desprovisto de alfarería	fabricante	posesión de un <i>dominus</i> (inicialmente) fábrica especializada (posteriormente)
TCHERNIA 1967	dueño de la alfarería	trabajador del ánfora	dueño de la alfarería
REMESAL 1977-78	propietario del aceite envasado (productor / acaparador y exportador)	alfarero	propiedad de un <i>dominus</i>
LIU 1977	dueño de la alfarería	trabajador del ánfora	dueño de la alfarería
CHIC 1985	propietario y productor (inicialmente) productor, dueño de la alfarería, y exportador (posteriormente)	<i>villicus</i> (encargado de la alfarería)	posesión de un <i>dominus</i> (inicialmente) - fábrica especializada (posteriormente)
MAYET 1986	dueño de la alfarería	responsable de la producción cerámica	propiedad de un <i>dominus</i>
LIU 1990	dueño de la alfarería	“jefe” del taller (<i>offinator</i>)	dueño de la alfarería
STEINBY 1993	propietario de las <i>figlinae</i> (<i>dominus</i>) o gestor de la <i>officina</i>		

Figura 85.- Diversas interpretaciones sobre los contenidos básicos de los sellos -Tria nomina/ cognomina/ figlinae- recogidas en la bibliografía (Berni 2008: tabla 1).

3.1.- ¿Por qué se sellaba? Hipótesis sobre la función de los sellos.

En nuestra opinión, la principal función de los sellos era **identificar la procedencia concreta de los objetos manufacturados dentro del sistema organizativo que los produjo**. Como veremos a lo largo del capítulo, en los casos más desarrollados, la información que nos aportan los sellos de las ánforas olearias béticas identifica al objeto en un lote de ánforas concreto, fabricado en una unidad productiva concreta, que desarrolla su actividad en una sección concreta de un determinado centro productor de la Bética (figura 86). Desde este punto de vista, el sello sería un “identificador”, necesariamente “codificado”, que sitúa al objeto manufacturado en una rama concreta del árbol general formado por las diversas producciones de la alfarería. Los sistemas de codificación obedecen a una serie de reglas básicas que perduran a lo largo del tiempo. Pero, cada lugar de producción tenía su forma particular de desarrollarlo, de modo que la decodificación completa del identificador sería posible sólo para unas pocas personas responsables del sistema organizativo que produce los objetos y que crea el código (*vide* 3.4.4).

A nadie se le escapan las ventajas que supone para un sistema organizativo de cierta complejidad tener identificados los objetos manufacturados que produce, máxime cuando estamos hablando de producciones en masa donde los objetos son muy parecidos a nivel morfológico, ya que esta circunstancia resulta básica para la contabilidad, control y organización de las hornadas, manipulación y control de la calidad de la producción, organización del almacenaje, etc. En el momento en que los sistemas productivos alcanzaban un determinado umbral en cuanto a volumen de producción y complejidad organizativa derivada de una división interna de su producción, ésta es la clave, el sellado de los objetos manufacturados se presentaba como un medio eficaz para controlar el proceso.

Veamos un ejemplo concreto que nos ayudará a entender la hipótesis. En la figura 86 recogemos nuestra interpretación de cómo se articulan los elementos que componen los sellos, es decir, los distintos elementos que componen el identificador de las ánforas, en el esquema organizativo básico de un centro productor como La Catria⁸². Como veremos detenidamente más adelante (3.3), en nuestra opinión, este centro productor estaría compuesto por varias “secciones”, que a su vez estarían compuestas por una o varias “unidades productivas”. Los distintos elementos que componen el identificador nos van concretando cada vez más la situación del lote de ánforas en el árbol general formado por las diversas producciones del taller. Cada sello nos marcará una ruta concreta en dicho esquema organizativo. Los contenidos de los sellos pueden precisar la procedencia del objeto manufacturado hasta el nivel de “unidad productiva”. El siguiente nivel de precisión, el referente al “lote” concreto al que pertenece el ánfora, viene determinado por la matriz del sello. Cada matriz concreta identifica a un lote de ánforas dentro de la unidad productiva.

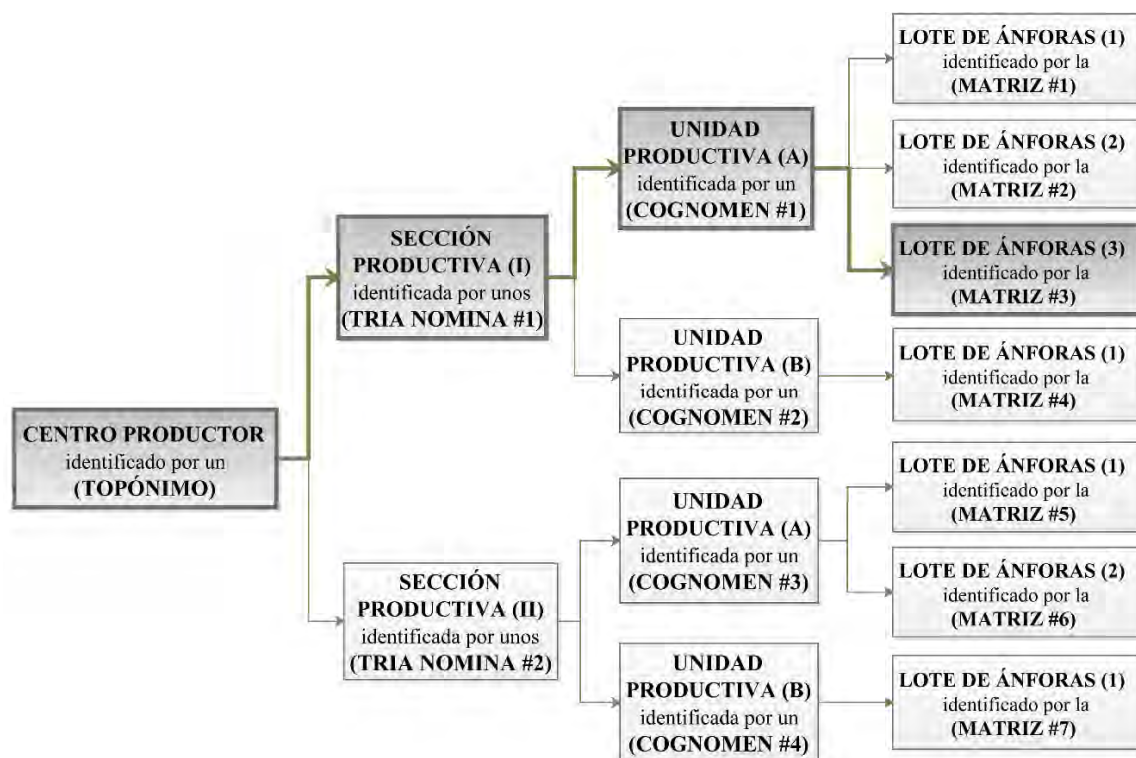


Figura 86.- Esquema de funcionamiento de los 4 elementos que componen el identificador de las ánforas en el sistema organizativo básico de un centro productor como La Catria.

3.2.- ¿Por qué se sellaban unas ánforas si y otras no? Lotes y sub-lotes: la organización de la fabricación de los objetos.

En nuestra opinión, el control de la producción en las *figlinae* no se realizaba a nivel de objeto individual, sino a nivel de lote, de modo que no era necesario sellar cada objeto manufacturado, con sólo identificar un número suficiente de objetos en cada lote, éste quedaba identificado en su conjunto. Los datos arqueológicos nos indican que las *figlinae* béticas de ánforas olearias sellaban

⁸² Remesal 1977-7, Berni 2008:318-334.

entre un 30% y un 70% de su producción⁸³, por tanto, el número de objetos identificados de cada lote sería considerable.

Aún no tenemos una estimación de cuantas ánforas podría contener el total de uno de estos lotes, ni lo podemos calcular, dado que, aunque podamos especular sobre la capacidad productiva de las unidades, por el momento desconocemos el tiempo que las matrices estaban en uso. Sea como fuere, entendemos que los lotes estarían compuestos por cientos e incluso miles de ánforas⁸⁴.

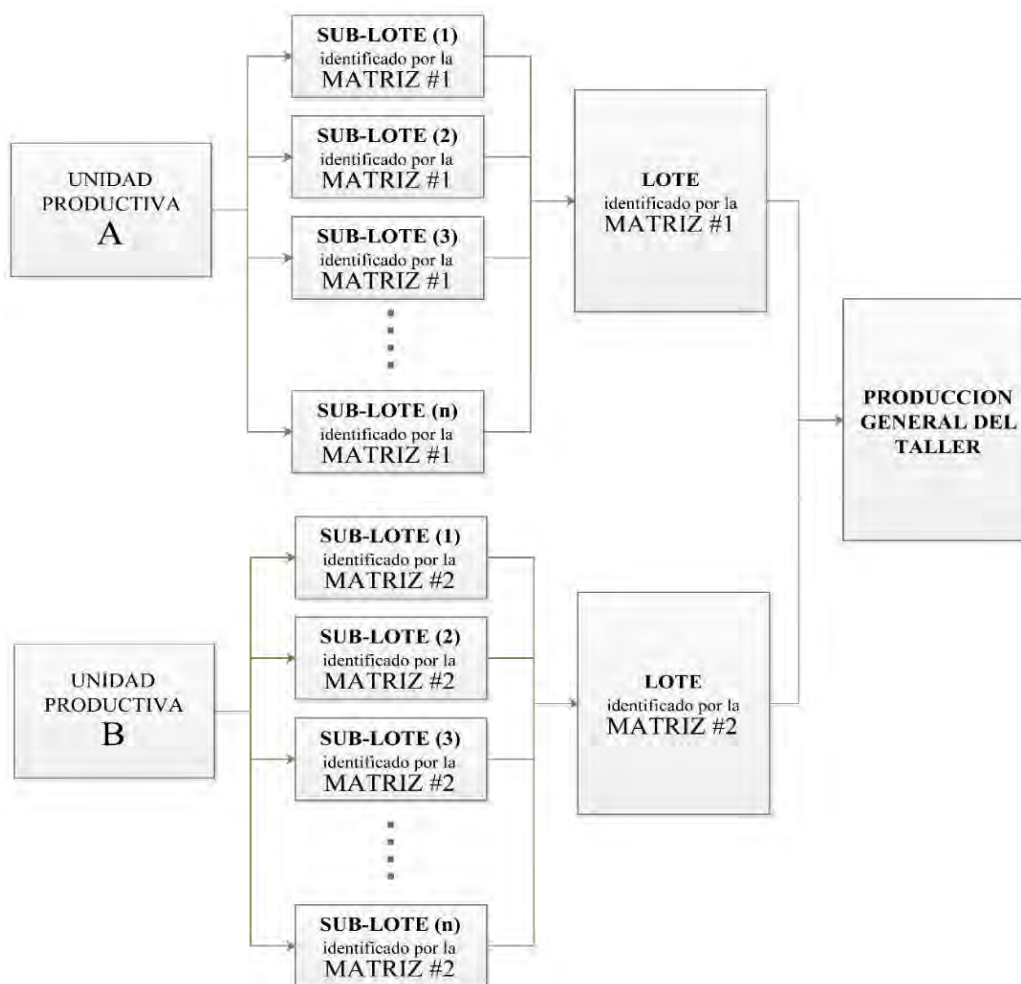


Figura 87.-Esquema de la organización básica de la fabricación de los objetos en los centros productores.

En estas condiciones, las unidades productivas irían fabricando los lotes de ánforas poco a poco, sumando grupos de objetos (sub-lotes), siempre que estos grupos contuviesen un número suficiente de objetos identificados, el sistema no perdería validez. El número de ánforas que compondrían estos grupos sería el necesario para favorecer su manipulación conjunta, manteniendo su integridad como grupo, durante el proceso productivo -fabricación, cocción, control de calidad,

⁸³ No resulta fácil calcular este dato, además su porcentaje varía a medida que avanza el tiempo (Berni 2008:33-34). Sabemos que se sellaron más los envases del s.III d.C. respecto a épocas anteriores (Rodríguez Almeida 1974-1975: 218-224,

⁸⁴ En los conocidos contratos de arrendamientos de alfarerías de *Oxyrhynchus* en Egipto, datados a mediados del s.III d.C., se manejan cifras muy altas, entre 4.000 y 15.000 envases. En estos casos se trata de ánforas de vino (Cockle 1981:90).

contabilidad y almacenaje- y podría venir determinado, por ejemplo, por la capacidad de los hornos (*vide* 3.4.3).

En la figura 87 proponemos un esquema de cómo entendemos que se organizaba la fabricación de los objetos. La producción no se haría objeto a objeto, sino por paquetes. La unidad fabricaba grupos de ánforas en crudo (sub-lotes), que se procesaban juntas para, con el tiempo, ir formando los lotes de ánforas. La producción general del centro productor estaría compuesta por la suma de los lotes de ánforas de cada una de las unidades que lo conformaban. Luego volveremos sobre la cuestión.

3.3.- ¿Cuál era el papel específico de cada uno de los elementos que encontramos en los sellos? La composición del identificador.

Veamos ahora, con más detenimiento, los cuatro niveles que presenta el identificador en el caso concreto de los sellos de las ánforas olearias béticas: los tres elementos que componen los sellos, TOPÓNIMOS, TRIA NOMINA y COGNOMINA, más la propia matriz.

Los TOPÓNIMOS, por su propia naturaleza, nos están mostrando a distintas escalas los **lugares de producción** de los envases: municipios ribereños y sus *portus*, propiedades agrícolas (*fundi o coloniae*), *figlinae*, *officinae*. De este modo, el esquema organizativo básico de la figura 86, que vimos en 3.1, puede expandirse hacia la izquierda si el centro productor formaba parte de un conjunto más amplio, es decir, si estaba gestionado por un sistema organizativo que abarcase varios centros productores. Este podría ser el caso, por ejemplo, de las alfarerías que cayeron bajo el control de los severos (*vide* 2.4.3) o el de las *figlinae* que forman parte de un barrio artesanal situado en un determinado municipio como Arva. En estos casos, la identificación de los objetos en el sistema organizativo puede requerir varios TOPÓNIMOS, sirva como ejemplo el sello ARVA/SALS (Callender 1965: nº130)

Como veremos a lo largo del capítulo, los TRIA NOMINA pueden llegar a identificar cosas distintas en cada una de las situaciones que se pueden dar. El esquema organizativo básico de un centro productor como La Catria (figura 86), que nos ha servido como ejemplo en el apartado 3.1, estaría compuesto por varias **secciones**, puesto que varios TRIA NOMINA concurren al tiempo en dicho centro productor. A su vez, cada sección estaría compuesta por una o varias unidades productivas. Cada una de estas secciones ocuparía parte de las instalaciones y presentaría una cierta autonomía organizativa, aunque todas estarían integradas en la organización general del centro productor. En este caso, los TRIA NOMINA nos indican la sección concreta, dentro del lugar de producción, de donde procede el objeto manufacturado (TRIA NOMINA = sección). Pero, como veremos, un centro productor puede estar compuesto por una única sección, de modo que en estos casos, no existe diferencia entre ambos elementos (TRIA NOMINA = sección = centro productor). Además, podemos encontrar a unos mismos TRIA NOMINA actuando en varios centros productores incluso distantes (*vide* 3.5). De modo que podemos tener diversos esquemas organizativos y en cada uno de ellos los TRIA NOMINA podrían presentar roles distintos: que nos estén indicando a los *domini* de los centros productores o a sus representantes, cuando éstos puedan identificarse con unos libertos⁸⁵, pero también a los arrendatarios de los centros productores o de parte de los mismos (secciones)⁸⁶.

⁸⁵ Este podría ser el caso de los personajes representados en los sellos de las ánforas olearias béticas: *Valerius Trophimus*, *Valerius Amethystus*, *Sempronius Polyclittus*, *Egnatius Eupro*(), etc.

⁸⁶ Remesal ha desarrollado una hipótesis sobre los diversos modelos de gestión de estas alfarerías que ha completado con el régimen de actividad de alfarerías egipcias que vienen reflejadas en algunos papiros (Remesal 1980, id 1991c; id. 2000; id. 2004b: 183-199).

Los COGNOMINA nos señalan las **unidades de producción** y serían el elemento más simple del sistema organizativo que se llega a precisar con los contenidos de los sellos. Un centro productor, o una sección del mismo, estaría compuesta por varias unidades productivas. Las unidades productivas estarían formadas por cuadrillas de trabajadores, barreros, alfareros, personal auxiliar para la manipulación de los envases, etc., dirigidos por el personaje que aparece en el sello⁸⁷. Pero, como ya sabíamos, la presencia del nombre del responsable de la unidad no es la única manera que tienen los sellos de indicarnos la procedencia del ánfora. En algunas alfarerías del territorio de *Corduba*, un mismo sello con estructura TRIA NOMINA + TOPÓNIMO se asocia a varios otros que presentan diversos SÍMBOLOS⁸⁸. Por otra parte, hacia mediados del s.II d.C., en Villar de Brenes el nombre de la *figlina Virginensia* va acompañado de distintos numerales (I a IV)⁸⁹. En ambos casos, creemos que estamos ante otras formas de identificar a la unidad que produjo el objeto.

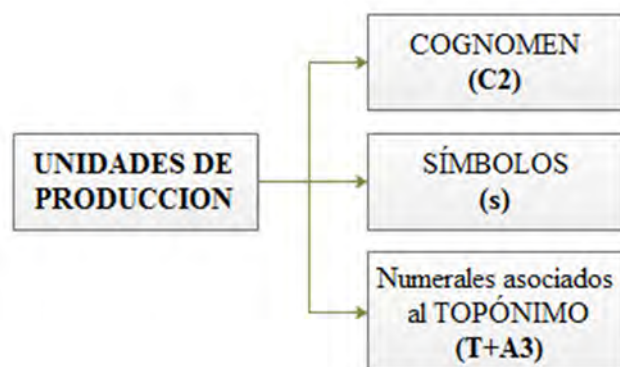


Figura 88.- Distintas formas de codificar la procedencia del ánfora a nivel de unidad productiva.

Hasta aquí llegan los contenidos de los sellos en sus posibilidades de identificar la procedencia de las ánforas, a partir de aquí entramos en el ámbito del diseño particular que presentan las matrices individuales que los generaron. En nuestra opinión, las matrices usadas en el sellado constituirían un sistema de comunicación interno de los centros productores, que ha pasado inadvertido a nuestros ojos, pero que en su ambiente productivo permitía identificar, en primer lugar, el **lote** concreto al que pertenecía el objeto manufacturado. Como veremos a lo largo del capítulo (*vide* 3.5), en determinados casos, el diseño particular de una matriz también puede identificar a la unidad productiva de donde procede el objeto, aunque no tengamos una referencia explícita a dicha unidad en el texto que presenta el sello.

Los distintos **lotes de ánforas** dentro de la unidad productiva quedan identificados por un conjunto de matrices voluntariamente distintas (*vide* 3.4.4). En la figura 89 incluimos el caso extremo de la unidad productiva de *Ursus* en la *figlina Belliciana*. La familia de sellos de este personaje presenta, por el momento, 1 estructura, 5 lecturas y 9 matrices distintas que identificarían un número equivalente de lotes de ánforas fabricadas, en momentos distintos de su actividad, por esa unidad concreta.

⁸⁷ Los grafitos *ante cocturam* nos informan de cómo se organizaba la actividad en el interior de las unidades productivas, aunque este campo de la investigación está aún poco desarrollado. Véanse dos casos excepcionales que aportan interesante información sobre la organización interna de las unidades: los grafitos de la *Virginensia* (Remesal *et al.* en Testaccio 2014: 469-78, Berni: en prensa 2) o los grafitos calendariales (Rodríguez Almeida 1989-90, Berni 2008, tabla 2).

⁸⁸ Los casos conocidos podemos verlos en Berni 2008: 121, figura 88. Corresponden a las producciones de las *figlinae Edop()*, *Palma* y *Cucum()*. La primera y tercera se sitúan en el *conventus* de *Corduba*. De la segunda desconocemos su ubicación en la Bética.

⁸⁹ Remesal 1980: 136-140.

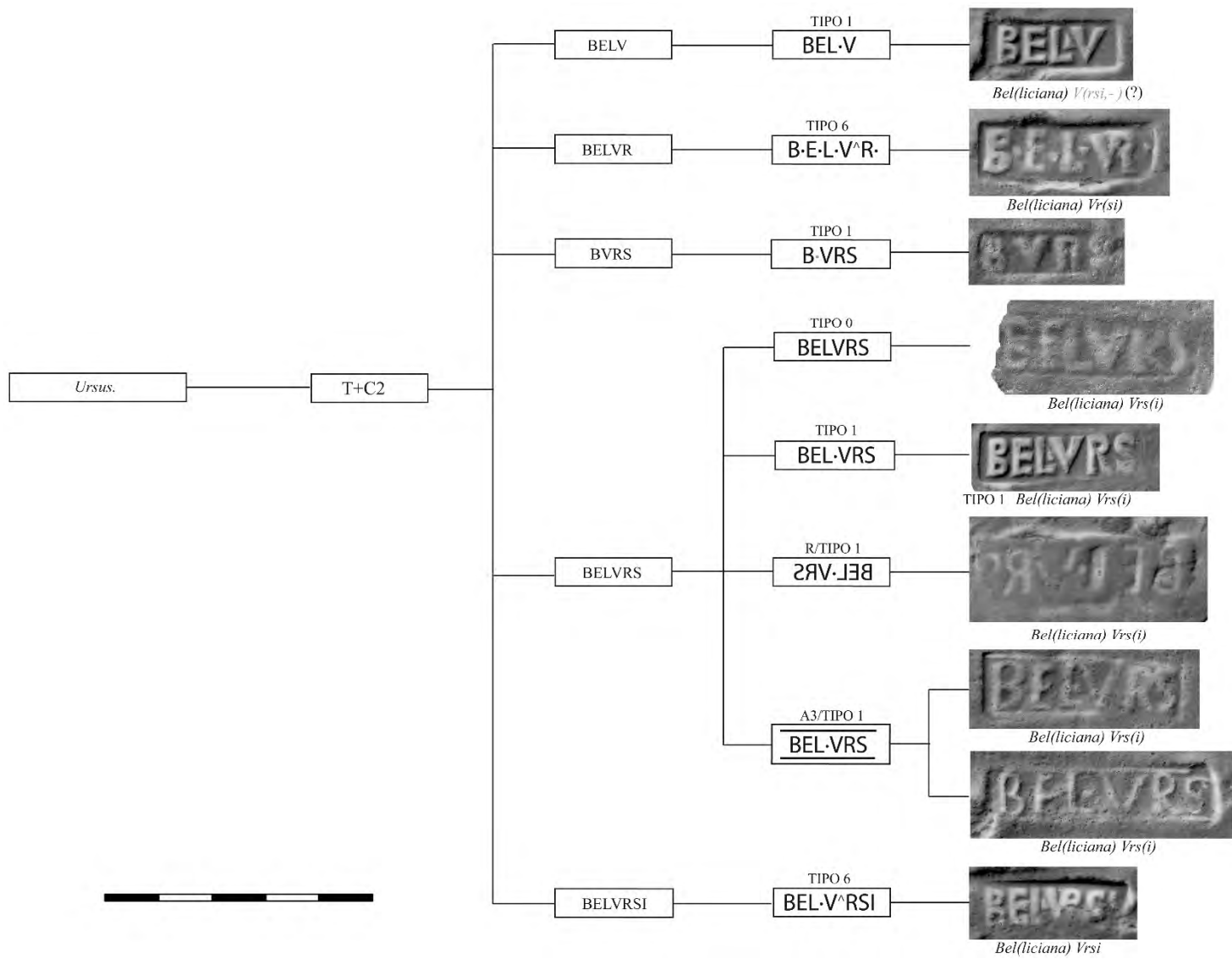


Figura 89.- Distribución de lotes de ánforas de la unidad productiva de *Ursus* de la figlina *Belliciana*.

3.4.- Hipótesis sobre la organización básica de la producción en las alfarerías.

En este apartado desarrollaremos una hipótesis general sobre la organización de la producción en las alfarerías. Primero trataremos algunos aspectos básicos del proceso de fabricación de los objetos en crudo en las unidades productivas (3.4.2). Seguidamente, trataremos de establecer el proceso de producción de los envases en las *figlinae*: fabricación, cocción, control de calidad, contabilidad y almacenaje (3.4.3). Previamente, reflexionaremos brevemente sobre la composición de los lotes (3.4.1). Finalmente, trataremos el asunto de cómo se usaban las matrices de los sellos en el proceso productivo, que como veremos puede explicarse bajo distintos modelos teóricos (3.4.4).

3.4.1.- La composición de los lotes.

Todos los objetos de un lote serían intrínsecamente iguales, no solo en cuanto a su morfología, sino porque fueron producidos bajo un determinado *statu quo* en las relaciones establecidas entre los diversos elementos del sistema organizativo involucrados: centro productor-sección-unidad productiva. Entendemos que la composición de los lotes puede obedecer a diversas causas, por ejemplo, puede venir determinada por un contrato de *locatio-conductio*, establecido entre los responsables de las unidades productivas y las secciones del centro productor, o con la propia dirección del centro productor en caso de contener una única sección. Aquí entraríamos de lleno en el ámbito del Derecho Romano⁹⁰. En otros casos sabemos que la composición del lote tiene un carácter temporal, como se deduce de las producciones de los ladrillos de Roma que presentan sellos con datación consular⁹¹.

3.4.2.- Hipótesis sobre el proceso de fabricación de los envases en las unidades productivas.

Veamos a continuación, cual pudo ser el proceso de fabricación de los envases, tomando como ejemplo el caso de la unidad productiva de *Ursus* de la *figlina Belliciana*, que vimos en el apartado anterior (figura 89). En nuestra opinión, este proceso en la práctica podría resumirse como sigue: a medida que la unidad productiva iba fabricando los objetos de un lote, se iba sellando uno de cada “x” objetos con una matriz particular⁹². El sello que representa a la unidad productiva, como cualquiera de los nueve que tenemos en la figura 89, procede de una matriz concreta. Esta matriz es la que determina a qué lote pertenecen los objetos manufacturados. Suponiendo que el lote estuviese sujeto, por ejemplo, a un contrato, la composición de este podría venir determinada por el número de ánforas que pudiese estipular dicho contrato. La unidad productiva iría aportando grupos de ánforas en crudo (sub-lotes) al proceso productivo: cocción, control de calidad, contabilidad y almacenaje (*vide* 3.4.3). Cuando la unidad productiva hubiese fabricado la cantidad de objetos, que hubiesen superado el control de calidad⁹³, estipulada por el contrato, destruirían la matriz y empezarían a sellar

⁹⁰ Para nuestras ánforas, el asunto ha sido tratado en: Remesal 1980, Mayet 1986: 289. Para los ladrillos de Roma tenemos distintas interpretaciones en: Helen 1975: 37 ss.; Setälä 1977; Steinby 1982, id. 1993. Sobre los distintos tipos de *locatio-conductio* planteados en la fabricación de los ladrillos de Roma: Aubert 2005.

⁹¹ Helen 1975: 9-11. En este trabajo, se estudiaron 1815 sellos diferentes hallados sobre ladrillos de la zona de Roma fabricados en los dos primeros siglos de nuestra era. De ellos, solo 398 sellos presentaban datación consular. El primer sello con la fecha consular era del año 110 (CIL XV 18) y el último del 164 (CIL XV 1369). Su distribución es muy inconsistente: más de la mitad de los sellos con fecha (207) llevaban los nombres de los cónsules para el año 123, el siguiente en orden de frecuencia era el año 134 (39 sellos), y el resto se dividen de manera desigual en otros años.

⁹² Entendemos que los casos más usuales serían: sellando uno de cada dos (50%), uno de cada tres (33,3%), uno de cada cuatro (25%), uno de cada cinco (20%), etc.

⁹³ En un contrato de arrendamiento de una alfarería egipcia de *Oxyrhynchus* -inv. no. 36 4B. 99/j(6)- datado en 243 d.C., vienen especificadas las características que deben cumplir los objetos: “... I shall hand over the aforesaid jars on the drying

con la matriz que identificara el siguiente contrato, caso de que la unidad productiva continuara prestando servicio en el centro productor. Bajo este supuesto, en el caso de la unidad productiva de *Ursus* que nos sirve de ejemplo, tendríamos nueve contratos diferentes y sucesivos establecidos entre dicha unidad y la dirección de la *figlina Belliciana*.

La situación comentada en el párrafo anterior sería solo una de las posibles, cuando las unidades productivas estuviesen compuestas por cuadrillas de artesanos transeúntes que indicasen en sus contratos un número de ánforas determinado. Entendemos que debería existir una casuística diversa en estos contratos y en sus estipulaciones. Pero, además, las unidades productivas podrían estar compuestas por esclavos del *dominus*, en cuyo caso no cabría un contrato sino un encargo o mandato del *dominus*, o de su representante, al responsable de la unidad. En este caso el lote podría venir determinado por la producción de dicha unidad durante un periodo de tiempo, por ejemplo, un año de trabajo. Bajo este supuesto, el juego de matrices usado por la unidad productiva de *Ursus* de la *figlina Belliciana* nos estaría mostrando, al menos, nueve años de la actividad de dicha unidad.

3.4.3.- Hipótesis sobre el proceso de producción de los envases en las *figlinae*.

En la figura 90 presentamos una hipótesis sobre la organización básica de la producción de los envases en las alfarerías, con un ejemplo tomado de la serie de *C. Iuventius Albinus* de Malpica (Genil). Como vimos en el capítulo 2, en ese momento concreto de su actividad, el centro productor estaba compuesto por, al menos, cuatro unidades productivas identificadas por los nombres de sus responsables: *Anic()*, *Hec()*, *Sat()* y *Par()* (vide 2.4.2).

En un determinado momento, cuatro grupos de ánforas (sub-lotes) procedentes de cada una de estas cuatro unidades productivas podrían estar procesándose al mismo tiempo en las instalaciones del centro productor, por ejemplo, utilizando los mismos hornos⁹⁴, y una vez cocidas y superado el control de calidad, los grupos de ánforas serían contabilizados y depositados en un almacén general del centro productor⁹⁵ (figura 90). En estas condiciones, para controlar el proceso de producción, cada grupo de ánforas debía estar correctamente identificado, con uno de cada “x” objetos sellados, y mantener su integridad como grupo durante todo el proceso productivo. En el esquema de la figura 90, hemos supuesto que en un mismo horno podrían procesarse al tiempo ánforas procedentes de diferentes unidades. Pero, no sabemos cómo se organizaban las hornadas y, del mismo modo, podría plantearse que en cada horno sólo se incluyesen objetos procedentes de una unidad productiva. Así se evitarían confusiones en la identificación de los envases no sellados de cada lote, inevitables si se pierde la integridad de los diversos grupos de ánforas durante el proceso. Además, si en cada horno sólo se incluye la producción procedente de una unidad, tendríamos una medida exacta del número de ánforas que compondrían los sub-lotes ya que, lógicamente, habría de ser igual a la capacidad del horno donde hubiesen de ser procesadas⁹⁶. Tampoco sabemos cómo se organizaba el almacenaje y si los diversos lotes de ánforas habrían de mantener su integridad en el almacén o si ya no sería necesario, una vez contabilizados los objetos al ser depositados en él.

floors of the said pottery from the winter manufacture, well fired and coated with pitch from the foot to the rims -en este caso se trababa de ánforas de vino-, not leaking and excluding any that have been repaired or are blemished, each four-choes jar holding up to the rim 20 Maximian cotylae and at the end of the period I shall hand over the said pottery free from ash and sherds” (Cockle 1981: 90).

⁹⁴ Esta misma interpretación sobre el uso de los hornos podemos verla en Rodríguez Almeida 1993: 99.

⁹⁵ Una interpretación análoga sobre el almacenaje de los envases en las *figlinae*, podemos verla en Berni 2008: 35-36.

⁹⁶ Remesal calculó la capacidad máxima del horno documentado por él en La Catria en 79 ánforas Dressel 20 (Remesal 1977-78: 96-97 y particularmente nota 29).

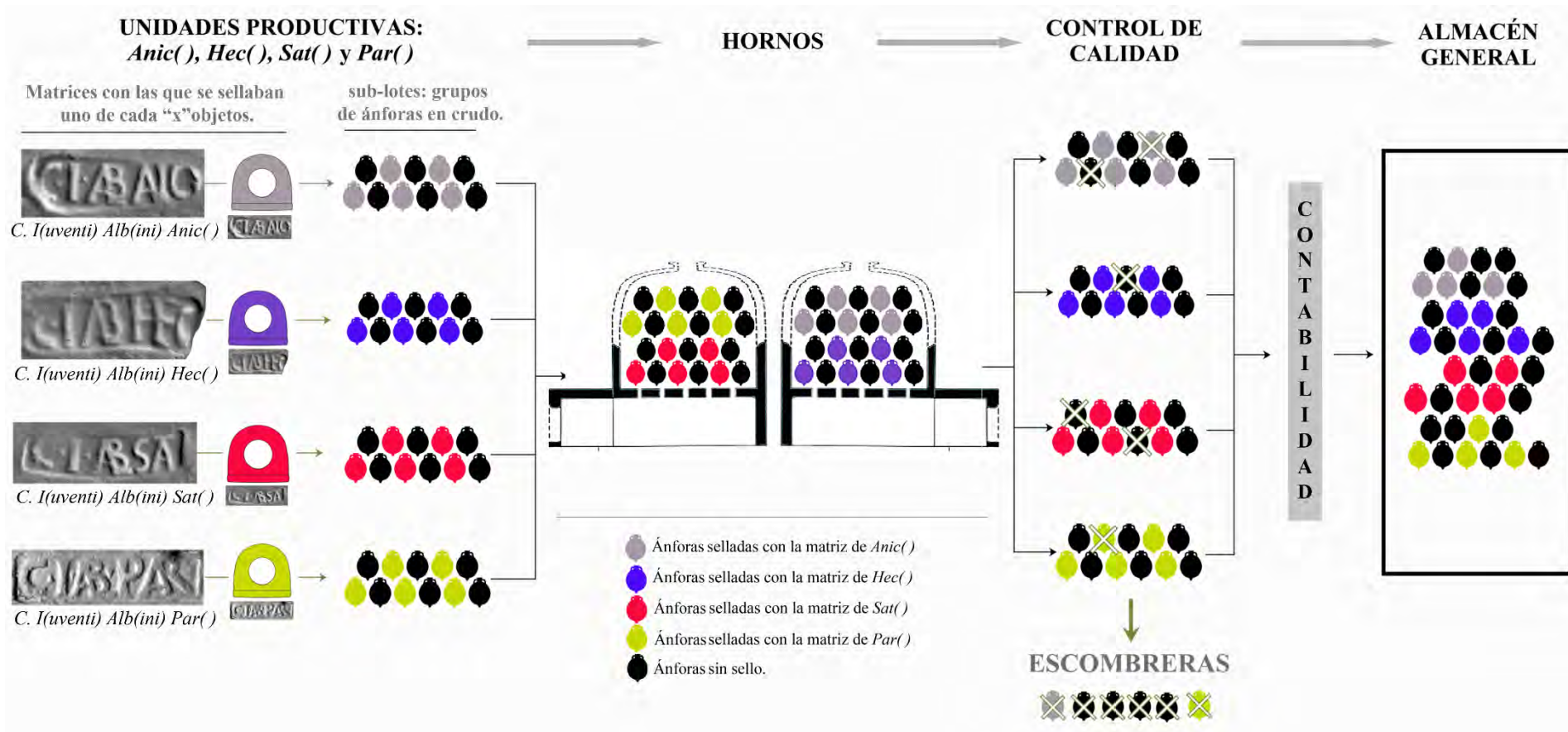


Figura 90.- Hipótesis sobre la organización básica de la producción de los envases en los centros productores con un ejemplo tomado de la serie de *C. Iuventius Albinus* de Malpica (Genil).

3.4.4.- Las matrices de los sellos en el proceso productivo.

En el capítulo anterior creemos haber demostrado que las unidades productivas no confeccionaban las matrices que usaban en el sellado, sino que otras manos crearon juegos de matrices con idéntico diseño y contenido análogo, que fueron concebidos conjuntamente (*vide* 2.4.2). Coincidimos con Berni al plantear que los gestores de los centros productores serían los autores intelectuales de las matrices⁹⁷, es decir, ellos diseñaban su propio código de identificación de los envases, e indicaban al artesano que realizaba las matrices, el contenido exacto de cada sello. Con estas instrucciones el artesano se encargaba de diseñar un juego de matrices fácilmente reconocible, que era distribuido entre las diferentes unidades productivas que componían la alfarería en ese momento concreto de su actividad (figura 90).

En la confección de las matrices se utilizaron diversos recursos técnicos, tanto a nivel de contenido del sello como del propio diseño de la matriz, que permitieron que estos juegos de matrices, en su ambiente productivo, constituyesen un sistema de comunicación claro y eficiente⁹⁸. La complejidad que vemos ahora al estudiar los sellos se produce por la superposición de los sucesivos juegos de matrices usados por el centro productor a medida que éste iba desarrollando su actividad. Pero, en un momento concreto estarían funcionando en el centro productor un limitado número de unidades productivas, por tanto, se usarían al tiempo un limitado número de matrices distintas, lo que, en nuestra opinión, garantizaba la eficacia del sistema.



Figura 91.- a.- Sellado con matrices rotas. b.- Sellado con la matriz primigenia.

La hipótesis también pone en valor la idea de matriz primigenia planteada por Remesal⁹⁹. A raíz del estudio del signáculo con el texto QFRRIV hallado por Bonsor en Arva, el autor demostró que este objeto no representaba en realidad a una matriz de sellado, sino a una matriz primigenia de la que se podrían extraer múltiples matrices selladoras idénticas (*vide* 2.2.1). Con la hipótesis del sello como identificador de lotes, este tipo de herramienta se vuelve imprescindible. Si la matriz con

⁹⁷ Berni: en prensa 2.

⁹⁸ Remesal ya había planteado esta cuestión: “Sorprende en algunas marcas la gran cantidad de matrices distintas, creemos que pueden indicar una larga vida en la producción o tal vez la existencia de muchos alfareros trabajando para una marca, en cuyo caso las diversas matrices, con sus pequeñas diferencias, pudieron servir para distinguir la producción de cada uno de ellos” (Remesal 1977-78: 119). Podemos ver una reciente interpretación general sobre el fenómeno del sellado de este mismo autor en Remesal 2018.

⁹⁹ Remesal 1977-78: 98.

la que sellaban los objetos sufría algún tipo de daño que impidiese sellar con ella o simplemente se extraviaba, debería ser sustituida inmediatamente por otra idéntica, porque de no sellar uno de cada “x” objetos, su fabricación resultaría “anónima”. Tal era la necesidad que, en circunstancias extremas, llegaron a sellar con matrices rotas (figura 91a) o con la propia matriz primigenia (figura 91b). Además, entendemos que los casos constatados en que los sellos son copias de otros sellos (*vide* 2.2.3) obedecen a esta misma necesidad de sellar con una determinada matriz cuando, por cualquier motivo, se veía alterada la mecánica del sellado habitual: matriz primigenia → matriz de sellado → sello.

Como hemos visto, en nuestra opinión, esta necesidad de mantener a toda costa una determinada matriz, se debe a que cada matriz particular identificaba un determinado lote de ánforas producido en la *figlina*. La matriz era un elemento clave en el registro y la contabilidad de los objetos¹⁰⁰. Esta matriz habría de mantenerse en el sellado de todo el lote. Cuando se hubiesen fabricado todas las ánforas que componían el lote, esta matriz se sustituiría por la matriz que identificase el siguiente lote de ánforas. Estos lotes podrían estar sujetos a contratos, o formar parte de un determinado encargo, de modo que la identificación de los objetos que componen el lote sería un aspecto crucial en el control de la producción, máxime cuando varios lotes de ánforas, procedentes de unidades distintas, podrían estar procesándose al mismo tiempo en las instalaciones del centro productor.

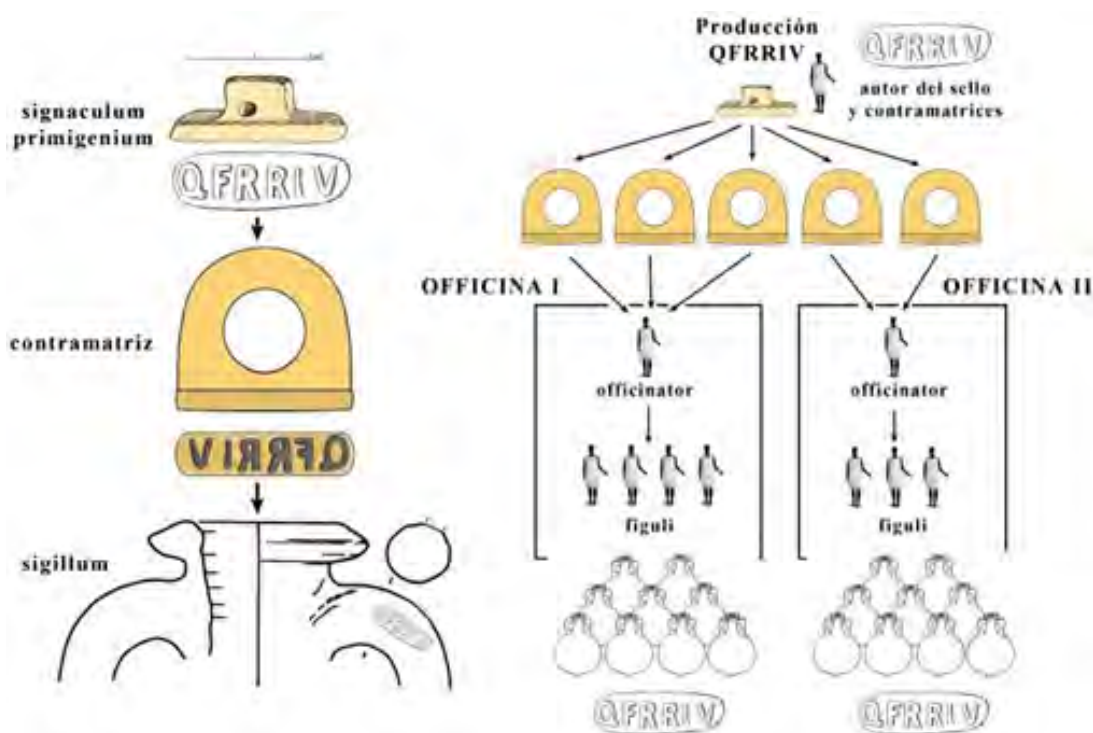


Figura 92.- Sistema distribuido con un único registro (Berni, en prensa 2, fig. 7)

Berni ha planteado otro modelo teórico para describir el uso de las matrices primigenias en lo que denomina “sistema distribuido del sellado”¹⁰¹, que podemos ver esquematizado en la figura 92. Con este modelo, de la matriz primigenia se obtendrían un conjunto de matrices selladoras idénticas que serían distribuidas entre varias unidades productivas de la *figlina*. Todas estas unidades

¹⁰⁰ Sobre el valor contable de los sellos (Remesal 1977-78: 92).

¹⁰¹ Berni en prensa 2.

productivas (*officinae*¹⁰²) trabajarían al mismo tiempo para un determinado encargo, que vendría representado por esa matriz particular. Evidentemente este es otro modelo teórico posible para explicar la organización productiva de los talleres, pero, en estas circunstancias cabría preguntarse, cómo pudieron distinguir en el proceso productivo, qué ánforas correspondían a cada unidad, dado que todos los envases estaban sellados con matrices idénticas. En nuestra opinión, resolver esta cuestión resulta crucial para poder aceptar la hipótesis.

Para ayudarnos a entender las diferencias que presentan ambos modelos teóricos, podemos usar el ejemplo empleado por Berni en su esquema (figura 92). Con la lectura QFRRIV solo conocemos sellos procedentes de una matriz. Esta matriz se extrajo de la matriz primigenia hallada por Bonsor en Arva. Pero, sólo conocemos dos ejemplares del sello QFRRIV¹⁰³ y en estas circunstancias difícilmente podremos hacer un estudio en profundidad de las matrices a que puede obedecer. Además, no sabemos si estos sellos se asociaban en el mismo envase a otros sellos que contuviesen una referencia a la unidad productiva¹⁰⁴. Pero supongamos por un momento que sólo tenemos una matriz con este texto y que este era el único sello que portan los envases. Para Berni, varias unidades distintas de la *figlina Riv(ense)* pudieron fabricar envases con dicha matriz. En nuestro modelo teórico, si solo tenemos una matriz significaría que la producción de *Q. F(ulvius) R(usticus)* en la *figlina Riv(ense)* hubo de desarrollarse en una única unidad productiva y para un único lote de objetos. En una situación así nos podemos preguntar, pero si todos los objetos fabricados provienen de una unidad productiva determinada, ¿para qué sellarlos?, ya que no cabe duda de la procedencia de los objetos. Se sellaba porque el sistema organizativo abarcaba varios centros productores. *Q.F(ulvius) R(usticus)* desarrolló su actividad en época de Marco Aurelio-Cómodo en distintas *figlinae* emplazadas en el barrio artesanal de Arva: *Mae(diana)*, *Sals(ense)*, *Riv(ense)* y *Sisip()*¹⁰⁵. Los sellos no identifican a las unidades productivas, como sí hacían los sellos de Malpica que vimos antes, porque en este caso no sería necesario. Lo que identifican los sellos son las *figlinae* de procedencia de los envases. Así tenemos el juego de matrices: QFRMAE, QFRSALS, QFRRIV y QFRVSTISIP. Un caso análogo lo tenemos en las diversas fases productivas que presentaron los talleres que cayeron en manos de los severos (*vide* 2.4.3, figura 81).

3.5.- La organización de los centros productores a partir de los identificadores presentes en los sellos.

Continuamos con la hipótesis. El esquema organizativo básico que vimos en la figura 86 (*vide* 3.1) se desarrolla a partir de los tres elementos que componen los sellos: TRIA NOMINA, COGNOMEN y TOPÓNIMO. Pero, los sellos de las ánforas olearias béticas pueden contener los tres elementos identificadores (ternas) o sólo incluir alguno/s de ellos (binas o elementos simples). En la estadística de los sellos hemos visto que la estructura elemental que contiene los tres identificadores presenta un grado de incidencia muy bajo, apenas un 3,13 % sobre el total de las lecturas conocidas (*vide* 1.5.1). De modo que parece que nos faltan elementos identificadores en la mayoría de los sellos. Entendemos que existen al menos dos circunstancias que explicarían esta paradoja.

¹⁰² El autor denomina *officinae* a los diversos talleres artesanales que componen una *figlina*. No es exactamente equivalente a nuestras unidades productivas, pues sabemos que una *officina* puede estar compuesta por varias unidades productivas. Así se desprende de la serie formada por el sello CIREXOFARR asociado a IANVARIS o MAVRI (Mayet 1998: 298-299). Del mismo modo con la serie OFGRAROP y OFGRARLVC (CIL XV 3125).

¹⁰³ Uno de Nimega, en Holanda (Remesal 1986:114) y otro de Diesburg, en Alemania (Ehmig 2007: taf.7, 55).

¹⁰⁴ En la serie de Arva conocemos varios sellos con estructuras: TRIA NOMINA + COGNOMINA y COGNOMINA, siendo particularmente abundantes en el s.III d.C.(Berni 2008: 282-304).

¹⁰⁵ Berni 2008: 194-195.

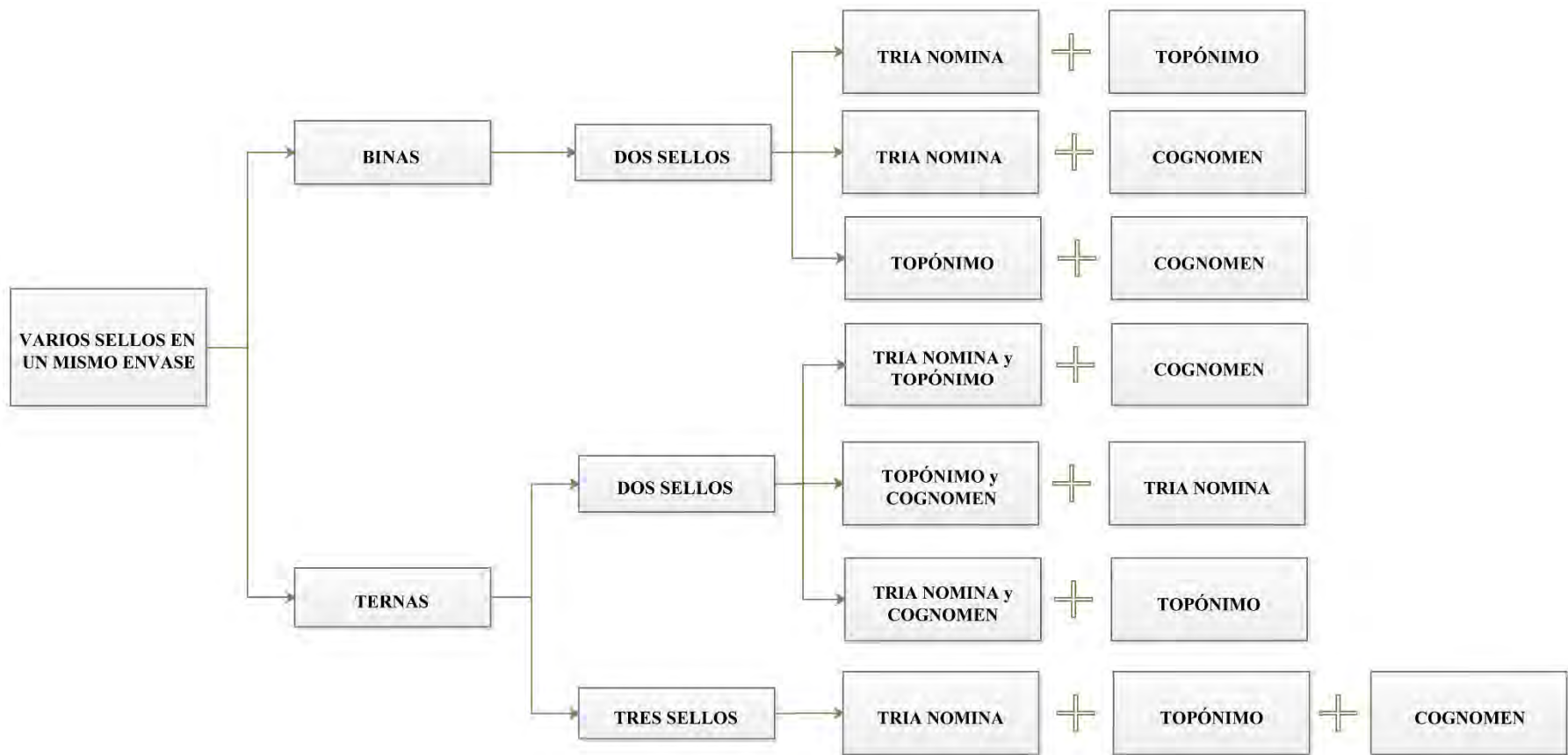


Figura 93.-Distintas formas de generar binas y ternas a partir de varios sellos de contenido simple o compuesto en un mismo envase.

La primera explicación posible es que no disponemos de toda la información. La estadística comentada se ha hecho a partir de sellos individuales. Pero un ánfora puede contener varios sellos, es decir, varios elementos identificadores. Los casos conocidos incluyen un número máximo de tres sellos distintos por ánfora, coincidiendo con el número de identificadores diferentes que tenemos: TRIA NOMINA, COGNOMEN y TOPÓNIMO. Desgraciadamente, solemos encontrar las ánforas fragmentadas y, por el momento, no estamos en condiciones de establecer la incidencia del fenómeno del doble o triple sellado de las ánforas. Como vimos en las estadísticas del capítulo 1, la circunstancia de que 2 de cada 3 sellos presenten un contenido simple, nos hace pensar que podía ser muy frecuente que el identificador se completara sumando varios sellos. En la figura 93 proponemos un esquema teórico de las combinaciones posibles que pueden adoptar varios sellos de contenido simple y/o compuesto en un mismo envase, que extraemos de los datos obtenidos en el apartado 1.7.

La segunda circunstancia que explicaría la paradoja es que no se necesiten todos los elementos para identificar los lotes. **La complejidad del identificador vendrá determinada por la composición organizativa de la producción del objeto.** El sistema se aplica a una casuística muy diversa, de modo que el esquema organizativo básico que vimos en la figura 86 (*vide* 3.1) puede simplificarse o hacerse más complejo. Así, tendríamos desde los casos en que los centros productores estuviesen compuestos por una única sección productiva -de modo que la diferencia entre *figlina* y sección se diluye (figura 94)-, hasta barrios artesanales que presentasen varias secciones productivas (caso de la Catria) (*vide* 3.1, figura 86) o varias *figlinae* (caso de Arva), gestionadas por un sistema organizativo común.

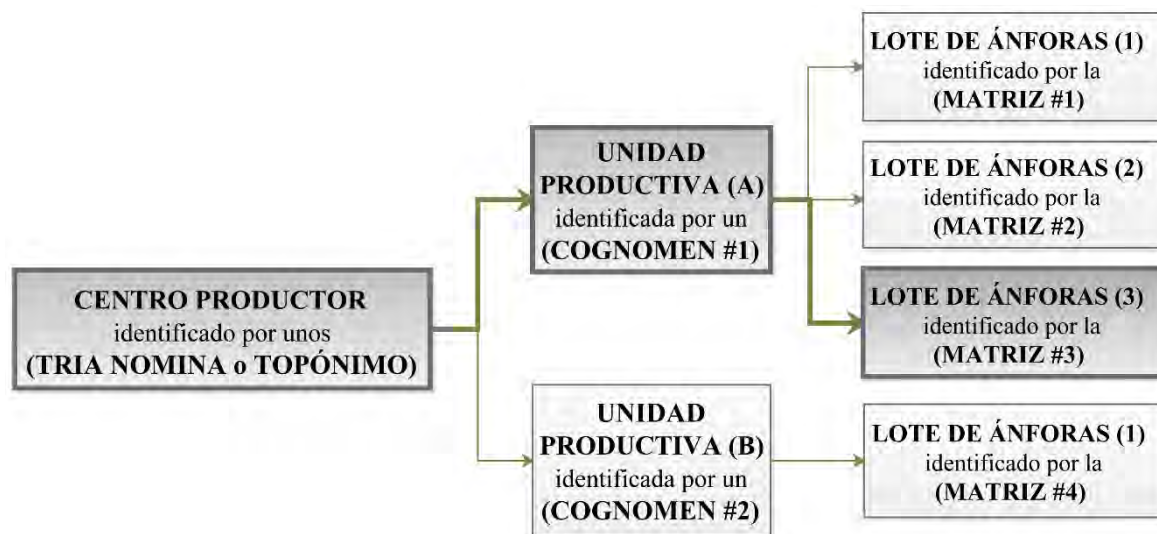


Figura 94.- Esquema organizativo de los centros productores que presentan una única sección productiva (TRIA NOMINA = sección = centro productor = TOPÓNIMO).

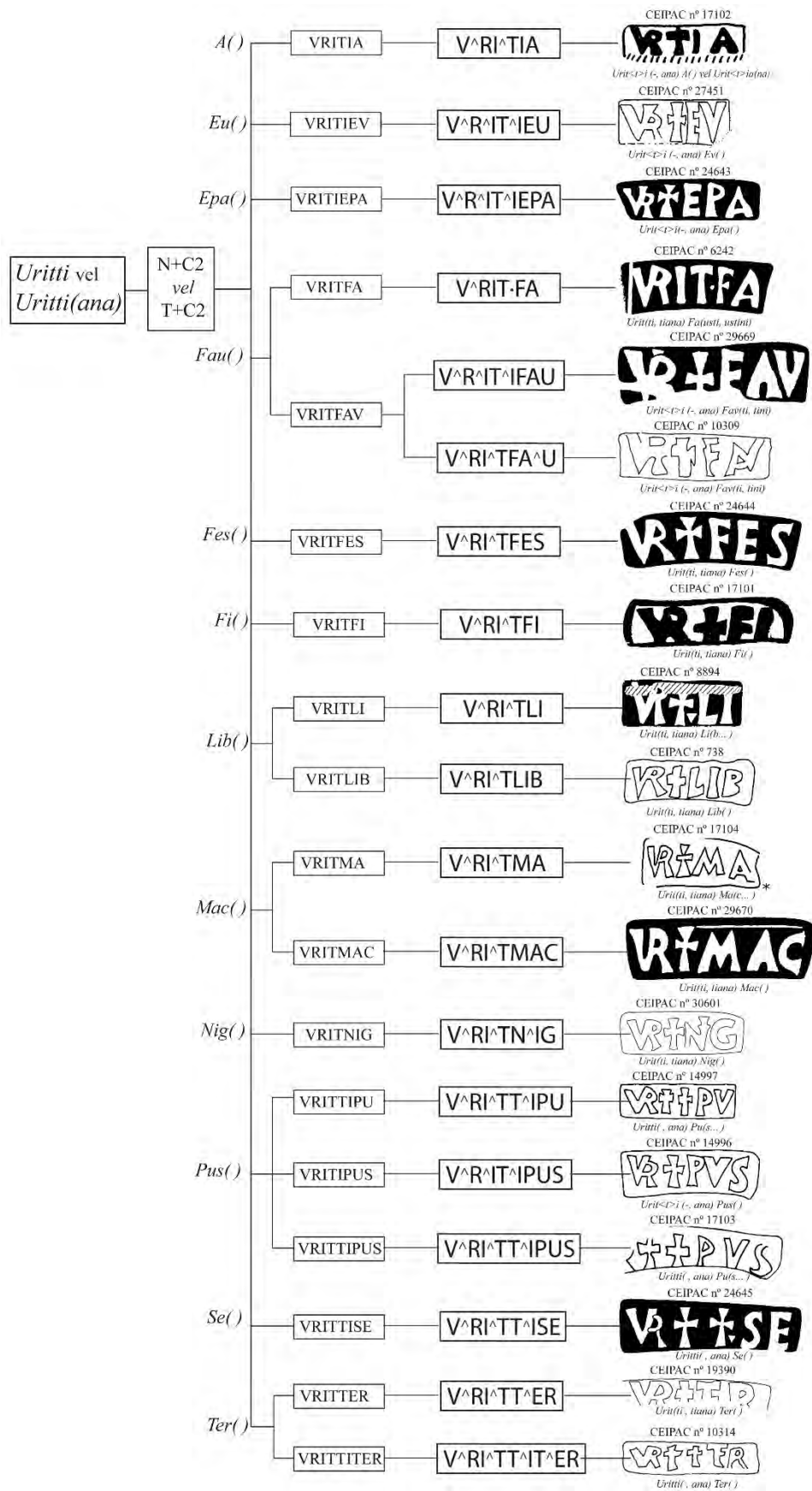


Figura 95.- Familia de sellos de Uritti(us) o de la figlina Uritti(ana).

Un caso paradigmático del esquema de la figura 94, lo tenemos en la familia de sellos de *Urittius*. Estos sellos se pueden solucionar con las estructuras N+C2 o T+C2, ya que el nombre del centro productor puede derivar del nombre de su propietario, como ya conocemos por otros casos¹⁰⁶. De modo que, el elemento “*Uritti*” puede representar tanto al dueño de la *figlina* como a la propia *figlina*, si lo desarrollamos *Uritti(ana)*. La serie está compuesta, por el momento, por 1 estructura y 18 lecturas distintas (figura 95). La alfarería presenta una docena de unidades productivas: *A()*, *Eu()*, *Pa()*, *Fau()*, *Fes()*, *Fi()*, *Lib()*, *Mac()*, *Nig()*, *Pus()*, *Se()* y *Ter()*, que desarrollaron su actividad en distintos momentos de una fase productiva que abarca desde la dinastía julio-claudia, hasta principios de la dinastía flavia¹⁰⁷. Se desconoce la ubicación de la alfarería en la Bética, aunque sospechamos que habría de situarse en el *conventus* de *Hispalis*, entre las localidades de Lora del Río (*Axati*) y Peñaflor (*Celti*)¹⁰⁸. Un esquema análogo, para la misma época y de esa misma zona del Guadalquivir, lo tenemos en las producciones de la *figlina* *Carpurni(ana)*¹⁰⁹.

Como hemos visto, dependiendo de la complejidad del sistema organizativo serán necesarios más o menos elementos para identificar los lotes. De este modo, sólo el ánfora completa contendrá toda la información necesaria para identificar la procedencia del objeto manufacturado en el ambiente productivo que lo creó, estuviesen o no presentes todos los elementos identificadores que conocemos. Veamos a continuación, otros ejemplos de grandes producciones donde no son necesarios todos los elementos identificadores, para precisar la procedencia concreta del objeto manufacturado.

Anteriormente habíamos visto que la forma de codificar la unidad productiva en los sellos puede resolverse de varias maneras, con la presencia del *cognomen* del responsable de la unidad o con el uso de diversos SÍMBOLOS o numerales asociados al topónimo (*vide* 3.3, figura 88). Pero, en ocasiones, su presencia en los sellos resulta aún más sutil. Veamos un ejemplo ilustrativo: en época severiana, la producción de la *Scalensia*¹¹⁰ queda monopolizada por los sellos de *L. F() C()* (figura 96).

La familia de sellos de *L.F() C()* de la *Scalensia* presenta, por el momento, 2 estructuras, 7 lecturas y 18 matrices distintas. Esta complejidad nos revela varias circunstancias: un largo periodo productivo, un volumen de producción notable y, en nuestra opinión, una división interna de la producción entre diferentes unidades. Sólo tenemos un sello que individualiza la unidad productiva que lo usa, LFCCVFSF. Lo desarrollamos como: *L. F() C() c(larissimi) v(iri) (ex) f(iglinis) S(calensibus) F()*, de modo que su estructura elemental quedaría: TRIA NOMINA + TOPÓNIMO + COGNOMEN. En el resto de la serie, no tenemos indicación alguna sobre las unidades productivas que componían el centro productor y su estructura elemental se reduce a: TRIA NOMINA + TOPÓNIMO. Creemos que la serie presenta el esquema de la figura 97. En la serie tendríamos dos sistemas de sellado distintos, aquel que indica la unidad productiva incorporando el COGNOMEN de su responsable, LFCCVFSF, y un segundo sistema, si se quiere más sutil, donde cada unidad productiva usaría su propio juego de matrices. Es decir, en estos casos creemos que las diversas matrices de los sellos determinan al tiempo: unidad productiva y lote. Este sería el esquema habitual de las grandes producciones. Por poner algunos ejemplos: *C.Iuventius Albinus* (Malpica), *P.N()N()* (del Tejarillo y Arva) y *L.F()C()* de diversas alfarerías: *Colobraria*, *Catoni(ana)*, *Scalensia*, *Pac()*, *M()*, etc.

¹⁰⁶ Sirvan como ejemplos análogos los casos de las *figlinae* *Trebeciana* (Dehesa de Arriba) o *Scimniana* (Las Delicias).

¹⁰⁷ Berni 2008: 185.

¹⁰⁸ Moros 2014: 793.

¹⁰⁹ Producida en la zona de Madre Vieja II y la Ramblilla, situada en la orilla izquierda del Guadalquivir en el *conventus* de *Hispalis*. Podemos ver un cuadro de sus producciones en Berni 2008: 374, tabla 72.

¹¹⁰ Remesal 1989, Barea *et al.* 2008.

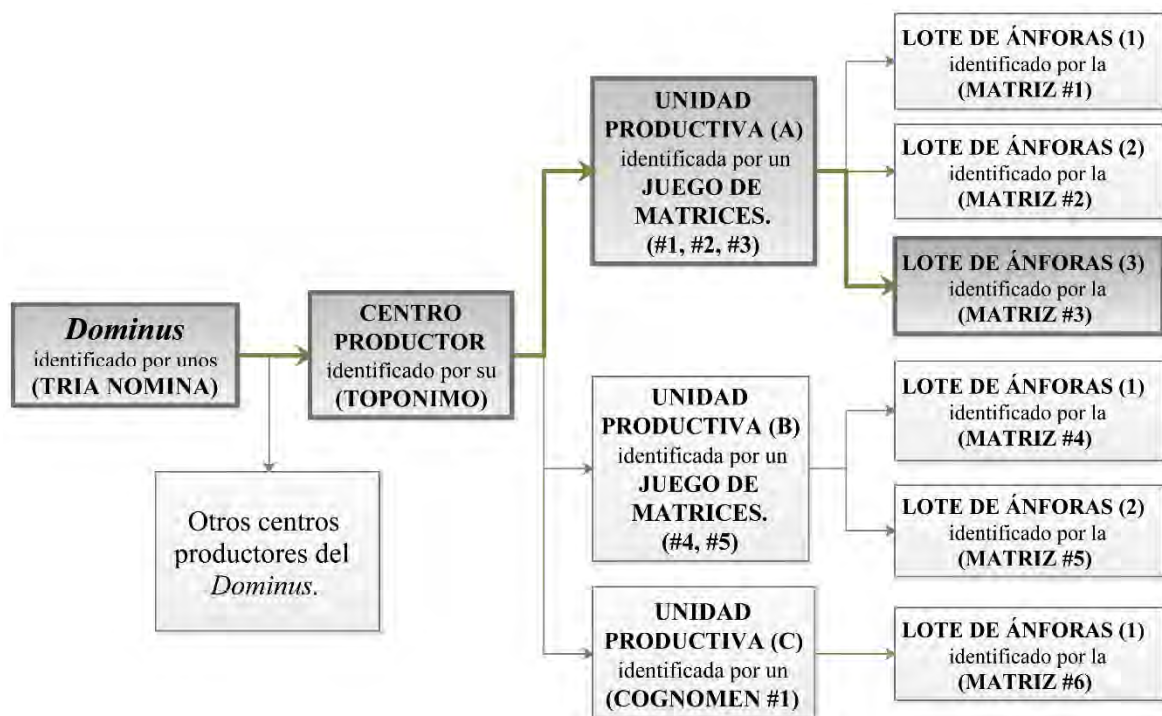


Figura 97.- Esquema organizativo básico de las producciones de L.F()C() de la Scalensia.

Obsérvese que, en los ejemplos anteriores, el TOPÓNIMO se recoge cuando el personaje está presente en varios centros productores -PNN¹¹¹, LFC-, pero no será necesario cuando la organización productiva se desarrolla en un único alfar compuesto por una única sección productiva, ya que en este caso el TOPÓNIMO sería un elemento superfluo (TRIA NOMINA = sección = centro productor = TOPÓNIMO), y el identificador se reduce a su mínima expresión. Este sería el caso de los sellos de *C. Iuventius Albinus* producidos en Malpica. Como veremos más detenidamente en el capítulo 4, la familia de sellos de *Albinus* está compuesta, hasta el momento, por 3 estructuras, 14 lecturas y 62 matrices distintas¹¹². Presenta las estructuras: TRIA NOMINA (6 lecturas y 52 matrices), TRIA NOMINA + COGNOMEN (7 lecturas y 9 matrices) y TRIA NOMINA + COGNOMEN + COGNOMEN (1 lectura y 1 matriz). En la figura 98 recogemos su esquema organizativo.

Entendemos que en la serie de *C. Iuventius Albinus* se observa muy claramente cómo un mismo sistema organizativo puede venir definido por sistemas de sellados distintos.

¹¹¹ El caso de PNN se resuelve con dos sellos para alcanzar la estructura TRIA NOMINA + TOPÓNIMO. Sirvan como ejemplo, para las producciones de Arva: PNN + ...]RVA (Ehmig 2007: taf. 6, 417) o PNN + FIGMED (Remesal en Testaccio 2001 485b y 488b). Para las producciones del Tejarillo: PNN + DFF (Étienne & Mayet 2004: 836 ay) o PNN + DEF (Remesal en Testaccio 2010: 350 c y 384 j2).

¹¹² El esquema es demasiado grande como para representarlo en un formato A4, pueden consultarlo completo en formato pdf en el anexo 3 del CD adjunto a este trabajo.

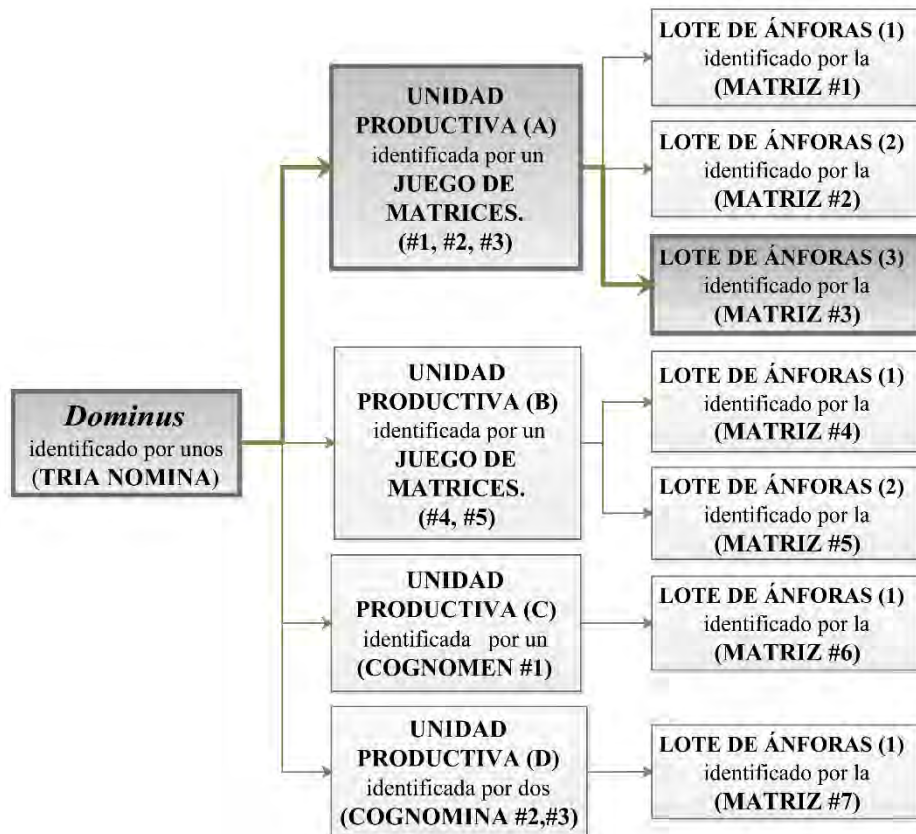


Figura 98.- Esquema organizativo básico de las producciones de C. Iuventius Albinus.

Todo lo anterior nos da pie a reflexionar sobre el hecho de que la Dressel 20 sea una de las producciones anfóricas donde la presencia de los nombres de los centros productores resulta generalizada (*vide infra*, figura 102). Como vimos en la estadística (1.6.4), los TOPÓNIMOS aumentan su presencia en los sellos de las ánforas olearias béticas a medida que avanza el tiempo y, partiendo de un 16% en el s. I d.C., va creciendo paulatinamente hasta alcanzar el 40% en el III d.C. Creemos que ello puede obedecer a un fenómeno de concentración de la actividad alfarera¹¹³, de modo que las alfarerías se van integrando en organizaciones más complejas que gestionaban varios centros productores. En estos casos, la identificación del nombre del centro productor resulta necesaria para llevar a cabo un control general de la producción. Además, en estas organizaciones “*supra-figlina*” sería lógico compartir los recursos disponibles, de modo que la demanda de envases en una determinada zona pudiera completarse con las producciones de varios de sus centros productores, vecinos o no, como, en nuestra opinión, nos demuestran los propios sellos¹¹⁴. En estos casos, el esquema organizativo básico quedaría como observamos en la figura 99.

¹¹³ Para el asunto de la concentración de la propiedad: Mayet 1986: 301 ss. Una bibliografía básica para el caso de grupo familiar de *L.F()C()*: Remesal 1989, Jacques 1990, Chic 1994. Para las alfarerías que cayeron en manos de los severos (*vide* 2.4.3).

¹¹⁴ Hemos hallado sellos de la *figlina Catoni(ana)* situada en el Genil, en la *Scalensia* (Barea et al. n°5v) y en la *figlina M()* de Picachos (inédito). Ambos sellos corresponden a producciones asociadas a *L.F()C()* que consideramos el *dominus* de todos estas *figlinae* en época Severiana.

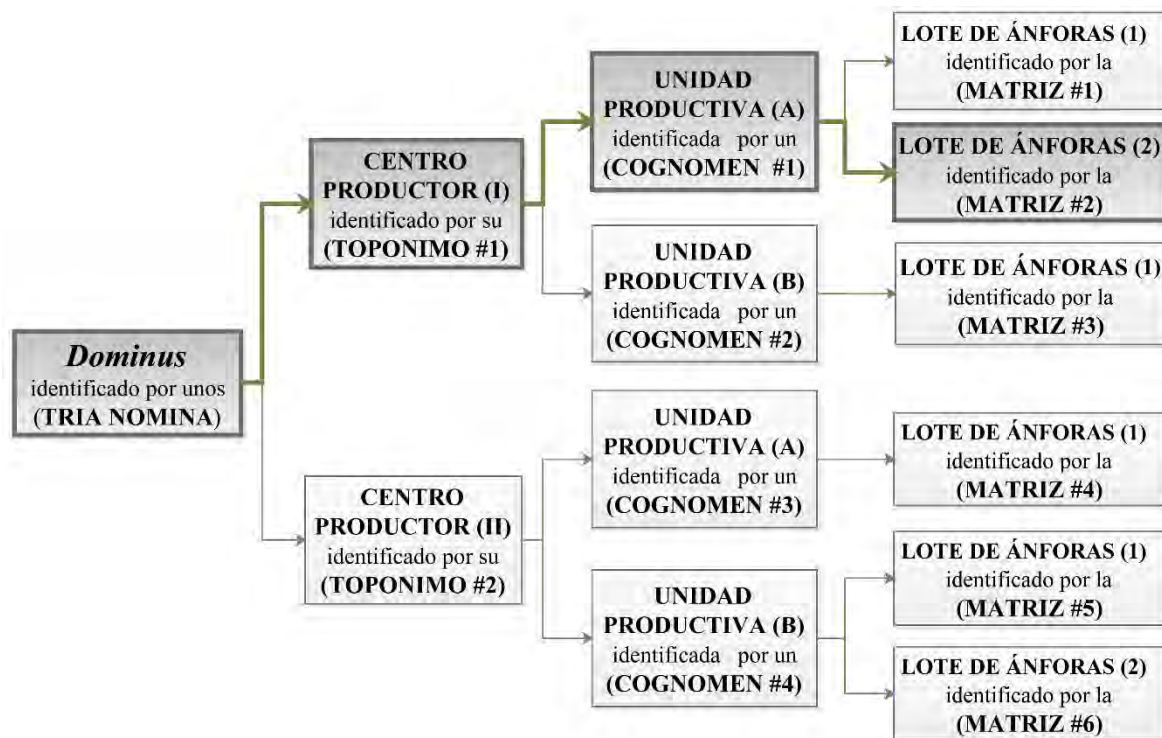


Figura 99.- Esquema organizativo básico de las producciones de varias alfarerías asociadas a un mismo personaje.

Este esquema de la figura 99 es el que sigue la familia de sellos de *P.A() H()*. El personaje presenta actividad en época flavio-trajanea en las *figlinae Belliciana*¹¹⁵ y *Scalensia*, situadas en la parte final del territorio de *Corduba*, mientras que los sellos con indicación *Port()* provienen de Villar de Brenes-Cruz Verde¹¹⁶, en el *conventus* de *Hispalis*, cerca de *Ilipa Magna*, por tanto, situado a considerable distancia de los anteriores. Los sellos del personaje presentan estructuras elementales TRIA NOMINA + TOPÓNIMO (5 lecturas) y TRIA NOMINA + TOPÓNIMO + COGNOMEN (15 lecturas). En este caso la organización involucra a tres centros productores y, al menos, una docena de unidades productivas con la distribución: *S()* y *Ur()* para la *Belliciana*, *Cr()* vel *Cu()*, *F()* y *Sa()* para *Port()* y *A()*, *C()*, *H()*, *P()*, *S()*, *St()* y *V()* para la *Scalensia* (figura 100).

Otra posibilidad, que explicaría la presencia del nombre del centro productor en los sellos, sería pensar que en algún momento del proceso se produzca una concurrencia de las producciones de varias *figlinae* en un mismo punto de almacenaje. Este podría ser el caso, por ejemplo, del *portus* situado en el municipio de Arva.

¹¹⁵ Berni 2008: 442-447.

¹¹⁶ Remesal 1980, Berni 2008:239-247.

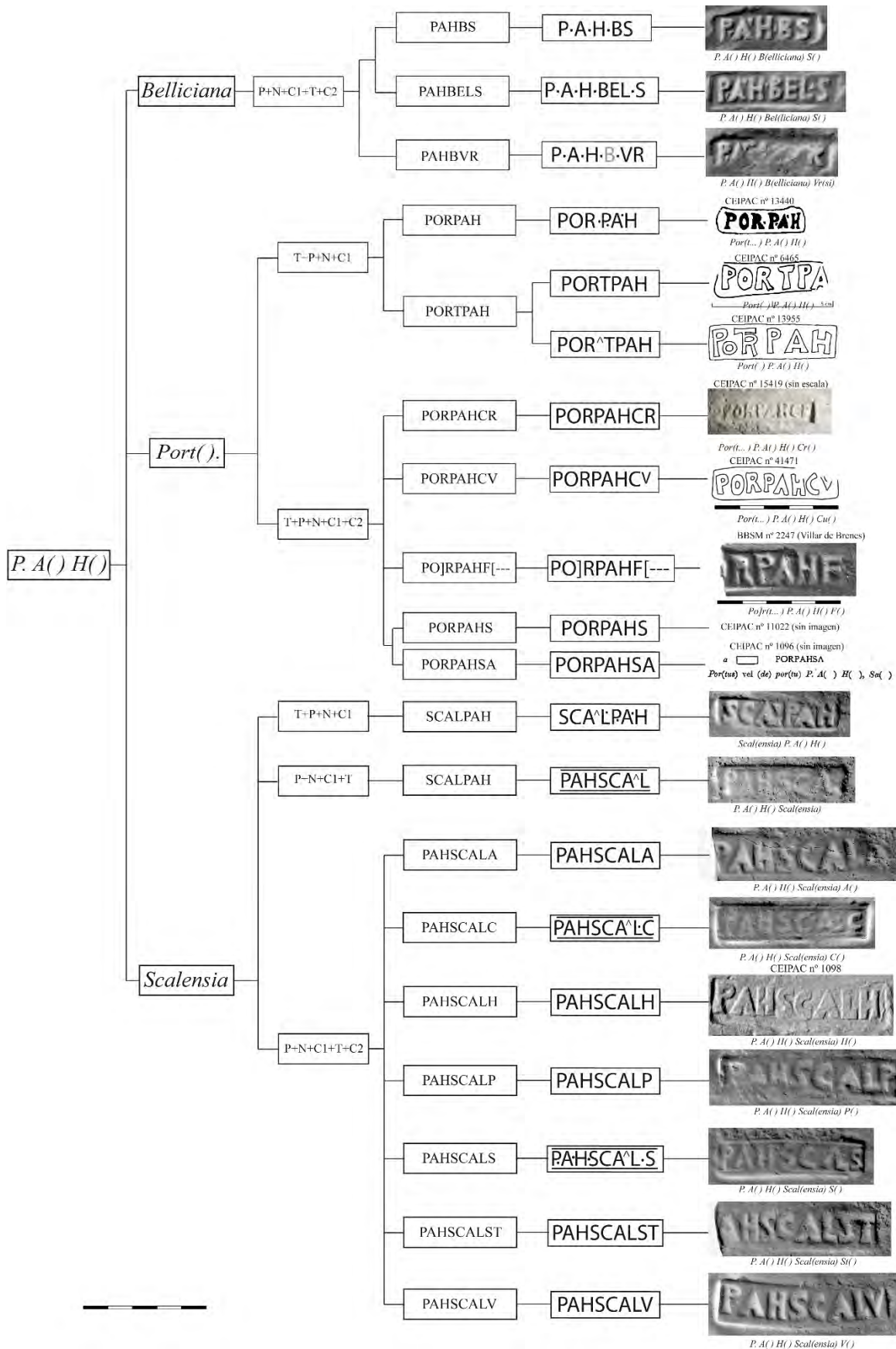


Figura 100.- Familia de sellos de *P.A()H()* de la *Belliciana*, *Port()* y *Scalensia*.

Conclusiones.

Hasta aquí el recorrido por algunos de los esquemas organizativos más usuales de los centros productores de ánforas olearias béticas. Como hemos visto, el sistema de sellado es capaz de absorber una casuística muy diversa. Cada centro productor presentará un determinado esquema organizativo y, por tanto, una forma particular de identificar las ánforas que produce.

Un mismo esquema organizativo puede venir representado por sistemas de sellado distintos y, particularmente, conocemos al menos cuatro sistemas diferentes para codificar las unidades productivas presentes en las *figlinae*, mediante el uso de: *cognomina*, SÍMBOLOS, numerales asociados al TOPÓNIMO o el diseño particular que presenta la propia matriz.

Tenemos, además, varios modelos productivos, un modelo que podemos denominar “público”, caso de los *portus*, y un modelo privado, caso, por ejemplo, de las alfarerías de la zona de la *Scalensia* que abordaremos en la segunda parte de este trabajo. A medida que avanza el tiempo van cambiando los sistemas organizativos, se van agrupando las alfarerías en organizaciones cada vez más complejas que involucran a varios centros productores, a veces situados en zonas muy distantes. Pero el sellado presenta unas reglas básicas que permanecen inalteradas en todas las épocas, que son las que hemos tratado de definir en este capítulo.

Por otro lado, los esquemas organizativos presentados en este capítulo están muy cerca de las tesis de Steinby¹¹⁷ sobre la organización productiva de los ladrillos de Roma. Coincidimos en los planteamientos generales expresados por la autora y con solo cambiar la terminología usada en la descripción de ambas producciones, los esquemas organizativos resultan ser muy parecidos. Incluso la evolución general que presentan las alfarerías, que van cayendo en manos de las élites del Imperio y de los propios emperadores, es una dinámica que también observamos en la Bética¹¹⁸. También coincidimos con la autora en que los sellos no podrían ser decodificados fuera de la organización productiva que los creó, de modo que difícilmente pueden considerarse una garantía fuera de ese ámbito¹¹⁹. Sin embargo, no estamos de acuerdo, por muy atractiva que nos resulte, con su hipótesis de que el sello nos presenta la forma abreviada de un contrato de *locatio-conductio* en el que estarían presentes todos sus elementos: el objeto del contrato (*tegula* u *opus doliare*), el arrendador (*dominus*), el arrendatario (*offinator*) y el lugar donde se desarrolla la actividad (*oficinae, figlinae, praedia*). Como puso de manifiesto Aubert, no todos los sellos cuentan con estos elementos y, en aquellos que los contuviesen faltaría un elemento crucial, para que hubiese contrato debería especificarse una compensación (*merces*)¹²⁰. Entendemos que estos contratos de los que nos habla la autora estarían más bien ligados al concepto de lote (*vide* 3.4.1). En nuestra opinión, las matrices individuales de los sellos identifican a los objetos sujetos a dichos contratos, no son el contrato en sí mismo. Esta identificación de los objetos durante el proceso productivo permitió a los gestores de los centros productores controlar la ejecución de cada contrato y determinar cuándo se había cumplido. Pero esta solo sería una de las formas de establecer los lotes, ya que las unidades productivas podrían estar formadas, como en el caso de las de los ladrillos de Roma, por esclavos del *dominus*, en cuyo caso

¹¹⁷ Steinby 1993.

¹¹⁸ Remesal 1980, Mayet 1986: 103 ss.

¹¹⁹ Esta interpretación de los sellos como garantía para el comprador de los envases fue planteada por Manacorda (Manacorda & Panella 1993: 60 ss.)

¹²⁰ Aubert 2005.

no cabría un contrato y el lote podría venir determinado por un encargo o mandato del *dominus*, o de su representante, al responsable de la unidad.

La hipótesis también nos ayuda a caracterizar la producción de la Dressel 20. En nuestra opinión, la magnitud y variedad que presenta el sistema de sellado de las ánforas olearias béticas nos muestra una producción de envases a gran escala, llevada a cabo desde un buen número de centros productores altamente especializados que presentaban organizaciones complejas y eficientes, subsidiarios si se quiere, pero independientes de la producción del aceite¹²¹. El aceite producido en amplias zonas de la Bética, incluso muy distantes¹²², drenaba a esta parte del curso del Guadalquivir y del Genil para su comercialización, lo que provocaba una demanda de grandes cantidades de envases en determinados meses del año. De modo que la producción de estos envases representaría, en sí misma, un lucrativo negocio que generó una verdadera “industria” de la Dressel 20, que perdura casi tres siglos y de la que son testimonio los inmensos testares que todavía pueden verse en Andalucía, consecuencia del control de calidad de una producción masiva (figura 101).



Figura 101.- Fallos de fabricación de ánforas olearias Dressel 20 de Malpica en el Genil, término municipal de Palma del Río, Córdoba (2002)

¹²¹ Remesal 1980: 133.

¹²² La epigrafía del Monte Testaccio confirma este dato al existir *tituli picti* β de la *ratio fisci* en los que se cita a la provincia Tarraconense (CIL XV 4134-4137; Rodríguez Almeida 1989: 97-101) o por una posible mención de Cástulo (CIL XV 4137).

Finalmente, la hipótesis relaciona a los diversos elementos que encontramos en los sellos con el ámbito exclusivo de la producción del objeto manufacturado, en este caso del ánfora. Obviamente, no descartamos que circunstancialmente, algunos de los TRIA NOMINA representados en los sellos estuviesen también relacionados con la producción del aceite, particularmente cuando se trata de personajes de las élites municipales, senadores o incluso si se trata de los propios emperadores, pero eso sólo nos lo podrá desvelar un estudio prosopográfico de los personajes involucrados. Desgraciadamente, los personajes que encontramos en los sellos permanecen en gran medida desconocidos para la investigación y tenemos datos relevantes a nivel prosopográfico para un reducidísimo número de casos, de entre los cientos de ellos que conocemos. En estas condiciones, a partir de los sellos no podemos estimar en qué proporción los productores de los envases estaban también ligados a la producción del aceite, ni cual era la relación entre la propiedad artesanal y la propiedad de la tierra.

Ahora la hipótesis debería confrontarse con los sellos de otras producciones del *instrumentum impressum* (de otras tipologías anfóricas, ladrillos, tejas, *dolia*, etc.) y comprobar si este nuevo enfoque aporta soluciones para el estudio de cada tipo concreto. El sellado de los objetos manufacturados en época romana abarca casi mil años y se produce en un territorio muy amplio. No obstante, los sistemas productivos presentan unas características básicas comunes en todo el imperio. En el cuadro, ya clásico, de Manacorda y Panella¹²³ sobre los contenidos de los sellos de las principales producciones anfóricas de época romana (figura 102), observamos que los elementos que componen los sellos son más o menos los mismos en todas las producciones, aunque también advertimos ciertas particularidades. Por ejemplo, la presencia del TOPÓNIMO resulta poco común. Por otro lado, el fenómeno de incluir varios sellos en un mismo envase solo se observa en determinadas producciones. Pero pensamos que el sentido del sello permanece inalterable, es decir, en centros productores que alcanzaban una cierta complejidad organizativa por una división interna de su producción y que, por su propia naturaleza, fabricaban en masa objetos morfológicamente muy parecidos, el sellado de los objetos permitía controlar de manera eficiente el proceso productivo. Cómo se hacía en cada zona productora, en cada tipo de objeto y en cada época particular, es lo que debemos tratar de determinar.

	Nomina o Praenomina e Nomina	Nomina e Cognomina	Tria Nomina	Cognomina	Figlinae Praedia Fundi Portus	Geographica	Sigle	Contrassegni	Più bolli in associazione
Produzione:									
tirrenica	●	●	●	●			●	●	●
adriatica	●	●	●	●					●
dell'Italia centr. interna				● ?					
gallica (Narbonese)	●	●	●	●					
tarraconese	●	●	●	●		●	●		
betica (olearia)	●	●	●	●	●		●		●
betica (da garum)	●		●	●			●		
betica (da vino)	●		●						
lusitana			●	●			●		
mauretana		●	● ?		●	●		●	
africana			●	●		●	●		
tripolitana			●	●			●		
cirenaica									
orientale									
egea									

Figura 102.- Contenido de los sellos de las principales producciones anfóricas de época romana (Manacorda y Panella 1993, fig. II).

¹²³ Manacorda y Panella 1993, fig. II.

De ser correcta la hipótesis, si efectivamente los sellos identifican la procedencia de los objetos manufacturados dentro del sistema organizativo que los produjo, estudiando todas las series de un determinado centro productor, o de los centros productores involucrados en caso de pertenecer a una organización superior, podríamos llegar a reconstruir dicho esquema organizativo y describir cómo evoluciona en el tiempo, ya que tendríamos la misma información que crearon y usaron los propios gestores de los alfares para controlar el proceso productivo. Desgraciadamente, esto no es posible por el momento. Al estudiar los sellos individuales de un determinado centro productor, tendremos necesariamente lagunas e imprecisiones sobre su composición organizativa: primero, porque no contamos con todos los sellos que se usaron en el centro productor, segundo, porque no tenemos las dataciones exactas de los sellos y, tercero, porque, en el caso de la Dressel 20, debido al fenómeno del doble y triple sellado del ánfora, habremos perdido parte de las relaciones que se establecieron entre los diversos elementos que componían su organización productiva.

De modo que no podemos reconstruir todo el esquema organizativo de los centros productores, pero podemos llegar a reconstruir partes del mismo. Este es el objetivo de los **dendrogramas**, una nueva herramienta de estudio que describiremos en el siguiente capítulo. La idea es generar un sistema epigráficamente lógico y eminentemente gráfico que agrupa los sellos a partir de sus contenidos y los organiza con un esquema¹²⁴:

FAMILIA → ESTRUCTURA → LECTURA → MATRIZ.

Con este tipo de organización de los datos tendremos desplegados todos los elementos que necesitamos conocer para interpretar la serie y reconstruir, al menos, la parte del sistema organizativo que ha llegado hasta nosotros. A partir de estos fragmentos podemos plantear hipótesis sobre la organización productiva de cada centro productor y de su evolución en el tiempo. Entendemos que este modelo de estudio, adaptado a cada caso concreto, podría aplicarse a cualquier taller que hubiese sellado sus objetos manufacturados producidos en masa, fuesen estos del tipo que fuesen.

En resumen, la hipótesis propone una solución para cada una de las preguntas básicas del estudio de los sellos planteadas hace años por Remesal: ¿por qué se sellaban las ánforas? ¿por qué unas ánforas si y otras no? ¿a quiénes representan los elementos que encontramos en los sellos? Las ánforas se sellaban para controlar el proceso productivo de *figlinae* que presentaban una cierta complejidad organizativa derivada de una división interna de su producción. Se sellaban unas si y otras no porque la producción no se realizaba objeto a objeto, sino por paquetes, por grupos de objetos, de modo que, con solo identificar un determinado número de objetos de cada grupo, éste quedaba identificado en su conjunto. Finalmente, la hipótesis relaciona a los diversos elementos que encontramos en los sellos con el ámbito exclusivo de la producción del objeto manufacturado, en este caso del ánfora. Los contenidos de los sellos representan a los diversos elementos del sistema organizativo que intervinieron en la producción de las ánforas. Creemos que la hipótesis resulta especialmente esclarecedora en estos y otros aspectos de los sellos, que no terminaban de explicarse satisfactoriamente con las ideas que veníamos manejando hasta este momento, pero como no puede ser de otra manera, también nos planteará nuevos interrogantes sobre los que será necesario reflexionar.

¹²⁴ Desarrollamos una propuesta planteada por Berni en su tesis doctoral (Berni 2008: 140).

CAPÍTULO 4.- LA ORGANIZACIÓN DE LOS SELLOS: CATÁLOGO, *CORPUS* Y DENDROGRAMA.

Introducción.

Una vez definidas las características básicas de los sellos, sus contenidos, sus estructuras, sus matrices y su diseño, y establecido el modelo interpretativo que trata de explicar su función en la organización productiva de las *figlinae*, estamos en condiciones de proponer una herramienta específica que nos permita organizar y presentar los sellos en unas condiciones óptimas para su estudio. Como hemos adelantado en el capítulo anterior, propondremos un sistema lógico basado en reglas epigráficas y eminentemente gráfico que nos permitirá tener desplegados en una sola imagen, todos los elementos que necesitamos conocer para interpretar las series de un determinado centro productor. A este tipo de organización la denominamos técnicamente: **dendrogramas** (4.5). Con esta visión de conjunto podremos desarrollar esquemas de las fases productivas de las *figlinae* (4.7). En estos cuadros nos apoyaremos para plantear hipótesis sobre la organización productiva de cada centro productor y su evolución en el tiempo.

Antes de pasar a describir los dendrogramas y los cuadros de las fases productivas de las *figlinae*, debemos reflexionar sobre los distintos tipos de organización de los sellos que se han desarrollado a lo largo de más de cien años de investigación. En este, como en tantos otros aspectos de la investigación, se han planteado estrategias distintas, muchas veces enfrentadas. Como veremos, la organización de los sellos en las publicaciones se caracteriza por su falta de unidad y, en general, cada autor o cada escuela, aun siguiendo uno de los varios criterios establecidos, tiene su forma particular de presentar y organizar los sellos en sus trabajos. Así, en este capítulo trataremos algunos aspectos básicos de la organización de los sellos en las publicaciones: los conceptos de *corpus* y catálogo (4.1), la organización por elementos propuesta por Dressel o la alfabética seguida por Callender (4.2), el orden de prioridades en la organización por elementos (4.3) o las limitaciones que, en nuestra opinión, presentan los *corpora* y catálogos tradicionales (4.4).

4.1.- *Corpus versus* catálogo, una vieja controversia.

Como sabemos, los sellos de las ánforas olearias béticas presentan una gran difusión y se hayan en numerosos yacimientos de época romana. Sellos procedentes de una misma matriz pueden aparecer en numerosos lugares: en su lugar de producción entre las ánforas que fueron desechadas en el control de calidad del taller que usa el sello, en pecios o en aquellos lugares a los que llegaron

las ánforas comercializadas. En este punto nos encontramos con dos estrategias distintas para afrontar la investigación. Si trabajamos desde los centros de consumo, podremos montar catálogos de los sellos hallados en cada yacimiento o a partir de los conservados en cada museo. Pero, si trabajamos desde los centros de producción de las ánforas, podremos afrontar una vieja aspiración de la investigación. Siguiendo una idea de Mommsen, muchas veces defendida por Remesal, podemos tratar de reconstruir el *corpus* de sellos de cada centro productor.

La controversia entre los conceptos de *corpus* y catálogos se suscitó hace más de un siglo. Como nos explica Remesal¹²⁵: “*Cuando entre la Academia y el Museo de Berlín se discute la creación de un corpus numismático, el Corpus Nummorum Antiquorum, Mommsen suscita un fuerte debate, oponiendo los conceptos de «corpus» y «catálogo».*

Mientras que las inscripciones lapidarias son «únicas», los ejemplares de monedas pueden aparecer a miles, pero sólo representan un conjunto limitado de tipos y acuñaciones diversas. El planteamiento, a los ojos de Mommsen, debía ser diverso.

Los representantes del Museo proponían la edición de «Catálogos» de los materiales y colecciones de cada museo, mientras que Mommsen consideraba que era preciso crear un «corpus». Para él no tenía sentido publicar colecciones de materiales, sino hacer estudios sintéticos y sistemáticos en los que se presentaran y definieran los tipos de cada ciudad y cada emisión. No merecía la pena repetir una y otra vez la descripción de catálogos de colecciones, sino que era preciso estudiar, en su conjunto, un tipo de emisión, para poder abstraer la noción tipo, que se convirtiera en referencia única y modo de identificación de una serie de monedas, gracias al cual, se podrían realizar estudios de carácter histórico”.

Con los sellos de las Dressel 20, como con los hallados sobre cualquier tipo de objetos del *instrumentum impressum*, tenemos el mismo problema que con las monedas. Pueden haberse conservado múltiples ejemplares de sellos procedentes de una misma matriz o, dicho de otra manera, los miles y miles de sellos conocidos obedecen a un limitado número de matrices distintas. Para poder llegar a materializar la propuesta de Mommsen, son necesarias dos condiciones previas: tener unas buenas reproducciones de los sellos y una metodología que nos permita clasificar cada lectura por las matrices a que pueda obedecer. En el capítulo 2 hemos tratado estos aspectos de la investigación.

Por un lado, en el caso de las monedas, resulta elemental obtener unas buenas reproducciones de estas, muchos hemos jugado de niños a reproducirlas frotando un lápiz sobre un papel colocado sobre ellas. Los sellos, sin embargo, generalmente se presentan en las ánforas sobre superficies curvas. Debido a esta circunstancia, su reproducción gráfica ha resultado ser mucho más problemática y hemos tardado en encontrar una solución óptima para representarlos. Ahora contamos con una técnica muy parecida a la de Dressel para confeccionar moldes de los sellos, en nuestro caso utilizando moldes de silicona, que nos permiten tener unas imágenes neutras y objetivas del desarrollo plano de estos epígrafes (*vide* 2.1).

Por otro lado, ahora disponemos de una metodología que nos permitirá clasificar y ordenar las matrices de los sellos (*vide* 2.3).

¹²⁵ Remesal 2012: 83.

En estas condiciones, podemos retomar la idea de Mommsen y tratar de confeccionar el *corpus* de sellos de cada centro productor, identificando las diversas matrices que obedecen a cada lectura. Para ello debemos reunir la información que nos aporten los cientos de ejemplares que podamos reunir de un determinado taller, tanto a partir de ejemplares hallados en el propio centro productor, como del aportado por los ejemplares hallados en centros de consumo que podamos asociar con las producciones del taller estudiado. A partir de ahí estaremos en condiciones de ordenar las diversas series agrupando las improntas que obedecen a cada matriz, seleccionando en cada grupo aquel ejemplar que presente el mejor estado de conservación o reconstruyendo una imagen ideal del sello a partir de varios ejemplares (*vide* 2.1.3). En el *corpus*, este ejemplar paradigmático representaría a una determinada matriz y tendríamos una única entrada para todos los sellos procedentes de esa matriz particular.

En el siguiente apartado nos ocuparemos de los diversos criterios que se han seguido en la organización y clasificación de los sellos en los *corpora* y catálogos a lo largo de más de 100 años de investigación.

4.2. Sistema Dressel versus sistema Callender.

Una vez establecida esta diferencia básica entre *corpus* y catálogo, abordaremos los dos criterios distintos adoptados en la organización de los sellos en la investigación.

Dressel reunió un buen número de sellos procedentes fundamentalmente del Monte Testaccio y de los *Horti Torlonia*, aunque también de otras partes de la ciudad de Roma y alrededores. Pudo comprobar que la mayoría de los sellos se presentaban sobre una única tipología anfórica, la Dressel 20, y supo deducir por los contenidos de los *tituli picti* que se trataban de producciones de la Bética y que transportaron aceite. Pero entre el material de Dressel tenemos sellos de muchos centros productores del valle del Guadalquivir y del Genil, y corresponden a producciones que abarcan un amplio periodo cronológico. En estas condiciones, para poder acometer su estudio era imprescindible ir agrupando y ordenando los sellos. Para ello, presentó un modelo de clasificación epigráficamente lógico que le permitió agrupar muchos sellos que de una u otra manera estaban relacionados. El sistema se basaba en agrupar sellos por familias, es decir sellos que contuviesen un elemento común. Para ello previamente debió establecer cuáles eran estos elementos que componen los sellos, nombres de taller, *tria nomina* y *cognomina*, y dio prioridad a los elementos en función de su capacidad de asociar diversas lecturas (*vide* 4.3).

Para usar el sistema de Dressel, primero debemos leer y desarrollar los sellos, es decir, debemos interpretarlos. Desgraciadamente, en determinadas circunstancias, esta tarea no es fácil de realizar, lo que dificulta la puesta en práctica del sistema. Si no conocemos el entorno epigráfico de los sellos, los desarrollos de sus lecturas pueden acarrear serias dudas (*vide* 1.4). Los investigadores que trabajaban con sellos hallados en los centros de consumo manejaban series producidas en muchos talleres y con distinta cronología, de modo que se encontraban en todas las series estudiadas con un cierto número de sellos de los que no se tenían referencias previas y que no sabían desarrollar e interpretar y, en estas condiciones, no se podían ordenar en los catálogos con el sistema propuesto por Dressel. Muchos investigadores no asumieron este grado de incertidumbre. Así, en 1965 se publica la obra, ya clásica, de Callender, *Roman Amphorae*, donde los sellos se ordenan alfabéticamente. Con este sistema, para ordenar los sellos no es necesario interpretar sus contenidos, solo establecer su lectura. Con este criterio los sellos presentan menos problemas para ubicarlos en

el catálogo, pero como consecuencia se perdían todas las ventajas que el sistema de Dressel proporcionaba para su estudio. A partir de aquí se generó una discusión sobre cuál de los dos sistemas debería ser usado. Un grupo de investigadores, particularmente de la escuela española, mantuvieron viva la necesidad de trabajar con el sistema Dressel, a pesar de las dificultades que el método entrañaba al clasificar determinados sellos¹²⁶. Con el avance de nuestro conocimiento en la interpretación y desarrollo de los sellos, finalmente el sistema Dressel se ha ido imponiendo y en los trabajos publicados durante el presente siglo¹²⁷, éste es el sistema usual adoptado en la organización de los catálogos de los sellos de las ánforas Dressel 20.

La fiabilidad de la organización de los sellos en las publicaciones ha mejorado paralelamente con el avance de nuestro conocimiento sobre este tipo particular de documento epigráfico. En el momento actual de la investigación, contamos con una tabla de Berni que propone una lectura y un desarrollo para todos los sellos hallados sobre Dressel 20 conocidos hasta ese momento¹²⁸. En nuestra opinión, las soluciones de los sellos en dicha tabla se han planteado desde una base epigráfica y metodológica sólida. Además, en el capítulo 1.3 hemos incluido una propuesta para determinar las estructuras de los sellos que componen dicha tabla. Como comentamos en su momento, la interpretación de los sellos presenta diversos grados de fiabilidad, depende de la información de que dispongamos en cada caso, de modo que los desarrollos propuestos para resolver los sellos deberán ser revisados a medida que vaya avanzando la investigación. Pero, en nuestra opinión, representa una base sólida sobre la que nos podemos apoyar para organizar los sellos por sus contenidos, siguiendo las ideas de Dressel.

4.3.- Organización interna de los *corpora* y los catálogos que siguen el sistema Dressel: el orden de prioridad de los elementos de los sellos.

Entre los catálogos que siguen el sistema Dressel, encontramos diferentes criterios de organización interna. En los estudios dedicados a los sellos de las Dressel 20 se suele denominar a este tipo de organización “sistema nominal”¹²⁹, para diferenciarlo del alfabético, como hemos visto, más propio de una fase de la investigación en que no teníamos tanta información sobre los desarrollos de los sellos. A nuestro juicio el nombre adoptado para la organización aportada por Dressel, “**sistema nominal**”, no abarca todas las posibilidades que plantea el sistema y resultarían más apropiados términos como “**organización por elementos**” u “**organización por los contenidos de los sellos**”. En realidad, no es importante como denominemos el sistema, siempre que tengamos presente su alcance. Como hemos visto en el capítulo 1, los contenidos básicos de los sellos, ya establecidos por Dressel, serían: TRIA NOMINA, TOPÓNIMOS y COGNOMINA. La clave del asunto nos la explica Berni¹³⁰: “*dentro del sistema nominal, el eje vertebrador de la organización vendrá determinado por el grado de representatividad que le demos a estos elementos*”. Para Dressel, resultaba importante ordenar en series epigráficamente lógicas la gran cantidad de sellos que pudo recuperar junto al padre Bruzza. Al identificar los nombres de los talleres y los *tria nomina* de los personajes representados en distintas series, estos elementos le proporcionaban una cierta seguridad al agruparlos y adoptó un orden de prioridades: TOPÓNIMO → TRIA NOMINA → COGNOMEN (CIL XV-

¹²⁶ Rodríguez Almeida 1974-75: 199, Remesal 1977-78: 100 ss. Este es el criterio desarrollado en los trabajos del grupo CEIPAC de la Universidad de Barcelona y, particularmente, en sus estudios del material del Monte Testaccio (Testaccio I a VI).

¹²⁷ Por poner algunos ejemplos relevantes: Ehmig 2003, Étienne & Mayet 2004, Barea *et al* 2008, Berni 2008; id. 2017.

¹²⁸ Berni 2008: 557- 607.

¹²⁹ Rodríguez Almeida 1974-75: 199, Remesal 1977-78: 100 ss; id.1979: 384; id. 1986: 17; id. 2000: 379.

¹³⁰ Berni 2007: 213, nota 376.

2). Los COGNOMINA sólo son relevantes para asociar sellos en el interior del centro productor, ya que los nombres simples que encontramos en estos epígrafes suelen ser muy comunes en la Bética. Siguiendo estos criterios generales, Dressel ordenó los sellos del CIL XV-2 a partir de sus contenidos: sellos con referencia a emperadores, sellos con indicación de un topónimo, sellos que incluían unos *tria nomina*, que organizó alfabéticamente por el *nomen*, entre los que intercaló a los sellos que presentaban únicamente un *cognomen*, ordenados por este elemento.

Veamos un ejemplo concreto, que nos ayudará a entender el orden de prioridades adoptado por el sabio alemán: TOPÓNIMO → TRIA NOMINA → COGNOMEN. Dressel agrupó en el CIL XV con los números 2587-2603, una serie de sellos que contenían en su texto un elemento “CVF” que identificó con un TOPÓNIMO, *Cuf(iense?)*¹³¹ (figura 103). En este grupo se incluyen sellos de diversos personajes representados por sus *tria nomina* que parecen corresponder a un mismo grupo familiar de *nomen F()*: *L.F() Cresc(ens)* (2587-2597), *L.F() Luc(inus?)* (2598-2600), *G. F() S()* (2601-2602) y *L.C() F() S()* (2603). Independientemente de que fuese o no acertado el desarrollo de “CVF” como *Cuf(iense?)*, en esta serie queda muy claro que Dressel priorizaba los TOPÓNIMOS frente a los TRIA NOMINA, a la hora de agrupar sellos. De modo que el criterio seguido por Dressel no es “nominal”, aunque la mayoría de los sellos contengan a este elemento. Si fuese “nominal”, los sellos de estas familias deberían clasificarse en el *corpus* por el *nomen F()*, no por el elemento *Cuf(iense?)*.

Opus CVF(iense?)

Composui hic sigilla in quibus occurrit vocabulum CVF fortasse intellegendum *Cuf(iense)*, cum in duobus titulis anni 149 p. Chr. pictis in amphoris montis Testacei scriptum sit in altero *Barcufiense Lucini F . . .*, in altero *Bar[cufi]ese Lucini Opt* (n. 3977. 3978). In his sigillis perquam variis videntur nominari tres domini *L. F() Cresc(ens)* n. 2587—2597, *L. F() Luc(inus?)* n. 2598—2600, *G. F() S()* n. 2601. 2602; praeterea unum occurrit inscriptum *L.C() F() S()* cet. (n. 2603).

Figura 103.- Introducción a la serie que incluye el elemento “CVF” en CIL XV-2: pag. 495.

Con el avance de la investigación, entre los *corpora* que siguen este sistema y recogen sellos hallados en centros de consumo, se suele utilizar un orden de prioridades: TRIA NOMINA → TOPÓNIMO → COGNOMEN. Esta organización nos facilita, por ejemplo, el estudio de los grupos familiares y sus zonas de actividad. Veamos dos ejemplos de este tipo de organización. En 1986, Remesal publica su *corpus* de sellos de Alemania¹³². En el mismo se recogen con la referencia 97 (a-1) un grupo de sellos que presentan los *tria nomina* de *L.F() C()* producidos en diferentes *figlinae*: *Cat(oniana)*, *M()*, *Scalensia* y *P(ac...)* (figura 104). En 2004, Étienne y Mayet publican su *corpus* de sellos hallados sobre Dressel 20. Los sellos que presentan estos mismos *tria nomina*, *L.F() C()*, se ordenan por la inicial del *nomen*, “F”, y abarcan los números 440-470. En este grupo tenemos producciones de las *figlinae*: *Gan()*, *Col(obraria)*, *Pac()*, *M()*, *Nov()*, *Sent()*, *Cat(oniana)* y *Scalensia*.

¹³¹ CIL XV, p.495. Ahora interpretamos que tras estas letras “CVF” se esconden dos elementos distintos: un ATRIBUTO de TRIA NOMINA, *c(larissimus) v(ir)* más un ATRIBUTO de TOPÓNIMO, *(ex) f(iglinis)*.

¹³² Remesal 1986.

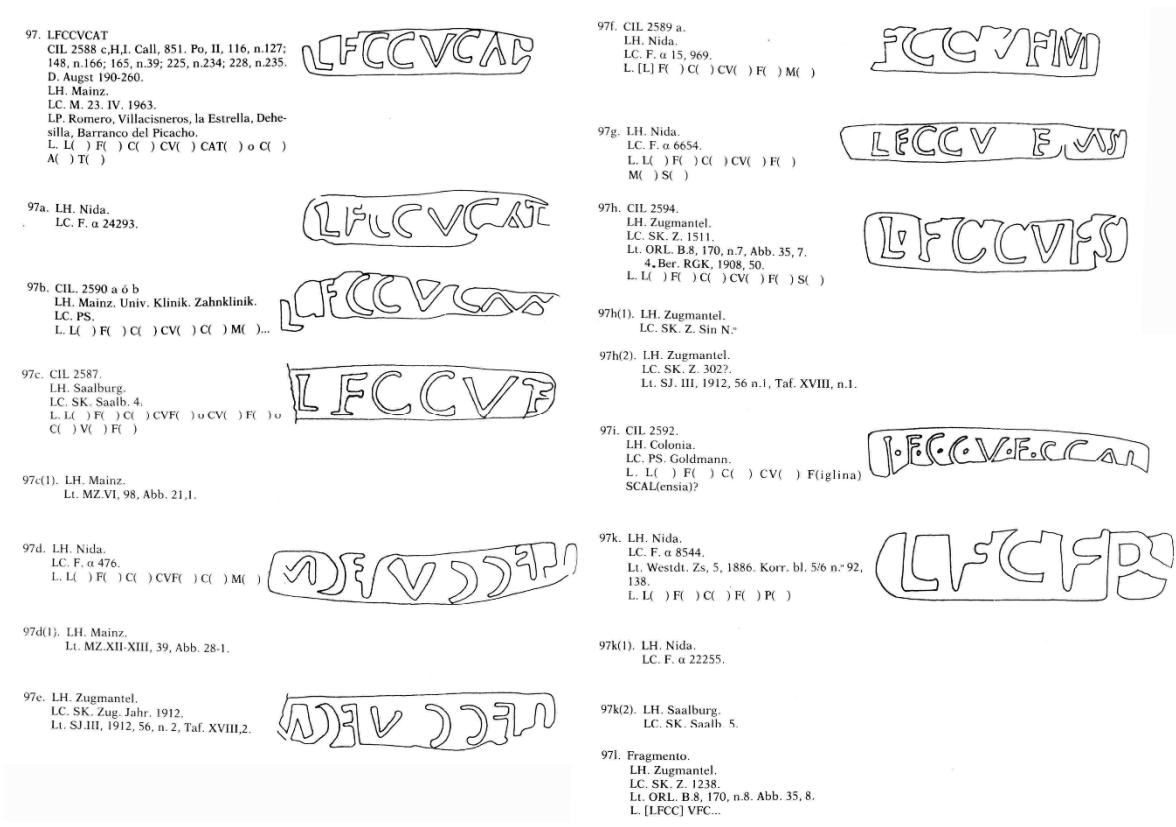


Figura 104.- Sellos de *L.F()C()* en Remesal 1986, n°97 (a-l), pag. 147-149.

Finalmente, si estudiamos los sellos de un determinado centro productor, parece más razonable un orden de prioridades: **TRIA NOMINA** → **COGNOMEN** → **TOPÓNIMO**. Este fue el orden de prioridades adoptado, por ejemplo, en nuestro trabajo de la *Scalensia*¹³³. Ello es debido a que en centros productores como la *Scalensia*, el 90% de los sellos incluyen una referencia al **TOPÓNIMO**. De modo que, si damos prioridad a este elemento, tendríamos una única familia de sellos que abarcaría prácticamente todas las producciones de la *figlina*. Además, los personajes quedarían separados en dos grupos en función de si aparecen o no asociados al **TOPÓNIMO**. En estos casos, nos interesa más agrupar los sellos por los personajes que intervienen en el proceso productivo, ya vengan estos expresados con sus *tria nomina* o por un *cognomen* único. En estos casos, al trabajar con sellos procedentes de un determinado centro productor, resulta factible agrupar aquellos que presentan un mismo *cognomen*, sirva como ejemplo la serie de *Ursus* de la *figlina Belliciana* que vimos en el apartado 3.3 (figura 89), formada por 5 lecturas y 9 matrices distintas.

Aun a costa de una aparente falta de unidad, creemos que resulta ventajoso ser flexibles en este asunto y extraer del sistema propuesto por Dressel todo su potencial a la hora de agrupar y clasificar los sellos. Así, cada investigador puede establecer el orden de prioridades que le resulte más conveniente para el aspecto que pretenda estudiar de los sellos, aunque sería necesario explicar estas circunstancias en el capítulo dedicado a la organización del *corpus*: organización por elementos / orden de prioridades. Esta elección del orden de prioridades vendrá determinada por el lugar de hallazgo de los sellos sobre los que trabajamos. Si estudiamos series en centros de consumo

¹³³ Barea *et al.* 2008, nota 13.

podremos utilizar indistintamente un orden de prioridades: TOPÓNIMO → TRIA NOMINA → COGNOMEN O TRIA NOMINA → TOPÓNIMO → COGNOMEN. Con el primero, agruparemos los sellos por centros productores, lo que nos ayudará a entender los sistemas de sellado de las *figlinae* y su evolución en el tiempo. Con el segundo, podremos estudiar la evolución de los grupos familiares y sus zonas de actividad. Si trabajamos desde centros de producción, nos veremos abocados a establecer un orden de prioridades: TRIA NOMINA → COGNOMEN → TOPÓNIMO, que nos permitirá estudiar cómo van cambiando los personajes relacionados con la producción de los envases a medida que avanza el tiempo, y las relaciones que se establecieron entre estos y el centro productor.

Para finalizar este apartado, hemos de tratar una variante del sistema Dressel. Con este sistema de organización, sea cual sea el orden de prioridades adoptado, tenemos mezclados los sellos de todas las épocas. En centros de producción, al estudiar los sellos de una determinada alfarería, sería conveniente agrupar los sellos por fases cronológicas, ya que nos facilitará la comprensión de la serie al quedar esta, en general, agrupada por fases productivas¹³⁴. No obstante, este tipo de organización también presenta ciertas limitaciones:

- Si no tenemos dataciones de un sello, este queda fuera de la organización.
- Si la datación del sello no presenta suficiente precisión, podemos dudar en colocarlo en una u otra fase productiva.
- Para encontrar una lectura en el catálogo, debemos rastrear todas las fases cronológicas.
- Los grupos familiares se dispersan por las distintas fases cronológicas.
- Una misma fase productiva de una *figlina* puede abarcar varias fases cronológicas, sirva como ejemplo la serie de la *Scalensia* con estructura TOPÓNIMO + COGNOMEN, que vimos en el capítulo 2 al estudiar los grupos homogéneos (2.4.1). Esta estructura corresponde a una fase productiva del taller que abarca desde principios de época flavia hasta Adriano-Antonino Pío.

Como hemos visto, en la historiografía referente a la organización de los sellos se han adoptado múltiples estrategias. El sistema de Dressel se ha impuesto y ha permitido adaptar la organización interna de los sellos al aspecto del estudio que se pretende tratar y, sobre todo, esta organización vendrá condicionada por las características de la serie a estudiar, si los sellos provienen de centros de consumo o de producción.

4.4.- Limitaciones que presentan los *corpora* y los catálogos.

Una vez establecida la organización del *corpus* o catálogo, sea cual sea, éste se va presentando sello tras sello en forma de fichas, donde se consignan una serie de datos asociados a cada sello, que pueden variar de autor a autor (figura 105). De modo que el catálogo puede llegar a ocupar muchas páginas de los trabajos¹³⁵. Pero, esta manera de presentar la información está condicionada por la paginación y aparece muy fragmentada. En estas condiciones, resulta arduo llegar a tener una imagen de conjunto que nos permita comprender la serie y establecer sus pautas. Entendemos que sería más conveniente utilizar un sistema eminentemente gráfico que condensara y resumiera en una sola imagen, por muy grande que resulte, todo el sistema de sellado de un taller.

¹³⁴ Este tipo de organización es la que siguen los catálogos de Chic (1985, id 2001).

¹³⁵ Por poner un ejemplo ilustrativo: Étienne & Mayet presentaron en 2004 su estudio de los sellos hallados sobre Dressel 20. El trabajo se presenta en dos volúmenes, uno de los cuales está dedicado íntegramente al *corpus* de sellos.

Nº 325
PARVA



a) **LH.:** D (550-570).
LC.: MCR. 99/1002.

CIL.2711; BONSOR XXXVIII n° 299; CALLENDER 130; PONSICH 1974, 155 n° 64; REMESAL 1997 n° 56; CARRERAS&FUNARI 68. ÉTIENNE & MAYET 2004 n° 145. BERNI 2008, 282.

LP: El Castillejo (*Arva*).

Datación contextual: 207 d.C.

Lect.: *P(ortus?) ARVA.*

Figura 105.- Ficha del sello PARVA de Remesal en TESTACCIO 2010 n°325.

Además, ahora tenemos una hipótesis sobre cómo funcionan los sellos en los talleres (capítulo 3), y cuáles son los elementos relevantes de los mismos: sus estructuras y sus matrices, que, en nuestra opinión, son dos elementos clave en la identificación de los envases en el sistema productivo. Pero veamos como son considerados estos aspectos en las publicaciones de los sellos.

En el caso de las **estructuras** de los sellos, en los *corpora* tradicionales ni siquiera se dedica un campo en la descripción de cada sello a consignar este tipo de dato, y debemos deducirlas de la lectura que se proponga para cada caso. El campo “estructura” fue introducido, por primera vez, en las fichas de los sellos del *corpus* de nuestro trabajo dedicado a las producciones de la *Scalensia*¹³⁶ (figura 106).

12.- SCALESIAAG

Ref: ÉTIENNE & MAYET 2004: n°1119.

Dat: s.I d.C. –tip- (ÉTIENNE & MAYET 2004: n°1119)

Estr: *toponimo + cognomen*

Lec: *SCALE(N)SIA AG(r?---)*



12.- Nº inv: 99-175

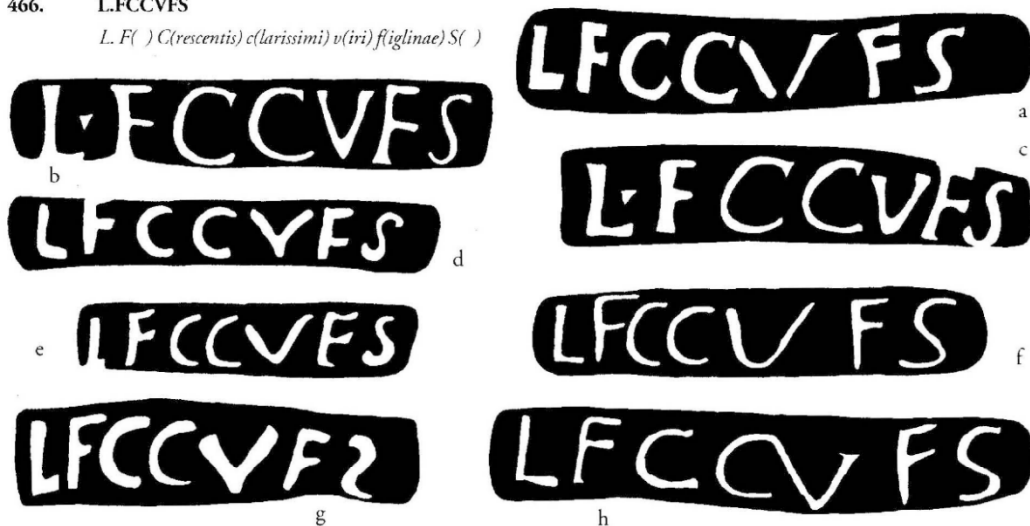
Figura 106.- Ficha del sello SCALESIAAG en Barea et al. 2008, n°12.

¹³⁶ Barea et al. 2008.

En cuanto a las **matrices** de los sellos, los trabajos de Dressel supusieron un avance notable en este campo, aportando un método de clasificación de matrices muy avanzado (*vide* 2.3.1), que no ha sido superado hasta el momento, aunque cada vez son más las publicaciones que separan las lecturas de los sellos por sus matrices¹³⁷ (figuras 107 y 108). En nuestra opinión, si en la publicación el material se presenta dibujado, difícilmente podremos hacer un estudio de matrices con rigor y un cierto grado de precisión. Por otro lado, en los trabajos que recogen una clasificación de las matrices, dicha clasificación se realiza por comparación entre los diversos ejemplares que obedecen a una misma lectura y, en el mejor de los casos, se ordenan por su tamaño¹³⁸ (figura 108). Para series cortas de materiales hallados en centros de consumo esto funciona bien. Pero, como hemos visto en el capítulo 2, cuando trabajamos en centros de producción, podemos encontrar series tan complejas como la formada por los sellos de *Caius Iuventius Albinus* de Malpica que estudiaremos a continuación. En estos casos, la comparación directa de los ejemplares no es suficiente y necesitamos una metodología que nos ayude en esta clasificación, ya que podemos tener que estudiar cientos de ejemplares de sellos que presentan el mismo texto (*vide*. 2.3).

466. L.FCCVFS

L. F() C(rescentis) c(larissimi) v(iri) f(iglinae) S()



466a. LFCCVFS. Villacisneros, Hornachuelos (Cordoue). PONSICH, II, 1979, p. 142-143, fig. 54 (4 ex.). 466b. L.FCCVFS. Musée d'Ostie (réserves, n° 15 033). *Vidimus*. Anse en arc de cercle, tardive. 466c. L.FCCVFS. Cerro de los Pesebres, Palma del Río (Cordoue). REMESAL, 1989a, p. 127-128, n° 6j-1 (3 exemplaires). 466d. LFCCVFS. Musée d'Ostie (réserves, n° 14 554). *Vidimus*. 466e. LFCCVFS. Cerro de los Pesebres, Palma del Río (Cordoue). REMESAL, 1989a, n° 6c,d,f,h,m,p,r (10 ex.). 466f.



466g et 466h. L.FCCVFS. Musée d'Ostie (réserves, n° 15 035, 15 038 et 15 034). *Vidimus*. 466i. LFCCVFS. Rome, Monte Testaccio. Musée de l'Académie Américaine (n° 1041). *Vidimus*. MAAR, XV, 1938, n° 22. 466j. LFCCVFS *retro*. Cerro de los Pesebres, Palma del Río (Cordoue). REMESAL, 1989a, n° 6s-6u (3 exemplaires). 466k. LFCCVFS. Cerro de los Pesebres. REMESAL, 1989a, n° 6e et 6q. *CIL* XV, 2594. CALLENDER, n° 851r. Chronologie : début du III^e siècle. Lieu de production : Cerro de los Pesebres.

Figura 107.- Clasificación por matrices del sello LFCCVFS en Étienne & Mayet 2004, n°466.

¹³⁷ Por poner algunos ejemplos de *corpora* que separan los sellos por sus matrices: Remesal en Testaccio I a VI, Étienne & Mayet 2004, Barea *et al.* 2008, Berni 2017, etc.

¹³⁸ Este es el criterio seguido por los *corpora* de Remesal en Testaccio I a VI, id. 1977-78, id. 1986, id. 1997, por poner algunos ejemplos.

b10) LH.: A (0-20).
LC.: MCR. 05/45.



b11) LH.: A (200-220).
LC.: MCR. 05/888.



b12) LH.: C (100-120)
LC.: MCR. 05/430.



b13) LH.: B (60-80).
LC.: MCR. 05/249. (Cap.5, Fig.2)



b14) LH.: B (60-80).
LC.: MCR. 05/247. (Cap.5, Fig.2)



b15) LH.: N-2 (150-170).
LC.: MCR. 00/506. (Cap.5, Fig.2)



b16) LH.: S-2 (150-170).
LC.: MCR. 00/556bis. (Fig.2)



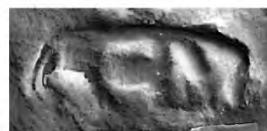
c) LH.: N-2 (170-190).
LC.: MCR. 00/586.



c1) LH.: B (60-80).
LC.: MCR. 05/245.



c2) LH.: A (120-140).
LC.: MCR. 05/494.



c3) LH.: A (100-120).
LC.: MCR. 05/397.



c4) LH.: C (180-200).
LC.: MCR. 05/859B.



Figura 108.- Clasificación por matrices del sello LCMY de Remesal en Testaccio 2014, nº 1021.

En este estado de la cuestión, hace algunos años, Berni¹³⁹ presentó una propuesta de organización que, en nuestra opinión, no ha tenido la acogida que merece. De hecho, ha pasado completamente inadvertida, en buena medida por su enigmática situación dentro de la publicación que la recoge¹⁴⁰. En nuestra opinión, esta propuesta soluciona todas las limitaciones consideradas arriba sobre los *corpora* tradicionales. En el siguiente apartado abordaremos la cuestión.

4.5.- Los dendrogramas: familia-estructura-lectura-matriz.

En 2008, Berni nos propuso los siguientes niveles para estudiar los sellos:

- **NIVEL I: Elemento clave.** Estudio prosopográfico si se trata de un individuo; toponomástico o toponímico si se trata de un lugar de producción.
- **NIVEL II: Fórmulas epigráficas.** Estudio y clasificación de los sellos por las formas de relación que surgen como consecuencia de la asociación entre elementos clave.
- **NIVEL III: Formas de representación.** Estudio y clasificación de los sellos por el grado de **desarrollo de los textos**.
- **NIVEL IV: Variantes.** Estudio y clasificación de los sellos por su aspecto formal, por los rasgos externos de la inscripción.

A continuación, se nos explica su aplicación usando como ejemplo algunos sellos de la *Saenianensia*, un taller situado en las afueras de Lora del Río. Al final del ejemplo, el autor nos propone: *La representación gráfica de esta estructura de datos se organiza y se expresa como un árbol descendiente cuyas ramas tienen en el sujeto de la familia de sellos el origen de las relaciones.*

El sistema de estudio propuesto considera los niveles de: “familia”, “fórmula epigráfica”, es decir, la estructura que presenta el sello, “lectura” y “variante”, es decir, cada una de las matrices distintas que obedecen a una misma lectura¹⁴¹. Además, se puede desarrollar gráficamente en un esquema de árbol. Pero estos niveles de estudio son también un sistema de clasificación de los sellos. De modo que hemos desarrollado la idea de Berni y, a lo largo del capítulo, presentamos el modelo adoptado para confeccionar estos árboles, a los que técnicamente denominaremos **dendrogramas**.

Traduciendo la terminología usada por Berni a la adoptada en este trabajo, el sistema agrupa los sellos por sus contenidos y los ordena con un esquema:

FAMILIA → ESTRUCTURA → LECTURA → MATRIZ.

En este apartado presentaremos en primer lugar una definición de cada uno de estos cuatro niveles de clasificación, así como del resto de los elementos que componen los dendrogramas, apoyados en un ejemplo muy simple formado por la serie de *Gemellus* de la *figlina Scalensia* (4.5.1). A continuación, desarrollaremos el dendrograma de una familia mucho más compleja, en este caso

¹³⁹ Berni 2008: 140.

¹⁴⁰ En un texto de más de 600 páginas, la propuesta se recoge en el capítulo 4 dedicado a describir los contenidos de los sellos, dentro de un apartado dedicado a las familias de los sellos. Entendemos que este no era el lugar más adecuado para presentarla, si el autor pretendía ponerla en valor.

¹⁴¹ El concepto de “variante” ha sido siempre un asunto controvertido: ¿A qué llama variante de un sello cada autor? En nuestra opinión, las variantes serían los diversos valores que pueden adoptar cada uno de los niveles de estudio establecidos para clasificar los sellos. De este modo, en una determinada familia de sellos podemos tener diferentes tipos de variantes: de estructuras, de lectura o de matriz. En nuestra opinión, los autores que usen este término deberán especificar el nivel de estudio sobre el que establecen las variantes en cada caso, de lo contrario el término resultará ambiguo.

con los sellos de *Caius Iuuentius Albinus* de Malpica que nos ayudará a entender en profundidad las características básicas del sistema (4.5.2). Finalmente, desarrollaremos el dendrograma de todas las familias de sellos de un centro productor, usando como ejemplo el caso de la *figlina Scalensia* (4.5.3)

4.5.1.- Definiciones: niveles de clasificación y elementos de los dendrogramas.

Veamos a continuación, las definiciones de los diversos niveles de clasificación de los sellos y los elementos que componen el dendrograma. Para facilitar su comprensión, lo explicamos con un ejemplo formado por los sellos de *Gemellus*, que desarrolló su actividad en la *figlina Scalensia* en época flavia (figura 111).

- a) **Nivel I: Familia de sellos** (figura 111a). Está constituida por un grupo de sellos que comparten un elemento común, ya sea éste unos TRIA NOMINA, un COGNOMEN o un TOPÓNIMO. En el caso que nos sirve de ejemplo, recogemos la familia formada por los sellos de *Gemellus* de la *figlina Scalensia*. Como hemos comentado, los nombres simples que se recogen en los sellos suelen ser muy comunes en la Bética y sólo son relevantes para agrupar sellos en el interior de los centros productores.
- b) **Nivel II: Estructura** (figura 111b). Los sellos están compuestos por uno o varios elementos simples en una disposición determinada a la que denominamos “estructura del sello”. Cada estructura viene representada por su fórmula epigráfica. En el capítulo 1 vimos con detenimiento las estructuras conocidas de los sellos de las ánforas olearias béticas. Sellos de una misma familia pueden presentar diversas estructuras. En el caso de la familia de *Gemellus*, el personaje puede aparecer en los sellos, solo o precedido del nombre del centro productor (figura 109). Las estructuras se ordenan, de más simples a más complejas.

Fórmula epigráfica	TOPÓNIMO (T)	COGNOMEN (C2)
C2		X
T + C2	X	X

Figura 109.- Nivel II: Fórmulas epigráficas de la serie de *Gemellus* de la *Scalensia*.

- c) **Nivel III: Lectura** (figura 111c). Denominamos lectura al texto que presenta el sello resolviendo los posibles nexos y sin consignar los puntos ni los elementos decorativos. Berni denomina a esto “sello índice”. Sellos de una misma familia y estructura pueden contener diversas lecturas, es decir, diversos desarrollos del texto que se ordenan alfabéticamente. En la figura 110 podemos ver la organización de las lecturas en la serie que nos ocupa. Para cada estructura, las lecturas se ordenan en orden alfabético por el desarrollo del COGNOMEN.

Estructura.	Lectura	Topónimos (T)	Cognomen (C2)
C2	GEMELLI	-	<i>Gemelli</i>
T+C2	SCALENGEM[---	<i>Scalen(sia)</i>	<i>Gem[elli</i>
	SCALENSIAGEME	<i>Scalensia</i>	<i>Geme(lli)</i>

Figura 110.- Nivel III: Organización de las lecturas de la serie de *Gemellus* de la *Scalensia*.

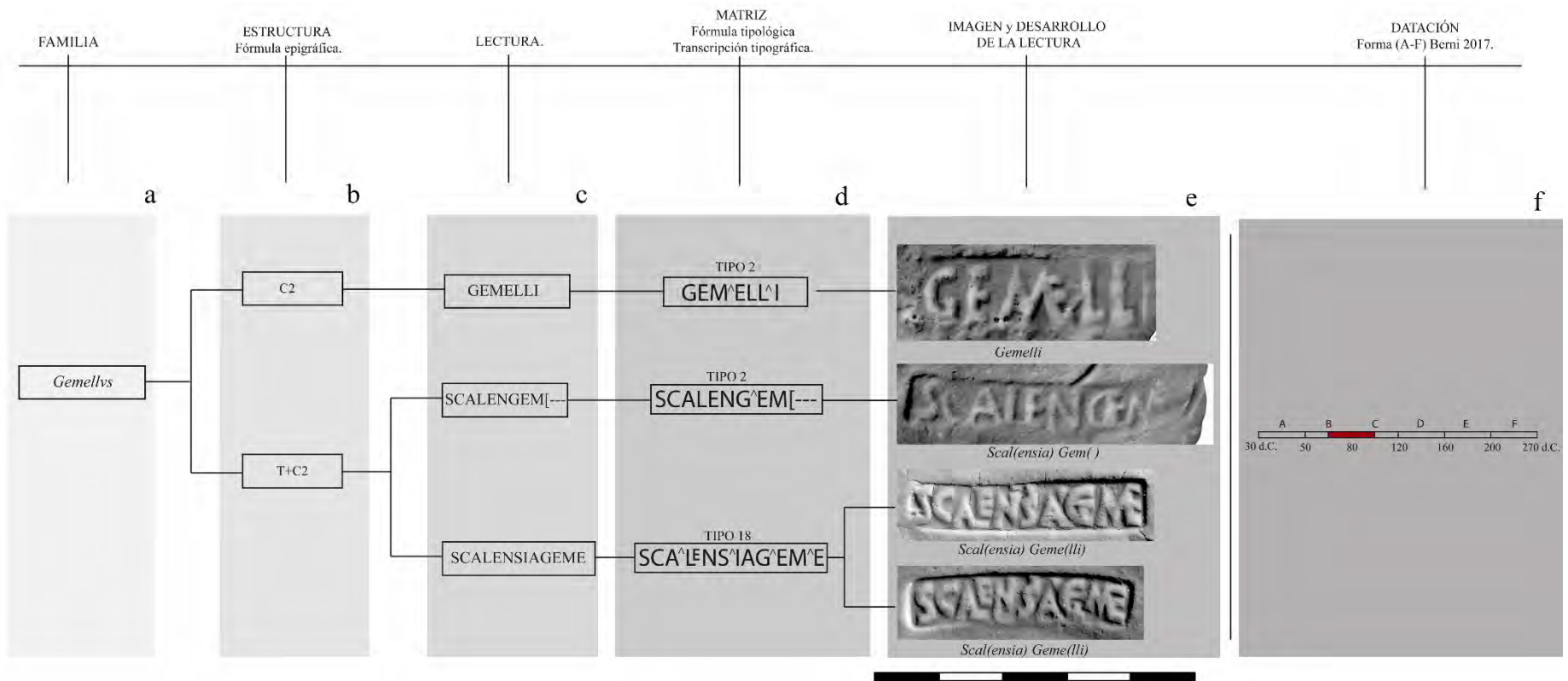


Figura 111.- Dendrograma de la familia de sellos de *Gemellus* de la *figlina Scalensia*.

- d) **Nivel IV: Matriz. Clasificación tipológica de la matriz, fórmula tipológica y transcripción tipográfica** (figura 111d). En el capítulo 2 presentamos una nueva metodología que nos permite clasificar las matrices que obedecen a una misma lectura. La serie que nos sirve de ejemplo presenta dos fórmulas tipológicas cuyas características básicas se describen en la figura 112. En esta serie, cada lectura presenta una única transcripción tipográfica. La lectura SCALENSIAGEME obedece a dos matrices con una clara unidad formal, pero que se diferencian por la forma que adopta el nexa final “M^E” en cada uno de los epígrafes.

Fórmula Tipológica.	Tipo de cartela	Sentido de la lectura	Elementos caracterizadores
Tipo 2	Rectangular	Directa	Con nexos.
Tipo 18.	Rectangular	Directa	Con puntos, nexos y letras ≠ tamaño

Figura 112.- Nivel IV: Fórmulas tipológicas de la serie de *Gemellus* de la *Scalensia*.

Además de los niveles de clasificación del sello, incluimos en el dendrograma los siguientes elementos:

- e) **Imagen del sello a su tamaño original** (figura 111e), ya provenga ésta de los moldes de silicona, fotografías, dibujos o transcripciones tipográficas del CIL XV. Esta imagen paradigmática representará a todos los sellos procedentes de esa matriz concreta.
Desarrollo de la lectura (figura 111e). Los desarrollos de los sellos pueden consultarse en la tabla XX (anexo) y, en general, siguen los criterios establecidos en Berni 2008 (*vide* 1.4).
- f) **Cronología de la serie** (figura 111f): Las dataciones tipológicas o contextuales de los sellos, se traducen a los periodos cronológicos establecidos por Berni¹⁴² en su clasificación tipológica de las Dressel 20 de 2017 y se recogen en un esquema adjunto al sello. De este modo tenemos: Forma A (julio-claudia, *ca.* 30-50 d.C.), Forma B (Nerón-Vespasiano, *ca.* 50-80 d.C.), Forma C (flavio-trajanea *ca.* 80-120 d.C.), Forma D (antoniniana temprana, *ca.* 120-160 d.C.), Forma E (tardoantoniniana, *ca.* 160-200 d.C.), Forma F (siglo III d.C., *ca.* 200-270 d.C.).

Como sabemos, las dataciones de los sellos se clasifican en contextuales o tipológicas. Las fuentes de dataciones contextuales de los sellos de las Dressel 20 fueron tratadas en profundidad por Berni en el capítulo 2 de su trabajo de 2008¹⁴³. A este trabajo remitimos al lector para conocer las características de los principales yacimientos de donde extraemos estas dataciones. Para las dataciones tipológicas, seguimos la clasificación de Berni de 2017 (figura 113), que es una evolución de su propuesta de 2008. En nuestro caso, al proceder los materiales de prospecciones, nos resulta de gran ayuda la clasificación tipológica de las asas de Dressel 20 establecida por Berni en la figura 114.

¹⁴² Berni 2017:185-187.

¹⁴³ Berni 2008: 39-64.

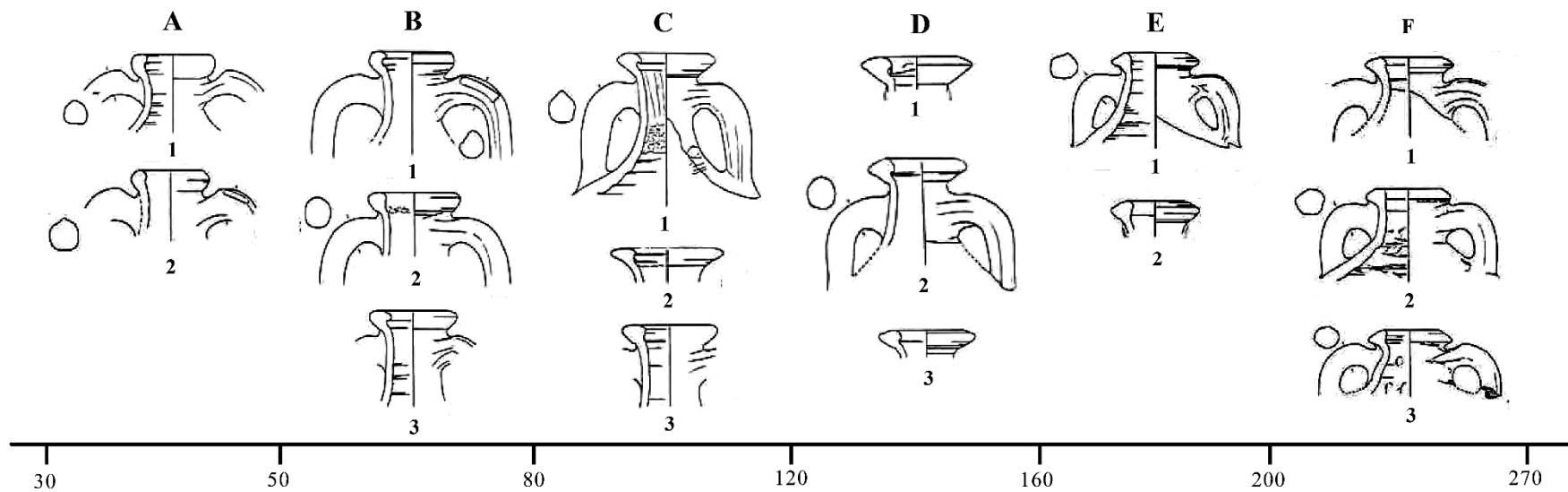


Figura 113.- Clasificación tipológica de los bordes de Dressel 20, Berni 2017: figura 1.

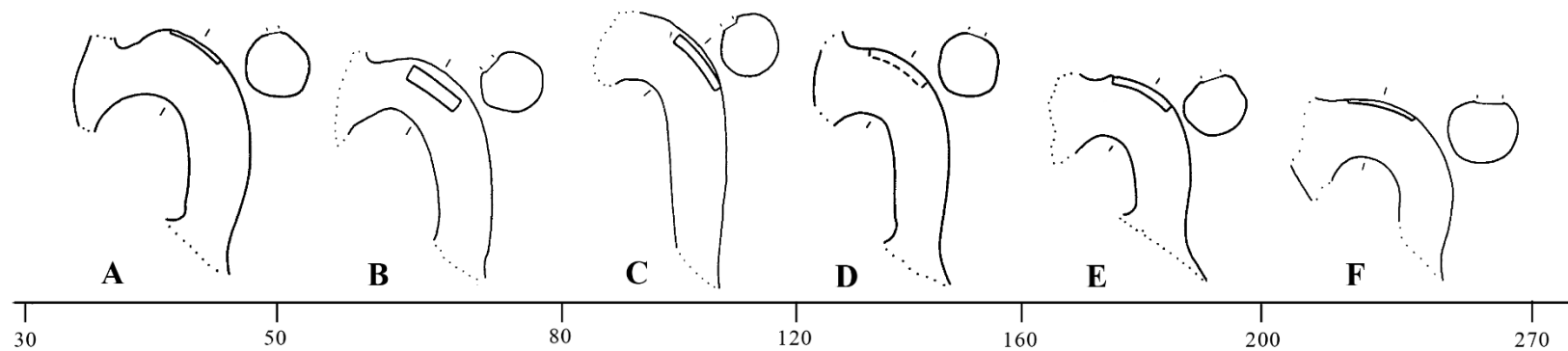


Figura 114.- Clasificación tipológica de las asas de Dressel 20, Berni 2017: figura 2.

Hasta aquí el recorrido por las descripciones de los elementos que componen el dendrograma. El caso de la familia de sellos de *Gemellus* de la *Scalensia* usado como ejemplo en este apartado, es relativamente simple y está formado por 2 estructuras, 3 lecturas y 4 matrices distintas. Veremos a continuación un ejemplo mucho más complejo, que nos ayudará a valorar el verdadero potencial que presenta el sistema a la hora de clasificar las diversas series.

4.5.2.- El dendrograma de la familia de sellos de *C. Iuventius Albinus*.

Para explicar la puesta en práctica del sistema nos apoyamos en un segundo ejemplo. En este caso, trabajaremos con los sellos de *C. Iuventius Albinus*, que acaparan la producción de Malpica, en el Genil, durante el segundo cuarto del s. II d.C. Siguiendo la idea de Berni, la familia de sellos de Albino se organiza desde un criterio¹⁴⁴:

FAMILIA – ESTRUCTURA – LECTURA – MATRIZ.

Los sellos sometidos a esta clasificación se pueden organizar gráficamente en un dendrograma (figuras 119 a-b). Con este tipo de organización quedarán desplegados todos los elementos que necesitamos conocer de los sellos para extraer de los mismos todo su potencial informativo.

En un segundo nivel, la familia de sellos de Albino (nivel I) se clasifica por las **estructuras** que presenta. En esta serie, las estructuras estarían formadas por los *tria nomina* del personaje principal, *C. Iuventius Albinus*, que pueden aparecer solos o seguidos de uno o varios personajes subordinados representados por sus *cognomina*. Las estructuras que presenta la serie quedan identificadas por sus **fórmulas epigráficas**, cuya composición podemos ver en la figura 115.

Fórmula epigráfica	Personaje principal.			Personajes subordinados.	
	<i>Praenomen</i> (P)	<i>Nomen</i> (N)	<i>Cognomen</i> (C1)	<i>Cognomen</i> (C2)	<i>Cognomen</i> (C3)
P+N+C1	X	X	X		
P+N+C1+C2	X	X	X	X	
P+N+C1+C2+C3	X	X	X	X	X

Figura 115- Nivel II: Fórmulas epigráficas de la serie de *C. Iuventius Albinus* de Malpica.

En un tercer nivel los sellos de cada estructura se clasifican por su **lectura**, es decir, ordenados por el grado de desarrollo del texto que presentan. Los *tria nomina* se ordenan alfabéticamente por el desarrollo que muestra el *nomen*, después por el del *cognomen*. Los sellos donde al personaje principal se le asocia el *cognomen* de un personaje subordinado, quedan ordenados alfabéticamente por este último elemento (figura 116).

¹⁴⁴ Berni 2008:140.

Estructura.	Lectura	Personaje principal.			Personajes subordinados.	
		<i>Praenomen</i> (P)	<i>Nomen</i> (N)	<i>Cognomen</i> (C1)	<i>Cognomen</i> (C2)	<i>Cognomen</i> (C3)
P+N+C1	CIA	<i>C(ai)</i>	<i>I(uventi)</i>	<i>A(lbini)</i>	-	-
	CIALB	<i>C(ai)</i>	<i>I(uventi)</i>	<i>Alb(ini)</i>	-	-
	CHALB	<i>C<a>i</i>	<i>I(uventi)</i>	<i>Alb(ini)</i>	-	-
	CAIVALB	<i>Ca(i)</i>	<i>Iu(uventi)</i>	<i>Alb(ini)</i>	-	-
	CIVALBINI	<i>C(ai)</i>	<i>Iu(uventi)</i>	<i>Albini</i>	-	-
	CIVVALB	<i>C(ai)</i>	<i>Iuv(enti)</i>	<i>Alb(ini)</i>	-	-
P+N+C1+C2	CIALBANIC	<i>C(ai)</i>	<i>I(uventi)</i>	<i>Alb(ini)</i>	<i>Anic(---)</i>	-
	CIAF	<i>C(ai)</i>	<i>I(uventi)</i>	<i>A(lbini)</i>	<i>F(---)</i>	-
	CIALBF	<i>C(ai)</i>	<i>I(uventi)</i>	<i>Alb(ini)</i>	<i>F(---)</i>	-
	CIVENALBEP	<i>C(ai)</i>	<i>Iu<v>en(ti)</i>	<i>Alb(ini)</i>	<i>Ep(---)</i>	-
	CIALBHEC	<i>C(ai)</i>	<i>I(uventi)</i>	<i>Alb(ini)</i>	<i>Hec(---)</i>	-
	CIALBPAR	<i>C(ai)</i>	<i>I(uventi)</i>	<i>Alb(ini)</i>	<i>Par(---)</i>	-
	CIALBSAT	<i>C(ai)</i>	<i>I(uventi)</i>	<i>Alb(ini)</i>	<i>Sat(---)</i>	-
P+N+C1+C2+C3	CIAFLACP	<i>C(ai)</i>	<i>I(uventi)</i>	<i>Alb(ini)</i>	<i>Flac(---)</i>	<i>P(---)</i>

Figura 116.- Nivel III: Organización de las lecturas de la serie de *C. Iuventius Albinus* de Malpica.

El cuarto nivel es el más complejo y en él se clasifican los sellos de cada lectura por sus **matrices**. Como vimos en el capítulo 2, varias matrices distintas pueden presentar el mismo texto. Pero, en una serie tan compleja como la que tratamos, podemos tener literalmente cientos de ejemplares con el mismo texto. Necesitamos herramientas objetivas que nos permitan ir agrupando los diversos ejemplares por los elementos de diseño que caracterizan las matrices (**tipología de la matriz**), con lo que iremos dividiendo la serie en grupos cada vez más pequeños. Las características que definen esta serie en particular son:

- el uso de cartelas rectangulares, enmarcadas (A2) o con cornisa superior e inferior (A3)¹⁴⁵.
- la lectura puede ser directa, de izquierda a derecha, o retro (R), de derecha a izquierda.
- la presencia o no de puntos con distinto diseño y distribución en el texto.
- presencia o no de ligadura “C~I” o de nexos “A^L”, “L^B” o “A^L^B”.
- presencia o no de letras giradas o reflejadas.

A partir de estas características, vamos clasificando los sellos por la tipología de su matriz. Ésta viene definida por su **fórmula tipológica** (vide 2.3.5), cuya composición general podemos ver en la figura 117.

¹⁴⁵ Hemos confeccionado una tabla con todas las formas de cartelas conocidas en los sellos olearios béticos (tipo A-H) (vide 2.3.2). En dicha tabla las matrices rectangulares enmarcadas se recogen como tipo A2, las que presentan cornisa superior e inferior como tipo A3. Más información sobre la forma de las cartelas en los sellos de las ánforas olearias béticas en Berni 2008, 69-73.



Figura 117.- Composición de la fórmula tipológica de las matrices.

Lo habitual es que los sellos de las ánforas olearias béticas incluyan cartelas rectangulares, letras excisas (*litteris extantibus*) y lectura directa (de izquierda a derecha), de modo que la fórmula tipológica sólo recogerá dicha información en caso de cambiar alguno de estos patrones básicos. En la serie de Albino, todos los sellos presentan relieve positivo, es decir *litteris extantibus*. Las características que presentan las fórmulas tipológicas de las matrices en que hemos dividido la serie quedan descritas en la figura 118.

Fórmula tipológica.	Forma de la cartela	Sentido de la lectura	Elementos caracterizadores del texto (tipos 0-31)
Tipo 0	Rectangular	Directa	Sin elementos caracterizadores
A2/Tipo	Rectangular enmarcada	Directa	Sin elementos caracterizadores
R/Tipo 0	Rectangular	Retro.	Sin elementos caracterizadores
Tipo 1	Rectangular	Directa	Con puntos
A2/Tipo 1	Rectangular enmarcada	Directa	Con puntos
A3/Tipo 1	Rectangular con cornisa	Directa	Con puntos
A3/R/Tipo 1	Rectangular con cornisa	Retro	Con puntos
R/Tipo 1	Rectangular	Retro	Con puntos
Tipo 2	Rectangular	Directa	Con nexos
A2/Tipo 2	Rectangular enmarcada	Directa	Con nexos
R/Tipo 2	Rectangular	Retro	Con nexos
Tipo 6	Rectangular	Directa	Con puntos y nexos
R/Tipo 7	Rectangular	Retro	Con puntos y letras giradas

Figura 118.- Nivel IV: Fórmulas tipológicas de las matrices de la serie de C. Iuventius Albinus de Malpica.

En esta figura 118 podemos ver, por ejemplo, que una matriz “tipo 0” no incluye ningún elemento caracterizador en su texto, es decir, no presenta puntos, nexos o letras giradas o reflejadas¹⁴⁶. Las “tipo 1” incluyen puntos entre letras que, a su vez, presentarán distinta distribución en el texto, aspecto que viene recogido por su **transcripción tipográfica**. De este modo, una misma fórmula tipológica puede presentar varias transcripciones tipográficas.

¹⁴⁶ Como vimos en los apartados 2.3.4.2 a 2.3.4.5 de este trabajo, a partir del campo “conservación” recogido para los ejemplares de base de datos del CEIPAC (<http://ceipac.ub.edu>), hemos podido realizar una estadística general sobre la incidencia de los elementos que caracterizan el diseño del texto en los aproximadamente 20.000 ejemplares de sellos olearios béticos registrados en dicha base de datos hasta este momento. Dicha estadística nos ha permitido establecer los cinco elementos de diseño con mayor incidencia, por tanto, más representativos de los sellos de las Dressel 20: presencia de puntos (38,83%), nexos y/o ligaduras (35,08%), letras giradas y/o reflejadas (7,39%), elementos ornamentales (7,31%) y letras de distinto tamaño (3,77%). Con estos cinco elementos hemos confeccionado una tabla teórica donde se recoge todas las combinaciones posibles entre ellos, desde que no aparezca ninguno (tipo 0), hasta que aparezcan los cinco (tipo 31). Resultado de estas combinaciones podemos clasificar los sellos de las ánforas olearias béticas en 32 tipos básicos. En la serie de Albino tenemos los tipos: 0, 1, 2, 6 y 7 de dicha tabla, con las combinaciones de elementos que podemos consultar en la última columna de la figura 118 de este trabajo.

Siguiendo el criterio utilizado por Dressel en el CIL XV, las transcripciones tipográficas son esquemas donde se recogen los elementos de diseño que caracterizan los sellos de cada tipología de matriz. Estos esquemas orientan al lector sobre las características distintivas que comparten un determinado grupo de matrices. En el apartado 2.3.6 recogimos los convenios adoptados en su elaboración.

Una vez clasificadas tipológicamente y determinadas sus transcripciones tipográficas, nos quedan pocas herramientas para individualizar las matrices, ya que varias matrices distintas pueden obedecer a una misma transcripción tipográfica. En cada uno de los grupos resultantes debemos dilucidar internamente y por comparación, qué ejemplares pertenecen a cada matriz concreta. El criterio que usamos para separar matrices distintas es tomar las medidas de ciertas partes del sello, que se recoge en un diagrama adjunto a la tipología correspondiente (figuras 119 a-b), y procedemos a ordenar los ejemplares, dentro de cada transcripción tipográfica, por su tamaño (de menor a mayor). Si los sellos presentan diferente tamaño, obedecerán a matrices distintas.

Lo expuesto en el párrafo anterior se desarrolla en el plano teórico. Como vimos en el apartado dedicado a la mecánica del sellado (2.2), la realidad resulta ser mucho más compleja ya que desgraciadamente no contamos con las matrices para poder estudiarlas, sino que las analizamos indirectamente a partir de sus improntas. En estas circunstancias, la clasificación de las matrices se complica enormemente por el propio proceso de generación de los sellos. Debido a la variabilidad que presenta la acción mecánica del sellado, el proceso genera improntas de calidad muy diversa y con distintos grados de deformación (*vide* 2.2.2). En estas circunstancias, corremos el riesgo de no saber distinguir dónde termina una mala impresión o la deformación de un determinado ejemplar, y dónde empieza una matriz distinta. Además, volviendo a las medidas de los sellos, nos podemos preguntar: ¿cuándo estamos ante una deformación y cuándo ante una medida distinta? Como podemos observar, nos enfrentamos a serias dificultades. La catalogación de las matrices de los sellos está empezando su andadura, pero todavía nos queda un largo camino por recorrer. A medida que vayamos catalogando series iremos conociendo nuevas peculiaridades de la mecánica del sellado que nos permitirán alcanzar un mayor grado de precisión.

La publicación de los dendrogramas también presenta dificultades. Lo óptimo sería incluir el esquema completo con las imágenes de los sellos a su tamaño original¹⁴⁷. Desgraciadamente, en una publicación en papel, esto no es posible debido a su tamaño. Así que en este caso hemos optado por dividirlo en dos figuras complementarias que representan la parte superior e inferior del dendrograma, aspecto que viene recogido en un esquema adjunto a la figura correspondiente. Las imágenes de los sellos se recogen en las figuras 120-124, ordenadas por el número de identificación de la matriz que podemos consultar en las figuras 119 a-b.

¹⁴⁷ El dendrograma completo con las imágenes de los sellos a su tamaño original puede consultarse en un archivo en formato “pdf” incluido en el anexo 3 del CD adjunto a este documento.

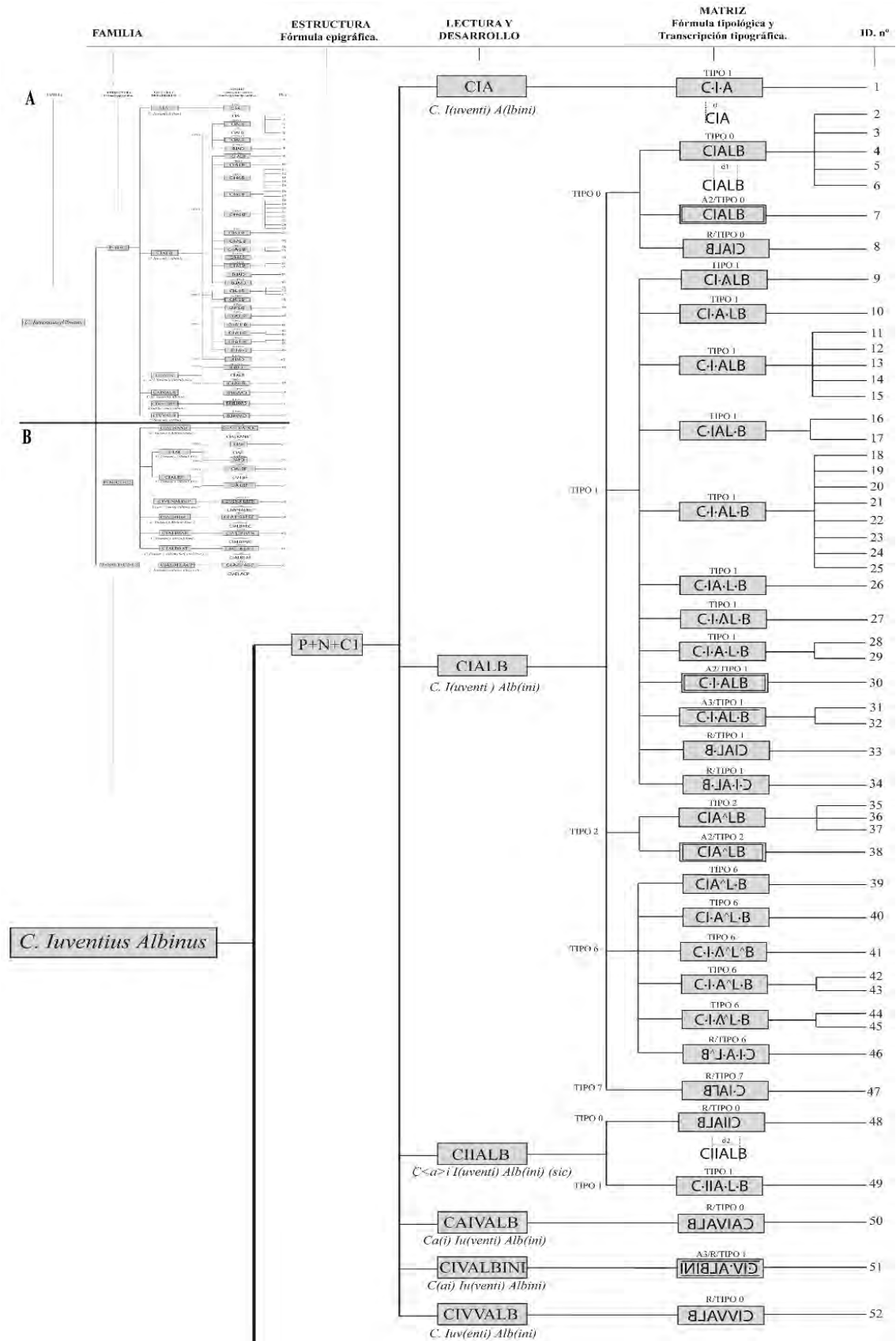


Figura 119a.- Dendrograma de la familia de sellos de *Albinus de Malpica* (A).

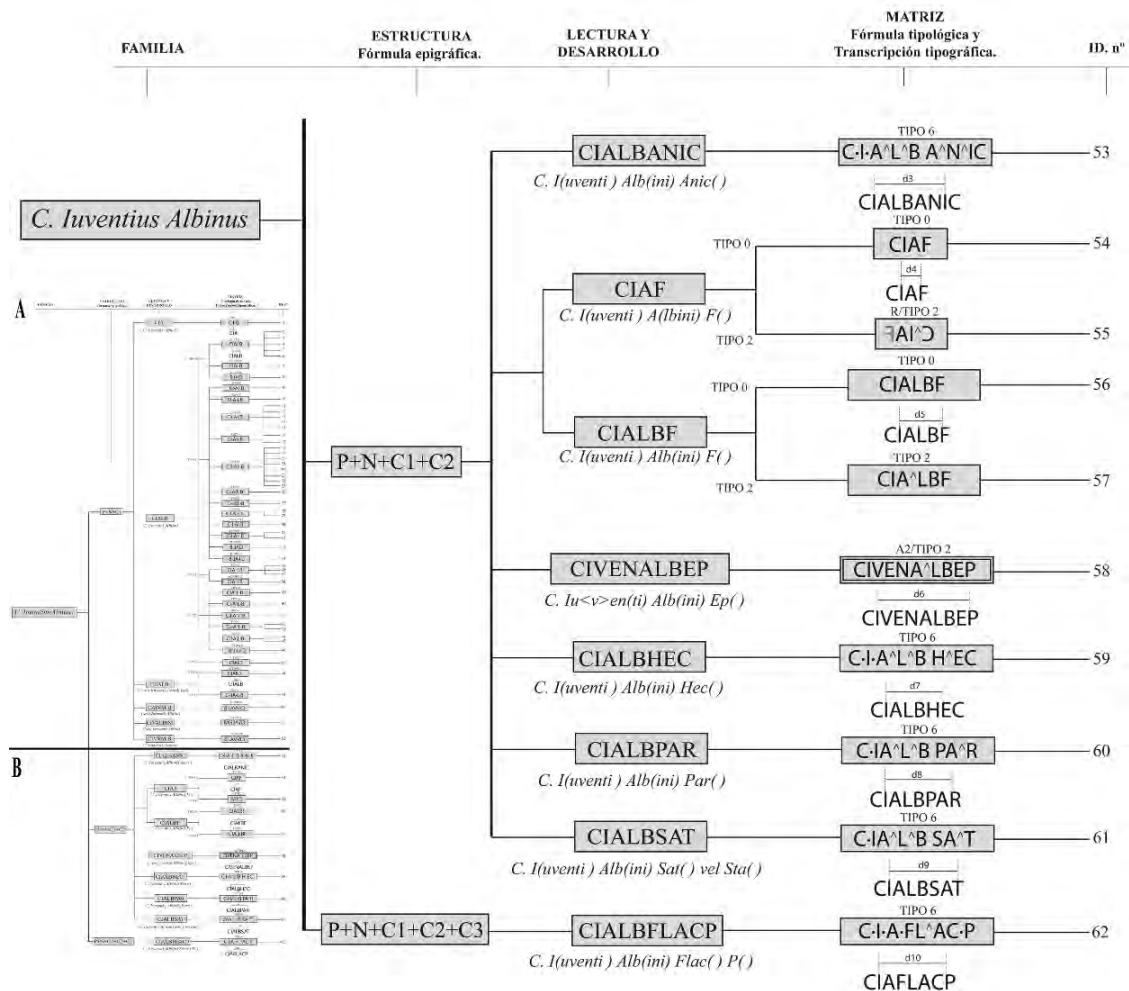


Figura 119b.- Dendrograma de la familia de sellos de Albinus de Malpica (B).

La familia de sellos de *C. Iuuentius Albinus* de Malpica es una de las series más notables que han llegado hasta nosotros en la epigrafía anfórica bética y está compuesta, hasta el momento, por 3 estructuras, 14 lecturas y 62 matrices distintas (figuras 119 a-b). Presenta las estructuras: TRIA NOMINA (6 lecturas y 52 matrices), TRIA NOMINA + COGNOMEN (7 lecturas y 9 matrices) y TRIA NOMINA + COGNOMEN + COGNOMEN (1 lectura y 1 matriz).

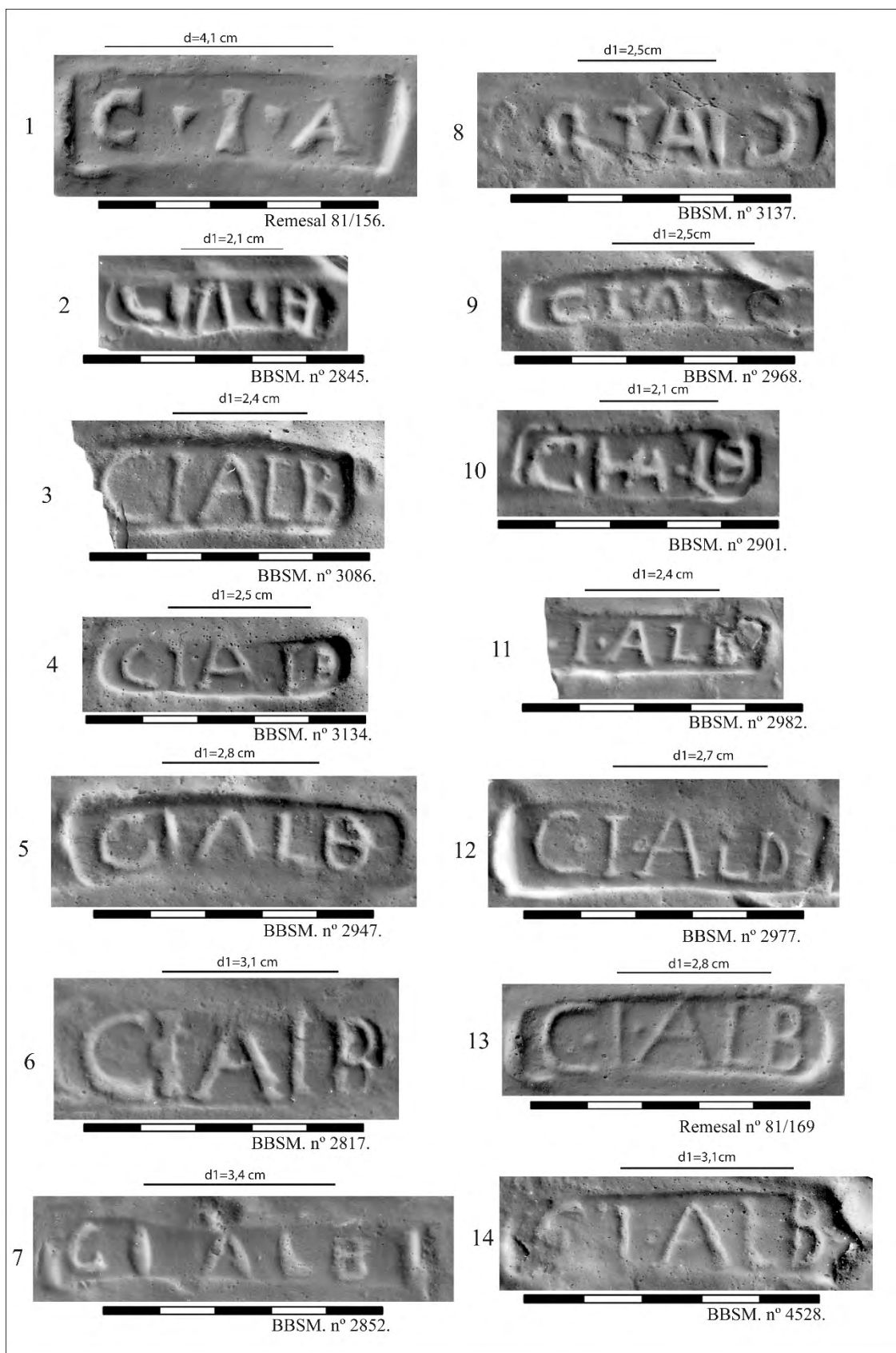


Figura 120.- Familia de sellos de Albino (1 a 14).



Figura 121.- Familia de sellos de Albino (15 a 25).

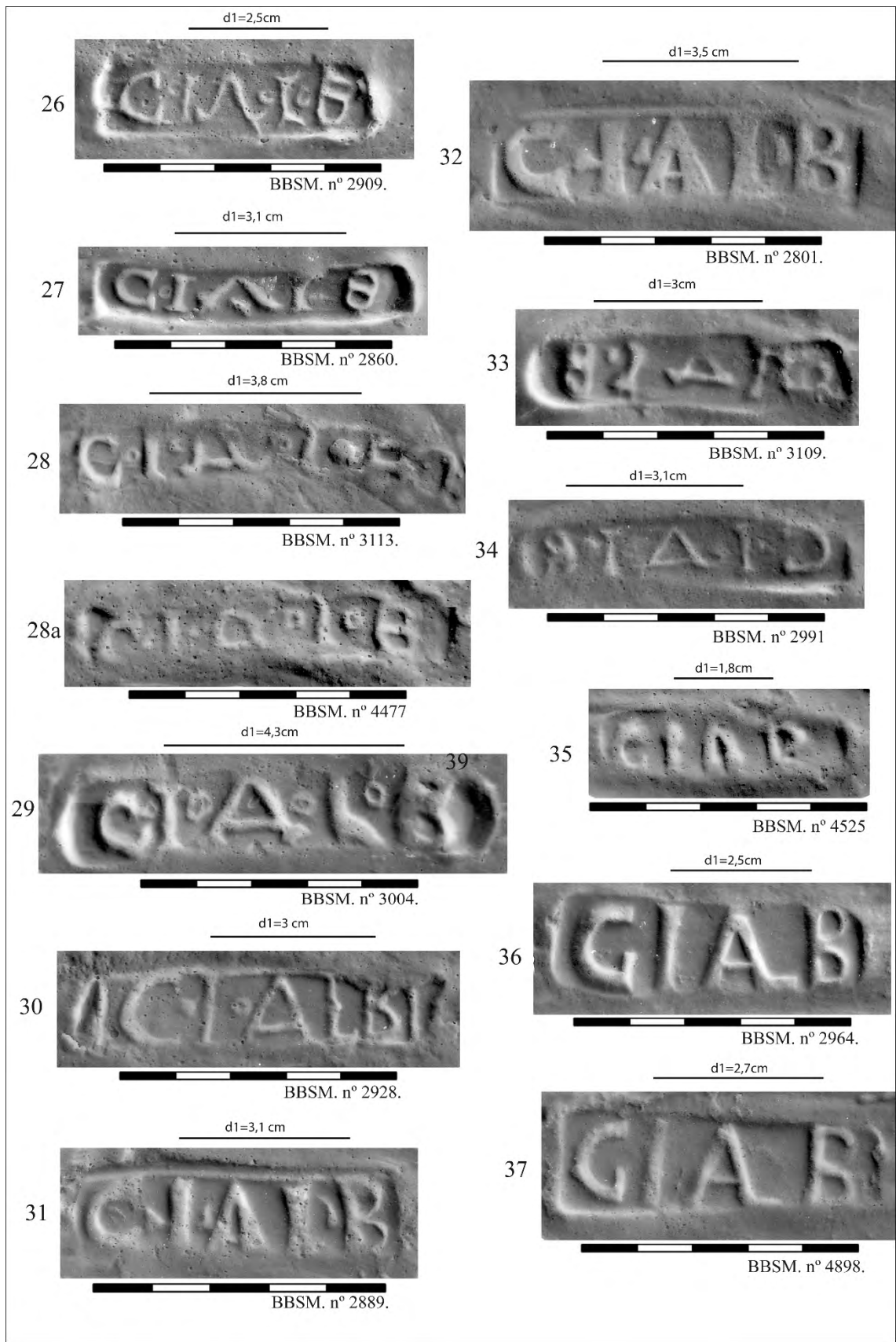


Figura 122.- Familia de sellos de Albino (26 a 37).

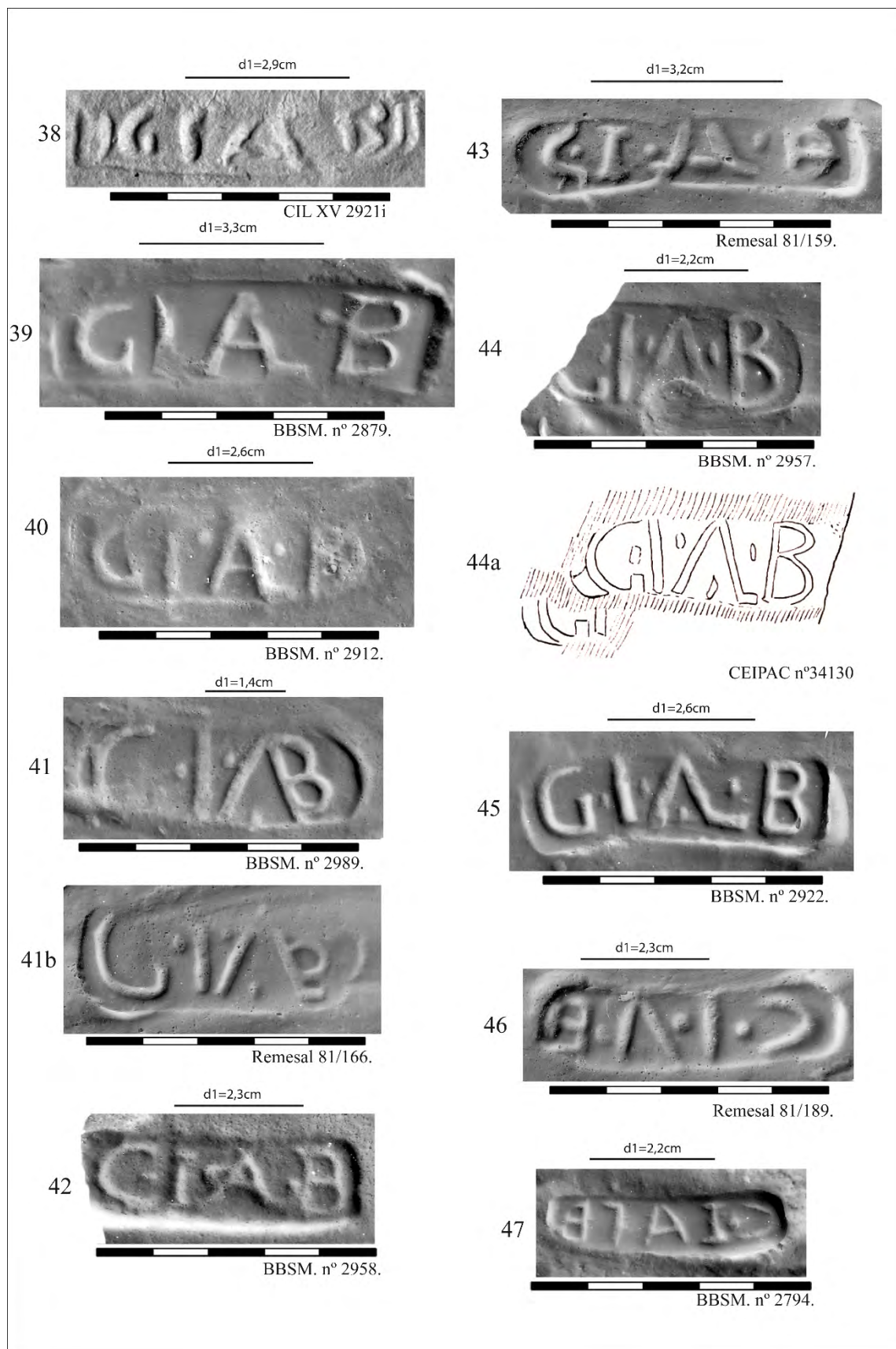


Figura 123.- Familia de sellos de Albino (38 a 47).



Figura 124.- Familia de sellos de Albino (48 a 62).

4.5.3.- Los dendrogramas de las familias de sellos de un centro productor: el caso de la *figlina Scalensia*.

Acabamos de ver los criterios adoptados para confeccionar el dendrograma de la familia de sellos de Albino. Ahora podemos trabajar sobre todas las familias de sellos de un determinado centro productor. Para explicar la metodología adoptada hemos seleccionado los sellos de la *Scalensia*, centro productor que se sitúa en la parte final del *conventus* de *Corduba*, entre Palma del Río y Posadas, en la orilla izquierda del Guadalquivir. El taller estuvo produciendo envases sellados, al menos, desde el segundo tercio del s.I d.C., hasta mediados del s.III d.C.

En primer lugar, debemos organizar las familias por el orden de prioridad de los elementos que componen los sellos. Veamos este asunto más desarrollado. Como hemos comentado anteriormente, una familia de sellos estará formada por ejemplares que contienen un elemento común. De modo que podemos formar familias a partir de cualquiera de los elementos que los componen: TRIA NOMINA, COGNOMINA o TOPÓNIMO. En estas condiciones, en un taller tendríamos, en general, **tres dendrogramas**, uno para las familias creadas a partir de los TRIA NOMINA, otra para los COGNOMINA, y finalmente otra para los TOPÓNIMOS. Pero un sello que contenga los tres elementos puede incluirse en tres familias distintas. Como no queremos repetir los sellos en los dendrogramas, debemos establecer un orden de prioridades. En nuestro caso, como trabajamos desde centros de producción, el orden de prioridades adoptado será: TRIA NOMINA → COGNOMEN → TOPÓNIMO.

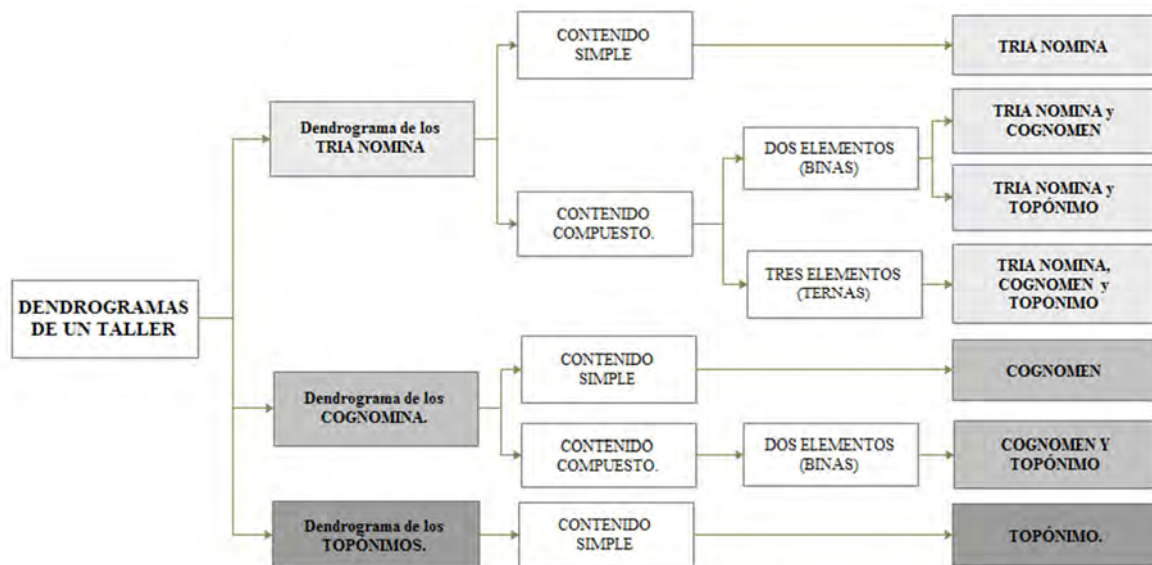


Figura 125.- Distribución de las estructuras elementales entre los tres árboles que forman el dendrograma de una *figlina* para un orden de prioridades: TRIA NOMINA→COGNOMEN→TOPÓNIMO.

En el árbol formado por las familias de sellos que contienen unos TRIA NOMINA, por el orden de prioridades adoptado, tendremos sellos donde este elemento aparezca solo o acompañado de otros elementos: COGNOMEN y/o TOPÓNIMO. En el árbol formado por las familias de sellos que contienen COGNOMINA tendremos sellos que pueden contener, además, un TOPÓNIMO. Como hemos visto, parte del grupo de los COGNOMINA podrá haber sido catalogado en el árbol formado por las familias de los TRIA NOMINA. Finalmente, en el árbol de los TOPÓNIMOS, nos quedarán únicamente sellos que

contienen este elemento. En la figura 125 podemos ver la distribución que presentan las estructuras elementales de los sellos en los tres dendrogramas de un taller con este orden de prioridades.

Una vez establecido el orden de prioridades de los elementos que componen los sellos, procedemos a agruparlos por familias. A cada familia de sellos le aplicaremos el modelo estudiado en los apartados anteriores. En las figuras 126 a 129, incluimos las familias de sellos que componen la serie de la *Scalensia*:

1. El dendrograma de los TRIA NOMINA se clasifica en 9 familias, que se resuelven con 6 estructuras, 25 lecturas y 43 matrices. Veamos algunos detalles de la organización interna de estas familias.:
 - Las familias se ordenan alfabéticamente por los elementos de los TRIA NOMINA, primero por el *nomen*, después por el *cognomen*, y si se da el caso de coincidir ambos elementos, por el *praenomen*.
 - Cuando los TRIA NOMINA se asocian a unos COGNOMINA, se organizan alfabéticamente por este segundo elemento. Este es el caso de parte de los sellos de la familia formada por los *tria nomina* de *P. A() H()*, que se asocia al nombre del taller, *Scal(ensia)*, y a diversos COGNOMINA: *A()*, *C()*, *H()*, *P()*, *S()*, *St()* y *V()*.
 - Cuando los TRIA NOMINA se asocian a varios TOPÓNIMOS, se ordenan alfabéticamente por este elemento. Este es el caso de los sellos de *L.F() C()* asociados a la *Catoniana* y a la *Scalensia*. El sello asociado al primero de estos talleres, producido en el Genil, debe considerarse foráneo en la *Scalensia* (*vide infra*).
 - En la serie tenemos varias familias de sellos que comparten las iniciales de su gentilicio, de modo que los podemos asociar en **grupos familiares**¹⁴⁸ activos en diversas fases productivas del taller. En este caso tenemos cinco grupos familiares de *nomen*: *A()*, *Antonius*, *C()*, *F()* y *S()*.

2. El dendrograma de los COGNOMINA se organiza en 37 familias, 3 estructuras, 57 lecturas y 70 matrices. Los criterios de organización interna son:
 - Se ordenan alfabéticamente por el COGNOMEN.
 - Para sellos con un mismo desarrollo del COGNOMEN y que se asocian a un TOPÓNIMO, se ordenan alfabéticamente por el desarrollo de este último elemento.
 - Si los COGNOMINA se asocian a varios TOPÓNIMOS, los organizaremos internamente por este elemento. Este es el caso, por ejemplo, de la serie de Cortijo del Mohíno que veremos en el siguiente capítulo, donde tenemos tres topónimos asociados a los sellos hallados en este lugar: *Scalensia*, *Servi()* y *Talliane(n)sia*. Los COGNOMINA se organizan internamente, primero los que no se asocian a TOPÓNIMO, después los que se asocian a ellos ordenados alfabéticamente por este último elemento.

¹⁴⁸ Remesal 1977-78: 110-115.

ELEMENTO CLAVE	FAMILIA	ESTRUCTURA	LECTURA	Personaje principal TRIA NOMINA			Atributo TRIA NOMINA	Atributo TOPÓNIMO	TOPÓNIMO	Personajes secundarios COGNOMEN		Matriz
				P	N	C1	A1	A3	(T)	C2	C3	
TRIA NOMINA	<i>P.A()</i> <i>Ad()</i>	P+N+C1	PAAD	<i>P</i>	<i>A()</i>	<i>Ad()</i>	-	-	-	-	-	1
	<i>P.A()</i> <i>H()</i>	T+P+N+C1	SCALPAH	<i>P</i>	<i>A()</i>	<i>H()</i>	-	-	<i>Scal(ensia)</i>	-	-	1
		P+N+C1+T	PAHSCAL	<i>P</i>	<i>A()</i>	<i>H()</i>	-	-	<i>Scal(ensia)</i>	-	-	1
		P+N+C1+T+C2	PAHSCALA	<i>P</i>	<i>A()</i>	<i>H()</i>	-	-	<i>Scal(ensia)</i>	<i>A()</i>	-	1
			PAHSCALC	<i>P</i>	<i>A()</i>	<i>H()</i>	-	-	<i>Scal(ensia)</i>	<i>C()</i>	-	1
			PAHSCALH	<i>P</i>	<i>A()</i>	<i>H()</i>	-	-	<i>Scal(ensia)</i>	<i>H()</i>	-	1
			PAHSCALP	<i>P</i>	<i>A()</i>	<i>H()</i>	-	-	<i>Scal(ensia)</i>	<i>P()</i>	-	1
			PAHSCALS	<i>P</i>	<i>A()</i>	<i>H()</i>	-	-	<i>Scal(ensia)</i>	<i>S()</i>	-	1
			PAHSCALST	<i>P</i>	<i>A()</i>	<i>H()</i>	-	-	<i>Scal(ensia)</i>	<i>ST()</i>	-	1
			PAHSCALV	<i>P</i>	<i>A()</i>	<i>H()</i>	-	-	<i>Scal(ensia)</i>	<i>V()</i>	-	1
	<i>C.Antonius Quietus.</i>	P+N+C1	CANTQUIE	<i>C</i>	<i>Ant(oni)</i>	<i>Quie(ti)</i>	-	-	-	-	-	1
	<i>L.C()</i> <i>[F()]?</i>	P+N+C1	LC[F?]	<i>L</i>	<i>C()</i>	<i>F()</i> ?	-	-	-	-	-	1
	<i>L.C()</i> <i>K()</i>	P+N+C1	LCK	<i>L</i>	<i>C()</i>	<i>K()</i>	-	-	-	-	-	1
	<i>L.F()</i> <i>C()</i>	P+N+C1+A1+A3+T	LFCCVFCA	<i>L</i>	<i>F()</i>	<i>C()</i>	<i>c(larissimi) v(iri)</i>	<i>(ex) f(iglinis)</i>	<i>Ca(tonianis)</i>	-	-	1
LFCVFS			<i>L</i>	<i>F()</i>	<i>C()</i>	<i>c(larissimi) v(iri)</i>	<i>(ex) f(iglinis)</i>	<i>S(calensibus)</i>	-	-	3	
LFCCVFS			<i>L</i>	<i>F()</i>	<i>C()</i>	<i>c(larissimi) v(iri)</i>	<i>(ex) f(iglinis)</i>	<i>S(calensibus)</i>	-	-	9	
LFCCVES			<i>L</i>	<i>F()</i>	<i>C()</i>	<i>c(larissimi) v(iri)</i>	<i>(ex) f(iglinis)</i>	<i>S(calensibus)</i>	-	-	1	
LFCCVFSC			<i>L</i>	<i>F()</i>	<i>C()</i>	<i>c(larissimi) v(iri)</i>	<i>(ex) f(iglinis)</i>	<i>S(calensibus)</i>	-	-	2	
LFCCVFSCA			<i>L</i>	<i>F()</i>	<i>C()</i>	<i>c(larissimi) v(iri)</i>	<i>(ex) f(iglinis)</i>	<i>S(calensibus)</i>	-	-	1	
LFCCVFSCAL			<i>L</i>	<i>F()</i>	<i>C()</i>	<i>c(larissimi) v(iri)</i>	<i>(ex) f(iglinis)</i>	<i>S(calensibus)</i>	-	-	1	
<i>L.F()</i> <i>F()</i>	P+N+C1+A1+A3+T+C2	LFCCVFSF	<i>L</i>	<i>F()</i>	<i>C()</i>	<i>c(larissimi) v(iri)</i>	<i>(ex) f(iglinis)</i>	<i>S(calensibus)</i>	<i>F()</i>	-	1	
	P+N+C1+T	LFFSC	<i>L</i>	<i>F()</i>	<i>F()</i>	-	-	<i>Sc(alensia)</i>	-	-	2	
		LFFSCA	<i>L</i>	<i>F()</i>	<i>F()</i>	-	-	<i>Sca(lensia)</i>	-	-	2	
<i>L.F()</i> <i>Luc()</i>	P+N+C1+A1+A3+T	LFLVCCVFS	<i>L</i>	<i>F()</i>	<i>Luc()</i>	<i>c(larissimi) v(iri)</i>	<i>(ex) f(iglinis)</i>	<i>S(calensibus)</i>	-	-	4	
<i>Q.S()</i> <i>A()</i>	P+N+C1+T	QSASC	<i>Q</i>	<i>S()</i>	<i>A()</i>	-	-	<i>Sc(alensia)</i>	-	-	3	

9 familias

6 estructuras

25 lecturas

43 matrices

Figura 126.- Familias de sellos de los TRIA NOMINA de la *Scalensia*.

ELEMENTO CLAVE	FAMILIA	ESTRUCTURA	LECTURA	Personaje principal TRIA NOMINA			Atributo TRIA NOMINA	Atributo TOPÓNIMO	TOPÓNIMO	Personajes subordinados COGNOMEN		Matriz	
				P	N	C1	A1	A3	(T)	C2	C3		
COGNOMEN	Acci(, -)	T+C2	SCALENSIAACCI	-	-	-	-	-	Scalensia	Acci(, -)	-	3	
	Ag()	T+C2	SCALESIAAAG	-	-	-	-	-	Scale<n>sia	Ag()	-	1	
		T+C2[---	SCALENAG[---	-	-	-	-	-	Scalen(sia)	Ag()	-	1	
		T+C2+C3	SCALAGTE[LEPHI?	ver Telephus									
		Agr()	T+C2	SCALAGR	-	-	-	-	-	Scal(ensia)	Agr()	-	1
	T]+C2+C3		---]AGRBAR	-	-	-	-	-	Scal]?	Agr()	Bar()	1	
	Apollon(ius)	C2	APO[-	-	-	-	-	-	Apo[---	-	2	
			APOLLON[---	-	-	-	-	-	-	Apollon[i]?	-		
	Aufi() vel Af()	C2	AVFI vel AFI	-	-	-	-	-	-	Aufi() vel Afi()	-	1	
	Bar()	T]+C2+C3	---]AGRBAR	ver Agr()									
	Cap()	T+C2	SCALESIACAP	-	-	-	-	-	Scale<n>sia	Cap()	-	1	
	Celsus	C2	CELSI	-	-	-	-	-	-	Celsi	-	4	
		T+C2	SCALCELS	-	-	-	-	-	Scal(ensia)	Cels(i)	-	1	
	Clarinus	C2	CLARINI	-	-	-	-	-	-	Clarini	-	1	
	Cre()	T+C2	SCALESIACRE	-	-	-	-	-	Scale<n>sia	Cre()	-	1	
	Ese()?	T+C2	SCALESE	-	-	-	-	-	Scal(ensia)	Ese()?	-	2	
	Faustinus	C2	FAVSTIV[---	-	-	-	-	-	-	Faustinu[s	-	1	
	Felicis	T+C2	SCAFELICI	-	-	-	-	-	Sca(ensia)	Felici	-	1	
	Fes()	T+C2	SCALFES	-	-	-	-	-	Scal(ensia)	Fes()	-	3	
	Fid()	T+C2	SCALFID	-	-	-	-	-	Scal(ensia)	Fid()	-	2	
	For()	T+C2	SCALESIAFO	-	-	-	-	-	Scale<n>sia	Fo(r)	-	1	
			SCALESIAFOR	-	-	-	-	-	Scale<n>sia	For()	-	1	
	Gabr()?	T+C2	SCALGAB	-	-	-	-	-	Scal(ensia)	Gab(r?)	-	3	
SCALGABR?			-	-	-	-	-	Scal(ensia)	Gabr()?	-	1		
Gemellus	C2	GEMELLI	-	-	-	-	-	-	Gemelli	-	1		
		SCALENGEM[---	-	-	-	-	-	-	Gem[---	-	1		
		SCALENSIAGEME	-	-	-	-	-	-	Geme(lli)	-	2		

Figura 127.- Familias de sellos de los COGNOMINA en la Scalensia (A).

COGNOMEN												
<i>Hera(nus.-)</i>	T+C2	SCALHER	-	-	-	-	-	-	<i>Scal(ensia)</i>	<i>Her(ani)</i>	-	1
		SCALHERA	-	-	-	-	-	-	<i>Scal(ensia)</i>	<i>Hera(ni)</i>	-	1
		SCALHERANI?	-	-	-	-	-	-	<i>Scal(ensia)</i>	<i>Herani?</i>	-	1
<i>Hylae</i>	C2	HYLAE	-	-	-	-	-	-	-	<i>Hylae</i>	-	2
<i>L()</i>	T+C2	SCALESIAL	-	-	-	-	-	-	<i>Scale<n>sia</i>	<i>L()</i>	-	1
<i>Lib()</i>	T+C2	SCALESIALIB	-	-	-	-	-	-	<i>Scale<n>sia</i>	<i>Lib()</i>	-	1
<i>Luc()</i>	T+C2	SCALESIALVC	-	-	-	-	-	-	<i>Scale<n>sia</i>	<i>Luc()</i>	-	2
<i>Nice()</i>	T+C2+C3	SCALNICETELEPHI	ver <i>Telephus</i>									
<i>P()</i>	T+C2	SCALESIAP	-	-	-	-	-	-	<i>Scale<n>sia</i>	<i>P()</i>	-	1
<i>Phi()</i>	C2	PHI	-	-	-	-	-	-	-	<i>Phi()</i>	-	1
	T+C2	SCALENSIAPHI	-	-	-	-	-	-	<i>Scalensia</i>	<i>Phi()</i>	-	1
<i>Plocamus</i>	C2	PLOCAMVS	-	-	-	-	-	-	-	<i>Plocamus</i>	-	1
		PLOCAMI	-	-	-	-	-	-	-	<i>Plocami</i>	-	3
<i>Pri()</i>	T+C2	SCALPRI	-	-	-	-	-	-	<i>Scal(ensia)</i>	<i>Pri()</i>	-	1
		SCALIAPRI?	-	-	-	-	-	-	<i>Scal<ens>ia?</i>	<i>Pri()</i>	-	1
<i>R() & Ro()</i>	T+C2	SCALENSR	-	-	-	-	-	-	<i>Scalens(ia)</i>	<i>R(o)?</i>	-	1
		SCALESIAR	-	-	-	-	-	-	<i>Scale<n>sia</i>	<i>R(o)</i>	-	1
		SCALESIARO	-	-	-	-	-	-	<i>Scale<n>sia</i>	<i>Ro()</i>	-	1
<i>Rom()</i>	C2	ROM	-	-	-	-	-	-	-	<i>Rom()</i>	-	1
<i>S()</i>	T+C2	SCALESIAS	-	-	-	-	-	-	<i>Scale<n>sia</i>	<i>S()</i>	-	1
<i>Se()</i>	T+C2+C3	SCAL]SETELEPHI	ver <i>Telephus</i>									
<i>Sini()</i>	T+C2	SCALSINI	-	-	-	-	-	-	<i>Scal(ensia)</i>	<i>Sini()</i>	-	1
<i>Sta()</i>	T+C2	SCALSTA	-	-	-	-	-	-	<i>Scal(ensia)</i>	<i>Sta()</i>	-	1
<i>Telephus & A(), Ag(), Nice(), Se()</i>	C2	TELEPHI	-	-	-	-	-	-	-	<i>Telephi</i>	-	1
		SCALATELEPHI	-	-	-	-	-	-	<i>Scal(ensia)</i>	<i>A()</i>	<i>Telephi</i>	1
		SCALAGTE[LEPHI?	-	-	-	-	-	-	<i>Scal(ensia)</i>	<i>Ag()</i>	<i>Te[lephi?</i>	1
		SCALNICETELEPHI	-	-	-	-	-	-	<i>Scal(ensia)</i>	<i>Nice()</i>	<i>Telephi</i>	1
		SCAL]SETELEPHI	-	-	-	-	-	-	<i>Scal(ensia)?</i>	<i>Se()</i>	<i>Telephi</i>	1
<i>Ven()</i>	T+C2	SCALVEN	-	-	-	-	-	-	<i>Scal(ensia)</i>	<i>Ven()</i>	-	2

37 familias 3 estructuras

53 lectura

70 matrices

Figura 128.- Familias de sellos de los COGNOMINA en la *Scalensia* (B).

ELEMENTO CLAVE	FAMILIA	ESTRUCTURA	LECTURA	Personaje principal TRIA NOMINA			Atributo TRIA NOMINA	Atributo TOPÓNIMO	TOPÓNIMO (T)	Personajes subordinados COGNOMEN		Matriz	
				P	N	C1	A1	A3		C2	C3		
TOPÓNIMO	<i>Sxalensia</i>	T	SCA	-	-	-	-	-	<i>Sca(lensia)</i>	-	-	3	
			SCAL	-	-	-	-	-	<i>Scal(ensia)</i>	-	-	3	
			SCALENSIA	-	-	-	-	-	<i>Scalensia</i>	-	-	4	
		A3+T	FSC	-	-	-	-	-	<i>(ex) f(iglinis)</i>	<i>Sc(alensibus)</i>	-	-	2
			FIGSCAL	-	-	-	-	-	<i>(ex) fig(linis)</i>	<i>Scal(ensibus)</i>	-	-	1
		A3+T+ [?	FSCALENSIS/ ---NC?	-	-	-	-	-	<i>f(undi) vel f(iglinae)</i>	<i>Scalensis?</i>	-	-	1

1 familia

2 estructuras

6 lecturas

14 matrices.

Figura 129.- Familias de sellos de los TOPÓNIMOS de la *Scalensia*.

3. Por el orden de prioridades adoptado, el dendrograma de los TOPÓNIMOS presenta en la *Scalensia* una única familia, formada por 2 estructuras, 6 lecturas y 14 matrices. En el caso de que tengamos varios TOPÓNIMOS en el taller, cada uno de ellos formará su propia familia. Este será el caso de los sellos de Cortijo del Mohíno ya comentado arriba, donde tendremos dos familias en el dendrograma de los TOPÓNIMOS: *Talliane(n)sia* y *Servi()* (vide capítulo 5).

Como vemos, en cada nivel de clasificación tendremos una serie de valores posibles. La organización interna de los diversos valores presenta un criterio común:

1. En el nivel de las estructuras, de más simples a más complejas.
2. En el nivel de las lecturas, ordenadas alfabéticamente de menor desarrollo a mayor desarrollo.
3. En el nivel de las matrices, primero, en orden ascendente por la tipología de la matriz (tipos 0 a 31), segundo, por la complejidad de la caracterización, de menos elementos caracterizadores del texto a más elementos (por ejemplo: con un punto, con dos puntos, etc) y, tercero, por el tamaño de la matriz (de menor a mayor).

Otros aspectos que hemos considerado a la hora de confeccionar los dendrogramas son:

- Es relativamente frecuente encontrar entre las series de una *figlina*, sellos de las producciones de otras alfarerías cercanas e incluso distantes. En los dendrogramas, estos sellos que creemos foráneos quedan identificados coloreando de “rojo” el cartucho de la lectura correspondiente. En la serie de la *Scalensia* tenemos dos casos: CANTQVIE y LFCCVFCA. Del primero desconocemos su lugar de producción¹⁴⁹. Del segundo sabemos que fue producido en la *figlina Ca(toniana)*, situada en el Genil¹⁵⁰.
- Algunos sellos hallados en centros de consumo, sin paralelos en centros de producción, pueden, no obstante, identificarse con las producciones del taller estudiado. Estos quedan recogidos en el dendrograma y son identificados coloreando en “azul” el cartucho de la lectura del sello. En el caso de la *Scalensia* tenemos los sellos: PAHSCALH, SCALELIAFO, SCALNICETE[LEϕ, SCALENSIAPHI, SCALESIAR, SCAL]SETELEϕ y TELEϕ.
- En todas las series tendremos determinados sellos que presentan una interpretación ambigua. Estas dudas quedarán recogidas y señaladas en el dendrograma. Por ejemplo, en la serie que nos ocupa, este es el caso de la lectura SCALESE. Creemos que el sello presenta una estructura TOPÓNIMO + COGNOMEN. La dificultad de la interpretación del sello se produce a la hora de establecer hasta donde se desarrolla el TOPÓNIMO y, por tanto, cuál es el COGNOMEN del personaje subordinado. De modo que tenemos varios desarrollos alternativos: *Scal(ensia) Ese()*, *Scale(nsia) Se()* o incluso, aunque menos probable debido a la casuística que presenta la serie, *Scale<n>s(ia) E()*. La presencia del punto en el sello SCAL·ESE, nos hace clasificarlo por la primera lectura propuesta, sin descartar el resto.

¹⁴⁹ CIL XV 2703, Barea *et al.* 2008: nº3.

¹⁵⁰ CIL XV 2588, Barea *et al.* 2008: nº5v

- Cuando tenemos varios sellos en un mismo envase, la relación queda señalada en el dendrograma. Ya vimos en el capítulo 1, la importancia que tienen estas asociaciones de sellos, que nos están presentando relaciones entre los elementos de la serie que se nos escaparían si estudiamos los sellos individualmente.
- La identificación de las matrices en el dendrograma también presenta dificultades. La solución adoptada en la serie de *C. Iuventius Albinus* que estudiamos en 4.5.2, fue asignar a cada matriz, un número de identificación correlativo en función de la clasificación adoptada. Pero, con este sistema, si en el futuro revisamos el dendrograma y modificamos la clasificación, o simplemente añadimos nuevos sellos que puedan ir apareciendo con el decurso de la investigación, nos veremos obligados a modificar el número de identificación de las matrices. Esto, en nuestra opinión, a la larga puede resultar confuso, pues tendremos distintos números de identificación para una misma matriz, que dependerá de la versión del dendrograma que utilicemos. La identificación de la matriz en el dendrograma debe ser única e independiente de que este se vaya completando con el tiempo. Junto a Remesal y otros miembros del proyecto EPNET, estamos estudiando la viabilidad informática de asignarle a cada matriz del dendrograma un código de barras o un código QR “Quick Response Code”, que solventaría el problema.
- El tamaño del dendrograma de los sellos de un taller como la *Scalensia* impide su reproducción en una publicación en papel. Los dendrogramas desarrollados a lo largo de este trabajo se recogen en archivos con formato “pdf” incluido en el anexo 3 del CD aportado junto con el documento. Para otras publicaciones podremos asociar los trabajos a un dendrograma que será colocado en un repositorio, de donde podrá ser descargado por los investigadores interesados.

4.6.- Corpus de sellos a partir del dendrograma.

Los dendrogramas son un resumen eminentemente gráfico de un gran volumen de datos. La información sobre cada familia de sellos se puede ampliar y pormenorizar en un *corpus*. A nuestro entender, el *corpus* de los sellos de un taller es una potente herramienta de estudio, que podemos asociar a los dendrogramas correspondientes. En la figura 130, presentamos el modelo seguido en el siguiente capítulo, donde trabajaremos sobre las producciones de Cortijo de Romero y Cortijo del Mohíno, situadas en la zona de la *figlina Scalensia* que nos ha servido como ejemplo en el apartado anterior. El *corpus* de cada centro productor se organiza por familias de sellos, primero, por las familias formadas a partir de los TRIA NOMINA, después por las formadas por los COGNOMINA y, finalmente, por aquellas formadas a partir de los TOPÓNIMOS. En cada familia individualizamos en fichas, la lectura de cada sello, incluyendo las matrices a que pueda obedecer, y desarrollamos un estudio general sobre la familia: sus características, cronología, posibles desarrollos de los nombres de los personajes y su estudio prosopográfico cuando ello sea posible, sus relaciones con otras familias de sellos, y todos aquellos aspectos que consideremos relevantes para cada caso concreto.

5.2.2.- Corpus de los sellos hallados en Cortijo de Romero.

Siguiendo la clasificación antes descrita, sobre un total de 470¹⁵⁶ ejemplares recuperados en Cortijo de Romero, tenemos 46 familias de sellos que se resuelven con 13 estructuras, 77 lecturas y 103 matrices.

5.2.2.1.- TRIA NOMINA.

Tenemos, por el momento, 13 familias de sellos formadas a partir de los TRIA NOMINA, que se desarrollan en 6 estructuras, 19 lecturas y 24 matrices. A continuación, presentamos su distribución y características:

Familia de sellos de *P.A(---)Ad(---)*. (nums. 1-3).

La familia de sellos de *P.A(---)Ad(---)* está formada, hasta el momento, por 2(?) estructuras, 3 lecturas y 3 matrices distintas (figura 136), que pasamos a desarrollar.

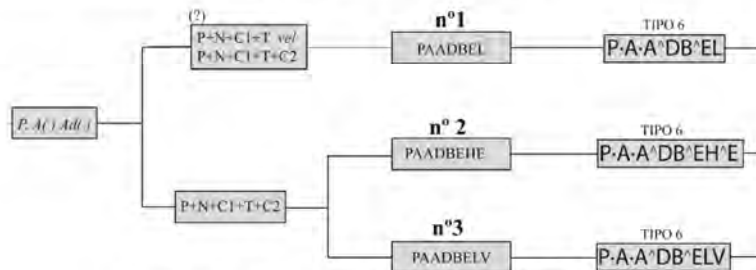


Figura 136.- Familia de sellos de *P.A(---)Ad(---)* de la *Belliciana*.

1.- PAADBELL

Ref: Col. Marsal: Chic 2001: p.69.

Dat: Forma C-D -tip.- (figura 159, nº5)

Estr: TRIA NOMINA + TOPÓNIMO. *vel* TRIA NOMINA + TOPÓNIMO + COGNOMEN.

Lec: *P.A(---)Ad(---)Bel(l)liciana* *vel* *P.A(---)Ad(---)Bel(l)liciana* *L(u---)*.



Rec: BBSM. n.ºs. 22 + 77.

2.- PAADBEHE

Ref: Ponsich 1979: p.117, nº127, f.41.02-03 (PAADBEH[---]) = Étienne & Mayet 2004: nº 202a, b (PAADBELL); col. Marsal: Chic 2001: p.69.

Dat: Forma C -tip.- (figura 159, nº 7)

¹⁵⁶ Sellos procesados con el método de los moldes de silicona con referencias: Ponsich 1979, 72 ejemplares; Remesal 1981, 23 ejemplares; Barea-Barea-Solis-Moros (BBSM), 375 ejemplares.

Estr: TRIA NOMINA + TOPÓNIMO+ COGNOMEN.

Lec: *P.A(---)Ad(---)Bel(l)liciana* *He(---)*



BBSM. nº 232

Los ejemplares de Ponsich incompletos por la derecha, de ahí su lectura PAADBELL en Étienne & Mayet 2004: nº 202a, b. Todos los sellos parecen proceder de una misma matriz. En el Testaccio conocemos el sello PAHSCALH (CIL XV 2648) (forma C) y en la *Talliane<n>sia*, situada en el vecino Cortijo del Mohino, tenemos los sellos HELIO y HELIODORI (vide 5.2.3, nums. 14 y 15) para una fase productiva anterior (forma B).

3.- PAADBELV

Ref: Ponsich 1979: p.117, nº127, f.41.01 = Étienne & Mayet 2004: nº 202c; Col. Marsal: Chic 2001: p.69.

Dat: Forma C -tip.- (figura 159, nº6)

Estr: TRIA NOMINA + TOPÓNIMO+ COGNOMEN.

Lec: *P.A(---)Ad(---)Bel(l)liciana* *V(---)* *vel* *P.A(---)Ad(---)Bel(l)liciana* *Lu(---)*.



Rec: BBSM. n.ºs. 115 + 217.

Los desarrollos de los sellos PAADBELL y PAADBELV presentan cierta ambigüedad en el punto de separación TOPÓNIMO / COGNOMEN. Todas las matrices de la familia parecen realizadas por la misma mano, (tipo y tamaño de las letras, criterios de punteado, nexos) y sólo conocemos una matriz para cada desarrollo.

En el vecino taller de la *Scalensia* conocemos el sello PAAD (Remesal 1989: nº1, Barea *et al.* 2008: nº1). La datación tipológica flavio-trajanea propuesta para el ejemplar de Cerro de los Pesebres puede ser ahora corregida gracias al hallazgo holandés del campamento militar de *Kops Plateau* de Nimega, en asa de la forma A de época de Claudio (Berni 2017: nº 34). Como hemos visto, la familia de sellos de *P.A(---)Ad(---)* de la *Belliciana* parece datarse tipológicamente en época flavio-trajanea, de modo que ya no parece factible que se trate del mismo individuo, sino más bien de dos miembros del grupo familiar que presentan las mismas iniciales, pero de distintas generaciones. Debe estar emparentado con el personaje de iniciales *P.A(---)H(---)* que tenemos en esta misma serie (nums. 5-7) y en Cerro de los Pesebres (Barea *et al.* nº2). Otro miembro de esta familia puede quedar reflejado en el sello BELLICIANAPAGALENI (nº4). De este modo, con los datos actuales, tenemos el siguiente desarrollo de estos personajes para un periodo que va de Claudio y Trajano:

P.A(---)Ad(---) (Claudio) → *P.A(---)Galenus* (flavio) → *P.A(---)Ad(---)* y *P.A(---)H(---)* (flavio-trajaneo).

Figura 130.- Sellos de la familia de *P.A(---)Ad(---)* en el corpus de la *figlina Belliciana* (vide 5.2.2).

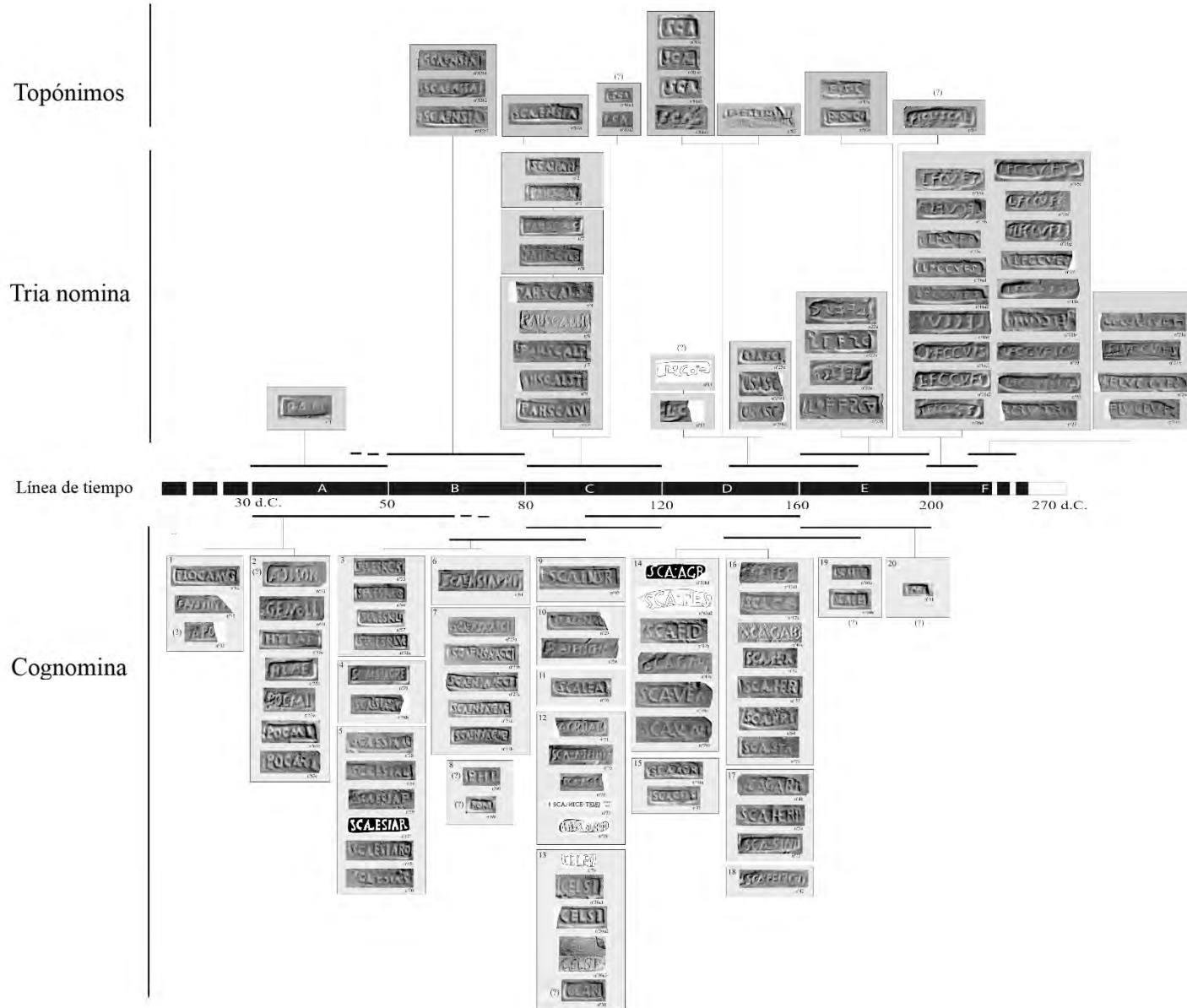


Figura 131.- Fases productivas de la *figlina Scalensia*.

4.7.- Fases productivas de las *figlinae*.

En los *corpora* y dendrogramas de las *figlinae* tenemos los sellos ordenados por criterios epigráficos. Para tratar de establecer las **fases productivas** de las *figlinae* debemos ordenar los sellos por criterios cronológicos (Berni 2008: 141-142). Previamente estableceremos los grupos homogéneos, es decir, agrupamos los sellos que presentan el mismo diseño y contenido análogo (*vide* 2.4.1), que situamos en una línea de tiempo. Estos grupos homogéneos nos estarán mostrando diversos momentos de la actividad del taller. En estos cuadros se observa muy claramente cómo van cambiando los criterios de codificación de la información y el diseño de los sellos. También cómo se suceden los diversos personajes y grupos familiares relacionados con el proceso.

En la figura 131 tenemos un esquema de las fases productivas de la *Scalensia*¹⁵¹, que nos servirá como ejemplo para describir los aspectos básicos de la organización de estos cuadros. En la parte inferior de la línea de tiempo incluimos los grupos homogéneos creados a partir de los COGNOMINA. En la superior incluimos los grupos formados por los TRIA NOMINA y, sobre ellos, los formados por los TOPÓNIMOS.

En estos cuadros nos apoyaremos para describir la evolución de los sistemas de sellado de los talleres. Finalmente, a partir de la interpretación de los sistemas de sellado podremos plantear hipótesis sobre la organización productiva de cada centro productor y su evolución en el tiempo. No obstante, este proceso tiene sus limitaciones. Las principales dificultades a las que nos enfrentamos serían:

- **No tenemos todos los sellos usados en el taller:** No sabemos cuántos sellos faltan en el cuadro y, en general, cada vez que se han desarrollado nuevas prospecciones en Cerro de los Pesebres, han aparecido sellos nuevos.
- **No tenemos las dataciones precisas de los sellos.** Las dataciones de los sellos de la *Scalensia* provienen, en muchos casos, de la forma tipológica que presentan las asas que portan los sellos. Estas dataciones tipológicas no son especialmente precisas, ya que la evolución de la forma del envase sigue un proceso paulatino que nos da intervalos de 30 o 40 años. Las dataciones derivadas del contexto arqueológico donde los sellos fueron recuperados son, en general, más precisas. Pero no sabemos el tiempo que las matrices estaban en uso. De este modo, los grupos homogéneos se sitúan en diversos intervalos cronológicos de la línea de tiempo. Esto nos impide conocer en ciertos casos qué series de entre las que ocupan un mismo intervalo cronológico fueron coetáneas y cuáles sucesivas. Esto resulta especialmente relevante en el caso de los TRIA NOMINA, ya que va a influir decisivamente en nuestra interpretación de la serie.
- **Se nos habrán perdido parte de las relaciones que pudieron establecerse entre los distintos elementos que componen los sellos.** Ya sabemos que un envase puede contener varios sellos. Debido a que, en general, encontramos las ánforas fragmentadas, se nos abran perdido las relaciones que se pudieron establecer entre sellos compatibles pertenecientes al mismo intervalo cronológico. Particularmente se nos habrán perdido las relaciones que se pudieron establecer entre los COGNOMINA y los TRIA NÓMINA, que en el caso de la *Scalensia*

¹⁵¹ Pueden consultar este cuadro en un archivo pdf en el anexo 4 del CD adjunto al trabajo.

solo en las producciones de *P.A() H()* vienen resueltas en un solo sello. También la posible relación que se pudo establecer entre los *TRIA NOMINA* y el *TOPÓNIMO*, circunstancia que resulta vital para establecer en algunos casos dudosos si los sellos fueron realmente producidos en el taller, o se pueden considerar “contaminaciones”.

Todas estas circunstancias harán que el esquema organizativo del taller se presente fragmentado, con lagunas e imprecisiones que debemos ir solucionando a medida que vayamos incorporando nuevos sellos y precisando sus dataciones. A partir de estos fragmentos podremos, en la medida de lo posible, plantear hipótesis generales sobre la organización productiva de cada taller y su evolución en el tiempo.

Conclusiones.

En este capítulo hemos presentado una nueva metodología para la organización, clasificación y estudio de los sellos por criterios epigráficos que denominamos dendrogramas, que despliega en una sola imagen todos los elementos que necesitamos conocer para extraer de los mismos todo su potencial informativo. Con la visión de conjunto que nos aportan los dendrogramas, estaremos en condiciones de construir un esquema de las fases productivas de los talleres organizando los sellos por criterios cronológicos. En estos cuadros nos apoyaremos para describir los sistemas de sellado de los centros productores y su evolución en el tiempo. Finalmente, podremos interpretar los sistemas de sellado que presentan las distintas series para tratar de reconstruir, al menos, la parte de la organización productiva de los talleres que ha llegado hasta nosotros. A partir de estos fragmentos podremos plantear hipótesis sobre la organización productiva de cada taller y su evolución en el tiempo.

En el capítulo hemos reflexionado sobre los diversos criterios seguidos en la organización de los sellos que se han desarrollado durante más de un siglo de investigación. En los dendrogramas se aplican y desarrollan ideas de muchos investigadores precedentes. De esta manera, el sistema adopta el concepto de *corpus* defendido por Mommsen, adapta a nuestro caso concreto el sistema de organización propuesto por Dressel, retoma las ideas de Remesal al estudiar las producciones de los talleres de forma individualizada y, finalmente, desarrolla una idea de Berni sobre los niveles de clasificación de los sellos.

A partir de todas estas ideas generadas en diversos momentos de la investigación, hemos podido desarrollar unas herramientas específicas que nos permitirán estudiar y analizar con precisión este tipo particular de documento epigráfico. Esta nueva metodología, adaptada a cada caso concreto, entendemos que puede aplicarse a cualquier taller que, durante época romana, hubiese sellado sus objetos manufacturados producidos en masa, fuesen estos del tipo que fuesen. De ser viable su aplicación a todo el *instrumentum impressum*, estaremos en condiciones de ir desentrañando los sistemas organizativos de *figlinae* pertenecientes a muchas áreas de producción, que se distribuyeron por un territorio muy amplio, que fabricaron objetos de muy diversa índole y que desarrollaron su actividad durante un periodo de casi mil años.

Con este capítulo damos por concluida la primera parte de nuestro trabajo, donde hemos tratado de desarrollar las bases interpretativas y metodológicas del estudio de los sellos. En el último capítulo trataremos de aplicar el modelo de estudio propuesto, a una zona productora concreta del valle del Guadalquivir, formada por las *figlinae Scalensia, Tallianensia, Servi() y Belliciana*.

CAPÍTULO 5.- CASO DE ESTUDIO: LA ZONA PRODUCTORA DE LA *SCALENSIA*.

Introducción.

En este capítulo aplicaremos el modelo de estudio propuesto en la primera parte de este trabajo, a tres centros productores de ánforas olearias béticas (Dressel 20), vecinos y situados en la parte final del territorio de *Corduba*: Cortijo de Romero, Cortijo del Mohíno y Cerro de los Pesebres.

Primero, situaremos estas *figlinae* en el área geográfica de la producción de la Dressel 20 y resumiremos los datos aportados por diferentes autores que visitaron estos lugares en momentos distintos de la investigación (5.1).

En 5.2 incluimos los dendrogramas de los tres talleres, que, dado su tamaño, pueden consultar por separado en archivo pdf de un CD adjunto a este trabajo. Previamente, desarrollaremos la información de los dendrogramas en los *corpora* de los sellos de Cortijo de Romero y Cortijo del Mohíno. El *corpus* de sellos de Cerro de los Pesebres ya fue incluido en una de nuestras publicaciones (Barea *et all.* 2008).

En 5.3, describiremos las características básicas que presenta el sistema de sellado de estos talleres e incluiremos unos cuadros de las fases productivas de las *figlinae*, sobre los que apoyaremos nuestros análisis. Como en el caso de los dendrogramas, estos cuadros pueden consultarse en el CD adjunto. En este apartado describiremos la evolución que presentan los tres elementos básicos de los sistemas de sellado de los talleres: TOPÓNIMOS, TRIA NOMINA y COGNOMINA.

Finalmente, en 5.4 trataremos de interpretar los sistemas de sellado y propondremos un esquema básico de los sistemas organizativos de la producción de los envases y su evolución en el tiempo.

5.1.- Área de estudio, situación geográfica y antecedentes.

Como hemos visto, centraremos esta segunda parte de nuestro trabajo en el análisis de los sellos de tres talleres vecinos de la parte final del territorio de *Corduba*: Cortijo de Romero, Cortijo del Mohíno y Cerro de los Pesebres (figura 132)

Estos talleres se desarrollan en un tramo de unos 6 km de la orilla izquierda del Guadalquivir, entre las localidades de Palma del Río y Posadas. La situación de los talleres hace pensar que, en época romana, el río Guadalquivir discurría más al sur de su recorrido actual (figura 133). Las alfarerías se suceden aproximadamente cada 3 km de esa antigua orilla. Ascendiendo el curso del Guadalquivir desde Cortijo de Romero encontramos Cortijo del Mohino y, finalmente, tras una amplia curva donde la antigua orilla asciende hacia el norte, se sitúa Cerro de los Pesebres, frente a la desembocadura del Benbézar.

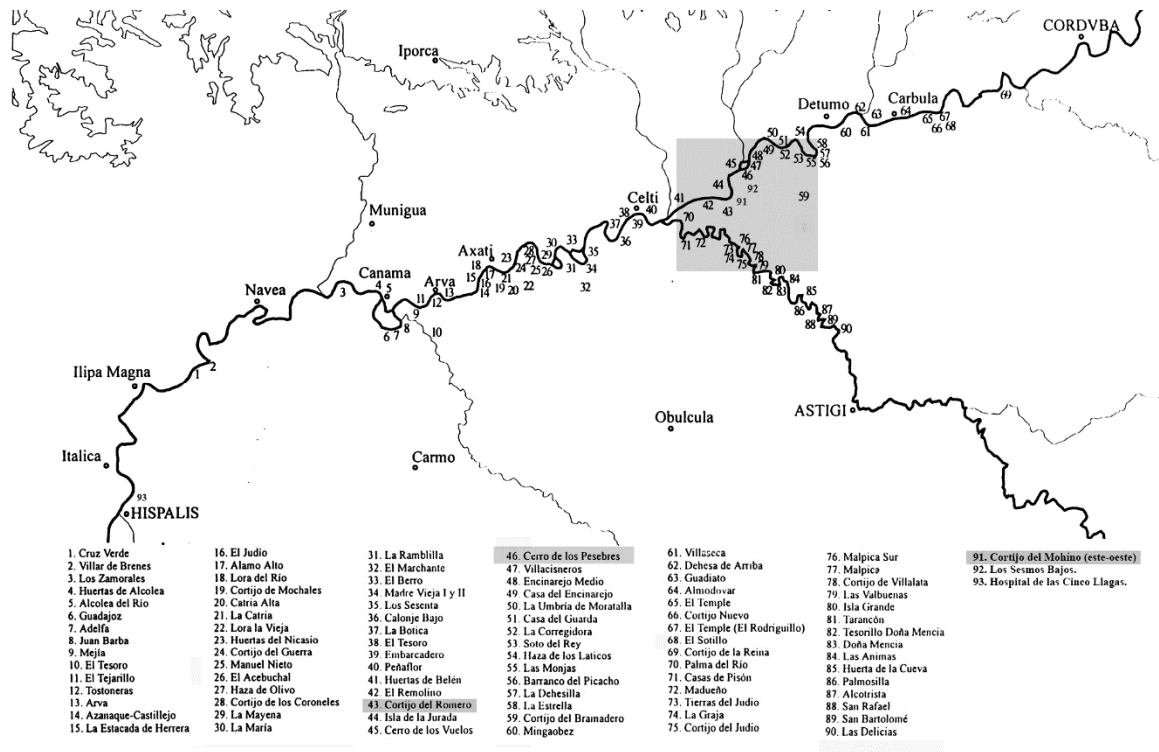


Figura 132.- Situación de la zona de estudio en el área de la producción de la Dressel 20.

Pocos son los datos que conocemos sobre las instalaciones de estos centros productores, ya que toda la información que poseemos por el momento procede de prospecciones superficiales.

Cortijo de Romero (Remolino o Cañuelos)¹⁵².

Situado junto a una antigua orilla del Guadalquivir, lindante con el camino de la Vega, actual carretera comarcal CO-9018, que discurre entre Palma del Río y La Puebla de la Parrilla. Según Ponsich la ubicación del yacimiento coincidiría con el villar de Cañuelos descubierto por Bonsor a finales del s.XIX en la margen antigua del río, cerca de un manantial que riega una huerta. A finales de los 70 del pasado siglo, Ponsich describió el lugar como una zona arqueológica importante con los restos de una gran instalación industrial adosada a una villa romana de carácter señorial. Cuando Chic visitó el yacimiento en marzo de 1975, el establecimiento alfarero todavía no había sido dañado por la maquinaria mecanizada de la agricultura moderna. En su visita, Ponsich contabilizó diez hornos que debieron producir tanto ánforas como otros tipos de cerámicas (ladrillos, tejas, lebrillos,

¹⁵² Bonsor 1931: 23, lám. IV (“Cañuelos”). Ponsich 1979: 116, n° 127 (“Cortijo de Romero”), figs. 39-41, láms. XXXVII-XXXIX. Chic 1985: 27 (“Remolino”), láms. XII (214-220) y XIII (221-228); id. 2001: 67-73 (“Remolino o Cortijo de Romero”). Berni 2008: 442-447.

etc.). De estos hornos apenas quedaban restos visibles a finales de los `90. Las ánforas fabricadas no sólo sirvieron para envasar aceite, sino también derivados del vino, a juzgar por la forma alargada de los pivotes de Haltern 70 fotografiados por Chic, circunstancia que se ha visto confirmada por los nuevos materiales recuperados.

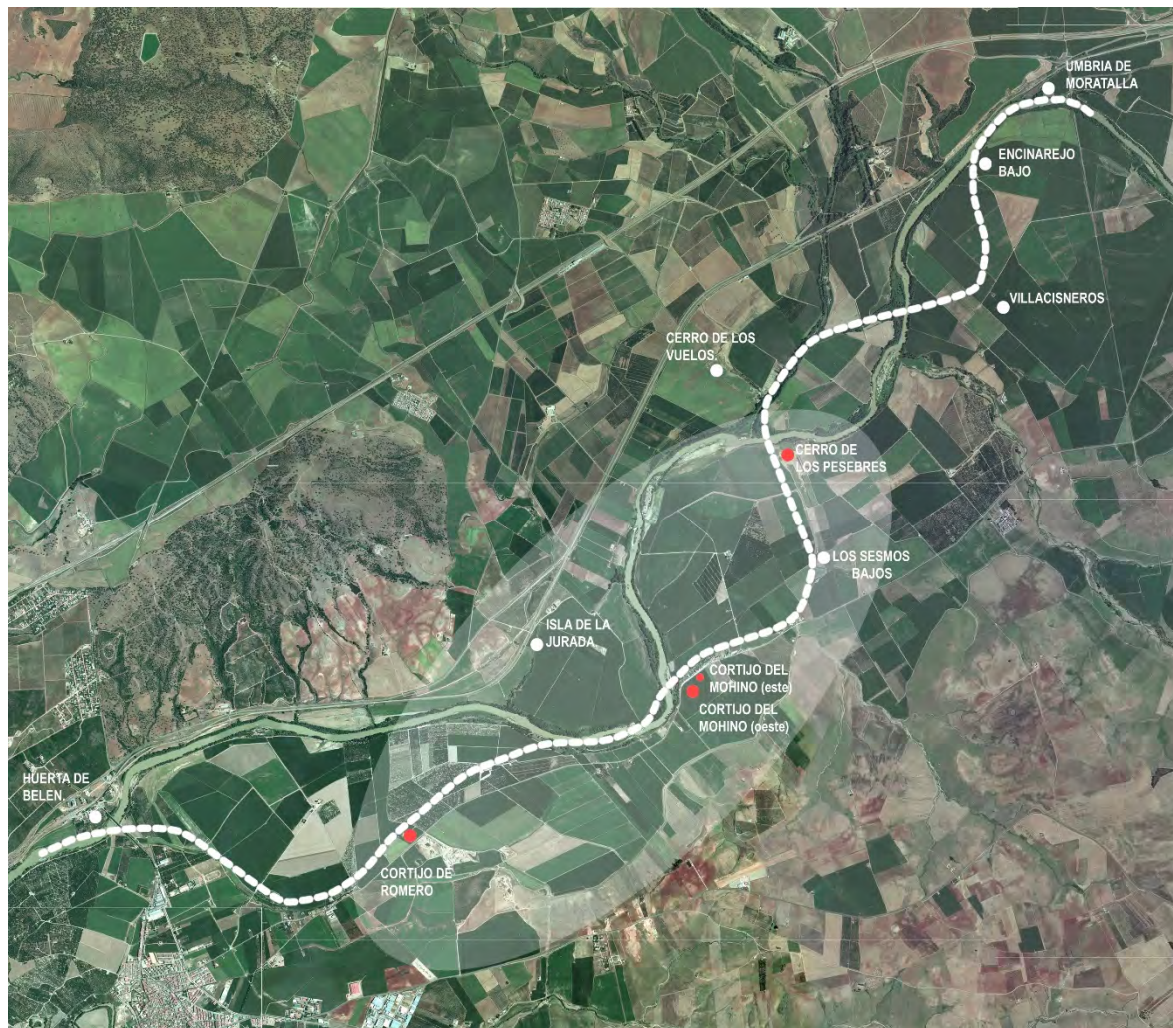


Figura 133.- Situación geográfica de los talleres objeto de estudio, con una propuesta sobre el trazado del curso del Guadalquivir en época romana.

Actualmente, el material en superficie se encuentra disperso por una amplia zona del campo de labor situada en torno a una modesta construcción dedicada a guardar los aperos de la finca. Esta construcción se alza sobre un pequeño tell, formado por fragmentos de material constructivo, ánforas Dressel 20, lebrillos y algunas Haltern 70. En el año 2002 se preparó el terreno para sembrar naranjos, lo que ocasionó un cierto movimiento de tierras que dejó aflorar abundante material de todas las fases productivas del taller¹⁵³.

¹⁵³ Queremos expresar nuestro más sincero agradecimiento al Sr. D. Antonio Romero, actual propietario de la finca donde se ubica el taller, por su amabilidad y paciencia demostrada durante las numerosas visitas que realizamos al lugar.



Figura 134.- (1) Panorámica de las instalaciones de Cortijo de Romero (2008). (2) Detalle del pequeño tell sobre el que se sitúa el cortijo (2005). (3) Material de superficie en el sembrado de naranjos (2006). (4) Vista desde el camino de La Vega de las instalaciones del cortijo (1998).

Cortijo del Mohíno¹⁵⁴.

Situado junto a la carretera actual que discurre por el camino de la Vega en la orilla izquierda del Guadalquivir entre la moderna Puebla de la Parrilla y Palma del Río, justo enfrente de la pedanía de El Mohíno. En las tierras de este cortijo hay constancia de una destacada industria de ánforas por una vasta zona de terreno cultivado, donde abunda la cerámica romana con ánforas y materiales constructivos (tejas y ladrillos). Ponsich no encontró evidencias de hornos ni sellos, pero señala su carácter industrial destinado a la fabricación de ánforas globulares. Chic, llegó a la misma conclusión durante su visita en marzo de 1975 tras constatar los efectos de una nivelación del terreno para fines agrícolas. Recuperó un ejemplar del sello SCALENSIAPHI. Los habitantes de la cortijada le comentaron el hallazgo que en su día realizaron de un horno de planta circular sin el característico pilar central. En 2008, recogíamos alguna información sobre el lugar en nuestro trabajo de la *Scalensia* y Berni presentaba un estudio del centro productor, aportando el primer grupo de sellos recuperados en este lugar.

El material se extiende sobre una amplia zona situada frente a la actual pedanía de El Mohíno, compuesta por unas pocas casas que se alinean junto al camino de la Vega. En el campo de labor se pueden observar tres zonas donde aumenta la concentración de material, formando aproximadamente tres grandes círculos en el campo. Cada una de ellas presentan materiales de diferente cronología. Al oeste, cerca del lugar donde la carretera toma una amplia curva, se recogen materiales con forma tipológica A de Berni (ca. 30-50 d.C.) y donde abundan los sellos de *M. Aelius Alexander*, que a veces se recogen en las mismas asas junto a otros sellos que presentan unos *cognomina* abreviados, *Luc()*, *Cres()*, *Gem()*, etc.

En esta misma zona situada más al oeste del campo de labor, aunque más alejado de la carretera, se presenta otra concentración de material donde abundan los sellos de la *Talliane(n)sia* y de la *Scalensia*.

Al este del campo de labor, cerca de la carretera, se podía observar otra zona donde se concentraba material más moderno, de los siglos II d.C. y III d.C. con presencia de materiales que alcanzan la Tardoantigüedad (ladrillos con epigrafía).

Recientemente se han realizado en Cortijo del Mohíno unas prospecciones y unos estudios geo-eléctricos dentro del proyecto OLEASTRO, y cuyos resultados preliminares, aunque en elaboración, hemos podido conocer gracias a la amabilidad de Stéphane Mauné e Ivan González Tobar de la Universidad Paul Valéry de Montpellier 3, y de Enrique García Vargas de la Universidad de Sevilla. Las concentraciones de material situadas al oeste del campo de labor resultaron marcar la ubicación de, al menos, dos baterías de hornos que han sido excavados en 2018. Estos trabajos, sin duda aportarán muchos datos sobre el centro productor y, particularmente, ayudarán a completar la epigrafía conocida y precisar las dataciones de los sellos, aspectos que resultan decisivos a la hora de tratar de describir los sistemas organizativos de estos centros productores y su evolución en el tiempo.

¹⁵⁴ Ponsich 1979: 141, núms. 161-162 (“Cortijo del Molino”). Chic 1985: 26 (“El Mohino”), lám. XII (213); 2001: 66-67. Moros & Berni 2005: 51-57. Barea *et al.* 2008. Berni 2008: 448-450.



**Figura 135.- (1) Panorámica desde la carretera del emplazamiento de Cortijo del Mohino (2005).
(2,3 y 5) Concentraciones de material en superficie en el campo de labor (1998). (4) Instalaciones del Cortijo del Mohino (2004).**

Cerro de los Pesebres¹⁵⁵.

En un trabajo monográfico ya recogimos todos los datos conocidos sobre este centro productor y remitimos al lector interesado a consultar esta publicación (Barea *et al.* 2008).

5.2.- Corpus y dendrogramas.

5.2.1. Organización de los *corpora*.

Como vimos en 4.6, organizamos los sellos en los *corpora* siguiendo el criterio establecido para confeccionar los dendrogramas, donde los sellos quedan sometidos a cuatro niveles de estudio y clasificación:

FAMILIA → ESTRUCTURA → LECTURA → MATRIZ.

El *corpus* de cada centro productor se organiza por familias de sellos, primero, por las familias formadas a partir de los TRIA NOMINA, después por las formadas por los COGNOMINA y, finalmente, por aquellas formadas a partir de los TOPÓNIMOS. En 4.5.3 recogimos los detalles internos de este tipo de organización.

Para cada familia de sellos, incluimos una imagen con la parte del dendrograma correspondiente a dicha familia. Seguidamente, incluimos una ficha para cada uno de los sellos que la componen. En cada ficha se recogen:

- **Número y sello índice**, es decir, la lectura del sello desarrollando los nexos y sin incluir los puntos ni los elementos decorativos.
- **Ref.-** Referencias anteriores del sello si se habían publicado previamente ejemplares con esa misma lectura.
- **Dat.-** Dataciones del sello, señalando si estas son contextuales o tipológicas, y la procedencia del dato.
- **Est.-** Estructura que presenta el sello según los criterios definidos en los apartados 1.2 a 1.4 de este trabajo.
- **Lec.-** Desarrollo de la lectura.

Para cada lectura, individualizamos las matrices distintas a que pueda obedecer, indicando las características distintivas que nos han llevado a definir cada matriz concreta.

Finalmente, recogemos unos comentarios generales sobre la familia: sus características, cronología, posibles desarrollos de los nombres de los personajes y su estudio prosopográfico cuando ello sea posible, sus relaciones con otras familias de sellos, y todos aquellos aspectos que consideremos relevantes para cada caso concreto.

Al final de cada uno de los *corpora* incluimos unas figuras con las asas que nos han servido para proponer dataciones tipológicas de los sellos.

¹⁵⁵ Clark-Maxwell 1899: 257 (“El Castillejo”). Bonsor 1931: 23 (“El Castillejo”), lám. xxxi (22-23). Ponsich 1979: 139, nº 152 (“Cortijo de Serno Bajo”). Remesal 1989b: 123 (“Cerro de los Pesebres”), núms. 1-17. Barea *et al.* 2008. Berni 2008: 451-457.

5.2.2.- Corpus de los sellos hallados en Cortijo de Romero.

Siguiendo la clasificación antes descrita, sobre un total de 470¹⁵⁶ ejemplares recuperados en Cortijo de Romero, tenemos 46 familias de sellos que se resuelven con 13 estructuras, 77 lecturas y 103 matrices.

5.2.2.1.- TRIA NOMINA.

Tenemos, por el momento, 13 familias de sellos formadas a partir de los TRIA NOMINA, que se desarrollan en 6 estructuras, 19 lecturas y 24 matrices. A continuación, presentamos su distribución y características:

Familia de sellos de *P.A(---)Ad(---)*. (nums. 1-3).

La familia de sellos de *P.A(---)Ad(---)* está formada, hasta el momento, por 2(?) estructuras, 3 lecturas y 3 matrices distintas (figura 136), que pasamos a desarrollar.

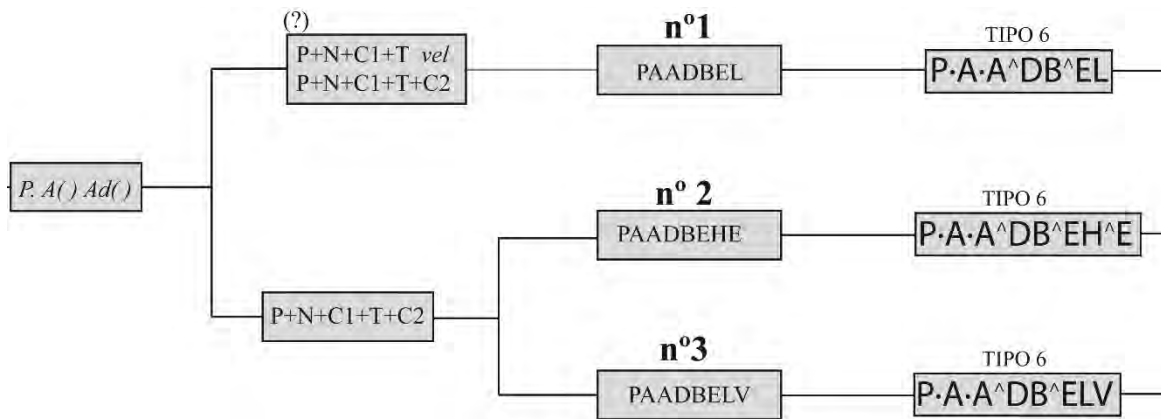


Figura 136.- Familia de sellos de *P.A(---)Ad(---)* de la *Belliciana*.

1.- PAADBEL

Ref: Col. Marsal: Chic 2001: p.69.

Dat: Forma C-D -tip.- (figura 159, nº5)

Estr: TRIA NOMINA + TOPÓNIMO. *vel* TRIA NOMINA + TOPÓNIMO + COGNOMEN.

Lec: *P.A(---)Ad(---)Bel(licana) vel P.A(---)Ad(---)Be(lliciana)L(u--)*.



Rec: BBSM. nºs. 22 + 77.

2.- PAADBEHE

Ref: Ponsich 1979: p.117, nº127, f.41.02-03 (PAADBEH[---]) = Étienne & Mayet 2004: nº 202a, b (PAADBELL); col. Marsal: Chic 2001: p.69.

Dat: Forma C -tip.- (figura 159, nº 7)

¹⁵⁶ Sellos procesados con el método de los moldes de silicona con referencias: Ponsich 1979, 72 ejemplares; Remesal 1981, 23 ejemplares; Barea-Barea-Solís-Moros (BBSM), 375 ejemplares.

Estr: TRIA NOMINA + TOPÓNIMO+ COGNOMEN.

Lec: P.A(---) AD(---) Be(lliciana) He(---)



BBSM. n° 232

Los ejemplares de Ponsich incompletos por la derecha, de ahí su lectura PAADBELL en Étienne & Mayet 2004: n° 202a, b. Todos los sellos parecen proceder de una misma matriz. En el Testaccio conocemos el sello PAHSCALH (CIL XV 2648) (forma C) y en la *Talliane <n> sia*, situada en el vecino Cortijo del Mohíno, tenemos los sellos HELIO y HELIODORI (*vide* 5.2.3, nums. 14 y 15) para una fase productiva anterior (forma B).

3.- PAADBELV

Ref: Ponsich 1979: p.117, n°127, f.41.01 = Étienne & Mayet 2004: n° 202c; Col. Marsal: Chic 2001: p.69.

Dat: Forma C -tip- (figura 159, n°6)

Estr: TRIA NOMINA + TOPÓNIMO+ COGNOMEN.

Lec: P.A(---) AD(---) Bel(lliciana) V(---) vel P.A(---) AD(---) Be(lliciana) Lu(---).



Rec: BBSM. n°s. 115 + 217.

Los desarrollos de los sellos PAADBEL y PAADBELV presentan cierta ambigüedad en el punto de separación TOPÓNIMO / COGNOMEN. Todas las matrices de la familia parecen realizadas por la misma mano, (tipo y tamaño de las letras, criterios de punteado, nexos) y sólo conocemos una matriz para cada desarrollo.

En el vecino taller de la *Scalensia* conocemos el sello PAAD (Remesal 1989: n°1, Barea *et al.* 2008: n°1). La datación tipológica flavio-trajanea propuesta para el ejemplar de Cerro de los Pesebres puede ser ahora corregida gracias al hallazgo holandés del campamento militar de *Kops Plateau* de Nimega, en asa de la forma A de época de Claudio (Berni 2017: n° 34). Como hemos visto, la familia de sellos de P.A(---) Ad(---) de la *Belliciana* parece datarse tipológicamente en época flavio-trajanea, de modo que ya no parece factible que se trate del mismo individuo, sino más bien de dos miembros del grupo familiar que presentan las mismas iniciales, pero de distintas generaciones. Debe estar emparentado con el personaje de iniciales P.A(---) H(---) que tenemos en esta misma serie (nums. 5-7) y en Cerro de los Pesebres (Barea *et al.* n°2). Otro miembro de esta familia puede quedar reflejado en el sello BELLICIANAPAGALENI (n°4). De este modo, con los datos actuales, tenemos el siguiente desarrollo de estos personajes para un periodo que va de Claudio y Trajano:

P.A(---) Ad(---) (Claudio) → P.A(---) Galenus (flavio) → P.A(---) Ad(---) y P.A(---) H(---) (flavio-trajaneo).

El grupo familiar había sido relacionado con los *Aelii*, (Chic 1985:106, id.1993: 11-12; Caballos1990), y posteriormente con los *An(nii)* (Chic 2001: p.69), pero en ningún caso conocido los sellos del personaje desarrollan el *nomen*, de modo que persiste la duda.

Familia de sellos de *P.A(---) Galenus*. (nº. 4)

La familia de sellos de *P. A(---) Galenus* está formada, hasta el momento, por 1 estructura, 1 lectura y 3 matrices distintas (figura 137), que pasamos a desarrollar:

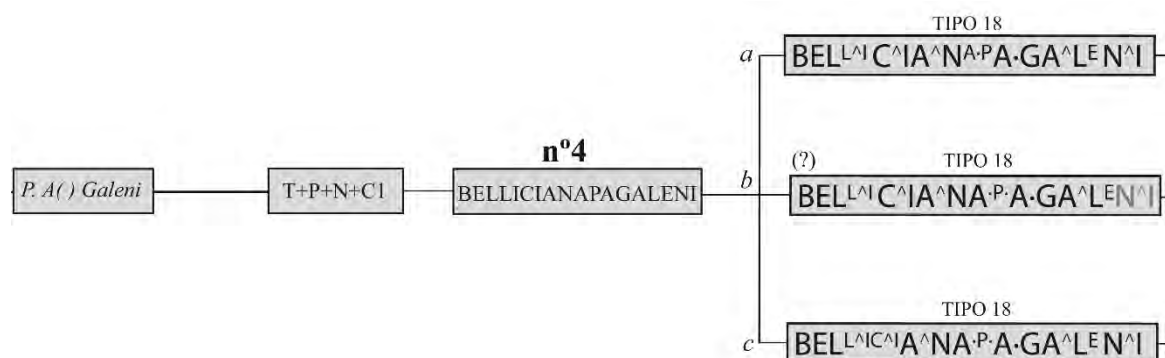


Figura 137.-Familia de *P. A(---) Galenus* de la *Belliciana*.

4.- BELLICIANAPAGALENI

Ref: CIL XV 2579 (BELVCANAPAGALENI); Callender: f.04.16; CIL XII 5683.41; CIL XIII n° 10002.8 = Allmer & Dissard 1888: n° 161= Étienne & Mayet 2004: n° 203.

Dat: Flavio-trajanea -tip- (Remesal 1997: n° 59; Berni 1998: n°2; Carreras & Funari 1998: n° 94; Étienne & Mayet 2004: n° 203). Forma C (figura159, n°8).

Estr: TOPÓNIMO + TRIA NOMINA.

Lec: *Belliciana P. A(---) Galeni*.

Esta lectura presenta 3 matrices distintas con un diseño muy similar, mismo texto y nexos -"L^I", "C~I", "A^N", "A^L", "N^I"-, aunque con pequeñas diferencias que pasamos a enumerar.

a) El nexos "L^I" de menor altura e incluida parcialmente en la caja de la "L" anterior, triángulo hacia abajo indicando separación topónimo/tria nomina y nomen/cognomen. Sin punto de separación entre *praenomen/nomen*.



Rec: BBSM. n°s. 267+ 283 + 3976.

b) Nexos "L^I" y ligadura "C~I" ocupando toda la altura de la cartela, inicial del *praenomen* "P" de menor altura y alineada a la parte superior de la cartela, triángulos hacia abajo separando topónimo/tria nomina y *praenomen/nomen*. En ninguno de nuestros ejemplares se observa punto de separación *nomen/cognomen*, aunque no lo descartamos.



Rec: Ponsich 1979: p. 116, n° 127, -sin img.- + BBSM. n° 140.

c) Nexo "L^I" de menor altura y situada sobre "L" anterior, ligadura "C~I", la inicial del *praenomen*, "P", de menor altura que las letras de su entorno y alineada a la parte superior de la cartela, triángulo hacia abajo separando *praenomen/nomen* y *nomen/cognomen* y hacia arriba entre topónimo/*tria nomina*. Sacados de la misma matriz de CIL XV 2579 y del ejemplar de Trion (Étienne & Mayet 2004: n° 203).



Rec: BBSM. n°s 95 + 252 + 175.

Comentarios sobre la familia.

Ver comentarios sobre el grupo familiar y las dudas en cuanto al desarrollo del gentilicio en la familia de sellos *P.A(---)Ad(---)* (nums. 1-3).

El sello presenta varias particularidades, si tenemos en cuenta la casuística del sellado en el taller. La primera, por desarrollar completamente el topónimo y el *cognomen* del personaje. En las series de *P.A(---) Ad(---)* y *P.A(---) H(---)*, los elementos de los *tria nomina* nunca se desarrollan y el TOPÓNIMO aparece fuertemente contraído. Además, la estructura más frecuente en los sellos del grupo familiar es *TRIA NOMINA + TOPÓNIMO + COGNOMEN*, es decir, añade un elemento más que podemos identificar como unos *COGNOMINA*. La segunda, porque los *tria nomina* tienden a presentarse delante del nombre del taller en esta zona productora, salvo en los casos de *SCALPAH* del vecino taller de *Scalsensia* y el que nos ocupa.

Dressel, en CIL XV 2579 malinterpretó el nombre del taller como *BELLVCANA* llevado por las engañosas ligaduras y nexos que presenta esta serie. Callender aún tenía dudas en el desarrollo del topónimo (Callender: n° 185), que se mantuvieron largo tiempo reforzadas por una mala interpretación de algunas lecturas de la serie de *Lucanus* (nums. 44 a 46) (Étienne & Mayet 2004: nums. 190, 195, 202c). En nuestra opinión, la cuestión quedó aclarada al publicarse las series localizadas por Ponsich en Cortijo de Romero, donde tenemos completamente desarrollado el nombre del taller como *BELLICIANA* (Ponsich 1979 p.116, n°127, fig 39, 17).

Todas las dataciones que tenemos para este sello son tipológicas y parecen coincidir en una forma C, corroborado por un asa completa abastonada y larga (figura 159, n°8). No obstante, por el particular diseño que presentan los sellos de *P. A(---) Galenus*, podemos relacionarlos con los del vecino Cerro de los Pesebres *SCALENSIAACCI* (Barea *et al.* 2008 n°11) y *SCALENSIAGEME* (Barea *et al.* 2008 n°31), datados por el sello *GEMELLI* de La Albufereta (Fernández *et al.* 2007: n°6) en un horizonte de época de Nerón-Vespasiano (forma B) (figura 138). Por ambas circunstancias, creemos que habría que datar la serie en época flavia.



Rec.: BBSM. n°s 95 + 252 + 175 (Cortijo de Romero)



BBSM n° 00-23 (Cerro de los Pesebres)



BBSM n° 99-178 (Cerro de los Pesebres)

Figura 138.- Estudio comparativo de los sellos BELLICIANAPAGALENI, SCALENSIAACCI y SCALENSIAGEME.

Familia de sellos de *P.A(---) H(---)* (nums. 5-7)

La familia de sellos de *P. A(---) H(---)* está formada, hasta el momento, por 1 estructura, 3 lectura y 3 matrices distintas (figura 139), que pasamos a desarrollar:

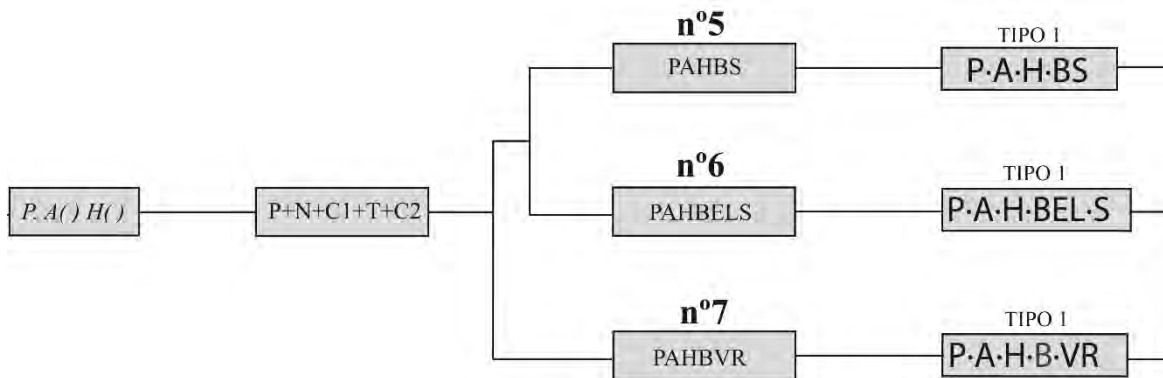


Figura 139.- Familia de sellos de *P. A(---) H(---)* de la *Belliciana*

5.- PAHBS

Ref: Col. Marsal, Chic 2001: p. 384 (PANHBS).

Estr: TRIA NOMINA + TOPÓNIMO+ COGNOMEN.

Lec: *P.A(---) H(---) B(elliciana) S(---)*.



Rec: BBSM. n.ºs. 211 + 231+ 259.

En la col. Marsal contamos con la lectura PANHBS -nexo "A^N"- sin referencia gráfica. En ninguno de los ejemplares aportados (14 ej.) se desarrollan los elementos del *tria nomina*. Todos los ejemplares parecen procedentes de una misma matriz.

6.- PAHBELS

Ref: Sin referencias previas conocidas.

Dat: Forma C (figura 159, nº 9).

Estr: TRIA NOMINA + TOPÓNIMO+ COGNOMEN.

Lec: P.A(---) H(---) Bel(liciana) S(---)



Rec: BBSM. n.ºs. 35 + 69 + 193.

No conocemos referencias anteriores para esta lectura. Parece corresponder a una variante de lectura del sello anterior, que desarrolla algo más el topónimo. En la *Scalensia* contamos con los sellos PAHSCALS y PAHSCALST (Barea *et al.* 2008: nº2 f, g)

7.- PA[HB]VR

Ref: Col. Marsal. Chic 2001: p 383.

Estr: TRIA NOMINA + TOPÓNIMO+ COGNOMEN.

Lec: P.A(---) H(---) B(elliciana) VR(si?).



BBSM. nº 310.

Para la reposición de la lectura del sello, seguimos la propuesta por Chic para el ejemplar de la col. Marsal. Entre las producciones de la *Scalensia* conocemos la lectura PAHSCALV (Barea *et al.* 2008: nº2h). Para la *Belliciana*, véase la familia de sellos de *Ursus* (nums. 63-67).

Comentarios sobre la familia.

En 3.5 incluimos el dendrograma completo de este personaje que parece presentar actividad en varios centros productores incluso distantes (figura 100). Las iniciales de este personaje volveremos a encontrarlas en sellos de Cerro de los Pesebres y Villar de Brenes-Cruz Verde, este último situado en el *conventus* de *Hispalis*, cerca de *Ilipa Magna*, por tanto, muy alejado de Cortijo de Romero. Las tres lecturas de la familia de sellos de P.A(---) H(---) que incluimos en este *corpus* presentan iniciales tras el topónimo -S(---), VR(---)-, que interpretamos como *cognomina*

correspondientes a individuos que estaban al frente de las diversas unidades productivas que fabricaban envases para nuestro personaje. Este mismo caso parece producirse en las series de Cerro de los Pesebres -iniciales A(--), C(---), H(---), P(---), S(---), St(---), V(---)- y Villar de Brenes-Cruz Verde -iniciales Cu(---) vel Cr(---) S(---), Sa(---)-, donde el nombre del centro productor queda representado por el elemento *Port(---)* durante el último cuarto del s.I d.C. (Remesal 1977-78: 116; Chic 1995: 115, Pons & Berni 2002). La evidente homogeneidad de estructuras y diseño que presentan las series de los tres talleres nos hacen pensar que estamos ante un mismo individuo que mantenía una relación similar con *figlinae* de dos zonas productoras distantes. Hacemos notar la coincidencia de iniciales entre los personajes subordinados de los sellos de *P.A(---)H(---)* de la *Scalensia* y la *Belliciana*. La combinación en un solo sello de TRIA NOMINA + TOPÓNIMO + COGNOMEN resulta poco usual en la epigrafía de la Dressel 20, apenas un 3,31% sobre el total de las estructuras conocidas (*vide* 1.5). Ver comentarios a la familia de sellos de *P.A(---)AD(---)* (nums. 1-3) para los posibles desarrollos del gentilicio del grupo familiar. Respecto a la cronología de la serie, Badoux data dos sellos de este personaje hallados en Francia y procedentes del vecino taller de Cerro de los Pesebres, PAHSCALS y PAHSCALC, en contextos flavios (Badoux 1996: n° 4 a, b), mientras que el sello PAHSCALV se data en Macôn antes de 120-125 d.C. (Cognot 1983: n°16). Le asignamos por tanto una forma C (flavio-trajanea).

Cerro de los Pesebres: PAAD (Remesal 1989: n°1, Barea *et al.* 2008: n°1); PAHSCAL (Barea *et al.* 2008: n°2a); SCALPAH (Barea *et al.* 2008: n°2b); PAHSCALA (Barea *et al.* 2008: n°2c); PAHSCALC (Barea *et al.* 2008: n°2d); PAHSCALP (Barea *et al.* 2008: n°2e); PAHSCALS (Barea *et al.* 2008: n°2f); PAHSCALST (Barea *et al.* 2008: n°2g); PAHSCALV (Barea *et al.* 2008: n°2h).

Villar de Brenes-Cruz Verde: PORPAH (Ponsich 1974: 99, n°143 fig.30 ,4). PORTPAH (Ponsich 1974: 99, n°145 fig.32, 2); PORPAHS (Abad Casal1975: fig.14.17).

Centros de consumo: PAHSCAR? (CIL XV 2648b); PAHSCALH (CIL XV 2648c); PORPAHSA (CIL XV 2648a); PORPAHCP? (Carreras & Funari 1998: n° 14.e.7), quizás debamos pensar en un final en “CE” o “CR”, para solucionar el desarrollo del *cognomen*.

Familia de sellos de *C. Ae(---) I(---)* (nums. 8-9).

La familia de sellos de *C. Ae(---) I(---)* (?) está formada, hasta el momento, por 2 (?) estructura, 2 lectura y 2 matrices distintas (figura 140), que pasamos a desarrollar:

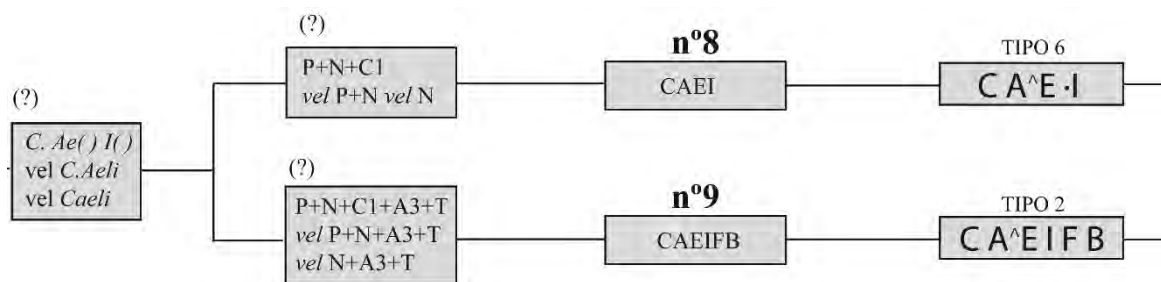


Figura 140. - Familia de sellos de *C. Ae(---) I(---)* de la *Belliciana*.

8.- CAEI

Ref: CIL XV 2681 (CAEI *vel* CAEL); Ponsich 1979: p.117. n°127, f.41.07.

Dat: ca. 145-161 d.C.-contex- (Test. *litt.* C, CIL XV 2681).

Estr: TRIA NOMINA (*tria nomina vel duo nomina vel nomen*)

Lec: *C. Ae(---) I(---) vel C. Aeli. vel Caeli.*



BBSM. n° 68.

Dressel dudó en un final “T” *vel* “L” en su ejemplar de *littera* C. El sello presenta evidentes dudas en cuanto a su desarrollo. Un problema similar encontramos en el sello SCAESIB (n°13). Nuestro ejemplar BBSM. n°68, parece presentar un punto entre el nexo “A^E” y la “I” final. Lo catalogamos con la lectura *C.Ae(---) I(---)*, aunque persiste la duda sobre el gentilicio del personaje: *Ae(---) vel Cae(---)*. El espaciado entre los tres grupos de letras puede servir de justificación para leer unos TRIA NOMINA.

9.- CAEIFB

Ref: CIL XV 2682; Chic 2001: p.308 (CAELIFB)

Dat: ca. 145-161 d.C.- contex- (Test. *litt.* C (2 ej.) CIL XV 2682); ca. 153-154d.C -contex- (Remesal (3ej.) en Testaccio 1999: n°16). Forma D o E (figura 159, n° 16).

Estr: TRIA NOMINA + ATRIBUTO #3 + TOPÓNIMO.

Lec: *C. Ae(---) I(---) (ex) f(iglinis) vel f(undi) B(elliciani) vel C. Aeli (ex) f(iglinis) vel f(undi) B(elliciani) vel Caeli (ex) f(iglinis) vel f(undi) B(elliciani)*



Rec: Ponsich 1979: p.116, n° 127 + BBSM. n°s. 124 + 417.

Se trata de una variante de estructura del sello anterior que añade al nombre del personaje principal, el TOPÓNIMO y su ATRIBUTO (A3+T), que dudamos en desarrollar como: *(ex) f(iglinis) vel f(undi) B(elliciani)* (Berni 2008: p.445, n°5). El ejemplar de Remesal en Testaccio 1999: n°7b presenta un punto entre el nexo “A^E” y la “I”.

La cronología de la serie no presenta problemas gracias a los ejemplares hallados en el Testaccio en *litt.* “C” y en las modernas excavaciones del Monte, que los sitúa claramente a mediados del s.II d.C.

Familia de sellos de *C. C(---) Bel(licianus)*. (n°. 10a-b)

La familia de sellos de *C. C(---) Bel(licianus)* está formada, hasta el momento, por 1 estructura, 1 lectura y 2 matrices distintas (figura 141), que pasamos a desarrollar:

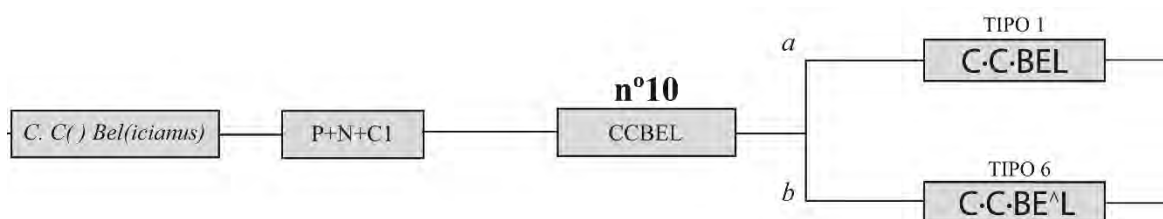


Figura 141.-Familia de sellos de *C.C(---) Bellicianus* de la *Belliciana*.

10.- CCBEL

Ref: Sin referencias previas conocidas.

Dat: Forma A (figura 159, nums. 1-3)

Estr: TRIA NOMINA.

Lec: C. C(---) Bel(liciani).

- a) Punto triangular apuntando hacia la izquierda entre *praenomen/nomen* y hacia la derecha. entre *nomen/cognomen*.



BBSM. n° 97.

- b) puntos triangulares apuntando hacia la izquierda entre los elementos de los *tria nomina* y nexo "E^L"



Rec: BBSM n°s. 51+ 65 + 236.

Tres ejemplares procedentes de la misma matriz; el segundo, que creemos deformado, presenta un tamaño mayor. El ejemplar BBSM. n° 51 situado *in radice ansae*.

No conocemos paralelos para esta lectura. Sabemos que en ocasiones los nombres de los talleres derivan del nombre de su primer titular. Este es el caso de la *Belliciana*, TOPÓNIMO que parece derivar del *cognomen* de este personaje. No es el único caso que conocemos en la epigrafía Bética: *figlinae Var(---)* de La Dehesilla, *Marsiane(n)sia* de Cortijo de Mingaobez o *Cau(---)* de Doña Mencía, por poner algunos ejemplos. También podemos reflexionar sobre la procedencia del TOPÓNIMO *Trop(himiana)* que proponemos en las observaciones a los sellos TROPL (n°68) y TROPS (n°69).

Familia de los sellos de L. C(---) F(---). (n°. 11a-b)

La familia de sellos de *L.C(---) F(---)* está formada, hasta el momento, por 1 estructura, 1 lectura y 2 matrices distintas (figura 142), que pasamos a desarrollar:

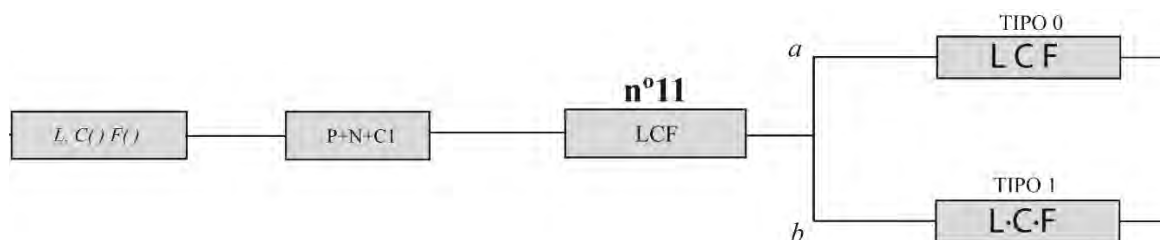


Figura 142.- Familia de sellos de L. C(---) F(---) de la *Belliciana*.

11- LCF

Ref: CIL XV 2746a; Ponsich 1979: p.116. n°127, f.41.05.

Dat: Testaccio, Sep. I, *in tectis cellarum* (antoniniano ?) (CIL XV 2746a). Forma E (figura 159, n° 13).

Estr: TRIA NOMINA.

Lec: L. C(---) F(---).

a) Sin puntos.



BBSM. n° 237

b) Puntos triangulares hacia arriba separando los elementos de los *tria nomina*.



BBSM. n°74

En el Testaccio lo tenemos entre el material removido que apunta hacia una cronología antoniniana. La tipología de las asas cortas donde se sitúan aclara esta situación a favor de una forma E. En alguno de nuestros ejemplares no se observan los puntos (matriz a), aunque no sabemos si obedecen a una mala impresión o a que, efectivamente, los sellos de este personaje proceden de dos matrices distintas caracterizadas por esta circunstancia. Los ejemplares de Dressel (Testaccio) y el de Ponsich (Cortijo de Romero), con puntos. Esta misma lectura es conocida en talleres vecinos: Cortijo del Mohíno y Cerro de los Pesebres –*Scalensia*- y en todos los casos presentan un diseño muy similar. Presenta la misma inicial del gentilicio que los sellos de la *Belliciana*: CCBEL (claudio) (n° 10), SCAESIB (flavio) (n° 13), con dudas, y LCK (n°12), sin datación

Cerro de los Pesebres: LCF (Remesal 1989: n°4, Barea *et al.* 2008: n°4),

Cortijo del Mohíno: *vide* 5.2.3, LCF (n°4); SCAESIT (n°5).

•••

12.- LCK[...?]

Ref: Remesal 1989: n°4 (LCF).

Dat. Forma E (?) -tip- (hallada sobre asa pequeña, Remesal 1989: n°4)

Estr: TRIA NOMINA.

Lec: L.C(---) K(a---



BBSM. n° 3973.

Puntos triangulares separando los diversos elementos de los *tria nomina*. Presenta un diseño muy parecido al sello LCF (n°11b) aunque con las letras de menor tamaño. Remesal publica en el vecino Cerro de los Pesebres, un ejemplar mal impreso leído LCF, pero sustancialmente idéntico al que nos ocupa (Remesal 1989: n°4). Fue hallado sobre un asa corta, dato que apunta hacia una forma E. En nuestro ejemplar de Cerro de los Pesebres, también leído LC[F, no se observa la inicial del *cognomen*. Para el posible grupo familiar, véanse comentarios al sello LCF (n°11).

13.- SCAESIB

Ref: Ponsich 1979: p.117. n°127, f.40.16 (SCAEL[---]); Ponsich 1979: p.117. n°127, f.41.04 (SAELIB); col. Marsal, Chic 2001: p.71 (SCAELTB).

Dat: Forma B-C (figura 159, nums. 14-15).

Estr: TRIA NOMINA+ TOPÓNIMO.

Lec: *S. Cae(---) Si(---) B(elliciana) vel S. Caesi B(elliciana)*.



Rec: BBSM n°s. 93 + 109 + 269 + 373.

Las dos "S" se presentan reflejadas. Puntos de separación antes y tras la "B" final. Chic lee SCAELTB a partir de ejemplares de la col. Marsal. En ninguno de nuestros ejemplos se advierte el travesañero superior de la supuesta "T". También conocemos la lectura SCAESIT (*vide* 5.2.3, n°5), que veremos entre los sellos de la *Tallianensia* (Cortijo del Mohino). Ambas series presentan idéntico diseño y contenido análogo, de modo que la última letra de ambos sellos debe interpretarse como TOPÓNIMO: *Belliciana* y *Talliane*<n>*sia*. Datamos la serie tipológicamente en época flavia.



Rec: BBSM n°s. 93 + 109 + 269 + 373 (Cortijo de Romero)



BBSM. n° 358 (Cortijo del Mohino)

Figura 143.- Estudio comparativo entre los sellos SCAESIB de la *Belliciana* y SCAESIT de la *Talliane(n)sia*.

14.- LFCCVF[S

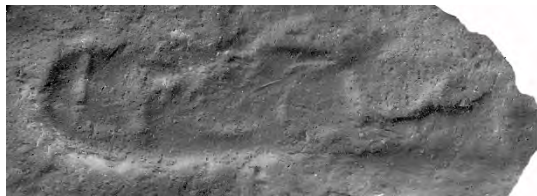
Ref: CIL XV 2594a; Ponsich 1979: p.117. n°127, f.41.06 (LFCCV[---])

Dat: (6 ej.) ca. 220-224 d.C. -contex.- (Testaccio 2001: n° 462d.)

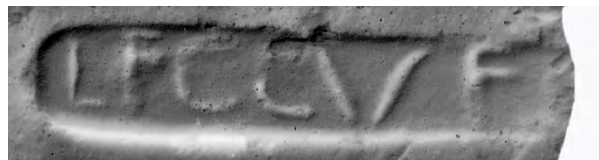
LP: *Figlina Scalensia* (Cerro de los Pesebres).

Estr: TRIA NOMINA + ATRIBUTO #1 + ATRIBUTO #3 + TOPÓNIMO.

Lec: *L. F(---) C(---) c(larissimi) v(iri) (ex) f(iglinis) S(calensibus).*



Ponsich 1979: p.122, fig. 41,6.



BBSM. n° 28.

En ninguno de los ejemplares se observa el nombre del taller, aunque no resulta difícil relacionarlos con producciones de la *figlina Scalensia* del vecino Cerro de los Pesebres. Corresponden a la misma matriz del sello LFCCVFS (Barea *et al.* 2008: n°5n), caracterizada por presentar la "V" abierta y ligada a la "C" anterior. Sellos procedentes de esta matriz cuentan con una datación del Testaccio para ca. 220-224 d.C. -contex-. Los sellos del s.III d.C. que conocemos en la *Belliciana* parecen responder a contaminaciones de grandes producciones procedentes de talleres vecinos -*Scalensia* y *M(---)*- pertenecientes al varios miembros del grupo familiar de *nomen F(---)*: *L.F(---) C(---)*, *G.F(---) S(---)* (n°15) y *C.F(---) Titianus* (n°16). No tenemos epigrafía conocida para nuestro taller a partir del tercer cuarto del s.II d.C. Se han recuperado en Cortijo de Romero algunos fragmentos de Dressel 23.

Cerro de los Pesebres: LFCCVFS (Bonsor1931: n° 22, 23; Remesal 1989: n°6, Barea *et al.* 2008: n°5).

Centros de consumo: LFCCVFS (Remesal en Testaccio 1992: n°462, dat: ca. 220-224 d.C. -contex).

15.- GFSCVFM

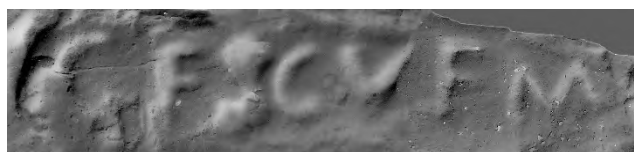
Ref: CIL XV 2602.

Dat: ca. 252-254 d.C.-contex- (Testaccio 2007: n° 564a).

LP: *Figlina M()* (Barranco de Picachos).

Estr: TRIA NOMINA + ATRIBUTO #1 + ATRIBUTO #3 + TOPÓNIMO.

Lec: *G. F(---) S(---) c(larissimi) v(iri) (ex) f(iglinis) M(---).*



Rec: BBSM. n°s. 145 + 392 + 4427.

Tres ejemplares extraídos de la misma matriz, foráneos en la *Belliciana* y procedentes la *figlina M(---)* del vecino Picachos, cerca de Posadas. Por su posición en el Testaccio, el sello GFSCVFM debe datarse hacia mediados del s.III d.C., aspecto este último confirmado por dos ejemplares de las modernas excavaciones del Monte que nos proporcionan dataciones contextuales de ca. 252-254 d.C. Relaciónese con los sellos LFCCVF[S (n°14) y CFTITIANICVEFM (n°16)

Centros de Consumo: GFSCVFC (Test. CIL XV 2621); GFSCVFM (Remesal en Testaccio 2007: n°564b).

16.- CFTITIANICVEFM

Ref: CIL XV 3264 (CFTITINICVEFR).

Dat: mediados s.III d.C. -tip- Sala, Marruecos, (Boube 1975: n°17, fig.17, pl. IV.17).

LP: Figlina M() (Barranco de Picachos).

Estr: TRIA NOMINA + ATRIBUTO #1 + ATRIBUTO #3 + TOPÓNIMO.

Lec: C. F(---) Titiani c(larissimi) v(iri) e(x) f(iglinis) M(---).



Remesal n° 81/48.

Un ejemplar hallado por Remesal, foráneo en la *Belliciana* y procedente del *figlina M()* del taller de Picachos, situado río arriba, cerca de Posadas. Conocemos, al menos, dos matrices con esta lectura, una con nexo "A^N" en el *cognomen* (CIL XV 3264) y la que nos ocupa, que no presenta nexos. Relaciónese con los sellos del grupo familiar de *nomen F()*: *L.F(---) C(---)* (n°14) y *G.F(---) S(---)* (n°15).

Familia de sellos de *Q. S(---) A(---)*. (nums. 17-18).

La familia de sellos de *Q.S(---) A(---)* está formada, hasta el momento, por 1 estructura, 2 lecturas y 2 matrices distintas (figura 144), que pasamos a desarrollar:

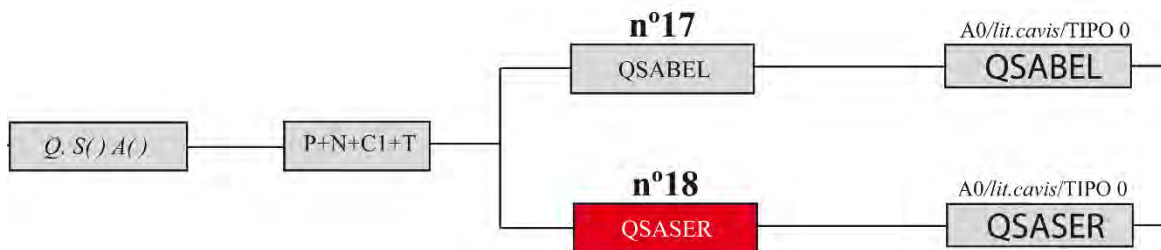


Figura 144.- Familia de sellos de *Q. S(---) A(---)*.

17.- QSABEL

Ref: CIL XV 3163a = Callender: n° 1497; Ponsich 1979: p.127 f.40,13-15.

Dat: ca. 161 d.C. -contex- (Testaccio 2001: n° 511a). Forma E -tip- (figura 159, nums. 10-11)

Estr: TRIA NOMINA + TOPÓNIMO.

Lec: *Q.S(ervi---?) A(---) Bel(liciana)*.



BBSM. n°s. 56 + 131 + 298 + 302 + 328.

18.- QSASER

Ref: CIL XV 3163c, d; Callender: n°1499; CIL VII 106; Carreras & Funari 1998: n°448.

Dat: ca 161 d.C. -contex- (Testaccio 1994: n° 311a d.C.); ca. 153-161 d.C. -contex.- (Remesal en Testaccio 1999 029a,b). Forma E -tip- (figura 159, n°12)

LP: *Figlina Servi(---)* del vecino Cortijo del Mohíno.

Estr: TRIA NOMINA + TOPÓNIMO

Lec: *Q.S(ervi---?) A(---) Ser(vi---)*.



BBSM. n° 374.

Dos ejemplares foráneos producidos en la *figlina Servi(---)* del vecino Cortijo del Mohíno. Conocemos al menos dos matrices de este sello, la que nos ocupa y otra que presenta nexo final "E^R" (vide 5.2.3, n°7)

Comentarios de la familia.

Presenta idéntico diseño y contenido análogo a los sellos QSASC (*Scalensia*, Cerro de los Pesebres) y QSASER (*Servi()*, Cortijo del Mohíno), todos ellos bien datados por el Testaccio en el tercer cuarto del s.II d.C (vide 2.4.3, figura 84). Relaciónese con los sellos hallados en esta zona del Guadalquivir: QSC (*Belliciana* y *Tallianensia*, claudio), QSP (Encinarejo Bajo (?), Nerón-Vespasiano) y LSAR (Encinarejo Bajo, mediados del s.II d.C.). Hemos planteado como hipótesis que el nombre de la *figlina Servi(---)* (Cortijo del Mohíno), pudiese derivar del gentilicio de este grupo familiar (Barea *et al.*. 2008: p.133, nota 119).

Cortijo del Mohíno: vide 5.2.3, QSC (n° 8) y QSASER (n° 7).

Cerro de los Pesebres: QSASC (Remesal 1989: n°10, Barea *et al.*.2008: n°5).

Villacisneros: LSAR (Chic 2001: p.358, hace referencia a material inédito localizado en este alfar por Remesal).

Encinarejo bajo ó Casas del Encinarejo: QSP (localizado un ejemplar en este alfar por Remesal, material inédito, comentado en Carreras & Funari 1998: n°437; LSAR (material inédito).

Centros de Consumo: QSABEL (Testaccio 2001: n°511a, dat. ca. 161 d.C. -contex.-). QSASER (Remesal en Testaccio 1999 029a, dat. ca. 153-161 d.C. -contex.-). QSP (Albufereta I, Fernández *et al.* 2007: n° 9 = Márquez & Molina 2005: n°254 a-d, dat. Nerón-Vespasiano). QSC (Mainz, Ehmgig 2003: n°164, dat: flavia -tip-). LSAR (Test. CIL XV 3141, *litt.* B, -ca.145-149- d.C., *litt.* C -ca.145-161 d.C.-, Saint Gervais 3, Amar & Liou 1984: 154, dat: mediados del s.II d.C.).

Familia de sellos de *Q. S(---) C(---)* (nums. 19 a1-a2).

La familia de sellos de *Q.S(---) C(---)* está formada, hasta el momento, por 1 estructura, 1 lectura y 2 matrices distintas (figura 145), que pasamos a desarrollar:

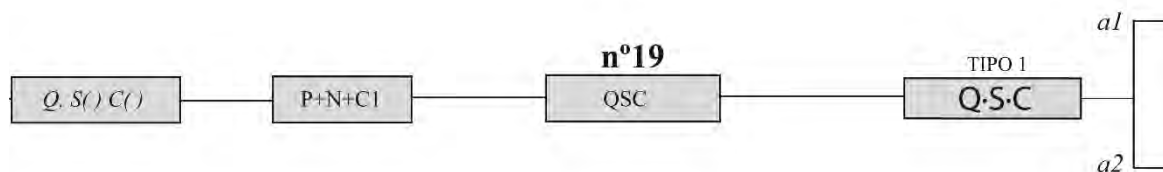


Figura 145.- Familia de sellos de *Q. S(---) C(---)*.

19.- QSC

Ref: Ponsich 1979: p.116, nº127 fig.41.08 (QSO)

Dat: flavia –tip- (Mainz, Ehmig 2003: nº164). Formas A-B -tip- (figura 159, nº 4).

Estr: TRIA NOMINA.

Lec: *Q.S(ervi---?) C(---)*.

a1) Triángulo apuntado a la izquierda separación entre *praenomen/nomen* y con forma indefinida entre *nomen/cognomen*.



BBSM. nº 271.

a2) Punto entre *praenomen/nomen*. La letra "S" se separa del *praenomen* y se acerca a la "C" final.



Rec:Ponsich 1979. p.122, fig. 41-8.

Parecen procedentes de, al menos, dos matrices distintas, aunque ambas presentan un diseño ciertamente homogéneo. El ejemplar de Ponsich, para este mismo taller, leído QSO. También lo conocemos entre las series de cortijo del Mohíno procedente de otra matriz (*vide* 5.2.3, nº8). Este sello cuenta con un paralelo hallado en Mainz sobre un asa de época flavia. En nuestro caso contamos con un sello de la serie sobre asa completa que, por su tipología, apunta hacia una fase cronológica preflavia (formas A-B). El grupo familiar y el posible desarrollo del *nomen* se estudia en el sello QSABEL (nº17).

5.2.2.2.- COGNOMINA.

Las familias de sellos formadas a partir de los COGNOMINA hallados en Cortijo de Romero se dividen en dos grupos si atendemos al TOPÓNIMO al que se asocian: la propia *Belliciana* y la *figlina Trop(himiana)* (?).

COGNOMINA asociados a la *Belliciana*.

Formada por 30 familias, 7 estructuras, 48 lecturas y 60 matrices distintas, que pasamos a describir.

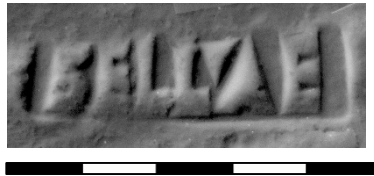
20.- BELLIAE

Ref: Sin referencias previas conocidas.

Dat: Forma D (?) -tip- (figura 159, nº 17)

Estr: TOPÓNIMO + COGNOMEN

Lec: *Belli(ciana) Ae(---)*



BBSM. nº 101.

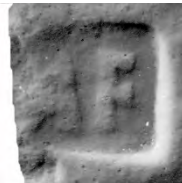
Un ejemplar sobre asa incompleta que apunta, con dudas, hacia una forma D.

21.- BELLIAF (?)

Ref: Col. Marsal. Chic 2001: p.306 (BELLIAF)

Estr: TOPÓNIMO + COGNOMEN. (?)

Lec: *Belli(ciana) Af(---)* (?).



Remesal nº 81/36.

Un ejemplar incompleto recuperado por Remesal. En la colección Marsal contamos con la lectura BELLIAF para un ejemplar hallado en Cortijo de Romero (Chic 2001: p.306). No contamos con referencias gráficas para los sellos de la col. Marsal. En el vecino Cerro de los Pesebres contamos con el sello AFI *vel* AVFI (Barea *et al.* 2008: nº18) con datación tipológica de la forma E.

Familia de sellos de *Avctinus* (nums. 22-26).

La familia de sellos de *Avctinus* está formada, hasta el momento, por 3 estructuras (?), 5 lecturas y 8 matrices distintas (figura 146), que pasamos a desarrollar:

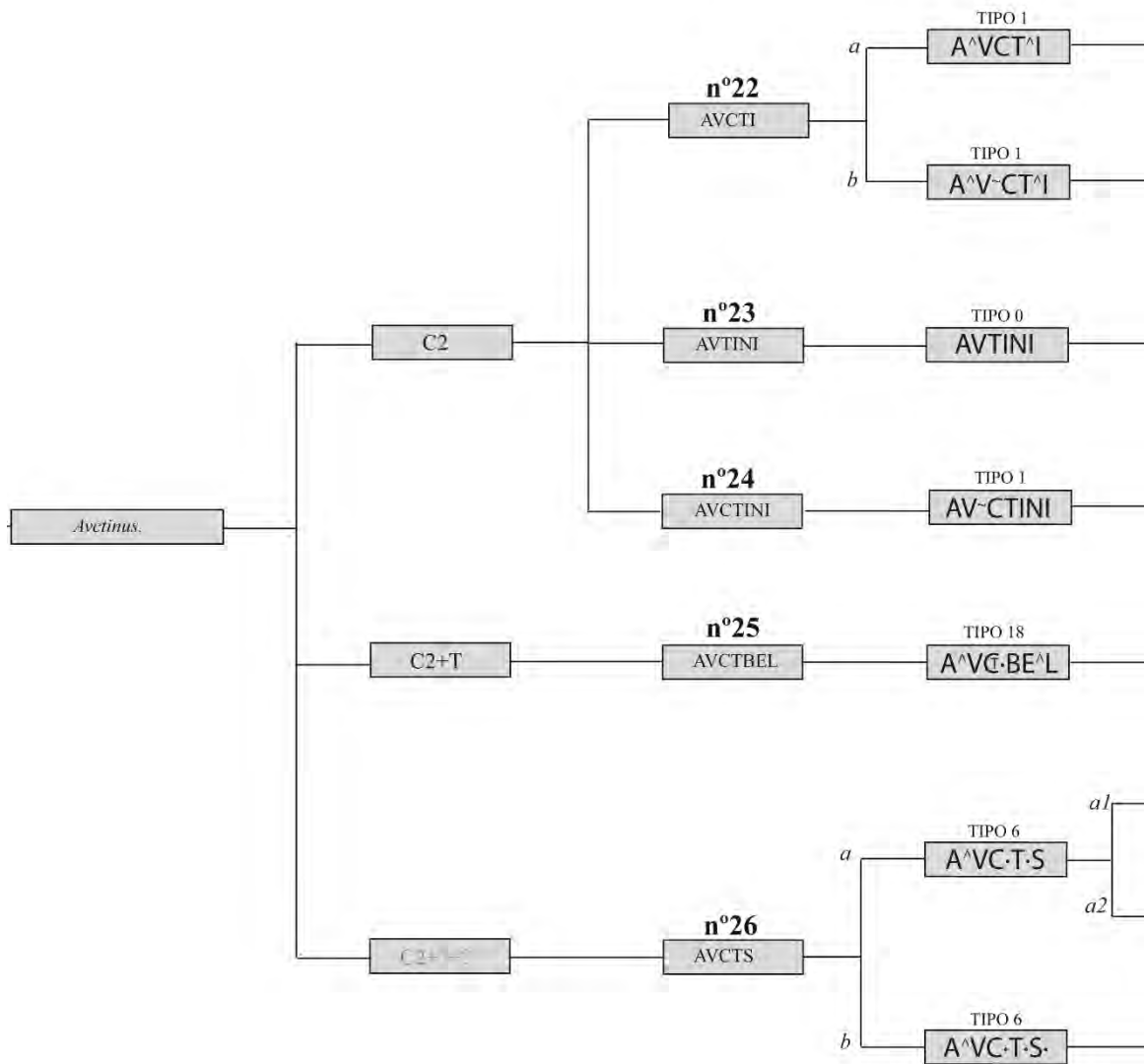


Figura 146.- Familia de sellos de *Avctinus*.

22.- AVCTI

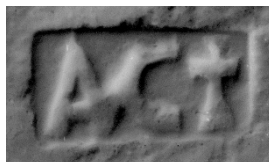
Ref: sin referencias previas conocidas.

Dat: Forma A -tip- (figura 159, n° 20).

Estr: COGNOMEN

Lec: *Avcti(ni)*.

a) Nexos "A^V~C" y "T^I".



BBSM. n° 76.

b) Nexos "A^V" y "T^I".



Rec: BBSM. n°s. 151 + 300.

23- AV<C>TINI

Ref: Ponsich 1979: p.117. n°127, f.40.11-12.(AV<C>TINI, ---]TINI)

Estr: COGNOMEN

Lec: *Av<c>tini.*



Ponsich 1979. p.116, n° 127, fig.40.11.

24.- AVCTINI

Ref: Chic 1985: p.27.

Dat: Forma A -tip- (Figura 160, n° 21)

Estr: COGNOMEN

Lec: *Avctini.*



Rec: BBSM. n°s. 19 + 136.

El ejemplar BBSM. n°136a asociado al sello BELLICIAN (n°74c).

25.- AVCTBEL

Ref: Almer & Dissard 1888: n° 159 = CIL XIII 10002.10 = Callender: n° 1808a = Étienne & Mayet 2004: 167.

Dat: Trajanea -tip- (Trion: Étienne & Mayet 2004: 167); Forma A o B (?) (figura 159, n° 19).

Estr: COGNOMEN + TOPÓNIMO

Lec: *Avctini Bel(liciana).*



Rec: BBSM. n°s. 117 + 179.

Proponemos esta reconstrucción de la matriz apoyándonos en el paralelo de Étienne & Mayet 2004: n°167, donde no llegaron a distinguir la pequeña letra "T" dentro de la "C".



Mayet 2004: n°167.

Como hemos visto, el sello presenta la "T" inscrita en la "C" y dudamos de si podría incluir un nexa "E^L" final, de ahí que el trazo vertical de la "E" sobresalga un poco en la parte superior, para dejar paso a la "L".

26.- AVCTS

Ref: CIL XII 5683.38; Callender: n° 156, fig.4.4.; Ponsich 1979: p.117. n°127, f.40.01-10.

Dat: Forma A -tip- (-Saint-Romain-en-Gal- Étienne & Mayet 2004: n° 169a). Forma A -tip- (figura 159, n° 18)

Estr: (?)

Lec: *Avc(tinus) T(---) S(---) vel Avc(tinus) T() s(ervus).*

a1) Presenta dos puntos triangulares.



Rec .BBSM. num. 015 +114+246+277.

a2) Presenta dos puntos triangulares situados algo más bajos que en el sello anterior.



BBSM. n° 200.

b) Caracterizada por presentar letras estilizadas y tres puntos.



BBSM. n° 122.

Ponsich y Remesal también recuperaron un buen número de ejemplares de esta serie y son los más abundantes hasta ahora del taller (46 ej.). Tenemos dudas en cuanto a su desarrollo. Los ejemplares presentan puntos separando las letras "C·T" y "T·S", en algún caso también presenta punto tras la "S" final, de los que no podemos establecer si son decorativos o dividen el sello en

varios elementos. Si los tenemos en consideración, debemos desarrollar: *Avc(tini) T(---) S(---)* (Étienne & Mayet 2004: n° 169) o *Avc(tinus) T(---) s(ervus)* (Berni 2008: p.445, figura 142, n°7).

Comentarios a la familia.

La familia de sellos parece corresponder a un mismo individuo de nombre *Avctinus* con actividad en 30-50 d.C. La acumulación de lecturas distintas nos revela un largo periodo de actividad con volumen de producción notable. El personaje aparece en la serie, solo o seguido del nombre del taller y presenta diversos desarrollos *Auct(ini)*, *Aucti(ni)*, *Au<c>tini* o *Auctini*. Los sellos nums. 23 y 24 abren la serie de los sellos con letras de gran tamaño de la *Belliciana*, que cuentan con estructuras mono-nominales que incluyen unos *cognomina* muy desarrollados: AVCTINI (n°23-24), BERITI (n°28), FAVSTI (n°30) y SAVLICVLI (n°58). Al menos en dos casos, los sellos de este grupo homogéneo se asociaban a otros que incluyen el nombre del taller: AVCTINI + BELLICIAN, FAVSTI + BELLICL. Creemos que todos estos sellos fueron concebidos conjuntamente y que corresponde a una de las primeras fases del taller a datar con las primeras ánforas Dressel 20 en ca.30-50 d.C. (forma A).

•••

27.- FVNBELARPI (?)

Ref: Remesal en Testaccio 1999: n° 16a.

Dat: ca 153-161 d.C. -contex- (Remesal en Testaccio 1999: n° 16a.)

Estr: ATRIBUTO #3 + TOPÓNIMO + COGNOMEN *vel* ATRIBUTO #3 + TOPÓNIMO + (?).

Lec: *fun(di) Bel(liciani) Arpi() vel R() Pi() vel R() P() I()*.



Remesal en Testaccio 1999: 16a

Sello procedente de las modernas excavaciones del Testaccio, sin paralelos en la Bética y de difícil interpretación. Parece hacer alusión a un *fun(dus) Bel(licianus)*. El ejemplar del Testaccio situado junto al pivote del ánfora (*in pede*), lo cual no es la norma en el taller, que suele sellar en las asas, aunque conocemos otro posible caso con esa particularidad: BELIC (Remesal 1986: 51c). Ni su diseño, ni su estructura, apoyan su relación con las producciones de la *Belliciana*.

28.- B|ERITI

Ref: Sin referencias previas conocidas.

Dat: Forma A (figura 160, n° 22-23).

Estr: COGNOMEN

Lec: *Beriti vel Beriti(ni)*



Rec: BBSM. n°s. 126 + 146.

En ninguno de los ejemplares que aportamos se observa completa la primera letra, que interpretamos como una "B" para reponer un *cognomen Beritius* (CIL 14, 02341 = AE 1991, 00384) o *Beritinus* (CIL 12, 00002, p. 803). Relaciónese por diseño y contenido análogo con los sellos AV<C>TINI (nº23), AVCTINI (nº24), FAVSTI (nº30) y SAVLICVLI (nº58), datados por su tipología en ca 30-50 d.C. (forma A).

BELNETELENI Ver nº47

29.- F

Ref: Berni 2008: p.72 fig.18.

Dat: Forma A (?) -tip- (Figura 160, nº24).

Estr: COGNOMEN

Lec: F(---)



BBSM. nº 100.

Un único ejemplar sobre un asa incompleta, pero afín a la forma A. En la epigrafía sobre Dressel 20 no son frecuentes los sellos mono-literales. Tampoco las cartelas circulares. Ambos detalles de diseño creemos que se pueden considerar “arcaicos” en la Dressel 20 y parecen apoyar la posibilidad de que se trate de una de las primeras producciones selladas del taller. No descartamos que corresponda una tipología anfórica ovoide pre-Dressel 20.

Familia de sellos de *Faust(us, inus, inianus)* (nums. 30-35).

La familia de sellos de sellos de *Faust(us, inus, inianus)* está formada, hasta el momento, por 3 estructuras, 6 lecturas y 6 matrices distintas (figura 147), que pasamos a desarrollar:

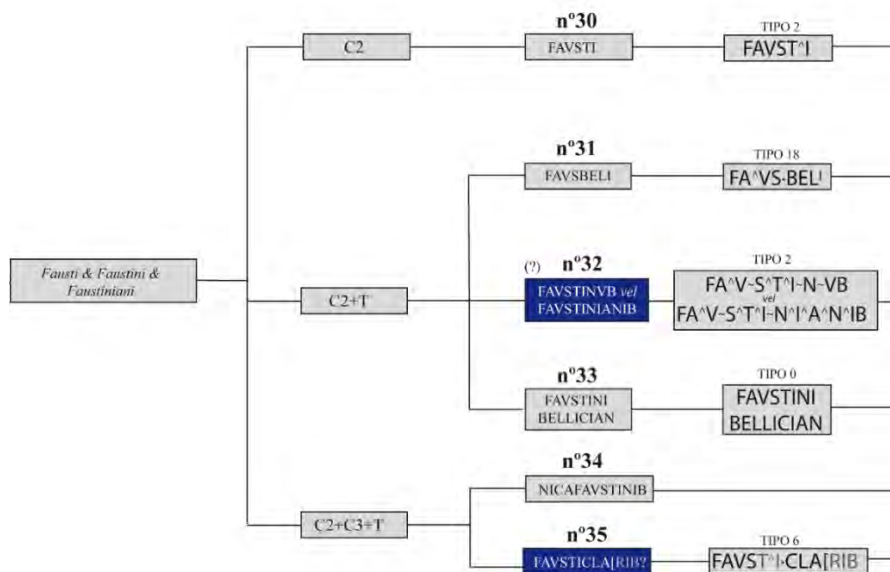


Figura 147.- Familia de sellos de *Faust(us, inus, inianus)*.

30.- FAVSTI

Ref: Sin referencias previas conocidas.

Dat: Forma A (Figura 160, nums. 26-27).

Estr: COGNOMEN.

Lec: *Favsti(-,ni, niani)*.



Rec: BSM. n°s. 14 + 207.

El ejemplar BBSM.n°14a, asociado en la misma asa al sello BELLICI (n° 73c). Relaciónese por diseño y contenido análogo con los sellos AV<C>TINI (n°23), AVCTINI (n°24), BERITI (n°28) y SAVLICVLI (n°58), datados por su tipología en *ca* 30-50 d.C. (forma A).

31.- FAVSBELLI

Ref: Col. Marsal. Chic 2001: p. 72 (FAVSBE)

Dat. Formas A o B -diseño de la matriz- (*cf.* n° 38)

Estr: COGNOMEN + TOPÓNIMO.

Lec: *Favs(ti, tini, tiniani) Belli(ciana)*



Rec: Remesal 81/39 + BBSM. n°s. 137 + 155.

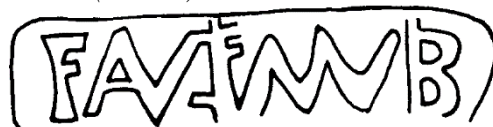
Punto triangular hacia abajo entre *cognomen/topónimo* y nexos "A^V". Podríamos tener una "I" pequeña incluida en el cartucho de la "L" anterior. El paralelo de la colección Marsal leído FAVSBE, sin referencia gráfica del ejemplar. Por diseño y contenido análogo, relaciónese con los sellos AVCTBEL (n°25), FORTVBEL (n°38) y NICBEL (n°50), lo que le confiere una cronología de época de Caudio-Nerón (formas A o B).

32.- FAVSTINIB *vel* FAVSTINIANIB

Ref: Callender n° 611d. (imagen: fig.7-24)

Estr: COGNOMEN + TOPÓNIMO..

Lec: *Favstinu(s) vel Favstiniani Bel(liciana)*.



Carreras & Funari 1998:n°215.

Sello hallado en Londres, sin paralelos en la Bética, y de difícil desarrollo por lo intrincado del nexos.

33.- FAVSTINI/BELLIAN

Ref: CIL XV 3457= Callender: n°611e; Chic 1985: p.28, n°225 (FAVS[...//BELLIC[---])

Dat: Forma B (Figura 160, n° 28)

Estr: COGNOMEN + TOPÓNIMO.

Lec: *Favstini Bellician(a)*.



Rec: BBSM. n°s. 57 + 66 + 70 + 296 + 6631.

Relaciónese con los otros dos sellos resueltos en dos líneas de texto, que incluimos en este *corpus*, NICA/BELLICI (n°51) y NICEROTI//BELLICIA (n°52), correspondientes a una misma fase productiva. Los sellos en dos líneas son raros en el s. I d.C. y están mejor representados en el s.III d.C. (Rodríguez Almeida 1974-1975: 224; 1995: 387 y fig. 11).

Estos sellos presentan varias peculiaridades. La más evidente sería su diseño en dos líneas. También por ser los únicos casos en que una estructura COGNOMEN + TOPÓNIMO, presenta un diseño de letras pequeñas (aunque resulta un sello bastante grande) e incluir el TOPÓNIMO muy desarrollado. El resto del grupo con esta estructura incluye las lecturas AVCTIBEL (n°25), FAVSBELLI (n°31), FORTVBEL (n°38) y NICBEL (n°50), todos en sellos de una sola línea, de letras de gran tamaño y el TOPÓNIMO poco desarrollado, que datamos un poco antes, con Claudio-Nerón, formas A o B.

34.- NICAFAVSTINIB

Ref: Chic 2001:p.380.

Estr: COGNOMEN + COGNOMEN + TOPÓNIMO.

Lec: *Nica() (et) Favstini B(elliciana)*.

Sin imagen. La asociación de dos COGNOMINA es una estructura muy infrecuente. También la tenemos en el sello siguiente y en las producciones de la *Scalensia*: serie de *Telephus* (Barea *et al.* num. 10 y 14), y en el sello incompleto ---]AGRBAR (Barea *et al.* n°16).

35.- FAVSTICLA[RIB (?)

Ref: Ehmig 2007: taf.39.639.

Estr: COGNOMEN + TOPÓNIMO (?).

Lec: *Favsti(-tini) (et) Clar(i) B(elliciana) (?)*



Ehmig 2007: taf.39.639.

Sello hallado en Mainz (Alemania), sin paralelos en la Bética. Conocemos el sello CLARI asociado en la misma asa a otro de lectura TAL en el vecino Cortijo del Mohíno (*vide* 5.2.3, n° 38). En la *Scalensa* contamos con el sello CLARINI (Barea *et al.* n° 22a), sin datación.

Familia de sellos de *Fortu()* (nums. 36-38).

La familia de sellos de sellos de *Fortu()* está formada, hasta el momento, por 3 estructuras, 3 lecturas y 3 matrices distintas (figura 148), que pasamos a desarrollar:

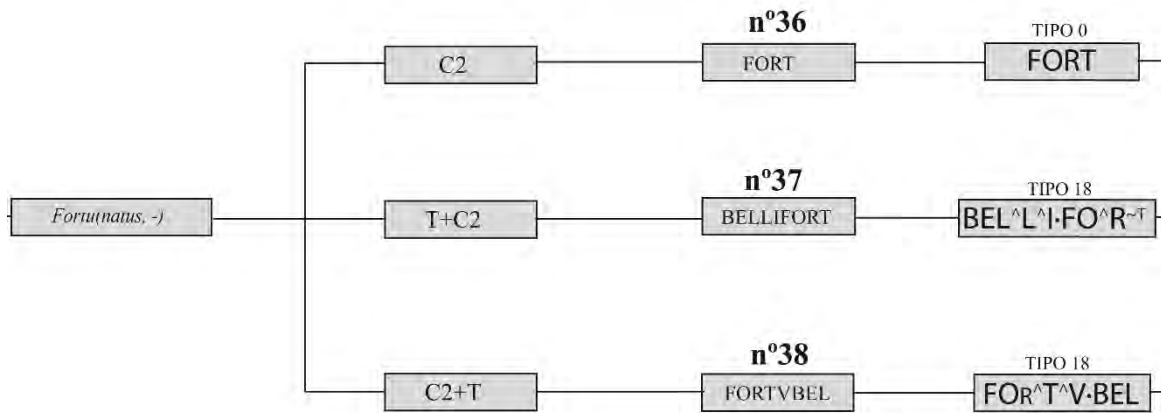


Figura 148.- Familia de sellos de *Fortu()*.

36.- FORT

Ref: Sin referencias anteriores conocidas.

Dat: Forma B (Figura 160, nums. 31-32)

Estr: COGNOMEN.

Lec: *Fort(---)*.



BBSM. n° 214.

37.- BELLIFORT

Ref: Ponsich 1979: p.117. n°127, f.39.09 (BELI[---])

Dat: Forma B o B-C (Figura 160, nums. 29-30)

Estr: TOPÓNIMO + COGNOMEN.

Lec: *Belli(ciana) Fort(---)*.



BBSM. n° 23.

El ejemplar de Ponsich incompleto. El sello presenta nexos "L^L^I" y "O^R~T" al incluirse una diminuta "T" sobre la "O".

38.- FORTVBEL

Ref: Sin referencias anteriores conocidas.

Dat: Formas A - B (Figura 160, nº 33)

Estr: COGNOMEN + TOPÓNIMO.

Lec: *Fortv(---) + Belli(ciana)*.



Rec: BBSM. n.ºs. 37 + 414.

Intrincado nexa "R^TV", con la "R" de menor tamaño al resto de las letras de la inscripción. El creativo diseño de los nexos parece una constante de la serie. Relaciónese, por diseño y contenido análogo, con la serie AVCTIBEL (nº25), FAVSBELLI (nº31) y NICBEL (nº50), datados por su tipología en época de Claudio-Nerón (formas A o B)

En la familia de sellos de *Fortu()* tenemos tres estructuras: COGNOMEN y las estructuras complementarias COGNOMEN + TOPÓNIMO y TOPÓNIMO + COGNOMEN. En Cerro de los Pesebres (*Scalensia*) tenemos los sellos SCALESAFO y SCALESIAFOR (flavia) y en Huertas de Belén (*Saxo Ferreo*) FORTVNATI y FORTVNATIM (Nerón-Vespasiano).

Cerro de los Pesebres: SCALESAFOR (Barea *et al.* 2008: nº28)

Huertas de Belén: FORTVNATIM (Bonsor1931: nº24); FORTVNATI (Chic 2001: p.76: pecio de la Albufereta I, Fernández Izquierdo *et al.* 2007: nº5, dat. Nerón-Vespasiano).

Familia de sellos de *L()* (nums. 39-40).

La familia de sellos de *L()* está formada, hasta el momento, por 1 estructuras, 2 lecturas y 2 matrices distintas (figura 149), que pasamos a desarrollar:

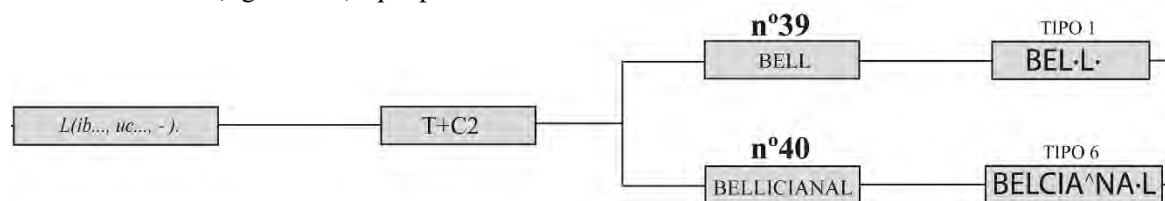


Figura 149.- Familia de sellos de *L()*.

39.- BELL

Ref: Étienne & Mayet 2004: nº 192b (BEL·L)

Estr: TOPÓNIMO + COGNOMEN.

Lec: *Bel(liciana) L(---)*.



BBSM. nº 256.

El triángulo que separa ambas "L" parece indicar la presencia de un elemento más que podemos identificar con un COGNOMEN. Tanto lo podemos relacionar con la serie de *Lib(---)* (num.41-43), como con la de *Luc(---)* (num.44-46). Por diseño y contenido lo datamos durante la primera mitad del s.II d.C.

40.- BELLICIANAL

Ref: Chic 1985: p. 28, f.219 = Étienne & Mayet 2004: n° 192a.

Dat: C o D (?) -tip- (figura 160, num. 34-35). Segunda mitad s.I d.C. -diseño de la matriz- (cf. n°56)

Estr: TOPÓNIMO + COGNOMEN.

Lec: *Belliciana L(---)*.



Rec: Ponsich 116, n° 127, -sin img.- + BBSM. n°s. 285 + 400.

Ponsich no recogió su ejemplar en la publicación. Lo podemos relacionar por el diseño de la matriz con el sello BELLICANARE (n°56). Los dos sellos de la familia de sellos de *L()* presentan la misma estructura, pero la diferencia en el desarrollo del TOPÓNIMO -BEL y BELLICIANA- los situaría en producciones distantes en el tiempo, de modo que los sellos pueden hacer alusión a dos personajes distintos, uno activo con los Flavios (BELLICIANAL), y el otro durante la primera mitad del s.II d.C.(BELL).

Familia de sellos de Li(b--) & Lib(---) & Lyb(---) (num. 41-43).

La familia de sellos de sellos de *Lib()* o *Lyb()* está formada, hasta el momento, por 1 estructuras, 3 lecturas y 3 matrices distintas (figura 150), que pasamos a desarrollar:

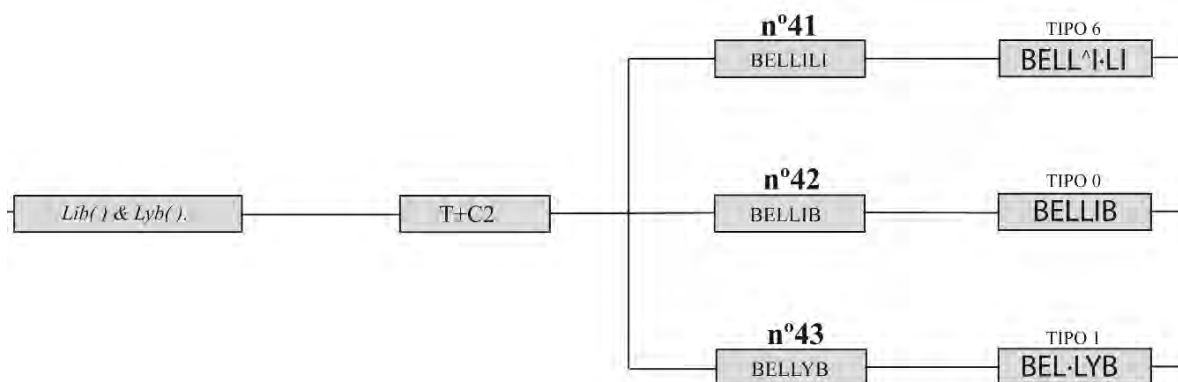


Figura 150.- Familia de sellos de *Lib()*.

41.- BELLI·LI

Ref: Sin referencias previas conocidas.

Dat: Forma D -tip- (Figura 160, n° 39).

Estr: TOPÓNIMO + COGNOMEN.

Lec: *Belli(ciana) Li(b---)*.



BBSM. n°274.

Nexo "L^I", punto triangular hacia arriba separando TOPÓNIMO/COGNOMEN. Letras muy cuidadas. Presenta idéntico diseño y contenido análogo a los sellos BELLI·AE (n°20) y BELLI·LV (n°45), que componen un juego de matrices que se usaron al mismo tiempo en algún momento de la primera mitad del s.II d.C.

42.- BELLIB

Ref: Col. Marsal. Chic 2001: p.306.

Dat: Flavio-trajanea -tip- (Colonia, Remesal 1986: n°51b = Remesal 1997: n°59a); Forma D -tip- (Figura 160, n° 40)

Estr: TOPÓNIMO + COGNOMEN.

Lec: *Bel(liciana) Lib(---) vel Belli(ciana) B(---)*.



BBSM. n° 224.

No presenta signos de puntuación que nos ayuden a desarrollarlo. De este modo, tanto puede desarrollarse *Bel(liciana) Lib(---)*, y relacionarlo con la familia de sellos que no ocupa, o como *Belli(ciana) B(---)* y con esta lectura lo encontramos en Remesal 1997: n° 59a.

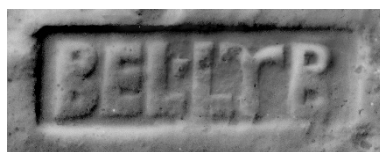
43.- BELLYB

Ref: Ponsich 1979: p.117, n°127, f.39.19; Col. Marsal, Chic 2001: p. 306 (BELLYB, BELLTB)

Dat: Forma C-D -tip- (Figura 161, n° 43)

Estr: TOPÓNIMO + COGNOMEN.

Lec: *Bel(liciana) Lyb(icus?)*.



Rec: BBSM. n°s. 103 + 321.

El curioso diseño de la "Y" griega ha llevado a interpretarla como una "T" - Col. Marsal, Chic 2001: p. 306 (BELLTB). En la *Scalensia* contamos con el sello SCALESIALIB (Barea *et al.*. 2008: n°36), datado a principio de época flavia.

Familia de sellos de *Luc()* (nums. 44-46).

La familia de sellos de sellos de *Luc()* está formada, hasta el momento, por 1 estructuras, 3 lecturas y 4 matrices distintas (figura 151), que pasamos a desarrollar:

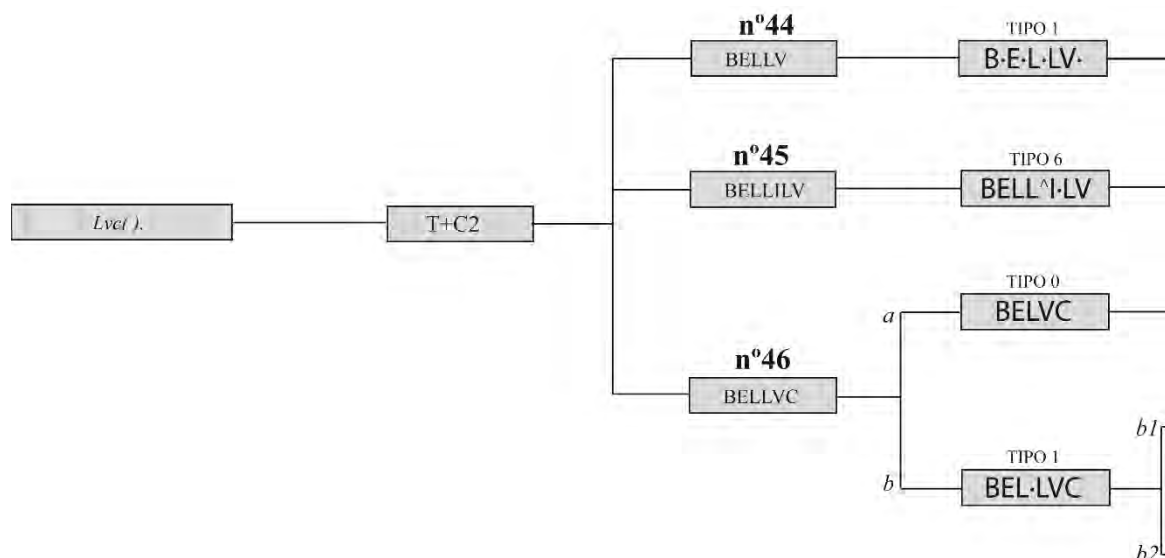


Figura 151.- Familia de sellos de *Luc()*.

44.- BELLV

Ref: CIL XIII 10002.9a

Dat: Forma C-D -tip- (Figura 160, n° 38).

Estr: Topónimo + *Cognomen*.

Lec: *Bel(liciana) Lu(c---*).



BBSM. n° 17.

El sello presenta puntos triangulares entre las letras del TOPÓNIMO: B·E·L·LV. Podemos ver otros casos de esta peculiaridad en los sellos B·E·L·SI (n°59c) y B·E·L·VR (n° 64).

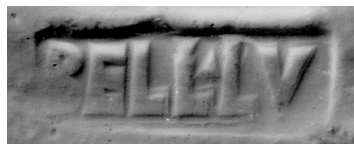
45- BELLI·LV

Ref: CIL XIII 10002.9a

Dat: Forma D -diseño de la matriz- (cf. nums. 20 y 41).

Estr: Topónimo + *Cognomen*.

Lec: *Belli(liciana) Lu(c---*).



Remesal n° 81/44.

Presenta idéntico diseño y contenido análogo a los sellos BELLIAE (n°20) y BELLILI (n°41), caracterizado por incluir letras muy cuidadas, desarrollo del TOPÓNIMO "BELLI" con nexos "L^I" y punto triangular hacia arriba separando TOPÓNIMO/COGNOMEN, que datamos con Adriano-Antonino Pío.

46.- BELLVC

Ref: Callender: n° 185f (BELLVCI) = CIL VII 22 = Carreras & Funari 1998: n° 96 = Étienne & Mayet 2004: n° 195a.

Dat: Forma D -tip- (Figura 160, nums. 39-42)

Estr: TOPÓNIMO + COGNOMEN.

Lec: *Bel(liciana) Luc(---)*.

a) Letras algo mayores que el resto de la serie, sin punto de separación apreciable entre TOPÓNIMO/COGNOMEN. La “C” final con forma de corchete.



Rec: BBSM. n°s. 16 + 409 + 4426.

b1) Letras muy cuidadas, punto triangular hacia arriba separando TOPÓNIMO/COGNOMEN.



BBSM. n° 289.

b2) Letras muy cuidadas, punto triangular hacia abajo separando TOPÓNIMO/COGNOMEN.



BBSM. n° 317.

En Nimega contamos con un sello deteriorado que podría desarrollar el *cognomen*: BELVCAN[---] (Remesal 1986: n° 51a). Esta familia de sellos parecía reforzar la interpretación de Dressel del nombre del taller como BELLVCANA, suscitada a partir de un ejemplar incompleto del sello BELLICIANAPAGALENI (n° 4).

Los sellos de este personaje cuentan con un buen número de lecturas y matrices. Estas características se repiten en un nutrido grupo de sellos de las producciones de la *figlina* durante la primera mitad del s.II d.C. y que forman un grupo muy homogéneo. Confrontar con las series de *Lib()* (nums. 41-43), *Sil()* (nums. 59-60) y *Ursus* (nums. 63-67), datados durante la primera mitad del s.II d.C. En la *Scalensia* conocemos el sello SCALESIALVC, en cortijo del Mohíno LVC y LVCANI, todos ellos datados en el s.I d.C., por tanto, sin relación con nuestro personaje.

Cortijo del Mohíno: *vide* 5.2.3, LVC (n°16). LVCANI (n°17). LVCA[---] sobre Haltern 70 (Moros & Berni 2005: n°10).

Cerro de los Pesebres: SCALESIALVC (Barea *et al.*. 2008: n°37)

•••

47.- BELNETELENI (?)

Ref: CIL XV 2581.

Dat: Forma C -contenido y diseño de la matriz- (cf. Barea *et al.* 2008: nums. 10 y 14)

Estr: TOPÓNIMO + COGNOMEN + COGNOMEN

Lec: *Bel(liciana) N(---) et Eleni* (?)

BEL · NETEL N

CIL XV 2581

Sello aportado por Dressel sin paralelos en la Bética. Su desarrollo presenta dudas a partir del punto y particularmente en el nexa final. Lo interpretamos, con dudas, como asociación de dos personajes expresados por sus *cognomina*, *N(---) et Eleni*, precedidos del nombre del taller, *Bel(liciana)*. Conocemos en esta zona productora otros sellos de contenido análogo al propuesto para este ejemplar (cf. serie de *Telephus* de la *Scalensia*, datada por su tipología en época flavio-trajana -forma C- Barea *et al.* 2008: nums. 10 y 14). El sello ELEN fue hallado en el pecio de la Albufereta I, datado en época de Nerón-Vespasiano (forma B). Entre los sellos de este pecio conocemos varios procedentes de nuestra zona productora: FORTVNATI (Huertas de Belén), SEVVONIS (C. del Mohíno) y GEMELLI (Cerro de los Pesebres) (Fernández *et al.* 2007: nums. 4, 5, 6, 12)

48.- BELNES

Ref: Mayet 1978: n°36, fig.66.36.

Dat: Forma C-D -diseño de la matriz- (cf. nums. 42, 55, 60a, 66a)

Estr: TOPÓNIMO + COGNOMEN.

Lec: *Bel(liciana) Nes(---)*.



Mayet 1978: n°36, fig.66.36.

Sello procedente de Marruecos (Souk-el-Arba), sin paralelos en centros de producción, pero afín a las producciones de la *Belliciana*. Por su diseño y contenido análogo, podemos relacionarlo con los sellos BELLIB (n°42), BELPRIMI (n°55), BELSIL (n°60a) y BELVRS (n°66a).

Familia de sellos de *Nic()* (nums. 49-50).

La familia de sellos de sellos de *Nic()* está formada, hasta el momento, por 2 estructuras, 2 lecturas y 2 matrices distintas (figura 152), que pasamos a desarrollar:

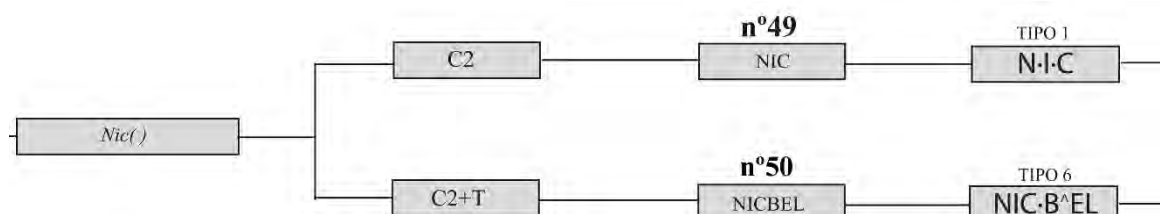


Figura 152.- Familia de sellos de *Nic()*.

49.- NIC

Ref: col. Marsal Chic 2001: p. 72.

Dat: Forma C o D (?) -tip- (Figura 161, nº 44)

Estr: COGNOMEN.

Lec: *Nic(erotis) vel Nic(a---*).



BBSM. nº 157.

El sello parece presentar puntos entre las letras, aunque diminutos y muy desgastados. No obstante, creemos que los puntos cuentan con una función decorativa y el sello esconde a un COGNOMEN: *Nic(---*). Desde este punto de vista, tanto puede corresponder a la serie de *Nicerotis* (nº52) como a la de *Nica(---*) (nums. 34 y 51), aunque las dataciones tipológicas del ejemplar que nos ocupa apuntan, por el momento y con dudas, hacia producciones del s.II d.C.

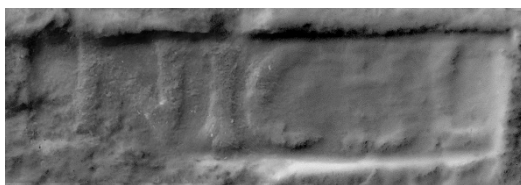
50.- NICBEL

Ref: Ponsich 1979: p.117. nº127, f.41.09 (---]DIN)

Dat: Forma A o B -tipología de la matriz- (cf. nº38)

Estr: COGNOMEN + TOPÓNIMO.

Lec: *Nic(erotis?) Bel(liciana), Nic(a---) Bel(iciana)*



Rec. Ponsich 1979: p.117. nº127, f.41. + BBSM. nº 135.

El sello se presenta deteriorado y falto de relieve, aunque creemos en esta reposición de su lectura. Parece presentar un punto separando TOPÓNIMO/COGNOMEN. Para solucionar el topónimo en el ejemplar que nos ocupa debemos entender un nexo "B^E", diseño que ya conocemos entre las series de *P.A(---*) *Ad(---*) (nums. 1-3), aunque no se observa claramente en nuestro ejemplar. Parece completar el ejemplar de Ponsich, ---]DIN, interpretado por el autor de forma inversa. Para este mismo taller tenemos las lecturas NICBELI y NICAFAVSTINB (Col. Marsal. Chic 2001: p.72 y 380). En centros de consumo tenemos el sello NICA//BELLICI (Callender: nº 1220). Relaciónese, por diseño y contenido análogo con la serie: AVCTBEL (nº25), FAVSBELLI (nº31), FORTVBEL (nº38), datados con Claudio-Nerón (formas A o B).

Familia de sellos de *Nica()* (nº51).

La familia de sellos de sellos de *Nica()* está formada, hasta el momento, por 2 estructuras, 2 lecturas y 2 matrices distintas (figura 153), que pasamos a desarrollar:

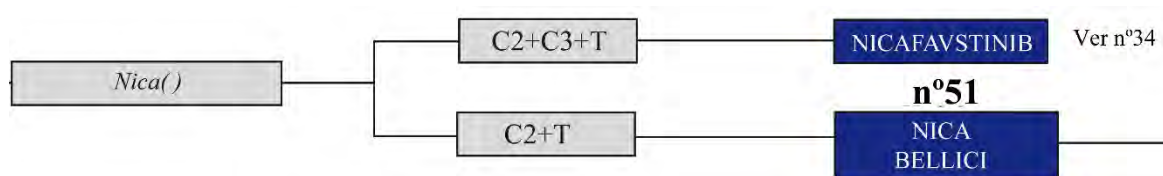


Figura 153.- Familia de sellos de *Nica()*.

NICAFAVSTINIB. Ver nº34.

51.- NICA/BELLICI

Ref: Callender nº1220.

Estr: COGNOMEN.+ TOPÓNIMO.

Lec: *Nica() Bellici(ana)*.

Sin imagen. En la publicación se propone con dudas una tipología sud-gálica para el envase que portaba el ejemplar hallado en Fins d'Anensy. No conocemos dataciones, pero el hecho de presentar dos líneas de texto nos lleva a plantear para este sello una cronología de época de Nerón Vespasiano (forma B) -cf. FAVSTINI/BELLICIAN (nº33) y NICEROTI/BELLICIA (nº 52)-.

•••

52.- NICEROTI/BELLICIA

Ref: Étienne & Mayet 2004: nº 197

Dat: Flavio-trajanea. -tip- (Lyon, Étienne & Mayet 2004: nº 197); Forma B (?) -tip- (Figura 161, nº45); Forma B -diseño de la matriz- (cf. nº 33).

Estr: COGNOMEN + TOPÓNIMO.

Lec: *Niceroti(s) Bellicia(na)*.



Rec: BBSM. n°s. 82 + 111 + 416.

El ejemplar de Lyon publicado por Étienne & Mayet en mejor estado de conservación (*vide infra*). Sello a dos líneas, nexo "T^I" al final de la primera línea. Presenta el mismo diseño y contenido análogo con FAVSTINI/BELLICIAN (nº33) y NICA/BELLICI (nº51), lo que creemos que le confiere una cronología de época de Nerón-Vespasiano (forma B).



Étienne & Mayet 2004: nº 197.

53.- BOPT

Ref: Ponsich 1979: p.117. n°127, f.40.17-18; Étienne & Mayet 2004: n° 198.

Dat: s. II d.C. -tip- (Vienne, Étienne & Mayet 2004: n° 198); Forma C (Figura 161, n°46); Forma D -diseño de la matriz- (cf. n°61).

Estr: TOPÓNIMO + COGNOMEN.

Lec: *B(ell)ician(a) Opt(ati)?*.



Ponsich 1979: p.117. n°127, f.40.17.

Relaciónese, por su diseño y contenido análogo, con los sellos BPRI[---(n°54), BSOS (n°61) y BVRS (n°65), de época de Adriano-Antonino Pío.

Familia de sellos de *Primus* (nums. 54-55)

La familia de sellos de sellos de *Primus* está formada, hasta el momento, por 2 estructuras, 2 lecturas y 2 matrices distintas (figura 154), que pasamos a desarrollar:

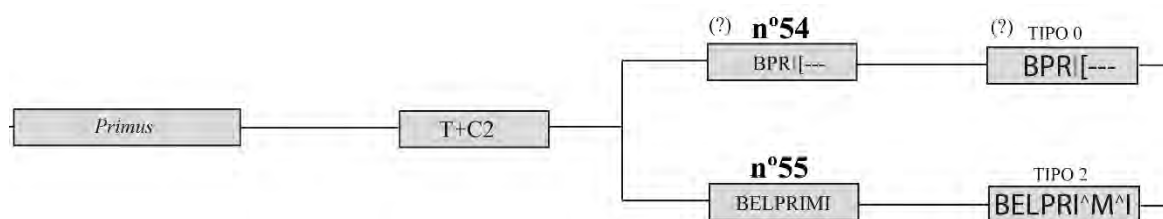


Figura 154.- Familia de sellos de *Primus*.

54.- BPRI[--- (?)

Ref: Sin referencias previas conocidas.

Dat: Forma D -diseño de la matriz- (cf. n°61)

Estr: TOPÓNIMO + COGNOMEN.

Lec: *B(ell)ician(a) Pri(mi---*



BBSM. n° 176.

Incompleto por la derecha, la lectura de última letra visible, dudosa. La interpretación del sello obedece a su puesta en relación con la serie: BOPT (n°53), BSOS (n°61), BVRS (n°65) y el desarrollo del *cognomen* por el sello siguiente: BELPRIMI (n°55). En la *Scalensia* contamos con el sello SCALPRI.

Cerro de los Pesebres: SCALPRI (Barea *et al.* 2008: n°28)

Centros de consumo: SCALENSIAPRI (Callender: n° 1576).

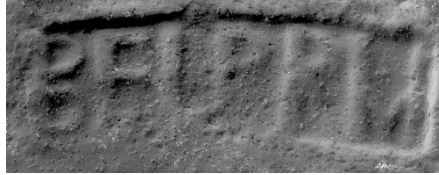
55.- BELPRIMI

Ref: Sin referencias previas conocidas.

Dat: Forma C-D -diseño de la matriz- (cf. nums. 42 y 66a)

Estr: TOPÓNIMO + COGNOMEN.

Lec: *Bel(lician) Primi(---)*.



BBSM. n° 3974.

Diseño muy similar y contenido análogo a los sellos: BELLIB (n°42), BELNES (n°48), BELSIL (60a) y BELVRS (n°66a).

•••

56.- BELLICIANARE (BELICIANARE).

Ref: Ponsich 1979: p.117. n°127, f.39.18; Schüpbach 1983: n°3 (BELLICIANARF).

Dat: Segunda mitad s.I d.C. -contex- (Avenches, Schüpbach 1983: n°3).

Estr: TOPÓNIMO + COGNOMEN.

Lec: *Belliciana Re(stituti?)*.



Rec: Remesal n° 81/37+ BBSM. n° 46.

El topónimo se presenta completamente desarrollado, como en la lectura BELLICIANAL (n°40), con el que presenta una evidente relación de diseño, lo que nos hace pensar que ambas series se usaron en un mismo momento de la producción del taller a datar en época flavia.

57.- RESIL *vel* REST *vel* BESIL

Ref: Sin referencias previas conocidas.

Dat: Forma B (?) (figura 161, n° 48)

Estr: COGNOMEN.

Lec: *Resil(---) vel Rest(ituti?) vel Be(lliciana) Sil(---)*.



BBSM. n° 183.

El sello presenta una extraña ligadura final que nos impide resolver el *cognomen*. Proponemos desarrollarla como el nexa "S^I^L" o "S~T", con la S vuelta y la "T" girada 180°. También dudamos en si la primera letra es una "R" o una "B". Persiste la duda.

Familia de sellos de S().

La familia de sellos de sellos de S() está formada, hasta el momento, por 2 estructuras, 2 lecturas y 2 matrices distintas (figura 155), que pasamos a desarrollar:

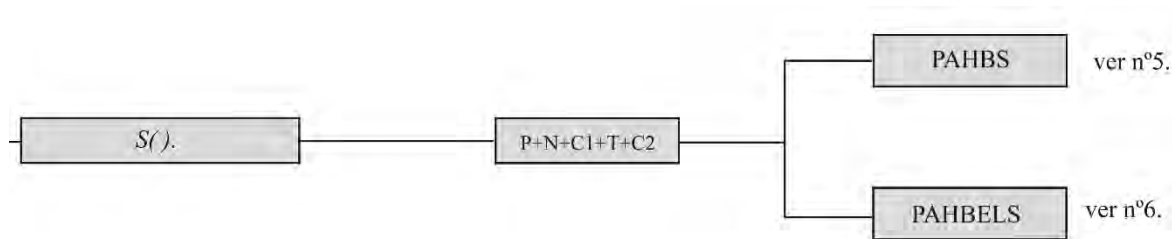


Figura 155.- Familia de sellos de S()

PAHBS. Ver nº5

PAHBELS. Ver nº6.

•••

58.- SAVLICVLI

Ref: Sin referencias previas conocidas.

Dat: Forma A-B -tip- (figura 161, nº 49). Forma A -diseño de la matriz- (cf. nums. 24 y 30)

Estr: COGNOMEN.

Lec: *Sauliculi*.



BBSM. n.ºs. 187 + 209.

Con nexos "A^V^L" y "V^L", no conocemos paralelos fuera de la Bética. Relaciónese por diseño y contenido análogo con los sellos AV<C>TINI (nº23), AVCTINI (nº24), BERITI (nº28) y FAVSTI (nº30), datados por su tipología en *ca* 30-50 d.C. (forma A).

Familia de sellos de Sil() (nums. 59-60)

La familia de sellos de sellos de Sil() está formada, hasta el momento, por 2 estructuras, 2 lecturas y 2 matrices distintas (figura 156), que pasamos a desarrollar:

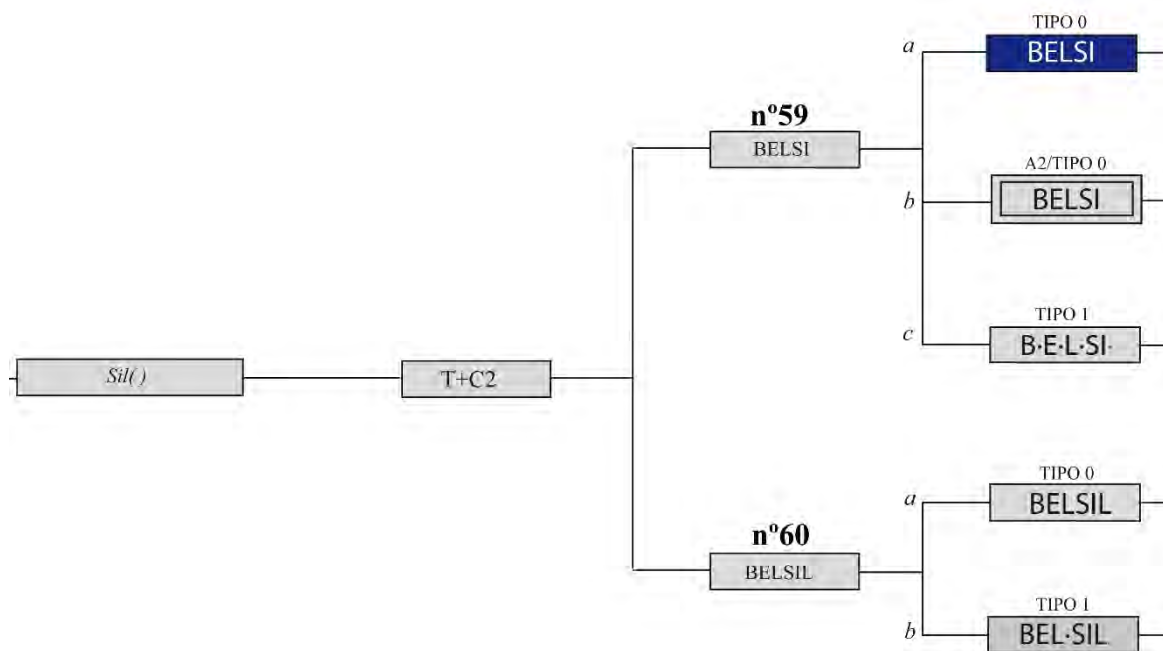


Figura 156.- Familia de sellos de *Sil()*.

59.- BELSI

Ref: Callender: n° 188a = Carreras & Funari 1998: n°95b.

Dat: Forma C -tip- (Ehmig 2007: Taf. 33.1134.); Forma C-D (figura 161, n° 52)

Estr: TOPÓNIMO + COGNOMEN.

Lec: *Bel(liciana) Si(l---*).

- a) Sin puntos. Un ejemplar de Ehmig 2007: Taf. 33.1134 sobre asa abastonada de la forma C.



Ehmig 2007: Taf. 33.1134.

- b) Pequeñas líneas verticales separando las letras B·E·L, no sabemos si ocasionados por una mala impresión del sello. Cornisa superior e inferior, final dudoso: BELSI *vel* BELSIL.



BBSM. n° 250.

- c) Puntos decorativos separando las letras del TOPÓNIMO. Presenta idéntico diseño con los sellos BELLV (n°44) y BELVR (n°64).



BBSM. n° 221.

60.- BELSIL

Ref: Callender: n° 188b, f.4.18 = Carreras & Funari 1998: n°95a.

Dat: Flavio-trajanea (Estrasburgo, Badoux 1996, n°2) Forma C-D (figura 161, nums. 50,51,53)

Estr: TOPÓNIMO + COGNOMEN.

Lec: *Bel(liciana) Sil(---)*.

Sin punto de separación topónimo/*cognomen*. Diseño muy similar y contenido análogo a los sellos: BELLIB (n°42), BELNES (n°48), BELPRIMI (n°55) y BELVRS (n°66a).

a)



BBSM. n° 263.

b) Signo de puntuación en forma de triángulo hacia arriba separando topónimo/*cognomen*. Letras muy cuidadas. Cf. BELLYB (n°43), BELLVC (n°46b), BELVRS (n°66b), que presentan idéntico diseño y contenido análogo.



BBSM. n° 254.

Los sellos de *Lib()* (nums. 41-43), *Luc()* (nums. 44-46), *Sil()* (nums. 59-60) y *Ursus* (nums. 63-67), forman un grupo muy homogéneo con cronologías de la primera mitad del s.II d.C. En todos los casos incluyen un buen número de lecturas y matrices distintas para cada familia, además de lo visto para el caso de *Sil(---)* -con al menos 2 lecturas y 5 matrices- tenemos las de *Lib(---)* -con 3 lecturas y 3 matrices-, las de *Luc(---)* -con 3 lecturas y 5 matrices-, y las de *Ursus* -con 7 lecturas y 10 matrices-.

•••

61.- B·SOS

Ref: Sin referencias previas conocidas.

Dat: Forma D-E -tip- (figura 161, n°54).

Estr: TOPÓNIMO + COGNOMEN.

Lec: *B(elliciana) Sos(---)*.



BBSM. n° 67.

Todos nuestros ejemplares procedentes de la misma matriz. En ninguna llegamos a ver con claridad la última letra que interpretamos como una "S". La tipología del asa del ejemplar aportado

sobre asa de la forma D-E. La matriz se presenta dañada, lo O se conecta con el borde de la cartela y la S final aparece rota. Relaciónese, por presentar el mismo diseño y contenido análogo, con los sellos BOPT (nº53), BPRI[---(nº54) y BVRS (nº65), todos pertenecientes a esta misma fase productiva del taller.

62.- TELEPHI

Ref: Callender nº1708 = Ehmig 2003:197.

Dat: Forma C-D -tip- (figura 161, nº55)

Estr: COGNOMEN

Lec: *Telephi.*



BBSM. nº 3980.

Nexos "T^E" y "P^H". En la *Scalensia* tenemos la serie de época flavio-trajanea: SCALATELEΦ, SCALAGTE[LEΦ, SCALNICETELEΦ y SCASETELEΦ (Barea *et al.* 2008: nums. 10 y 14).

Familia de sellos de *Ursus* (nums. 63-67).

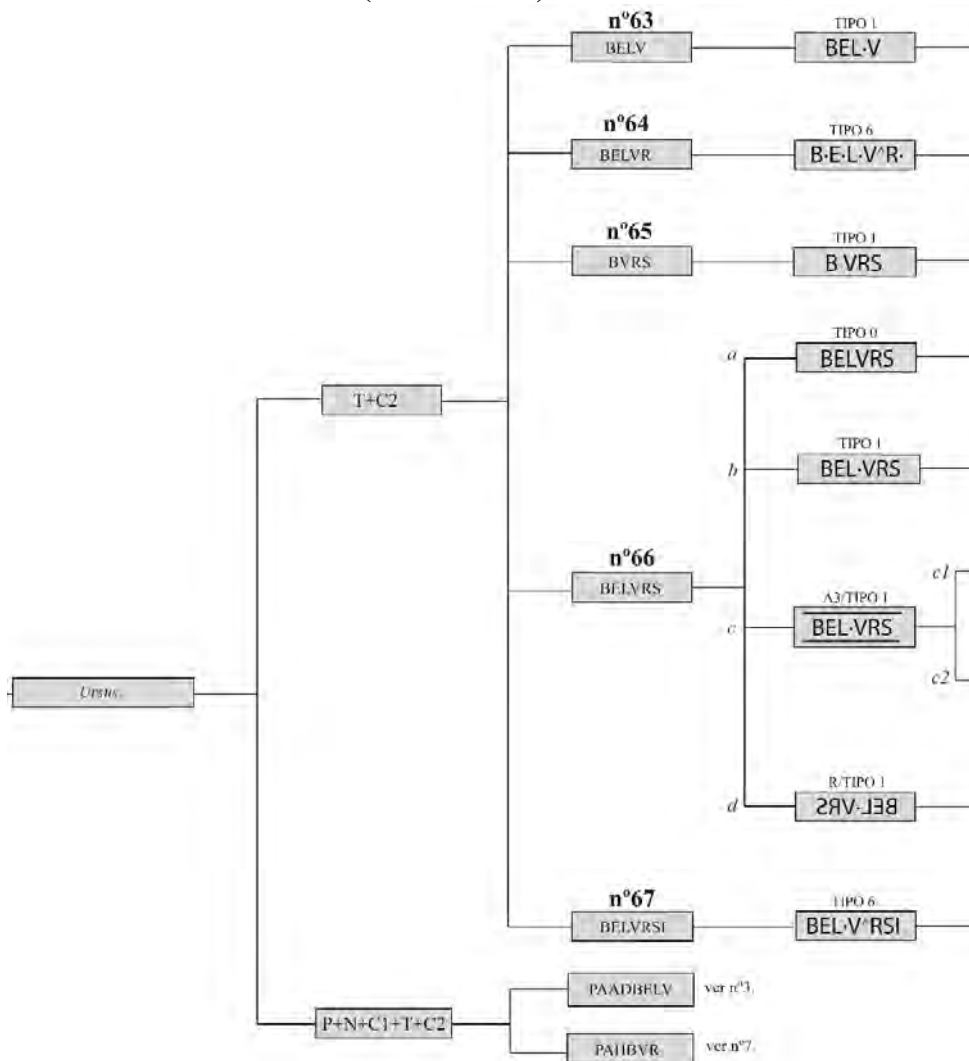


Figura 157.- Familia de sellos de *Ursus*.

La familia de sellos de sellos de *Ursus* está formada, hasta el momento, por 2 estructuras, 7 lecturas y 11 matrices distintas (figura 157), que pasamos a desarrollar:

63.- BEL·V

Ref: Sin referencias previas conocidas.

Dat: Forma C-D -tip- (figura 161, nº 57)

Estr: TOPÓNIMO + COGNOMEN.

Lec: *Bel(liciana) U(rsi. ---) vel V(---)*



BBSM. nº 102.

64.- BELVR

Ref: CIL XV 2582.

Dat: Forma C-D -tip- (figura XX, 161, nums. 58-59)

Estr: TOPÓNIMO + COGNOMEN.

Lec: *Bel(liciana) Ur(si).*



Rec: BBSM. nºs. 27 + 172 + 264 + 391.

Puntos decorativos separando las letras del nombre del taller y nexos "V^R", diseño idéntico a los sellos B·E·L·LV (nº44) y B·E·L·SI (nº 59c), que parecen proceder de una misma mano. Debe corresponder a la misma matriz localizada en los *horti Torlonia* a juzgar por los tres signos de puntuación que indica Dressel.

65.- BVRS

Ref: Ponsich 1979: p.117. nº127, f.41.10 (SVRS); Col. Marsal. Chic 2001: p.308.

Dat: Forma D -diseño de la matriz- (cf. nº61).

Estr: Topónimo + *Cognomen*.

Lec: *B(elliciana) Urs(i).*



Rec: Ponsich 1979. p.116, nº 127, fig.41.10 + BBSM. nº 235.

Ponsich leyó SVRS para un ejemplar mal conservado. Contamos con al menos cuatro sellos de diseño muy similar: BOPT (nº53), BPRI[--- (nº54), BSOS (nº61), lo que nos lleva a pensar en series correspondientes a la misma fase productiva del taller. El primero de ellos cuenta con una datación tipológica del s.II d.C. Nuestros ejemplos sobre asas de la forma D. La reducción del nombre del taller a su inicial también nos hace pensar en cronologías del segundo cuarto del s.II d.C.

66.- BELVRS

Ref: CIL XII 5683.43= Callender: n° 185h = Étienne & Mayet 2004: n° 201a

Dat: Forma C-D -tip- (Figura 161, nums. 60-63)

Estr: TOPÓNIMO + COGNOMEN.

Lec: *Bel(liciana) Urs(i)*.

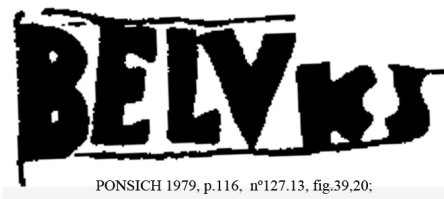
- a) No se observa punto de separación TOPÓNIMO-COGNOMEN (*cf.* Ponsich 1979: p.117. n°127, f.39.20.= Étienne & Mayet 2004: n° 201a).



Ponsich 1979: p.117. n°127, f.39.20.



Étienne & Mayet 2004, n° 201b.



PONSICH 1979, p.116, n°127.13, fig.39.20;

- c) Letras muy cuidadas, punto de separación TOPÓNIMO-COGNOMEN en forma de triángulo hacia arriba.



BBSM. n° 202.

- c1) cornisa superior e inferior.



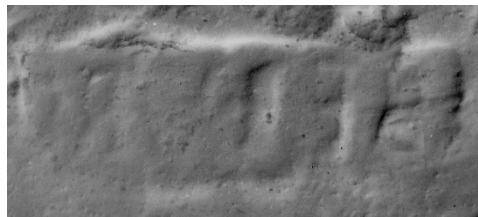
Rec: BBSM. n°s. 26 + 243.

c2) cornisa superior e inferior. Muy parecida a la anterior, pero con evidentes diferencias de tamaño y particularmente en el ojal superior de la "B" (cf. Étienne & Mayet 2004: n°201b).



Rec: BBSM. n°s. 45 + 72 + 394.

d) Lectura *retro*, punto de separación TOPÓNIMO-COGNOMEN.



BBSM. n° 297.

67.- BELVRSI

Ref: Sin referencias previas conocidas.

Estr: TOPÓNIMO + COGNOMEN.

Lec: *Bel(liciana) Ursi.*



BBSM. n° 186.

Letras muy cuidadas, nexo "V^R", triángulo hacia arriba separando TOPÓNIMO-COGNOMEN.

PAADBELV. Ver n°3.

PAHBVR. Ver n°7.

Se trata de una de las series más notables del taller, con gran variedad de lecturas y matrices (*vide* 3.3, figura 89). Esta característica se repite en las series de *Lib(---)*, *Sil(---)* y *Luc(---)*, todas ellas datadas en la primera mitad del s.II d.C. Estas series ponen de manifiesto el grado de complejidad que llegaron a alcanzar los sistemas productivos de la *figlina* y la importancia de estos personajes subordinados en la actividad de toda esta zona productora.

Entre los sellos asociados a personajes de *nomina A()* contamos con las lecturas PAADBELV (n°3) y PAHBVR (n°7). En la *Scalensia* tenemos el sello PAHSCALV (Barea *et al.*. 2008: n°2h). Todos estos sellos se datan en época flavio-trajanea.

•••

Cognomina asociados a la Trop(himiana).

Formada por 1 familia, 1 estructura, 2 lecturas y 2 matrices distintas, que pasamos a describir:

68.- TRO[PL] (?)

Ref: Col. Marsal. Chic 2001: p 432 (TROPL).

Dat: Forma C-D (figura 161, nº 56)

Estr: TOPÓNIMO + COGNOMEN *vel* COGNOMEN + COGNOMEN

Lec: *Trop(himiana) L(---) vel Trop(himi) (et) L(---)*.



BBSM. nº 55.

Reponemos su lectura de nuestro ejemplar con el sello de la col. Marsal, TROP·L (Chic 2001: p 432), sin referencia gráfica que nos ayude a mostrar cierta seguridad. Debe estar relacionado con el siguiente.

69.- TROPS

Ref: Col. Marsal. Chic 2001: p 432.

Estr: TOPÓNIMO + COGNOMEN *vel* COGNOMEN + COGNOMEN

Lec: *Trop(himiana) S(---) vel Trop(himi) (et) S(---)*.



BBSM. nº 204.

Dudamos en la interpretación del sello, que nos indica claramente la existencia de dos elementos separados por un punto triangular, el primero de los cuales se repite en el sello anterior.

Por la existencia del sello TROPHIM (St. Romain y Vienne, CIL XII 5683.295), Berni se inclina a pensar que el primer elemento pudiera identificarse con este TOPÓNIMO, de modo que *S(--)* y *L(--)* correspondieran a unos COGNOMINA. Así obtendríamos como resultado la estructura más común para la zona desde mediados del s.I d.C. hasta mediados del s.II d.C.: TOPÓNIMO + COGNOMEN (Berni 2008: p.185). Desde este punto de vista deben entenderse como sellos foráneos en la *Belliciana*, contaminaciones de una alfarería que podría haberse situado en los alrededores.

5.2.2.3.- TOPÓNIMOS.

La familia de sellos de sellos que incluyen el TOPÓNIMO *Belliciana* está formada, hasta el momento, por 2 estructuras, 8 lecturas y 17 matrices distintas (figura 158), que pasamos a desarrollar:

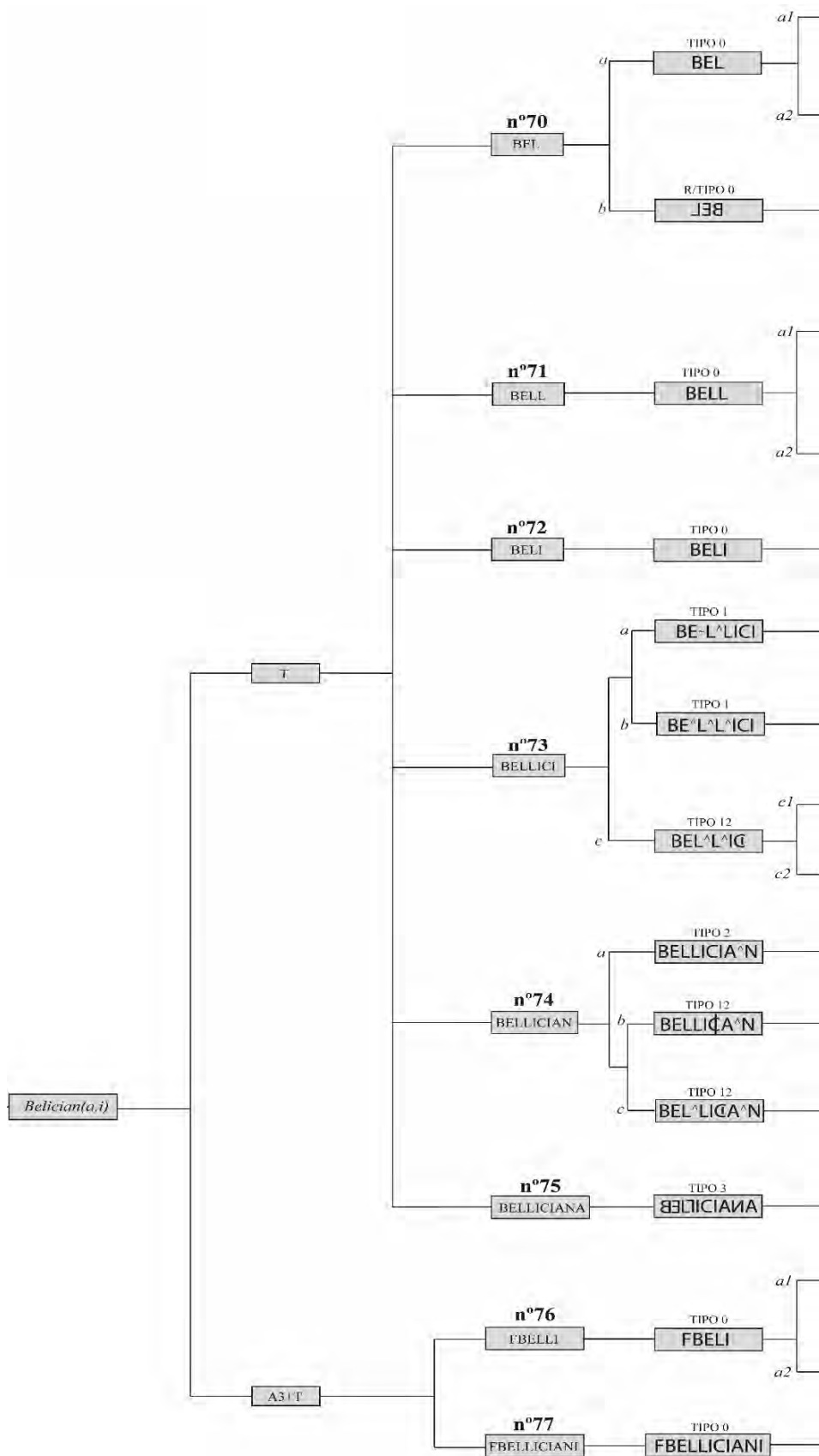


Figura 158.- Familia de sellos formada a partir del topónimo *Belliciana & Belliciani*.

70.- BEL

Ref: CIL XV 2583= Callender: n° 185a; Remesal 1997: n°59d; Ponsich 1979: p.117. n°127, f.39.01-03.

Dat: ca. 145-161 d.C.-contex- (Test. *litt.* C -CIL XV 2583a, 8 ej; CIL XV 2583b, 2 ej.). Un ejemplo de la matriz “a” sobre un ánfora con fecha consular del año 154 d.C. (CIL XV 2583a + 4301); Forma E -tip- (figura 162, nums.64-68).

Estr: TOPÓNIMO.

Lec: *Bel(liciana)*.

a1) Cf. Ponsich 1979: p.117. n°127, f.39.01,02.



Rec: Ponsich 1979: p.117. n°127, f.39.01 + BBSM. n° 184.

a2) Cf. Ponsich 1979: p.117. n°127, f.39.03.



Rec: BBSM. n°s. 61 + 3977.

b) Matriz *retro* como en CIL XV 2583b



BBSM. n° 130.

Dressel establece dos matrices para esta lectura, directa (CIL XV 2583a) y retro (CIL XV 2583b), ambas localizadas en *litt.* C con 8 ejemplares para la primera y dos para la matriz reto, lo que les confiere una datación de mediados del s.II d.C.

71.- BELL

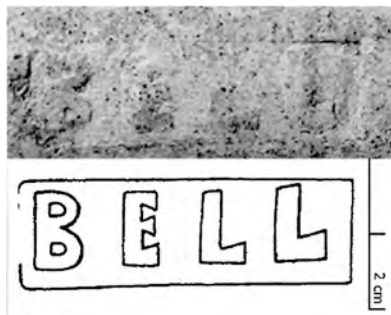
Ref: Callender: n° 185e = CIL XIII 10002.9b; Ponsich 1979: p.117. n°127, f.39.14.

Dat: mitad del s.II d.C. -tip- (Nida, Remesal 1997: n°59c); Forma E -tip- (figura 162, n°69)

Estr: TOPÓNIMO.

Lec: *Bell(liciana)*.

a1) letras bajas y espaciadas.



WIEGELS 2000, p.95.

a2) Letras más compactas.



BBSM. n° 178.

72.- BELLI (BELI)

Ref: CIL XV 2732b (BELI) = Callender: n° 185c; Remesal 1997: n°59e; Ponsich 1979: p.117. n°127, f.39.15.

Dat: ca.145-149 d.C -contex- (Test. *litt.* B -4 ej.- CIL XV 2732b); ca. 145-161 d.C.-contex- (Test. *litt.* C -4 ej.- CIL XV 2732b); Forma E -tip- (figura 162, n°69).

Estr: TOPÓNIMO.

Lec: *Belli(ciana)*.



BBSM. n° 60.

El sello de Ponsich con puntos tras la "L" y la "I".

73.- BELLICI

Ref: **Matriz a:** Ponsich 1979: p.117. n°127, f.39.12 = Étienne & Mayet 2004: n° 190e.; **Matriz b:** CIL XV 2580 = Callender: n° 185b (BECI); Ponsich 1979: p.117. n°127, f.39.08 = Étienne & Mayet 2004: n° 190j; **Matriz c:** Ponsich 1979: p.117. n°127, f.39.04-07 = Étienne & Mayet 2004: n° 190f,i.

Dat: **Matriz a:** Forma B-C (figura 162, nums. 73-76); **Matriz b:** Test. *litt.* C -ca. 145-161 d.C.- (CIL XV 2580 + 4055) Une a *titulus beta* de la sociedad *Vinisia Serenus et Vinicianus*, cuya actividad tenemos datada en el año 154 d.C. por otra inscripción cursiva de control *Corduba* (CIL XV 4052).

Matriz c: Forma A, asociado al sello FAVSTI (*vide* n° 30).

Estr: TOPÓNIMO.

Lec: *Bellici(ana)*.

- a) Nexo "L^L" como en Ponsich 1979: p.117. n°127, f.39.04-07. Sin duda, la matriz más común de la serie que incluye únicamente el TOPÓNIMO (31 ej.)



BBSM. n° 50.

- b) Intrincado nexo por fusión "E^L^L^I", como en Ponsich 1979: p.117. n°127, f.39.08. Por la transcripción tipográfica que presenta Dressel, podemos relacionarlo con el ejemplar CIL XV 2580 hallado en *litt.* C.



Rec: Ponsich 1979: p.117. n°127, f.39.08 + BBSM. n° 106

- c1) Letras cuidadas, nexo "L^L^I", la I final se introduce en la caja de la C.



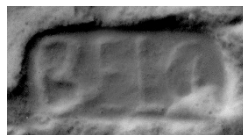
BBSM. n° 30.

- c2-a) Muy parecido al anterior, pero con la "B" retocada.



BBSM. n° 113

- c2-b) Algunos ejemplares procedentes de la matriz anterior muestran alteraciones en la zona del ojal bajo de la "B" y en la esquina inferior derecha, que entendemos representa una evolución de la matriz.



Rec: BBSM. n°s. 132 + 195.

La serie presenta evidentes diferencias cronológicas y de diseño. La matriz "c" es la más antigua y podemos datarla con las primeras producciones del taller. La matriz "a" estuvo en uso en época flavia, mientras que la "b" está bien datada por el Testaccio a mediados del s.II d.C.

Sorprende encontrar el mismo desarrollo del TOPÓNIMO para series tan dispares en el tiempo. Entre las producciones de la *Scalensia* se observa muy claramente como el TOPÓNIMO se adapta a un proceso evolutivo según el cual, su desarrollo en los sellos se va acortando a medida que avanza el tiempo, aspecto que nos sirvió para conferir dataciones relativas entre sus producciones (Barea *et al.* 2008: p.117-119, figura 12). El sistema de sellado de la *Belliciana*, como vemos, se desvía de esta tendencia (*vide* 5.3.2.1).

74.- BELLICIAN *vel* BELLICIANI

Ref: **Matriz b:** Chic 1985: p. 28, f.224 = Étienne & Mayet 2004: n° 190c.

Dat: **Matriz a:** Forma B-C -tip- (figura 162, n° 81); **Matriz b:** Forma B -tip- (figura 162, n° 80);

Matriz c: Forma A, asociado en la misma asa al sello AVCTINI (n°24).

Estr: TOPÓNIMO.

Lec: *Belliciana*.

- a) También podríamos entender un nexa "A^N^I" para el final del texto, por tanto, leerlo como BELLICIANI.



BBSM. n° 203.

- b) La segunda "I" se sitúa en el interior de la "C" y se alarga hasta cortarla, lo que confiere al sello una forma característica fácil de identificar. Presenta el mismo problema de desarrollo del nexa final que el sello anterior.



Rec: BBSM. n°s. 141 + 213 + 260 + 3984.

- c) Incompleto por la derecha.. Nexos "L^I" y "A^N" (?). La segunda "I" de menor tamaño y encerrada en el interior de la "C".



Rec: Ponsich 1979. p.116, n° 127, -sin img-. + BBSM. n° 136.

75.- BELLICIANA

Ref: Ponsich 1979: p.117. n°127, f.39.17 = Étienne & Mayet 2004: n° 190b

Dat: Forma B-C (?) -tip- (figura 162, n° 82).

Estr: TOPÓNIMO.

Lec: *Belliciana*.



Rec: Ponsich 1979. p.116, n° 127, fig. 39,17 + BBSM. n°s. 107 + 201+ 244.

El sello presenta cierta dificultad de lectura al incluir varias letras reflejadas: "B", "E", "L" y "N".

76.- FBELLI (FBELI)

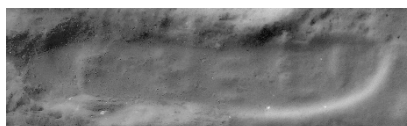
Ref: CIL XV 2732 (FBELI) = Callender: n° 185c; Remesal 1997: n°59g; Testaccio 1999: n° 15; Étienne & Mayet 2004: n° 190k.

Dat: ca. 153-161 d.C. -contex- (Testaccio 1999: n° 15); Forma D -tip- (figura 162, nums. 83-84).

Estr: ATRIBUTO #3 + TOPÓNIMO.

Lec: (ex) *f(iglinis) vel f(undi) Bel<l>i(ciani)*.

a1) Letras de menor tamaño. Cf. Testaccio 1999: n° 15c.



Rec: BBSM n°s. 89 + 396.

a2) Cf.. Testaccio 1999: n° 15a,b



BBSM. n° 292.

77.- FBELLICIANI

Ref: Étienne & Mayet 2004: n° 190a (FBELLICIA[---])

Dat: Forma D -tip- (figura 162, n°85).

Estr: ATRIBUTO #3 + TOPÓNIMO.

Lec: (ex) *f(iglinis) vel f(undi) Belliciani*.



BBSM. n° 629.

Nuestro ejemplar, completa la lectura del publicado por Étienne & Mayet 2004: 190a. El ATRIBUTO *f(---)* puede desarrollarse (ex) *f(iglinis) vel f(undi)*. Este elemento, en general, se suele desarrollar como *f(iglina)*, ya que los casos notos en que se hace referencia a un *fundus* son ciertamente escasos (Berni 2008: 162-163). Trataremos de analizar este caso particular. En el vecino

taller de Cerro de los Pesebres contamos con el sello incompleto FSCALENSIS[---/--- (Barea *et al.* 2008: n°52), que presenta un diseño similar y, al menos por lo que podemos leer, contenido análogo con el que nos ocupa. Por el desarrollo del TOPÓNIMO, en este sello de la *Scalensia* no cabría la fórmula *(ex) f(iglinis)*, de ahí que lo desarrollemos *f(undi) Scalensis*. Creemos que los sistemas de sellado de la *Scalensia* y la *Belliciana* corren en paralelo durante todo el tiempo en que coexistieron sus producciones, aspecto que invita a considerar soluciones consensuadas para los desarrollos de ambas series.

Además, Remesal relacionó con las producciones de Cortijo de Romero el sello del Testaccio FVNBE//LARPI (?) (n° 27), datado a mediados del s.II d.C., y aún no hallado en Cortijo de Romero, que también colabora en el desarrollo del TOPÓNIMO como *fun(di)*.

En los sellos de las ánforas olearias béticas contamos con otros paralelos de contenido análogo a los sellos que nos ocupan y que presentan la misma problemática, sirvan como ejemplo los sellos: FTREBECIANI (CIL XV 3205) o FSCIM/NIANI (CIL XV 3168). Berni, trató en profundidad esta interesante cuestión del desarrollo del ATRIBUTO *f()* en la epigrafía bética (Berni 2008: 158-164).

* * * * *



Figura 159.- Asas asociadas a sellos de Cortijo de Romero. nums. 1 a 20

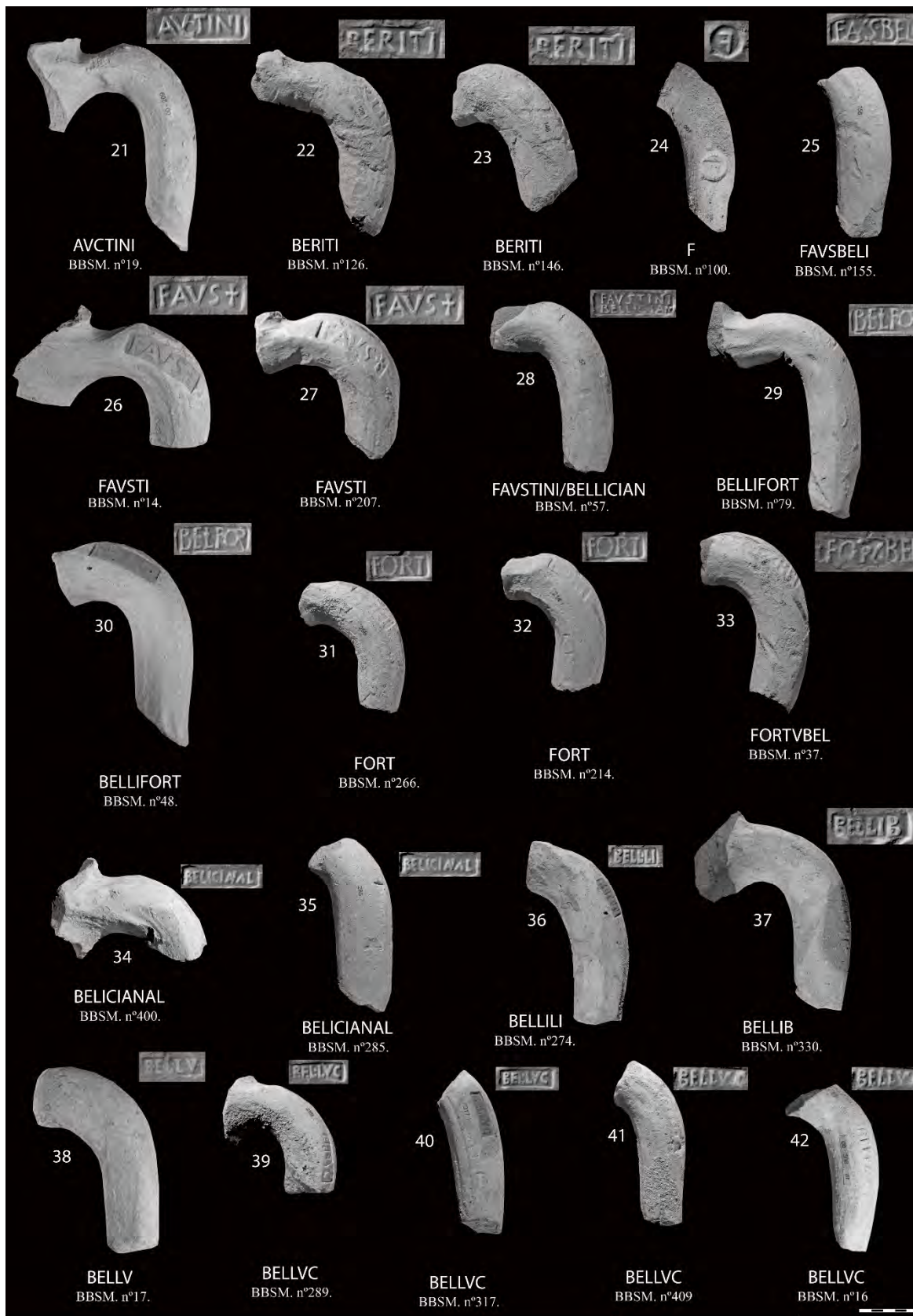


Figura 160.- Asas asociadas a sellos de Cortijo de Romero, nums. 21 a 42

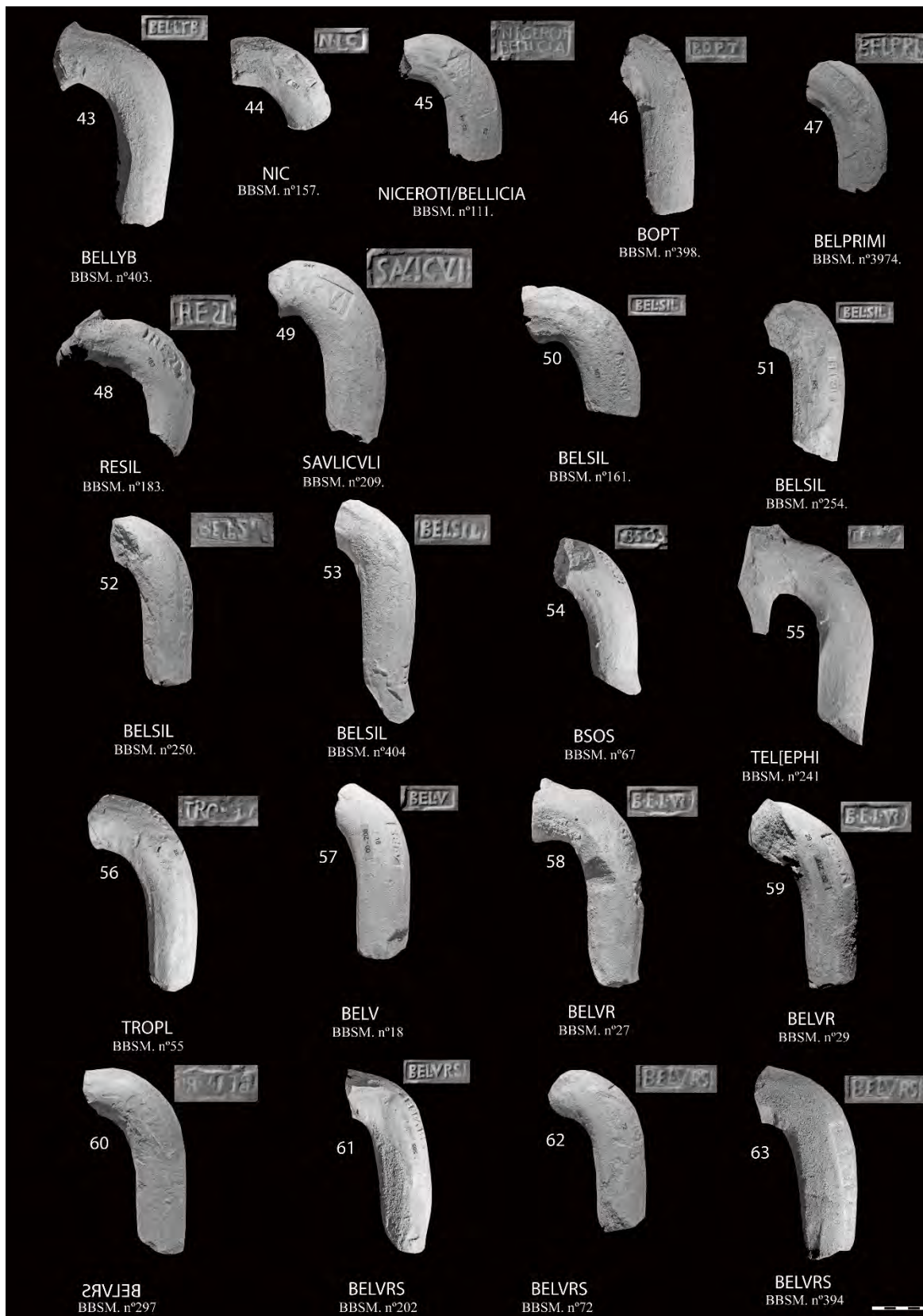


Figura 161.- Asas asociadas a sellos de Cortijo de Romero, nums. 43 a 63



Figura 162.- Asas asociadas a sellos de Cortijo de Romero, nums. 64 a 85

5.2.3.- *Corpus* de los sellos hallados en Cortijo del Mohíno.

Siguiendo la clasificación antes descrita, sobre un total de 219¹⁵⁷ ejemplares recuperados en Cortijo del Mohíno, tenemos, por el momento, 33 familias de sellos que se resuelven con 6 estructuras, 43 lecturas y 58 matrices.

5.2.3.1.- TRIA NOMINA.

Tenemos, por el momento, 7 familias de sellos formadas a partir de los TRIA NOMINA, que se desarrollan en 3 (?) estructuras, 8 lecturas y 16 matrices. A continuación, presentamos su distribución y características:

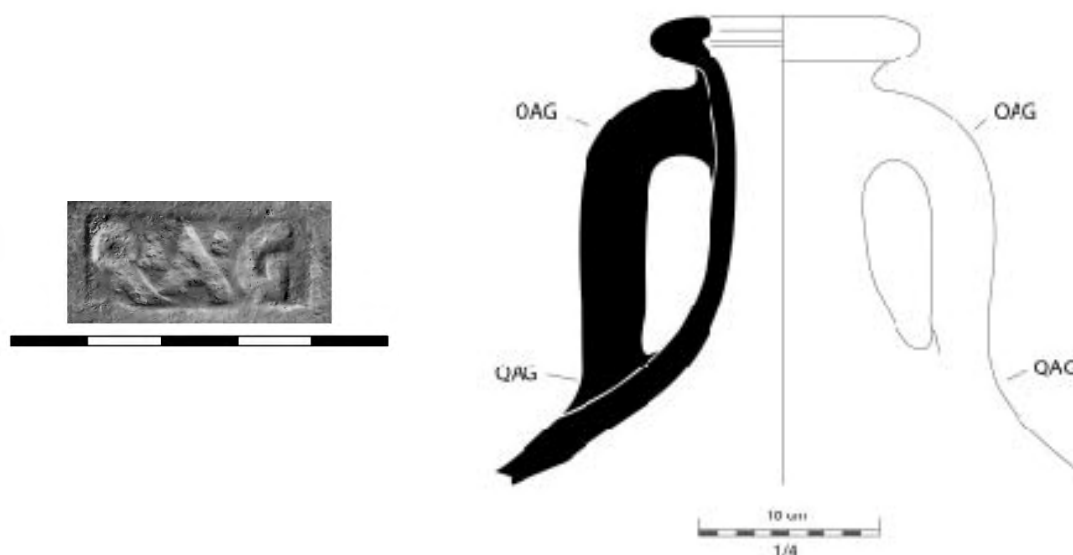
1.-QAG

Ref: Sin referencias previas conocidas para esta matriz.

Dat: forma C -tip- (Excavaciones 2018 del proyecto OLEASTRO)

Estr: TRIA NOMINA

Lec: Q. A() G()



Excavaciones 2018, proyecto OLEASTRO¹⁵⁸.

Fragmento superior de ánfora Dressel 20 de la forma C (ca. 80-120), que presenta el mismo sello repetido cuatro veces, dos de ellos en el dorso, en su posición natural, y otros dos en el arranque inferior, *in radice ansae* (ver imagen superior). La imagen del sello que incluimos es una reconstrucción ideal a partir de estos cuatro ejemplares. La pieza fue hallada en contexto arqueológico durante las excavaciones de 2018 desarrolladas en Cortijo del Mohíno dentro del proyecto OLEASTRO. Un sello con el mismo texto, pero procedente de otra matriz, fue hallado por Bonsor en Arva (Bonsor 1931: p.52), en el *conventus* de *Hispalis*, por tanto, situado a considerable distancia de Cortijo del Mohíno.

¹⁵⁷ Sellos procesados con el método de los moldes de silicona con referencias: Barea-Barea-Solís-Moros (BBSM), 199 ejemplares; Proyecto OLEASTRO, 20 ejemplares procesados por Ivan González Tobar.

¹⁵⁸ Los sellos con esta referencia han sido incorporados gracias a la amabilidad Stéphane Mauné, Enrique García Vargas y de Ivan González Tobar, del proyecto OLEASTRO (2016-2019) desarrollado en colaboración por las Universidades de Montpellier 3 y de Sevilla.

Familia de sellos de *M. Aelius Alexander* (nums. 2-3).

La familia de sellos de *M. Aelius Alexander* está formada, hasta el momento, por 1 estructura, 3 lecturas y 8 matrices distintas (figura 163), que pasamos a desarrollar.

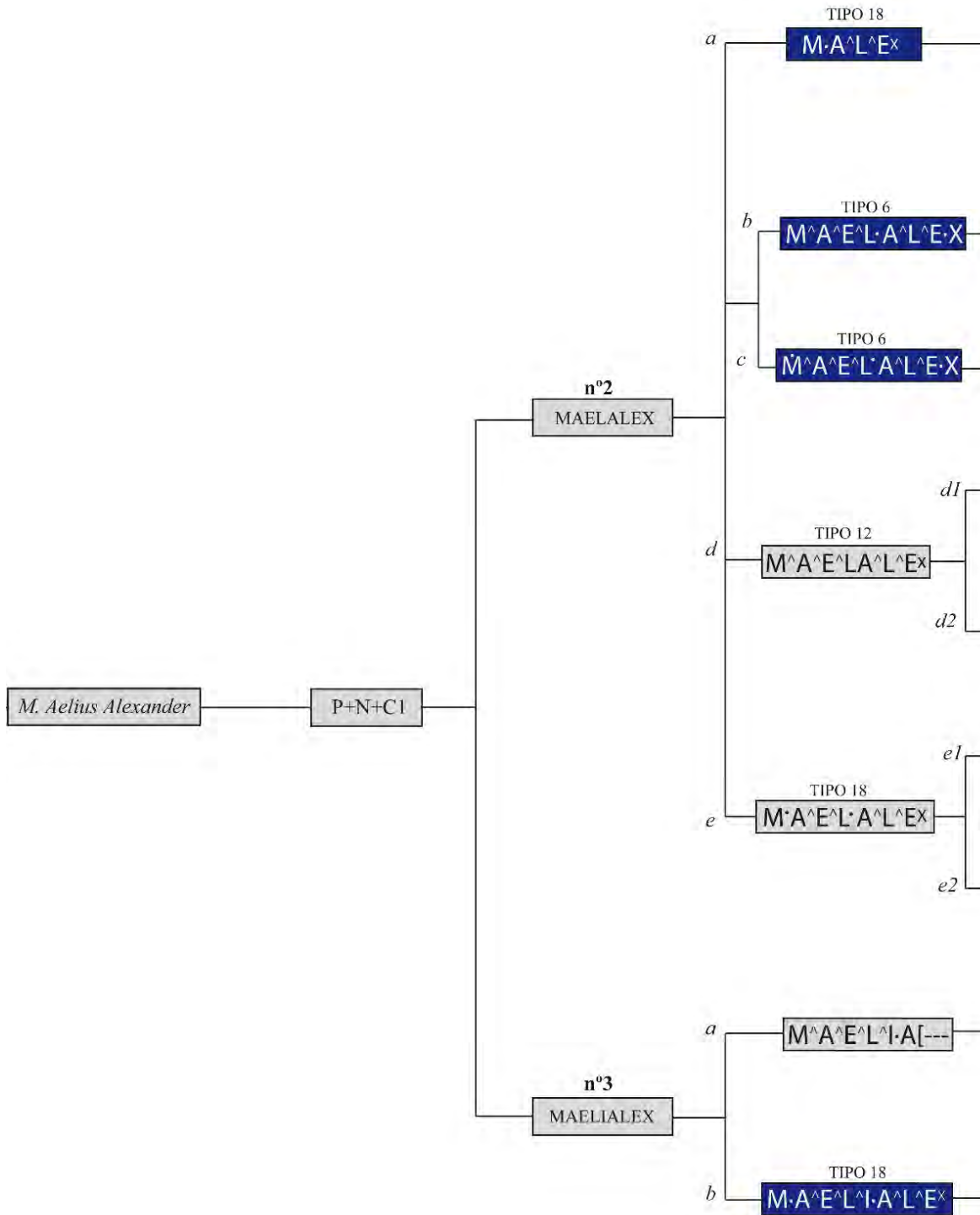


Figura 163.- Familia de sellos de *M.Aelius Alexander*

2.- MAELALEX

Ref: CIL XV 2689. **Matriz a:** Funari 1996: n°25. **Matriz b:** Callender n° 998, fig. 10,30 = Carreras & Funari 1998: n° 39a1. **Matriz d1:** Helly *et al.* 1986: 139, n°12. Berni 2008: fig. 201, n°1.

Dat: Forma A -tip.- (figura 183, nums. 1-4). **Matriz d1:** Forma A¹⁵⁹ -tip.- (Sainte-Colombe, Helly *et al.* 1986: 139, n°12).

Estr: TRIA NOMINA

Lec: *M. Ael(i) Alex(andri)*.

- a) Para resolver la lectura debemos interpretar un valor doble del nexo, “A[^]E[^]L” y “A[^]L[^]E”, y desarrollar la lectura como: *M Ael(i) Alex(andri)*. Con punto triangular apuntando hacia abajo entre la “M” y el nexo. No se observa entre el nexo y la “X”, aunque no lo descartamos al conservarse parcialmente la parte superior del texto. Hallado en Nimega sobre la raíz inferior de un asa incompleta “*in radice ansae*”.



Berni 2017: n°46c

- b) Nexos, “M[^]A[^]E[^]L” y “A[^]L[^]E” y dos puntos, uno situado entre ambos nexos y otro entre el segundo nexo y la “X” final, este último con carácter decorativo.



Funari 1996: n°25

- c) Nexos, “M[^]A[^]E[^]L” y “A[^]L[^]E”, y tres puntos triangulares: uno indicando la presencia del *praenomen* en el nexo “M[^]A[^]E[^]L”, otro entre ambos nexos y finalmente, otro entre el segundo nexo y la “X” final, este último con carácter decorativo.



Carreras & Funari 1998: n° 39a1

- d1) Nexos “M[^]A[^]E[^]L” y “A[^]L[^]E”, “X” de tamaño menor a las letras de su entorno, cartela pequeña. Sin puntos.

¹⁵⁹ Los autores del trabajo proponían una datación contextual del conjunto de 32 ánforas en el periodo *ca.*50-70 d.C. (forma B), que Berni propone retrasar por la epigrafía y la tipología de los envases al periodo *ca.*30-40 d.C. (forma A) (Berni 2008: 52-53). Los sellos de este conjunto anfórico son: CAP, GE[---], LVALS, PRIMI (PRM) *in radice ansae* y MAELALEX *in radice ansae*.



BBSM. n° 4408.

d2) Mismas características básicas que el sello anterior, pero de tamaño mayor.



BBSM. n° 01/228.

e1) Nexos “M[^]A[^]E[^]L” y “A[^]L[^]E”, puntos entre los diversos elementos del nombre del personaje *praenomen/nomen* y *nomen/cognomen*. Letras muy cuidadas y pulcras.



BBSM. n° 4020.

e2) Mismas características básicas que el sello anterior, pero de tamaño mayor y letras menos cuidadas.



BBSM. n° 6082.

3.- MAELIALEX

Ref: CIL XV 2689. **Matriz b:** van der Werff 1987: p.161, 164, fig.8.2. Berni 2017: n°46a.

Dat: Forma A -tip.- (figura 183, nums.1-4).

Estr: TRIA NOMINA

Lec: *M. Aeli Alex(andri)*.

Procedentes de dos matrices distintas que pasamos a describir.

a) Incompleta por la derecha, nexos “M[^]A[^]E” y “L[^]I”. Letras altas y estilizadas. Parece presentar punto tras el segundo nexo, que separa *praenomen* + *nomen* del *cognomen*.



BBSM. n° 6088

- b) Nexos “A^E^L^I” y “A^L^E”, “X” final de menor tamaño y alineada a la parte superior, puntos entre los distintos elementos de nombre del personaje, *praenomen/nomen* y *nomen/cognomen*. Letras cuidadas.



Berni 2017: n°46a.

Se trata del sello más abundante del taller con al menos 66 ejemplares. El material, procedente de prospección se encuentra en general muy fragmentado y rodado, lo que dificulta la definición de las matrices a que pueda obedecer. Hasta el momento, hemos podido definir 9 matrices distintas caracterizadas por los nexos y la disposición que presentan los puntos empleados. Entendemos que esta complejidad de matrices nos está revelando un volumen de producción notable y un largo periodo productivo que abarcaría desde el segundo cuarto del s.I d.C. hasta época neroniana. Su presencia en la *fossa aggeris* de Castro Pretorio y en el depósito anfórico de Sainte-Colombe, con contextos del segundo cuarto del s. I d.C., convierte a esta serie en uno de los testimonios impresos más precoces de la Dressel 20, con una actividad paralela al sello PSAVITI de Las Delicias y ciertas analogías en el sistema de sellado. Suelen aparecer asociados en la misma asa a otros sellos que presentan diversos *cognomina*: CRES (n° 11, -2 ej-), GEM (n°13), LVC (n°16), SEV<V>O (n°20, -9 ej-) y SVAVI (n°23). Sospechamos que los sellos GE[--- y PRIMI de Sainte-Colombe (Helly *et al* 1986) pudieran corresponder a esta serie (*vide* n°13). Para Berni, las diversas posiciones que adoptan los sellos de *M. Aelius Alexander* en las ánforas -asa, arranque inferior del asa o incluso en el borde (van der Werff 1987: n°12,2)-, son un síntoma de indecisión propia de las primeras producciones de la Dressel 20 (Berni 2017: 208, Mauné & González Tobar, en prensa). En CIL XV 2689 tenemos otro sello de nuestra serie “*in collo formae 7 vel 8 similis*” que hemos atribuido a una forma Haltern 70 (Moros & Berni 2005: 51, n° 1). No es el único caso de sellos de Cortijo del Mohíno hallados tanto en Dressel 20 como en Haltern 70, véase el caso del sello LVCANI (n°17), lo que confirma una producción de estos envases en una fase inicial del centro productor. Las producciones de *M. Aelius Alexander* parecen alcanzar época neroniana, a juzgar por la tipología de algunas asas que portan sus sellos.

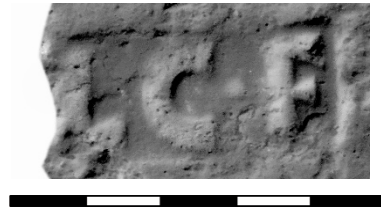
...

4- LCF (*vide* 5.x,n°11).

Ref: CIL XV 2746a; Ponsich 1979: p.116. n°127, f.41.05.

Dat: Testaccio, Sep. I, *in tectis cellarum* (antoniniano ?) (CIL XV 2746a). Forma E (*vide* 5.2.2, n°11).

Estr: TRIA NOMINA.
Lec: L. C(---) F(---).



BBSM. n° 4114.

Con punto entre *nomen-cognomen*, no se observa entre *praenomen - nomen*, aunque no lo descartamos. Cinco ejemplares con esta lectura han sido hallados en el vecino Cortijo de Romero (*vide* 5.2.2, n°11). En Cortijo del Mohino solo tenemos constancia de este ejemplar y, por el momento, quizás debamos considerarlo una contaminación de la alfarería vecina. Todos los sellos con esta lectura presentan un diseño muy homogéneo. La duda se produce a la hora de establecer si tenemos dos matrices distintas, con y sin puntos, o solo tenemos una matriz con puntos que en algunos ejemplares no quedan marcados. Ya habíamos comentado esta problemática que presentan los puntos de los sellos (*vide* 2.3.4.1).

5.- SCAESIT

Ref: Marsal, Chic 2001: p.71 (SCAELTB).

Dat: Forma B-C (*vide* 5.2.2, n°13)

Estr: TRIA NOMINA+ TOPÓNIMO.

Lec: S. Cae(---) Si(---) T(allianensia) vel S. Caesi T(allianensia) vel S. (et) C. Ae() Si() T(allianensia).



BBSM n°358.

Las dos "S" se presentan reflejadas. Puntos de separación antes y tras la "T" final. En la *Belliciana* tenemos el sello SCAESIB (*vide* 5.2.2, n°13).. Ambas series presentan idéntico diseño y contenido análogo, de modo que la última letra de ambos sellos debe interpretarse como TOPÓNIMO: *B(ellliciana)* y *T(allianensia)*. Datamos la serie tipológicamente en época flavia.

6.- P|IVLCRISP

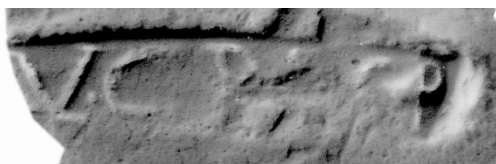
Ref: CIL XII 5683.146a. Ponsich 1979: 51, n° 93 (El Marchante). Étienne & Mayet 2004: n°689h. Berni 2017: n° 116.

Dat: Forma C -tip- (Berni 2017: n°116).

L.P: La Catria (?)

Estr: TRIA NOMINA

Lec: P. Iul(i) Crisp(i)



BBSM n°4112



Étienne & Mayet 2004: n°689h.

Reponemos su lectura por un paralelo francés de Isère (Étienne & Mayet 2004: n°689h). El único testimonio de los sellos de *P. Iulius Crispus* hallados en la Bética corresponde a un hallazgo de Ponsich y fue recuperado en El Marchante, en el *conventus* de *Hispalis*, por tanto, muy alejado de la zona que nos ocupa (Ponsich 1979: 51, n° 93). Entre el material inédito, contamos con varios ejemplares de la familia de sellos de este personaje hallados en La Mesa de Lora, lugar cercano a El Marchante, y donde la mayoría del material proviene de La Catria. Todas estas circunstancias nos hacen sospechar que estas series proceden de la Catria. A nuestro juicio, en Cortijo del Mohíno y en El Marchante, estos sellos deben considerarse foráneos.

7.- QSASER (*vide* 5.X.n°18).

Ref: CIL XV 3163c, d; Callender: n°1499; CIL VII 106; Carreras & Funari 1998: n°448.

Dat: ca 161 d.C. -contex- (Remesal en Testaccio 1994: n° 311a d.C.); ca. 153-161 d.C. -contex.- (Remesal en Testaccio 1999 029a,b). Forma E -tip- (figura 183, n°12)

LP: *Figlina Servi*(---) del vecino Cortijo del Mohíno.

Estr: TRIA NOMINA + TOPÓNIMO

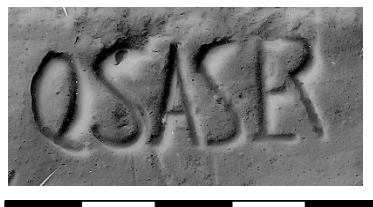
Lec: *Q.S(ervi---?) A(---) Ser(vi---*).

- a) Sin nexo, el ejemplar fue hallado en el vecino Cortijo de Romero.



BBSM. n° 374.

- b) Con nexo "E^R"



BBSM. n° 375.

Por el momento tenemos dos matrices para las producciones de *Q. S() A()* en la *figlina Servi()*, caracterizadas por la presencia o no del nexo final "E^R". Bien datada por el Testaccio durante el tercer cuarto del s.II d.C. Ver comentarios al sello QSABEL (*vide* 5.2.2, n°17).

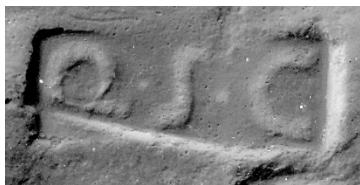
8.- QSC (*vide* 5.2.2, .n°19)

Ref: Ponsich 1979: p.116 n°127 fig.41.08 (QSO)

Dat: flavia -tip- (Mainz, Ehmgig 2003: n°164). Forma A -tip- (figura 183, n° 6).

Estr: TRIA NOMINA.

Lec: *Q.S(ervi---?) C(---*).



BBSM. nº 271.

Ya lo habíamos estudiado entre las series de la *Belliciana* (vide 5.2.2, nº19). Los sellos parecen procedentes, hasta el momento, de tres matrices distintas, dos de Cortijo de Romero y la que nos ocupa, aunque todos presentan una evidente homogeneidad de diseño. Como vimos, este sello cuenta con un paralelo hallado en Mainz sobre un asa de época flavia. En nuestro caso contamos con un sello de la serie sobre asa completa que por su tipología apunta hacia una fase cronológica preflavia (formas A o A-B). El grupo familiar y el posible desarrollo del *nomen* se estudia en el sello QSABEL de las producciones de la *Belliciana*. (vide 5.2.2, nº17).

5.2.3.2.- COGNOMINA.

Las familias de sellos formadas a partir de los COGNOMINA hallados en Cortijo del Mohíno se presentan en 24 familias, 2 estructuras, 32 lecturas y 33 matrices distintas. Se organizan en cuatro grupos. En el primero recogemos a los sellos que no incluyen un TOPÓNIMO (nums. 9-23). En los tres siguientes agrupamos los sellos atendiendo al TOPÓNIMO al que se asocian por orden alfabético: *Scalsensia* (nums. 24-26), *Servi*() (nums. 27-36) y *Talliane*<n>*sia* (nums.37-40).

COGNOMINA que no se asocian a un TOPÓNIMO (nums. 9-23).

9.- ATI vel ITA vel TALLI.

Ref: Sin referencias previas conocidas.

Dat: Forma A -contex- (prospecciones del proyecto OLEASTRO).

Estr: COGNOMEN vel TOPÓNIMO.

Lec: *Ati*() vel *Ita*() vel *Talli*(*ansensia*)



Prospecciones proyecto OLEASTRO.

El orden de las letras que componen el nexa resulta ambiguo: “A^T^I” vel “I^T^A” vel “T^A^L^L^I”. lo que nos impide precisar el *cognomen* del presunto personaje. Berni nos propone un desarrollo alternativo muy sugerente: *Talli*(*ansensia*), lo que implicaría que el centro productor ya recibía ese nombre cuando producía *M. Aelius Alexander*. Incluso se podría plantear que hiciese alusión al personaje que le da nombre al taller: *Talli*(*ano*) (?). Persiste la duda. Hallado en prospecciones del proyecto OLEASTRO junto a materiales de ca. 30-50 d.C. El diseño del sello es muy infrecuente en la epigrafía bética, aunque interpretado como *cognomen* su contenido sería análogo a los sellos de los personajes asociados a las producciones de *M.Aelius Alexander*: CRES (nº11), GEM (nº 13), LVC (nº16), SEV<V>O (nº20) y SVAVI (nº23), todos datados en ca. 30-50 d.C.

10.- CAS

Ref: Sin referencias previas conocidas para esta matriz.

Dat: Forma A -diseño de la matriz- (cf. nums. 11, 13)

Estr: COGNOMEN *vel* TOPÓNIMO *vel* TRIA NOMINA.

Lec: *Cas() vel C. A() S()*.



BBSM. n° 4136.

Un ejemplar situado en el arranque inferior del asa. El sello presenta evidentes dudas en su desarrollo. Lo catalogamos interpretado como COGNOMEN por la casuística que presentan los sellos de Cortijo del Mohíno, sin descartar los otros posibles desarrollos. Se puede confundir con la serie del s. III d.C. que presenta el mismo texto, CAS (Ponsich 1974: 198, n°149 fig.78,c) procedente de El Judío en el Guadalquivir, en el *conventus* de *Hispalis*, cerca de Lora del Rio (*Axati*), por tanto, situado a considerable distancia de Cortijo del Mohíno. Estos sellos de El Judío aluden a una *figlina* *Cas()* (Berni 2008: 172). No tenemos dataciones para nuestro ejemplar, pero, por diseño y contenido análogo, quizás debamos relacionarlo con los COGNOMINA que acompañan a los sellos de *M. Aelius Alexander*: CRES (n°11), GEM (n°13), LVC (n°16), SEV<V>O (n°20) y SVAVI (n°23), para una cronología *ca.* 30-50 d.C. (forma A).

Familia de sellos de *Crescens* (nums. 11-12).

La familia de sellos de *Crescens*, está formada, hasta el momento, por 1 estructura, 2 lecturas y 2 matrices distintas (figura 164), que pasamos a desarrollar:

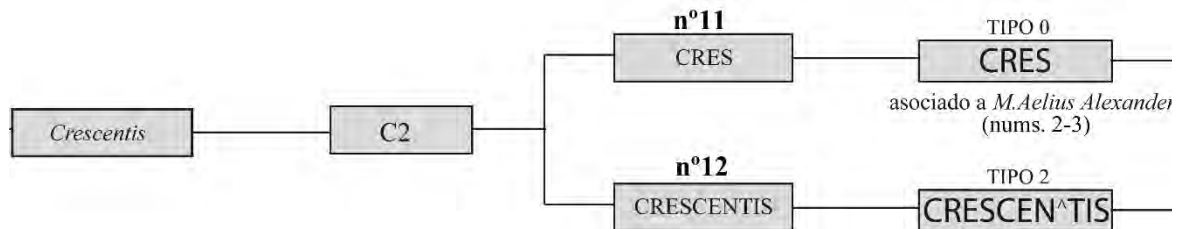


Figura 164.- Familia de sellos de *Crescens*.

11.- CRES

Ref: Sin referencias previas conocidas.

Dat: Forma A, asociado al sello *M. Aelius Alexander* (*vide* nums. 2-3).

Estr: COGNOMEN.

Lec: *Cres(centis)*



Proyecto OLEASTRO, prospecciones 2016.

Un ejemplar procedente de la campaña de prospección de 2016 del proyecto OLEASTRO (*vide* nota 158). Este sello nos ha permitido leer otros dos hallados por nosotros y asociados en la misma asa a otros de la serie de *M. Aelius Alexander*. También conocemos a este último personaje asociado a los sellos: GEM (nº 13), LVC (nº16), SEV<V>O (nº20) y SVAVI (nº23), todos datados en *ca.* 30-50 d.C.

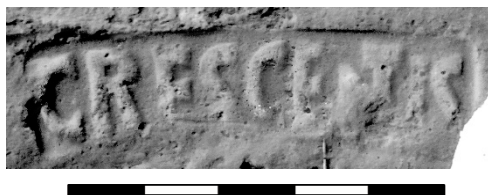
12.- CRESCENTIS

Ref: Sin referencias previas conocidas.

Dat: Formas A o B -tip- (figura XX, nº10); Forma B -diseño de la matriz (*cf.* nº21).

Estr: COGNOMEN.

Lec: *Crescentis*.



Rec: BBSM nums._4211+6100

Variante que desarrolla completamente el COGNOMEN de nuestro personaje. Un caso análogo lo tenemos en las series de *Heliodorus* (nums. 14-15), *Lucanus* (nums. 16-17) y *Seuvo* (nums. 20-21), que presentan esta dualidad de sellos con los *cognomina* abreviados y completamente desarrollados. De la serie de *Sextio* (nº 22) solo conocemos su variante desarrollada y presenta un diseño idéntico al que nos ocupa. De las series de *Gem(ellus)* (nº13) y *Rust(icus)* (nº19), solo conocemos la variante con el nombre abreviado.

Familia de sellos de *Gemellus* (nº 13).

La familia de sellos de *Gemellus* está formada, hasta el momento, por 2 estructura, 2 lecturas y 2 matrices distintas (figura 165) que pasamos a desarrollar

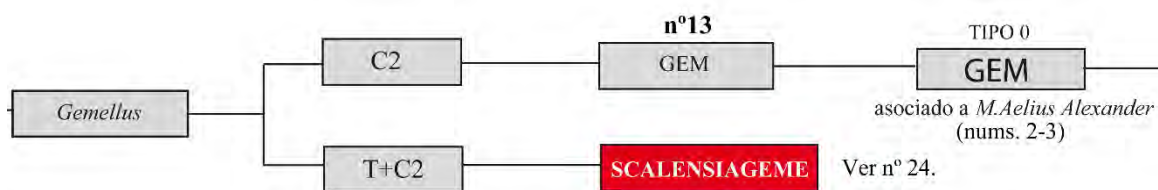


Figura 165.- Familia de sellos de *Gemellus*.

13.- GEM

Ref: Helly *et al.* 1986: 129, nº2 (GE[---]).

Dat: Forma A, asociado a *M. Aelius Alexander* (*vide* nums. 2-3).

Estr: COGNOMEN.

Lec: *Gem(ellus)*.



BBSM nº4119

Helly *et al.* 1986: 129, nº2

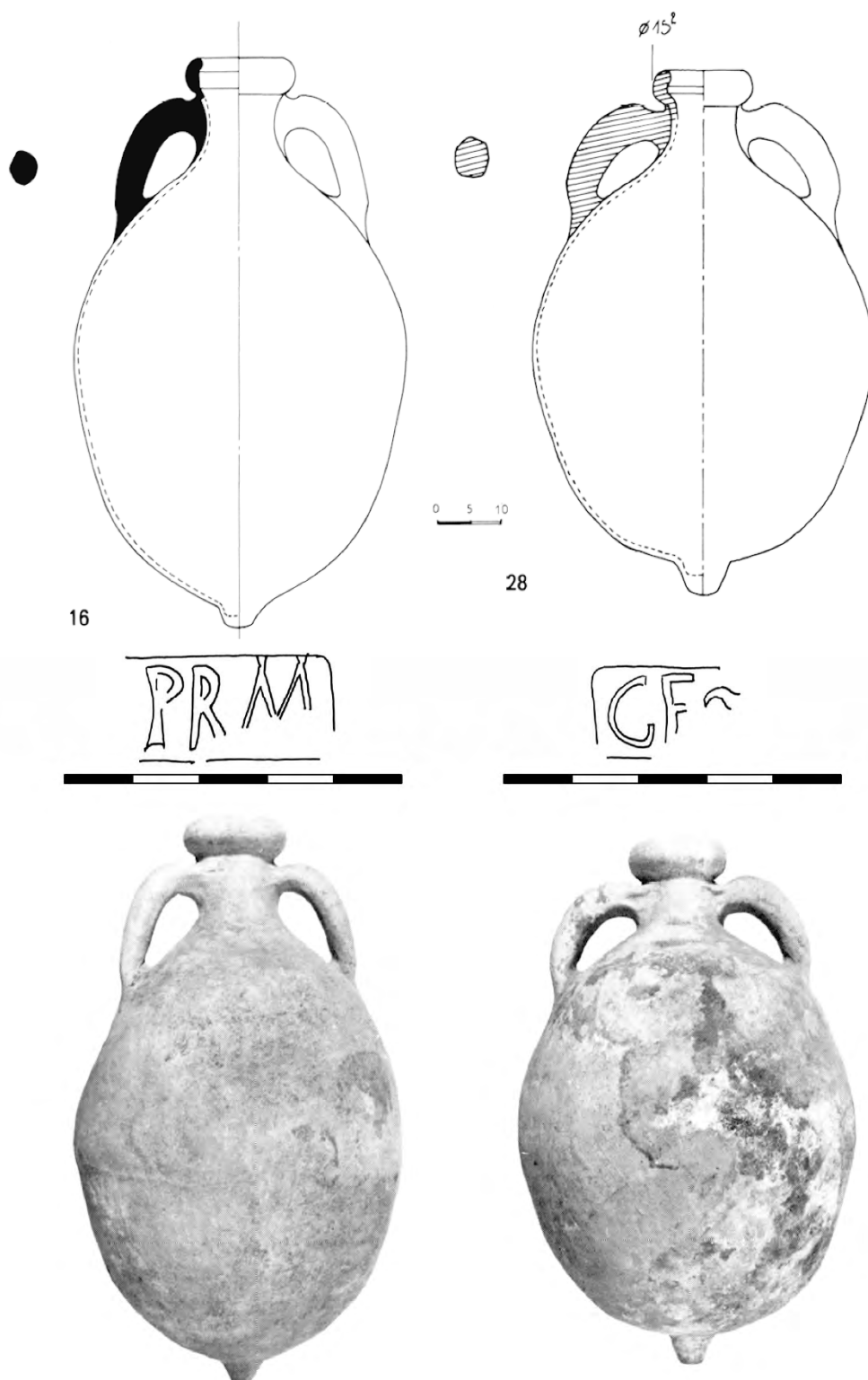


Figura 166.- Ánforas nums. 16 y 28 del depósito de Sainte-Colombe (Helly *et al.* 1986)

Dos ejemplares asociados en la misma asa a sellos de *M. Aelius Alexander* (nums. 2 a 3). Para una fase de época de Neron-Vespasiano, conocemos a un *Gemellus* en la *Scalensia* (Barea *et al.* 2008: n°32; Fernández *et al.* 2007: n°8). El sello SCALENSIAGEME también se halló en Cortijo del

Mohíno (nº24). Relaciónese, por presentar el mismo diseño y contenido análogo, con los sellos CRES (nº 11), LVC (nº 16), RVST (nº19) y SEV<V>O (nº20).

El ejemplar del depósito anfórico de Sainte-Colombe incompleto por la derecha, GE[--- (Helly *et al.* 1986: 129, nº2) creemos que puede proceder de la misma matriz que el sello que nos ocupa. Se recuperó sobre un ánfora completa de cuerpo no esférico, como las ánforas más antiguas estudiadas por Dressel en Castro Pretorio (figura 166, Berni: en prensa 1). De ser correcta la relación, el sello *in radice ansae* PRIMI (Helly *et al.* 1986: 130, nº5) del mismo depósito y sobre un ánfora Dressel 20 precoz, podría corresponder a esta misma serie de personajes asociados a *M.Aelius Alexander*. Recordamos que tenemos un sello de este último personaje, también *in radice ansae*, en este mismo depósito anfórico (Helly *et al.* 1986: 130, nº4).

SCALENSIAGEME. Ver nº 24

Familia de sellos de *Heliodorus* (nums. 14-15).

La familia de sellos de *Heliodorus* está formada, hasta el momento, por 1 estructura, 2 lecturas y 2 matrices distintas (figura 167), que pasamos a desarrollar:

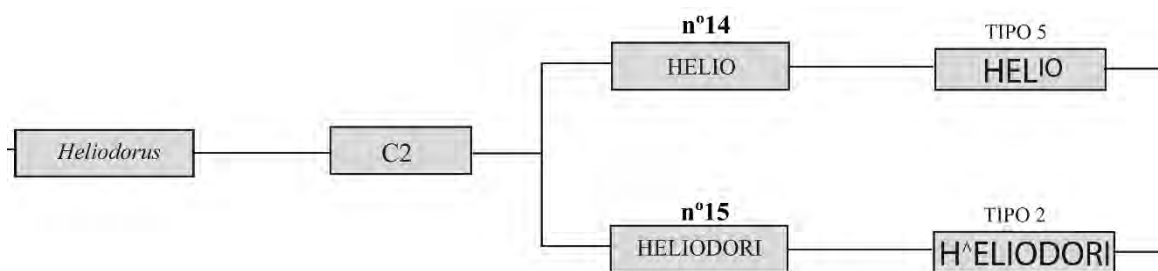


Figura 167.- Familia de sellos de *Heliodorus*.

14.- HELIO

Ref: Sin referencias previas conocidas.

Dat: Formas B -tip- (figura 183, nº13)

Estr: COGNOMEN.

Lec: *Helio(dori)*



BBSM nº4130

El ejemplar se encuentra sobre un asa completa de la forma B. Matriz caracterizada por presentar las dos últimas letras de tamaño menor al resto de la inscripción. Por diseño y contenido análogo, podemos relacionarlo con el sello SEV<V>O (nº 20) y por contenido con el siguiente.

15.- HELIODORI

Ref: Sin referencias previas conocidas.

Estr: COGNOMEN.

Lec: *Heliodori*



Proyecto OLEASTRO, prospecciones 2018.

Un ejemplar hallado en Cortijo del Mohino durante las prospecciones de 2018 asociadas al proyecto OLESTRO (*vide* nota 158). Presenta el desarrollo completo del nombre del personaje del sello anterior.

Familia de sellos de *Lucanus* (nums. 16-17).

La familia de sellos de *Lucanus* está formada, hasta el momento, por 1 estructura, 2 lecturas y 3 matrices distintas (figura 168), que pasamos a desarrollar:

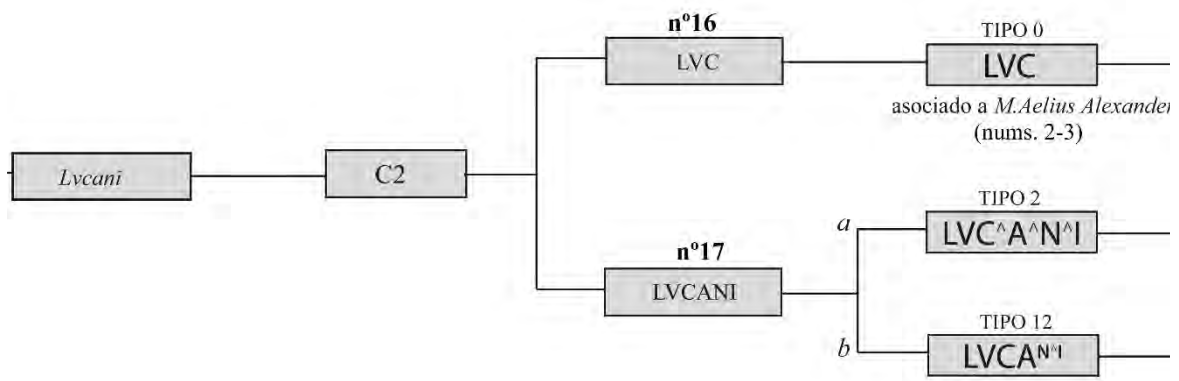


Figura 168.- Familia de sellos de *Lucanus*.

16.- LVC

Ref: Sin referencias previas conocidas.

Dat: Formas B (?) -tip- (figura 183, nº14). Forma A, asociado al sello *M. Aelius Alexander* (*vide* nums. 2-3).

Estr: COGNOMEN.

Lec: *Luc(ani)*



BBSM nº4111

Un ejemplar sobre un asa con otro sello de *M. Aelius Alexander*, lo que le confiere una datación *ca.* 30-50 d.C. (forma A). El sello LVC puede confundirse con la serie que presenta esta misma lectura, en algunos casos con puntos L·V·C, de una fase flavio-trajanea de las producciones del Tierras del Judío, en el Genil. En este último caso los sellos presentan las iniciales de un *L.V(ibius) C(hromus)* (Ponsich 1979: 127, nº 141, Berni 2008: 402 ss.).

17.- LVCANI

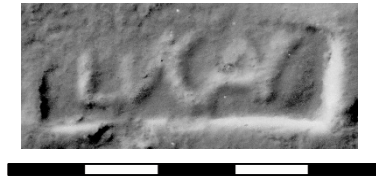
Ref: Moros & Berni 2005: n° 10 (Hallado sobre Haltern 70.)

Dat: Formas B -tip- (figura 183, n°15)

Estr: COGNOMEN.

Lec: *Lucani*

a) Nexo “C~A^N^I”



BBSM n°4129

b) Nexo “N^I” formado por letras de menor tamaño al resto de la inscripción.



BBSM n°01-242

Un ejemplar procedente de la misma matriz de 16b se halló impreso lateralmente en la parte superior de un fragmento de asa con canaladura o surco longitudinal que hemos atribuido en otro trabajo a la forma tipológica Haltern 70 (Moros & Berni 2005: n°10), lo que permitiría datar la pieza durante la primera mitad del s. I d.C.

Familia de sellos de *Phi*() (n°18).

La familia de sellos de *Phi*() está formada, hasta el momento, por 2 estructuras, 2 lecturas y 2 matrices distintas (figura 169), que pasamos a desarrollar:

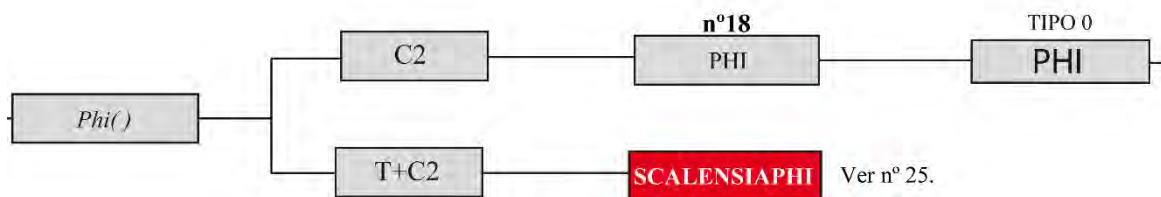


Figura 169.- Familia de sellos de *Phi*().

18.- PHI

Ref: Barea et al. n°39 (Cerro de los Pesebres)

Dat: Forma C -tip- (figura 183, n°16)

Estr: COGNOMEN.

Lec: *Phi*()



BBSM n°4117

En la vecina *figlina Scalensia* conocemos los sellos PHI (Barea *et al.* 2008: n° 39) y SCALENSIAPHI (n°24), aun no hallado en Cerro de los Pesebres. Los sellos PHI de Cerro de los Pesebres y Cortijo del Mohíno proceden de matrices distintas (figura 170). Proponemos una cronología flavia para el personaje (*cf.* n°25).



BBSM n° 4117 (Cortijo del Mohíno)



Barea *et al.* 2008: n°39 (Cerro de los Pesebres)

Figura 170.- Estudio comparativo de los sellos PHI de Cortijo del Mohíno y Cerro de lo Peserbres)

SCALENSIAPHI. Ver n°25.

•••

19.- RVST

Ref: CIL XV 3136b, Étienne & Mayet 2004: n° 1016d.

Dat: Forma A -diseño de la matriz- (*cf.* n° 15)

Estr: COGNOMEN.

Lec: *Rust(ici)*



BBSM n°4213

Dos ejemplares procedentes de la misma matriz. Por diseño y contenido análogo, relaciónese con la serie: CRES (n°11), GEM (n°13), LVC (n°16) y SEV<V>O (n°20).

Familia de sellos de *Seuvo* (nums. 20-21).

La familia de sellos de *Seuvo* está formada, hasta el momento, por 1 estructura, 2 lecturas y 2 matrices distintas (figura 171), que pasamos a desarrollar:

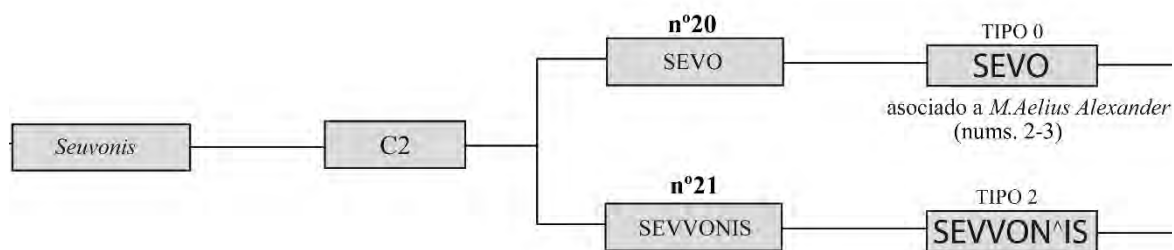


Figura 171.- Familia de sellos de Seuvo.

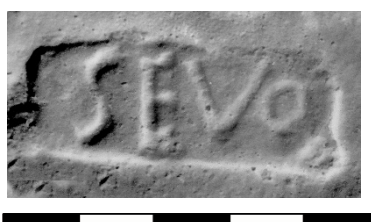
20.- SEV<V>O (SEVO)

Ref: Berni 2008: fig, 201, nº6.

Dat: Forma A, asociado al sello *M. Aelius Alexander* (vide nums. 2-3).

Estr: COGNOMEN.

Lec: *Se<u>vo(nis)*



BBSM nº4130

Contamos con 9 ejemplares donde estos sellos se asocian en las mismas asas a sellos de *M. Aelius Alexander*. El sello presenta lectura aparente SEVO donde la única letra “V” tiene doble valor, de vocal y consonante. Para Berni (*id.* 2008: 145), este sello y el siguiente dan crédito al uso de los *cognomina* en genitivo o nominativo durante el s. I d.C. Véase otros casos análogos con *Plocamus/Plocami* en Cerro de los Pesebres (Barea *et al.* 2008: nums. 40-41) y *Surus/Suri* en el Temple (Ponsich 1979: 182). En nuestra opinión, el resto de la serie no parece corroborar esta posibilidad. Confrontar con los sellos CRES y CRESCENTIS (nums.11-12), HELIO y HELIODORI (nums.14-15), de ahí el desarrollo que proponemos.

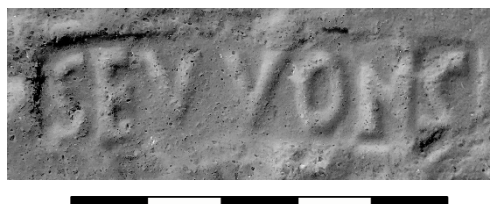
21.- SEVVONIS

Ref: Fernández *et al.* 2007: nº12. Berni 2008: fig. 201, nº7.

Dat: Forma B -context- (Pecio de la Albufereta I, Fernández *et al* 2007: nº12).

Estr: COGNOMEN.

Lec: *Seuvonis*



Rec: BBSM nums. 345+341+6094

Con ligadura “N^I” que no se observa en nuestros ejemplares. Relaciónese, por diseño y contenido análogo, con los sellos CRESCENTIS (nº 12) y SEXTIONIS (nº22). Hallado en el pecio de la Albufereta I (Fernández *et al.* 2007: nº12), lo que le confiere una datación de época de Nerón-

Vespasiano (forma B). En este mismo pecio tenemos el sello GEMELLI, del vecino Cerro de lo Pesebres (Fernández *et al.* 2007: n°6; Barea *et al.* 2008: n°32) y en la serie de Cortijo del Mohíno contamos con el sello GEM (n°13) para una fase anterior (forma A).

•••

22.- SEXTIONIS

Ref: Sin referencias previas conocidas.

Dat: Forma B -diseño de la matriz- (*cf.* n°20).

Estr: COGNOMEN.

Lec: *Sextionis*



BBSM n°01-214.

Con ligadura “N^I”. Relaciónese, por diseño y contenido análogo, con los sellos CRESCENTIS (n°12) y SEVVONIS (n°21), lo que le confiere una cronología de época de Nerón-Vespasiano (forma B).

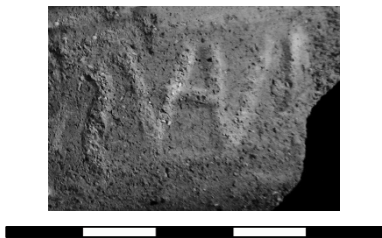
23.- SVAVI (?)

Ref: Sin referencias previas conocidas.

Dat: Forma A, asociado al sello *M. Aelius Alexander* (*vide* num. 2-3).

Estr: COGNOMEN.

Lec: *Suavi(s)*



BBSM n° 01-240.

Impronta débil donde interpretamos, con dudas, “S” vuelta y nexo “V^A^V”. Asociado en la misma asa a un sello de *M. Aelius Alexander* (num. 2-3)

Cognomina asociados a la *figlina Scalensia* (figura 172, nums. 24-26).

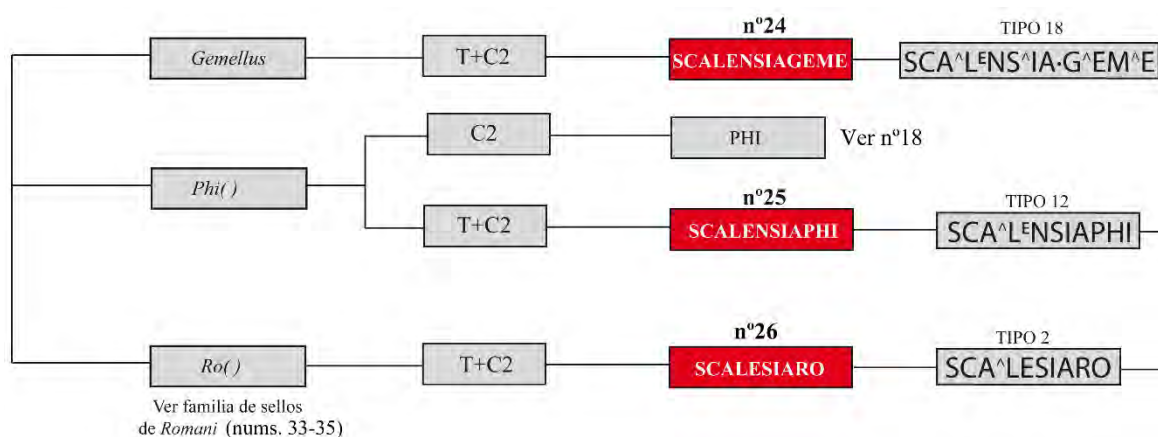


Figura 172.- Cognomina asociados a las producciones de la *figlina Scalensia*.

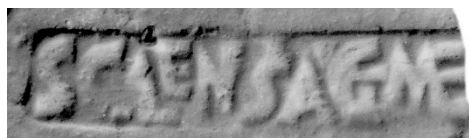
24.- SCALENSIAGEME

Ref: Barea *et al.* 2008: n° 31.

Dat: s.I d.C. -tip- (Étienne & Mayet 2004: 1125). Forma C. -tip- (figura 183, n°12).

Estr: TOPÓNIMO + COGNOMEN.

Lec: *Scalensia Gemelli*.



BBSM n°4210.

Dos ejemplares hallados en cortijo del Mohíno correspondientes a producciones de la *figlina Scalensia*. Se corresponde con la matriz Barea *et al* 2008: 31a, caracterizada por la disposición que adopta el nexa “M^E”. Creemos que habría que datar el sello con los flavios (formas B-C). El sello GEMELLI (Fernández *et al.* 2007: n° 6), del pecio de la Albufereta I, data a nuestro personaje en época de Nerón-Vespasiano (forma B). Sin embargo, el sello SCALENSIAGEME se halló sobre un asa de la forma C. Por ambas circunstancias creemos que habría que datar la serie en época flavia.

PHI Ver n° 18.

25.- SCALENSIAPHI

Ref: Chic 1985: p. 27. Remesal 1997: 313b (SCALENSIAPRI)

Dat: Forma C. -tip- (figura 183, nums.17-19). Forma B -diseño de la matriz- (*cf.* Berni 2017: 160a).

Estr: TOPÓNIMO + COGNOMEN.

Lec: *Scalensia Phi* ().



Rec: BBSM nums. 4137+4203+4415

Contamos, por el momento, con 45 sellos de esta lectura, todos procedentes de la misma matriz, que debemos sumar al hallado por Chic (*id.*1985: p. 27). Sin embargo, el sello no ha sido hallado por el momento en el vecino Cerro de los Pesebres, lugar de donde debería proceder. Estos datos inducen a pensar que las producciones de *Phi*() de la *Scalensia* se desarrollaron en Cortijo del Mohíno. Todos nuestros ejemplares sobre asas de la forma C. Sin embargo, el sello que nos ocupa presenta una evidente relación de diseño con el sello SCALENSIA (Berni 2017: 160a) (figura 173), que recientemente se ha datado en una fase preflavia por su presencia en el campamento militar de Kops Plateau de Nimega (Holanda), abandonado en el año 69 d.C. Ambas circunstancias nos llevan a plantear una cronología de época flavia, para esta serie.



Rec: BBSM nums.4137 + 4203 + 4415 (Cortijo del Mohino)



Berni 2017: n°160a (Kops Plateau, Nimega)



Figura 173.- Estudio comparativo entre los sellos SCALENSIAPHI y SCALENSIA.

26.- SCALENSIARO

Ref: Barea *et al.* 2008: n° 44. Étienne & Mayet 2004: 1138.

Dat: s.I d.C. -tip- (Étienne & Mayet 2004: 1138). Forma C. -tip- (figura 183, n°12).

Estr: TOPÓNIMO + COGNOMEN.

Lec: *Ser(vi---) Romani*



BBSM n°4210.

Cinco ejemplares hallados en cortijo del Mohíno correspondientes a producciones de la *figlina Scalensia* (Barea *et al.* 2008: n° 44). Relaciónese, por diseño y contenido análogo, con los sellos de la *figlina Talliane(n)sia*: TALANESIAE (n°37), TALANESIAGA (n°39) y TALANESIAN (n°40). Creemos que habría que datar estos sellos en época flavia.

Cognomina asociados a la figlina Servi() (figura 174, nums. 27-36)

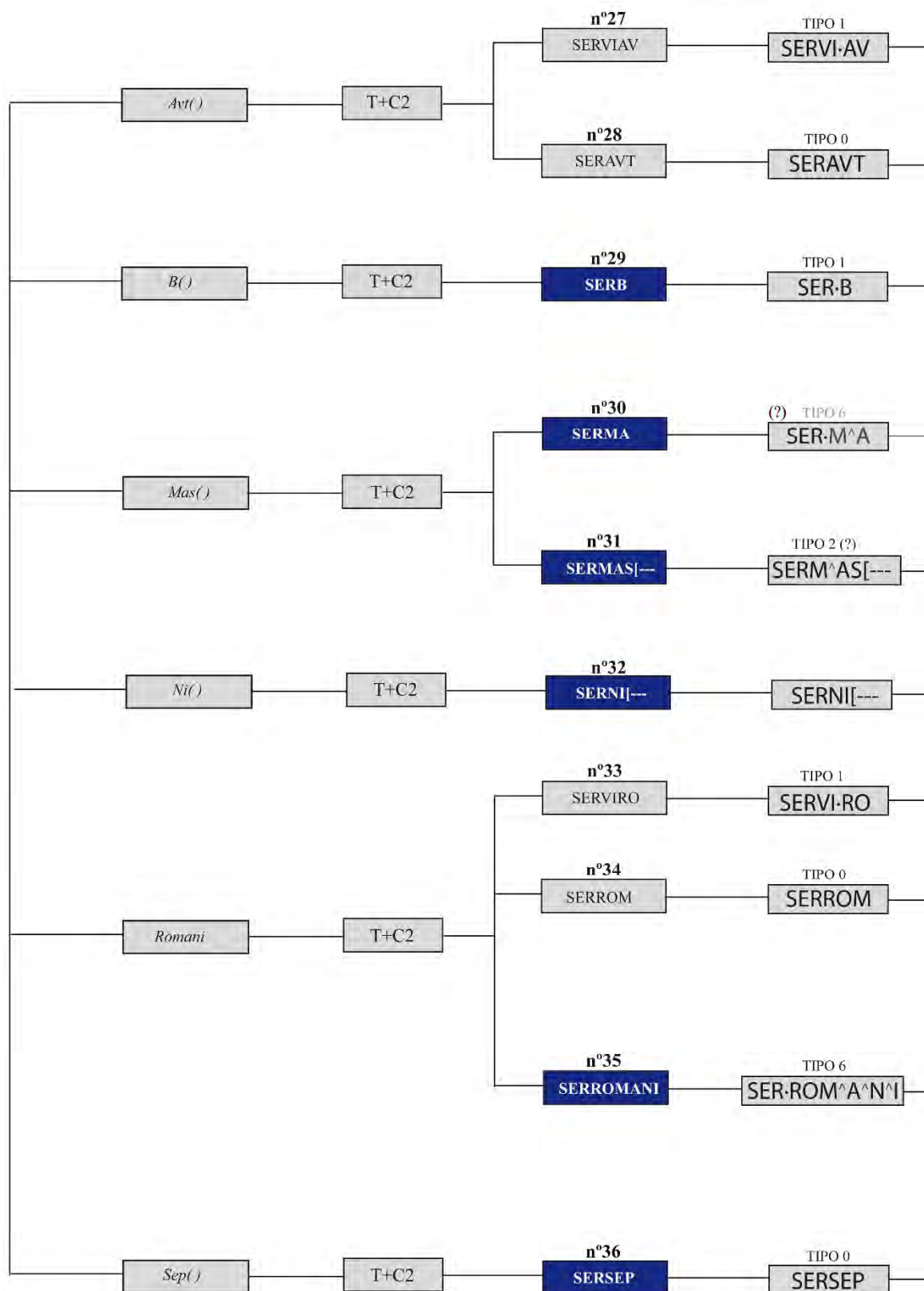


Figura 174.- Cognomina asociados a las producciones de la figlina Servi().

Familia de sellos de *Aut()* (figura 174, nums. 27-28).

La familia de sellos de *Aut()* está formada, hasta el momento, por 1 estructura, 2 lecturas y 2 matrices distintas, que pasamos a desarrollar:

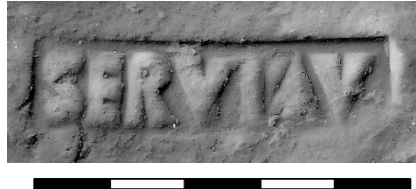
27.- SERVIAV

Ref: Berni 2008, fig. 201, nº5. Viegas & Magarida 2013: 734, fig. 4, 18b.

Dat. Forma D -diseño de la matriz- (cf. nº33).

Estr: TOPÓNIMO + COGNOMEN.

Lec: *Ser(vi---) Au(t---*)



BBSM nº342

Presenta idéntico diseño y contenido análogo al sello SERVIRO (nº33) y con los sellos de la *Belliciana*, BELLILI (vide 5.2.2, nº41) y BELLILV (vide 5.2.2, nº45), que datamos durante la primera mitad del s. II d.C. (formas C-D y D) (figura 175).

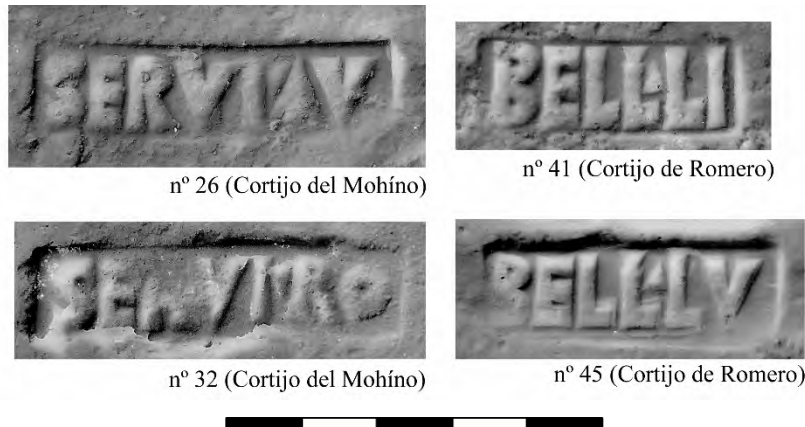


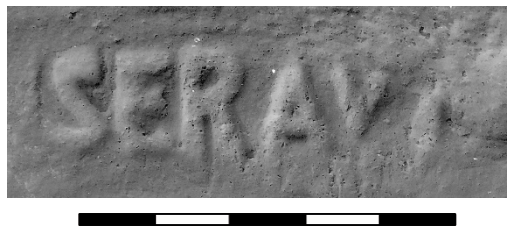
Figura 175.- Estudio comparativo de los sellos SERVIAV, SERVIRO de Cortijo del Mobino y los sellos de Cortijo de Romero: BELLILI y BELLILV.

28.- SERAVT

Ref: CIL XV 3181. Viegas & Magarida 2013: 734, fig. 4, 18b.

Estr: TOPÓNIMO + COGNOMEN.

Lec: *Servi() Aut()*



BBSM nº347.

Tenemos un ejemplar en mejor estado de conservación hallado en Lagos en Portugal (Viegas & Magarida 2013: 734, fig. 4, 18b.)



Viegas & Magarida 2013: 734, fig. 4, 18b.

Presenta idéntico diseño y contenido análogo al sello SERROM (nº33) y con los sellos de la *Belliciana*, BELLIB (*vide* 5.2.2, nº42,) y BELSIL (*vide* 5.2.2, nº60a,) que datamos durante la primera mitad del s. II d.C (formas C-D y D) (figura 176).



nº 27 (Cortijo del Mohíno)



nº 42 (Cortijo de Romero)



nº 33 (Cortijo del Mohíno)



nº 60a (Cortijo de Romero)



Figura 176.- Estudio comparativo de los sellos SERAVT y SERROM de Cortijo del Mohíno y los sellos de Cortijo de Romero: BELLIB y BELSIL.

...

29.- SERB

Ref: Callender 1597c, fig. 17.2.

Estr: TOPÓNIMO + COGNOMEN.

Lec: *Ser(vi---) B()*



Callender 1597c, fig. 17.2.

Sello hallado en Newstead (Reino Unido), sin paralelos en la Bética pero afín a las producciones de la *figlina Servi* () de la primera mitad del s.II d.C.

Familia de sellos de *Mas()* (figura 174, nums. 30-31).

La familia de sellos de *Mas()* está formada, hasta el momento, por 1 estructura, 2 lecturas y 2 matrices distintas, que pasamos a desarrollar:

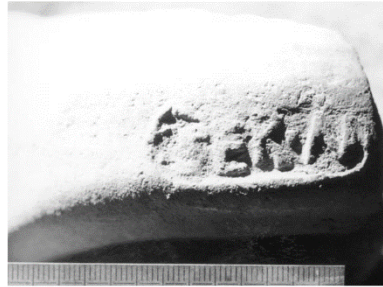
30.- SERMA

Ref: Marlière 2003: n°57, fig. 23,57. Remesal 1997: n° 305 (SERN)

Dat: ca. 120-140 d.C. -contex- (Vindolanda, Marlière 2003: n°57, fig. 23,57).

Estr: TOPÓNIMO + COGNOMEN.

Lec: *Ser(vi---) Ma(s---*



Marlière 2003: n°57, fig. 23,57.

Sello hallado en contexto arqueológico en Vindolanda (Reino Unido), sin paralelos en la Bética. En la fotografía observamos un posible nexa final “M^A”.

31.- SERMAS[---

Ref: Callender 1597e = Ehmig 2003: taf. 14.1526.

Estr: TOPÓNIMO + COGNOMEN.

Lec: *Ser(vi---) Mas()*



Ehmig 2003: taf. 14.1526.

Sello hallado en Groß-Gerau (Alemania), sin paralelos en la Bética que desarrolla algo más del *cognomen* de nuestro personaje.

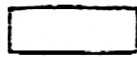
•••

32.- SERNI[--- (?)

Ref: CIL XV 3182.

Estr: TOPÓNIMO + COGNOMEN.

Lec: *Ser(vi---) Ni[---?] vel Serani.*



SERNV

CIL XV 3182.

Familia de sellos de *Romanus* (figura 174, nums. 33-35).

La familia de sellos de *Romanus* está formada, hasta el momento, por 1 estructura, 3 lectura y 3 matrices distintas, que pasamos a desarrollar:

33.- SERVIRO

Ref: CIL XV 3184.

Dat: ca. 145-161 d.C. -contex- (Test. lit. C, -1 ej.- CIL XV 3184).

Estr: TOPÓNIMO + COGNOMEN.

Lec: *Servi() Ro()*



Rec. BBSM nums. 349+6103

Relaciónese, por diseño y contenido análogo, con el sello SERVIAV (nº27).

34.- SERROM

Ref: CIL XV 3183. Rouquette 1992: fig. 5, nº19 = Étienne & Mayet 2004: 1163a.

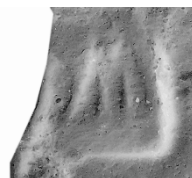
Estr: TOPÓNIMO + COGNOMEN.

Lec: *Servi() Rom(ani)*



Étienne & Mayet 2004: 1163a.

Relaciónese, por diseño y contenido análogo, con el sello SERAVT (nº28). Podemos dudar sobre si este sello no es más que una lectura incompleta del sello siguiente. Contamos con un ejemplar incompleto, aunque con el final de la cartela intacto, que soluciona la cuestión en favor de la lectura propuesta.



BBSM nº 338

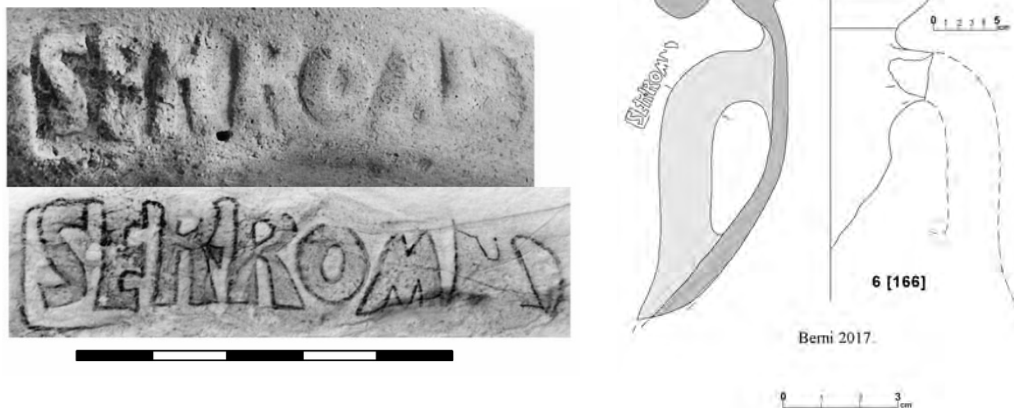
35.- SERROMANI

Ref: Berni 2017: n° 166

Dat: Forma C -tip- (parte superior del ánfora, Berni 2017: n° 166).

Estr: TOPÓNIMO + COGNOMEN.

Lec: *Ser(vi---) Romani*



Berni 2017: n° 166

Sello hallado en Nimega (Holanda), sin paralelos en la Bética. Se presenta sobre un gran fragmento de la parte superior de una Dressel 20 datada tipológicamente en época flavio-trajanea (forma C1). Sin embargo, el sello SERVIRO (n° 33) se data en el Testaccio hacia mediados del s.II d.C. El salto cronológico implicaría que estamos ante dos personajes distintos: *Romanus* y *Ro()*. Persiste la duda. El resto de la serie de la *figlina Servi()* parece apuntar hacia cronologías algo posteriores (formas C-D y D) a la del sello SERROMANI de Nimega.

•••

36.- SERSEP

Ref: Cognot 1983: p.39. Martin-Kilcher 1987: n° 43 (SERSLP).

Dat: *ante quem* 120-125 d.C. -contex- (Macôn, Cognot 1983: p.39). *ca.*70-130 d.C. (Augst. Martin-Kilcher 1987: n° 43).

Estr: TOPÓNIMO + COGNOMEN.

Lec: *Ser(vi---) Sep()*



Rec. BBSM nums. 349+6103

Sello hallado en Macôn y Augst, sin paralelos en la Bética. Relaciónese, por diseño y contenido análogo, con el sello SERAVT (n°28). A datar con anterioridad a 120-125 d.C. por el depósito francés.

Cognomina asociados a la Talliane(n)sia. (nums. 37-40).

Los cognomina asociados a la *figlina Tallianensia* se organizan alfabéticamente por el personaje subordinado (figura 177).

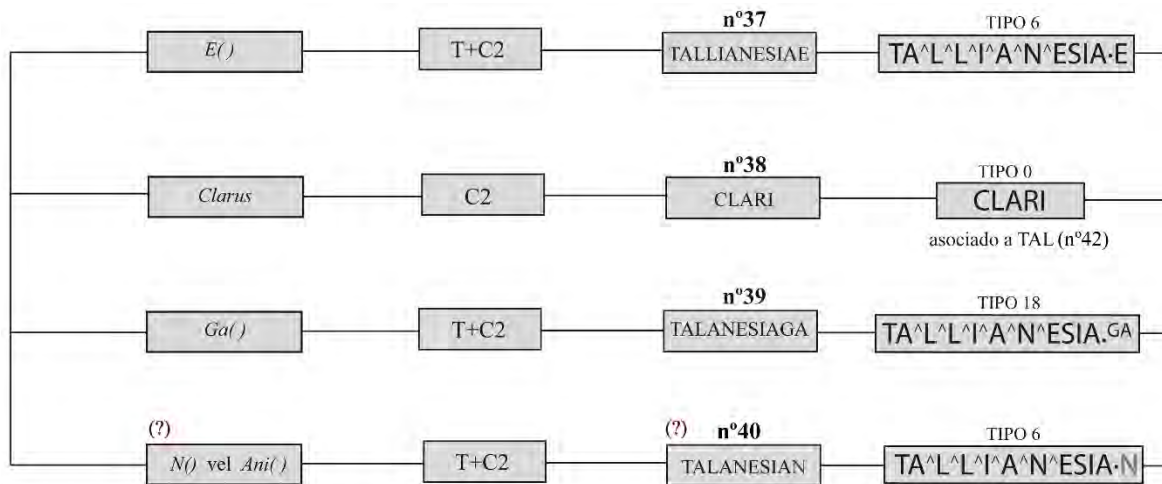


Figura 177.- Cognomina asociados a las producciones de la *figlina Tallia(n)sia*.

37.- TALANESIAE

Ref: Berni 2008, fig. 201, n°10.

Dat: Forma C -tip- (figura 183, n°11)

Estr: TOPÓNIMO + COGNOMEN.

Lec: Talane<n>sia E().



Rec: BBSM mums. 357+4159

Relaciónese, por diseño y contenido análogo, con los sellos TALANESIAGA (n°39) y TALANESIAN (n° 40). Con el mismo criterio, podemos ir un poco más lejos y relacionarlos con las series de la *Belliciana*: BELICIANARE (*vide* 5.2.2, n° 56) y BELLICIANAL (*vide* 5.2.2, n° 40), y con los sellos de la *Scalensia*: SCALESIARO (n° 26) y SCALESIAL (Barea *et al.* 2007: n° 35), por poner algunos ejemplos (figura 178). Proponemos una datación de época flavia para todas estas series.



Rec. Remesal nº 81/37 + BBSM. nº46 (C.de Romero)



BBSM. nº4201 (C.del Mohino)



Barea et al. 2008: nº 35a (Cerro de los Pesebres)



Rec: Ponsich 116, nº 127 + BBSM. nums. 285 + 400 (C. de Romero)



Rec. BBSM. nums.357 + 4159 (C.del Mohino)



Barea et al. 2008: nº 44a (Cerro de los Pesebres)



Figura 178.- Estudio comparativo de los sellos BELICIANARE, BELICIANAL, TALANESIAGA, TALANESIAE, SCALESIAL y SCALESIARO, de las producciones de la *Belliciana*, *Talliane(n)sia* y *Scalensia*.

38.- CLARI (asociado al sello TAL, nº42)

Ref: Berni 2008, fig. 201, nº9.

Dat: Formas A o B -tip- (figura 183, nº9)

Estr: TOPÓNIMO + COGNOMEN.

Lec: *Clari vel Clari(ni)*.



Rec: BBSM nº 01/1

Asociado en la misma asa al sello TAL (nº42), 3 ej. (figura 179). El sello nos recuerda por su diseño y contenido análogo a las series de Cortijo de Romero: AVCTINI (vide 5.2.2, nº23-24), BERITI (vide 5.2.2, nº28), FAVSTI (vide 5.2.2 nº30) y SAVLICVLI (vide 5.2.2, nº58), lo que lo situaría en una cronología de época de Claudio. La forma del asa, aunque incompleta, también apunta a una forma A o B. Con esta datación preflavia, las primeras producciones de la *figlina Talliane(n)sia* se situarían muy cerca de la serie de *M. Aelius Alexander*. (nums.2-3). En la *Scalensia* conocemos el sello CLARINI (Barea *et al.* nº 22), sin datación. Atribuido a las producciones de la *Belliciana* tenemos el sello FAVSTICLA[--- (vide 5.2.2, nº 35) de Nida-Hedderheim (Alemania) (Ehmig 2007: taf. 39.639) que datamos en época flavia.



Figura 179.- Sellos CL]ARI + TAL (BBSM nº4172 a-b).

39.- TALANESIAGA

Ref: Callender nº 1688b, fig. 17.41; Berni 2008, fig. 201, nº11.

Estr: TOPÓNIMO + COGNOMEN.

Lec: *Talane<n>sia Ga()*



BBSM nº. 4201

Relaciónese, por diseño y contenido análogo, con los sellos TALLIANESIAE (nº 37) y TALLIANESIAN (nº 40). Proponemos una datación de época flavia para estos sellos.

40.- TALANESIAN

Ref: Sin referencias previas conocidas.

Estr: TOPÓNIMO + COGNOMEN.

Lec: Talane<n>sia N() vel Ani() vel M()



Rec: BBSM mums. 357+4159

Sello desgastado con la última letra dudosa que nos impide precisar el *cognomen* asociado. Relaciónese, por diseño y contenido análogo, con los sellos TALLIANESIAE (nº37). TALLIANESIAGA (nº 39). Proponemos una datación de época flavia para estos sellos.

5.2.3.3.- TOPÓNIMOS

Tenemos 2 familias, 1 estructura, 3 lecturas y 9 matrices distintas para sellos que incluyen un TOPÓNIMO: *Servi()* (nº41) y *Talliane(n)sia* (nums. 42-43).

Familia de sellos de la *figlina Servi()* (figura 180, nº 41)

La familia de sellos con el topónimo *Ser(vi---*) está formada, hasta el momento, por 1 estructura, 1 lectura y 4 matrices distintas, que pasamos a desarrollar:

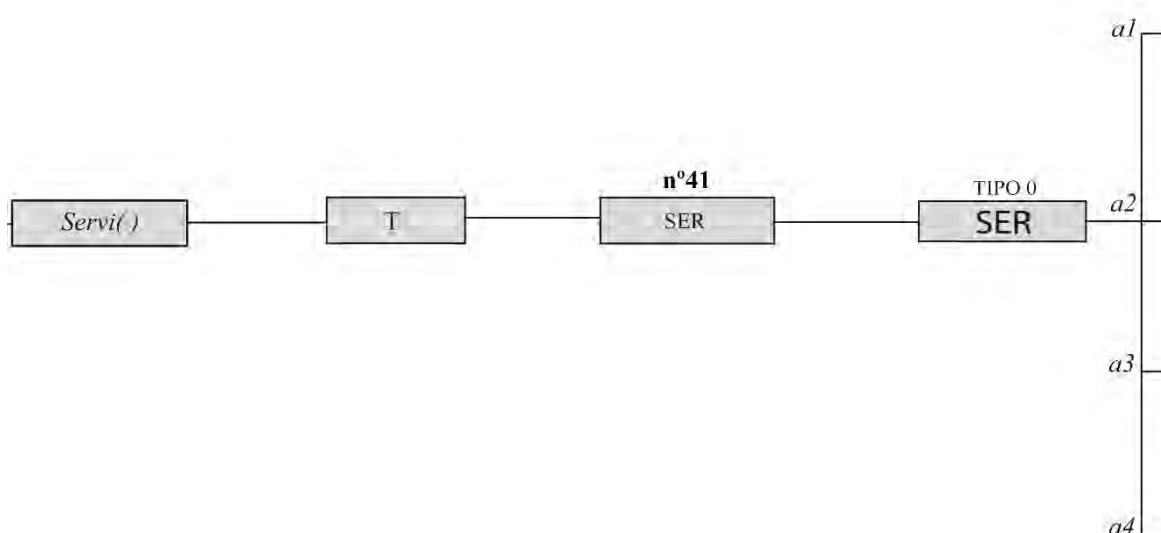


Figura 180.- Familia de sellos de la *figlina Servi()*

41.- SER

Ref: CIL XV 3180

Dat: ca. 145-161 d.C. -contex- (Test. *litt* b -2 ej-, *litt*. c -11 ej.- CIL XV 3180)

Estr: TOPÓNIMO

Lec: *Ser*(vi---)

Presenta, por el momento, cuatro matrices distintas caracterizadas por el tipo y tamaño de las letras.

a1)



CIL XV 3180, 07

a2)



Ehmig 2003: n°192,2

BBSM n°4175

a3)



CIL XV 3180, 07

a4)



BBSM n°4412

Presenta la misma cronología, mediados del s.II d.C., diseño y contenido análogo, con los sellos BEL (*vide* 5.2.2, n°70) y SCA (Barea *et al.* 2007: n° 56).



n° 70 (Cortijo de Romero)



n°40d (Cortijo del Mohino)



Barea et al. 2007, n°56 (C. de los Pesebres)



Figura 181.- Estudio comparativo de los sellos BEL, SER y SCA de la *Belliciana*, *Servi* () y *Scalensia*.

Familia de sellos de la *Talliane(n)sia* (figura 182, nums. 42-43)

La familia de sellos con el topónimo *Talliane(n)sia* está formada, hasta el momento, por 1 estructura, 2 lecturas y 5 matrices distintas, que pasamos a desarrollar:

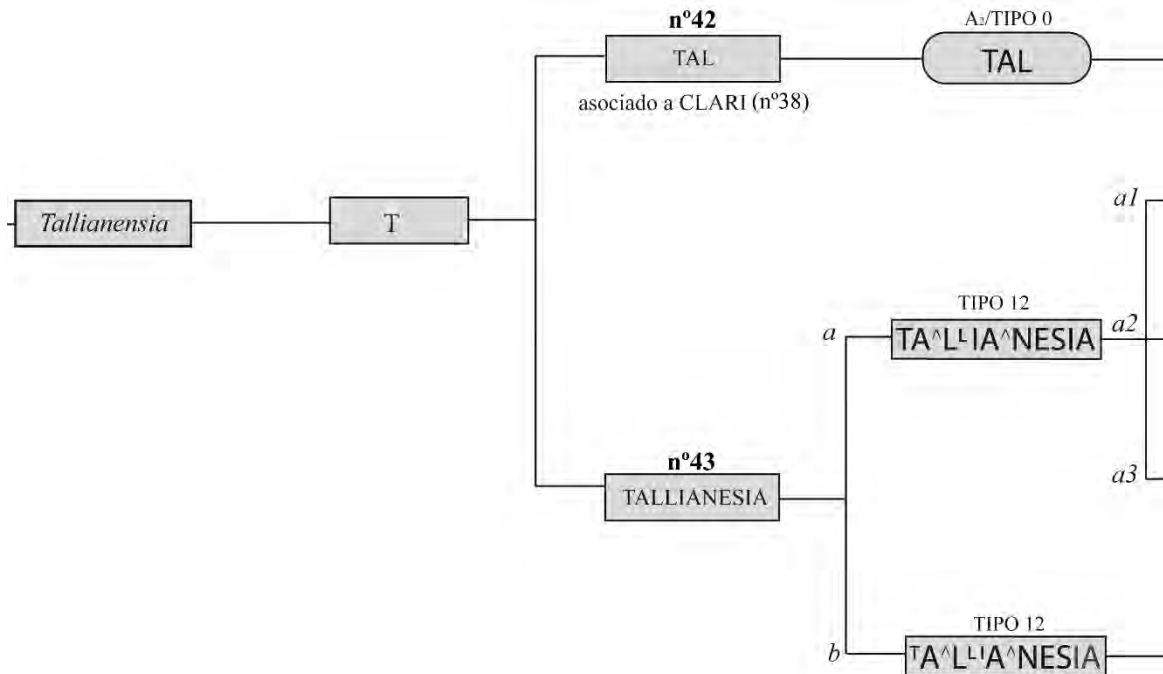


Figura 182.- Familia de sellos del TOPÓNIMO *Tallia(n)ensia*.

42.- TAL

Ref: Berni 2008, fig. 201, n°9.

Dat: Formas A o B -tip- (figura 183, nums. 9)

Estr: TOPÓNIMO

Lec: *Tal(lianensia)*



BBSM. n°4172

Asociado en la misma asa al sello CLARI (nº38). Como vimos, con esta datación preflavia, que aporta la tipología del asa, las primeras producciones de la *figlina Talliane(n)sia* se situarían muy cerca de la serie de *M.Aelius Alexander* (nums.2-3).

43.- TALLIANESIA

Ref: Berni 2008, fig. 201, nº8.

Dat: Formas B y C -tip- (figura 183, nums. 24-25)

Estr: TOPÓNIMO

Lec: *Ser(vi---*)

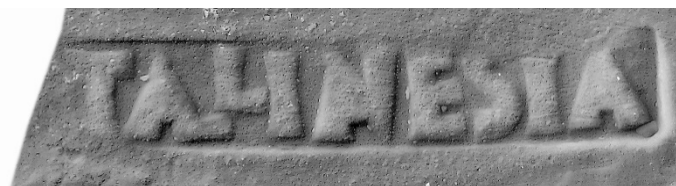
Todas las matrices con idénticos nexos “A^L” y “A^N” y parecen hechas por una misma mano, pero presentan pequeñas diferencias por la posición que adopta la segunda “L” y por el tamaño de la “T” inicial.

a1) “L” de menor tamaño y solapada al cartucho del nexo “A^L”.



BBSM. nº4202

a2) “L” de menor tamaño y solapada al cartucho del nexo “A^L”.



BBSM. nº355

a3) “L” de menor tamaño y situada al borde del cartucho del nexo “A^L”.



Rec: BBSM. nums. 354+4173

b) Las letras “LI” de menor tamaño y situadas sobre el nexo “A^L”. “T” inicial pequeña y alineada arriba.



Rec: BBSM. nums. 353+371

La forma de las asas apunta hacia producciones de época flavia (forma B-C)

5.2.3.4.- Grafitos, *ante cocturam*, in ansa.

44.- MAEL *vel* ME (?)

Ref: Sin referencias previas conocidas.

Dat: Formas A o B -tip- (figura 183, nums. 26)

Estr: TRIA NOMINA *vel* COGNOMEN (?)

Lec: *M. Ael(i) vel Me()*



BBSM. n°4104



BBSM. n°6111

Dos ejemplares de grafitos con lectura retro MAEL *vel* ME (?) sobre asas de las formas A o B. Estos son los primeros casos conocidos de grafitos *ante cocturam* en esta posición del ánfora. Pensamos que, en este caso, estos grafitos pudieron reemplazar al sello por circunstancias excepcionales y ajenas al modo de hacer en las *figlinae*, de modo que, a falta de sello, salieron del paso identificando los envases con estos grafitos. Con lectura retro, de izquierda a derecha. Dudamos en interpretarlo como *praenomen + nomen*, *M.Ael(i)*, con nexo “M^A^E^L”, con la A boca abajo y con la “L” indicada por la prolongación del hasta de la “E”, o sin nexo e interpretado como un *cognomen*, *Me()*. La forma de las asas invita a relacionarlos con las producciones de *M. Aelius Alexander*, lo que parece reforzar la primera lectura.

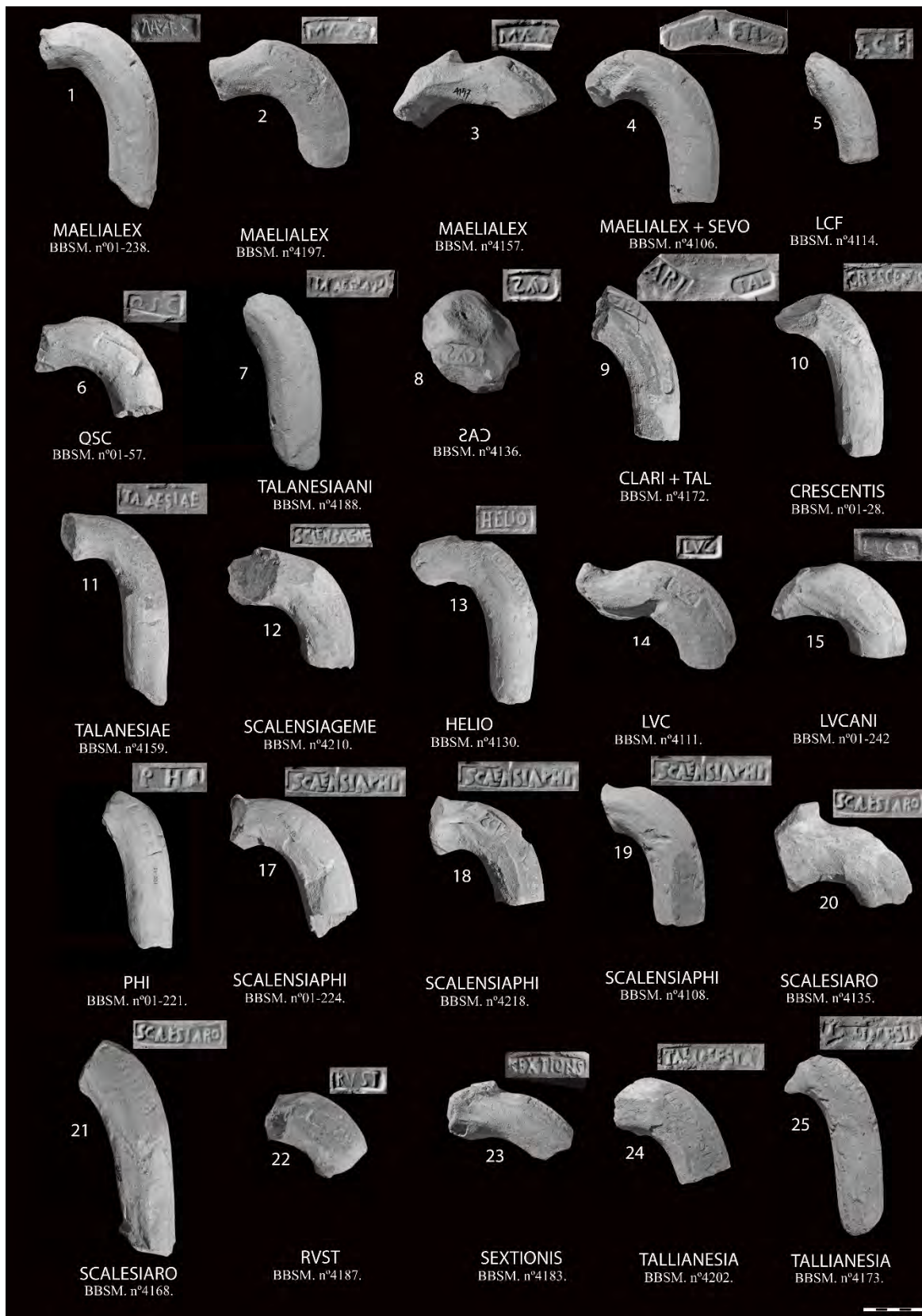


Figura 183.- Asas asociadas a sellos de Cortijo del Mohino, nums. 1 a 25

5.2.4.- Los dendrogramas de Cortijo de Romero, Cortijo del Mohíno y Cerro de los Pesebres.

El tamaño que alcanzan estos dendrogramas impide su reproducción en una publicación en papel. Pueden consultar estos dendrogramas en archivos pdf incluidos en el anexo 3 del CD adjunto a este trabajo.

5.3.- Deducciones de los *corpora* y los dendrogramas: sistemas de sellado y fases productivas de las *figlinae*.

5.3.1.- Cuadro de las fases productivas de las *figlinae*.

Como vimos en 4.7, en los *corpora* y dendrogramas de las *figlinae* tenemos desplegada toda la información que necesitamos conocer de los sellos ordenada por criterios epigráficos. Para tratar de establecer las **fases productivas** de las *figlinae* debemos ordenar los sellos por criterios cronológicos (Berni 2008: 141-142). Previamente estableceremos los grupos homogéneos, es decir, agrupamos los sellos que presentan el mismo diseño y contenido análogo (*vide* 2.4.1), que situamos en una línea de tiempo. Estos grupos homogéneos nos estarán mostrando diversos momentos de la actividad del taller.

En las figuras 184 y 185 incluimos los cuadros de las fases productivas de Cortijo de Romero y Cortijo del Mohíno. En 4.7 ya habíamos incluido el cuadro de las fases productivas de la *Scalensia*, que nos sirvió en su momento para definir las características que presentan estos cuadros. Como en el caso de los dendrogramas, pueden consultar estos cuadros en archivos pdf incluidos en el anexo 4 del CD adjunto a este trabajo.

En estos cuadros nos apoyaremos para describir los sistemas de sellado de los talleres.

5.3.2.- Descripción de los sistemas de sellado.

A continuación, trataremos de describir la evolución que presentan los tres elementos básicos del sistema de sellado: TOPÓNIMOS, TRIA NOMINA Y COGNOMINA.

5.3.2.1.- Evolución de los TOPÓNIMOS en la zona productora.

En la figura 186 incluimos un esquema de la distribución en el tiempo de los TOPÓNIMOS en los sistemas de sellado de los talleres involucrados en este estudio. Para cada lugar, en la parte superior de la línea de tiempo se sitúan los desarrollos que alcanzan los topónimos cuando éstos aparecen solos en los sellos, mientras que en la parte inferior recogemos sus desarrollos cuando se asocian a otros elementos: TRIA NOMINA y/o COGNOMINA.

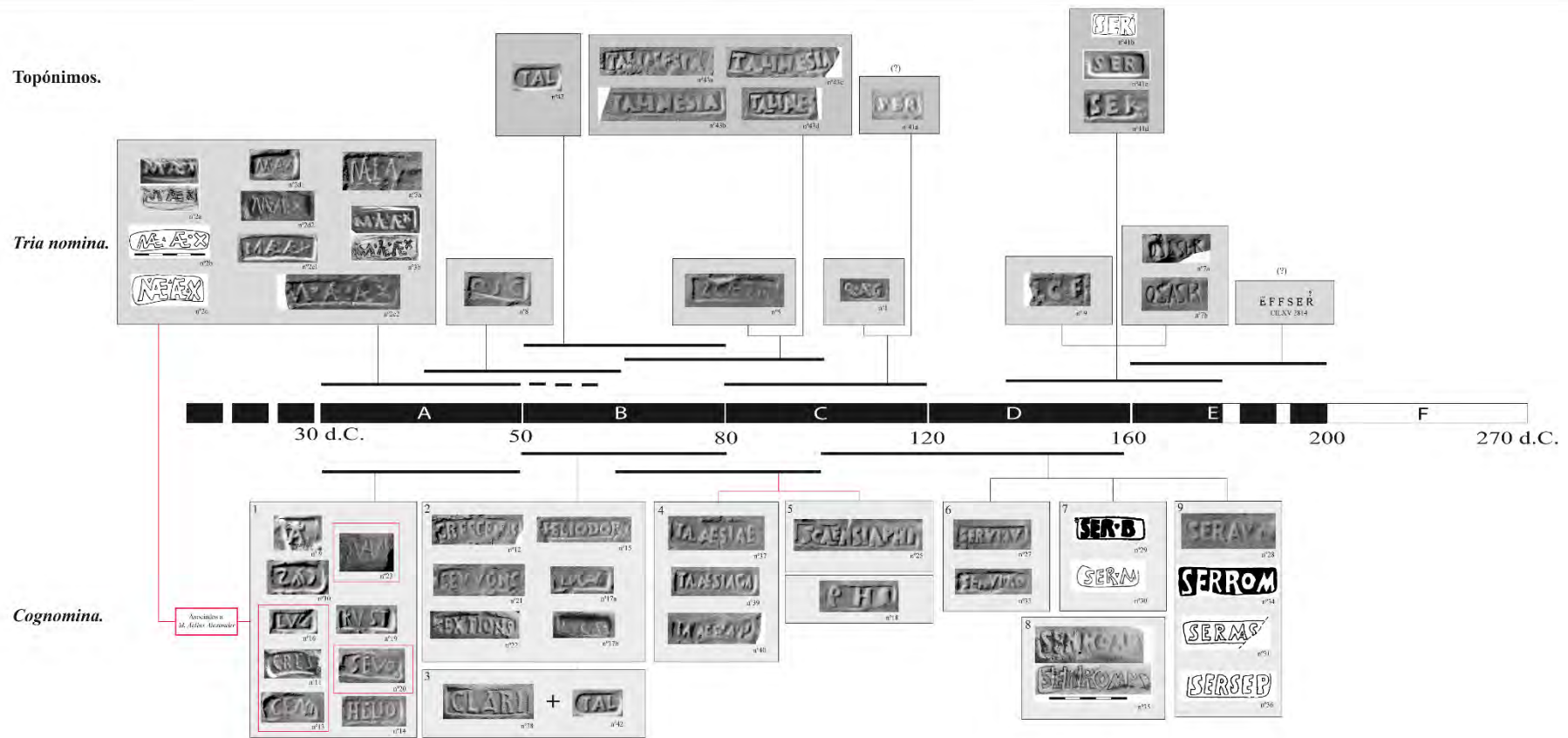


Figura 185.- Fases productivas de Cortijo del Mohino.

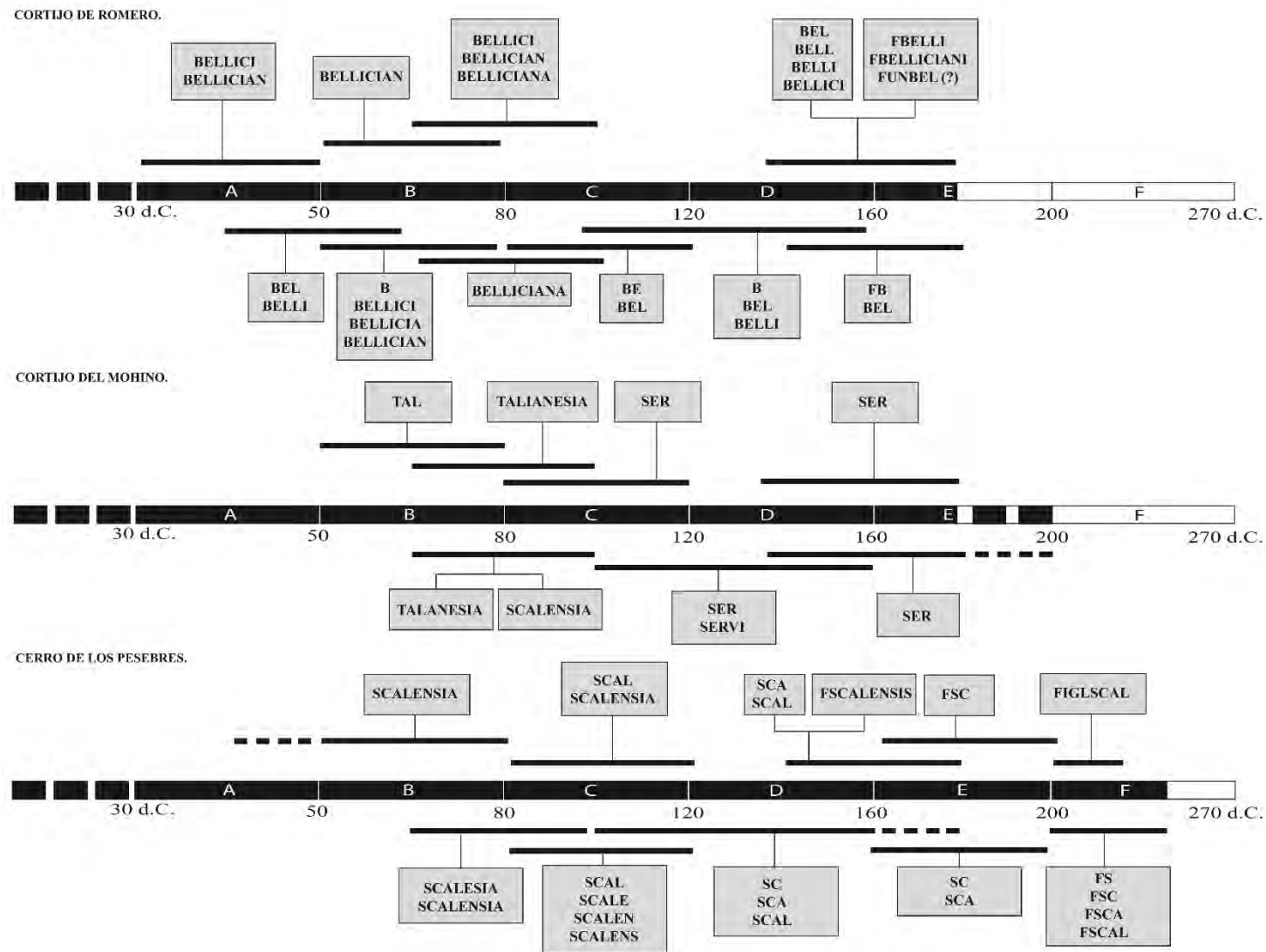


Figura 186.- Distribución en el tiempo de los TOPÓNIMOS en Cortijo de Romero, Cortijo del Mohino y Cerro de los Pesebres.

Los TOPÓNIMOS son los elementos mejor representados en los sellos de los talleres de nuestra zona de estudio y podemos considerarlos como el “eje vertebrador” de sus sistemas de sellado (Berni 2008: 133). Como hemos visto, estos elementos pueden aparecer solos en los sellos o acompañados de los TRIA NOMINA y/o COGNOMINA. De este modo, tenemos las estructuras elementales: TOPÓNIMO, TRIA NOMINA + TOPÓNIMO, TOPÓNIMO + COGNOMEN, su complementaria COGNOMEN + TOPÓNIMO, y TRIA NOMINA + TOPÓNIMO + COGNOMEN.

Conocemos al menos cinco TOPÓNIMOS diferentes en esta zona productora situada entre Cortijo de Romero y Cerro de los Pesebres. El posible TOPÓNIMO *Trop(himiana)* parece una contaminación de un taller que pudo situarse cerca de esta zona productora. Los TOPÓNIMOS *Belliciana* (cortijo de Romero) y *Scalensia* (Cerro de los Pesebres) se conocen prácticamente durante todo el periodo de actividad en sus respectivos centros productores, sin embargo, en Cortijo del Mohíno contamos con tres TOPÓNIMOS usados en momentos distintos de su actividad: *Talliana(n)sia* (Neron-Vespasiano y época flavia), *Scalensia* (época flavia) y *Servi()* (de Trajano a Marco Aurelio), lo que pone de manifiesto las vicisitudes por las que debió pasar este centro productor al situarse entre dos potentes alfarerías: *Belliciana* y *Scalensia*.

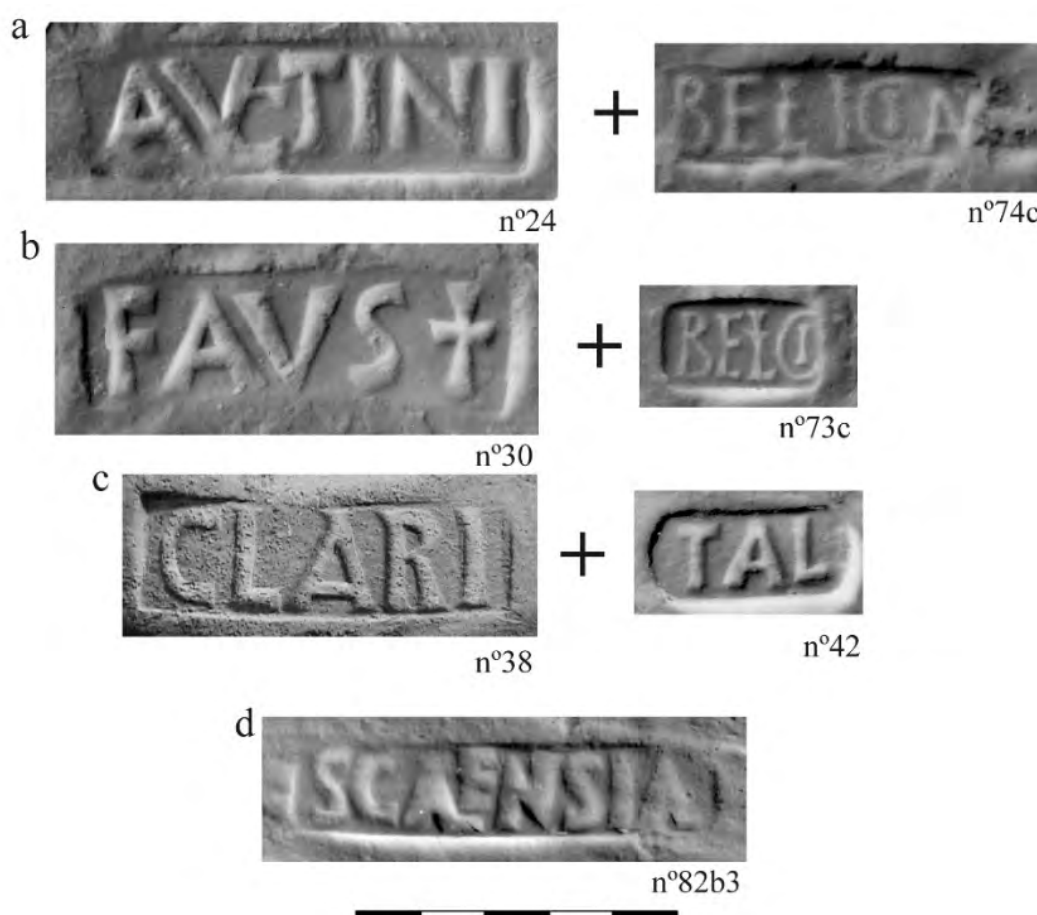


Figura 187.- Primeras apariciones de los TOPÓNIMOS en los sellos de la *Belliciana* (a-b) *Tal(lianiensia)* (c) y *Scalensia* (d).

El TOPÓNIMO se incorpora en el sellado de nuestra zona de estudio en las primeras producciones de la *Belliciana* en ánforas de la forma A (ca. 30-50 d.C.) acompañando a otros sellos

que incluyen unos COGNOMINA completamente desarrollados: FAVSTI + BELLICI, AVCTINI + BELLICIAN, (figura 187 a-b). En cortijo del Mohíno, el nombre del taller, *Talliane(n)sia*, se registra por primera vez¹⁶⁰ en una fase preflavia y sigue el mismo esquema que en la *Belliciana* (CLARI + TAL) (figura 187 c). El TOPÓNIMO *Scalensia* de Cerro de los Pesebres también se registra por primera vez en una fase preflavia, a juzgar por el hallazgo del sello SCALENSIA en el campamento holandés de Kops Plateau¹⁶¹, abandonado en a. 69 d.C. (figura 187 d).

Los TOPÓNIMOS completamente desarrollados son propios de una fase flavia de la actividad de los talleres, así tenemos los sellos: BELLICIANA, TALIANESIA y SCALENSIA (figura 188 a, b, c)

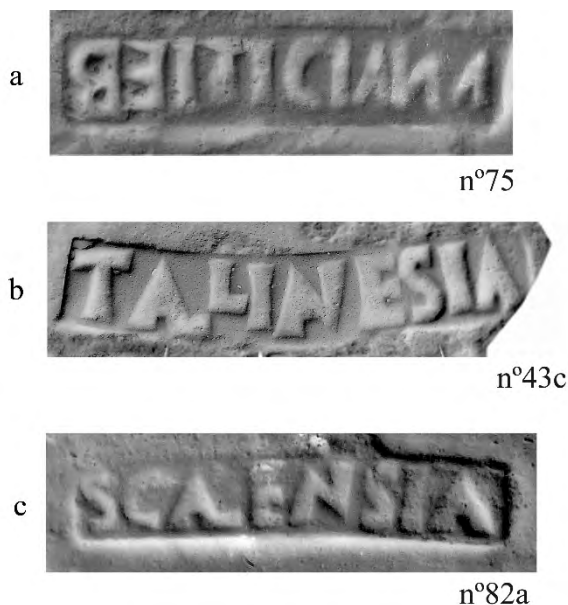


Figura 188.- Los TOPÓNIMOS en época flavia.

Hacia mediados del s.II d.C. los TOPÓNIMOS presentan los desarrollos: BEL, SER y SCA (figura 189).



Figura 189.- Los TOPÓNIMOS a mediados del s.II d.C.

¹⁶⁰ Debemos permanecer atentos al sello n°9 del *corpus* de Cortijo del Mohíno, que con un desarrollo alternativo *Talli(anensia)*, haría retroceder la primera referencia al taller a una fase ca.30-50 d.C., por tanto, coetánea con las producciones de *M. Aelius Alexander*.

¹⁶¹ Berni 2017: n°160a.

En el estudio de los sellos de la *Scalensia* (Barea *et al.* 2008), observamos esta tendencia según la cual el nombre del taller va acortándose a medida que avanza el tiempo. En Cerro de los Pesebres conocemos casi todos los desarrollos posibles del TOPÓNIMO y presentan una distribución: SCALEZIA y SCALENSIA hasta época flavia, SCAL, SCALE, SCALEN y SCALENS durante época flavio trajanea, SC, SCA, SCAL, FSC y FSCALENSIS durante el s.II d.C. y FS, FSC, FSCA, FSCAL y FIGLSCAL durante el s.III d.C. De este modo el desarrollo del TOPÓNIMO nos puede servir para ordenar en el tiempo las distintas series.

En el resto de los talleres que componen esta zona productora también observamos esta tendencia, pero con matices. En Cortijo del Mohíno la distribución del TOPÓNIMO sería: TAL y TALLIANESIA hasta época flavia, SCALENSIA también en época flavia y finalmente SER, SERVI durante la primera mitad del s.II d.C. y quizás hasta Marco Aurelio-Cómodo.

El sistema de sellado de la *Belliciana* es el que más se desvía de esta tendencia. De este modo hasta época flavia tenemos los desarrollos B, BEL, BELLI, BELLICI, BELLICIAN y BELLICIANA. En el s.II d.C. los desarrollos conocidos serían: B, FB, BE, BEL, BELLI, FBELLI, BELLICI y FBELLICIANI, de modo que tenemos un esquema aproximadamente simétrico en la distribución de los desarrollos del TOPÓNIMO, con la línea central situada en época flavia. En estas circunstancias, no podemos utilizar el desarrollo de este elemento para ordenar cronológicamente las series ya que, por ejemplo, el desarrollo BELLICI lo tenemos con la forma A (*ca.* 30-50), B-C (*ca.* 60-100 d.C.) y D (*ca.* 120-160 d.C.), aunque los sellos presentan evidentes diferencias de diseño que nos ayudarán a la hora de datarlos (figura 190 a,b,c, respectivamente).



Figura 190.- Sellos BELLICI de distintas épocas.

A partir de mediados del s.II d.C. en la zona productora, los TOPÓNIMOS empiezan a incluir un ATRIBUTO *F*() que presenta un desarrollo ambiguo: (*ex*) *f*(*iglinis*) *vel* *f*(*undi*). En la serie de la figura 191 tenemos sellos de las *figlinae Belliciana* y *Scalensia* que presentan esta característica con dataciones de mediados del s.II d.C. (a-e), del tercer cuarto de s.II d.C. (f-g) y del s.III d.C. (h). En el único caso en que los sellos desarrollan el ATRIBUTO, se hace referencia a una *figlina* (FICLSCAL) (figura 191 h). De modo que en la mayoría de los sellos sería lógico desarrollar el atributo como (*ex*) *f*(*iglinis*). No obstante, los sellos coetáneos y de contenido análogo FSCALENSIS (figura 191e) y FBELLICIANI (figura 191c), creemos que ocultan una mención a las propiedades a las que se asociaban estos talleres y los desarrollamos *f*(*undi*) *Scalensis* y *f*(*undi*) *Belliciani* (*vide* 5.2.2, n° 77).

En resumen, de los TOPÓNIMOS se deduce: la *figlina Belliciana* presenta actividad en Cortijo de Romero desde el segundo cuarto del s.I d.C., hasta el tercer cuarto del s.II d.C. La *figlina Scalensia* mantiene su nombre en Cerro de los Pesebres desde producciones preflavias y desarrolla su actividad ininterrumpidamente hasta mediados del s.III d.C. En Cortijo del Mohíno el taller se recoge por primera vez con el nombre *Talliane(n)sia* en producciones de época preflavia y flavia, mientras que

en el s.II d.C., la sede cambia su nombre y los sellos se asocian a una *figlina Servi* (). Con los datos actuales, este cambio de nombre del centro productor se produce en torno al cambio de siglo, lo que nos está marcando dos fases de actividad muy claras.

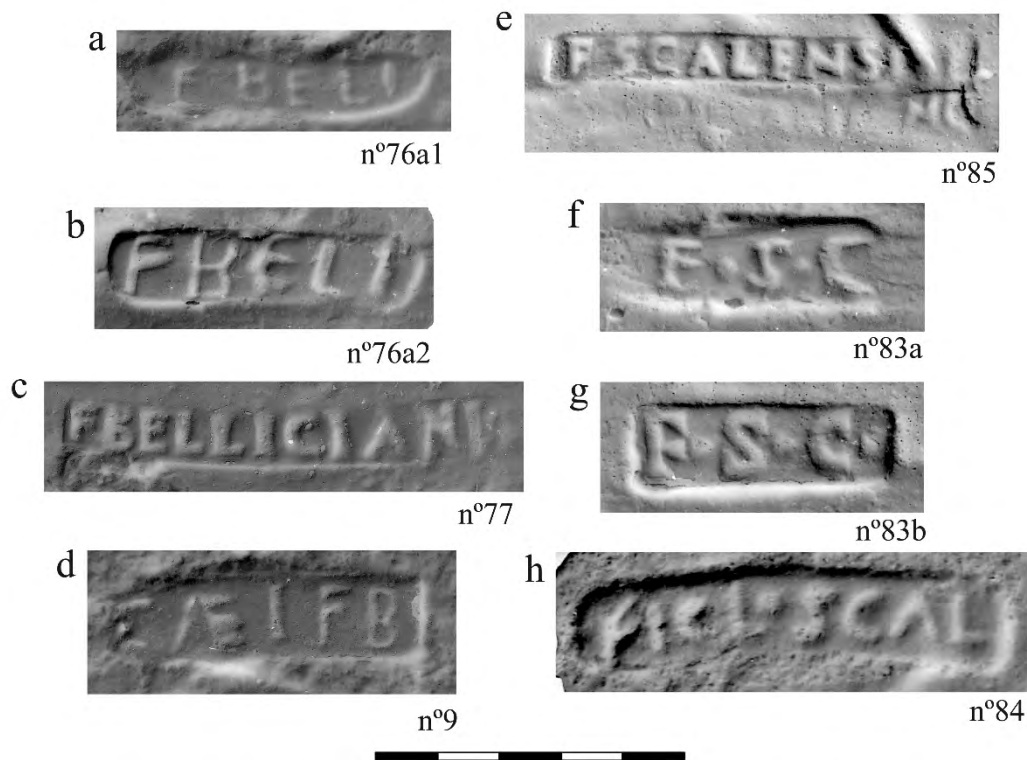


Figura 191.- Sellos que incluyen los elementos ATRIBUTO + TOPÓNIMO de la Belliciana (a-d) y Scalensia (e-h)

5.3.2.2.- Evolución de los TRIA NOMINA en la zona productora.

En la figura 192 incluimos un esquema de la distribución en el tiempo de los TRIA NOMINA en los sistemas de sellado de los talleres involucrados en este estudio. En la zona productora presentan actividad, al menos, cuatro grupos familiares de *nomina*: *A() & Ae() & Aelius*, *C() & Cae() vel Caesius*, *F()* y *S()*. Los nombres de estos personajes suelen presentarse en los sellos poco desarrollados, lo que impide establecer en muchos casos si realmente pertenecen al mismo grupo familiar, o si se trata de una coincidencia de iniciales, sirva como ejemplo el caso de la hipotética relación familiar existente entre *Q.S() C()*, activo en época de Claudio-Nerón y *Q.S() A()* de época de Marco Aurelio, separados en el tiempo por más de un siglo, sin que exista, hasta ahora, un eslabón familiar intermedio en el taller.

Como podemos observar en la figura 192, los personajes de *nomina A()*, *C()* y *S()* presentan actividad de manera intermitente a lo largo de la vida de los talleres, en un proceso no muy claro por el momento, que se desarrolla desde el segundo cuarto del s.I d.C. hasta el tercer cuarto del s.II d.C. Hacia época de Marco Aurelio-Cómodo aparece en la zona productora un grupo familiar de *nomen F()*, bien conocido en alfarerías del Genil desde época de Adriano. El grupo familiar monopoliza la actividad en varios talleres situados entre Cerro de los Pesebres y Picachos, subiendo la orilla izquierda del Guadalquivir desde nuestra zona de estudio hasta el sur del municipio romano de *Detumo*, la actual Posadas.

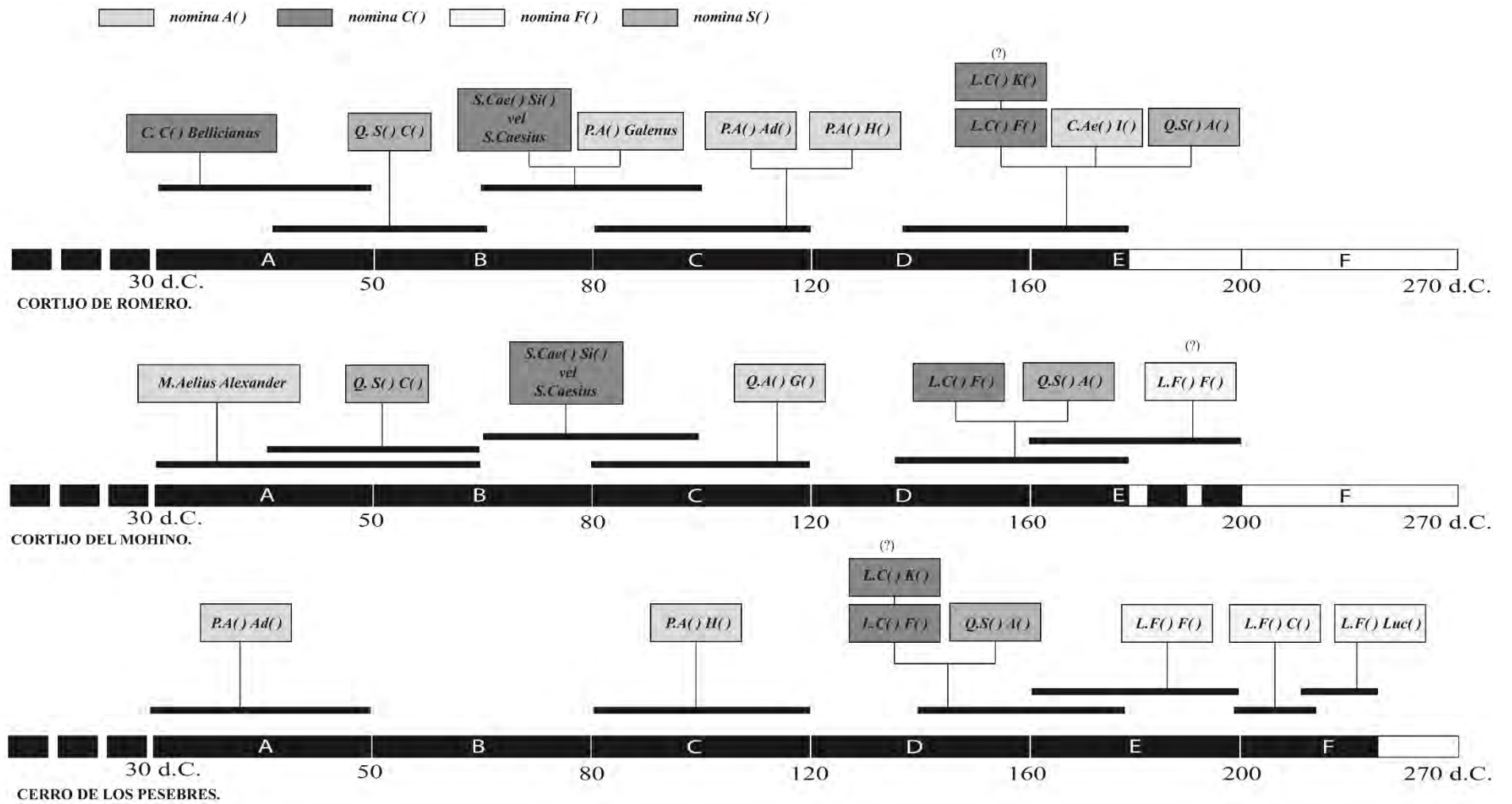


Figura 192.- Distribución en el tiempo de los TRIA NOMINA en Cortijo de Romero, Cortijo del Mohino y Cerro de los Pesebres.

Veamos a continuación, con más detenimiento, a los personajes involucrados agrupados por sus *nomina*, así como sus zonas de actividad

Nomina A() & Ae() & Aelius.

Las producciones de *M.Aelius Alexander* de Cortijo del Mohíno, son de las más antiguas que conocemos sobre Dressel 20 y comienzan en algún momento del segundo cuarto del s.I d.C. En época de Claudio, en la *Scalensia* presenta actividad un personaje de iniciales *P.A() Ad()*. Desde época flavia y hasta Adriano, tenemos tres personajes de *nomina A()* en Cortijo de Romero: *P.A() Galenus*, *P.A() Ad()* y *P.A() H()*. Este último personaje también presenta actividad en la vecina *Scalensia* y en Villar de Brenes-Cruz Verde, alfarería situada en el *conventus* de *Hispalis*, muy alejada del lugar que nos ocupa (*vide* 3.5, figura 100). En época flavio-trajanea tenemos en Cortijo del Mohíno a un *Q.A() G()*. Los sellos CAEI y CAEIFB de Cortijo de Romero, de mediados del II d.C., pueden presentar a otro miembro del grupo familiar.

<i>Nomina A() & Ae() & Aelius.</i>	C. de los Pesebres	C. del Mohíno	C. de Romero	Villar de Brenes-Cruz Verde	Cronología
<i>M. Aelius Alexander</i>		X			Calígula-Claudio-Nerón
<i>P.A() Ad()</i>	X				Claudio.
<i>P.A() Galenus</i>			X		flavio
<i>P.A() Ad()</i>			X		flavio-trajaneo
<i>P.A() H()</i>	X		X	X	flavio-trajaneo
<i>Q.A() G()</i>		X			flavio-trajaneo
<i>C.Ae() I()</i>			X		mediados s.II d.C.

Nomina C() & Cae() vel Caesi

La serie se abre en el segundo cuarto del s.I d.C. con las producciones de *C.C() Bel(licianus)* que le da nombre al taller situado en Cortijo de Romero. En época flavia tenemos a *S.Cae() Si() vel S.Caesius*, asociado a los topónimos *B(elliciana)* y *T(allianensia)*. No contamos con dataciones para los sellos de *L.C() K()* de Cortijo de Romero y Cerro de los Pesebres, pero presentan evidentes relaciones de diseño y contenido con los sellos de *L.C() F()* de mediados del s.II d.C y que presenta actividad en los tres talleres.

<i>Nomina C() & Cae() vel Caesi</i>	C. de los Pesebres	C. del Mohíno	C. de Romero	Cronología
<i>C.C() Bel(licianus)</i>			X	Claudio
<i>S.Cae() Si() vel S.Caesi</i>		X	X	flavio
<i>L.C() K()</i>	X		X	-
<i>L.C() F()</i>	X	X	X	mediados s.II d.C.

Nomen S()

En los talleres que tratamos, contamos con dos personajes de *nomen S()*: *Q.S() C()* de mediados del s.I d.C. activo en Cortijo de Romero y Cortijo del Mohíno y un *Q.S() A()* del tercer cuarto del s.II d.C. activo en los tres talleres. Otros miembros de este posible grupo familiar se pueden ocultar entre los sellos de un taller vecino a nuestra zona de estudio, QSP (Nerón-Vespasiano) y LSAR (mediados del s.II d.C.), hallados ambos en el vecino taller de Encinarejo Bajo, situado a corta distancia de Cerro de los Pesebres, río arriba en la misma orilla izquierda del Guadalquivir.

<i>Nomen S()</i>	Encinarejo Bajo	C. de los Pesebres	C. del Mohíno	C. de Romero	Cronología
<i>Q.S() C()</i>			X	X	Claudio-Nerón
<i>Q.S() P()</i>	X (?)				Nerón-Vespasiano
<i>L.S() Ar() vel L.Sa() R() vel L.S() A() R()</i>	X				mediados s.II d.C.
<i>Q.S() A()</i>		X	X	X	tercer cuarto s.II d.C.

Nomen F()

El grupo familiar, bien conocido en varias alfarerías del Genil en etapas anteriores, comienza su expansión en esta zona del territorio de *Corduba* con un personaje de iniciales *L.F() F()* en época de Marco Aurelio-Cómodo y monopoliza la actividad de Cerro de los Pesebres y otras alfarerías situadas río arriba: Encinarejo Bajo, las Monjas y Picachos. Dudamos, por un sello del CIL XV sin referencia gráfica, si este mismo personaje también presentó actividad en Cortijo del Mohíno. Con los Severos, la producción se desarrolla en torno a un personaje de iniciales *L.F() C()* que expresa en los sellos su vinculación al *ordo* senatorial añadiendo a su nombre el atributo *clarissimus vir*. El grupo familiar perdura en Cerro de los Pesebres hasta mediados del s.III d.C. con un personaje de iniciales *L.F() Luc()* que también hace ostentación del clarissimado en el sellado.

<i>Nomen F()</i>	C. del Mohíno.	C. de los Pesebres	Encinarejo Bajo - Villacisneros	Las Monjas	Picachos	Cronología
<i>L.F() F()</i>	X (?)	X	X	X (?)	X	Marco Aurelio - Cómodo
<i>L.F() C()</i>		X		X	X	Primer tercio del s.III d.C.
<i>L.F() Luc()</i>		X		X (?)		mediados s.III d.C.

Hasta aquí el recorrido. Como hemos comentado, estos posibles grupos familiares presentan actividad de manera intermitente en varios talleres de nuestra zona productora, lo que nos deja entrever un proceso que, por el momento, se presenta poco claro. A modo de resumen, podemos concluir: los TRIA NOMINA en estos talleres aparecen con las primeras producciones selladas y pertenecen al menos a dos grupos familiares distintos: *C. C() Bel(licianus)* en Cortijo de Romero, *M. Aelius Alexander* en Cortijo del Mohíno y *P. A() Ad()* en Cerro de los Pesebres. Sabemos que el nombre del taller ubicado en Cortijo de Romero deriva del *cognomen* de este primer personaje de su

serie, de modo que podemos identificarlo con el *dominus* de las instalaciones, al menos en ese momento de su actividad. Hacia época flavio-trajana, en todos estos talleres presentan actividad personajes con *nomina* A(), P.A() *Galenus*, P.A() Ad() y P A() H() en Cortijo de Romero, Q.A() G() en Cortijo del Mohíno y, de nuevo, P.A() H() en Cerro de los Pesebres. En el tercer cuarto del s.II d.C. los tres talleres se asocian a un personaje de iniciales Q. S() A(). Con este personaje cesa la actividad de la *Belliciana* en Cortijo de Romero y quizás, la de la *Servi*() en Cortijo del Mohíno. En la *Scalensia* perdura la actividad hasta mediados del siguiente siglo y la producción queda monopolizada por individuos de tres generaciones sucesivas de un grupo familiar de *nomen* F() presente en un buen número de alfarerías del territorio de *Corduba* desde Cerro de los Pesebres a Picachos y a lo largo del Genil desde Alcotrista a Motores de Malpica.

5.3.2.3.- Evolución de los COGNOMINA en la zona productora.

En la figura 193 recogemos la distribución en el tiempo de los personajes representados por sus COGNOMINA en los centros productores de nuestra zona de estudio. Lo primero que destaca del cuadro es el gran número de estos personajes que desarrollaron su actividad en estos talleres, de lo que podemos deducir la relevancia que alcanzaron en el proceso productivo. Estos personajes quedan recogidos desde el principio de las producciones selladas en el segundo cuarto del s.I d.C., siendo los protagonistas del sistema de sellado hasta mediados del s.II d.C., momento en que desaparecen por completo de los sellos de la zona productora. En ese intervalo de tiempo conocemos varias decenas de estos personajes en cada uno de estos talleres.

Los COGNOMINA pueden aparecer solos en los sellos o asociados a los TOPÓNIMOS y/o a los TRIA NOMINA.

En las primeras producciones selladas, un poco anteriores a mediados del s.I d.C. los COGNOMINA se recogen solos en los sellos de los tres centros productores. Las relaciones de estos personajes con los otros elementos básicos del sistema organizativo (TRIA NOMINA y TOPÓNIMOS) se desarrolla asociando dos sellos de contenido simple en un mismo envase. En este punto tenemos dos modelos. En la *Belliciana* se asocian al TOPÓNIMO. En Cortijo del Mohíno, sin embargo, se asocian a un personaje, *M. Aelius Alexander*. En la *Scalensia* no tenemos ningún ejemplo de doble sellado para esa época, de modo que no sabemos si siguen el modelo de la *Belliciana*, o el de Cortijo del Mohíno y los COGNOMINA se asociaban a los sellos de P.A() Ad(). En la *Scalensia*, al menos uno de estos COGNOMINA presenta la particularidad de desarrollarse en los sellos tanto en caso genitivo como en nominativo, circunstancia poco usual en el sellado bético.

Con Nerón-Vespasiano empieza a combinarse la información en un solo sello. Cuando los COGNOMINA se asocian a los TOPÓNIMOS, pueden colocarse delante o detrás de este último elemento. La estructura COGNOMEN + TOPÓNIMO solo la conocemos en la *Belliciana* en época de Nerón-Vespasiano, a partir de época flavia, en los tres talleres los COGNOMINA se recogen siempre detrás de los TOPÓNIMOS (TOPÓNIMO + COGNOMEN). Da la impresión de que en estos momentos iniciales en que estos dos elementos se unen en un único sello, no tenían muy claro el orden en que estos debían aparecer.

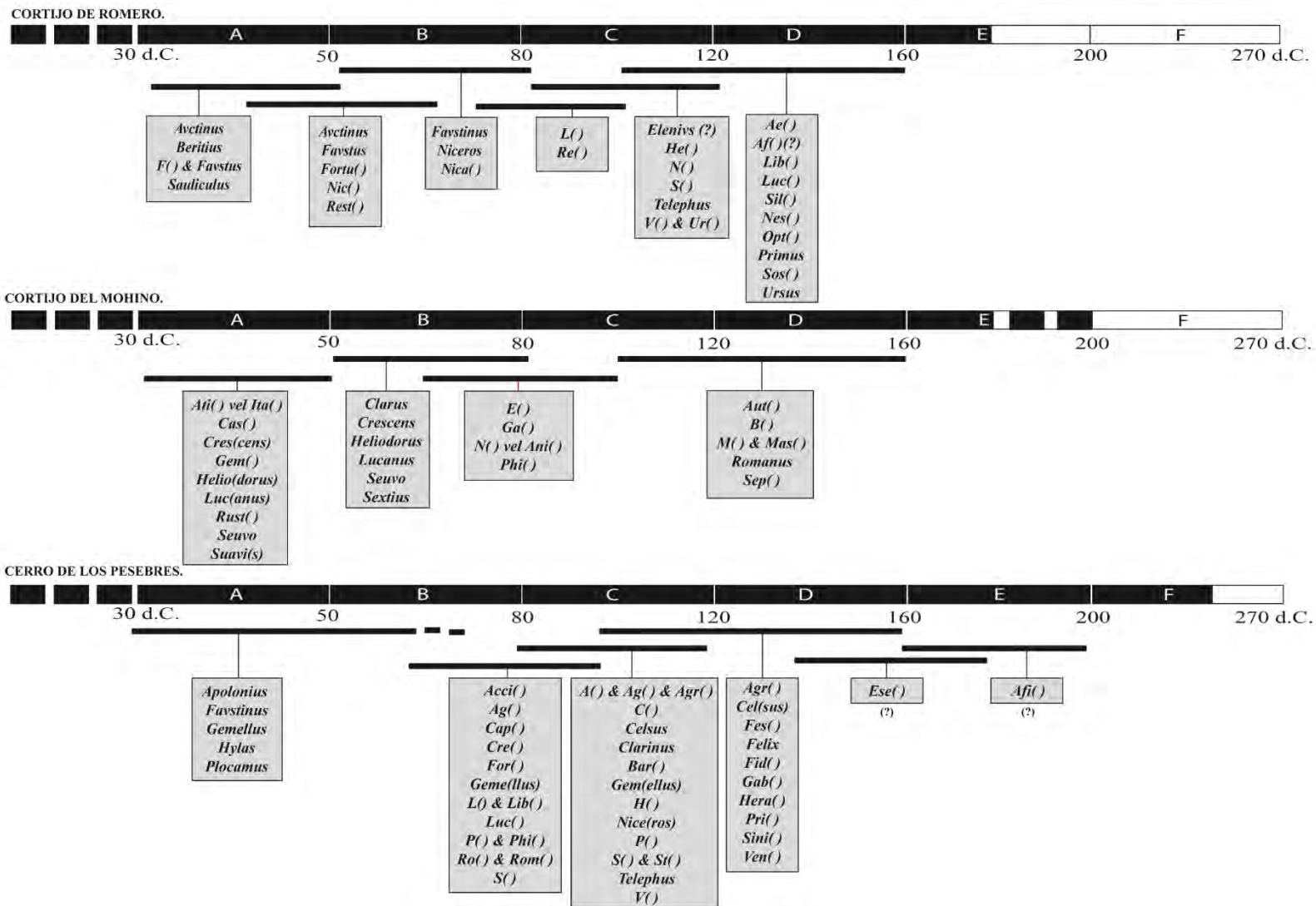


Figura 193.- Distribución en el tiempo de los COGNOMINA en Cortijo de Romero, Cortijo del Mohino y Cerro de los Pesebres.

En la *Belliciana* y la *Scalensia*, en época flavio-trajanea, se unen en un solo sello los tres elementos básicos del sistema de sellado de estos talleres, con una disposición: TRIA NOMINA + TOPÓNIMO + COGNOMEN. En todos los casos conocidos, los sellos presentan a miembros de la familia de *nomen A()*: *P.A() Ad()* o *P.A() H()* (figura 194). Como vimos en las estadísticas del capítulo 1, esta estructura resuelta en un solo sello resulta poco frecuente en la epigrafía bética.

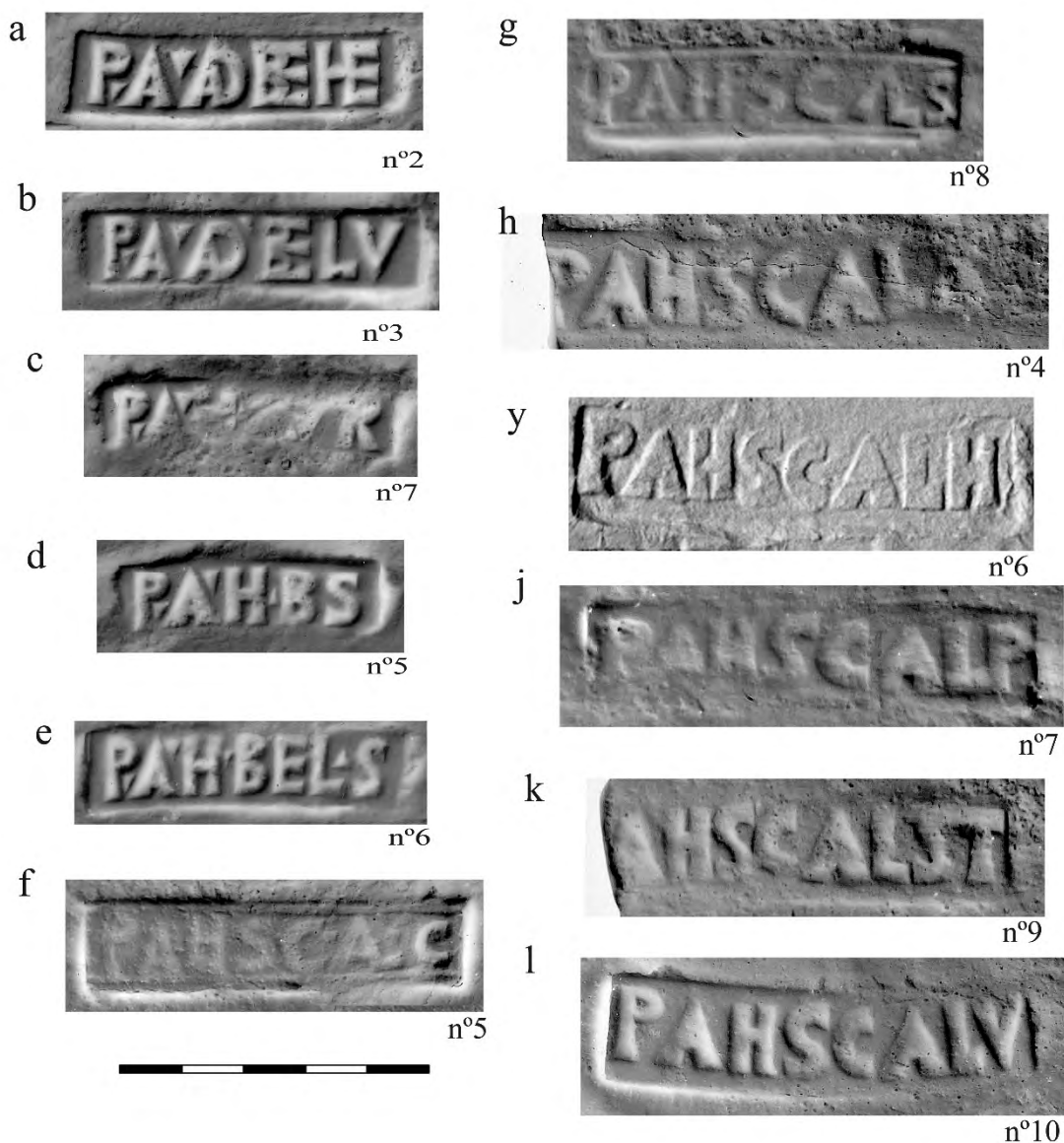


Figura 194.- Sellos con estructura TRIA NOMINA + TOPÓNIMO + COGNOMEN de la *Belliciana* (a-e) y *Scalensia* (f-l)

Otras estructuras poco frecuentes son aquellas que incluyen varios COGNOMINA en un mismo sello. La estructura COGNOMEN + COGNOMEN + TOPÓNIMO es conocida en la *Belliciana* con Nerón-Vespasiano. En época flavio-trajanea, en la *Belliciana* y en la *Scalensia* se cambia el orden de los elementos y tenemos la estructura: TOPÓNIMO + COGNOMEN + COGNOMEN, donde el segundo COGNOMEN suele presentarse en general más desarrollado que el primero (figura 195).

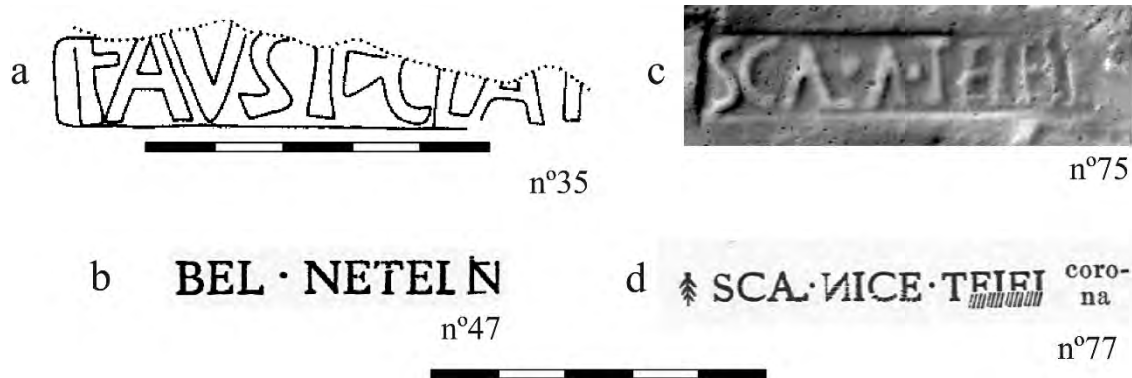


Figura 195.- Sellos que incluyen varios COGNOMINA de la Belliciana (a-b) y Scalensia (c-d)

Los COGNOMINA suelen presentarse más desarrollados en las etapas iniciales del sellado, particularmente cuando aparecen solos en los sellos, aunque no parecen seguir una regla fija. En el siglo II d.C. tienden a recogerse abreviados con entre una y tres letras de sus nombres, siempre subordinados al TOPÓNIMO (figura 196).

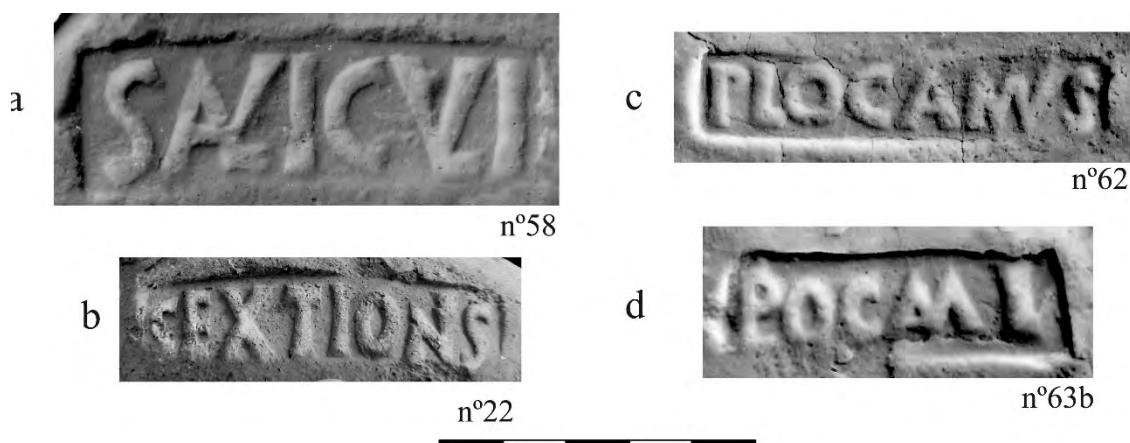


Figura 196.- COGNOMINA completamente desarrollados de Cortijo de Romero (a), Cortijo del Mohíno (b) y Cerro de los Pesebres (c-d)

En algunos casos, los mismos COGNOMINA se recogen en diversos talleres (figura 193). Estas coincidencias se pueden explicar porque los nombres que presentan estos personajes suelen ser muy comunes en la Bética. No obstante, las evidentes relaciones observadas en el sellado de los distintos talleres, hace pensar que, en algunos casos, estos individuos presentaron actividad en varios centros productores. En este sentido, hemos de destacar el caso extremo de un personaje de nombre *Phi*(), activo en época flavia en Cerro de los Pesebres y en Cortijo del Mohíno (figura 197). Los sellos *SCALENSIAPHI* forman la serie mejor representada de entre las halladas hasta el momento en Cortijo del Mohíno, lo que hace pensar que el personaje fabricó envases para la *Scalensia* fuera de su centro productor, circunstancia que resulta insólita en la epigrafía de la Dressel 20. De esta circunstancia se deduce que, al menos en ese momento, ambos centros productores pertenecían al mismo *dominus*, y dada la distribución de los TRIA NOMINA en estos talleres, pudiera corresponder al grupo familiar de *nomen A*().

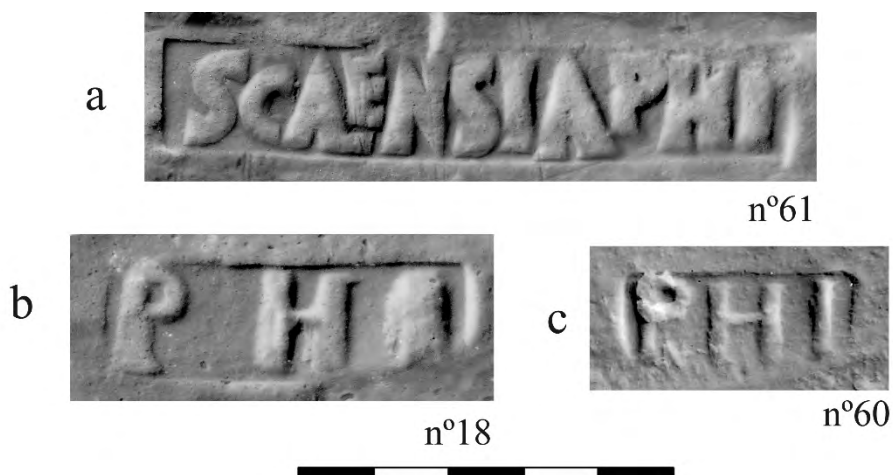


Figura 197.- Sellos de Phi() en Cortijo del Mohíno (a-b) y Cerro de los Pesebres (c)

Finalmente, algunos de estos personajes expresados por sus COGNOMINA parecen perdurar en el tiempo y los encontramos en fases cronológicas sucesivas o en series formadas por muchas matrices distintas. Ya vimos en el capítulo 3 el caso extremo de la serie de *Ursus* de la *figlina Belliciana*, donde lo conocemos en, al menos, 5 lecturas y 9 matrices distintas (*vide* 3.3, figura 89). Para este mismo taller, y en la misma época, resultan también significativas las series de *Luc()*, *Lib()* y *Sil()*.

En resumen, sellos que contienen COGNOMINA se datan, desde las primeras producciones selladas de la forma A (30-50 d.C.), hasta la forma D (120-160 d.C.). A partir de ese momento desaparecen de la epigrafía de la zona productora.

Conclusiones: la organización productiva de las *figlinae* a partir de los sellos.

En nuestra opinión, las *figlinae* de la zona productora que tratamos estarían compuestas en cada momento por una serie de unidades productivas. Como vimos en el capítulo 3, pensamos que estas unidades productivas estarían formadas por cuadrillas de trabajadores, barreros, alfareros, personal auxiliar para la manipulación de los envases, etc. Desde las primeras producciones selladas del segundo cuarto del s.I d.C. hasta mediados del siglo siguiente, estas unidades productivas quedan representadas en los sellos por los nombres de sus responsables. Conocemos varias decenas de ellos en cada una de las *figlinae* y están bien representados en todas las fases cronológicas en que hemos dividido este primer siglo de actividad. En la figura 193 podemos ver su distribución en los distintos centros productores organizados en una línea de tiempo. En los cuadros de las fases de actividad de los talleres (figuras 131, 184, 185), hemos podido formar hasta 19 grupos homogéneos de sellos a partir de los COGNOMINA en Cortijo de Romero, 9 en Cortijo del Mohíno y 20 en Cerro de los Pesebres. Como vimos en 2.4.1, en estos grupos incluimos sellos que presentan el mismo diseño y contenido análogo. En nuestra opinión, los sellos de cada grupo fueron concebidos conjuntamente y se corresponderían con los juegos de matrices que se utilizaron en momentos concretos de la actividad de los talleres. En estos grupos podemos ver cómo van cambiando los criterios de codificación de la información y el diseño de las matrices, con una evolución general que hemos tratado de explicar en páginas precedentes. En nuestra opinión, estos grupos homogéneos son también una prueba del control que el sistema organizativo ejerce sobre el sellado.

Veamos uno cualquiera de estos grupos homogéneos. En la figura 198 (grupo homogéneo nº16) tenemos un grupo de sellos de la *figlina Belliciana* con cronologías de la primera mitad del s.II d.C. En nuestra opinión, de este grupo de sellos se puede desprender que, en ese momento concreto, la alfarería contaba con, al menos, tres unidades productivas dirigidas por *Lu(c...)*, *Si(l...)* y *Ur(sus)*.

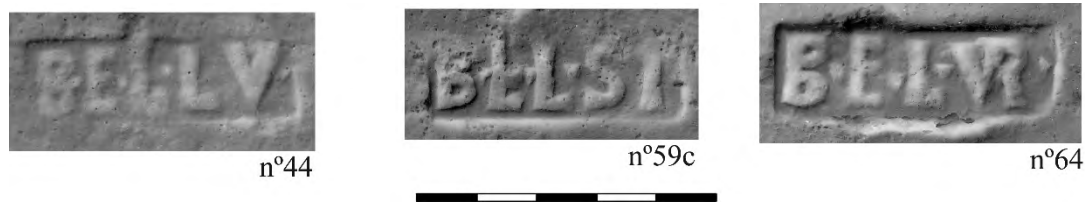


Figura 198.- Sellos BELLV, BELSI y BELVR de Cortijo de Romero.

Estos personajes se repiten en varios grupos homogéneos del mismo intervalo cronológico, de modo que algunos de ellos parece que prestaron servicio en el taller por largo tiempo. En la figura 199 incluimos algunos de los distintos diseños que presentan los sellos usados por la unidad productiva de *Luc()*, que vimos en la figura anterior.

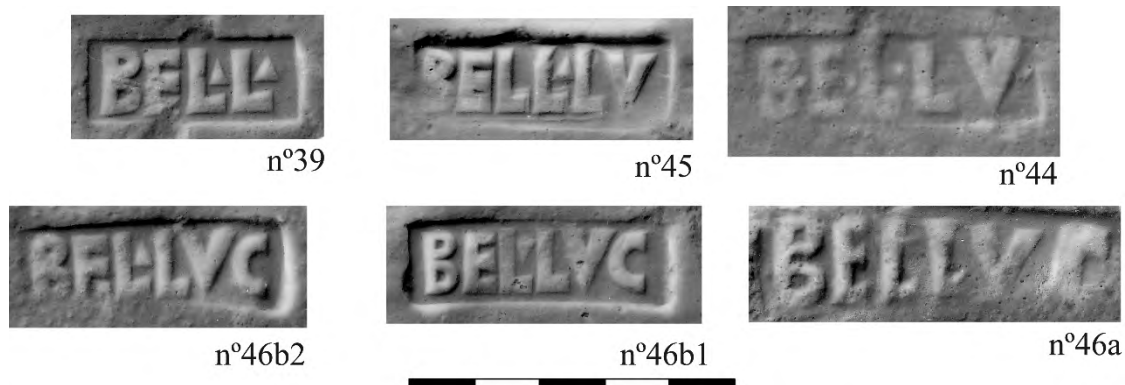


Figura 199.- Sellos de la unidad productiva de *Luc()* en Cortijo de Romero.

También los artesanos que fabricaban las matrices parecen perdurar en el tiempo. En este caso particular, creemos que, al menos, las matrices de los sellos 39, 45 y 46b1 y 46b2 de la figura 199, fueron realizadas por la misma mano en momentos distintos de la actividad del taller, a juzgar por la homogeneidad de diseño que presentan. Es más, parece que los sellos 46b1 y 46b2 proceden de una misma matriz retocada, para obtener por este procedimiento dos matrices distintas fácilmente reconocibles entre sí. Finalmente, creemos haber demostrado en capítulos anteriores que estos personajes que confeccionaban las matrices no son los mismos que aparecen en los sellos (*vide* 3.4.4).

Pero podemos ir un poco más lejos con este modelo de análisis. En la figura 200 incluimos seis sellos de época flavia procedentes de Cortijo de Romero, Cortijo del Mohíno y Cerro de los Pesebres, que presentan el mismo diseño y contenido análogo. De modo que podemos formar un grupo homogéneo con sellos de las tres alfarerías. A nuestro juicio, las matrices de estos sellos fueron concebidas conjuntamente, fueron creadas por unas mismas manos y, posteriormente, fueron distribuidas por los distintos talleres. Se desprende que, al menos en ese momento, todos estos centros productores estaban gestionados por un mismo sistema organizativo.

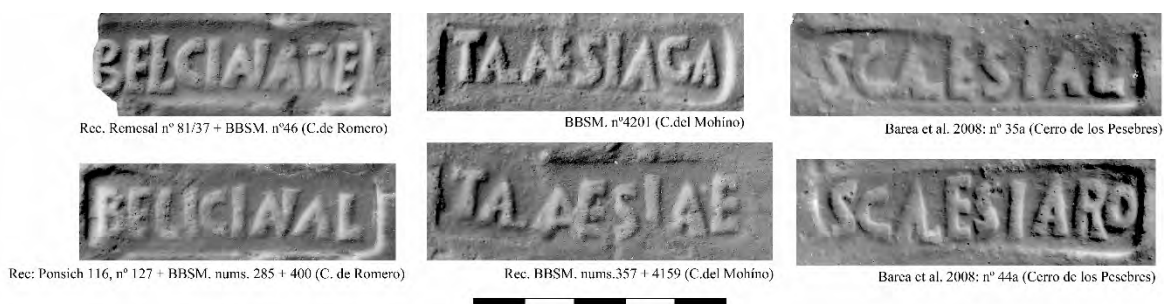


Figura 200.-Sellos de época flavia de la *Belliciana*, *Talliane(n)sia* y *Scalensia*.

Veamos otros ejemplos de mediados del s.II d.C. (figura 201) y del tercer cuarto del s.II d.C. (figura 202) donde podemos observar de nuevo este fenómeno.



Figura 201.- Sellos de mediados del s.II d.C. de la *Belliciana*, *Servi()* y *Scalensia*.

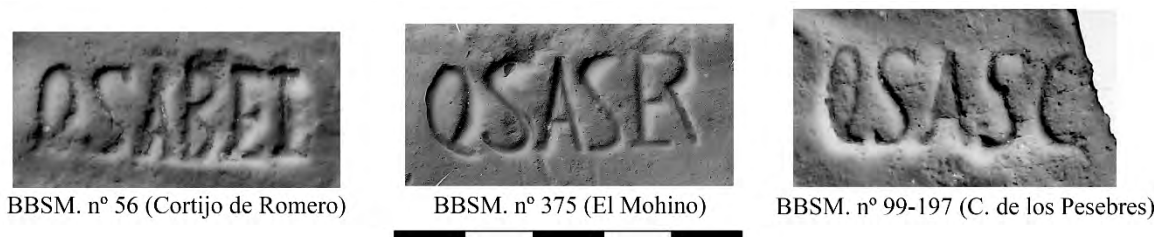


Figura 202.- Sellos del tercer cuarto del s.II d.C. de la *Belliciana*, *Servi()* y *Scalensia*.

De modo que podemos proponer que, al menos desde época flavia, estos talleres funcionaron a la vez bajo un mismo sistema organizativo. Veamos qué grupos familiares podrían estar tras este sistema organizativo.

Como vimos en apartados anteriores, al menos, tres grupos familiares presentan actividad en estos talleres de forma intermitente, en un periodo que va desde el segundo cuarto del siglo I d.C. al tercer cuarto del siglo II d.C. La distribución de los *tria nomina* parece estar mostrando diversos cambios en la titularidad de los talleres, de modo que los centros productores van pasando de unos grupos familiares a otros en un proceso que queda poco claro por el momento.

En las primeras producciones selladas, en los talleres presentan actividad, al menos, dos grupos familiares de *nomina*: C() en Cortijo de Romero y A() en Cerro de los Pesebres más *Aelius* en Cortijo del Mohíno.

Hacia época flavio-trajana, en todos los talleres presentan actividad personajes de *nomen* A(). Por otro lado, como hemos visto arriba, los propios sellos nos están mostrando que desde época flavia los talleres parecen gestionados por un sistema organizativo común. Se había planteado que los personajes de *nomen* A() de esta zona productora pudieran identificarse con miembros del grupo familiar de los *Aelii*, muy bien representados en la epigrafía bética y particularmente en aquella hallada sobre las ánforas Dressel 20, algunas de cuyas ramas llegaron a alcanzar las más altas cotas de poder en el Imperio¹⁶². El más destacado miembro de nuestra rama familiar parece ser P.A() H(), que presenta actividad durante época flavio-trajana en varias zonas productoras distantes entre sí (*vide* 3.5).

Estos cambios de titularidad de los talleres se dejan entrever muy claramente en Cortijo del Mohíno. El taller, no solo cambia de nombre en algún momento en torno al cambio de siglo, sino que en sus instalaciones parecen desarrollarse producciones con el nombre de la *Scalensia*, en un proceso de descentralización de la producción que, por el momento, resulta insólito en la Dressel 20. Entendemos que la actividad del taller se vio afectada por su cercanía a dos potentes alfarerías.

Sea como fuere, durante el tercer cuarto del s.II d.C. los tres talleres ya trabajan para un personaje de otro grupo familiar, Q. S() A(). Con este personaje cambia por completo el sistema de sellado de la zona productora. Los COGNOMINA, que fueron los verdaderos protagonistas de sus series durante el siglo anterior, desaparecen, al parecer súbitamente, del sistema de sellado. Tras Q. S() A() parece cesar la actividad en la *Belliciana*.

Hacia mediados del s. II d.C. los sellos de la *Belliciana* y la *Scalensia* parecen incluir una alusión a los *fundi* a los que los talleres estaban asociados, de modo que los cambios de titularidad no solo afectarían a las instalaciones artesanales, sino también a las fincas donde estos se situaban.

Estas propiedades, que como hemos visto parecen haberse gestionado de manera conjunta al menos desde época flavia por sucesivos grupos familiares, pasan a integrarse desde época de Marco-Aurelio-Cómodo en otro sistema organizativo mucho más amplio. Desde ese momento, la actividad artesanal en la zona queda monopolizada por las producciones de un potente grupo familiar de *nomen* F(), que presentaban actividad en el Genil desde época de Adriano. Algunos investigadores han propuesto su identificación con la familia de los *Fabii*¹⁶³, lo que parece cada vez más plausible. En el siglo III d.C. varios de sus miembros hacen ostentación del clarissimado, circunstancia que nos permite hacernos una idea del patrimonio económico que debieron amasar en la Bética, en parte asociado a la producción de aceite. Los intereses del grupo familiar en esta zona del Guadalquivir se desplazan río arriba y, por el momento, se localizan en varias alfarerías situadas entre Cerro de los Pesebres y Picachos, cerca del municipio romano de *Detumo*. Dudamos de si Cortijo del Mohíno siguió produciendo envases para este grupo familiar durante el último cuarto del s.II d.C. En cualquier caso, sea con Q. S() A() o con L.F() F(), la *figlina Servi*() parece decaer en algún momento de la segunda mitad del s.II d.C. Solo la *Scalensia*, es seguro que presenta actividad desde

¹⁶² Chic 1992. El trabajo es un monográfico sobre los *Aelii*, particularmente dedicado a establecer su vinculación con la producción y comercialización del aceite en la Bética.

¹⁶³ Remesal 1989; Jacques 1990; Chic 1994.

Marco Aurelio-Cómodo., nueva etapa en que produce envases para tres personajes sucesivos de este grupo familiar de *nomen F()*. Así, toda la zona productora se integra en una organización muy compleja que perdura durante buena parte del s.III d.C. y que abarca un buen número de propiedades y de talleres situados tanto a orillas del Guadalquivir como del Genil.

Como vimos en capítulos anteriores, en nuestra opinión, la organización productiva de los talleres en esta última fase, aunque integrada en una organización superior, sigue dividida internamente entre diferentes unidades productivas. Desde mediados del s.II d.C., cambia el sistema de codificación de estas unidades en el sistema de sellado. En ese primer siglo de actividad las unidades se codificaban en los sellos con los nombres de sus responsables. En esta nueva etapa, quedan codificadas por el diseño particular que presentan las matrices, de modo que cada unidad productiva usaba su propio juego de matrices. Creemos que esto se observa muy claramente en las producciones de *L.F() C()* de la *Scalensia*, que durante el primer tercio del s. III d.C., desarrolla una intensa actividad en Cerro de los Pesebres (*vide* 3.5).

En resumen, los sellos asociados a estas *figlinae* nos muestran un sistema productivo altamente “industrializado”, complejo y eficiente, formado en cada momento por una serie de unidades productivas. Estos centros productores y sus propiedades asociadas son gestionados, al menos desde época flavia, por un sistema organizativo común y cuando se producen cambios de titularidad, todas las *figlinae* quedan afectadas. A partir de Marco Aurelio-Cómodo, la zona productora queda integrada en una organización mucho más compleja con enormes intereses situados tanto en el territorio de *Corduba*, como en el de *Astigi*.

CONCLUSIONES.

En este trabajo hemos tratado de establecer nuevas bases interpretativas y metodológicas para el estudio de los sellos de las ánforas olearias béticas, proponiendo herramientas que nos permitirán analizar con precisión este tipo particular de documento epigráfico. Al final de cada uno de los capítulos que componen este trabajo, hemos presentado unas conclusiones sobre lo estudiado, que pasamos a resumir brevemente.

En los dos primeros capítulos hemos estudiado las características que presentan varios aspectos de los sellos: sus contenidos, sus estructuras, sus matrices y su diseño. A partir de estas descripciones, hemos presentado nuevas herramientas que nos ayudarán a clasificar los sellos:

- Hemos propuesto una clasificación de los contenidos de los sellos y un método para establecer la estructura de cada epígrafe. El método se ha puesto en práctica en una tabla que contiene la mayoría de las lecturas conocidas, que nos ha permitido plantear las primeras estadísticas generales sobre el sellado de las ánforas olearias béticas.
- Hemos tratado de describir los aspectos básicos de la mecánica del sellado y hemos estudiado la deformación que sufren los sellos respecto a sus matrices. A partir de estos datos, presentamos un modelo teórico sobre los procedimientos que permitieron crear copias de los sellos. También hemos elaborado un protocolo que nos permitirá estudiar, en estos casos en que los sellos son copias de otros sellos, el orden en que se usaron las diversas matrices y cómo se generaron.
- Hemos propuesto un método para clasificar y ordenar las matrices de los sellos basado en criterios objetivos, que nos ha permitido abordar algunas de las series más complejas de la epigrafía anfórica bética.
- Hemos estudiado los sellos por su diseño y contenido, lo que pone en nuestras manos nuevas herramientas de estudio al permitirnos formar grupos de sellos que se usaron en momentos concretos de la actividad de los talleres. Estos grupos homogéneos nos están hablando del control que la organización de los talleres ejerce sobre el sellado. Pero, un mismo sistema organizativo puede actuar sobre varios talleres, y en estos casos también es posible agrupar sellos de diferentes *figlinae* que presentan diseños idénticos y contenido análogo, con las ventajas que ello supone para su estudio y para establecer relaciones entre los propios talleres, a veces situados en zonas productoras incluso distantes.

En el capítulo 3 incluimos nuevas hipótesis sobre la función de los sellos que nos han permitido abordar algunas de las preguntas básicas no resueltas de la investigación. Hemos planteado hipótesis sobre el proceso de fabricación de los objetos manufacturados en las unidades productivas, sobre el proceso básico de la producción de los envases en las *figlinae*, sobre el uso de las matrices en el proceso productivo y sobre los diferentes modelos organizativos que presentaban las *figlinae* de las ánforas olearias béticas, partiendo del análisis de los sellos que usaron en la producción de los envases.

Una vez que tenemos una hipótesis sólida sobre la función de los sellos y que conocemos cuáles eran los elementos relevantes de los mismos, sus familias, sus estructuras, sus lecturas y sus matrices, estamos en condiciones de crear herramientas específicas que nos permitan analizarlos y clasificarlos con precisión. Así, en el capítulo 4, describimos los dendrogramas, un nuevo sistema que optimiza la organización y clasificación de los sellos, de modo que la información relevante que

estos nos aportan queda desplegada en una imagen de conjunto, que nos permitirá comprender y describir los sistemas de sellado de cada taller. En los dendrogramas los sellos quedan ordenados por criterios epigráficos. Pero, si queremos estudiar las fases productivas de los talleres, hemos de ordenar los sellos por criterios cronológicos, lo que nos permitirá establecer la evolución de sus sistemas de sellado. A partir de la interpretación de estos sistemas de sellado podremos plantear hipótesis sobre la organización productiva de cada taller y su evolución en el tiempo.

El modelo de estudio ha sido puesto en práctica en el capítulo 5, donde hemos analizado la epigrafía de tres centros productores vecinos situados al final del territorio de *Corduba*. La información que tenemos es fragmentada y necesariamente quedan lagunas e imprecisiones sobre los sistemas organizativos de estos talleres. No obstante, a partir de estos fragmentos hemos podido presentar hipótesis generales sobre la evolución organizativa de una zona productora muy homogénea.

Una vez resumidos los resultados de este trabajo, queríamos comentar brevemente algunas experiencias obtenidas durante su elaboración. Los resultados obtenidos en este trabajo han sobrepasado nuestras expectativas. Nuestros objetivos iniciales eran describir distintos aspectos de los sellos y desarrollar un nuevo modelo para organizar la información. Por un lado, queríamos profundizar en el estudio de las estructuras de los sellos, que ya habíamos planteado en otros trabajos. Por otro lado, las nuevas técnicas para representar los sellos nos permitían avanzar en varias líneas de investigación: la clasificación de sus matrices y el estudio del diseño que presentan, aspecto este último que no había sido tratado anteriormente. Finalmente, queríamos avanzar en la forma de organizar la información, pues entendíamos que los métodos usados hasta ese momento, los catálogos y *corpora*, presentaban limitaciones que nos impedían tener una imagen de conjunto, ya que en ellos la información está condicionada por la paginación y se presenta muy fragmentada.

No pretendíamos entrar en la discusión sobre la función de los sellos, ni en la controversia suscitada sobre cómo se articulan los diversos elementos que los componen en el proceso productivo, asunto muy delicado que genera opiniones enfrentadas incluso dentro de un mismo grupo de investigación, como es el caso del propio CEIPAC.

Con estos objetivos comenzamos la elaboración de este trabajo. Cuando tratábamos de establecer la forma de presentar los resultados estadísticos de las estructuras de los sellos (*vide* 1.5, figura 15) buscamos un sistema para organizar esta información. Eso nos hizo percatarnos de una estructura básica subyacente, de modo que los sellos, en esencia, se podían agrupar en 7 estructuras elementales: tres de contenido simple y cuatro de contenido compuesto (*vide* 1.5.1, figura 16). Esto fue una verdadera revelación, pues, en nuestra opinión, toda la diversidad y variabilidad de los sellos no es más que “ruido”, producido por las distintas formas en que se puede consignar un mismo tipo de información. De modo que los sellos incluían un código subyacente muy simple, pero ¿para qué servía este código? y ahí surgió la hipótesis sobre su función: identificar la procedencia de los envases en el sistema productivo. Esta idea, en sí misma no era nueva, ya se podía deducir de las interpretaciones planteadas por diversos autores al estudiar sistemas organizativos muy concretos¹⁶⁴. Pero, por lo que conocemos, ningún investigador la había desarrollado hasta el momento. A partir de ahí la hipótesis se fue aplicando a los muchos problemas que presentaban los sellos y que no terminaban de explicarse con las ideas que veníamos manejando hasta ese momento. La hipótesis proporcionaba una solución a preguntas básicas de la investigación y fue generando nuevas hipótesis

¹⁶⁴ Por poner algunos ejemplos: Remesal 1977-78: 119, Rodríguez Almeida 1993: 99, Steinby 1993: 143, Berni 2008: 34.

sobre la organización productiva de las *figlinae* y sobre el uso de las matrices de los sellos en el proceso productivo. Además, y quizás lo más importante que se deriva de ella, de ser correcta la hipótesis implicaba que a partir de los sellos podríamos tratar de reconstruir los sistemas organizativos de los talleres. De este modo, sofisticadas herramientas como los dendrogramas o los cuadros de las fases productivas de las *figlinae* cobraban verdadero sentido. Comprendimos que, sin esta base interpretativa previa, en realidad no teníamos del todo claro para que servían todas estas nuevas y sofisticadas herramientas de análisis.

Pero podemos ir un poco más lejos. Entendemos que la hipótesis sobre la función de los sellos presentada en este trabajo se puede aplicar a todos los talleres que durante época romana sellaron sus objetos manufacturados producidos en masa, fuesen estos del tipo que fuesen. De modo que las nuevas herramientas de análisis, debidamente adaptadas, nos pueden permitir plantear hipótesis para reconstruir la organización productiva de talleres artesanales emplazados en un territorio muy amplio, que produjeron objetos manufacturados de muy diversa índole y que desarrollaron su actividad durante un periodo de casi mil años.

Para finalizar este trabajo, queremos presentar brevemente nuestras perspectivas de futuro en la investigación.

Por un lado, lógicamente, nos gustaría seguir aplicando la nueva metodología en el estudio de los centros productores de las ánforas olearias béticas, particularmente en aquellos lugares de los que disponemos de un mayor volumen de sellos. Entre ellos queremos destacar el caso de La Catria, probablemente el centro productor del que conocemos un mayor número de sellos diferentes de toda el área de la producción, y del que disponemos de abundante material inédito en unas condiciones óptimas para su estudio. Los nuevos métodos de estudio aplicados a un gran volumen de sellos nos permitirán analizar la epigrafía del centro productor con mucha precisión. Además, podremos entrever el grado de complejidad y la verdadera escala que alcanzaron algunos de estos centros productores.

Por otro lado, sería necesario servirse de las ventajas que nos proporcionan los medios informáticos para desarrollar herramientas como los dendrogramas, que por ahora se confeccionan manualmente. Además, debemos solucionar la forma de identificar los sellos en los dendrogramas, que, como hemos visto, con el sistema actual de numeración correlativa, a la larga producirán confusión, pues la identificación de los sellos cambiará con cada nueva versión del dendrograma.

Finalmente, quisiéramos ampliar la aplicación del modelo de estudio al análisis de los sellos de otras producciones del *instrumentum impressum*, para comprobar si este nuevo enfoque aporta soluciones en cada caso concreto. Los sellos de los ladrillos de Roma son un ejemplo inmejorable para comprobar la viabilidad de este nuevo modelo de estudio. Para ello debemos adaptar la metodología propuesta, a las características particulares que presentan estos epígrafes. Por otro lado, creemos que los sistemas organizativos de los centros productores de los ladrillos son muy parecidos a los de las ánforas. Además, los sellos de los ladrillos suelen presentar sus textos muy desarrollados, lo que facilita su comprensión y nos ayudará a profundizar en los desarrollos de los propios sellos de las ánforas olearias béticas y avanzar en la comprensión de los sistemas organizativos que los usaron.

BIBLIOGRAFÍA

- ABAD CASAL L. (1975). *El Guadalquivir, vía fluvial romana*. Diputación Provincial de Sevilla. Sevilla.
- ABAUZIT P. (1999) *Lupatus et alii*, fabricants d'amphores tardives. *Archéologie en Languedoc*, 23, p. 175-179. *AE = L'Année épigraphique*. Revue des publications épigraphiques relatives à l'Antiquité romaine. París.
- AGUIERA MARTÍN A. (1999). *Los tituli picti del Monte Testaccio. El control fiscal del aceite bético*. Tesis doctoral inédita. Universitat de Barcelona.
- AGUIERA MARTÍN A. (2000). Los *Tituli Picti* del convento *Astigi* en el primer tercio del S. III. D.C. *Congreso Internacional Ex Baetica Amphorae. Conservas, aceite y vino de la Bética en el Imperio Romano*. Écija y Sevilla, 17 al 20 de diciembre de 1998, Gráficas Sol, Écija, p. 1231-1240.
- AGUIERA MARTÍN A (2002). *El monte Testaccio y la llanura subaventina. Topografía extra portam trigeminam*. Escuela Española de Historia y Arqueología. CSIC (Consejo Superior de Investigaciones Científicas). Roma.
- AGUIERA MARTÍN A. (2004). Sistematización de los *Tituli Picti* anfóricos para la base de datos CEIPAC. *Epigrafía anfórica, Col·lecció Instrumenta, 17*, Publicacions i Edicions de la Universitat de Barcelona, Barcelona, p. 105-126.
- AGUIERA MARTÍN A. (2005). 7. El producte envasat. El contenido de las Haltern 70 según los tituli picti. *Culip VIII i les àmfores Haltern 70. Monografies del CASC*, 5, p. 119-132.
- AGUIERA MARTÍN A (2007). Evolución de los *tituli picti* de las ánforas Dressel 20 entre mediados del siglo I y mediados del siglo III. *XII congressus internationalis epigraphiae graecae et latinae: provinciae imperii romani inscriptionibus descriptae. Barcelona, 3-8 Septembris 2002, Monografies de la Secció Històrico-Arqueològica*, 10, Barcelona, p. 15-22.
- AGUIERA MARTÍN A (2012). La normalisation de l'épigraphie amphorique: Les *Tituli Picti* sur amphores Dressel 20. *Inscriptions Mineurs : Nouveautés et réflexions. Actes du premier colloque Ductus, 19-20 juin 2008, Université de Lausanne*, Peter Lang, Berna, p. 135-143.
- AGUIERA MARTÍN A. & BERNI MILLET P. (1998). Calligraphia et typographia. Arithmetica et numerica. *Chronologia*. Universitat de Barcelona, Facultat de Geografia i Història: 257-282.

- AGUILERA MARTÍN A. & REVILLA CALVO V. (2004). Novedades de epigrafía anfórica norteafricana en el Monte Testaccio (Roma). *L'Africa romana: ai contini dell'impero: contatti, scambi, conflitti, Atti dell'XV convegno di studio. Tozeur, 11-15 dicembre 2002*, Pubblicazioni del Dipartimento di storia dell'Università di Sassari, Sassari, p. 1445-1471.
- ALFÖLDY G. (1984). *Historia social de Roma*. Alianza Universidad. Madrid.
- ALFÖLDY G. (1985). Bellum Mauricum. *Chiron*, 15, p. 91-109.
- ALLMER A. & DISSARD P. (1888). *Trion. Antiquités découvertes en 1885, 1886 et antérieurement, au quartier de Lyon dit de Trion*. Mémoires de l'Académie des Sciences, Belles-Lettres et Arts de Lyon, vol. 25. Lyon.
- ALLMER A. & DISSARD P. (1892). *Inscriptions antiques au Musée de Lyon*, IV. Lyon.
- ALMAGRO M. (1952). *Las inscripciones ampuritanas griegas, ibéricas y latinas*. Departamento de Barcelona del Instituto Rodrigo Caro de Arqueología del C.S. de I.C. Barcelona.
- ALMEIDA R. (2008). *Las ánforas del Guadalquivir en Scallabis (Santarém, Portugal). Una aportación al conocimiento de los tipos minoritarios*. Instrumenta, 28. Barcelona.
- AMAR G. & LIOU B. (1984). Les estampilles sur amphores du Golfe de Fos. *Archaeonautica*, 4, p. 145-211.
- AMAR G. & LIOU B. (1989). Les estampilles sur amphores du golfe de Fos (II). SFECAG. Actes du Congrès de Lezoux. Société Française d'Étude de la Céramique Antique en Gaule. Marseille, p. 191-207.
- AMORES CARREDANO F. (1982). *Carta arqueológica de Los Alcores*. Diputación Provincial. Sevilla.
- ANDREAU J. (2004a). Sur les choix économiques des notables romains. *Mentalités et choix économiques des Romains*, Diffusion De Boccard, Paris, p.72-85.
- ANDREAU J. (2004b). Les esclaves « Hommes d'affaires » et la gestion des ateliers et commerces. *Mentalités et choix économiques des Romains*, Diffusion De Boccard, Paris, p. 111-126.
- ANDREAU J. (2005). Remarques sur les intérêts patrimoniaux de l'élite romaine. *Cahiers du Centre Gustave Glotz*, 16, p. 57-77.
- ANDREAU J. (2009). Les Briques et tuiles de la région de Rome et les contrats de locatio conductio. *Fides Humanitas Ius (9 maggio 2007)*, Editoriale Scientifica, Naples, p. 65-82.
- ANDREAU J. (2010). *L'économie du monde romain*, Ellipses, Paris.
- ANDREAU J. & ROLLAND E. (1984) Vingt ans de recherches sur l'archaïsme et la modernité des sociétés antiques. *Revue des Études Anciennes*, 86, n°1-4, p. 55-83.
- ANDREAU J & DESCAT R. (2006) *Esclave en Grèce et à Rome*, Hachette Littératures, Paris.
- ANGLES S. (2001). L'olivier, un arbre et une culture au cœur de la Méditerranée. *La Méditerranée*, Edition du Temps, Paris, p. 113-125.
- ANTICO GALLINA M. V. (1990). *L'instrumentum domesticum bollato di Dertona*. *Epigraphica* 52, p. 200-222.
- ARAUQUE ARANDA F. & MURILLO REDONDO J.F. (1990). *Excavación arqueológica de urgencia en la Saetilla, Palma del Río, Córdoba*.
- ARRAMBARRI A. (1992). *La oleicultura antigua: El olivo: su historia; El aceite: del pisado a la prensa de viga; El refranero*, Ed. Agrícola Española, Madrid.
- ASÍN PALACIOS M. (1944). *Contribución a la toponimia árabe de España*. Consejo Superior de Investigaciones Científicas, Patronato Menéndez Pelayo, Instituto Benito Arias Montano. Madrid.
- ÅSTRÖM P. (1952). Roman amphora stamps from the Monte Testaccio. *Opuscula Archaeologica 7, Institutum Romanorum Regni Sueciae*, C.W.K. Gleerup, Lund 1952, p. 166-171.
- AUBERT J.J. (1994). *Business Managers in Ancient Rome: a social and economic study of institores, 200 B.C.-A.D. 250*, Brill, Leyde 1994.
- AUBERT J.J. (2004). De l'usage de l'écriture dans la gestion d'entreprise à l'époque romaine. *Mentalités et choix économiques des Romains*, Diffusion De Boccard, Paris 2004, p. 127-147.
- AUBERT J.J. (2005). L'Estampillage des briques et des tuiles : une explication juridique fondée sur une approche globale. *Interpretare i bolli laterizi di Roma e della valle del Tevere: Produzione, storia economica e topografia, Roma*, Acta Instituti Romani Finlandiae, 32, Roma.
- AULAS C. (1981). Marques et inscriptions sur amphores trouvées à Roanne. *Cahiers Archéologiques de la Loire, I, 1980-1981, Fédération des groupes de Recherches Archéologiques du département de la Loire*, 1981, p. 61-91.
- AULAS C. (1981). Marques et inscriptions sur amphores trouvées à Roanne. *Cahiers Archeologiques de la Loire*, 1 (1980-1981), p. 61-91.
- B.R.A (1962). Expedición arqueológica por el Guadalquivir. *Bulletín de la Real Academia de Córdoba* 84, p. 371-383.
- BALIL ILLANA A. (1961). Los Valeri Vegeti, una familia senatorial oriunda de la Bética. *Oretania*, 8/9, p. 96-98

- BAREA J.S., BAREA J.L., SOLÍS J. & MOROS J. (2008). *Figlina Scalensia: un centro productor de ánforas Dressel 20 de la Bética*. Col·lecció Instrumenta, 27. Universitat de Barcelona. Barcelona.
- BARRETO F., LAROCHE C. & LENOBLE M. (2005). Un atelier de potier du Ier siècle, rue Cottin à Vaise, Lyon 9^e. *RAE*, 54, p. 71-93.
- BARTHÉLÉMY-SYLVAND C. (2008). Les estampilles sur amphores hispaniques Pascual 1 et Dressel 20 découvertes en région Centre : approche cartographique des circuits de distribution. *Actes du Congrès international de la SFECAG d'Escala-Empúries, 1-4 mai*, Marsella, p. 655-670.
- BAUDOUX J. (1993). Les amphores et les récipients de stockage de Bliesbruck (Moselle) à l'époque romaine. *BLESA, 1, Publication du Parc Archéologique Bliesbruck-Reinheim*, p. 21-35.
- BAUDOUX J. (1996). *Les Amphores du nord-est de la Gaule (territoire française): contribution à l'histoire de l'économie provinciale sous l'Empire romain*. DAF, 52. Paris.
- BAUDOUX J. (1998). Les amphores à Strasbourg, fouilles récentes du tramway (Homme de Fer) et de la rue Hannong. *Les amphores en Gaule II. Production et Circulation*. (dir. F. Laubenheimer). Paris, p. 91-105.
- BECATTI G. (1961). *Mosaici e pavimenti marmorei*. Scavi di Ostia, IV. Roma.
- BECK W. & PLANCK D. (1980). *Der Limes in Südwestdeutschland: Limeswanderweg Main-Rems-Wörnitz*, Theiss, Stuttgart 1980, p. 173-186.
- BEDEL J. & TRACY S. (1997). *Greek and Latin Inscriptions in the USA. A Checklist*. American Academy in Rome. Rome.
- BEHRENS G. (1914). Dritter Bericht über Funde aus dem Kastell Mainz. *Mainzer Zeitschrift*, 8-9, p. 65-93.
- BELTRAN FORTES J., ORDOÑEZ AGULLA S. & GONZALEZ ACUÑA D. (2005). Acerca del Urbanismo de Hispalis. Estado de la Cuestión y Perspectivas. *Mainake*, p. 61-88.
- BELTRÁN LLORIS M. (1970). *Las ánforas romanas en España*. Monografías arqueológicas, VIII, Anejos de Caesaraugusta. Zaragoza.
- BELTRÁN LLORIS M. (1977). Problemas de la morfología y del concepto historicogeográfico que recubre la noción tipo. Aportaciones a la tipología de las ánforas béticas. *Méthodes classiques et méthodes formelles dans l'étude des amphores (Colloque Rome, 1974)*. CEFR, 32. Roma, p. 97-132.
- BELTRÁN LLORIS M. (1983). El aceite en Hispania a través de las ánforas: la concurrencia del aceite itálico y africano. *Producción y comercio del aceite en la Antigüedad. Segundo Congreso Internacional* (Sevilla, 1982), p. 515-549.
- BELTRÁN LLORIS M. (2004). Alfares y hornos romanos en Andalucía. Historiografía y claves de lectura. *Baeticae: talleres alfareros y producciones cerámicas en la Bética romana (ss. II a.C.-VII d.C.)*, *Actas del Congreso Internacional, Cádiz, 12-14 de noviembre de 2003*, Archaeopress, Oxford, p. 9-38.
- BELTRÁN LLORIS M. (2008). *Guía de la cerámica romana*, Libros Pórtico, Zaragoza.
- BÉMONT C., VERNHET A. & BECK F. (dirs.) (1987). *La Graufesenque, village de potiers gallo-romains*, Ministère de la Culture et de la Communication, Paris.
- BERATO J., BORREANI M., LECACHEUR P., PASQUALINI M., THEVENY J., RIGOR J. & RIGOR Y. (1986). Fouilles récentes à Toulon (Var). (Quartier Besagne 1985-1986). *Documents d'Archeologie Meridionale*, 9, p. 135-166.
- BERAUD I., GEBARA C. & LANDURE, C. (1991). La Porte d'Orée: transformacions et avatars d'un secteur portuariè à Fréjus (Var). *Gallia*, 48, p. 165-215.
- BERG J.J.H. VAN DEN (2014). Amphora stamps from Fectio (Vechten, NL). *Estudios sobre el Monte Testaccio Roma VI, Col·lecció Instrumenta, 47*, Universitat de Barcelona, Barcelona, p. 683-724.
- BERMOND I. & PELLECUER CH. (1998). Le littoral languedocien à l'époque tardo-républicaine et durant le Haut-Empire : le secteur d'Agde et du bassin de Thau (Hérault, France). *Ritmes i cicles de la romanització del camp. Estudis sobre el món rural d'època romana-1*, Institut de Patrimoni Cultural de la Universitat de Girona, Gerona, p. 103-113.
- BERNAL D., DÍAZ J.J., EXPÓSITO J.A., SÁEZ A.M., LORENZO L. & SÁEZ A. (2003). *Arqueología y Urbanismo. Avance de los hallazgos de época púnica y romana en las obras de la Carretera de Camposoto (San Fernando, Cádiz)*. Jerez de la Frontera.
- BERNI MILLET P. (1996). Instrumentum domesticum romà del Museu Episcopal de Vic. La col·lecció de segells en àmfora, tegula i morter. *Pyrenae*, 27, p. 311-326.
- BERNI MILLET P. (1996b). Amphora Epigraphy: proposals for the study of stamp contents. *Archeologia e Calcolatori*, 7, p.751-770.
- BERNI MILLET P. (1998). *Las ánforas de aceite de la Bética y su presencia en la Cataluña romana*. Barcelona. Col·lecció Instrumenta, 4. Universitat de Barcelona. Barcelona.

- BERNI MILLET P (1999). “La piel” del Monte Testaccio. Un estudio sobre la primera prospección sistemática de Dressel. *Estudios sobre el Monte Testaccio (Roma) I*. Blázquez Martínez J.M. & Remesal J. (eds.). Col·lecció Instrumenta, 6. Universitat de Barcelona. Barcelona, p. 205-273.
- BERNI MILLET P (2000). Amphorae Dressel 20 similes. *Ex Baetica Amphorae. Conservas, aceite y vino de la Bética en el Imperio Romano* (Congreso Internacional, Sevilla-Écija, 1998). Écija, p. 1159-1167.
- BERNI MILLET P. (2008). *Epigrafía anfórica de la Bética, nuevas formas de análisis*. Remesal Rodríguez J. (ed.). Col·lecció Instrumenta, 29. Universitat de Barcelona. Barcelona.
- BERNI MILLET P. (2011). Tipología de la Haltern 70 bética. *Ánforas romanas de Lugo. Trabajos de Arqueología*, 3, 3, Lugo, p. 80 - 107.
- BERNI MILLET P. (2012). Autopsie du timbre sur amphore romaine nscriptions mineures : nouveautés et réflexions. *Actes du premier colloque Ductus (19-20 juin 2008, Université de Lausanne)*. Bern, Berlin, Bruxelles, Frankfurt am Main, New York, Oxford, Wien, p. 151 - 163.
- BERNI MILLET P. (2015). Viaje en el tiempo por la producción y el comercio del aceite bético con la iconografía romana. *Amphorae ex Hispania: paisajes de producción y consumo: III congreso internacional de la Sociedad de Estudios de la Cerámica Antigua (SECAH), Tarragona, 10 - 13 de diciembre de 2014, Monografías Ex Officina Hispana 3*, Institut Català d'Arqueologia Clàssica, Tarragona, p. 49-62.
- BERNI MILLET P. (2017). Amphorae-Epigraphy: Stamps, Graffiti and *Tituli Picti* from Roman Nijmegen (Chapter 8). *Amphorae from the Kops Plateau (Nijmegen): trade and supply to the Lower-Rhineland from the Augustan period to AD 69/70*, Archaeopress 20, Oxford, p. 185-282.
- BERNI MILLET P. (en prensa 1). Las otras ánforas del Monte Testaccio. *La producción de aceite y de ánforas oleícolas en la Cuenca del Guadalquivir en época romana, Mesa redonda internacional, 29-30 de octubre 2015, Madrid*.
- BERNI MILLET P. (en prensa 2). Producción anfórica en Hispania. La evidencia de la epigrafía.
- BERNI MILLET P. (en prensa 3). Calendar graffiti on Dressel 20 amphorae. Asiaticus: another paradigmatic case with a new find from Brijuni (Croatia). *Archaeological report/studies in Castrum Villa (Brijuni Island, Croatia)*. Archäologische Forschungen, Viena.
- BERNI MILLET P. & GARRATE SAYÓ E. (1998). L'Eix Empúries–Narbona en els circuits comercials de l'oli Bètic durant l'imperi romà, *CEIPAC*, Universitat de Barcelona, Publicacions i Edicions, Barcelona, p. 243-255.
- BERNI MILLET P. & CARRERAS MONTFORT C. (2009). Les marques d'àmfores importades o d'altres àrees de la tarraconense. *Barcino. I. Marques i terrisseries d'àmfores al pla de Barcelona*. Institut d'Estudis Catalans. Institut Català d'Arqueologia Clàssica, Barcelona, p. 45-62.
- BERNI MILLET P. & CARRERAS MONTFORT C. (2015). Hispanic Imports in the First Military Camps of *Novaesium* (Neuss): Lager 1–7 (Augustus–Flavians). *Marburger Beiträge zur antiken Handels- und Wirtschaft und Sozialgeschichte, Band 32*, p. 173-207.
- BERNI MILLET P., CARRERAS MONTFORT C. & REVILLA CALVO V. (1998). Sobre dos nuevos Cornelii del vino tarraconense. *Laietania*, 11, p. 111-123.
- BERNI MILLET P. & GOROSTIDI PI D. (2013). C. Iulius Valerianus et C. Iulius Iulianus mercatores del aceite bético en un signaculum de plomo para ánforas Dressel 20. *Journal of Roman Archaeology*. 26 - 1, p. 167 - 189.
- BERNI MILLET P., JARREGA DOMÍNGUEZ R., BERNAL CASASOLA D., CARRERAS MONTFORT C. & GARCÍA VARGAS E. (2014). Amphorae ex Hispania. "Paisajes de producción y de consumo". Fase II: catálogo de ánforas hispanas. *Monografías Ex Officina Hispana*, 2, p. 131-140.
- BERNI MILLET P. & MOROS DIAZ J. (2012). Los sellos in planta pedís de las ánforas olearias béticas Dressel 23 (primera mitad siglo V d.C.). *AEspA*, vol. 85, p. 193-219.
- BERNI MILLET P. & MOROS DIAZ J. (2013). Los sellos de las ánforas olearias béticas en la Antigüedad Tardía. *Monografías Ex Officina Hispana*, 1, Universidad de Cádiz, Cádiz, p. 295-306.
- BERTHAULT F. (1999). Les amphores de la place Camille-Jullian à Bordeaux. *Aquitania*, 16, p. 251-293.
- BERTRAND E. (1992). Les amphores d'un vide sanitaire du 1er siècle à Lyon (Saint-Just). *SFECAG. Actes du Congrès de Tournai* (1992). Société Française d'Étude de la Céramique Antique en Gaule. Marsella, p. 265-277.
- BEZECZKY T. (1994). *Amphorenfunde vom Magdalensberg und aus Pannonien, Ein Vergleich*. Archäologische Forschungen zu den Grabungen auf dem Magdalensberg, 12. Klagenfurt.
- BEZECZKY T. (2000). Baetican amphorae from the North-Eastern provinces of the Roman Empire. *Ex Baetica Amphorae. Conservas, aceite y vino de la Bética en el Imperio Romano* (Congreso Internacional, Sevilla-Écija, 1998). Écija, p. 1359-1369.
- BEZECZKY T. (2004). Stamps, Inscriptions and Amphorae from Northern Italy. *Epigrafía Anfórica*. Remesal Rodríguez J. (ed.). Instrumenta, 17. Universitat de Barcelona. Barcelona, p.289-305.

- BEZECZKY T. (2004b). Consumer behaviour in Ephesus in the first century BC. *International Workshop, Old Pottery in a New Century. Innovating Perspectives on Roman Pottery Studies* (Catania 2004).
- BIÉVELET H. (1970). Les marques d'amphores à Bavai. *Revue du Nord*, LII, 207, p. 513-524.
- BIGOT F. (2014). Les amphores des agglomérations de Rodez (Segodunum) et Millau (Condatomagus) entre la fin du Ier s. et le IV^e s. Réflexions sur le commerce des denrées méditerranéennes dans la cité des Rutènes. *Cahiers d'archéologie aveyronnaise*, 27, p. 87-130.
- BIGOT F., DUPERRON G. & LONG L. (2014). Nouveaux timbres sur amphores à huile de Bétique découvert à Arles. *Actes du Congrès international de la SFECAG de Chartres, 29 mai - 1 juin*, Marsella, p. 753-774.
- BIGOT F. & DUPERRON G. (2016). Le dépotoir subaquatique du barrou à Sète (Hérault) : contribution à la connaissance du commerce antique dans le bassin de Thau. *Cahiers d'Archéologie subaquatique*, 23, p. 35-70.
- BILLORET R. (1987). Amphores antiques de la cité des Leuques. *Mélanges offerts à Marcel Lutz. Revue Archéologique de l'Est et du Centre Est*, XXXVIII, p.107-112.
- BIUNDO R. (1987). I bolli sulle anse delle anfore Dressel 20. *Horti et Sordes. Uno scavo alle falde del Gianicolo (a cura di Fedora Filippi)*, Edizioni Quasar, Roma, p. 284-294.
- BIRLEY A. R. (1997). *Hadrian. The restless Emperor*. London - New York.
- BLANC-BIJON V., CARRE M. B., HESNARD A. & TCHERNIA A. (1998). *Recueil de timbres sur amphores romaines II (1989-1990 et compléments 1987-1988)*. Travaux du Centre Camille Jullian, 20. Aix-en-Provence.
- BLANCO A. & LUZÓN J.M. (1966). Minerías antiguas españolas. *Archivo Español de Arqueología*, 39, p. 73-88.
- BLANCO FREIJEIRO A. (1962). El aceite en los albores de la Historia de España. *Oretania*, 10, p. 138-148.
- BLANCO FREIJEIRO A. (1972). *La Sevilla romana. Colonia Iulia Romula Hispalis*. en Historia del urbanismo sevillano. Sevilla.
- BLANCO FREIJEIRO A. (1979). *Historia de Sevilla. La ciudad antigua: (De la Prehistoria a los Visigodos)* Sevilla.
- BLANCO RUÍZ A. (1987). Limpieza y excavación de un horno cerámico en El Cortjillo (Peñaflor). *Anuario Arqueológico de Andalucía 1986. III. Actividades de Urgencia*. Sevilla, p. 413-415.
- BLÁZQUEZ MARTINEZ J.M. (1967). Estructura económica de la Bética al final de la república romana y a comienzos del imperio. *Hispania*, 27, p. 7-62.
- BLÁZQUEZ MARTINEZ J.M. (1992). The Latest Work on the Export of Baetican Olive Oil to Rome and the Army. *Greece & Rome, Second Series, vol. 39, n°2 (Oct. 1992)*, Cambridge University Press, Cambridge, p. 173-188.
- BLÁZQUEZ MARTINEZ J.M. (2007). Inscripciones de Olearii en Hispalis. *XII congressus internationalis epigraphiae graecae et latinae: provinciae imperii romani inscriptionibus descriptae: Barcelona, 3-8 Septembris 2002*, Monografies de la Secció Històrico-Arqueològica, 10, Barcelona, p. 179-184.
- BONIFAY M. & GARNIER N. (2007). Que transportaient donc les amphores africaines ? *Supplying Rome and the Empire: the proceedings of an international seminar held at Siena-Certosa di Pontignano on May 2-4, 2004, on Rome, the provinces, production and distribution. Journal of Roman archaeology. Suppl. 69*, Portsmouth, p. 8-31.
- BLOCH H. (1938). *I bolli laterizi e la storia edilizia*. Roma.
- BLOCH H. (1947). The Roman Brick-Stamps not Published in Volume XV 1 of the "Corpus Inscriptionum Latinarum". *Harvard Studies in Classical Philology*, 56, p. 1-128.
- BONSOR G. (1887). Marcas de alfareros romanos. *Memorias de la Sociedad Arqueológica de Carmona*, p. 56-62.
- BONSOR G. (1899). Notas arqueológicas de Carmona. *Revista de Archivos, Bibliotecas y Museos*, III, p. 425-429.
- BONSOR G. (1899b). Les colonies agricoles preromaines de la vallée du Bétis. *Revue Archéologique*, XXXV (3a série), p.126-232.
- BONSOR G. (1902). Los pueblos antiguos del Guadalquivir y las alfarerías romanas. *Revista de Archivos, Bibliotecas y Museos*, VI, p. 837-857.
- BONSOR G. (1931). *The Archaeological expedition along the Guadalquivir (1889-1901)*. New York. (traducción castellana de G. Chic García y A. Padilla Monge: "Expedición arqueológica a lo largo del Guadalquivir". Ecija.
- BONSOR G. (1931b). *An archaeological sketch-book of the roman necropolis at Carmona*. Hispanic Society of America. New York.

- BOULVERT G. (1974). *Domestique et fonctionnaire sous le Haut-Empire romain. La condition de l'affranchi et de l'esclave du prince, Annales littéraires de l'Université de Besançon, 151*, Université de Franche-Comté, Besançon.
- BOURGEON O. (2017). Baetican olive-oil trade during the Late Empire: New data on the production of late roman amphorae (Dressel 23) in the Lower Genil Valley. *Journal of Roman Archaeology, 30*, 2017, p. 517-529.
- BOURGEON O., GARCÍA VARGAS E., MAUNÉ S., CORBEEL S., CARRATO CH., GARCÍA DILS S. & VAZQUEZ PAZ J. (2016) Investigación arqueológica en el alfar de las Delicias (Écija, Sevilla) 2013-2015: un primer balance. *Amphorae ex Hispania: paisajes de producción y consumo: III congreso internacional de la Sociedad de Estudios de la Cerámica Antigua (SECAH), Tarragona, 10 - 13 de diciembre de 2014, Monografías Ex Officina Hispana 3*, Institut Català d'Arqueologia Clàssica, Tarragona, p. 310-333.
- BOURGEON O, GONZÁLEZ TOBAR I., DESBONNETS Q., CORBEEL S., LATOURNERIE J., PINEAU J.-B. & MATHET J. (2016). Nuevos datos sobre la producción de ánforas Dr. 23 en el valle del Genil. *Amphorae ex Hispania: paisajes de producción y consumo: III congreso internacional de la Sociedad de Estudios de la Cerámica Antigua (SECAH), Tarragona, 10 - 13 de diciembre de 2014, Monografías Ex Officina Hispana 3*, Institut Català d'Arqueologia Clàssica, Tarragona, p. 334-346.
- BOURGEON O., PAGNOUX CL., MAUNÉ S., GARCÍA VARGAS E., IVORRA S., ATER M., MOUKHLI A. & TERRAL J.F. (2018). Olive tree varieties cultivated for the great Baetican oil trade during the Roman period (1st-4th c. AD): morphometrical analysis of olive stones from Las Delicias (Ecija, province of Sevilla, Spain). *Vegetation History and Archaeobotany*, p. 463-476.
- BOURGEON O., MAUNÉ S., LANOS PH., CARRATO CH. & DUFRESNE PH. (en prensa) Chronologie et phasage des fours de potiers de l'atelier de Saint-Bézard à Aspiran (Hérault), Ier – Ve s. ap. J.-C. L'apport de la confrontation des systèmes de datation. *Congrès international Archéologie des espaces artisanaux. Fouiller et comprendre les gestes des potiers, Rennes, 27 et 28 novembre 2014*.
- BOURGEON O., CORBEEL, S., MAUNÉ S. & GARCÍA VARGAS E. (en prensa) L'organisation de la production d'amphores Dr. 20 de l'atelier de potiers de Las Delicias à travers l'étude des timbres et des marques de tâcherons. *Congrès international Archéologie des espaces artisanaux. Fouiller et comprendre les gestes des potiers, Rennes, 27 et 28 novembre 2014*.
- BRAVO BOSH M. J. (2008). La reorganización administrativa de Hispania con César y Augusto. *Revue internationale des droits de l'Antiquité, LV*, p. 107-137.
- BOST J-P., CAMPO M., COLLS D., GUERRERO V. & MAYET F. (1992). *L'épave Cabrera III (Majorque)*. Publications du Centre Pierre Paris, 23. París.
- BOUBE J. (1975). Marques d'amphores découvertes à Sala Volubilis et Banasa. *Bulletin d'Archéologie Marocaine, IX* (1973-75), p. 163-230.
- BRENTCHALOFF D. & LEQUÉMENT R. (1978). Timbres amphoriques de Fréjus. *Archaeonautica, 2*, p. 221-232.
- BRENTCHALOFF D. & RIVET L. (2003). Timbres Amphoriques de Fréjus, 2. *SFECAG. Actes du Congrès de Saint-Romain-en-Gal*. Société Française d'Étude de la Céramique Antique en Gaule. Marsella, p. 595-619.
- BROEKAERT W. (2008) Roman economic policies during the third century AD: the evidence of the *Tituli Picti* on oil amphorae. *Ancient Society, 38*, 2008, p. 197-219.
- BROEKAERT W. (2011). Oil for Rome during the 2nd and 3rd century AD: a confrontation of archeological records and the Historia Augusta. *MNEMOSYNE, 64*, p. 591-623.
- BROEKAERT W., BERNI MILLET P. & MOROS DÍAZ J. (2015). Goats in the workshop: Graffiti and humour in a Spanish figlina. *Lesen und Schreiben in den römischen Provinzen. RGZM – Tagungen 26*, p. 165 - 177.
- BRUN J.-P. (1986). *L'oléiculture antique en Provence : les huileries du département du Var*. Supplément à la RAN, 15.
- BRUN J.-P. (2003). *Le vin et l'huile dans la Méditerranée antique. Viticulture, oléiculture et procédés de fabrication*, Editions Errance, Paris.
- BRUN J.-P. (2004). *Archéologie du vin et de l'huile dans l'Empire romain*, Editions Errance, Paris.
- BRUN J.-P. (2005). *Archéologie du vin et de l'huile, De la préhistoire à la fin de l'Empire romain*, Edition Errance, Paris.
- CABALLOS RUFINO A. (1990). *Los Senadores hispanorromanos y la romanización de Hispania: siglos I al III p. C.* (2 vol). Monografías del Departamento de Historia Antigua de la Universidad de Sevilla, 5. Gráficas Sol. Écija.
- CABALLOS RUFINO A. (1994). *Itálica y los Italicenses. Aproximación a su Historia*. Universidad de Sevilla, Consejería de Cultura (J.A.), Fundación el Monte. Sevilla.

- CABALLOS RUFINO A. & ECK W. (1993). Nuevos documentos en torno a los Egnati de la Bética. *Florentia Iliberritana*, 3, p. 57-69.
- CABALLOS RUFINO A., MARÍN FATUARTE J. & RODRÍGUEZ HIDALGO J.N. (1999). *Itálica, arqueológica*. Universidad de Sevilla. Servicio de Publicaciones. Sevilla.
- CAGNAT R. (1914). *Cours d'épigraphie latine*. (Reimpresión en 2002 de la 4ª edición de 1914). Paris.
- CALLENDER M. H. (1948). Las ánforas del sur de España y sus sellos. *Cuadernos de Historia Primitiva*, año III, nº 2, p. 139-142.
- CALLENDER M. H. (1949). Corbridge amphora stamps. *Archaeologia Aeliana*, 27, p. 60-122.
- CALLENDER M. H. (1965). *Roman Amphorae, with index of Stamps*. Oxford University Press.
- CALLU J.-P., MOREL J.-R., REBUFFAT R & HALLIER G. (1965). *Thamusida I. Fouilles du service des antiquités du Maroc*, 2 volumes. De Boccard. Paris.
- CAMBI N. (1983). Le anfore Dressel 20 nella Jugoslavia. *Producción y comercio del aceite en la Antigüedad. Segundo Congreso Internacional* (Sevilla, 1982), p. 363-389.
- CAMODECA G. (1992). Per una storia economica e sociale di Puteoli fra Augusto e i Severi. *Civiltà dei Campi Flegrei. Atti del Convegno Internazionale* a cura di M. Gigante. Napoles, p. 139-172.
- CAMPOS CARRASCO J. M. (1986). *Excavaciones arqueológicas en la ciudad de Sevilla: El origen Prerromano y la Hispalis Romana*. Monte de Piedad y Caja de Ahorros de Sevilla. Sevilla.
- CANTARELLI L. (1915). Il Monte Testaccio e la Gallia. *Bullettino della Commissione Archeologica Comunale in Roma*, 43, p. 41-46.
- CANTARELLI L. (1915b). I vini della Gallia Narbonense e le Anfore vinarie del Testaccio e del Castro Pretorio. *Bullettino della Commissione Archeologica Comunale in Roma*, 43, p. 279-291.
- CANTO A. M. (1985). *La epigrafía romana de Itálica*. Madrid.
- CARRATO CH., TIAGO O., GARCÍA VARGAS E., MAUNÉ S., BOURGEON O. & LANOS PH. (2018). Sobre la capacidad de carga de los hornos romanos de ánforas. Balance metodológico y reflexiones a partir de un horno de Dressel 20 del alfar de Las Delicias (Écija, Sevilla). *Cuantificar : qué, cómo y para qué. Quantification in Classical Archaeology : objects, methodologies and aims, Instrumenta*, 60, Barcelona, p. 295-318.
- CARRE M.B., GAGGADIS-ROBIN V., HESNARD A. & TCHERNIA A. (1995). *Recueil de timbres sur amphores romaines (1987-1988)*. Travaux du Centre Camille Jullian, 16. Aix-en-Provence.
- CARRERAS MONFORT C. & FUNARI P. P. A. (1998). *Britannia y el Mediterráneo*. Barcelona. Col·lecció Instrumenta, 5. Universitat de Barcelona. Barcelona.
- CARRERAS MONFORT C. & FUNARI P. P. A. (2000). Estado y mercado en el abastecimiento de bienes de consumo en el imperio romano: un estudio de caso de la distribución de aceite español en Britannia. *História econômica & história de empresas* 3, 2, p. 105-121.
- CARILLOS DÍAZ-PINÉS J.R. (1996). Dispositivos para la producción de aceite en época romana en Andalucía. *L'Africa romana: atti del 11 Convegno di studio, 15-18 dicembre 1994, Cartagine, Tunisia*, Università degli studi di Sassari, Il Torchietto, Ozieri, p. 611-627.
- CASARIEGO A., CORES G. & PLIEGO F. (1987). *Catálogo de los plomos monetiformes de la Hispania antigua*. Artis Traditio. Madrid.
- CASTELLA D. (2001). Insula 12 et les quartiers adjacents à Avenches. La céramique. *Bulletin de l'Association Pro Aventico, Band 43*, p. 67-123.
- CASTELO RUANO R. (1996). Placas decoradas paleocristianas y visigodas de la colección Alhonor (Écija, Sevilla). *Espacio, Tiempo y Forma. Serie II, Historia Antigua, tome 9*, p. 467-536.
- CASTILLO GARCÍA C. (1965). *Prosopographia Baetica I y II*. Universidad de Navarra. Pamplona.
- CASTILLO GARCÍA C. (1984). (Los senadores de la Bética: Onomástica y parentesco. *Gerión*, 2, p. 239-250.
- CASTRO LÓPEZ M. (1998). *La campiña de Jaén en los siglos I-II. La construcción de un paisaje agrario*. Tesis doctoral. Universidad de Jaén.
- CEÁN BERMÚDEZ J. A. (1832). *Sumario de las antigüedades romanas que hay en España, en especial las referentes a las Bellas Artes*. Edit. Madrid, Miguel de Burgos. Madrid.
- CERDÀ D. (1994). La crisi del segle III a Pollentia a dues naus de Cabrera. *III Reunió d'Arqueologia Cristiana Hispànica (Maò 1988)*. Barcelona, p. 289-308.
- CHAUSA A. (1996). Epigrafía anfórica sobre Dressel 20 hallada en Arva. Campaña de 1986. *Mélanges de la Casa de Velázquez*, 32, p. 99-111.
- CHAUSSON F. (2005). Des femmes, des hommes, des briques : prosopographie sénatoriale et *figlinae* alimentant le marché urbain. *Archeologia Classica*, 56, p. 225-267.
- CHIC GARCÍA G. (1975). Inscripciones de Peñafior. *Habis*, 6: 357-364.
- CHIC GARCÍA G. (1978). Consideraciones sobre la navegabilidad del Guadalquivir en Época romana. *Gades*, 1, p. 7-20.

- CHIC GARCÍA G. (1979). El intervencionismo estatal en los campos de la producción y la distribución durante la época de los antoninos. *Memorias de Historia Antigua*, 3, p. 125-137.
- CHIC GARCÍA G. (1979b). Gades y la desembocadura del Guadalquivir. *Gades*, 3: 7-23.
- CHIC GARCÍA G. (1979c). Lacca. *Habis*, 10, p. 255-276.
- CHIC GARCÍA G. (1981). El Estado y el transporte de las ánforas olearias béticas durante el Alto Imperio Romano. *Gades*, 7, p. 27-36.
- CHIC GARCÍA G. (1981b). Observaciones sobre las cifras pintadas en las ánforas olearias hispanas. *Habis*, 12, p. 223-249.
- CHIC GARCÍA G. (1981c). Rutas comerciales de las ánforas olearias hispanas en el occidente romano. *Habis*, 12, p. 223-249.
- CHIC GARCÍA G. (1983). El Estado y el comercio aceitero durante el Alto Imperio. *Producción y comercio del aceite en la Antigüedad. Segundo Congreso Internacional* (Sevilla, 1982), p. 163-182.
- CHIC GARCÍA G. (1983b). Portus Gaditanus. *Gades*, 11, p. 105-120.
- CHIC GARCÍA G. (1984). Lebrillos y macetas en los antiguos alfares del Guadalquivir y del Genil. *Habis*, 15, p. 275-280.
- CHIC GARCÍA G. (1984b). El Tráfico en el Guadalquivir y el Transporte de las Ánforas. *Anales de la Universidad de Cádiz*, 1, p. 33-44.
- CHIC GARCÍA G. (1985). *Epigrafía anfórica de la Bética I. Las marcas impresas en barro sobre ánforas olearias (Dressel 19, 20 y 23)*. Universidad de Sevilla. Sevilla.
- CHIC GARCÍA G. (1986). El comercio del aceite de la Astigi romana. *Habis*, 17, p. 243-264.
- CHIC GARCÍA G. (1988). *Tres estudios sobre la Colonia Augusta Firma Astigi*. Gráficas Sol. Écija.
- CHIC GARCÍA G. (1988b). *Epigrafía anfórica de la Bética II. Los rótulos pintados sobre ánforas olearias. Consideraciones sobre la annona*. Universidad de Sevilla. Sevilla.
- CHIC GARCÍA G. (1990). *La navegación por el Guadalquivir entre Córdoba y Sevilla en época romana*. Gráficas Sol. Sevilla.
- CHIC GARCÍA G. (1992). El conjunto alfarero romano de La Catria. Nueva consideración. *Minus*, 1, p. 107-136.
- CHIC GARCÍA G. (1993). Los Aelii en la producción y difusión del aceite bético. *Münstersche Beiträge Zur Antiken Handelsgeschichte*, 11-2, p. 1-22.
- CHIC GARCÍA G. (1993b). La navegación fluvial en época romana. *Revista de Arqueología*, 142, p. 28-39.
- CHIC GARCÍA G. (1994). Los centros productores de las ánforas con marcas LFC. *Hispania antiqua*, 18, p. 171-233.
- CHIC GARCÍA G. (1994b). Diffusores olearii y tesserae de plomo. *Revista de Estudios Locales de Lora del Río*, 5, p. 7-12.
- CHIC GARCÍA G. (1994c). Economía y sociedad en la Bética altoimperial. El Testimonio de la epigrafía anfórica. Algunas notas. *La Sociedad de la Bética. Contribución para su estudio*. Universidad de Granada. Granada, p.75-122.
- CHIC GARCÍA G. (1995). Un factor importante de la economía de la Bética: el aceite. *Hispania Antiqua*, 19, p. 95-128.
- CHIC GARCÍA G. (1995b). La proyección económica de la Bética en el Imperio Romano. *Actas del II Congreso de Historia de Andalucía. Congreso de Historia de Andalucía*, 2. Junta Andalucía y Cajasur. Córdoba, p. 173-199.
- CHIC GARCÍA G. (1995c). Q. Rutilius Flaccus Cornelianus. Un caballero romano en las tierras de Lora del Río. *Revista de Estudios Locales de Lora del Río*, 6, p. 7-11.
- CHIC GARCÍA G. (1996). Producción y comercio en la zona costera de Málaga en el mundo romano en época altoimperial. Wulff F. & Cruz Andreotti G. (eds.). *Historia Antigua de Málaga y su Provincia*. Arguval, Málaga, p. 245-266.
- CHIC GARCÍA G. (1999). Comunidades indígenas en el sur de la Península Ibérica: dos notas. Villar F. & Beltrán F. (eds.), *Pueblos, lenguas y escrituras en la Hispania prerromana*. Salamanca, p. 173-182.
- CHIC GARCÍA G. (1999b). Algunas notas sobre Severo Alejandro y el Fisco. *Homenaje al Profesor Montenegro. Estudios de Historia Antigua*. Universidad de Valladolid, p. 649-658.
- CHIC GARCÍA G. (2000). Implicaciones Económicas de los Estudios Anfóricos. Congreso Internacional *Ex Baetica Amphorae. Conservas, aceite y vino de la Bética en el Imperio Romano* (Congreso Internacional, Sevilla-Écija, 1998). Écija, p. 1183-1206.
- CHIC GARCÍA G. (2001). *Datos para un estudio socioeconómico de la Bética. Marcas de alfar sobre ánforas olearias*. 2 vol. Graficas Sol. Écija.
- CHIC GARCÍA G. (2003). Colonia Augusta Firma Astigi: una economía de prestigio. *VII Congreso de Historia: Écija, economía y sociedad*. Écija, p.13-46.

- CHIC GARCÍA G. (2003). Nuevas consideraciones sobre la navegación fluvial por el Guadalquivir. *El Baetis-Guadalquivir, puerta de Hispania. Monografías Sanluqueñas*, I. Sanlúcar. Santo Domingo, p. 39-66.
- CHIC GARCÍA G. (2005). El comercio de la Bética Altoimperial. *Habis*, 36, p. 313-332.
- CHIC GARCÍA G. (2005b). Colonia Augusta Firma Astigi: una economía de prestigio. *VII Congreso de Historia de Écija: Economía y Sociedad. Congreso de Historia de Écija: Economía y Sociedad*, 7. Gráficas Sol. Écija, p.13-46.
- CHIC GARCÍA G. (2006). Movimiento de Personas en relacion con el aceite bético. *Migrare - La Formation des Élités dans l'Hispanie Romaine*. Caballos Rufino A. & Démougin S. (coords.). De Boccard. Ausonius Éditions. Paris-Bordeaux, p. 273-299.
- CHIC GARCÍA G. (2011). Economía de la desembocadura del Genil (*Singilis*) en la época romana. *VI Jornadas de Historia – Cardenal Portocarrero - Historia local y municipalismo (población, territorio e instituciones). Palma del Río en el pasado y en el presente. Palma del Río 15-16 octubre 2010*, Palma del Río 2011, p. 1-33.
- CHIC GARCÍA G. & GARCÍA VARGAS E. (2004). Alfares y producciones cerámicas en la provincia de Sevilla. Balance y perspectivas. *Figlinae Baeticae. Talleres alfareros y producciones cerámicas en la Bética romana (ss. II s.C. - VII d.C.)*. Actas del Congreso Internacional (Cádiz 2003). BAR International Series, 1266, 2 vols. Oxford, p. 279-347.
- CHIC GARCÍA G., GARCÍA E., ROMO A. & TABARES M.A. (2001). Una nueva inscripción annonaria de Sevilla: M. Iulius Hermesianus, diffusor olei ad annonam urbis. *Habis*, 32, p. 353-374.
- CHIC GARCÍA G. & SAEZ FERNÁNDEZ P. (1983). La epigrafía de las ánforas olearias béticas como posible fuente para el estudio del colonato en la Bética. *Producción y comercio del aceite en la Antigüedad. Segundo Congreso Internacional* (Sevilla, 1982), p. 193-210.
- CHRISTOL M. (2002). Marchands gaulois et grand commerce de l'huile de Bétique dans l'Occident romain. Quelques données provenant des amphores. *Vivre, produire et échanger: reflets méditerranées. Mélanges offerts à Bernard Liou*. Montagnac, p. 325-334.
- CHRISTOL M. (2003). L'huile du prince : évergétisme impérial et administration annonaire au II^{ème} siècle après J.-C. *Histoire, Espaces et Marges de l'Antiquité, I, Hommages à Monique Clavel-Lévêque*, Presses Universitaires Franc-Comtoises, Besançon, p. 209-226.
- CHRISTOL M. (2006). L'administration et la gestion des ressources de la province d'Afrique à la transition du Haut-Empire et du Bas-Empire. *Cahiers du Centre Gustave Glotz*, 17, 2006, p. 219-246.
- CHRISTOL M. (2008). Annona Urbis : remarques sur le ravitaillement en huile de la ville de Rome au II^e siècle apr. J.-C. *Epigrafia 2006 : atti della XIVe rencontre sur l'épigraphie, in onore di Silvio Panciera, Quasar (Tituli 9)*, Roma, p. 271-298.
- CHRISTOL M. (2016). Annona Urbis : la part de l'échange. *Échanger en Méditerranée : Acteurs, pratiques et normes dans les mondes anciens*, Collection "Histoire", Presses Universitaires de Rennes, Rennes.
- CHRISTOL M. & PLANA-MALLART R. (1998). De la Catalogne à Narbonne. Epigraphie amphorique et épigraphie lapidaire. Les affaires de Veiento. *Epigrafia Romana in area Adriatica, Actes de la IXe rencontre franco-italienne sur l'épigraphie du monde romain (Macerata 10-11 novembre 1995)*, Università degli studi di Macerata, Macerata, p. 273-302.
- CHOUQUER G. (2014). *Étude juridique et historique du dominium et de la propriété foncière dans le monde romain (Ier s. av. J.-C.-Ier s. ap. J.-C.)*, Livre électronique proposé par l'Observatoire des formes du foncier dans le monde FIEF – Paris.
- CIL II = *Corpus Inscriptiorum Latinarum II. Inscriptiones Hispaniae Latinae*, HÜBNER A. (Berlín, 1869); *Inscriptionum Hispaniae Latinarum Supplementum*, HÜBNER A. (Berlín, 1892)
- CIL II2/5 = *Corpus Inscriptiorum Latinarum II: Inscriptiones Hispaniae Latinae, editio altera, pars V. Conventus Astigitanus*, (eds.) STYLOW A. U., ATENCIA PÁEZ R., GONZÁLEZ FERNÁNDEZ J., GONZÁLEZ ROMÁN C., PASTOR MUÑOZ M. & RODRÍGUEZ OLIVA P. (Berlín-Nueva York, 1998).
- CIL II2/7 = *Corpus Inscriptiorum Latinarum II: Inscriptiones Hispaniae Latinae, editio altera, pars VII. Conventus Cordubensis*, STYLOW A. U. (Berlín-Nueva York, 1995).
- CIL IV = *Corpus Inscriptiorum Latinarum IV: Inscriptiones parietariae Pompeianae Herculanenses Stabianae*, ZANGEMEISTER C. & SCHOENE R. (1871); *pars II, Inscriptiones parietariae et vasorum fictilium*, MAU A. (1909); *pars III, Inscriptiones Pompeianae Herculanenses parietariae et vasorum fictilium*, DELLA CORTE M. & CIROTTI P. (Lieferung, 1952-1970).
- CIL VI = *Corpus Inscriptionum Latinarum VI, Inscriptiones urbis Romae Latinae. pars I, Inscriptiones sacrae. Augustorum, magistratum, sacerdotum. Latercula et tituli militum* (1876); *pars II, Monumenta columbariorum. Tituli officialium et artificum. Tituli sepulcrales reliqui* (1882); *pars III, Tituli sepulcrales* (1882); *pars IV, fasc. I, Tituli sepulcrales* (1894), HENZEN G., DE ROSSI I. B., BORMANN E., HUELSEN CHR. & BANG M.

- CIL X = *Corpus Inscriptiorum Latinarum X. Inscriptiones Bruttiorum, Lucaniae, Campania, Siciliae, Sardiniae Latinae*, MOMMSEN TH. (1883).
- CIL XI = *Corpus Inscriptiorum Latinarum XI. Inscriptiones Aemiliae, Etruriae, Umbriae Latinae*. BORMANN E. (ed.). *Pars I, Inscriptiones Aemiliae et Etruriae*. 1888 (impr. iter. 1966). *Pars II, fasc. I Inscriptiones Umbriae, viarum publicarum, instrumenti domestici*. 1901 (impr. iter. 1968)
- CIL XII = *Corpus Inscriptionum Latinarum XII. Inscriptiones Galliae Narbonensis Latinae*, HIRSCHFELD O. (1888)
- CIL XIII = *Corpus Inscriptionum Latinarum XIII. Inscriptiones trium Galliarum et Germaniarum Latinae*, HIRSCHFELD O. & ZANGEMEISTER C. (Berlín, 1899-1943).
- CIL XIV = *Corpus Inscriptionum Latinarum XIV. Inscriptiones Latii veteris Latinae*, Ed. DESSAU H. (1887). *Supplementum Ostiense*, Ed. Wickert L. (1930). *Supplementi Ostiensis fasciculus II. Indices topographicos composuit*, Ed. Wickert L. (1933).
- CIL XV = *Corpus Inscriptiorum Latinarum XV. Inscriptiones urbis Romae Latinae. Instrumentum domesticum. pars I*, DRESSSEL H. (1891); *pars II, fasc. I*, DRESSSEL H. (1899).
- CILA 2 = *Corpus de Inscripciones Latinas de Andalucia. Volumen II: Sevilla. Tomo I: La Vega (Hispalis)*, GONZÁLEZ J. (Sevilla, 1991).
- CILA 3 = *Corpus de Inscripciones Latinas de Andalucia. Volumen II: Sevilla. Tomo II: La Vega (Itálica)*, GONZÁLEZ J. (Sevilla, 1991).
- CILA 4 = *Corpus de Inscripciones Latinas de Andalucia. Volumen II: Sevilla. Tomo III: La Campiña*, GONZÁLEZ J. (Sevilla, 1996)."
- CILA 5 *Corpus de Inscripciones Latinas de Andalucia. Volumen II: Sevilla. Tomo IV: El Aljarafe, Sierra Norte, Sierra Sur*, GONZÁLEZ J. (Sevilla, 1996).
- CLARK-MAXWELL W. G. (1899). The Roman Towns in the Valley of Baetis between Cordoba and Sevilla. *Archaeological Journal of London*, LVI, p. 245-305.
- CLAVEL-LÉVÊQUE M. (1970). *Béziers et son territoire dans l'antiquité*, Les Belles Lettres, Paris.
- COCKLE H. (1981). Pottery manufacture in Roman Egypt: A new papyrus. *The Journal of Roman Studies*, 71, p. 87-97.
- COGNOT F. (1983). Apports archéologiques et historiques des fouilles de la rue Dinot à Mâcon. *Annales de l'Académie de Macon* (3ªserie), 59, p. 17-51.
- COLLANTES DE TERÁN F. (1977). *Contribución al estudio de la topografía sevillana en la antigüedad y en la edad media*. Real Academia de Bellas Artes de Santa Isabel de Hungría (Tesis doctoral leída en 1956 y publicada en 1977). Sevilla.
- COLLINGWOOD R. G. & WRIGHT R. P. (1994). *Roman Inscriptions of Britain : Vol 2, Fascicule 6. Dipinti and Graffiti on Amphorae and Mortaria, Inscriptions in White Barbotine, Dipinti on Coarse Pottery, Samian Barbotine or Moulded Inscriptions* (2492-2500). Alan Sutton Publishing. Stroud.
- COLLS D., ÉTIENNE R., LEQUÉMENT R., LIOU B. & MAYET F. (1977). *L'épave Port-Vendres II et le commerce de la Bétique a l'époque de Claude*. *Archaeonautica*, 1. Paris.
- COLLS D. & LEQUÉMENT R. (1980). *L'épave Port-Vendres II: nouveaux documents épigraphiques. Producción y comercio del aceite en la Antigüedad. Primer Congreso Internacional* (Madrid, 1980), p. 177-186.
- COMAS I SOLÀ M. (1997). *Baetulo. Les marques d'Àmfora*. Institut d'Estudis Catalans. Badalona.
- CONGÈS G., LEGUILLOUX M. & BRIEN-POITEVIN F. (1991). Un dépotoir de l'Antiquité tardive dans le quartier de l'Esplanade à Arles. *RAN* 24, p. 201-234.
- CORBEEL S., DESBONNETS Q., GONZÁLEZ TOBAR I. & MAUNÉ S. (2018). Que compte-t-on et comment, sur les ateliers d'amphores Dr. 20 de la vallée du Guadalquivir. *Cuantificar las economías antiguas. Problemas y métodos. Quantifying ancient economies. Problems and methodologies. Col·lecció Instrumenta*, 60, Publicacions i Edicions de la Universitat de Barcelona, Barcelona, p. 281-294.
- CORTIJO CEREZO M. L. (1993). *La administración territorial de la Bética romana*, Colección Plaza Mayor, 12, Caja Provincial de Ahorros de Córdoba, Córdoba.
- CORSI-SCIALLANO M. & LIOU B. (1985). *Les Épaves de Tarraconaise à chargement d'amphores Dressel 2-4*. *Archaeonautica*, 5. Paris.
- CORZO SÁNCHEZ R. & JIMÉNEZ A. (1980). Organización territorial de la Bética. *Archivo Español de Arqueología*, 53, p. 21-47.
- CORZO SÁNCHEZ R. & TOSCANO SAN GIL M. (1999). Las vías romanas de Andalucía. Consejería de Obras Públicas y Transportes. Sevilla.
- COURAULT CH. (2013). La Bética en los Alpes: análisis de sellos de ánforas Dressel 20 descubiertos en Thonon-les-Bains. *Arte, Arqueología e Historia. Revista de la Asociación "Arte, Arqueología e Historia"*, 20, p. 183-188.

- COZZO G. (1936). *Una industria nella Roma imperiale: la corporazione dei figli ed i bolli doliari*. Roma. Memorie Scienze Morali. Memorie dell'Accademia dei Lincei. Roma.
- DANGREAU B. & DESBAT A. (1988). Les amphores du dépotoir flavien du Bas-de-Loyasse à Lyon. *Gallia*, 45 (1987-1988), p. 115-153.
- DAREMBERG C., SAGLIO E. & POTTIER E. (1969). *Dictionnaire des antiquités grecques et romaines*. Tomos 1-10. Graz. (Paris, 1877 - 1919).
- DARDAINE S. (1999). Les affranchis des cités dans les provinces de l'occident romain : statut, onomastique et nomenclature. *Congreso Internacional "Ciudades Privilegiadas en el Occidente Romano"*, Historia y geografía (Universidad de Sevilla), 42, Secretariado de Publicaciones, Sevilla.
- DARDAINE S. & PAVIS D'ESCURAC H. (1983). Le Baetis et son aménagement: l'apport de l'épigraphie (CIL II, 1183 et 1080). *Ktéma*, 8, p. 307-315.
- DE DEBEIR G. (1980). Intervention du Conseil Oleicole International. *Producción y comercio del aceite en la Antigüedad. Primer Congreso Internacional* (Madrid, 1980), p. 311-319.
- DE GUSSEME T.A. (1773). *Noticias pertenecientes a la historia antigua y moderna de la villa de Lora del Río*. Memorias Literarias de la Real Academia Sevillana de Buenas Letras, vol. I. Sevilla.
- DE GUSEME T. A. (1981). *Noticias pertenecientes a la historia antigua y moderna de la villa de Lora del Río, Setefilla y Arva, en Andalucía (1759)*. Lora del Río (segunda edición, con comentarios de J. Remesal).
- DE NICOLAS J. C. (1979). Epigrafía anforaria de Menorca. *Revista de Menorca*, 70, 1er semestre, 1979, p. 5-80.
- DE LA PEÑA J. F. (1967). Alfares y marcas de ánforas del valle medio del Guadalquivir. *Archivo Español de Arqueología*, 40, p. 115-116 y 129-137.
- DE RUGGIERO E. (1961). *Dizionario epigrafico di antichità romane*. De Ruggiero (Dir.). L'Erma di Bretschneider. Roma.
- DE SALVO L. (1992). *Economia privata e pubblici servizi nell'impero romano. I corpora naviculariorum*. Samperi. Messina.
- DE SALVO L. (1998). Pubblico e privato in età severiana: il caso del trasporto dell'olio bético e l'epigrafia anforaria. *Navires et commerces de la Méditerranée antique. Hommage à Jean Rougé. Cahiers d'Historie*, 33, 3-4, p. 333-344.
- DEGEN R. (1979). Spanisches Olivenöl und andere Handelswaren für Octodurus. *HA*, 39-40, p. 157-178.
- DELGADO A. (1871-1876). Nuevo método de clasificación de las Medallas Autónomas de España. (3 vols). Imprenta y Librería de D. Antonio Izquierdo y Sobrino. Sevilla.
- DENIAUX E. (1980). Recherches sur les amphores antiques de Basse-Normandie. *Cahiers des annales de Normandie*, n°12B.
- DEONNA W. (1928). Céramique romaine de Genève. Poterie commune: amphores, pelves, tuiles, briques. A.S.A, p. 146-154 y 203-216.
- DES BOSCS F (1995). Les stratégies familiales des chevaliers et sénateurs hispano-romains (Ier siècle - première moitié du IIe siècle ap. J.-C.). *Mélanges de la Casa de Velázquez*, 31-1, p. 113-171.
- DES BOSCS F. (2004). La richesse des aristocraties de Bétique et de Tarraconaise (50 av. J.-C.- fin du IIème siècle ap. J.-C.): essai de synthèse. *Gerión*, 22, n° 1, p. 305-353.
- DES BOSCS F. (2005). Les patrimoines des sénateurs hispaniques sous le Haut-Empire : L'apport de l'épigraphie des amphores. *Cahiers Glotz*, XVI, p. 165-211.
- DES BOSCS F. (2005a). *Un parti hispanique à Rome ? : ascension des élites hispaniques et pouvoir politique d'Auguste à Hadrien, 27 av. J.C.-138 ap. J.-C.* Casa de Velázquez, Madrid.
- DES BOSCS F. (2013). Constitution et circulation de la richesse au sein des familles sénatoriales du Haut-Empire romain : l'exemple des familles originaires de la péninsule Ibérique. *Richesse et sociétés. Colloques de la Maison René-Ginouvès*, 9. Maison René Ginouvès-archéologie et ethnologie (Nanterre), des Bocard, Paris, p. 119-136.
- DESBAT A. (2003). La céramique romaine en Gaule et en Occident. *La céramique. La poterie, du Néolithique aux Temps modernes*, édition Errance, Paris. p. 131-210.
- DESBAT A. (2014). La cuisson des céramiques antiques : bilan de 30 années d'expérimentations (1983-2013). *Roman Pottery and Glass Manufactures: Production and Trade in the Adriatic Region* ("Colloquium Theme: Experimental archaeology, Proceedings of the 2nd International Archaeological Colloquium Crikvenica (Croatia), 28th-29th Oct. 2011), Institut za Arheologiju Muzej grada Crikvenice, Crikvenice, p. 3-40.
- DESBAT A., LEQUÉMENT R. & LIOU B. (1987). Inscriptions peintes sur amphores: Lyon et Saint-Romain-en-Gal. *Archaeonautica*, 7, p.141-166.

- DESBAT A. & MARTIN-KILCHER S. (1989). Les amphores sur l'axe Rhône-Rhin à l'époque d'auguste. *Amphores romaines et histoire économique : dix ans de recherche. Actes du colloque Sienne. 22-24 mai 1986*, Collection de l'École française de Rome, 114, Roma, p. 339-365.
- DESBONNETS Q., GONZÁLEZ TOBAR I. & CARRATO CH. (2017). La production de dolia dans la vallée du Guadalquivir (prov. de Séville et de Cordoue, Espagne). *Actes du Congrès International de la SFECAG, Narbonne, 25-28 mai 2017*, Marsella, p. 789-800.
- DESCEMET M. C. (1880). *Inscriptions doliaries latines. Marques de briques relatives à une partie de la gens domita*. Paris.
- DESY P. (1989). *Les Timbres amphoriques de l'Apulie républicaine: documents pour une histoire économique et sociale*. BAR International Series, 554. Oxford.
- DI PORTO A. (1984). *Impresa collettiva e schiavo "manager" in Roma antica (sec. II a.C.-II sec. d.C.)*. Pubblicazioni dell'Istituto di diritto romano e dei diritti dell'Oriente mediterraneo, 64. Milan.
- DÍAZ RODRÍGUEZ J.J., BERNAL CASASOLA D. & CASTRO MORENO G. (2016). Sin arcillas no hay cerámicas. Análisis de las fosas de extracción de materia prima en el alfar de Rabatún (Jerez de la Frontera, Cádiz) y reflexiones sobre los barreros hispanorromanos. *Amphorae ex Hispania: paisajes de producción y consumo, Monografías Ex Officina Hispana 3*, Institut Català d'Arqueologia Clàssica, Tarragona, p. 730-743.
- DÍAZ TRUJILLO O. (1992). Excavación arqueológica de urgencia en el Cerro de Belén (Palma del Río, Córdoba). *Anuario Arqueológico de Andalucía 1990*. III. Actividades de Urgencia. Sevilla, p. 121-129.
- DOMERGUE C. (1972). Structures agraires antiques dans la région de Séville. Essai de problématique. *Mélanges de la Casa de Velázquez, VIII*, 1972, p. 614-622.
- DOMERGUE C. (1983). *La Mine Antique d'Aljustrel (Portugal) et les Tables de Bronze de Vipasca*. Diffusion de Boccard, Paris.
- DOMERGUE C. (1985). L'exploitation des mines d'argent de *Carthago Nova* : son impact sur la structure sociale de la cité et sur les dépenses locales à la fin de la République et au début du Haut-Empire. *L'origine des richesses dépensées dans la ville antique : actes du colloque organisé à Aix-en-Provence par l'U.E.R. d'histoire, les 11 et 12 mai 1984*, Université de Provence, d'Aix-en-Provence, p. 197-217.
- DONDIN-PAYRE M. (2004). L'évolution de l'onomastique dans les provinces romaines : l'exemple de Dougga. *L'antiquité classique, Tome 73*, p. 251-262.
- DONDIN-PAYRE M. (2011). (dir.) *Les noms de personnes dans l'Empire romain : Transformation, adaptation et évolution*, Diffusion De Boccard, Paris.
- D'ORS A. (1953). *Epigrafía jurídica de la España Romana*. Madrid.
- D'ORS A. (1963). El conjunto epigráfico del Museo de Linares (VII). *Oretania*, 5, p. 84-86.
- D'ORS A. & CONTRERAS R. (1956). Nuevas inscripciones romanas de Cástulo. *Archivo Español de Arqueología*, 29, p.118-127.
- DRAIN M., LHÉNAFF R. & VANNEY J-R. (1971). *Le Bas Guadalquivir. Introduction géographique : le milieu physique*. Collection de la Casa de Velázquez, 1. París.
- DRESSEL H. (1878). Ricerche sul Monte Testaccio. *Annali dell'Istituto di Corrispondenza Archeologica*, 50, p. 118-192, tavv. L, M, N.
- DRESSEL H. (1879). Di un grande deposito di anfore rinvenuto nel nuovo quartiere del Castro Pretorio. *Bullettino della Commissione Archeologica comunale di Roma*, 7, p. 36-112 y 143-196 (continuazione e fine); tavv. VII-XVIII.
- DRESSEL H. (1892). Scavi sul Monte Testaccio. *Bullettino della Commissione Archeologica comunale in Roma*, 4, p. 48-53.
- DRESSEL H. (1893). Eine Amphora aus Spanien mit lateinischen Inschriften. *Bonner Jahrbücher*, 95, p. 66-79.
- DUBLER C. & BOURGEON O. (2017). Les importations d'amphores Dr. 20 dans la colonie romaine d'*Augusta Raurica* (Augst)-Provenance et datation des timbres. *Actes du Congrès international de la SFECAG de Narbonne, 25-28 mai*, Marsella, p. 543-560.
- DUBLER C. & BOURGEON O. (en prensa). Étude de la diffusion des amphores timbrées du conventus d'Astigi dans l'Empire romain. *La producción de aceite y de ánforas oleícolas en la Cuenca del Guadalquivir en época romana, Mesa redonda internacional, 29-30 de octubre 2015 Madrid*.
- DURÁN RECIO V. & PADILLA MONGE A. (1990). *Evolución del poblamiento en el término municipal de Écija*, Gráficas Sol, Écija.
- ECHALLIER J.C. & MONTAGU J. (1985). Données quantitatives sur la préparation et la cuisson en four à bois de reconstitutions actuelles de poteries grecques et romaines [Technologies céramiques]. *DAM*, 8, p. 141-145.

- EHMIG U. (1998). Pinselaufschrift und Stempel auf einer südspanischen ölamphore aus Mogontiacum - Mainz. *Pyrenae*, 29, p. 237-248.
- EHMIG U. (2003). *Der Römischen Amphoren aus Mainz*. Frankfurter Archäologische Schriften, 4. Bibliopolis. Möhnese.
- EHMIG U. (2004). L'interprétation des estampilles sur les amphores du type Dressel 20. *Epigrafía anfórica, Col·lecció Instrumenta, 17*, Publicacions i Edicions de la Universitat de Barcelona, Barcelona, p. 149-159.
- EHMIG U. (2007). Die Römischen Amphoren im Umland von Mainz. *Frankfurter Archäologische Schriften* 5.
- EHMIG U. (2010). *Dangstetten IV. Die Amphoren. Untersuchungen zur Belieferung einer Militäranlage in augusteischer Zeit und den Grundlagen archäologischer Interpretation von Fund und Befund*. Forschungen und Berichte zur vor-und Frithgeschichte in Baden-württemberg. Band 117. Stuttgart.
- EMPEREUR J.Y. (1982). Les anses d'amphores timbrées et les amphores : aspects quantitatifs. *Bulletin de correspondance hellénique, volume 106, livraison 1*, p. 219-233.
- ÉTIENNE R. (1949). Les amphores du Testaccio au III siècle. *Mélanges d'archéologie et d'histoire de l'École Française de Rome*, 41, p. 151-181.
- ÉTIENNE R. (1972). Les problèmes historiques du latifundium. *Table ronde sur les structures agraires antiques dans la région de Séville: essai de problématique. Mélanges de la Casa de Velázquez*, 8, p. 593-646.
- ÉTIENNE R. (2002). Prosopographie monumentale, prosopographie amphorique. Le cas des Ocratii. *Vivre, produire et échanger : reflets méditerranéens*, Mergoïl, Montagnac, p. 119-120.
- ÉTIENNE R. (2003). Diffusor olei ad annonam Urbis. *Histoire, Espaces et Marges de l'Antiquité. Hommages à Monique Clavel-Lévêque*, 2. Besançon, p. 245-253.
- ÉTIENNE R. & MAYET F. (2004). *L'huile hispanique. Corpus des timbres sur amphores Dressel 20*. 2 vol. De Boccard. Paris.
- EUZENNAT M. (1989). *Le limes de Tingitane. La frontière méridionale*. Etudes d'antiquités africaines. CNRS. Paris.
- FABIÃO C. (1989). Sobre as anforas do acampamento romano da Lomba do Canho (Arganil). Instituto Nacional de Investigação Científica. Lisboa.
- FABIÃO C. (1994). O Azeite da Baetica na Lusitania. *Conimbriga*, 32-33 (1993-94), p. 221-246.
- FABIÃO C. & GUERRA A. (2004). Epigrafía anfórica lusitana: uma perspectiva. *Epigrafía Anfórica. Col·lecció Instrumenta, 17*, Publicacions i Edicions de la Universitat de Barcelona, Barcelona, p. 221-243.
- FABIÃO, C. & GUERRA A. (ed.) (2017). Marcas de ânforas romanas na Lusitânia (do Museu Nacional de Arqueologia de Lisboa ao Museu Nacional de Arte Romano de Mérida). *Corpus Internationale des Timbres Amphoriques, 19*, Centro de Arqueologia da Universidade de Lisboa, Union Académique Internationale, Lisboa.
- FÉDIÈRE G. & ROUQUETTE D. (1989). Marques sur matériaux de terre cuite estampilles sur amphores et céramiques décorées du site de La Cougourlude à Lattes (Hérault). *Hommages à Henri Prades (1920-1989), Archéologie en Languedoc*, 14, 4, p. 113-119.
- FERNÁNDEZ I., OLIVAS E. & CERÓN J. C. (2001). Análisis de frecuencia de avenidas del Río Genil en Écija (Sevilla) en relación con la ocupación urbana de su llanura de inundación. *Geogaceta*, 29, p. 50-52.
- FERNÁNDEZ GÓMEZ F. (1991). Conjunto de matrices de sellos romanos procedentes de Sevilla. *Alimenta. Estudios en homenaje al Dr. Michel Ponsich* (coord. Blázquez J.M. & Montero S.). *Gerión*, Anejos III, p.309-314.
- FERNÁNDEZ-CHICARRO Y DE DIOS, C. & COLLANTES DE TERÁN F. (1972-1974). Epigrafía de Munigua (Mulva, Sevilla). *Archivo Español de Arqueología*, 45-47, p. 336-337 y 341-342.
- FERNÁNDEZ UGALDE A. & MARTÍN A. (2006). *Excavación y extracción de una tumba romana en las afueras de Écija*, *Astigi Vetus*, 2, Museo Histórico Municipal, Écija, p. 111-124.
- FERRER ALBELDA E., CAMACHO M., DE LA BANDERA M.L. & GARCÍA F. (2002). Informe de la prospección arqueológica superficial del término municipal de Peñaflor (Sevilla). *Anuario Arqueológico de Andalucía 2002*. III. Actividades de Urgencia. Sevilla, p. 586-595.
- FORNELL MUÑOZ A. (1997). La navegabilidad en el curso alto del Guadalquivir en época romana. *Florentia Iliberritana*, 8, p. 125-147.
- FORNELL MUÑOZ A. (2005). Evolución de las uillae Béticas durante la dinastía antonina. *Actas del II Congreso internacional de Historia Antigua: La Hispania de los Antoninos (98-180)*; *Valladolid, 10, 11 y 12 de noviembre de 2004*, secretariado de Publicaciones, Valladolid, p. 587-596.

- FORNELL MUÑOZ A. (2007). El olivo y la producción de aceite de las Uillas de Bética. *Actas del Congreso de la cultura del olivo*, Instituto de Estudios Giennenses, Córdoba, p. 101-120.
- FOUCHER L. (1970). Note sur l'industrie et le commerce des salsamenta et du garum. *Actes du 93e Congrès National des Sociétés Savantes* (Tours 1968). *Section d'Archéologie*. Paris, p. 17-21.
- FRANK T. (1936). On the Export Tax of Spanish Harbors. *American Journal of Philology*, 57-1, p. 87-90.
- FRANK T. (1940). *An Economic Survey of Ancient Rome*. Rome and Italy of the Empire, V. Baltimore.
- FREIRE GALVEZ R. (2011). *Écija, el Río Genil y el arroyo del Matadero o de Argamasilla, tanto monta, tanto monta*, Écija.
- FUNARI P.P.A. (1987). Estudio tipológico das ânforas béticas (Dressel 20) de ca. 149 d.C. *Dédalo*, 25, p. 209-233.
- FUNARI P.P.A. (1988). Uma inscrição bética inédita dos anos 90 d.C: observações preliminares. *Revista Do Departamento de Historia da UFMG*, 7, p. 90-101.
- FUNARI P.P.A. (1988). O assentamento microregional em La Campana em época romana. *História*, 7, p. 47-60.
- FUNARI P.P.A. (1991). Dressel 20 amphora inscription found at Vindolanda: the reading of the unpublished evidence. *Roman Frontier Studies 1989*. University of Exeter Press. Exeter, p. 65-72.
- FUNARI P.P.A. (1993). Some amphora inscriptions from Britain: amphora evidences. *Revista do Museu de Arqueologia e Etnologia da Universidade da Universidade de São Paulo*, 3, p. 121-135.
- FUNARI P.P.A. (1993). Inscrições béticas inéditas provenientes de Vindolanda. *Classica*, 5-6 (1992-1993), p. 157-166.
- FUNARI P.P.A. (1994). Baetica and the Dressel 20 production, an outline of the province's history. *Dialogues d'Histoire Ancienne*, 20-1, p. 87-105.
- FUNARI P.P.A. (1994b). L'huile et l'économie de la Bretagne Romaine. *Recherches Brésiliennes*. Besançon, p. 95-115.
- FUNARI P.P.A. (1994c). Two Dressel 20 stamps from Piddington Villa, Northampton, U.K. *Revista do Museu de Arqueologia e Etnologia da Universidade da Universidade de São Paulo*, 4, p. 22.
- FUNARI P.P.A. (1996). Dressel 20 stamps found at Annetwell street excavations in Carlisle, U.K. *Revista do Museu de Arqueologia e Etnologia da Universidade de São Paulo*, 6, p. 387-388.
- FUNARI P.P.A. (2002). The consumption of olive oil in roman Britain and the role of the army. *The Roman army and the economy*, Gieben, Amsterdam, p. 235-263.
- FUNARI P.P.A. (2008). The Economic History of Roman Britain: the Olive Oil Contribution to the Debate. *Historia e Economia. Revisita Interdisciplinar, vol. 1, n°1*, p. 29-45.
- FUNARI P.P.A. (2005). La contribution d'une approche postprocessual pour la compréhension de la consommation d'huile d'olive en Bretagne romaine. *Studia historica. Historica Antiqua*, 26, p. 271-302.
- FUNARI P.P.A., POLLINI A. & ANDREAU J. (2012) *Mercato. Le commerce dans les mondes grec et romain*, Les Belles Lettres, Paris.
- GALLEGO FRANCO H. (2000). Participación de la mujer hispanoromana en la producción y comercio del aceite bético. *Ex Baetica Amphorae. Conservas, aceite y vino de la Bética en el Imperio Romano* (Congreso Internacional, Sevilla-Écija, 1998). Écija, p. 1269-1278.
- GALLIMORE S. (2010). Amphora Production in the Roman World. A View from the Papyri. *Bulletin of American Society of Papyrologist*, 47, p. 155-184.
- GARNIER N., SILVINO T. & BERNAL CASASOLA D. (2011). L'identification du contenu des amphores : huile, conserves de poissons et poissonnage. *Actes du Congrès international de la SFECAG d'Arles, 2-5 mai, Marseille 2011*, p. 397-416.
- GARCÍA-DILS S. (2009). *El urbanismo de la colonia Augusta Firma. Una visión de conjunto a partir de los resultados de las excavaciones arqueológicas en la Plaza de España*, L'Erma di Bretschneider, Roma, p. 99-126.
- GARCÍA-DILS S. (2011a). *Colonia Augusta Firma Astigi*. La estructura urbana de una fundación romana en la Baetica. *Colonias de César y Augusto en la Andalucía romana*, L'Erma di Bretschneider, Roma, p. 99-128.
- GARCÍA-DILS S. (2011b). Fuentes para el conocimiento del urbanismo de *Colonia Augusta Firma Astigi*. De la historiografía romana a los comienzos de la arqueología urbana. *Actas de las IX Jornadas de Protección del Patrimonio Histórico de Écija: "Intervención y conservación del patrimonio mueble e inmueble ecijano": (Celebrado en Écija, los días 1 y 2 de octubre de 2010)*, Asociación Amigos de Écija, Écija, p. 283-306.
- GARCÍA-DILS S. (2015). *Colonia Augusta Firma Astigi. La evolución urbana de Écija desde la Protohistoria hasta la Antigüedad tardía*, Editorial Universidad de Sevilla, Sevilla.

- GARCÍA-DILS S. (2016). *Colonia Augusta Firma Astigi. La evolución urbana de Écija desde la Protohistoria hasta la Antigüedad tardía*. Editorial Universidad de Sevilla, Sevilla.
- GARCÍA-DILS S., SÁEZ FERNÁNDEZ P., ORDOÑEZ AGULLA S. & GARCÍA VARGAS E. (2004). Plaza de Armas de Écija: Recuperación de un espacio urbano marginal. *II Congreso Internacional sobre Fortificaciones: conservación y difusión de entornos fortificados: celebrado en la Casa de Cultura de Alcalá de Guadaíra durante los días 2 al 9 de marzo de 2003*, Alcalá de Guadaíra, p. 63-77.
- GARCÍA-DILS S., ORDOÑEZ AGULLA S. & GARCÍA VARGAS E. (2005). Nuevas perspectivas sobre el Foro de la Colonia Augusta Firma Astigi. *Actas del VII congreso de historia «Écija, Economía y sociedad» (Écija, 11-13 de diciembre de 2003)*, Gráficas Sol, Écija, p. 47-76.
- GARCÍA-DILS S., ORDOÑEZ AGULLA S. & RODRIGUEZ GUTIERREZ O. (2007). Nuevo templo Augusteo en la Colonia Augusta Firma Astigi. *ROMVLA*, 6, p. 75-114.
- GARCÍA VARGAS E. (1998). Centros productores de ánforas del valle del Genil. Nuevas aportaciones arqueológicas. *Boletín de la Real Academia Luís Vélez de Guevara de Écija*, 2, p. 105-133.
- GARCÍA VARGAS E. (2000). Ánforas romanas producidas en Hispalis: primeras evidencias arqueológicas. *Habis*, 31, p. 235-260.
- GARCÍA VARGAS E. (2000b). La Producción de Ánforas "Romanas en el sur de Hispania. República y Alto Imperio. *Ex Baetica Amphorae. Conservas, aceite y vino de la Bética en el Imperio Romano* (Congreso Internacional, Sevilla-Écija, 1998). Écija, p. 57-174.
- GARCÍA VARGAS E. (2003). La Industria Alfarera Romana en el Valle del Guadalquivir. Arqueología y Rehabilitación en el Parlamento de Andalucía. *Investigaciones Arqueológicas en el Antiguo Hospital de las Cinco Llagas de Sevilla. Parlamento de Andalucía* (CD-Rom). Sevilla, p. 123-138.
- GARCÍA VARGAS E. (2003b). Las Producciones de la Figlina: Ánforas. Arqueología y Rehabilitación en el Parlamento de Andalucía. *Investigaciones Arqueológicas en el Antiguo Hospital de las Cinco Llagas de Sevilla. Parlamento de Andalucía* (CD-Rom). Sevilla, p. 200-219.
- GARCÍA VARGAS E. (2003c). Las ánforas olearias béticas del tipo Dressel 20 y sus sellos. A propósito de un libro del profesor Genaro Chic García. *Gerión*, 21-2, p. 75-83.
- GARCÍA VARGAS E. (2010a). Formal Romanisation and Atlantic projection of amphorae from the Guadalquivir Valley. *The Western Roman Atlantic Façade. A study of the economy and trade in the Mar Exterior from the Republic to Principate. (British Archaeological Reports International Series, 2162)*. Oxford, p. 55-65.
- GARCÍA VARGAS E. (2010b). Ánforas béticas de época augusteo-tiberiana: Una retrospectiva. *Las necrópolis de Cádiz: apuntes de arqueología gaditana en homenaje a J.F. Sibón Olano*. Cádiz, p. 581-624.
- GARCÍA VARGAS E. (2012). Producciones anfóricas tardorrepublicanas y tempranoaugusteas del valle del Guadalquivir. Formas y ritmos de la romanización en Turdetania a través del artesanado cerámico. *Cerámicas hispanorromanas II. Producciones regionales*. Cádiz, p. 177-205.
- GARCÍA VARGAS E. & BERNAL CASASOLA D. (2008). Ánforas de la Bética. *Cerámicas hispanorromanas [I]: un estado de la cuestión*, Universidad de Cádiz, Cádiz, p. 661-687.
- GARCÍA VARGAS E. & CAMACHO MORENO M. (2005). El comercio del *garum* hacia el interior del valle del Guadalquivir. El papel de Hispalis y Astigi. *Actas del VII Congreso de Historia «Écija, economía y sociedad»*, Gráficas Sol, Écija, p. 111-121.
- GARCÍA VARGAS E.; DE ALMEIDA R.; GONZÁLEZ CESTEROS H. (2011). Los tipos anfóricos del Guadalquivir en el marco de los envases hispanos del siglo I a. C. Un universo heterogéneo entre la imitación y la estandarización. *Spal*, 20, p. 185-283.
- GARCÍA VARGAS E. & VÁZQUEZ PAZ J. (2006). Sevilla y el comercio transmarino en el Bajo Imperio y en la antigüedad tardía: el testimonio de la arqueología. *La catedral en la ciudad II. Desde San Isidoro a Abd al Rahman III. Actas de la XIII edición del Aula Hernán Ruiz*. Sevilla.
- GABLER D. & KELEMEN M.H. (1984). Olio betico in Pannonia, Anfore ispaniche nella Valle danubiana. *Archivo Español de Arqueología*, 57, p. 121-142
- GARCÍA Y BELLIDO A. (1945). *España y los españoles hace dos mil años : según la 'Geografía' de Strabón*. Espasa-Calpe (novena edición, 1986). Buenos Aires.
- GARCÍA Y BELLIDO, A. (1951). Novedades sobre ánforas romanas. *Archivo Español de Arqueología*, 24, p. 230-231.
- GARCÍA Y BELLIDO A. (1952). La Astigi Romana. *Archivo Español de Arqueología*, 25, p. 392-399.
- GARCÍA Y BELLIDO A. (1952b). Las exportaciones del aceite andaluz al Este de Francia en el s. II de la Era. *Archivo Español de Arqueología*, 25, p.399.
- GARCÍA Y BELLIDO A. (1959). Las colonias romanas de Hispania. *Anuario de historia del derecho español*, 29, p. 447-512.

- GARCÍA Y BELLIDO A. (1960). Parerga de arqueología y de epigrafía hispano-romana. *Archivo Español de Arqueología*, 33, p. 191-192.
- GARCÍA Y BELLIDO A. (1960b). *Colonia Aelia Augusta Itálica*. Instituto Español de Arqueología, Consejo Superior de Investigaciones Científicas. Madrid.
- GARROTE SAYÓ E. (1995). *L'oli bètic a la Gallia Narbonensis: Departaments de l'Estat francès dels Pirénées-Orientales, de l'Aude, i de l'Hérault*. Tesis de licenciatura. Universitat de Barcelona.
- GARROTE SAYO E. (1996). L'oli bètic de la Gallia Narbonensis a tres Departaments de l'Estat francès: als Pirénées-Orientales, a l'Aude i a l'Hérault. *Pyrenae*, 27, p. 193-213.
- GARROTE SAYÓ E. (2000). Análisis de los sellos en ánforas Dressel 20 hallados en una provincia romana: la Gallia Narbonensis. *Ex Baetica Amphorae. Conservas, aceite y vino de la Bética en el Imperio Romano* (Congreso Internacional, Sevilla-Écija, 1998). Écija, p. 825-835.
- GARROTE SAYÓ E. & BERNI MILLET P. (1998). L'Eix Empúries-Narbona en els circuits comercials de l'oli bètic durant l'Imperi Romà. *Comerç i vies de comunicació (1000 aC - 700 dC)*. XI Col·loqui Internacional d'Arqueologia de Puigcerdà, p. 243-254.
- GARROTE SAYÓ E. & BERNI MILLET P. (1998b). El consum de l'oli bètic a l'Empúries romana. *Annals de l'Institut d'Estudis Empordanesos*, 31, p. 95-109.
- GARROTE SAYÓ E. & MARIMÓN RIBAS P. (2011). Nouvelles données sur l'huile de Bétique en Narbonnaise. *Espaces littoraux et zones portuaires de Narbonne et sa région dans l'antiquité*, MAM 28, CNRS, Lattes, p. 237-244.
- GIANFROTTA P.A. & POMEY P. (1981). *Archeologia subacquea, storia, techniche, scoperte e Relitti*. Milan.
- GILIBERTI G. (1981). *Servus quasi colonus : forme non tradizionali di organizzazione del lavoro nella società romana*, Pubblicazioni della Facoltà giuridica dell'Università di Napoli, 190, Napoles.
- GINOUVEZ O., AMANDRY M., BELBENOIT V., DURAND G., FEUGÈRE M., FOY D., GARDEISEN A., MANNIEZ Y., PRADIES C. & RICHIER A. (1996-1997). Les fouilles de l'Hôtel-Dieu de Narbonne. *Bulletin de la commission archéologique et littéraire de Narbonne*, 47-48, p. 115-186.
- GONZÁLEZ CESTEROS H. (2010). La llegada de ánforas hispanas a Germania durante los últimos siglos de la dominación romana. Una cuestión para el futuro, *CuPAUAM* 36, p. 107-129.
- GONZÁLEZ CESTEROS H. (2014). *Ánforas hispanas en la Germania Inferior antes de la formación de la provincia (20 A.C. - 69 D.C.)*. Tesis Doctoral inédita. ICA. Tarragona.
- GONZÁLEZ CESTEROS H. & TREMMEL, B. (2011). Aceite, vino y salazones hispanos en Oberaden. Spanish olive oil, wine and salted products in Oberaden". *De vino et oleo Hispaniae. AnMurcia*, 27-28 (2011-2012), p.527-542.
- GONZÁLEZ FERNANDEZ J. (1983). Eine Inschrift des Mummius Sisenna Rutilianus. *Zeitschrift für Papyrologie und Epigraphik*, 52, p. 172-173.
- GONZÁLEZ FERNÁNDEZ J. (1983). Nueva inscripción de un diffusor olearius en la Bética. *Producción y comercio del aceite en la Antigüedad. Segundo Congreso Internacional* (Sevilla, 1982), p. 183-191.
- GONZÁLEZ FERNÁNDEZ J. (1994). Cohors V Baetica. *Habis*, 25, p. 179-188.
- GONZÁLEZ FERNÁNDEZ J. (1995). De nuevo en torno a la fundación de la Colonia Astigi Augusta Firma. *Habis, Filología clásica, historia antigua, arqueología clásica*, 26, p. 281-293.
- GONZÁLEZ FERNÁNDEZ J. & CAMPOS CARRASCO J. M. (1987). Los foros de Hispalis colonia romula. *Archivo Español de Arqueología*, 60, p. 123-158.
- GONZÁLEZ TOBAR I. & BERNI MILLET P. (2018). "El Bombo". Posible centro productor de ánforas Ovoide 5 en el territorio ribereño de Córdoba. *Boletín Ex Officina Hispana* 9, p. 9-11.
- GONZÁLEZ TOBAR I. & MAUNÉ S. (en prensa). Un atelier inédit d'amphores à huile augusto-tibériennes à Fuente de los Peces (Fuente Palmera, province de Cordoue. *Mélanges de la Casa de Velázquez*.
- GONZÁLEZ TOBAR I., MAUNÉ S., TIAGO SEOANE O. & GARCÍA VARGAS E. (en prensa). L'atelier d'amphores à huile et d'amphores à vin d'El Mohino (Ier s.-début du IIe s.) à Palma del Río (prov. de Cordoue, Espagne). *Actes du Congrès international de la SFECAG de Reims, 10-13 mai*, Marsella.
- GONZÁLEZ ROMÁN C. & MANGAS MANJARRÉS J. (1991). *Corpus de inscripciones latinas de Andalucía III*. (2 vols). Jaén.
- GONZÁLEZ Y GONZÁLEZ J. (1951). *Repartimiento de Sevilla*. Madrid.
- GORGES J.-G. (1979). *Les villas hispano-romaines. Inventaire et problematique archeologiques*. De Boccard. París.
- GOZALBES CRAVIOTO E. (1976). Notas sobre las invasiones de bereberes en la Bética en época de Marco Aurelio. *Cuadernos de la Biblioteca Española de Tetuán*, 13-14, p. 217-248.

- GRANINO CECERE, M.-G. (1994). D. Caecilius Abascantus, diffusor olearius ex provincia Baetica (CIL VI 1885). *Epigrafía della produzione e della distribuzione* (Colloque Rome 1992). CEFR, 193. Roma, p. 705-719.
- GRENIER A. & DÉCHELETTE J. (1934). *Manuel d'archéologie préhistorique, celtique et gallo-romaine*. J. Déchelette, VI, 2. Paris (reimpreso en 1985), p. 601-642.
- GUÉNOCHE A. & TCHERNIA A. (1977). Essai de construction d'un modèle descriptif des amphores Dr.20. *Méthodes classiques et méthodes formelles dans l'étude des amphores* (Colloque Rome, 1974). CEFR, 32. Roma, p. 241-259.
- GUICHARD P. (1991). Sur les procurateurs du Kalendarium Vegetianum et quelques notables municipaux. *Alimenta. Estudios en homenaje al Dr. Michel Ponsich* (coord. Blázquez J.M. & Montero S.). *Gerión*, Anejos III, p. 297-308.
- HAENSCH R. (1998). Statthalterinschriften. *Zeitschrift für Papyrologie und Epigraphik* 122, p. 286-292.
- HASSINI H. (2009). Nouvelles marques sur amphores au Maroc. *BAR XXI*, Archeopress, Oxford.
- HANEL N. (1994). Amphorenstempel aus Gross-Gerau. *MBAH* 13, 2, p. 122-143.
- HANEL N. (1998). Die Amphoren aus den Ausgrabungen von 1927/28 im Flottenlager Köln-Marienburg (Alteburg). *Kölner Jahrbuch*, 31, p. 417-425.
- HELEN T. (1975). *Organization of roman brick production. An Interpretation of Roman Brick Stamps*. Acta Instituti Romani Finlandiae, IX. Helsinki.
- HELLY B., LE BOT-HELLY A. & LIOU B. (1986). Un dépôt d'amphores Dressel 20 à inscriptions peintes découvert à Sainte-Colombe (Rhône). *Archaeonautica*, 6, p. 121-145.
- HEp 4 = *Hispania Epigraphica* 4 - 1994. Archivo Epigráfico de Hispania. Universidad Complutense. Madrid.
- HEp 5 = *Hispania Epigraphica* 5 - 1995. Archivo Epigráfico de Hispania. Universidad Complutense. Madrid.
- HEp 7 = *Hispania Epigraphica* 7 - 1997 (2001). Archivo Epigráfico de Hispania. Universidad Complutense. Madrid.
- HEp 8 = *Hispania Epigraphica* 8 - 1998 (2002). Archivo Epigráfico de Hispania. Universidad Complutense. Madrid.
- HEp 9 = *Hispania Epigraphica* 9 - 1999 (2003). Archivo Epigráfico de Hispania. Universidad Complutense. Madrid.
- HEp 10 = *Hispania Epigraphica* 10 - 2000 (2004). Archivo Epigráfico de Hispania. Universidad Complutense. Madrid.
- HEp 11 = *Hispania Epigraphica* 11 - 2001 (2005). Archivo Epigráfico de Hispania. Universidad Complutense. Madrid.
- HERNÁNDEZ DÍAZ J., SANCHO CORBACHO A. & COLLANTES DE TERÁN F. (1939-1955). *Catálogo Arqueológico y Artístico de la provincia de Sevilla*. t. I (1939), t. II (1943), t. III (1951). Sevilla.
- HERON DE VILLEFOSSÉ A. (1914). Deux armateurs narbonnais. Sextus Fadius Secundus Musa et P. Olitus Apollonius. *Mémoires de la Société Nationale des Antiquaires de France*, 74, p. 153-180.
- HESNARD A. (1980). Un dépôt augustéen d'amphores à La Longarina, Ostie. *The Seaborne Commerce. Studies in Archaeology and History. Memoir of the American Academy in Rome*, XXXVI, p. 141-156 y plate I-VII.
- HESNARD A., CARRE M.-B., RIVAL M. & DANGREAU B. et coll. (1988). *L'épave romaine Grand Ribaud D (Hyères, Var)*. *Archaeonautica*, 8. Paris.
- HÜBNER E. (1888). *La arqueología de España*. Tipo-litografía de los sucesores de Ramírez y C.^a. Barcelona.
- HÜBNER E. (1893). *Monumenta Lingua Ibericae*. Berlín.
- HÜBNER E. (1899). Nuevas fuentes para la Geografía Antigua de España. *Boletín de la Real Academia de la Historia*, XXXIV, cuaderno VI, p. 465-503.
- HUGUET C. (2013). Le dépôt péri-urbain de Notre-Dame de la Merci à Aix-en-Provence Bouches-du-Rhône : donnée céramologiques, chronologie et modalités de constitution. *Actes du Congrès international de la SFECAG d'Amiens, 9-12 mai*, Marsella, p. 365-384.
- ILER = *Inscripciones latinas de la España romana*. VIVES J. (1971). Barcelona. ILS = *Inscriptiones Latinae selectae*. DESSAU H. (1892-1916). Berlín.
- JACQUES F. (1990). Un exemple de concentration foncière en Bétique d'après le témoignage des timbres amphoriques d'une famille clarissime. *Mélanges de l'École française de Rome - Antiquité*, 102-2, p. 865-899.
- JACQUES F. (1991). *L'huile de Bétique dans le Nord de la France d'après les marques d'amphores Dressel 20*. *Revue du Nord-Archéologie*, LXXIII, 292, p. 195-223.

- JAMET M. (2001). Approche par la modélisation du complexe de potiers de Sallèles d'Aude. *20 ans de recherches à Sallèles d'Aude*, Presses Universitaires Franc-Comtoises, Paris, p. 257-284.
- JEANNIN Y. (1968). Les marques d'amphores de Mandœuvre. *Revue archéologique de l'Est et du Centre- Est*, 20, p. 207-217.
- JUAN I BENEJAM G. & PONS MACHADO O. (1996). Le commerce de l'huile à Minorque dans l'antiquité. *L'Africa romana. Atti dell'XI convegno di studio*. Cartagine 15-18 dicembre 1994, Il Torchietto, Ozieri, p. 629-641.
- KAJANTO I. (1965). *The latin cognomina*. Societas Scientiarum Fennica. Commentationes Humanarum Litterarum, XXXVI, 2. Helsinki (reedición Rome, 1982).
- KEAY S.J. (1984). *Late Roman Amphorae in the Western Mediterranean. A typology and economic study: the Catalan evidence*. BAR International Series, 136. 2 vols. Oxford.
- KEAY S.J. (1988). *Roman Spain*, British Museum Publications, Londres.
- KEAY S.J., CREIGHTON J. & REMESAL J. (2000). *Celti (Peñaflor). The Archaeology of a Hispano-Roman Town in Baetica. Survey and Excavations 1987-1992*. University of Southampton Department of Archaeology Monograph, 2. Oxbow Books Ltd. Oxford.
- KEAY S.J., REMESAL J. & CREIGHTON J. (1994). Archaeological research at the roman town of Celti (Peñaflor, Sevilla) in central Baetica. *Actas XIV Congreso Internacional de Arqueología Clásica (Tarragona 1993)*, vol. II. Tarragona, p. 227-228.
- KEAY S.J., REMESAL J. & CREIGHTON, J. (2001). *Celti (Peñaflor): la arqueología de una ciudad hispanorromana en la Baetica: prospecciones y excavaciones 1987-1992*. Andalucía. Consejería de Cultura. Sevilla.
- KELEMEN M. H. (1990). Roman amphorae in Pannonia III. *Acta Archaeologica Academiae Scientiarum Hungaricae*, 42, p. 147-193.
- KEUNE J.B. (1922). Verkehr auf der Mosel vor 1800 Jahren. *Elsaß-LothrJb*, 1, p.27-43.
- KOLENDO J. (1991). *Le colonat en Afrique sous le Haut-Empire*. Annales littéraires de l'Université de Besançon. Les Belles Lettres (editor). Paris (segunda edición).
- LABROUSSE M. (1977). Marques d'amphores à huile espagnoles trouvées à Toulouse, Cahors et Rodez. *Mémoires de la Société archéologique du Midi de la France*, 61, p. 7-38.
- LAGÓSTENA BARRIOS L. (2001). *La producción de salsas y conservas de pescado en la Hispania Romana (II a.C.-VI d.C.)*. Col·lecció Instrumenta, 11. Universitat de Barcelona. Barcelona.
- LAGÓSTENA BARRIOS L. (2004). Las ánforas salsarias de Baetica. Consideraciones sobre sus elementos epigráficos. *Epigrafía Anfórica*. Remesal Rodríguez J. (ed.). Instrumenta, 17. Universitat de Barcelona. Barcelona, p. 197-219.
- LAMOUR C. & MAYET F. (1980). Glanes amphoriques, I. Région de Béziers et Narbonne. *Études sur Pézenas et l'Hérault*, XI, 1, p. 3-16.
- LAMOUR C. & MAYET F. (1981). Glanes amphoriques, II. Régions de Montpellier, Sète, Ensérune, Le Cayla (Mailhac). *Études sur Pézenas et l'Hérault*, XII, 3, p. 3-18.
- LANCHA L., CAMPOS CARROSCO J. M., FERNÁNDEZ UGALDE A., GARCÍA-DILS S., GÓMEZ RODRÍGUEZ A., OLIVEIRA C., RUDA ROIGÉ J. F. & VIDAL TERUEL N. (2008). *La ruta del mosaico romano. El sur de Hispania (Andalucía y Algarve): ciudades y villae destacadas de Bética y Lusitania romanas*, Departamento de história, arqueologia e património da Universidade do Algarve, Faro.
- LARA FUILLERAT J.M. (1997). Testimonios sobre los centros de producción cerámica de época romana y Antigüedad Tardía en la provincia de Córdoba. *Antiquitas*, 8, p.83-96.
- LAUBENHEIMER F. (1985). *La production des amphores en Gaule Narbonnaise*. Annales littéraires de l'Université de Besançon, 327. Les Belles Lettres. París.
- LAUBENHEIMER F. (1990). *Le temps des amphores en Gaule : vins, huiles et sauces*, édition Errance, Paris.
- LAUBENHEIMER F. (1990a). Des amphores et des hommes 1990. *Dialogues d'histoire ancienne*, vol. 16, n°2, p. 369-384.
- LAUBENHEIMER F. (dir.) (1992). *Les amphores en Gaule : production et circulation, table ronde internationale, Metz 4-6 octobre 1990*, Les Belles Lettres, Paris.
- LAUBENHEIMER F. (dir.) (1998). *Les amphores en Gaule II. Production et Circulation*, Les Belles Lettres, Paris.
- LAUBENHEIMER F. (dir.) (2001). *20 ans de recherches à Sallèles d'Aude*, Presses Universitaires Franc-Comtoises, Paris.
- LAUBENHEIMER F. (2001a). L'atelier de Sallèles d'Aude et son évolution dans le temps. *20 ans de recherches à Sallèles d'Aude*, Presses Universitaires Franc-Comtoises, Paris, p. 11-24.

- LAUBENHEIMER F. (2004). L'épigraphie des amphores gauloises. *Epigrafía Anfórica. Instrumenta*, 17. Universitat de Barcelona. Barcelona, p. 275-288.
- LAUBENHEIMER F. BONNET C., ARLAUD C. & LUROL J.M. (1998). Assainissements Place des Célestins à Lyon. *Les amphores en Gaule II. Production et circulation*, Les Belles Lettres, Paris, p. 205-235.
- LAUBENHEIMER F. & HÉNON B. (1988). Les amphores du Titelberg (Luxemburg). *Les amphores en Gaule II. Production et circulation*, Les Belles Lettres, Paris, p. 11-50.
- LAUBENHEIMER F. & HUMBERT S. (1992). Emballages perdus, objets trouvés: les amphores. *Les fouilles du parking de la Mairie de Besançon*. Besançon, p. 188-212.
- LAUBENHEIMER F. & MARLIERE E. (2010). *Echanges et vie économique dans le Nord-Ouest des Gaules (Nord / Pas-de-Calais, Picardie, Haute-Normandie). Le témoignage des amphores du IIe siècle avant J.-C. au IVe siècle après J.-C.* Institut des Sciences et Techniques de l'Antiquité, Presses universitaires de Franche-Comté, Besançon, (2. Vol).
- LAUBENHEIMER F., SÉGUIER J.M. & SCHMITT A. (2005). Les amphores de Gourjade à Castres (Tarn) et les circuits commerciaux dans l'Albigeois antique. *Aquitania* 21, p. 253-283.
- LEBLANC O. & DESBAT A. (1992). Un lot de céramiques du début du IIIe siècle à Saint-Romain-en-Gal. *RAN* 25, p. 135-160.
- LEENAHARDT M. (2001). L'atelier de Sallèles d'Aude, fours et bâtiments : mode d'emploi. *20 ans de recherches à Sallèles d'Aude*, Presses Universitaires Franc-Comtoises, Paris, p. 241-256.
- LE GALL J. (1983). La diffusion de l'huile espagnole dans la Gaule du Nord. *Producción y comercio del aceite en la Antigüedad. Segundo Congreso Internacional* (Sevilla, 1982), p. 213-223.
- LE ROUX P. (1982). *L'armée romaine et l'organisation des provinces ibériques. d'Auguste à l'invasion de 409.* Publication du Centre Pierre Paris. Paris.
- LE ROUX P. (1988). L'huile de Bétique et le Prince sur un itinéraire annonaire. *Hommage à Robert Étienne* (Publications du Centre Pierre Paris 17 = *Revue des études anciennes*, 88, 1986). Paris, p. 247-271.
- LE ROUX P. (2004). La question des *conventus* dans la péninsule Ibérique à l'époque romaine. *Au jardin des Hespérides, Histoire, société et épigraphie des mondes anciens : mélanges offerts à Alain Tranoy*, Presses universitaires de Rennes, Rennes, p. 337-358.
- LE ROUX P. (2010). *La péninsule ibérique aux époques romaines*, Armand Colin, Paris.
- LEVEAU P. (1984). La question du territoire et les sciences de l'antiquité. La géographie historique, son évolution de la topographie à l'analyse de l'espace. *Revue des études anciennes*, 86, p. 85-115.
- LEVEAU P. (1985). *L'origine des richesses dépensées dans la ville antique : Actes du colloque organisé à Aix-en-Provence par l'U.E.R. d'histoire, les 11 et 12 mai 1984*, Université de Provence, Aix-en-Provence.
- LEVEAU P. SILLIÈRES P. & VALLAT J.P. (1993). *Campagnes de la Méditerranée romaine, Occident*, Hachette, Paris.
- LIOU B. (1980). Les amphores à huile de l'épave Saint-Gervais 3 à Fos-sur-mer: premières observations sur les inscriptions peintes. *Producción y comercio del aceite en la Antigüedad. Primer Congreso Internacional* (Madrid, 1980), p. 161-175.
- LIOU B. (1987). Inscriptions peintes sur amphores : Fos (suite), Marseille, Toulon, Port-la-Nautique, Arles, Saint-Blaise, Saint-Martin-de-Crau, Mâcon, Calvi. *Archaeonautica*, 7, p. 55-139.
- LIOU B. (1991). Le commerce de la Bétique au Ier siècle de notre Ère. Notes sur l'épave Lavezzi 1 (Bonifacio, Corse-du-Sud). *Archaeonautica*, 10 (1990), p. 125-155.
- LIOU B. (1992). Les amphores de La Plateforme à Fréjus. *Étude des inscriptions. Autour de Paul-Albert Février, Provence Historique*, XLII, 167/168, p. 83-107.
- LIOU B. (2000). Las ánforas béticas en el mar. *Ex Baetica Amphorae. Conservas, aceite y vino de la Bética en el Imperio Romano* (Congreso Internacional, Sevilla-Écija, 1998). Écija, p.1061-1110.
- LIOU B. (2003). Quintus Connus Verna: trois inscriptions peintes sur amphores Dressel 20 découvertes à Sainte-Colombe-lès-Vienne (Rhône). *SFECAG. Actes du Congrès de Saint-Romain-en-Gal*. Société Française d'Étude de la Céramique Antique en Gaule. Marsella, p.589-593.
- LIOU B. & DOMERGUE C. (1991). Le commerce de la Bétique au Ier siècle de notre ère. L'épave Sud-Lavezzi 2 (Bonifacio, Corse-du-Sud)." *Archaeonautica*, 10 (1990), p. 11-124.
- LIOU B., GASSEND J.M. & ROMAN R. (1991). L'épave Saint-Gervais 3 à Fos-sur-Mer (milieu du IIer siècle ap. J.-C.). Inscriptions peintes sur amphores de Bétique. Vestiges de la coque. *Archaeonautica*, 10 (1990), p. 157-264.
- LIOU B. & MARICHAL R. (1979). Les inscriptions peintes sur amphores de l'anse Saint-Gervais a Fos-sur- Mer. *Archaeonautica*, 2 (1978), p 109-181.
- LIOU B & RODRÍGUEZ ALMEIDA E. (2000). Les inscriptions peintes de Pecio Gondolfo (Almeria). *MEFRA*, 112, p. 7-25.

- LIU B. & TCHERNIA A. (1994). L'interprétation des inscriptions sur les amphores Dressel 20. *Epigrafia della produzione e della distribuzione* (Colloque Rome 1992). CEFR, 193. Roma, p. 133-156.
- LO CASCIO E. (2006). The role of the state in the roman economy: making use of the new institutional economics. *Ancient economies, modern methodologies. Archeology, comparative history, models and institutions*, Bari, p. 215-234.
- LOESCHKE S. (1909). *Keramische Funde in Haltern*. Mitteilungen der Altertumskommission für Westfalen, V. Bonn.
- LOESCHKE S. (1942). Die römische und belgische Keramik aus Oberaden. Ch. Albrecht, *Das Römerlager in Oberaden*, II, p. 76-114.
- LOMAS F. J. & SÁEZ P. (1981). El Kalendarium Vegetianum, la annona y el comercio del aceite. *Melanges de la Casa de Velázquez*, 17, p. 55-84.
- LÓPEZ DE LA ORDEN M.D. (1990). *La gléptica de la antigüedad en Andalucía*. Universidad, Servicio de Publicaciones. Cádiz.
- LÓPEZ MONTEAGUDO G. (1998) Producción y comercio del aceite en los mosaicos romanos. *L'Africa romana: atti del 11 Convegno di studio, 15-18 dicembre 1994, Cartagine, Tunisia*, Università degli studi di Sassari, Il Torchietto, Ozieri, p. 359-376
- LÓPEZ MONTEAGUDO G. (2007) El aceite en el arte antiguo. *Estudios sobre el Monte Testaccio Roma IV, Col·lecció Instrumenta*, 24, Universitat de Barcelona, Barcelona, p. 433-520.
- LÓPEZ MUÑOZ J.F. (2002). Nuevas aportaciones de epigrafía anfórica inédita de Celti. *Almenara. Revista del círculo amigos de Peñaflores, año IX - Diciembre 2002*, p. 8-11.
- LÓPEZ MUÑOZ J.F. (2003). Aportaciones epigráficas inéditas de la ciudad romana de Celti. *Arte, Arqueología e Historia. Revista de la Asociación de Arte, Arqueología e Historia de Córdoba*, 10, p. 71-78.
- LOS A. (2005) Les affaires commerciales des notables municipaux. Remarques sur les *mercatores* notés dans les inscriptions amphoriques du I^{er} s. ap. J.-C. *Antiquitas (Wroclaw)*, XXVIII, p. 81-109.
- LORIMY H. (1926). Inscriptions céramiques gallo-romaines conservées au musée de Châtillon-sur-Seine. *Bulletin Archéologique du Comité des Travaux Historiques et Scientifiques*. Année 1926, livraisons 1 & 2. Paris, p. 113-141.
- LOYZANCE M.F. (1986). A propos de Marcus Cassius Sempronianus olisiponensis, diffusor olearius. *Hommage à Robert Étienne* (Publications du Centre Pierre Paris 17 = *Revue des études anciennes*, 88, 1986). Paris, p. 273-283.
- LUDLUM C.P. (1938). Amphora handles in the Museum of the American Academy in Rome. *Memoirs of the American Academy in Rome*, 15, p. 5-25.
- LUZÓN NOGUÉ J.M. (1973). *Excavaciones en Itálica. Estratigrafía en el Pajar de Artillo. (Campaña 1970)*. Excavaciones Arqueológicas en España, 78. Madrid.
- LYDING WILL E. (1983). Exportation of olive oil from Baetica to the Eastern Mediterranean. *Producción y comercio del aceite en la Antigüedad. Segundo Congreso Internacional* (Sevilla, 1982), p. 391-440.
- MAGGI P. & MARION Y. (2007). Sénateurs et activités économiques : l'enseignement des timbres de Loron (Croatie). *XII congressus internationalis epigraphiae graecae et latinae: provinciae imperii romani inscriptionibus descriptae: Barcelona, 3-8 Septembris 2002*, Monografies de la Secció Històrico-Arqueològica 10, Barcelona, p. 857-862.
- MAIER J. (1999). *Jorge Bonsor (1855-1930): un académico correspondiente de la Real Academia de la Historia y la arqueología de España*. Real Academia de la Historia. Madrid.
- MAIER J. (2000). La exploración del Valle del Guadalquivir de Jorge Bonsor: primeras aportaciones al estudio de la economía rural de la Bética. *Ex Baetica Amphorae. Conservas, aceite y vino de la Bética en el Imperio Romano* (Congreso Internacional, Sevilla-Écija, 1998). Écija, p. 393-401.
- MANACORDA D. (1976-77). Testimonianze sulla produzione e il consumo dell'olio tripolitano nel secolo III. *Dialoghi di Archeologia*, 9-10, p. 542-601
- MANACORDA D. (1977). Ambiente XVI. Le anfore. *Ostia IV. Studi Miscellanei*, 23, p. 116-266 y 277-283.
- MANACORDA D. (1977b). Anfore spagnole a Pompei. *L' instrumentum domesticum di Ercolano e Pompei nella prima età imperiale. Quaderni di cultura materiale*, 1, p. 121-133; Tav. LIV-LVIII.
- MANACORDA D. (1977c). Il Kalendarium Vegetianum e le anfore della Betica. *Mélanges de l'École française de Rome – Antiquité*, 89, p. 313-332.
- MANACORDA D. (1983). Prosopografía e anfore tripolitane nuove osservazioni. Producción y comercio del aceite en la antigüedad. *Producción y comercio del aceite en la Antigüedad. Segundo Congreso Internacional* (Sevilla, 1982), p. 483-500.
- MANACORDA D. (1985). Schiavo "manager" e anfore romane: a proposito dei rapporti tra archeologia e storia del diritto. *Opus*, IV, p. 141-151.

- MANACORDA D. (1993). Appunti sulla bollatura in età romana. W. V. Harris (ed.) *The Inscribed Economy. Production and Distribution in the Roman Empire in the Light of Instrumentum Domesticum* (Rome, 1992). (*Journal of Roman Archaeology*, 1993). Ann Arbor, p. 37-54.
- MANACORDA D. & PALLECCHI S. (2011). *Le fornaci romane di Giancola*, biblioteca archaeologica 27, Edipuglia, Santo Spirito.
- MANACORDA D. & PANELLA C. (1993). Anfore. W. V. Harris (ed.) *The Inscribed Economy. Production and Distribution in the Roman Empire in the Light of Instrumentum Domesticum* (Rome, 1992). (*Journal of Roman Archaeology*, 1993). Ann Arbor, p.55-64.
- MARÍI SALA, L & REVILLA CALVO, V. (2018). Cultura material y cultura escrita en la sociedad rural de Hispania en los siglos I-II d.C. el conjunto cerámico y los grafitos del asentamiento de Cal Montblanc (Albesa, Lleida). *Archivo español de arqueología*, Vol. 91, p. 217-242.
- MARLIÈRE E. (1998). Les amphores de Bavay. *Les amphores en Gaule II. Production et circulation* (dir. F. Laubenheimer), Paris, p. 49-89.
- MARLIÈRE E. (2000). *Amphores, tonneaux et outres. Contribution à l'histoire économique de la Gaule Belgique occidentale*. Tesis doctoral depositada en 1995. Universidad de Lille.
- MARLIÈRE E. (2003). Tonneaux et amphores à Vindolanda: contribution à la connaissance de l'approvisionnement des troupes stationnées sur la frontière nord de l'Empire. *Vindolanda: excavations 2001-2002*, vol. 1, p. 125-179.
- MARLIÈRE E. (2007). Nouveaux timbres amphoriques à Vindolanda (campagnes 2005 et 2006) *Vindolanda Research Report. The excavations of 2005-2006*, p. 144-146.
- MARLIÈRE E. & TORRES J. (2005). Tonneaux et amphores à Vindolanda: contribution à la connaissance de l'approvisionnement des troupes stationnées sur le mur d'Hadrien (II). *Vindolanda. The excavations of 2003-2004*. Vindolanda Trust. Chesterholm Museum. Bardou Mill. Hexham, p. 214-236.
- MARQUES DE FARIA A. (2000). Onomástica paleo-hispánica: revisão de algumas leituras e interpretações. *Revista Portuguesa de Arqueologia*, vol. 3, nº 1, p. 121-151.
- MARQUES DE FARIA A. (2003). Crónica de onomástica paleo-hispánica (6). *Revista Portuguesa de Arqueologia*, vol. 6, nº 2, p. 313-334.
- MÁRQUEZ MORENO C. (1989). Excavación de un yacimiento romano en Cuesta del Espino. Posadas (Córdoba). *Ariadna*, 7, p. 7-61.
- MÁRQUEZ MORENO C. & VENTURA VILLANUEVA A. (1987). *Aproximación al estudio de la terra sigillata del yacimiento de La Saetilla, Palma del Río*, Cordue 1987, p.79-121.
- MÁRQUEZ VILLORA J.C. & MOLINA VIDAL J. (2005). *Del Hiberus a Carthago Nova. Comercio de alimentos y epigrafía anfórica grecolatina*. Col·lecció Instrumenta, 18. Universitat de Barcelona. Barcelona.
- MARTÍN F. (2001). De re olearia: La ley ateniense de Adriano y el rescripto de Cástulo. *Estudios sobre el Monte Testaccio (Roma) II*. J.M. Blázquez Martínez & Remesal J. (ed.). Col·lecció Instrumenta, 10. Universitat de Barcelona. Barcelona, p. 475-486.
- MARTIN-KILCHER S. (1983). Les amphores romaines à huile de Bétique (Dressel 20 et 23) d'Augst (Colonia Augusta Rauricorum) et Kaiseraugst (Castrum Rauracense). Un rapport préliminaire. *Producción y comercio del aceite en la Antigüedad. Segundo Congreso Internacional* (Sevilla, 1982), p. 337-347.
- MARTIN-KILCHER S. (1987). *Die römischen Amphoren aus Augst und Kaiseraugst. Ein Beitrag zur römischen Handels- und Kulturgeschichte*, 1. *Die südspanischen Ölamphoren (Gruppe 1)*. Forschungen in Augst 7/1. Augst.
- MARTIN-KILCHER S. (1991). Die amphoren von Chur. *Chur in römischer Zeit*, Bd II. *Antiqua*, 19. Basel: 119-127.
- MARTIN-KILCHER S. (2011). Formes d'amphores et contenu au Haut-Empire. Points de repère et questions. *Actes du Congrès international de la SFECAG d'Arles, 2-5 mai*, Marseille, p. 417-426.
- MARTIN-KILCHER S., SCHÜPBACH S., STERN W.B. & BAILLE J. (1985). Keramikanalysen an römischen Olamphoren aus Augst, Kaiseraugst, Avenches und Lausanne-Vidy. *Annuaire de la Société Suisse de Préhistoire et d'Archéologie*, 68, p. 173-204.
- MARTÍNEZ ORTEGA E. (1982). Tres Nuevas inscripciones halladas en Écija. *Actas del I Congreso Andaluz de Estudios Clásicos: Jaén, 9-12 diciembre, 1981*, Jaén, p. 294-295.
- MASSY J.L. & VASELLE F. (1976). Le commerce des amphores à Amiens. *Cahiers archéologiques de Picardie*, 3, p. 153-162.
- MATEO CORREDOR, D. (2014). *El comercio en Hispania Ulterior durante los siglos II A.C. y II d.C. Tráfico anfórico y relaciones mercantiles*. Tesis doctoral. Univeridad de Alicante.
- MATTINGLY D.J. (1988). Oil for Export? A comparative study of olive-oil. production in Libya, Spain, and Tunisia. *Journal of Roman Archaeology*, 1, p. 33-56.

- MAUNÉ S. (2001). Les ateliers de potiers d'Aspiran dans l'Antiquité (I^{er}-III^{ème} s. ap. J.-C.). Bilan et perspectives. *20 ans de recherches à Sallèles d'Aude*, Presses Universitaires Franc-Comtoises, Paris, p. 163-198.
- MAUNÉ S., GARCÍA VARGAS E., BOURGEON O., CORBEEL S., CARRATO CH., GARCÍA-DILS S., BIGOT F. & VAZQUEZ PAZ J. (2014). L'atelier d'amphores à huile Dr. 20 de Las Delicias à Ecija (Prov. de Séville, Espagne). *Actes du Congrès international de la SFECAG de Chartres, 29 mai – 1 juin*, Marsella, p. 419-444.
- MAUNÉ S., CARRATO CH., BOURGEON O. & GARCÍA VARGAS E. (en prensa). L'huilerie de Las Delicias. *La producción de aceite y de ánforas oleícolas en la Cuenca del Guadalquivir en época romana, Mesa redonda internacional, 29-30 de octubre 2015 Madrid, Col·lecció instrumenta*, Madrid.
- MAUNÉ S., DESBONNETS Q., CORBEEL S., BOURGEON O., PELLEGRINO V., DUBLER C., ROUX J.-CL., ARTUSO A. coll., CARRATO CH. coll., GONZALEZ TOBAR I. coll., LATOURNERIE J. coll., LAURAS V. coll., ORTIS F. coll. & TIAGO SEOANE O. coll. (en prensa). *L'atelier d'amphores vinaires de l'Estagnola (Aspiran, Hérault)*, 70-120 ap. J.-C.
- MAYET F. (1978). Marques d'amphores de Maurétanie Tingitane (Banasa, Thamusida, Volubilis). *Mélanges de l'École française de Rome – Antiquité*, 90-1, p. 357-393.
- MAYET F. (1986). Les figlinae dans les marques d'amphores Dressel 20 de Bétique. *Hommage à Robert Étienne* (Publications du Centre Pierre Paris 17 = *Revue des études anciennes*, 88). Paris, p. 285-305.
- MAYET F., SCHMITT A. & TAVARES DA SILVA C. (1996). *Les amphores du Sado (Portugal). Prospection des fours et analyse du matériel.*, Diffusion de Boccard, Paris.
- MELCHOR GIL E. (1995). *Vías romanas de la provincia de Córdoba*. Publicaciones Obra Social y Cultural. Córdoba.
- MELCHOR GIL E. (2005). Evergetismo y élites municipales en la Colonia Augusta Firma Astigi. *Actas del VII Congreso de historia «Écija, Economía y sociedad» (Écija, 11-13 de diciembre de 2003)*, Gráficas Sol, Écija, p. 123-137.
- MEYLAN KRAUSE M.F. (1995). La céramique. Recherches sur les quartiers nord-est d'Aventicum. Fouilles 1991-1995. Blanc P., Hochuli-Gysel A., Meylan Krause M.F. & Meystre C. (eds.) *Recherches sur les quartiers nord-est d'Aventicum. Fouilles 1991-1995. Bulletin de l'Association Pro Aventico*, 37, p. 37-79.
- MILLÁN LEÓN J. (1989). *Ilipa Magna. Alcalá del Río*. Gráficas Sol. Ayuntamiento de Alcalá del Río.
- MIRÓ CANALS J. (1988). *La Producción de ánforas romanas en Catalunya*. BAR International Series, 473. Oxford.
- MORA SERRANO B. (2004). Plomos monetiformes y su relación con la producción y transporte del aceite bético. *Figlinae Baeticae. Talleres alfareros y producciones cerámicas en la Bética romana (ss. II s.C. - VII d.C.)*. Actas del Congreso Internacional (Cádiz 2003). BAR International Series, 1266. 2 vols. Oxford, p. 527-535.
- MORGAGES Y GILI J. (1893). *Catálogo del Museo Arqueológico-Artístico Episcopal de Vich*. Vic.
- MOROS DÍAZ J. (2014). La intervención Severiana en la producción del aceite bético. *Estudios sobre el Monte Testaccio Roma VI, Col·lecció Instrumenta*, 47, Universitat de Barcelona, Barcelona, p. 773-860.
- MOROS DÍAZ J. (en prensa). Las alfarerías de los Severos. *La producción de aceite y de ánforas oleícolas en la Cuenca del Guadalquivir en época romana, Mesa redonda internacional, 29-30 de octubre 2015 Madrid, Col·lecció instrumenta*, Madrid.
- MOROS DÍAZ J & BERNI MILLET P. (2004). Catálogo de sellos. Culip VIII i les ànfores Haltern 70. *Monografies del Casc 5. Museu d'Arqueologia de Catalunya. Centre d'Arqueologia Subaquàtica de Catalunya*, p. 51-57.
- MOROS DÍAZ J & BERNI MILLET P. (2013). Novedades sobre epigrafía anfórica bética para la zona productora de Adelfa (Carmona, Sevilla). *Amphorae ex Hispania. Paisajes de producción y consumo, SECAH, Tarragona, 3 octubre 2011*, Instituto Catalán de Arqueología Clásica, Tarragona, p. 34-45.
- MOROS DÍAZ J & BERNI MILLET P. (2013a). Los sellos de las ánforas olearias en la Antigüedad Tardía. *Hornos, talleres y focos de producción alfarera en Hispania, Monografías Ex Officina Hispana, 1*, Université de Cádiz, Cádiz, p. 295-306.
- MORRETTA S. (1999). Considerazioni su varianti morfologiche e modalità di produzione delle Dressel 20 rivenute sul monte Testaccio (Roma). Materiale della campagna di scavo 1990. *Estudios sobre el Monte Testaccio (Roma) I. Col·lecció Instrumenta*, 6. Universitat de Barcelona. Barcelona, p. 275-344.
- MORRETTA S. (2003). Tipología anforaria ed epigrafía: nuovo dati dalle Dressel 20 del Monte Testaccio. *Estudios sobre el Monte Testaccio (Roma) III. Col·lecció Instrumenta*, 14. Universitat de Barcelona. Barcelona, p. 509-566.
- MUGNIER F. (1882). Communication sur des amphores trouvées à La Biolle. *S.S.H.A.*, 20, p. XXVIII.

- MURILLO REDONDO F (1990). Excavación arqueológica de urgencia en la Saetilla, Palma del Río. *Anuario Arqueológico de Andalucía 1987*, III, p. 212-214.
- MURILLO REDONDO F. (1994). La cultura tartésica en el Guadalquivir medio. *Ariadna* 13-14. Palma del Río.
- NESSERHAUF H. (1964). Sex. Iulius Possessor. *Madridier Mittlelungen*, 5, p. 180-184.
- NIETO NAVARRO M. (1987). Las incursiones de los Mauri en la Bética durante el reinado de Marco Aurelio. Nuevo estado de la cuestión. España y el Norte de África. Bases históricas de una relación fundamental: aportaciones sobre Melilla. *Actas del primer Congreso Hispano-Africano de las Culturas Mediterráneas, Fernando de los Rios Urruti* (Melilla, 1984). Granada, p. 215-225.
- NIETO PRIETO J., JOVER A. & IZQUIERDO P. ET AL. (1989). *Excavacions arqueològiques subaquàtiques a Cala Culip - I*. Centre d'Investigacions Arqueològiques de Girona. Sèrie monogràfica, 9. Girona.
- OELMANN F. (1914). *Die Keramik des Kastells Niederbieber*. Materialien zur römisch-germanischen Keramik, 1. Frankfurt am Main (reedición Bonn, 1968).
- OLMER F. (2001). Les amphores de l'ensemble du site. *Le Sanctuaire antique des Bolards à Nuits-Saint-Georges (Côte d'or)*. *Revue archéologique de l'est*, suppl. 16. Dijon, p. 327-345.
- OLMER F. (2003). *Les amphores de Bibracte - 2. Le commerce du vin chez les Eduens d'après les timbres d'amphores*. *Catalogue des timbres de Bibracte (1984-1998)*. Collection Bibracte - 7. Bibracte.
- ORDOÑEZ AGULLA S. (1988). *Colonia Augusta Firma Astigi*. Monografías del Departamento de Historia Antigua de la Universidad de Sevilla. Gráficas Sol. Écija.
- ORDOÑEZ AGULLA S. (2002). Sevilla Romana. Edades de Sevilla: Hispalis, Isbiliya, Sevilla. *Sevilla, España, Área de Cultura del Ayuntamiento de Sevilla*, p. 11-40.
- ORDOÑEZ AGULLA S. (2003). El Puerto Romano de Hispalis. *Puertos Fluviales Antiguos: Ciudad, Desarrollo e Infraestructuras*. Valencia, España. Departament de Prehistòria I Arqueologia de la Universidad de Valencia, 1, p. 59-79.
- ORDOÑEZ AGULLA S. & BELTRAN FORTES J. (2005). Panorama de la Romanización en la Comarca del Aljarafe. *II Jornadas de Historia Sobre la Provincia de Sevilla. Aljarafe-Marismas*. Ronda, España. La Serranía, S.L.L., p. 21-55.
- ORDOÑEZ AGULLA S. & SÁEZ FERNANDEZ P. (1996). Nuevas inscripciones astigitanas. *Habis, Filología clásica. historia antigua, arqueología clásica* 27, p. 97-116.
- ORDOÑEZ AGULLA S. & GARCÍA-DILS S. (2012). Nota sobre sellos en ladrillos, tegulae y ánforas en Colonia Augusta Firma. *Habis, Filología clásica. historia antigua, arqueología clásica*, 43, p. 213-232.
- ORDOÑEZ AGULLA S., SÁNCHEZ VELASCO J., GARCÍA VARGAS E., GARCÍA-DILS S. & TABALES-RODRÍGUEZ M. A. (2013). Novedades arqueológicas de las sedes episcopales de la Bética occidental. *Antiquité tardive: revue internationale d'histoire et d'archéologie*, 21, p. 321-374.
- PABÓN J. (1953). Sobre los nombres de la villa romana en Andalucía. *Estudios Dedicados a Menéndez Pidal*, tom. IV. Madrid, p. 87-165.
- PADILLA MONGE A. (1989). *La Provincia Romana de la Bética (253-422)*. Gráficas Sol. Sevilla.
- PALAZZO P. (1989). Le anfore di Apani (Brindisi). *Amphores romaines et histoire économique. Dix ans de recherche* (Colloque Sienne, 1986) (CEFR, 114). Roma, p. 548-553.
- PALAZZO P. (2013). Le anfore di Apani (Brindisi). *Scienze e Lettere*, 1. Roma.
- PALLECCHI S. (2002). *I mortaria di produzione centro-italica*. *Corpus dei bolli*. Instrumentum, 1. Quasar. Roma.
- PALLECCHI S. (2012). Appunti sull'organizzazione del lavoro negli stabilimenti romani per la produzione di ceramica pesante. *Archeologia della vite e del vino in Toscana e nel Lazio. Dalle tecniche dell'indagine archeologica alle prospettive della biologia molecolare*, All'Insegna del Giglio, Florencia, p. 469-484.
- PALMA B. & PANELLA C. (1968). XIV. Anfore. *Studi Miscellanei* 13, Ostia I. Le terme del nuotatore. Scavo dell'ambiente IV. Roma.
- PANCIERA S. (1980). Olearii. *The Seaborne Commerce of Ancient Rome: Studies in Archaeology and History. Memoirs of the American Academy in Rome*, 36. Roma, p. 235-250.
- PANELLA C. (1973). *Ostia III. Terme del Nuotatore, saggio nell'area S-O*. *Studi Miscellanei*, 21. Le anfore. Appunti su un gruppo di anfore della prima, media e tarda età imperiale (secoli I-V d.C.), p. 460-696; ánfore Dressel 20, p. 522-535.
- PANELLA C. (1983). I contenitori oleari presenti ad Ostia in età antonina: analisi tipologica, epigrafica, quantitativa. *Producción y comercio del aceite en la Antigüedad. Segundo Congreso Internacional* (Sevilla, 1982), p. 225-261.
- PARKER A.J. (1992). *Ancient Shipwrecks of the Mediterranean and the Roman Provinces*. BAR International Series, 580. Oxford.

- PASCUAL BAREA J. (2003). La ciudad romana de la Mesa de Gandul como emplazamiento de Iriyo y en relación a Lucurgentum y Alcalá de Guadaíra. *Actas del III Congreso de Historia Antigua de Andalucía* (Córdoba, 2001). Andalucía Antigua. Cajasur. Córdoba, p. 389-407.
- PASCUAL I GUASCH R. (1991). *Index d'estampilles sobre ànfores catalanes*. Cuadernos de Arqueología, 5. L'Estaquiro. Barcelona.
- PAUNIER D. (1981). *La céramique gallo-romaine de Genève*. Société et d'Archéologie de Genève, 9. Génova.
- PAVIS D'ESCURAC (1976). La préfecture de l'annone: service administratif impérial d'Auguste à Constantin. *Bibliothèque des Écoles françaises d'Athènes et de Rome*, 226. Roma.
- PEACOCK D.P.S. (1982). *Pottery in the Roman world: an ethnoarchaeological approach*, Longman archaeology series, London/ New York.
- PECCI A. & CAU ONTIVEROS M.A. (2010). Análisis de residuos orgánicos en ánforas: el problema de la resina y el aceite. *Estudios sobre el Monte Testaccio Roma V, Col-lecció Instrumenta*, 35, Universitat de Barcelona, Barcelona, p. 593-600.
- PELICHET E. (1946). A propos des amphores romaines trouvées à Nyon. *Zeitschrift für schweizerische Archäologie und Kunstgeschichte*, 8, p. 189-202.
- PENCO VALENZUELA R. (2005). La villa romana de Santa Rosa. Resultados preliminares de una I.A.U llevada a cabo en la parcela adyacente a las calles Algarrobo 4, 6, 8, 10 y Cronista Rey Díaz 3 de Cordoba. *Anales de arqueología cordobesa*, 16, p. 11-34.
- PEÑA CERVANTES Y. (2010). *Torcularia: la producción de vino y aceite en Hispania: catálogo de yacimientos analizados en cedé*, Institut Català d'Arqueologia Clàssica, Tarragona.
- PÉREZ CASSINI J. (1887). *Municipio Flavio Arvense*. Memorias de la Sociedad Arqueológica de Carmona, p. 47-55.
- PÉREZ PLAZA A. & TABALES RODRÍGUEZ M.A. (2003). La ciudad de Hispalis y su entorno en el alto imperio. *Arqueología y Rehabilitación en el Parlamento de Andalucía. Investigaciones Arqueológicas en el Antiguo Hospital de las Cinco Llagas de Sevilla*. Sevilla. Parlamento de Andalucía (CD-Rom), p. 115-122.
- PÉREZ RODRÍGUEZ-ARAGÓN F. (2017). La rueda de alfarero en la Antigüedad (SECAH). *Boletín Ex officina Hispana* 8, p. 104-133.
- PESAVENTO MATTIOLI S. (ed.) (1992). *Anfore romane a Padova: ritrovamenti dalla città*. Materiali d'archeologia. Módena.
- PFLAUM H.G. (1970). Titulature et rang social sous le Haut-Empire. *Recherches sur les structures sociales dans l'Antiquité classique* (Caen, 25-26 avril 1969), p. 159-185.
- PIÉRI D. & BONIFAY M. (1998). Amphores du Ve au VIIe s. à Marseille : nouvelles données sur la typologie et le contenu. *Journal of Roman Archaeology*, 8, 1998, p. 94-120.
- PIOT C. (1996). Dossier des marques sur amphores Dressel 20 découvertes en Lot-et-Garonne. *Bulletin de la Société archéologique et historique de l'Albret*, 18, p. 15-23.
- PIR² = *Prosopographia Imperii Romani saec. I. II. III.* (segunda edición). GROAG E., STEIN A. ET AL. (Berlín 1933 ss.).
- POLVORINOS DEL RÍO A.J. (2003). Arqueometría de las cerámicas del Hospital de las Cinco Llagas. *Arqueología y Rehabilitación en el Parlamento de Andalucía. Investigaciones Arqueológicas en el Antiguo Hospital de las Cinco Llagas de Sevilla*. Sevilla. Parlamento de Andalucía (CD-Rom), p. 246-258.
- POMEY P., LONG L., L'HOUE M., RICHEL F. & BERNARD H. (1989). Recherches sous-marines. *Gallia- Informations*, 1 (1987-88), p. 1-78.
- PONS I PUJOL L. (2000). Nuevos sellos y grafitos hallados en la Mauretania Tingitana. *Antiquités Africaines*, 30, p. 109-136.
- PONS I PUJOL L. (2000b). La presencia de las Dressel 20 en la Mauritania (sic) Tingitana. *Ex Baetica Amphorae. Conservas, aceite y vino de la Bética en el Imperio Romano* (Congreso Internacional, Sevilla-Écija, 1998). Écija, p. 925-933.
- PONS I PUJOL L. (2006). L'importation de l'huile de Bétique en Tingitane et l'exportation des salaisons de Tingitane (Ier-IIIe siècle après J.-C.). *Cahiers du Centre Gustave Glotz*, 17, p. 61-77.
- PONS I PUJOL L. (2009). *La economía de la Mauritania Tingitana (s.I-III d.C.). Aceite, vino y salazones*, *Col-lecció Instrumenta*, 34, Publicacions i Edicions de la Universitat de Barcelona, Barcelona.
- PONS I PUJOL L. & BERNI MILLET P. (2002). La figlina Virginensis y la Mauretania Tingitana. *L'Africa Romana*, XIV, Sassari, p. 1541-1570.

- PONS PUJOL L., GARROTE SAYÓ E. & SORIA RINCÓN X. (2008). La captación del aceite annonario en Bética y Africa, un análisis comparativo. *L'Africa romana. Le ricchezze dell'Africa. Risorse, produzioni, scambi. Atti del XVII convegno di studio. Sevilla 14-17 dicembre 2006*, Carocci, Roma, II, p. 1221-1245.
- PONSICH M. (1974). *Implantation rurale antique sur le Bas-Guadalquivir, I*. Publications de la Casa de Velazquez, sér. Archéologie, II. Madrid.
- PONSICH M. (1979). *Implantation rurale antique sur le Bas-Guadalquivir, II*. Publications de la Casa de Velazquez, sér. Archéologie, III. París.
- PONSICH M. (1980). Nouvelles perspectives sur l'olivier du Bas-Guadalquivir dans l'Antiquité. *Producción y comercio del aceite en la Antigüedad. Primer Congreso Internacional* (Madrid, 1980), p. 47-56.
- PONSICH M. (1982). Marcas de ánforas de aceite de las riberas del Betis. *Archivo Español de Arqueología*, 55 (noticiero), p. 173-205.
- PONSICH M. (1983). Le facteur géographique dans les moyens de transport de l'huile de Bétique. *Producción y comercio del aceite en la Antigüedad. Segundo Congreso Internacional* (Sevilla, 1982), p. 101-113.
- PONSICH M. (1987). *Implantation rurale antique sur le Bas-Guadalquivir, III. Bujalance, Montoro, Andújar*, Laboratoire d'archéologie de la Casa de Velázquez, Madrid.
- PONSICH M. (1991). *Implantation rurale antique sur le Bas-Guadalquivir, IV*. Publications de la Casa de Velazquez, sér. Archéologie, XVI. Madrid.
- PRIETO ARCINIEGA A. (1972). Sobre los límites del conventus Cordubensis. *Hispania Antiqua*, 2, p. 125-134.
- PRISSET J.L., BRISSAUD L. & LEBLANC O. (1994). Étude du mobilier et chronologie. Évolution urbaine à Saint-Romain-en-Gal : la rue du commerce et la maison aux cinq mosaïques. *Gallia*, 51, p. 1-133.
- RACHET M. (1970). *Rome et les Berberes: Un Probleme Militaire d'Auguste a Diocletien*. Latomus. Bruselas.
- REMARK P. (1912). *De amphorarum inscriptionibus latinis quaestiones selectae*. Tübingen.
- REMESAL RODRÍGUEZ J. (1977-78). La economía oleícola bética: nuevas formas de análisis. *Archivo Español de Arqueología*, 50-51, p. 87-142 = *Saalburg Jahrbuch*, 38, 1982, p. 30-71.
- REMESAL RODRÍGUEZ J. (1979). Recensión a *Archaeonautica I* (1977). *Archeologia classica*, 31, p. 379-389.
- REMESAL RODRÍGUEZ J. (1980). Reflejos económicos y sociales en la producción de ánforas olearias béticas (Dr.20). *Producción y comercio del aceite en la Antigüedad. Primer Congreso Internacional* (Madrid, 1980), p. 131-153.
- REMESAL RODRÍGUEZ J. (1981). *Tomás Andrés de Gusseme. Noticias pertenecientes a la historia antigua y moderna de la villa de Lora del Río, Setefilla y Arva, en Andalucía*. Lora del Río.
- REMESAL RODRÍGUEZ J. (1983). Transformaciones en la exportación del aceite bético a mediados del siglo III d.C. *Producción y comercio del aceite en la Antigüedad. Segundo Congreso Internacional* (Sevilla, 1982), p. 115-131.
- REMESAL RODRÍGUEZ J. (1983b). Ölproduktion und Ölhandel in der Baetica: ein Beispiel für die Verbindung archäologischer und historischer Forschung. *Münstersche Beiträge zur Antike Handelsgeschichte*, II, 2, p. 91-111.
- REMESAL RODRÍGUEZ J. (1986). *La annona militaris y la exportación de aceite bético a Germania. Con un corpus de sellos en ánforas Dressel 20 hallados en Nimega, Colonia, Mainz, Saalburg, Zugmantel y Nida-heddernheim*. Universidad Complutense. Madrid.
- REMESAL RODRÍGUEZ J. (1987). Informe preliminar sobre la primera campaña de excavaciones en Arva (Alcolea del Río, Sevilla). *Anuario Arqueológico de Andalucía 1987*. II. Sevilla, p. 346-353.
- REMESAL RODRÍGUEZ J. (1989). Die stempel auf amphoren des types Dr. 20 aus Worms. *Archeologisches Korrespondenzblatt*, 19, 4, p. 351-360.
- REMESAL RODRÍGUEZ J. (1989b). Tres nuevos centros productores de ánforas Dr.20 y 23. Los sellos de Lucius Fabius Cilo. *Ariadna*, 6, p. 121-153.
- REMESAL RODRÍGUEZ J. (1989c). Cuestiones en torno a la epigrafía anfórica de la Bética. *Amphores romaines et histoire économique. Dix ans de recherche* (Colloque Sienne, 1986) (CEFR, 114). Roma, p. 489-503.
- REMESAL RODRÍGUEZ J. (1990). El sistema annonario como base de la evolución económica del Imperio romano. *Le commerce maritime romain en Méditerranée occidentale. El comercio marítimo romano en el Mediterraneo occidental*. Hackens T. & Miró M. (eds.). Colloque international (Barcelona, 1988). *PACT*, 27. Rixensart, p. 355-367.
- REMESAL RODRÍGUEZ J. (1991). El aceite bético durante el Bajo Imperio. *Antigüedad y cristianismo: Monografías históricas sobre la Antigüedad tardía*, 8, p. 355-362.

- REMESAL RODRÍGUEZ J. (1991b). Sextus Iulius Possessor en la Bética. *Alimenta. Estudios en homenaje al Dr. Michel Ponsich* (coord. Blázquez J.M. & Montero S.). *Gerión*, Anejos III, p. 281-295.
- REMESAL RODRÍGUEZ J. (1992). Instrumentum domesticum e storia economica: le anfore Dr.20. *Opus*, 11, p. 105-113.
- REMESAL RODRÍGUEZ J. (1994). Los sellos en ánforas Dr.20. Nuevas aportaciones del Testaccio. *Epigrafia della produzione e della distribuzione* (Colloque Rome 1992). CEFR, 193. Roma, p. 93-110.
- REMESAL RODRÍGUEZ J. (1996). Mummius Secundinus. El Kalendarium Vegetianum y las confiscaciones de Severo en la Bética (HA Severus 12-13). *Gerión*, 14, p. 195-221.
- REMESAL RODRÍGUEZ J. (1997). *Heeresversorgung und die wirtschaftlichen Beziehungen zwischen der Baetica und Germanien. Materialien zu einem Corpus der in Deutschland veröffentlichten Stempel auf Amphoren der Form Dressel 20*. Materialhefte zur Archäologie in Baden-Württemberg. Heft 42. Stuttgart.
- REMESAL RODRÍGUEZ J. (1997b). Evergetismo en la Bética, nuevo documento de un municipio ignoto (=¿Oducia?)." *Gerión*, 15, p. 283-295.
- REMESAL RODRÍGUEZ J. (1998). Cuatrocientos años de historia e historiografía a través de la inscripción de C. Iuventus Albinus (CIL II 1054). La labor de Tomás Andrés de Gusseme en Lora del Río (Sevilla). *Gerión*, 16, p. 223-253.
- REMESAL RODRÍGUEZ J. (1998b). Hispania en la política alimentaria del Imperio Romano. *Hispania: el legado de Roma en el año de Trajano* (La Lonja-Zaragoza, 1998). Zaragoza, p. 249-256.
- REMESAL RODRÍGUEZ, J. (2000). Oleum Baeticum. Consideraciones y propuestas para su estudio. *Ex Baetica Amphorae. Conservas, aceite y vino de la Bética en el Imperio Romano* (Congreso Internacional, Sevilla-Écija, 1998). Écija, p. 373-392.
- REMESAL RODRÍGUEZ J. (2000b). L. Marius Phoebus mercator olei hispani ex provincia Baetica. Consideraciones en torno a los términos mercator, negotiator, diffusor olearius ex Baetica. ΕΠΙΓΡΑΦΑΙ, *Miscellanea epigrafica in onore di Lidio Gasperini*. Tivoli (Roma), p. 781-797.
- REMESAL RODRÍGUEZ J. (2001). Lora del Río en la Antigüedad. *Lora del Río. Revista de Estudios Locales*, 11 (2000-2001), p. 50-57.
- REMESAL RODRÍGUEZ J. (2004). Las ánforas Dressel 20 y su sistema epigráfico. *Epigrafía Anfórica*. Instrumenta, 17. Universitat de Barcelona. Barcelona, p. 127-148.
- REMESAL RODRÍGUEZ J. (2004b). Alfares y producciones cerámicas en la provincia de Córdoba. Balance y perspectivas. *Figlinae Baeticae. Talleres alfareros y producciones cerámicas en la Bética romana (ss. II s.C. - VII d.C.)*. Actas del Congreso Internacional (Cádiz 2003). BAR International Series, 1266. 2 vols. Oxford, p. 349-362.
- REMESAL RODRÍGUEZ J. (2004c). Promoción social en el mundo romano a través del comercio. *Vivir en tierra extraña: emigración e integración cultural en el mundo antiguo*. Col·lecció Instrumenta, 16. Universitat de Barcelona. Barcelona, p. 125-136.
- REMESAL RODRÍGUEZ J. (2005). Escrito en barro: el Monte Testaccio y la Historia Augusta. *Historiae Augustae. Colloquium Barcinonense* (Bari, 1996), p. 249-256.
- REMESAL RODRÍGUEZ J. (2006). Olearii. *Atti della XIVE rencontre sur l'Épigraphie in onore di Silvio Panciera con altri contributi di colleghi, allievi e collaboratori. Tituli*, 9 (Epigrafia 2006). Quasar; p. 349-373.
- REMESAL RODRÍGUEZ J. (2007). Oleum afrum et hispanum, *In Africa et in Hispania: Études sur l'huile Africaine*. Instrumenta, 25. Universitat de Barcelona. Barcelona, p. 315-328.
- REMESAL RODRÍGUEZ J. (2011). *La Bética en el concierto del Imperio romano*, Discours d'entrée à la Real Academia de la Historia (13 mars 2011), Gráficas Rey, Madrid.
- REMESAL RODRÍGUEZ J. (2012). Corpus versus catálogo, propuestas sobre una vieja cuestión. *Actes du premier colloque Ductus (19-20 juin 2008, Université de Lausanne)*. Bern, Berlin, Bruxelles, Frankfurt am Main, New York, Oxford, Wien.
- REMESAL RODRÍGUEZ J. (2013). Nuevos datos sobre las confiscaciones de Septimio Severo en la Bética. *Actes du 1er Congrès International d'Arqueologia i Món Antic, Govern i Societat a la Hispània Romana: Novetats Epigràfiques, Homenatge a Géza Alföldy*, Fundació Privada Mútua Catalana. Tarragona, p. 233-245.
- REMESAL RODRÍGUEZ J. (2013a). El Monte Testaccio, de vertedero a archivo. *Atti della Pontificia Accademia Romana di Archeologia*. Rendiconti, Vol. 85, págs. 111-128
- REMESAL RODRÍGUEZ J. (2016a). De Re Rusticia Baeticae. *Las villas Romanas de la Bética. Vol. I*, Sevilla, p. 27-37.
- REMESAL RODRÍGUEZ J. (2016b). Minuzie epigrafiche. *Made in Roma. Marchi di produzione e di possesso nella società antica*. Catalogo della mostra (Roma, 13 maggio-20 novembre 2016). Roma, p.61-64.

- REMESAL RODRÍGUEZ J. (2016c). ¿Sellar para qué? *Atti del VI incontro Instrumenta Inscripta, Aquileia (26-28 marzo 2015)*. *Antichità Altoadriatiche LXXXIII*, p.73-90.
- REMESAL RODRÍGUEZ J. (2018). El valor estadístico de la epigrafía sobre ánforas Dressel 20. *Cuantificar las economías Antiguas. Problemas y métodos*. Instrumenta, 60. Universidad de Barcelona. Barcelona, p. 215-235.
- REMESAL RODRÍGUEZ J. (en elaboración). Las excavaciones del Tejarillo, Alcoléa del Río, Sevilla.
- REMESAL RODRÍGUEZ J., AGUILERA MARTÍN A., GARCÍA SÁNCHEZ M., MARTÍN-ARROYO SÁNCHEZ D.-J., PÉREZ GONZÁLEZ J. & REVILLA CALVO V. (2015). Centro para el Estudio de la Interdependencia Provincial en la Antigüedad Clásica (CEIPAC). *Pyrenae, Número Especial 50è Aniversari*. p. 245-275.
- REMESAL RODRÍGUEZ J., BERNI MILLET P. & AGUILERA MARTÍN A. (2008). Amphoreninschriften und ihre elektronische bearbeitung. *Instrumenta inscripta Latina II* coloquio internacional celebrado en Klagenfurt (Austria), p. 247-264.
- REMESAL RODRÍGUEZ J., DÍAZ-GUILERA A., RONDELLI B., RUBIO X., AGUILERA A., MARTÍN-ARROYO D., MOSCA A. & RULL G. (2015). The EPNet Project. Production and distribution of food during the Roman Empire: economics and political dynamics. *Information Technologies for Epigraphy and Cultural Heritage. Proceedings of the First EAGLE International Conference. European Eagle project. Convegni, Studi umanistici-Antichistica*. Sapienza. Università Editrice. p.455-464.
- REMESAL RODRÍGUEZ J. & MOROS DÍAZ, J. (en prensa). Los negocios de Caius Iuventus Albinus en la Bética.
- REMESAL RODRÍGUEZ J., REVILLA V., CARRERAS C. & BERNI P. (1997). Arva: prospecciones en un centro productor de ánforas Dressel 20 (Alcolea del Río, Sevilla). *Pyrenae*, 28, p. 151-178.
- REMESAL RODRÍGUEZ J. & SCHALLMAYER E. (1988). Römische Amphoren aus Baden-Württemberg. *Fundberichte aus Baden-Württemberg*, 14, p. 395-432.
- REMOLÀ I VALLVERDÚ J.A. (2000). *Las ánforas tardo-antiguas en Tarraco (Hispania Tarraconensis)*. Col·lecció Instrumenta, 74. Universitat de Barcelona. Barcelona.
- RÉMY B. & JOSPIN J.-P. (1998). Trois graffites sur céramique du Musée d'Aoste (Isère). *Zeitschrift für Papyrologie und Epigraphik*, 122, p. 263-264.
- REVILLA CALVO V. (1995). *Producción cerámica, viticultura y propiedad rural en Hispania Tarraconensis (siglos I a.C. - III d.C.)*. Cuadernos de Arqueología, 8. L'Estaqüerot. Barcelona.
- REVILLA CALVO V. (2004). Ánforas y epigrafía anfórica en Hispania Tarraconensis. *Epigrafía Anfórica*. Instrumenta, 17. Universitat de Barcelona. Barcelona, p. 159-196.
- REVILLA CALVO V. (2007). Onomástica en epigrafía anfórica de la Hispania Tarraconense: algunas consideraciones sobre significado y método de análisis. *Acta XII Congressus Internationalis Epigraphiae Graecae et Latinae (Barcelona, 3-8 Septembris 2002)*. *Monografies de la Secció Històrico-Arqueològica*, X. Barcelona, p-1183-1192.
- REVILLA CALVO V. (2008). La producción anfórica en el sector meridional de Cataluña: prácticas artesanales, viticultura y representaciones culturales. *La producció i el comerç de les ànfores de las Provincia Hispania Tarraconensis. Homenatge a Ricard Pascual i Guasch*. *Monografies* 8. MAC, p. 189-226.
- REYNOLDS P. (2010). *Hispania and the Roman Mediterranean, AD 100-700*. *Ceramics and Trade*, Duckworth & Co, Londres.
- RICO C. (1994). Les ateliers de tuiliers antiques dans la moyenne vallée du Guadalquivir. Nouvelles recherches, premier bilan. *Mélanges de la Casa de Velázquez*, 30, 1, p. 107-130.
- RICO C. (1995). La diffusion par la mer des matériaux de construction en terre cuite: un aspect mal connu du commerce antique en Méditerranée occidentale. *MEFRA* 107, 2, p. 767-800.
- RICO C. (2003). Mercatores, negotiatores et diffusores olearii et le commerce de l'huile de bétique à destination de Rome aux Ier et IIe siècles de notre ère. *Revue des études anciennes*, 105, 2, p. 413-433.
- RICO C. (2009). Économie et grand commerce maritime de l'hispanie romaine à la fin de la république et sous le Haut-empire. *Rome et l'Occident, 197 av. J.-C. à 192 ap. J.-C.*, Ellipses, Paris, p. 21-44.
- RIGHINI V. (1999). I bolli laterizi di età romana nella Cispadana. Le Figlinae. *Le fornaci romane. Produzioni di anfore e laterizi con marchi di fabbrica nella Cispadana orientale e nell' Alto Adriatico*. Atti delle giornate internazionali di studio (Rimini 16 - 17 ottobre 1993), Rimini, p. 29-68.
- RIVET L. (1992). Un quartier artisanal d'époque romaine à Aix-en-Provence. Bilan de la fouille de sauvetage du « parking Signoret » en 1991. *RAN* 25, p. 325-178.
- RIZZO G. (2003). *Instrumenta Urbis. 1, Ceramiche fini da mensa, lucerne ed anfore a Roma nei primi due secoli dell'Impero*. Collection de l'École Française de Rome 307. Roma.
- RIZZO G. (2014). Le anfore, Ostia e i commerci mediterranei. *Ostia : le terme del nuotatore ; VI. I saggi nell'area NE ; Le Anfore, Ostia e i commerci mediterranei*, L'"Erma" di Bretschneider, Roma, p. 210-227.

- RODRÍGUEZ ALMEIDA E. (1972). Novedades de epigrafía anforaria del monte Testaccio. *Recherches sur les amphores romaines. (Colloque Rome, 1971), collection de l'École Française de Rome, 10*, Roma, p. 107-241.
- RODRÍGUEZ ALMEIDA E. (1974-1975). Bolli anforari di Monte Testaccio, I. *Bullettino della Commissione archeologica comunale di Roma*, 84 (1977), p. 199-248.
- RODRÍGUEZ ALMEIDA E. (1977-1978). Bolli anforari di Monte Testaccio, II. *Bullettino della Commissione archeologica comunale di Roma*, 86 (1981), p. 199-248.
- RODRÍGUEZ ALMEIDA E. (1979). Monte Testaccio: i mercatores dell'olio della Betica. *Mélanges de l'École française de Rome – Antiquité*, 91, p. 873-975.
- RODRÍGUEZ ALMEIDA E. (1980). El monte Testaccio, hoy: Nuevos testimonios epigráficos. *Producción y comercio del aceite en la Antigüedad. Primer Congreso Internacional* (Madrid, 1980), p. 57-102.
- RODRÍGUEZ ALMEIDA E. (1980b). Vicissitudini nella gestione del commercio dell'olio betico da Vespasiano a Severo Alessandro. *The Seaborne Commerce of Ancient Rome: Studies in Archaeology and History*. D'Arms J.H. & Kopff E.C. (eds.). *Memoirs of the American Academy in Rome*, 36. Roma, p. 277-290.
- RODRÍGUEZ ALMEIDA E. (1981). Varia de Monte Testaceo. *Cuadernos de Trabajos de la Escuela Española de Historia y Arqueología en Roma*, 15, p. 105-164.
- RODRÍGUEZ ALMEIDA E. (1983). Altri mercatores dell'olio betico. *Dialoghi di archeologia*, 3ª série, anno 1, p. 79-86.
- RODRÍGUEZ ALMEIDA E. (1983b). El emporio fluvial y el Testaccio: onomástica extra-anfórica y otros problemas. *Producción y comercio del aceite en la Antigüedad. Segundo Congreso Internacional* (Sevilla, 1982).
- RODRÍGUEZ ALMEIDA E. (1984). *Il Monte Testaccio: ambiente, storia, materiali*. Quasar. Roma.
- RODRÍGUEZ ALMEIDA E. (1987-1988). Diffusores, negotiatores, mercatores olearii. *Bullettino della Commissione Archeologica Comunale in Roma*, 92, 2 (1992), p. 299-306.
- RODRÍGUEZ ALMEIDA E. (1989). *Los tituli picti de las ánforas olearias de la Bética, I. Tituli picti de los Severos y la Ratio Fisci*. Universidad Complutense. Madrid.
- RODRÍGUEZ ALMEIDA E. (1989-1990). Su alcuni curiosi graffiti anforari dal Monte Testaccio. *Bullettino della Commissione Archeologica Comunale in Roma*, 83, 1 (1991), p. 35-40.
- RODRÍGUEZ ALMEIDA, E. (1990). Revisitando el Testaccio. *Le commerce maritime romain en Méditerranée occidentale. El comercio marítimo romano en el Mediterraneo occidental*. Hackens T. & Miró M. (eds.). Colloque international (Barcelona, 1988). *PACT*, 27. Rixensart, p. 369-390.
- RODRÍGUEZ ALMEIDA E. (1991). Anforas olearias béticas: cuestiones varias. *Alimenta. Estudios en homenaje al Dr. Michel Ponsich* (coord. Blázquez J.M. & Montero S.). *Gerión*, Anejos III, p. 243-260.
- RODRÍGUEZ ALMEIDA E. (1991b). "Aggere" di anfore antoniniane. *Bollettino di Archeologia*, 10 (1993), p. 71-77.
- RODRÍGUEZ ALMEIDA, E. (1993). Grafitti e produzione anforaria della Betica. Harris W. V. (ed.) *The Inscribed Economy. Production and Distribution in the Roman Empire in the Light of Instrumentum Domesticum* (Rome, 1992). (*Journal of Roman Archaeology*, 1993). Ann Arbor, p. 95-107.
- RODRÍGUEZ ALMEIDA E. (1994). Scavi sul monte Testaccio: novità dai tituli picti. *Epigrafía della produzione e della distribuzione* (Colloque Rome 1992). *CEFR*, 193. Roma, p. 111-131.
- RODRÍGUEZ ALMEIDA E. (2000). El Monte Testaccio, ayer, hoy y mañana. *Ex Baetica Amphorae. Conservas, aceite y vino de la Bética en el Imperio Romano* (Congreso Internacional, Sevilla-Écija, 1998). Écija, p. 1279-1302.
- RODRÍGUEZ ALMEIDA E. & SCHÜPBACH S. (1982-1983). Nota su un nuovo mercator olearius del commercio bético. *Bullettino della Commissione Archeologica Comunale in Roma*, 88 (1984), p. 99-103.
- RODRÍGUEZ AZOGUE A. & FERNÁNDEZ FLORES A. (1997). Intervención arqueológica de urgencia en c/ San Luís nº 95 - Malpartida 10-12, Sevilla. *Anuario Arqueológico de Andalucía 1997*. Actividades de urgencia, informes y memorias. Sevilla, p. 481-491.
- RODRÍGUEZ AZOGUE A., FERNÁNDEZ A. & ACEVEDO H. (2000). Reutilización de ánforas olearias como elemento constructivo en el ámbito rural. *Ex Baetica Amphorae. Conservas, aceite y vino de la Bética en el Imperio Romano* (Congreso Internacional, Sevilla-Écija, 1998). Écija, p. 1337-1341.
- RODRÍGUEZ GONZÁLEZ E. (2014). *Astigi Vetus. Arqueología y urbanismo de la Écija turdetana (ss. VI - I a. C.)*, Colección Arqueología y patrimonio, 8, La Ergastula, Madrid.

- RODRÍGUEZ GUTIÉRREZ O., ORDÓÑEZ AGULLA S. & GARCÍA-DILS S. (2008). La casa oscillum en Astigi. Algunos aspectos de su programa decorativo. *Habis, Filología clásica. historia antigua, arqueología clásica* 39, p. 183-206.
- RODRÍGUEZ MARTINEZ J. (2008). Los afluentes de la margen izquierda. *Río Guadalquivir*, Sevilla, p. 41-54.
- RODRÍGUEZ TEMIÑO I. (1991). Algunas cuestiones sobre el urbanismo de Hispalis en época republicana. *Habis*, 22, p. 157-176.
- ROLDÁN HERVÁS J. M. (1975). *Itineraria Hispana. Fuentes antiguas para el estudio de las vías romanas en la Península Ibérica*. Valladolid-Granada.
- ROMO SALAS A. (1993). El conjunto alfarero romano de Azanaque (Lora del Río, Sevilla). Intervención de 1993. *Anuario Arqueológico de Andalucía 1993*. III. Actividades de Urgencia. Sevilla, p. 766-777.
- ROMO SALAS A. (1994). Un centro de producción alfarera del s. II d.C. Azanaque. Lora del Río. Avance de la excavación arqueológica. *Lora del Río. Revista de Estudios Locales*, 5, p. 13-20.
- ROMO SALAS A. & VARGAS JIMÉNEZ J.M. (2000). Azanaque. Evidencias arqueológicas de un centro de producción anfórica. *Ex Baetica Amphorae. Conservas, aceite y vino de la Bética en el Imperio Romano* (Congreso Internacional, Sevilla-Écija, 1998). Écija, p. 405-417.
- ROMO SALAS A., VARGAS JIMÉNEZ J.M. & ORTEGA M. (2000). El antiguo Hospital de los Inocentes y el sustrato previo: C/ San Luís, 29 (Sevilla). *Anuario Arqueológico de Andalucía 1988*. Actividades de urgencia, informes y memorias. Sevilla, p. 1064-1081.
- ROSAFIO P. (2002). *Studi Sul Colonato*. Documenti e studi, 32. Edipuglia. Bari.
- ROSSI ALDROVANDI A.M. (1994). Un lessico dei termini riguardanti l'attività delle figulinae. *Epigrafia della produzione e della distribuzione* (Colloquio Rome 1992). CEFR, 193. Roma, p. 237-240.
- ROUQUETTE D. (1970). Marques sur amphores à huile du département de l'Hérault. *Rivista di Studi Liguri*, 36 (1972), p. 319-330.
- ROUQUETTE D. (1980). Nouvelles marques sur amphores à huile de l'Hérault. *Archeologie en Languedoc*, 3, p. 151-160.
- ROUQUETTE D. (1992). Estampilles sur amphores à huile de Bétique de la région Vienne-Lyon. *Sites*, 48, p. 3-17.
- ROUQUETTE D. (1995). Annexe 2. Les estampilles sur amphores. Gassend J.-M., Escalon G. & Soyris P. (eds.). *Un temple du début de l'empire à Murviel-les-Montpellier*. RAN, 27-28. Paris, p. 112-120.
- ROUQUETTE D., RICHARD J.-C. & SOYRIS P. (1989). Marques d'amphores de Murviel-lès-Montpellier (Hérault). *Archéologie en Languedoc*, 14, 1, p. 3-4.
- ROWAN E. (2015). Olive Oil Pressing Waste as a Fuel Source in Antiquity. *American journal of archaeology*, 119, fasc. 14, p. 465-482.
- RUIZ GUTIÉRREZ A. (2009). Les espaces économiques de la péninsule ibérique à l'époque romaine (197 av. J.-C. - 192 ap. J.-C.). *PALLAS*, 80, p. 223-243.
- RUIZ OSUNA A. B. (2009). *Topografía y monumentalización funeraria en Baetica: Conventus Cordubensis y Astigitanus*, Servicio de Publicaciones de la Universidad de Córdoba, Córdoba.
- RUIZ PRIETO E. (2012). Las placas cerámicas decoradas del Museo Arqueológico de Sevilla (MASE): morfología, iconografía y contextualización. *Revista Claseshistoria, Publicación digital de Historia y Ciencias Sociales*, artículo nº286, p. 1-58.
- SÁEZ FERNÁNDEZ P. (1978). Las centurias de la Bética. *Habis*, 9, p. 255-271.
- SÁEZ FERNÁNDEZ P. (1987). *Agricultura Romana de la Bética*. Gráficas Sol. Ecija.
- SÁEZ FERNÁNDEZ P. (1991). Consideraciones Sobre el Cultivo del Olivo en la Bética Hispano-Romana. Aspectos Económicos y Sociales. *La Betica en su Problemática Histórica*. Universidad de Granada. Granada, p. 277-297.
- SÁEZ FERNÁNDEZ P. & CHIC GARCÍA G. (1983). La epigrafía de las ánforas olearias béticas como posible fuente para el estudio del colonato en la Bética. *Producción y comercio del aceite en la Antigüedad. Segundo Congreso Internacional* (Sevilla, 1982), p. 193-210.
- SÁEZ FERNÁNDEZ P. & LOMAS F.J. (1981). El *Kalendarium Vegetianum*, la Annona y el comercio del aceite. *Mélanges de la Casa de Velázquez*, tome 17, p. 55-84.
- SÁEZ FERNÁNDEZ P., ORDOÑEZ S. & GARCÍA-DILS S. (2002). Le territoire d'Astigi (Écija). La centuriation. *Atlas historique des cadastres d'Europe II, Luxembourg 2002, dossier 2*, España, p.1-8.
- SÁEZ FERNÁNDEZ P., ORDOÑEZ S. & GARCÍA-DILS S. (2005). El urbanismo de la *Colonia Augusta Firma Astigi*: Nuevas perspectivas. *Mainake*, 27, p. 89-112.
- SÁEZ FERNÁNDEZ P., ORDOÑEZ S. & GARCÍA-DILS S. (2008). Colonias romanas y municipalización flavia. ¿Conflicto de intereses? *territorio de las ciudades romanas*, Ediciones Sísifo, Madrid, p. 155-175.
- SÁEZ FERNÁNDEZ P., ORDOÑEZ S., GARCÍA VARGAS E. & GARCÍA-DILS S. (2001). Cinco inscripciones romanas inéditas de Écija (Sevilla). *Habis*, 32, p. 337-352.

- SÁEZ FERNÁNDEZ P., ORDOÑEZ S., GARCÍA VARGAS E. & GARCÍA-DILS S. (2004). *Carta Arqueológica Municipal de Écija, I. La ciudad*, Sevilla.
- SÁEZ FERNÁNDEZ P., TINOCO J., GARCÍA VARGAS E. & GARCÍA-DILS S. (1997). Excavación arqueológica de urgencia en el alfar romano de las Delicias (Écija, Sevilla) 1997. *Anuario Arqueológico de Andalucía 1997*. Actividades de urgencia, informes y memorias. Sevilla, p. 562-575.
- SAVARÈSE L. (2001). Les marques sur amphores découvertes dans les Pyrénées-Orientales (France). *SEBarc*, IX, p. 207-296.
- SANTOS YANGUAS N. (1980). Las invasiones de moros en la Bética del siglo II D.N.E. *Gades*, 5, p. 51-62.
- SCHATTNER TH. (2003). *Munigua: cuarenta años de investigaciones*. Arqueología monografías, 16. Sevilla.
- SCHIMMER F. (2009). Amphoren aus Cambodunum/Kempen. Ein Beitrag zur Handelsgeschichte der römischen Provinz Raetia. *Münchener Beiträge zur Provinzialrömischen Archäologie*, 1.
- SCHUCANY C. (2006). Die römische Villa von Biberist-Spitalhof/SO. (Grabungen 1982, 1983, 1986-1989). *Ausgrabungen und Forschungen*, 4, Bd. 2.
- SCHULTEN A. (1936). Real Encyclopædia, nº 17. (coll. 1904-1906).
- SCHULTEN A. (1959, 1963). Geografía y Etnografía Antiguas de la Península Ibérica. Madrid.
- SCHÜPBACH S. (1983). Avenches: Contribution à la connaissance de la chronologie des estampilles sur les amphores à huile de Bétique. *Producción y comercio del aceite en la Antigüedad. Segundo Congreso Internacional* (Sevilla, 1982), p. 340-361.
- SERRANO RAMOS E. (1995). Producciones de cerámicas comunes locales de la Bética. *Ceràmica comuna romana d'època Alto-Imperial a la Península Ibèrica: estat de la qüestió*, Museu d'Arqueologia de Catalunya, Empúries, p. 227-249.
- SERRANO RAMOS E. (2004). Alfares y producciones cerámicas en la provincia de Málaga: balance y perspectivas. *Figlinae Baeticae: talleres alfareros y producciones cerámicas en la Bética romana (ss.II a.C.-VII d.C.); actas del Congreso Internacional (Cádiz, 12-14 de noviembre de 2003)*, vol.1. Archaeopress, Oxford, p. 161-193.
- SETÄLÄ P. (1977). *Private Domini in the Roman Brick Stamps of the Empire: A Historical and Prosopographical Study of Landowners in the District of Rome*. Annales Academiae Scientiarum Fennicae, Dissertationes Humanarum Litterarum, 10. Helsinki.
- SHEEHAN-FINN K. (2012). *Vindolanda's Amphora Stamps 2007-2012 (with a catalogue of 96 previously published stamps)*. Excavation Report. Vindolanda Trust, Bardon Mill, p. 1-21.
- SILLIÈRES P. (1976). La *Via Augusta* de Cordoue à Cadix (Documents du XVIII s. et photographies aériennes pour une étude de topographie historique). *Mélanges de la Casa de Velázquez*, 12, p. 27-67.
- SILLIÈRES P. (1990). *Les voies de communication de l'Hispanie méridionale*, diffusion De Boccard, Paris.
- SILLIÈRES P. (2000). Voies de communication et cultures spéculatives (Olivier, Vigne) en Hispanie. *Organisation des espaces, entre nature et histoire*, ed. Atlantica, Biarritz, p. 213-231.
- SILLIÈRES P. (2001). – Voies d'eau et essor économique de l'Hispanie. *Zephyrus, Revista de prehistoria y arqueología*, 53-54, p. 433-442.
- SILVINO T. (2001). Les importations d'amphores à huile de Bétique à Lyon du Ier siècle av. J.-C. au IIIe siècle ap. J.-C. *SFECAG. Actes du Congrès de Lilli-Bavay*. Société Française d'Étude de la Céramique Antique en Gaule. Marsella, p. 331-346.
- SILVINO T. (2003). Les amphores Dressel 20 de la rue Dinet à Mâcon. *Groupement Arqueologique du Maconnais*, bulletin nº 1, p. 18-25.
- SIMONNET L. (1976). Marques d'amphores trouvées dans le département de la Haute-Loire. *Revue Archéologique du Centre*, 15, Fasc. 1-2, p. 127-137.
- SIRAUDEAU J. (1988). *Amphores romaines des sites angevins et leur contexte archéologique*. Corpus des amphores découvertes dans l'Ouest de la France, 2. Angers.
- SOLIN H. (1966-67). Eine Amphoreninschrift vom Monte Testaccio mit einer neuen Datierungsformel. *Mitteilungen des deutschen archäologischen Instituts. Römische Abteilung*, 73-74, p. 266-269.
- SOLIN H. (1982). *Die griechischen Personennamen in Rom: ein Namenbuch*, New York: W. de Gruyter, Berlin, 3 vol.
- SOLIN H. & SALOMIES O. (1988). *Repertorium nominum gentilium et cognominum Latinorum*. Alpha - Omega, Reihe A 80. Hildesheim - Zürich - New York. (Ed. nova, addendis corrigendisque augmentata, Olms : Weidmann, 1994).
- SOTOMAYOR M. (1997). Algunas observaciones sobre hornos y excavaciones de alfares romanos. *Figlinae Malacitanae. La producción de cerámica romana en los territorios malacitanos*. Málaga, p. 19-26.
- SPAUL J. (1997). Across the frontier in Tingitana. *Roman Frontier Studies 1995. Oxbow Monograph*, 91. Oxford, p. 253-258.

- SPITZLBERGER G. (1978). Die römischen Amphorenstempel von Bregenz, zum exporthandel südspaniens im 1. und 2. Jahrhundert n. Chr. *Jahrbuch des Vorarlberger Landesmuseumsvereins, Vorarlberger Landesmuseumsverein*. Bregenz, p. 157-184.
- STEINBY M. (1974). La cronologia delle figlinae doliari urbane alla fine dell'età repubblicana fino all'inizio del III sec. *Bullettino della Commissione archeologica comunale di Roma*, 84 (1974-1975), p. 7- 132.
- STEINBY M. (1982). I Senatori e l'industria laterizia urbana. *Epigrafia e ordine senatorio*, I. *Tituli*, 4, p. 227-237.
- STEINBY M. (1993). L'organizzazione produttiva dei laterizi: un modello interpretativo per l'instrumentum in genere? Harris W. V. (ed.) *The Inscribed Economy. Production and Distribution in the Roman Empire in the Light of Instrumentum Domesticum* (Rome, 1992). (*Journal of Roman Archaeology*, 1993). Ann Arbor, p. 139-143.
- STUART P. (1977). *Gewoon aardewerk uit de Romeinse legerplaats en de bijbehorende grafvelden te Nijmegen*. Gewoon aardewerk, VI. Beschrijving van de verzamelingen in het Rijksmuseum G.M.Kam te Nijmegen. Leiden (primera edición 1963).
- STYLOW A.U. (1988). Epigrafía romana y paleocristiana de Palma del Río. Córdoba. *Ariadna*, 5, p. 115-150.
- STYLOW A.U. (1995). Apuntes sobre las tribus romanas en Hispania. *Veleia*, 12, p. 105-123.
- STYLOW A.U. & GIMENO H. (2002). Novedades de Epigrafía Celtitana, *Almenara*, 17 [Peñaflor], p. 2-7.
- TABALES RODRÍGUEZ M.A. (1998). El Hospital de las Cinco Llagas de Sevilla. Primera fase de estudios arqueológicos, 1998. *Anuario Arqueológico de Andalucía 1986*. Actividades de urgencia, informes y memorias. Sevilla, p. 751-768.
- TABALES RODRÍGUEZ M.A. (1999). Excavación de los hornos romanos del Hospital de las Cinco Llagas. 2ª Fase-1999. *Anuario Arqueológico de Andalucía 1999*. Actividades de urgencia, informes y memorias. Sevilla, p. 860-875.
- TABALES RODRÍGUEZ M.A. (1999b). Nuevas Investigaciones en la Giralda. Excavaciones Arqueológicas en la Cara sur. *Anuario Arqueológico de Andalucía 1994*. Actividades de urgencia, informes y memorias. Sevilla, p. 778-787.
- TABALES RODRÍGUEZ M.A. (2000). Investigaciones Arqueológicas en el Real Alcázar de Sevilla. Notas Sobre Evolución Constructiva y Espacial. *Apuntes del Alcazar de Sevilla*, p. 12-45.
- TABALES RODRÍGUEZ M.A. (2001). Algunas aportaciones arqueológicas para el conocimiento urbano de Hispalis. *Habis*, 32, p. 387-423.
- TABALES RODRÍGUEZ M.A. (2003). El complejo alfarero bajo el Parlamento de Andalucía. Arqueología y Rehabilitación en el Parlamento de Andalucía. *Investigaciones Arqueológicas en el Antiguo Hospital de las Cinco Llagas de Sevilla*. Sevilla. Parlamento de Andalucía (CD-Rom), p. 139-162.
- TABALES RODRÍGUEZ M.A. & JIMENEZ SANCHO A. (2001). Hallazgo de una nueva inscripción referente al cuerpo de olearios en el Alcázar de Sevilla. *Habis*, 32, p. 375-385.
- TAGLIETTI F. (1994). Un inedito bollo laterizio ostiense ed il commercio dell'olio betico. *Epigrafia della produzione e della distribuzione* (Colloque Rome 1992). CEFRA, 193, p. 157-193.
- TASSAUX F. (1982). *Laecanii*. Recherches sur une famille sénatoriale d'Istrie. *MEFRA Antiquité*, 94, n°1, p. 227-269.
- TASSAUX F. MATIJAŠIĆ R. & KOVAČIĆ V. (2001). *Loron (Croatie) : un grand centre de production d'amphores à huile istriennes (I^{er}- IV^e s. P.C.)*, Ausonius, Bordeaux.
- TCHERNIA A. (1964). Amphores et marques d'amphores de Bétique à Pompéi et à Stabies. *Mélanges d'archéologie et d'histoire de l'École Française de Rome*, 76, 2, p. 419-449.
- TCHERNIA A. (1967). Les amphores romaines et l'histoire économique. *Journal des Savants*, p. 216-234.
- TCHERNIA A. (1969). Les fouilles sous-marines de Planier (Bouches-du-Rhône). *Comptes-rendus des séances de l'Académie des Inscriptions et Belles-Lettres*, vol. 113, n°2, p. 292-309.
- TCHERNIA A. (1980). D. Caecilius Hospitalis et M. Iulius Hermesianus (CIL, VI, 1625b et 20742). *Producción y comercio del aceite en la Antigüedad. Primer Congreso Internacional* (Madrid, 1980), p. 155-160.
- TCHERNIA A. (1993). Des timbres d'amphores à l'organisation du commerce. W. V. Harris (ed.) *The Inscribed Economy. Production and Distribution in the Roman Empire in the Light of Instrumentum Domesticum* (Rome, 1992). (*Journal of Roman Archaeology*, 1993). Ann Arbor, p. 183-185.
- TCHERNIA A. (2002). – L'arrivé de l'huile de Bétique sur les limes germanique : Wierschowski contre Remesal. *Vivre, produire et échanger : reflets méditerranéens*, Mergoïl, Montagnac, p. 319-324.
- TCHERNIA A. (2004). Quel sens donner à la publication des timbres sur amphores romaines ? *Epigrafía anfórica, Col·lecció Instrumenta*, 17, Publicacions i Edicions de la Universitat de Barcelona, Barcelona, p. 67-73.

- TCHERNIA A. (2011). *Les romains et le commerce*, Centre Jean Bérard - Centre Camille Jullian, Naples.
- TESTACCIO 1994 = BLÁZQUEZ MARTÍNEZ J.M., REMESAL RODRÍGUEZ J. & RODRÍGUEZ ALMEIDA E. (1994). *Excavaciones arqueológicas en el monte Testaccio (Roma). Memoria campaña 1989*. Ministerio de Cultura (Dirección General de Bellas Artes y Archivos). Madrid.
- TESTACCIO 1999 = BLÁZQUEZ MARTÍNEZ J.M. & REMESAL RODRÍGUEZ J. (eds.). (1999). *Estudios sobre el Monte Testaccio (Roma), I*. Col·lecció Instrumenta, 6. Universitat de Barcelona. Barcelona.
- TESTACCIO 2001 = BLÁZQUEZ MARTÍNEZ J.M. & REMESAL RODRÍGUEZ J. (eds.). (2001). *Estudios sobre el Monte Testaccio (Roma), II*. Col·lecció Instrumenta, 10. Universitat de Barcelona. Barcelona.
- TESTACCIO 2003 = BLÁZQUEZ MARTÍNEZ J.M. & REMESAL RODRÍGUEZ J. (eds.). (2003). *Estudios sobre el Monte Testaccio (Roma), III*. Col·lecció Instrumenta, 14. Universitat de Barcelona. Barcelona.
- TESTACCIO 2007 = BLÁZQUEZ MARTÍNEZ J.M. & REMESAL RODRÍGUEZ J. (eds.). (2007). *Estudios sobre el Monte Testaccio (Roma), IV*. Col·lecció Instrumenta, 24. Universitat de Barcelona. Barcelona.
- TESTACCIO 2010 = BLÁZQUEZ MARTÍNEZ J.M. & REMESAL RODRÍGUEZ J. (eds.). (2010). *Estudios sobre el Monte Testaccio (Roma), V*. Col·lecció Instrumenta, 35. Universitat de Barcelona. Barcelona.
- TESTACCIO 2014 = BLÁZQUEZ MARTÍNEZ J.M. & REMESAL RODRÍGUEZ J. (eds.). (2014). *Estudios sobre el Monte Testaccio (Roma), V*. Col·lecció Instrumenta, 47. Universitat de Barcelona. Barcelona.
- THEVENOT E. (1948). La station antique des Bolards à Nuits-Saint-Georges (Côte-d'Or). *Gallia*, 6, p. 289-347.
- THÉVENOT E. (1950). L'importation des produits espagnols chez les Éduens et les Lingons. *Revue Archéologique de l'Est et du Centre-Est*, 1, p. 65-75.
- THÉVENOT E. (1951). Un critère pour dater les gisements gallo-romains: la forme des tessons d'amphores. *Revue Archéologique de l'Est et du Centre Est*, 2, p. 159-231.
- THÉVENOT E. (1952). Una familia de negociantes de aceite establecida en la Bética en el siglo II: los Aeli Optati. *Archivo Español de Arqueología*, 25, p. 225-231.
- THÉVENOT E. (1953). Les amphores du Musée de Sens, marques et formes. *Revue Archéologique de l'Est et du Centre-Est*, 3, p. 225-231.
- THÉVENOT E. (1959). La marque d'amphore <<CAMILI / SILVESTRI>>. *Revue Archéologique de l'Est et du Centre-Est*, 10, p. 219-228.
- THÉVENOT E. (1964). Les amphores de provenance espagnole importées dans le département du Cher. *Revue Archéologique du Centre [de la France]*, 3, p. 203-216.
- THOUVENOT R. (1939). *Les incursions des Maures en Bétique sous le règne de Marc-Aurèle*. *Revue d'Etudes Anciennes*, 41, p. 20-28.
- THOUVENOT R. (1940). *Essai sur la province romaine de Bétique*. Paris (edición 1973).
- TIR (1995) = *Tabula Imperii Romani. Emerita-Scallabis-Pax Ivlia-Gades*. Hoja J-29, Lisboa. Madrid.
- TIR (1997) = *Tabula Imperii Romani. Tarraco, Baliares*. Hoja K/J-31: Pyrénées Orientales-Baleares. Madrid.
- TONIOLO A. (1991). *Le anfore di altino*. *Archeologia Veneta*, 14 Padova.
- TOVAR A. (1951). Les noms de personnes de l'Hispania pré-romaine. *III Congress International Toponymy and Anthroponymy*, Bruselas 1949.
- TOVAR A. (1974). *Iberische Landeskunde, II-1, Baetica*. Baden-Baden.
- TRAN N. (2007). La mention épigraphique des métiers artisanaux et commerciaux dans l'épigraphie de l'Italie centro-méridionale. *Vocabulaire et expression de l'économie dans le monde antique*, Ausonius, Pessac, p. 119-141.
- TRAN N. (2007a). L'apprentissage et le statut de travail des artisans en Gaule romaine. *Aspects de l'artisanat en milieu urbain : Gaule et Occident romain, Actes du colloque international d'Autun, 20-22 sept. 2007, Supplément à la RAE 28*, p. 195-200.
- TREMMELE, B; GONZÁLEZ, H; MATTERN, T; MONSIEUR, P. (2012). Die Amphoren aus den römischen Militäranlagen in Haltern. *Archäologie in Westfalen-Lippe 2011*. Langenweißbach, p. 225-227.
- URUEÑA ALONZO J. (2011). Los *conventus* de la provincia Baetica a partir de la descripción geográfica de Ptolomeo. *Habis, Filología clásica. historia antigua, arqueología clásica*, 42, p. 209-227.
- VÄÄNÄNEN V. (2003). *Introduzione al latino volgare*. Pàtron. Bologna (cuarta edición de la traducción italiana de la segunda edición de "Introduction au latin vulgaire", Klincksieck, 1967).
- VAQUERIZO GIL D. (2010). *Necrópolis urbanas en Baetica. Série Documenta 15*, Universidad de Sevilla: Institut Català d'arqueologia clàssica, Sévilla.
- VANNEY J.R. (1970). *L'Hidrologie du bas Guadalquivir*. Consejo Superior de Investigaciones Científicas. Madrid.
- VENTURA VILLANUEVA A. (2002). III/23. Epigrafía anfórica. *El teatro romano de Córdoba. Catálogo de la exposición 2002*. Universidad de Córdoba.

- VENTURA VILLANUEVA A. (2015). Nuevos datos sobre la cronología de la deductio de *Augusta Firma Astigi* y sobre sus colonos veteranos. *ROMVLA*, 14, p. 7-27.
- VENTURA VILLANUEVA A & STYLOW A (2015). El pagus Venerius (perpica Astigitana) y su paganicum. Nuevos datos sobre la organización del territorio de la *colonia Augusta Firma* en una inscripción de «La Camorra de las Cabezuelas». *Antiquitas*, 27, p. 85-94.
- VIEGAS C. & MARGARIDA ARRUDA A. (2013). Ânforas romanas de época imperial de Monte Molião (Lagos) as Dressel 20. *Arqueologia em Portugal 150 anos*, Lisboa, p. 727-735.
- VILLARONGA L. (1994). *Corpus Nummorum Hispaniae ante Augusti aetatem*. Barcelona.
- WHITTAKER C.R. (1989). *Les frontières de l'Empire romain*, Les Belles Lettres, Paris.
- WEISS S. (2005). In Ton gebrannte Schrift - Eine Ritzinschrift aus der Colonia Ulpia Traiana. *Von Anfang An. Archäologie in Nordrhein -Westfalen. Römisch-Germanisches Museum der Stadt Köln*. Verlag Philipp von Zabern - Mainz aus Rhein, p. 417.
- WERFF J.H. VAN DER. (1984). Roman amphoras at Nijmegen. A preliminar Report. *Berichten van de Rijksdienst voor het Oudheidkundig Bodemonderzoek*, 34, p. 347-387.
- WERFF J.H. VAN DER. (1987). Amforen van velsen, 1. *Inhoud aan de Verpakking: een materiaalstudie naar bevoorrading*, p. 161-163.
- WERFF J.H. VAN DER. (1987b). Roman amphoras at De Horden (Wijk bij Duurstede). *Berichten van de Rijksdienst voor het Oudheidkundig Bodemonderzoek*, 37, p. 153-172.
- WERFF J.H. VAN DER. (1989). Sekundäre Graffiti auf römischen Amphoren. *Archäologisches Korrespondenzblatt*, 19, p. 361-176.
- WERFF J.H. VAN DER. (1990). Beusichem. Hulst R.S. (eEd.) *Archeologische kroniek van Gelderland 1989. Bijdragen en Mededelingen Gelre*, 81, p. 185-196.
- WERFF J.H. VAN DER. (1995). Amfoorstempels en prosopografie. *Westerheeren*, 44, p. 148-155.
- WERFF J.H. VAN DER. (2002). The third and second lives of amphoras in Alphen aan den Rijn." Plouviez J. (ed.) *Amphorae in Britain and the western Empire. Journal of Roman Pottery Studies*, 10. Oxbow Books. Oxford, p. 109-116.
- WITTENBURG A. (1980). Zur Qualität des Olivenöls in der Antike. *Zeitschrift für Papyrologie und Epigraphik*, 38, p. 185-189.
- WISEMAN, F.J. (1956). *Roman Spain*, London.
- WIEGELS R. (2000). *Lopodunum II. und* Inschriften und Kulturdenkmäler aus dem römischen Ladenburg am Neckar. *Forschungen und Berichte zur Vor- und Frühgeschichte in Baden-Württemberg*, Band 59. Stuttgart.
- ZACCARIA C. (1993). *Laterizi di età romana nella area nordadriatica (I)*. Cataloghi e Monografie Archeologiche dei Civici Musei di Udine, 3. L'Erma di Bretschneider. Roma.
- ZAMORA MANZANO J.L. (2001). El Salvamento y la asistencia marítima en el derecho romano. *Revue Internationale des droits de l'antiquité*, 48, p. 373-404.
- ZOIDO NARANJO F. (2008). Territorios y paisajes del Guadalquivir. *El Río Guadalquivir*, Sevilla, p. 3-15.
- ZOIDO NARANJO F. (2012). (dir.). *Los paisajes fluviales en la planificación y gestión del agua. Elementos para la consideración del paisaje en la cuenca horográfica del Guadalquivir*, Junta de Andalucía, Sevilla.

ANEXOS: CONTENIDOS DEL CD ADJUNTO A ESTE TRABAJO.

En el CD adjunto a este trabajo incluimos archivos pdf de las tablas y los esquemas usados durante su elaboración que, por su formato, no es posible reproducir en papel. Estos archivos se organizan de la siguiente manera:

Anexo 1.- Tabla de las estructuras de los sellos (*vide* 1.4 a 1.6).

Anexo 2.- Tablas de las estadísticas de las estructuras de los sellos (*vide*. 1.5 y 1.6).

Anexo 3.- Dendrogramas de los sellos de *C. Iuventius Albinus* y los hallados en Cortijo de Romero, Cortijo del Mohíno y Cerro de los Pesebres (*vide* 4.5.3 y 5.2.4).

Anexo 4.- Cuadros de las fases productivas de las *figlinae* de Cortijo de Romero, Cortijo del Mohíno y Cerro de los Pesebres (*vide* 4.7 y 5.3.1).